

Ein und Ausgabe:
Farbmetrisches Drucker-Reflektiv-System ORS19_96a
Daten für jede Farbe:

u^*_e und Nummer $Nr.$ = 00 .. 15

Elementar-Bunttontext:

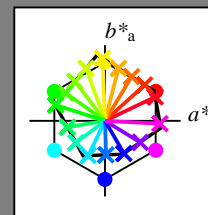
$u^*_e = 16$ Bunttoene $r00j, r25j, ..., b75r$

Kontrastreduzierungsfaktor:

$c_R = 1.0$

ORS19_96a; adaptierte CIELAB-Daten

u^*_e	$L^*=L^*_a$	a^*_a	b^*_a	$C^*_{ab,a}$	$h^*_{ab,a}$	u^*_d
$r00j$	48.88	66.47	31.67	73.63	25	$m84o$
$r25j$	55.85	52.39	47.48	70.7	42	$o17y$
$r50j$	65.45	35.22	58.37	68.17	59	$o42y$
$r75j$	75.19	17.82	69.41	71.66	76	$o67y$
$j00g$	87.03	-3.35	82.83	82.9	92	$o92y$
$j25g$	80.72	-25.01	69.5	73.86	110	$y20l$
$j50g$	70.64	-39.54	51.97	65.3	127	$y46l$
$j75g$	61.93	-52.1	36.83	63.8	145	$y72l$
$g00b$	52.8	-65.28	20.93	68.56	162	$y99l$
$g25b$	55.7	-49.58	-8.39	50.28	190	$l36c$
$g50b$	57.82	-38.4	-28.92	48.07	217	$l72c$
$g75b$	55.5	-22.05	-45.95	50.97	244	$c11v$
$b00r$	41.6	1.37	-45.01	45.03	272	$c56v$
$b25r$	29.0	25.08	-43.13	49.89	300	$v04m$
$b50r$	38.04	46.53	-28.39	54.51	329	$v55m$
$b75r$	49.48	72.88	-3.76	72.98	357	$m11o$



%Umfang

$u^*_{rel} = 89$

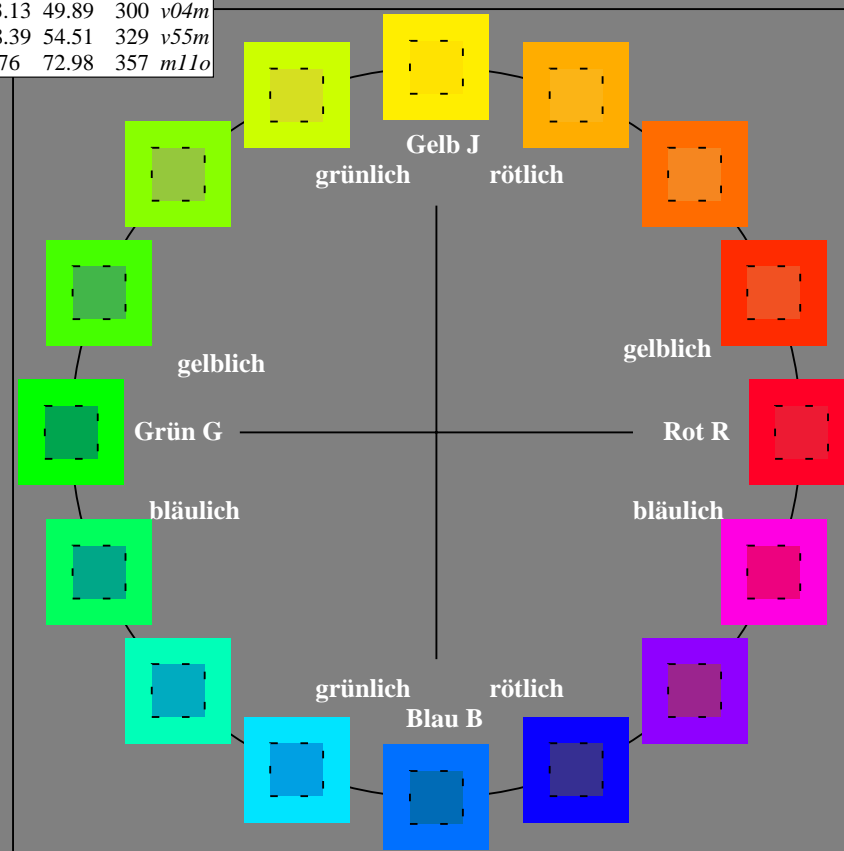
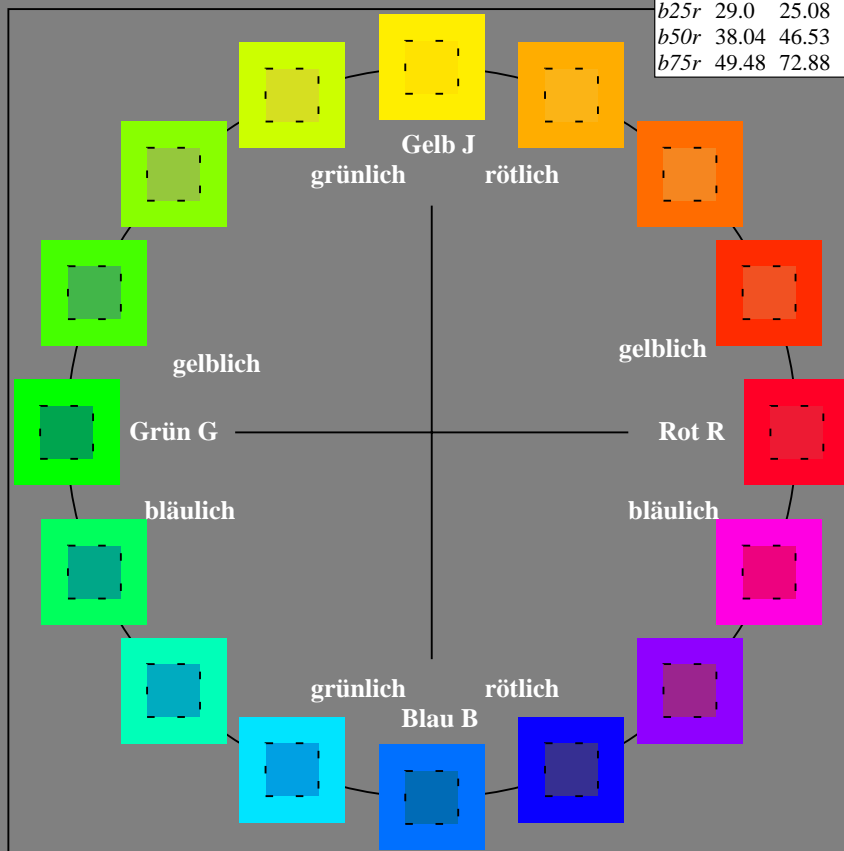
%Regularität

$g^*_{H,rel} = 72$

$g^*_{C,rel} = 57$

ORS19_96a; adaptierte CIELAB-Daten

Name	$L^*=L^*_a$	a^*_a	b^*_a	$C^*_{ab,a}$	$h^*_{ab,a}$
O_{Ma}	48.75	65.07	39.43	76.08	31
Y_{Ma}	90.92	-10.29	87.24	87.85	97
L_{Ma}	52.69	-65.44	20.75	68.65	162
C_{Ma}	59.61	-28.98	-46.22	54.56	238
V_{Ma}	28.39	23.63	-44.13	50.06	298
M_{Ma}	49.58	73.93	-9.56	74.55	353
N_{Ma}	18.89	0.0	0.0	0.0	0
W_{Ma}	96.9	0.0	0.0	0.0	0
R_{CIE}	39.92	58.74	27.99	65.07	25
J_{CIE}	81.26	-2.89	71.56	71.62	92
G_{CIE}	52.23	-42.42	13.6	44.55	162
B_{CIE}	30.57	1.41	-46.47	46.49	272



Ein und Ausgabe: Farbmetrisches Drucker-Reflektiv-System ORS19_96a für relativen CIELAB-Buntton $h^* = lab^*h^* = h_{ab}/360 = 0.071$

Daten für jede Farbe:

lab^*ch^* und lab^*icu^*

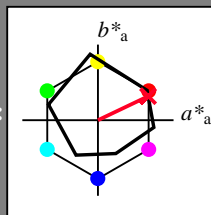
Bunttontexte:

$u^*_e = r00j$ $u^*_d = m84o$

Kontrastreduzierungsfaktor:

$c_R = 1.0$

Dreiecks-Helligkeit i^*



ORS19_96a; adaptierte CIELAB-Daten

u^*_e	$L^*=L^*_a$	a^*_a	b^*_a	$C^*_{ab,a}$	$h^*_{ab,a}$
O _{Ma}	48.75	65.07	39.43	76.08	31
Y _{Ma}	90.92	-10.29	87.24	87.85	97
L _{Ma}	52.69	-65.44	20.75	68.65	162
C _{Ma}	59.61	-28.98	-46.22	54.56	238
V _{Ma}	28.39	23.63	-44.13	50.06	298
M _{Ma}	49.58	73.93	-9.56	74.55	353
N _{Ma}	18.89	0.0	0.0	0.0	0
W _{Ma}	96.9	0.0	0.0	0.0	0
R _{Ma}	39.92	58.74	27.99	65.07	25
J _{Ma}	81.26	-2.89	71.56	71.62	92
G _{Ma}	52.23	-42.42	13.6	44.55	162
B _{Ma}	30.57	1.41	-46.47	46.49	272

Daten für Maximalfarbe (Ma):

$LAB^*LAB^*_{Ma}$: 49 66 32

$LAB^*LCH^*_{Ma}$: 49 74 25

$lab^*rgb^*_{Ma}$: 1.0 0.0 0.0

$lab^*olv^*_{Ma}$: 1.0 0.0 0.15

Dreiecks-Helligkeit i^*

%Umfang

$u^*_{rel} = 89$

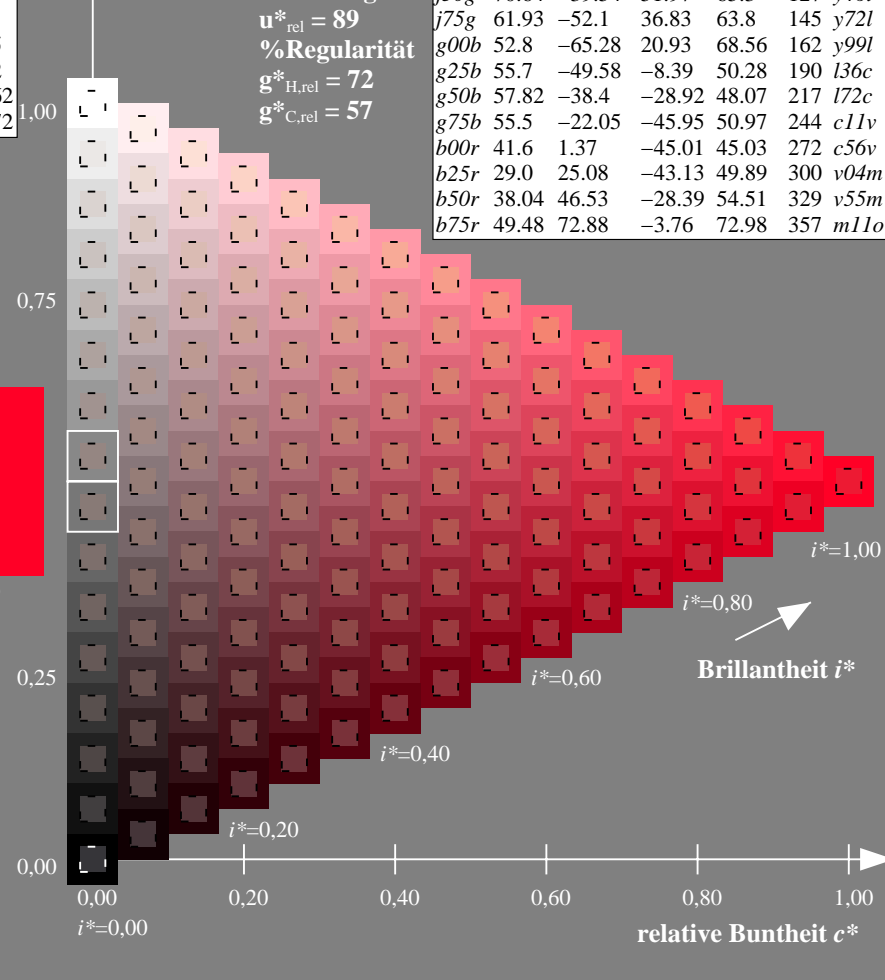
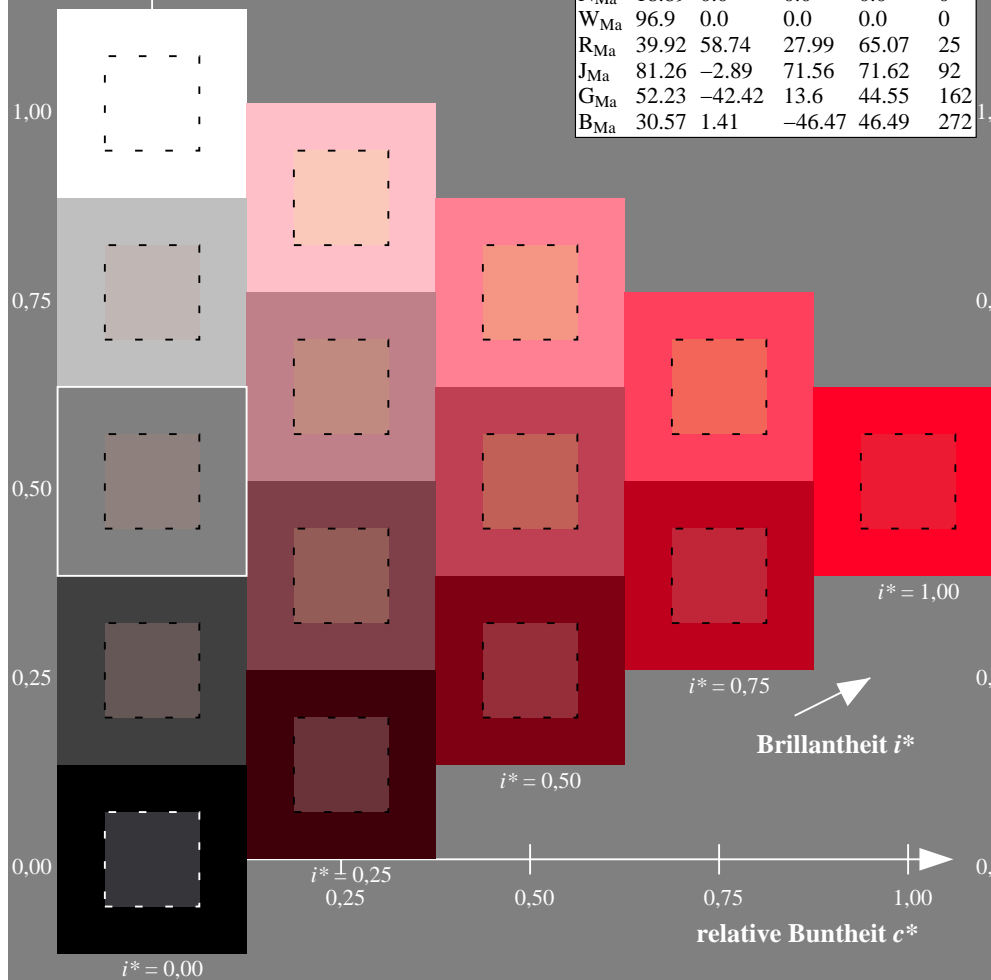
%Regularität

$g^*_{H,rel} = 72$

$g^*_{C,rel} = 57$

ORS19_96a; adaptierte CIELAB-Daten

u^*_e	$L^*=L^*_a$	a^*_a	b^*_a	$C^*_{ab,a}$	$h^*_{ab,a}$	u^*_d
r00j	48.88	66.47	31.67	73.63	25	m84o
r25j	55.85	52.39	47.48	70.7	42	o17y
r50j	65.45	35.22	58.37	68.17	59	o42y
r75j	75.19	17.82	69.41	71.66	76	o67y
j00g	87.03	-3.35	82.83	82.9	92	o92y
j25g	80.72	-25.01	69.5	73.86	110	y20l
j50g	70.64	-39.54	51.97	65.3	127	y46l
j75g	61.93	-52.1	36.83	63.8	145	y72l
g00b	52.8	-65.28	20.93	68.56	162	y99l
g25b	55.7	-49.58	-8.39	50.28	190	l36c
g50b	57.82	-38.4	-28.92	48.07	217	l72c
g75b	55.5	-22.05	-45.95	50.97	244	c11v
b00r	41.6	1.37	-45.01	45.03	272	c56v
b25r	29.0	25.08	-43.13	49.89	300	v04m
b50r	38.04	46.53	-28.39	54.51	329	v55m
b75r	49.48	72.88	-3.76	72.98	357	m11o



Ein und Ausgabe: Farbmetrisches Drucker-Reflektiv-System ORS19_96a für relativen CIELAB-Buntton $h^* = lab^*h^* = h_{ab}/360 = 0.117$

Daten für jede Farbe:

lab^*ch^* und lab^*icu^*

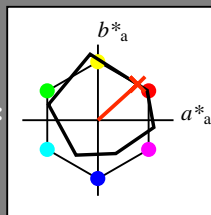
Bunttontexte:

$u^*_e = r25j$ $u^*_d = o17y$

Kontrastreduzierungsfaktor:

$c_R = 1.0$

Dreiecks-Helligkeit i^*



ORS19_96a; adaptierte CIELAB-Daten

u^*_e	$L^*=L^*_a$	a^*_a	b^*_a	$C^*_{ab,a}$	$h^*_{ab,a}$
O _{Ma}	48.75	65.07	39.43	76.08	31
Y _{Ma}	90.92	-10.29	87.24	87.85	97
L _{Ma}	52.69	-65.44	20.75	68.65	162
C _{Ma}	59.61	-28.98	-46.22	54.56	238
V _{Ma}	28.39	23.63	-44.13	50.06	298
M _{Ma}	49.58	73.93	-9.56	74.55	353
N _{Ma}	18.89	0.0	0.0	0.0	0
W _{Ma}	96.9	0.0	0.0	0.0	0
R _{Ma}	39.92	58.74	27.99	65.07	25
J _{Ma}	81.26	-2.89	71.56	71.62	92
G _{Ma}	52.23	-42.42	13.6	44.55	162
B _{Ma}	30.57	1.41	-46.47	46.49	272

Daten für Maximalfarbe (Ma):

$LAB^*LAB^*_{Ma}$: 56 52 47

$LAB^*LCH^*_{Ma}$: 56 71 42

$lab^*rgb^*_{Ma}$: 1.0 0.25 0.0

$lab^*olv^*_{Ma}$: 1.0 0.17 0.0

Dreiecks-Helligkeit i^*

%Umfang

$u^*_{rel} = 89$

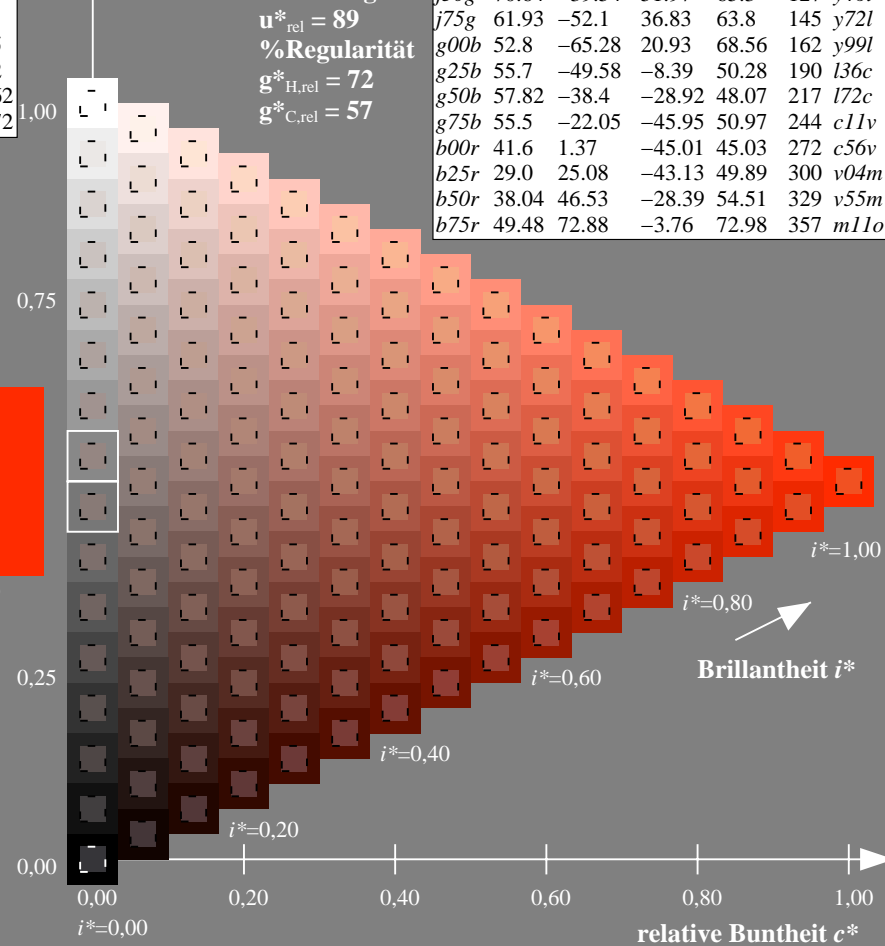
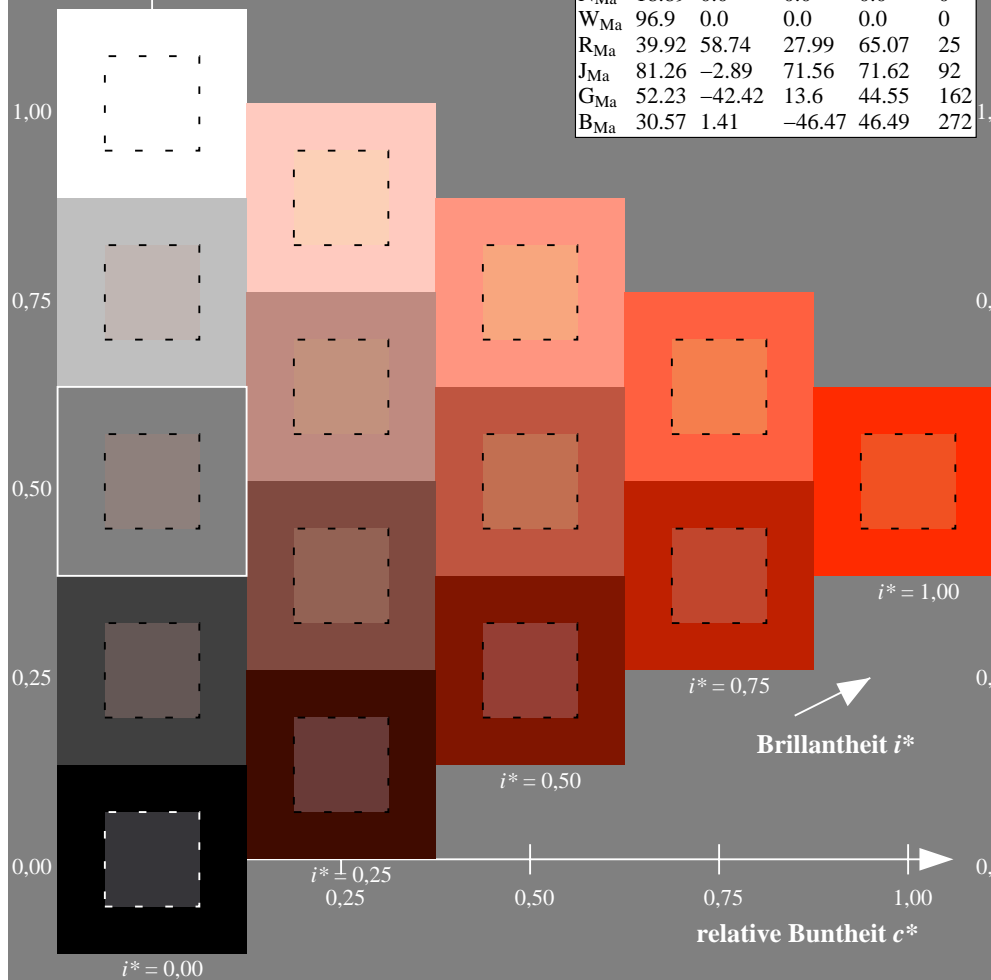
%Regularität

$g^*_{H,rel} = 72$

$g^*_{C,rel} = 57$

ORS19_96a; adaptierte CIELAB-Daten

u^*_e	$L^*=L^*_a$	a^*_a	b^*_a	$C^*_{ab,a}$	$h^*_{ab,a}$	u^*_d
r00j	48.88	66.47	31.67	73.63	25	m84o
r25j	55.85	52.39	47.48	70.7	42	o17y
r50j	65.45	35.22	58.37	68.17	59	o42y
r75j	75.19	17.82	69.41	71.66	76	o67y
j00g	87.03	-3.35	82.83	82.9	92	o92y
j25g	80.72	-25.01	69.5	73.86	110	y20l
j50g	70.64	-39.54	51.97	65.3	127	y46l
j75g	61.93	-52.1	36.83	63.8	145	y72l
g00b	52.8	-65.28	20.93	68.56	162	y99l
g25b	55.7	-49.58	-8.39	50.28	190	l36c
g50b	57.82	-38.4	-28.92	48.07	217	l72c
g75b	55.5	-22.05	-45.95	50.97	244	c11v
b00r	41.6	1.37	-45.01	45.03	272	c56v
b25r	29.0	25.08	-43.13	49.89	300	v04m
b50r	38.04	46.53	-28.39	54.51	329	v55m
b75r	49.48	72.88	-3.76	72.98	357	m11o



Ein und Ausgabe: Farbmetrisches Drucker-Reflektiv-System ORS19_96a für relativen CIELAB-Buntton $h^* = lab^*h^* = h_{ab}/360 = 0.164$

Daten für jede Farbe:

lab^*ch^* und lab^*icu^*

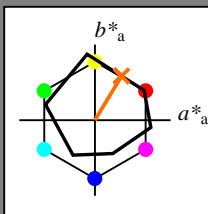
Bunttontexte:

$u^*_e = r50j$ $u^*_d = o42y$

Kontrastreduzierungsfaktor:

$c_R = 1.0$

Dreiecks-Helligkeit i^*



ORS19_96a; adaptierte CIELAB-Daten

u^*_e	$L^*=L^*_a$	a^*_a	b^*_a	$C^*_{ab,a}$	$h^*_{ab,a}$
O _{Ma}	48.75	65.07	39.43	76.08	31
Y _{Ma}	90.92	-10.29	87.24	87.85	97
L _{Ma}	52.69	-65.44	20.75	68.65	162
C _{Ma}	59.61	-28.98	-46.22	54.56	238
V _{Ma}	28.39	23.63	-44.13	50.06	298
M _{Ma}	49.58	73.93	-9.56	74.55	353
N _{Ma}	18.89	0.0	0.0	0.0	0
W _{Ma}	96.9	0.0	0.0	0.0	0
R _{Ma}	39.92	58.74	27.99	65.07	25
J _{Ma}	81.26	-2.89	71.56	71.62	92
G _{Ma}	52.23	-42.42	13.6	44.55	162
B _{Ma}	30.57	1.41	-46.47	46.49	272

Daten für Maximalfarbe (Ma):

$LAB^*LAB^*_{Ma}$: 65 35 58

$LAB^*LCH^*_{Ma}$: 65 68 58

$lab^*rgb^*_{Ma}$: 1.0 0.5 0.0

$lab^*olv^*_{Ma}$: 1.0 0.42 0.0

Dreiecks-Helligkeit i^*

%Umfang

$u^*_{rel} = 89$

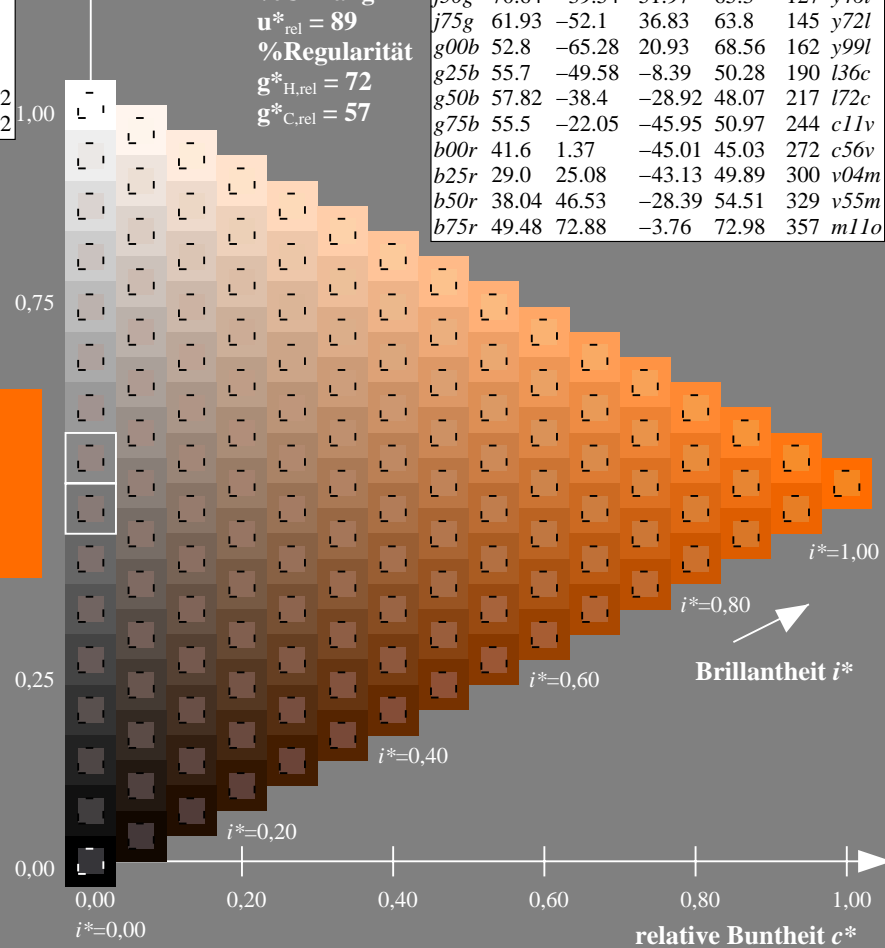
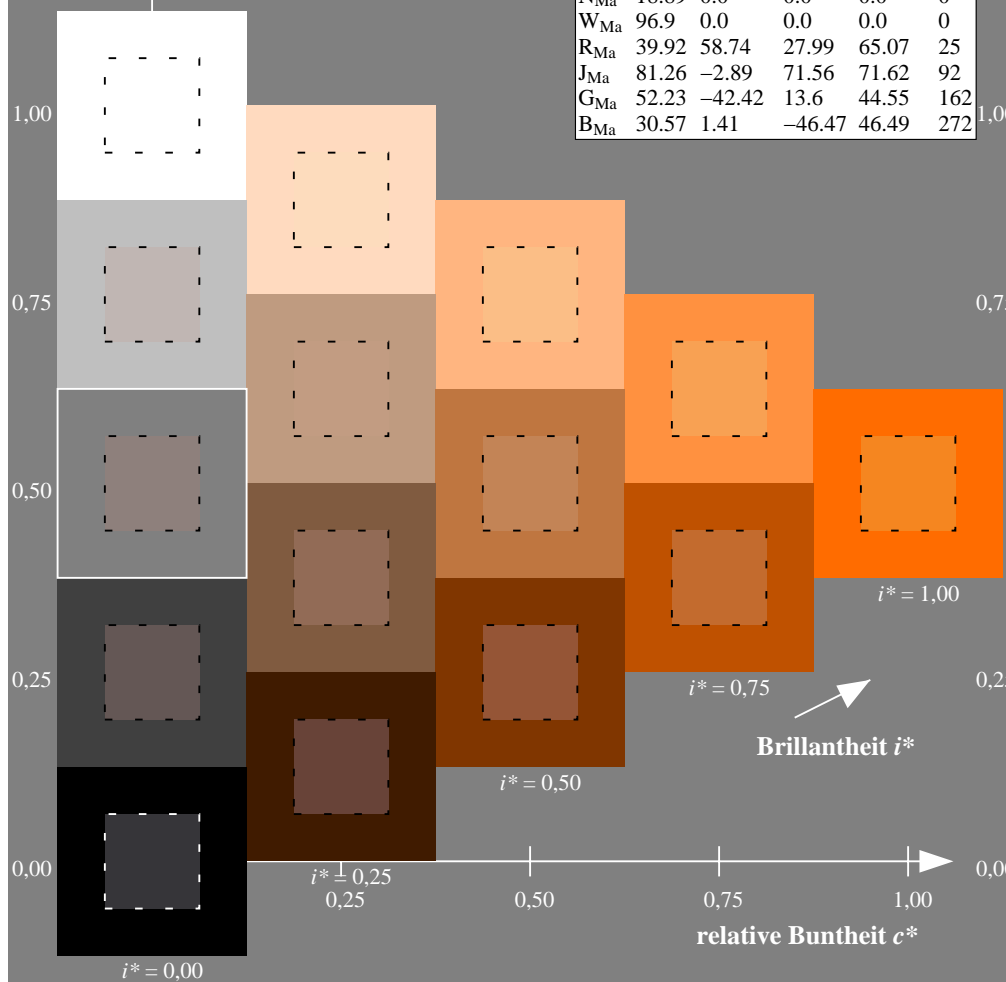
%Regularität

$g^*_{H,rel} = 72$

$g^*_{C,rel} = 57$

ORS19_96a; adaptierte CIELAB-Daten

u^*_e	$L^*=L^*_a$	a^*_a	b^*_a	$C^*_{ab,a}$	$h^*_{ab,a}$	u^*_d
r00j	48.88	66.47	31.67	73.63	25	m84o
r25j	55.85	52.39	47.48	70.7	42	o17y
r50j	65.45	35.22	58.37	68.17	59	o42y
r75j	75.19	17.82	69.41	71.66	76	o67y
j00g	87.03	-3.35	82.83	82.9	92	o92y
j25g	80.72	-25.01	69.5	73.86	110	y20l
j50g	70.64	-39.54	51.97	65.3	127	y46l
j75g	61.93	-52.1	36.83	63.8	145	y72l
g00b	52.8	-65.28	20.93	68.56	162	y99l
g25b	55.7	-49.58	-8.39	50.28	190	l36c
g50b	57.82	-38.4	-28.92	48.07	217	l72c
g75b	55.5	-22.05	-45.95	50.97	244	c11v
b00r	41.6	1.37	-45.01	45.03	272	c56v
b25r	29.0	25.08	-43.13	49.89	300	v04m
b50r	38.04	46.53	-28.39	54.51	329	v55m
b75r	49.48	72.88	-3.76	72.98	357	m11o



Ein und Ausgabe: Farbmimetrisches Drucker-Reflektiv-System ORS19_96a für relativen CIELAB-Buntton $h^* = lab^*h^* = h_{ab}/360 = 0.21$

Daten für jede Farbe:

lab^*ch^* und lab^*icu^*

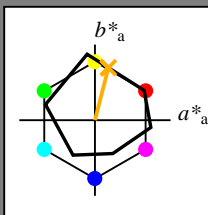
Bunttontexte:

$u^*_e = r75j$ $u^*_d = o67y$

Kontrastreduzierungsfaktor:

$c_R = 1.0$

Dreiecks-Helligkeit i^*



ORS19_96a; adaptierte CIELAB-Daten

u^*_e	$L^*=L^*_a$	a^*_a	b^*_a	$C^*_{ab,a}$	$h^*_{ab,a}$
O _{Ma}	48.75	65.07	39.43	76.08	31
Y _{Ma}	90.92	-10.29	87.24	87.85	97
L _{Ma}	52.69	-65.44	20.75	68.65	162
C _{Ma}	59.61	-28.98	-46.22	54.56	238
V _{Ma}	28.39	23.63	-44.13	50.06	298
M _{Ma}	49.58	73.93	-9.56	74.55	353
N _{Ma}	18.89	0.0	0.0	0.0	0
W _{Ma}	96.9	0.0	0.0	0.0	0
R _{Ma}	39.92	58.74	27.99	65.07	25
J _{Ma}	81.26	-2.89	71.56	71.62	92
G _{Ma}	52.23	-42.42	13.6	44.55	162
B _{Ma}	30.57	1.41	-46.47	46.49	272

Daten für Maximalfarbe (Ma):

$LAB^*LAB^*_{Ma}$: 75 18 69

$LAB^*LCH^*_{Ma}$: 75 72 75

$lab^*rgb^*_{Ma}$: 1.0 0.75 0.0

$lab^*olv^*_{Ma}$: 1.0 0.68 0.0

Dreiecks-Helligkeit i^*

%Umfang

$u^*_{rel} = 89$

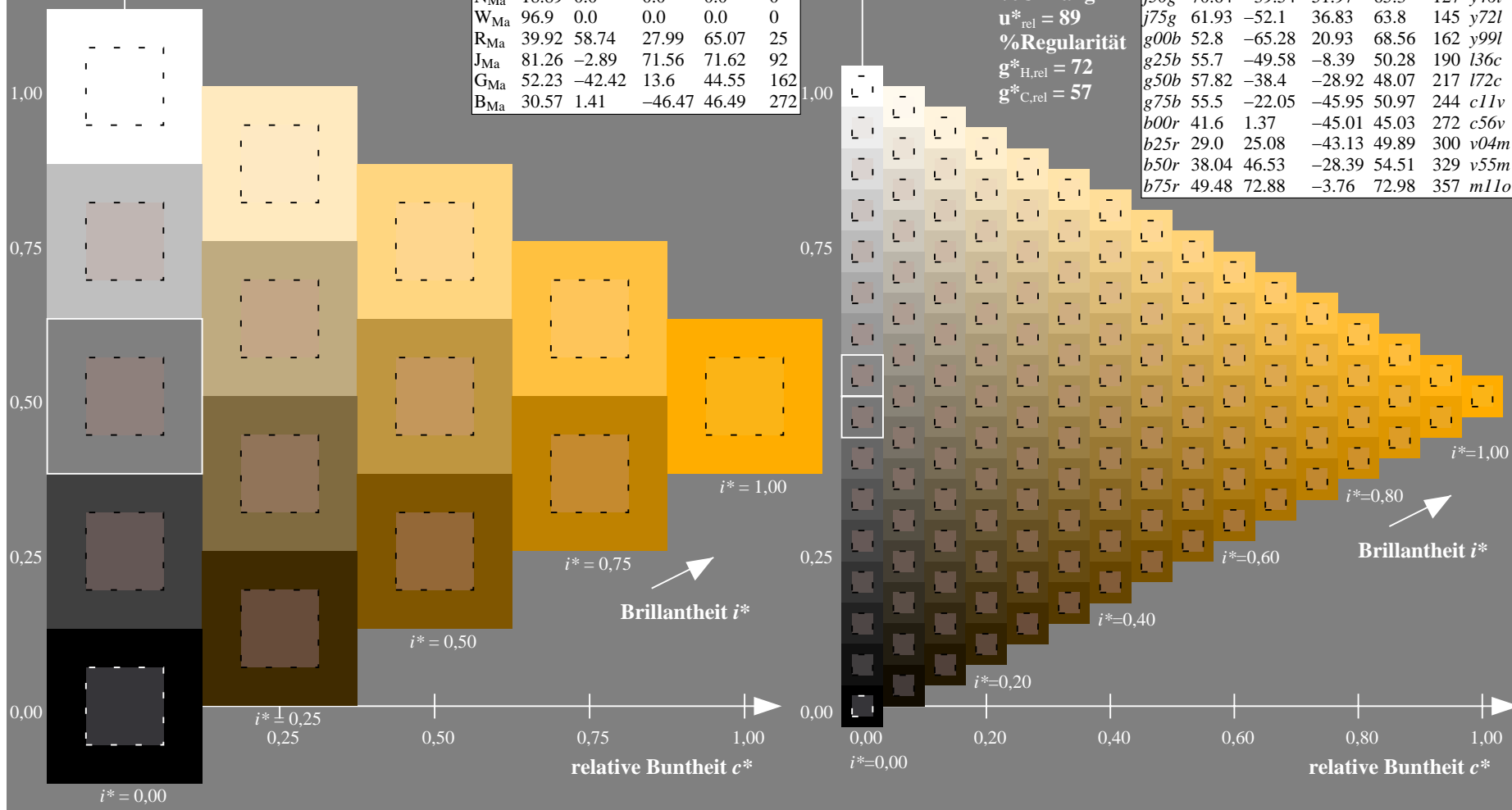
%Regularität

$g^*_{H,rel} = 72$

$g^*_{C,rel} = 57$

ORS19_96a; adaptierte CIELAB-Daten

u^*_e	$L^*=L^*_a$	a^*_a	b^*_a	$C^*_{ab,a}$	$h^*_{ab,a}$	u^*_d
r00j	48.88	66.47	31.67	73.63	25	m84o
r25j	55.85	52.39	47.48	70.7	42	o17y
r50j	65.45	35.22	58.37	68.17	59	o42y
r75j	75.19	17.82	69.41	71.66	76	o67y
j00g	87.03	-3.35	82.83	82.9	92	o92y
j25g	80.72	-25.01	69.5	73.86	110	y20l
j50g	70.64	-39.54	51.97	65.3	127	y46l
j75g	61.93	-52.1	36.83	63.8	145	y72l
g00b	52.8	-65.28	20.93	68.56	162	y99l
g25b	55.7	-49.58	-8.39	50.28	190	l36c
g50b	57.82	-38.4	-28.92	48.07	217	l72c
g75b	55.5	-22.05	-45.95	50.97	244	c11v
b00r	41.6	1.37	-45.01	45.03	272	c56v
b25r	29.0	25.08	-43.13	49.89	300	v04m
b50r	38.04	46.53	-28.39	54.51	329	v55m
b75r	49.48	72.88	-3.76	72.98	357	m11o



Ein und Ausgabe: Farbmetrisches Drucker-Reflektiv-System ORS19_96a für relativen CIELAB-Buntton $h^* = lab^*h^* = h_{ab}/360 = 0.256$

Daten für jede Farbe:

lab^*ch^* und lab^*icu^*

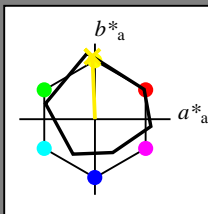
Bunttontexte:

$u^*_e = j00g$ $u^*_d = o92y$

Kontrastreduzierungsfaktor:

$c_R = 1.0$

Dreiecks-Helligkeit i^*



ORS19_96a; adaptierte CIELAB-Daten

u^*_e	$L^*=L^*_a$	a^*_a	b^*_a	$C^*_{ab,a}$	$h^*_{ab,a}$
O _{Ma}	48.75	65.07	39.43	76.08	31
Y _{Ma}	90.92	-10.29	87.24	87.85	97
L _{Ma}	52.69	-65.44	20.75	68.65	162
C _{Ma}	59.61	-28.98	-46.22	54.56	238
V _{Ma}	28.39	23.63	-44.13	50.06	298
M _{Ma}	49.58	73.93	-9.56	74.55	353
N _{Ma}	18.89	0.0	0.0	0.0	0
W _{Ma}	96.9	0.0	0.0	0.0	0
R _{Ma}	39.92	58.74	27.99	65.07	25
J _{Ma}	81.26	-2.89	71.56	71.62	92
G _{Ma}	52.23	-42.42	13.6	44.55	162
B _{Ma}	30.57	1.41	-46.47	46.49	272

Daten für Maximalfarbe (Ma):

$LAB^*LAB^*_{Ma}$: 87 -3 83

$LAB^*LCH^*_{Ma}$: 87 83 92

$lab^*rgb^*_{Ma}$: 1.0 1.0 0.0

$lab^*olv^*_{Ma}$: 1.0 0.93 0.0

Dreiecks-Helligkeit i^*

%Umfang

$u^*_{rel} = 89$

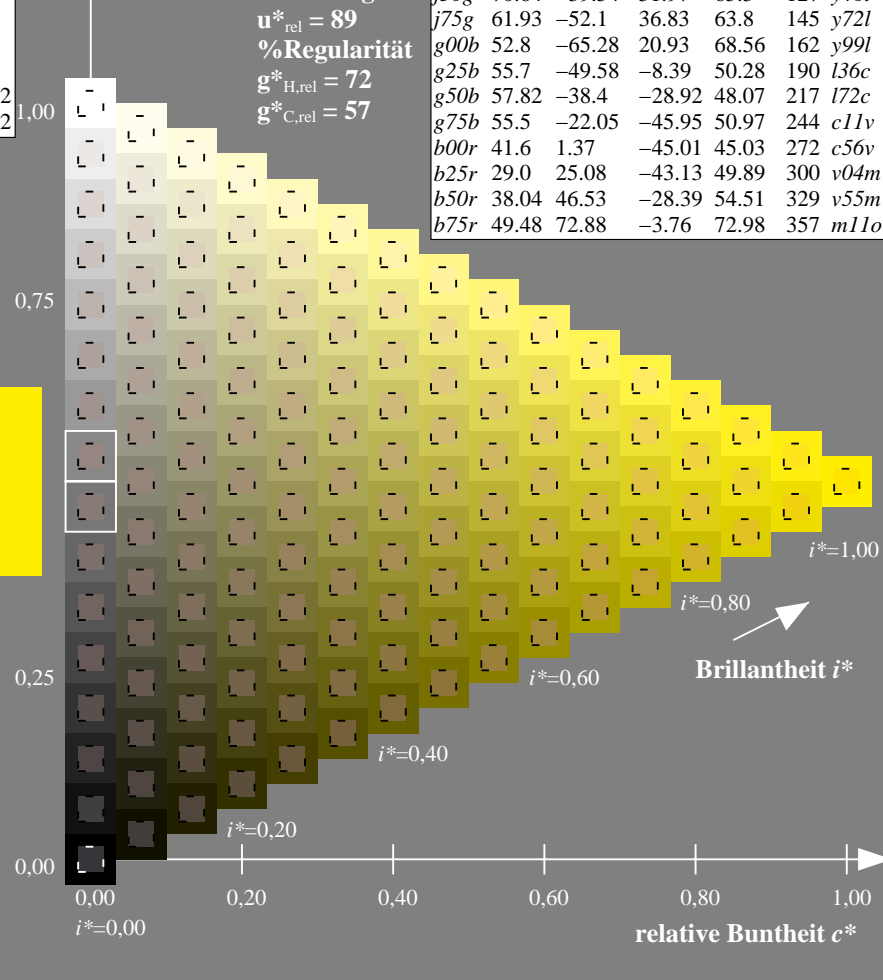
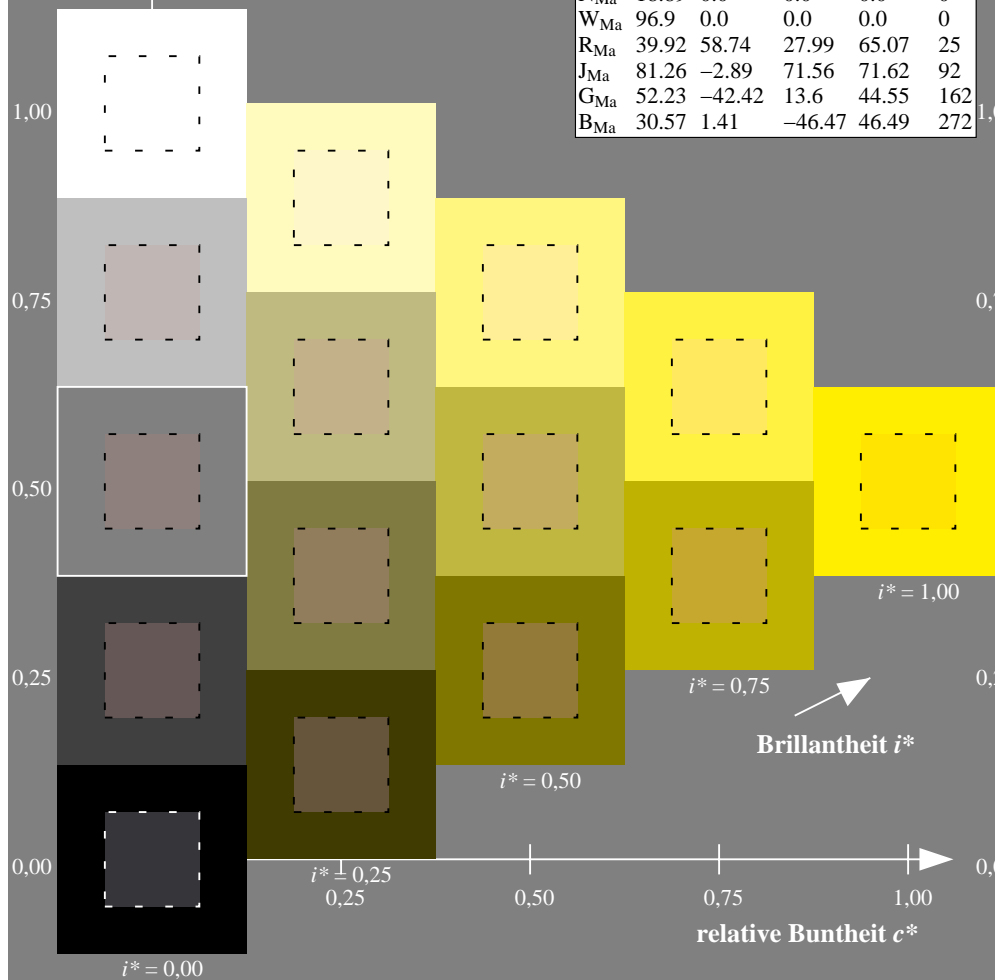
%Regularität

$g^*_{H,rel} = 72$

$g^*_{C,rel} = 57$

ORS19_96a; adaptierte CIELAB-Daten

u^*_e	$L^*=L^*_a$	a^*_a	b^*_a	$C^*_{ab,a}$	$h^*_{ab,a}$	u^*_d
r00j	48.88	66.47	31.67	73.63	25	m84o
r25j	55.85	52.39	47.48	70.7	42	o17y
r50j	65.45	35.22	58.37	68.17	59	o42y
r75j	75.19	17.82	69.41	71.66	76	o67y
j00g	87.03	-3.35	82.83	82.9	92	o92y
j25g	80.72	-25.01	69.5	73.86	110	y20l
j50g	70.64	-39.54	51.97	65.3	127	y46l
j75g	61.93	-52.1	36.83	63.8	145	y72l
g00b	52.8	-65.28	20.93	68.56	162	y99l
g25b	55.7	-49.58	-8.39	50.28	190	l36c
g50b	57.82	-38.4	-28.92	48.07	217	l72c
g75b	55.5	-22.05	-45.95	50.97	244	c11v
b00r	41.6	1.37	-45.01	45.03	272	c56v
b25r	29.0	25.08	-43.13	49.89	300	v04m
b50r	38.04	46.53	-28.39	54.51	329	v55m
b75r	49.48	72.88	-3.76	72.98	357	m11o



Ein und Ausgabe: Farbmetrisches Drucker-Reflektiv-System ORS19_96a für relativen CIELAB-Buntton $h^* = lab^*h^* = h_{ab}/360 = 0.305$

Daten für jede Farbe:

lab^*ch^* und lab^*icu^*

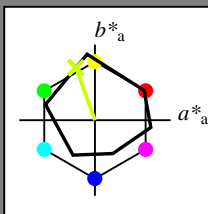
Bunttontexte:

$u^*_e = j25g$ $u^*_d = y20l$

Kontrastreduzierungsfaktor:

$c_R = 1.0$

Dreiecks-Helligkeit i^*



ORS19_96a; adaptierte CIELAB-Daten

u^*_e	$L^*=L^*_a$	a^*_a	b^*_a	$C^*_{ab,a}$	$h^*_{ab,a}$
O _{Ma}	48.75	65.07	39.43	76.08	31
Y _{Ma}	90.92	-10.29	87.24	87.85	97
L _{Ma}	52.69	-65.44	20.75	68.65	162
C _{Ma}	59.61	-28.98	-46.22	54.56	238
V _{Ma}	28.39	23.63	-44.13	50.06	298
M _{Ma}	49.58	73.93	-9.56	74.55	353
N _{Ma}	18.89	0.0	0.0	0.0	0
W _{Ma}	96.9	0.0	0.0	0.0	0
R _{Ma}	39.92	58.74	27.99	65.07	25
J _{Ma}	81.26	-2.89	71.56	71.62	92
G _{Ma}	52.23	-42.42	13.6	44.55	162
B _{Ma}	30.57	1.41	-46.47	46.49	272

Daten für Maximalfarbe (Ma):

$LAB^*LAB^*_{Ma}$: 81 -25 69

$LAB^*LCH^*_{Ma}$: 81 74 109

$lab^*rgb^*_{Ma}$: 0.75 1.0 0.0

$lab^*olv^*_{Ma}$: 0.8 1.0 0.0

Dreiecks-Helligkeit i^*

%Umfang

$u^*_{rel} = 89$

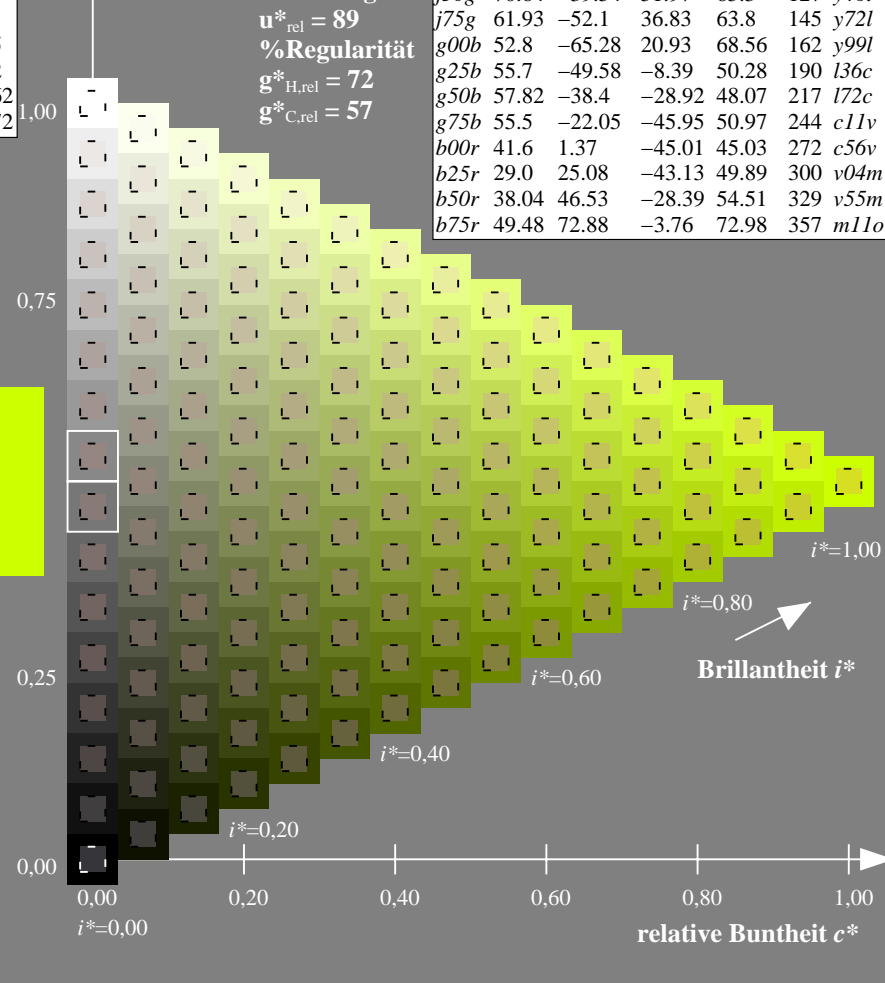
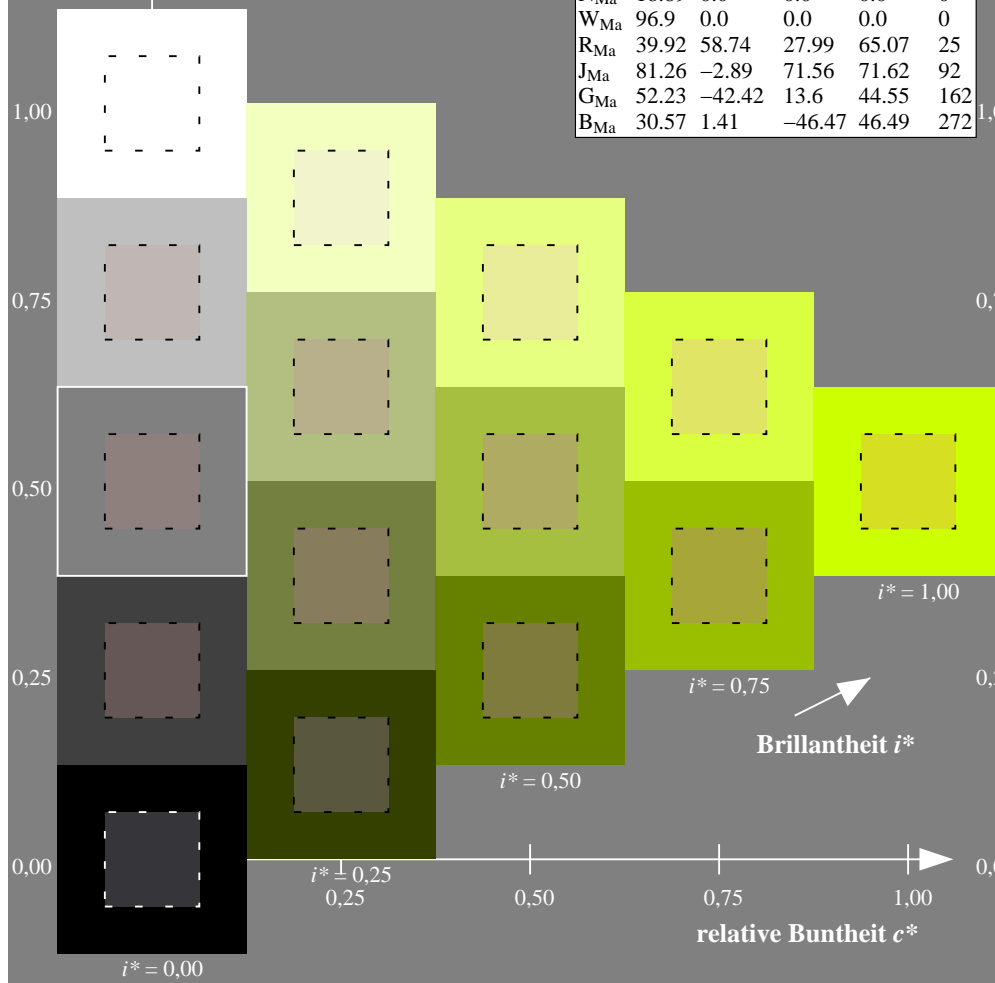
%Regularität

$g^*_{H,rel} = 72$

$g^*_{C,rel} = 57$

ORS19_96a; adaptierte CIELAB-Daten

u^*_e	$L^*=L^*_a$	a^*_a	b^*_a	$C^*_{ab,a}$	$h^*_{ab,a}$	u^*_d
r00j	48.88	66.47	31.67	73.63	25	m84o
r25j	55.85	52.39	47.48	70.7	42	o17y
r50j	65.45	35.22	58.37	68.17	59	o42y
r75j	75.19	17.82	69.41	71.66	76	o67y
j00g	87.03	-3.35	82.83	82.9	92	o92y
j25g	80.72	-25.01	69.5	73.86	110	y20l
j50g	70.64	-39.54	51.97	65.3	127	y46l
j75g	61.93	-52.1	36.83	63.8	145	y72l
g00b	52.8	-65.28	20.93	68.56	162	y99l
g25b	55.7	-49.58	-8.39	50.28	190	l36c
g50b	57.82	-38.4	-28.92	48.07	217	l72c
g75b	55.5	-22.05	-45.95	50.97	244	c11v
b00r	41.6	1.37	-45.01	45.03	272	c56v
b25r	29.0	25.08	-43.13	49.89	300	v04m
b50r	38.04	46.53	-28.39	54.51	329	v55m
b75r	49.48	72.88	-3.76	72.98	357	m11o



Ein und Ausgabe: Farbmetrisches Drucker-Reflektiv-System ORS19_96a für relativen CIELAB-Buntton $h^* = lab^*h^* = h_{ab}/360 = 0.354$

Daten für jede Farbe:

lab^*ch^* und lab^*icu^*

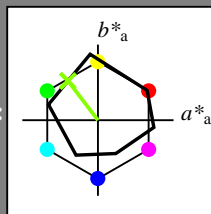
Bunttontexte:

$u^*_e = j50g$ $u^*_d = y46l$

Kontrastreduzierungsfaktor:

$c_R = 1.0$

Dreiecks-Helligkeit i^*



ORS19_96a; adaptierte CIELAB-Daten

u^*_e	$L^*=L^*_a$	a^*_a	b^*_a	$C^*_{ab,a}$	$h^*_{ab,a}$
O _{Ma}	48.75	65.07	39.43	76.08	31
Y _{Ma}	90.92	-10.29	87.24	87.85	97
L _{Ma}	52.69	-65.44	20.75	68.65	162
C _{Ma}	59.61	-28.98	-46.22	54.56	238
V _{Ma}	28.39	23.63	-44.13	50.06	298
M _{Ma}	49.58	73.93	-9.56	74.55	353
N _{Ma}	18.89	0.0	0.0	0.0	0
W _{Ma}	96.9	0.0	0.0	0.0	0
R _{Ma}	39.92	58.74	27.99	65.07	25
J _{Ma}	81.26	-2.89	71.56	71.62	92
G _{Ma}	52.23	-42.42	13.6	44.55	162
B _{Ma}	30.57	1.41	-46.47	46.49	272

Daten für Maximalfarbe (Ma):

$LAB^*LAB^*_{Ma}$: 71 -40 52

$LAB^*LCH^*_{Ma}$: 71 65 127

$lab^*rgb^*_{Ma}$: 0.5 1.0 0.0

$lab^*olv^*_{Ma}$: 0.54 1.0 0.0

Dreiecks-Helligkeit i^*

%Umfang

$u^*_{rel} = 89$

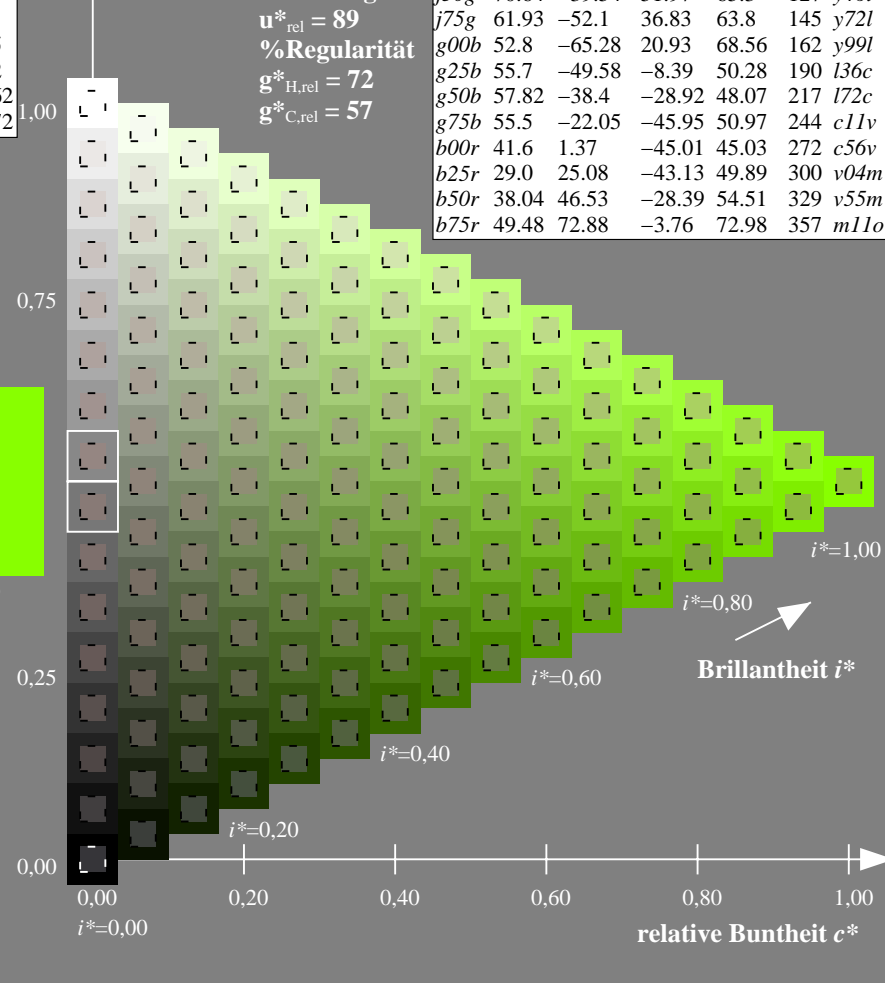
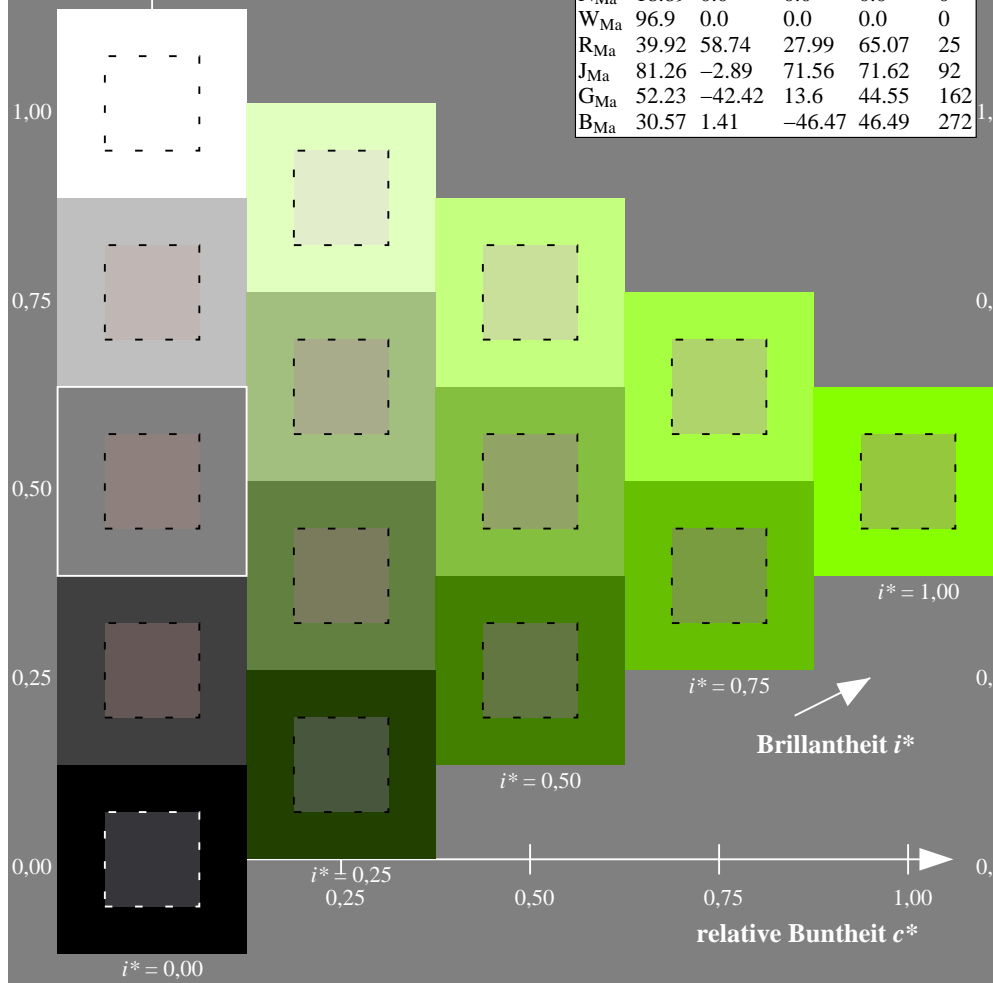
%Regularität

$g^*_{H,rel} = 72$

$g^*_{C,rel} = 57$

ORS19_96a; adaptierte CIELAB-Daten

u^*_e	$L^*=L^*_a$	a^*_a	b^*_a	$C^*_{ab,a}$	$h^*_{ab,a}$	u^*_d
r00j	48.88	66.47	31.67	73.63	25	m84o
r25j	55.85	52.39	47.48	70.7	42	o17y
r50j	65.45	35.22	58.37	68.17	59	o42y
r75j	75.19	17.82	69.41	71.66	76	o67y
j00g	87.03	-3.35	82.83	82.9	92	o92y
j25g	80.72	-25.01	69.5	73.86	110	y20l
j50g	70.64	-39.54	51.97	65.3	127	y46l
j75g	61.93	-52.1	36.83	63.8	145	y72l
g00b	52.8	-65.28	20.93	68.56	162	y99l
g25b	55.7	-49.58	-8.39	50.28	190	l36c
g50b	57.82	-38.4	-28.92	48.07	217	l72c
g75b	55.5	-22.05	-45.95	50.97	244	c11v
b00r	41.6	1.37	-45.01	45.03	272	c56v
b25r	29.0	25.08	-43.13	49.89	300	v04m
b50r	38.04	46.53	-28.39	54.51	329	v55m
b75r	49.48	72.88	-3.76	72.98	357	m11o



Ein und Ausgabe: Farbmetrisches Drucker-Reflektiv-System ORS19_96a für relativen CIELAB-Buntton $h^* = lab^*h^* = h_{ab}/360 = 0.402$

Daten für jede Farbe:

lab^*ch^* und lab^*icu^*

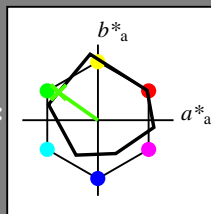
Bunttontexte:

$u^*_e = j75g$ $u^*_d = y72l$

Kontrastreduzierungsfaktor:

$c_R = 1.0$

Dreiecks-Helligkeit i^*



ORS19_96a; adaptierte CIELAB-Daten

u^*_e	$L^*=L^*_a$	a^*_a	b^*_a	$C^*_{ab,a}$	$h^*_{ab,a}$
O _{Ma}	48.75	65.07	39.43	76.08	31
Y _{Ma}	90.92	-10.29	87.24	87.85	97
L _{Ma}	52.69	-65.44	20.75	68.65	162
C _{Ma}	59.61	-28.98	-46.22	54.56	238
V _{Ma}	28.39	23.63	-44.13	50.06	298
M _{Ma}	49.58	73.93	-9.56	74.55	353
N _{Ma}	18.89	0.0	0.0	0.0	0
W _{Ma}	96.9	0.0	0.0	0.0	0
R _{Ma}	39.92	58.74	27.99	65.07	25
J _{Ma}	81.26	-2.89	71.56	71.62	92
G _{Ma}	52.23	-42.42	13.6	44.55	162
B _{Ma}	30.57	1.41	-46.47	46.49	272

Daten für Maximalfarbe (Ma):

LAB^*LAB^*Ma : 62 -52 37

LAB^*LCH^*Ma : 62 64 144

lab^*rgb^*Ma : 0.25 1.0 0.0

lab^*olv^*Ma : 0.27 1.0 0.0

Dreiecks-Helligkeit i^*

%Umfang

$u^*_{rel} = 89$

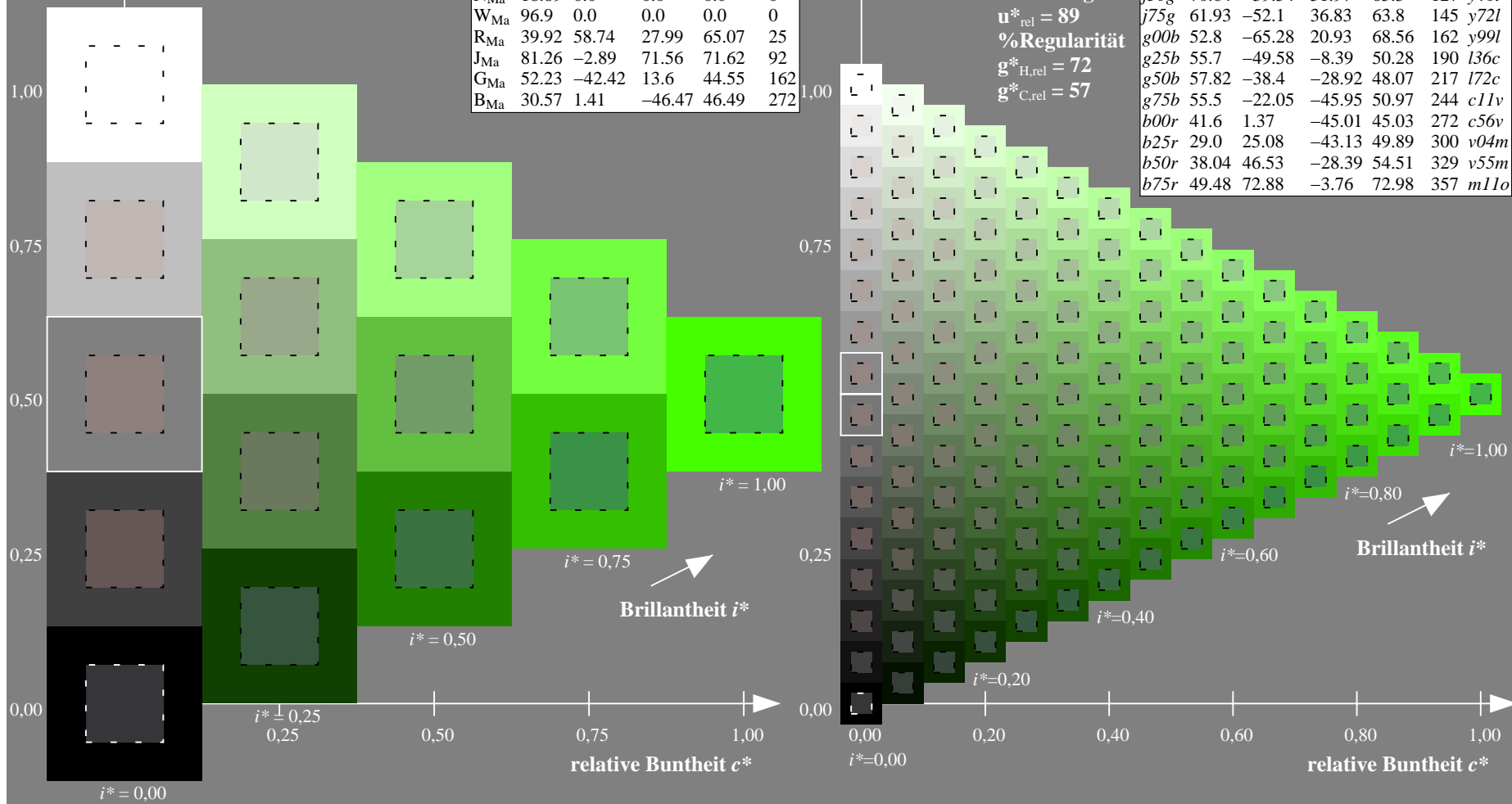
%Regularität

$g^*_{H,rel} = 72$

$g^*_{C,rel} = 57$

ORS19_96a; adaptierte CIELAB-Daten

u^*_e	$L^*=L^*_a$	a^*_a	b^*_a	$C^*_{ab,a}$	$h^*_{ab,a}$	u^*_d
r00j	48.88	66.47	31.67	73.63	25	m84o
r25j	55.85	52.39	47.48	70.7	42	o17y
r50j	65.45	35.22	58.37	68.17	59	o42y
r75j	75.19	17.82	69.41	71.66	76	o67y
j00g	87.03	-3.35	82.83	82.9	92	o92y
j25g	80.72	-25.01	69.5	73.86	110	y20l
j50g	70.64	-39.54	51.97	65.3	127	y46l
j75g	61.93	-52.1	36.83	63.8	145	y72l
g00b	52.8	-65.28	20.93	68.56	162	y99l
g25b	55.7	-49.58	-8.39	50.28	190	l36c
g50b	57.82	-38.4	-28.92	48.07	217	l72c
g75b	55.5	-22.05	-45.95	50.97	244	c11v
b00r	41.6	1.37	-45.01	45.03	272	c56v
b25r	29.0	25.08	-43.13	49.89	300	v04m
b50r	38.04	46.53	-28.39	54.51	329	v55m
b75r	49.48	72.88	-3.76	72.98	357	m11o



Ein und Ausgabe: Farbmetrisches Drucker-Reflektiv-System ORS19_96a für relativen CIELAB-Buntton $h^* = lab^*h^* = h_{ab}/360 = 0.451$

Daten für jede Farbe:

lab^*ch^* und lab^*icu^*

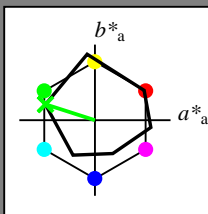
Bunttontexte:

$u^*_e = g00b$ $u^*_d = y99l$

Kontrastreduzierungsfaktor:

$c_R = 1.0$

Dreiecks-Helligkeit i^*



ORS19_96a; adaptierte CIELAB-Daten

u^*_e	$L^*=L^*_a$	a^*_a	b^*_a	$C^*_{ab,a}$	$h^*_{ab,a}$
O _{Ma}	48.75	65.07	39.43	76.08	31
Y _{Ma}	90.92	-10.29	87.24	87.85	97
L _{Ma}	52.69	-65.44	20.75	68.65	162
C _{Ma}	59.61	-28.98	-46.22	54.56	238
V _{Ma}	28.39	23.63	-44.13	50.06	298
M _{Ma}	49.58	73.93	-9.56	74.55	353
N _{Ma}	18.89	0.0	0.0	0.0	0
W _{Ma}	96.9	0.0	0.0	0.0	0
R _{Ma}	39.92	58.74	27.99	65.07	25
J _{Ma}	81.26	-2.89	71.56	71.62	92
G _{Ma}	52.23	-42.42	13.6	44.55	162
B _{Ma}	30.57	1.41	-46.47	46.49	272

Daten für Maximalfarbe (Ma):

$LAB^*LAB^*_{Ma}$: 53 -65 21

$LAB^*LCH^*_{Ma}$: 53 69 162

$lab^*rgb^*_{Ma}$: 0.0 1.0 0.0

$lab^*olv^*_{Ma}$: 0.0 1.0 0.0

Dreiecks-Helligkeit i^*

%Umfang

$u^*_{rel} = 89$

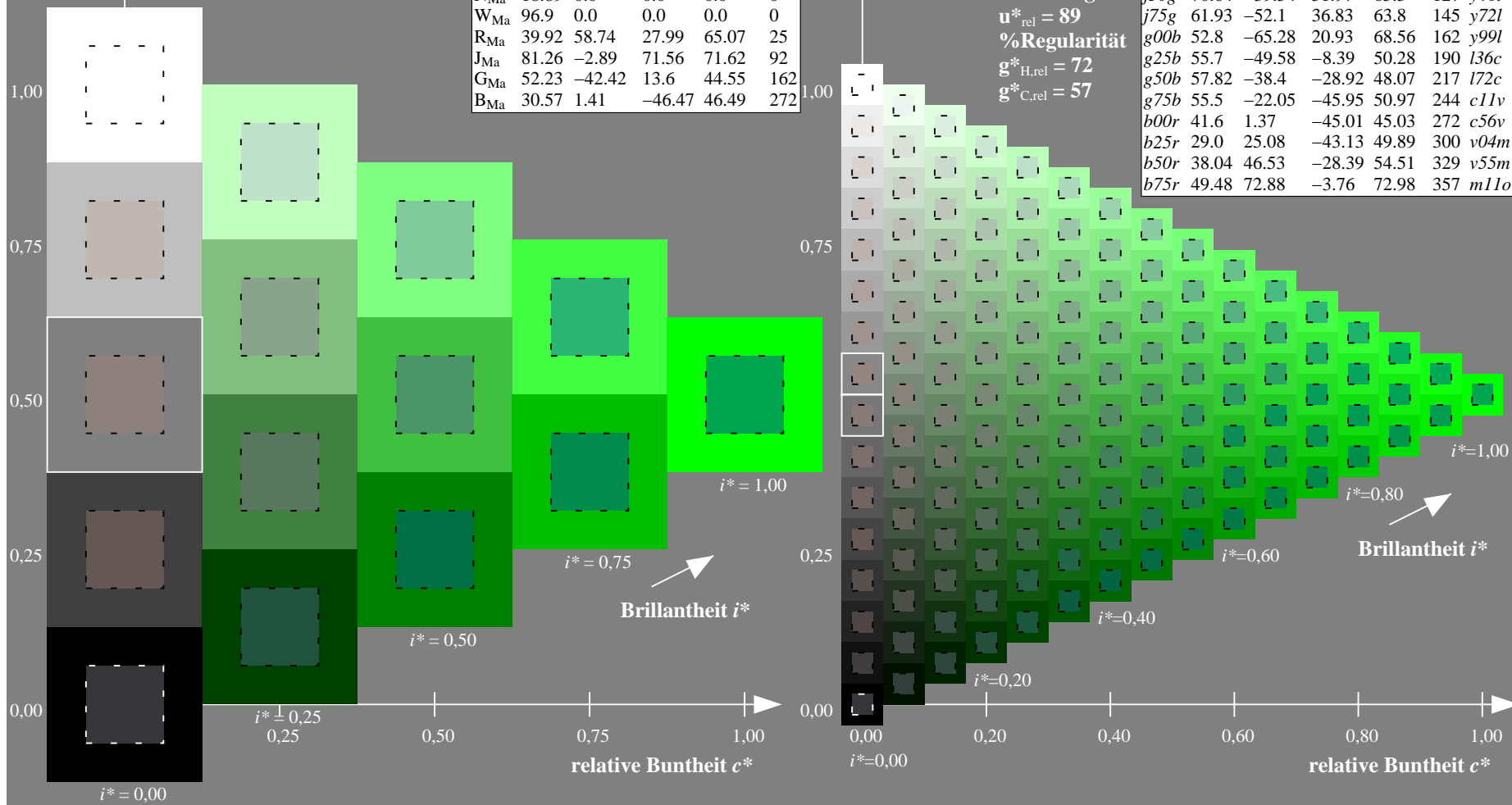
%Regularität

$g^*_{H,rel} = 72$

$g^*_{C,rel} = 57$

ORS19_96a; adaptierte CIELAB-Daten

u^*_e	$L^*=L^*_a$	a^*_a	b^*_a	$C^*_{ab,a}$	$h^*_{ab,a}$	u^*_d
r00j	48.88	66.47	31.67	73.63	25	m84o
r25j	55.85	52.39	47.48	70.7	42	o17y
r50j	65.45	35.22	58.37	68.17	59	o42y
r75j	75.19	17.82	69.41	71.66	76	o67y
j00g	87.03	-3.35	82.83	82.9	92	o92y
j25g	80.72	-25.01	69.5	73.86	110	y20l
j50g	70.64	-39.54	51.97	65.3	127	y46l
j75g	61.93	-52.1	36.83	63.8	145	y72l
g00b	52.8	-65.28	20.93	68.56	162	y99l
g25b	55.7	-49.58	-8.39	50.28	190	l36c
g50b	57.82	-38.4	-28.92	48.07	217	l72c
g75b	55.5	-22.05	-45.95	50.97	244	c11v
b00r	41.6	1.37	-45.01	45.03	272	c56v
b25r	29.0	25.08	-43.13	49.89	300	v04m
b50r	38.04	46.53	-28.39	54.51	329	v55m
b75r	49.48	72.88	-3.76	72.98	357	m11o



Ein und Ausgabe: Farbmetrisches Drucker-Reflektiv-System ORS19_96a für relativen CIELAB-Buntton $h^* = lab^*h^* = h_{ab}/360 = 0.527$

Daten für jede Farbe:

lab^*tch^* und lab^*icu^*

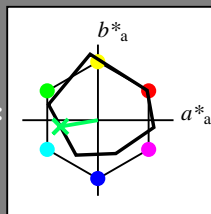
Bunttontexte:

$u^*_e = g25b$ $u^*_d = l36c$

Kontrastreduzierungsfaktor:

$c_R = 1.0$

Dreiecks-Helligkeit i^*



ORS19_96a; adaptierte CIELAB-Daten

u^*_e	$L^*=L^*_a$	a^*_a	b^*_a	$C^*_{ab,a}$	$h^*_{ab,a}$
O _{Ma}	48.75	65.07	39.43	76.08	31
Y _{Ma}	90.92	-10.29	87.24	87.85	97
L _{Ma}	52.69	-65.44	20.75	68.65	162
C _{Ma}	59.61	-28.98	-46.22	54.56	238
V _{Ma}	28.39	23.63	-44.13	50.06	298
M _{Ma}	49.58	73.93	-9.56	74.55	353
N _{Ma}	18.89	0.0	0.0	0.0	0
W _{Ma}	96.9	0.0	0.0	0.0	0
R _{Ma}	39.92	58.74	27.99	65.07	25
J _{Ma}	81.26	-2.89	71.56	71.62	92
G _{Ma}	52.23	-42.42	13.6	44.55	162
B _{Ma}	30.57	1.41	-46.47	46.49	272

Daten für Maximalfarbe (Ma):

$LAB^*LAB^*_{Ma}$: 56 -50 -8

$LAB^*LCH^*_{Ma}$: 56 50 189

$lab^*rgb^*_{Ma}$: 0.0 1.0 0.5

$lab^*olv^*_{Ma}$: 0.0 1.0 0.36

Dreiecks-Helligkeit i^*

%Umfang

$u^*_{rel} = 89$

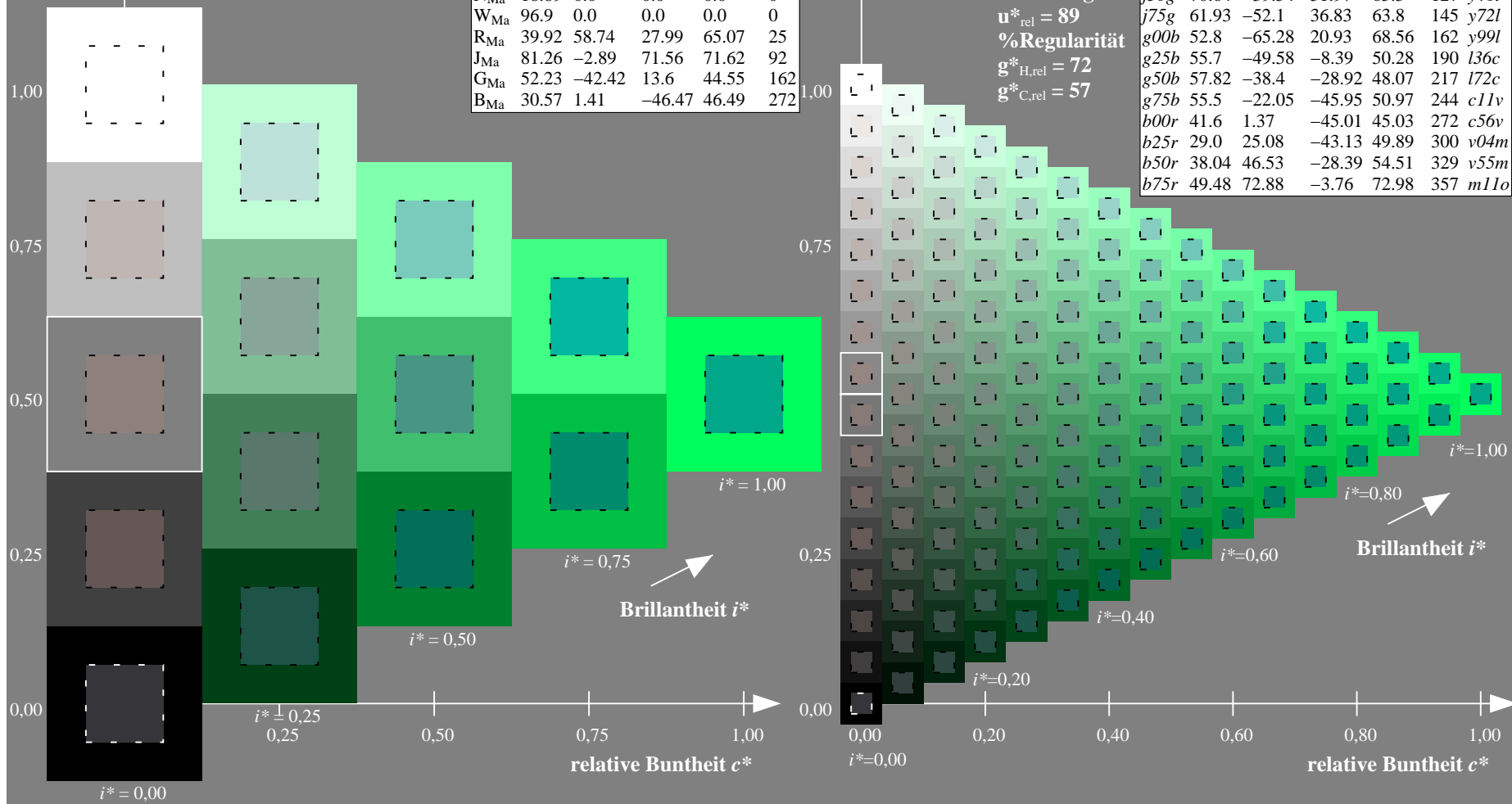
%Regularität

$g^*_{H,rel} = 72$

$g^*_{C,rel} = 57$

ORS19_96a; adaptierte CIELAB-Daten

u^*_e	$L^*=L^*_a$	a^*_a	b^*_a	$C^*_{ab,a}$	$h^*_{ab,a}$	u^*_d
r00j	48.88	66.47	31.67	73.63	25	m84o
r25j	55.85	52.39	47.48	70.7	42	o17y
r50j	65.45	35.22	58.37	68.17	59	o42y
r75j	75.19	17.82	69.41	71.66	76	o67y
j00g	87.03	-3.35	82.83	82.9	92	o92y
j25g	80.72	-25.01	69.5	73.86	110	y20l
j50g	70.64	-39.54	51.97	65.3	127	y46l
j75g	61.93	-52.1	36.83	63.8	145	y72l
g00b	52.8	-65.28	20.93	68.56	162	y99l
g25b	55.7	-49.58	-8.39	50.28	190	l36c
g50b	57.82	-38.4	-28.92	48.07	217	l72c
g75b	55.5	-22.05	-45.95	50.97	244	c11v
b00r	41.6	1.37	-45.01	45.03	272	c56v
b25r	29.0	25.08	-43.13	49.89	300	v04m
b50r	38.04	46.53	-28.39	54.51	329	v55m
b75r	49.48	72.88	-3.76	72.98	357	m11o



Ein und Ausgabe: Farbmetrisches Drucker-Reflektiv-System ORS19_96a für relativen CIELAB-Buntton $h^* = lab^*h^* = h_{ab}/360 = 0.603$

Daten für jede Farbe:

lab^*ch^* und lab^*icu^*

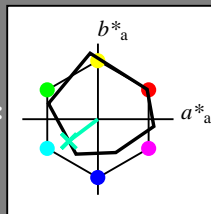
Bunttontexte:

$u^*_e = g50b$ $u^*_d = l72c$

Kontrastreduzierungsfaktor:

$c_R = 1.0$

Dreiecks-Helligkeit i^*



ORS19_96a; adaptierte CIELAB-Daten

u^*_e	$L^*=L^*_a$	a^*_a	b^*_a	$C^*_{ab,a}$	$h^*_{ab,a}$
O _{Ma}	48.75	65.07	39.43	76.08	31
Y _{Ma}	90.92	-10.29	87.24	87.85	97
L _{Ma}	52.69	-65.44	20.75	68.65	162
C _{Ma}	59.61	-28.98	-46.22	54.56	238
V _{Ma}	28.39	23.63	-44.13	50.06	298
M _{Ma}	49.58	73.93	-9.56	74.55	353
N _{Ma}	18.89	0.0	0.0	0.0	0
W _{Ma}	96.9	0.0	0.0	0.0	0
R _{Ma}	39.92	58.74	27.99	65.07	25
J _{Ma}	81.26	-2.89	71.56	71.62	92
G _{Ma}	52.23	-42.42	13.6	44.55	162
B _{Ma}	30.57	1.41	-46.47	46.49	272

Daten für Maximalfarbe (Ma):

$LAB^*LAB^*_{Ma}$: 58 -38 -29

$LAB^*LCH^*_{Ma}$: 58 48 216

$lab^*rgb^*_{Ma}$: 0.0 1.0 1.0

$lab^*olv^*_{Ma}$: 0.0 1.0 0.72

Dreiecks-Helligkeit i^*

%Umfang

$u^*_{rel} = 89$

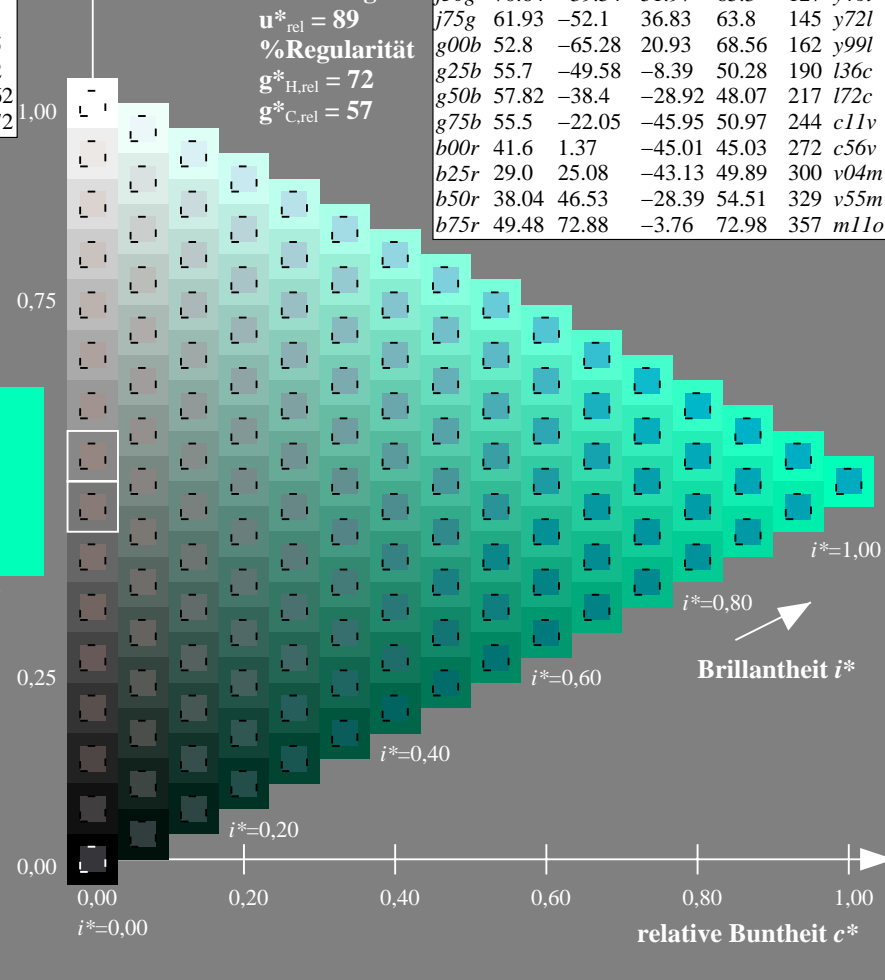
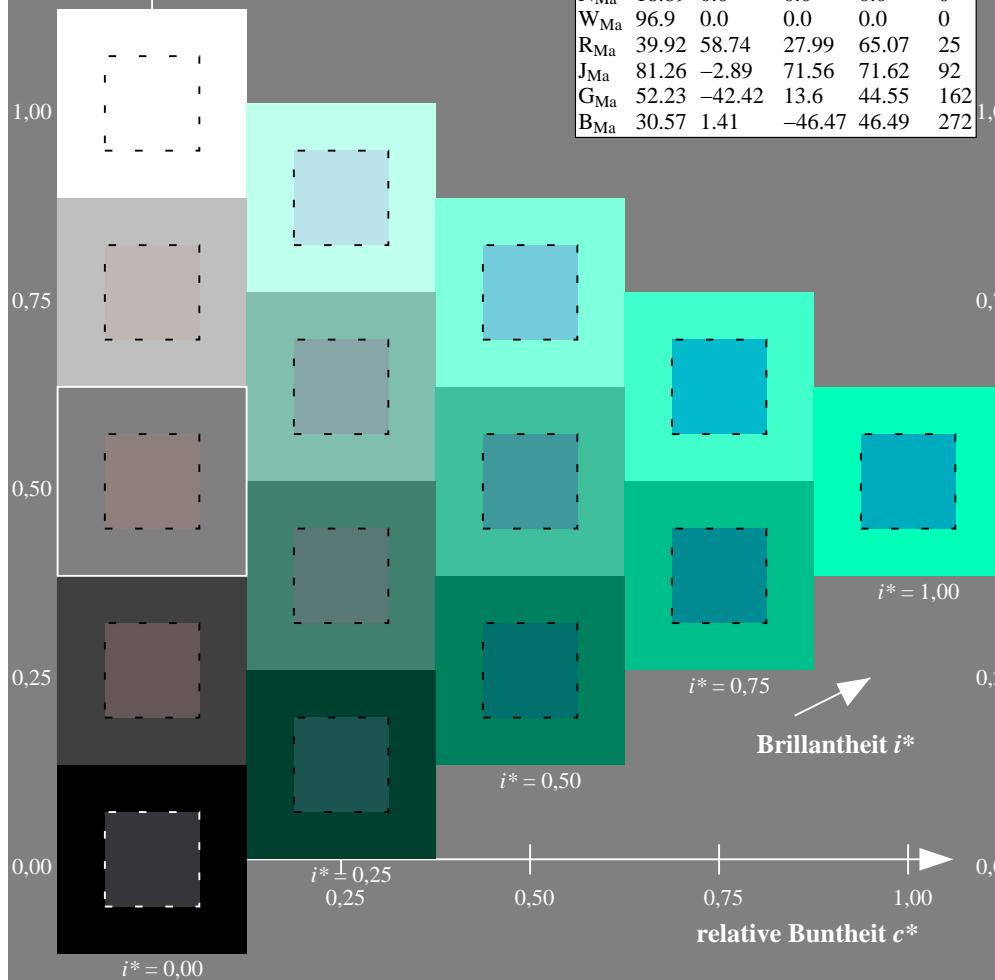
%Regularität

$g^*_{H,rel} = 72$

$g^*_{C,rel} = 57$

ORS19_96a; adaptierte CIELAB-Daten

u^*_e	$L^*=L^*_a$	a^*_a	b^*_a	$C^*_{ab,a}$	$h^*_{ab,a}$	u^*_d
r00j	48.88	66.47	31.67	73.63	25	m84o
r25j	55.85	52.39	47.48	70.7	42	o17y
r50j	65.45	35.22	58.37	68.17	59	o42y
r75j	75.19	17.82	69.41	71.66	76	o67y
j00g	87.03	-3.35	82.83	82.9	92	o92y
j25g	80.72	-25.01	69.5	73.86	110	y20l
j50g	70.64	-39.54	51.97	65.3	127	y46l
j75g	61.93	-52.1	36.83	63.8	145	y72l
g00b	52.8	-65.28	20.93	68.56	162	y99l
g25b	55.7	-49.58	-8.39	50.28	190	l36c
g50b	57.82	-38.4	-28.92	48.07	217	l72c
g75b	55.5	-22.05	-45.95	50.97	244	c11v
b00r	41.6	1.37	-45.01	45.03	272	c56v
b25r	29.0	25.08	-43.13	49.89	300	v04m
b50r	38.04	46.53	-28.39	54.51	329	v55m
b75r	49.48	72.88	-3.76	72.98	357	m11o



Ein und Ausgabe: Farbmetrisches Drucker-Reflektiv-System ORS19_96a für relativen CIELAB-Buntton $h^* = lab^*h^* = h_{ab}/360 = 0.679$

Daten für jede Farbe:

lab^*ch^* und lab^*icu^*

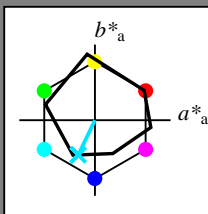
Bunttontexte:

$u^*_e = g75b$ $u^*_d = c11v$

Kontrastreduzierungsfaktor:

$c_R = 1.0$

Dreiecks-Helligkeit i^*



ORS19_96a; adaptierte CIELAB-Daten

u^*_e	$L^*=L^*_a$	a^*_a	b^*_a	$C^*_{ab,a}$	$h^*_{ab,a}$
O _{Ma}	48.75	65.07	39.43	76.08	31
Y _{Ma}	90.92	-10.29	87.24	87.85	97
L _{Ma}	52.69	-65.44	20.75	68.65	162
C _{Ma}	59.61	-28.98	-46.22	54.56	238
V _{Ma}	28.39	23.63	-44.13	50.06	298
M _{Ma}	49.58	73.93	-9.56	74.55	353
N _{Ma}	18.89	0.0	0.0	0.0	0
W _{Ma}	96.9	0.0	0.0	0.0	0
R _{Ma}	39.92	58.74	27.99	65.07	25
J _{Ma}	81.26	-2.89	71.56	71.62	92
G _{Ma}	52.23	-42.42	13.6	44.55	162
B _{Ma}	30.57	1.41	-46.47	46.49	272

Daten für Maximalfarbe (Ma):

$LAB^*LAB^*_{Ma}$: 55 -22 -46

$LAB^*LCH^*_{Ma}$: 55 51 244

$lab^*rgb^*_{Ma}$: 0.0 0.5 1.0

$lab^*olv^*_{Ma}$: 0.0 0.89 1.0

Dreiecks-Helligkeit i^*

%Umfang

$u^*_{rel} = 89$

%Regularität

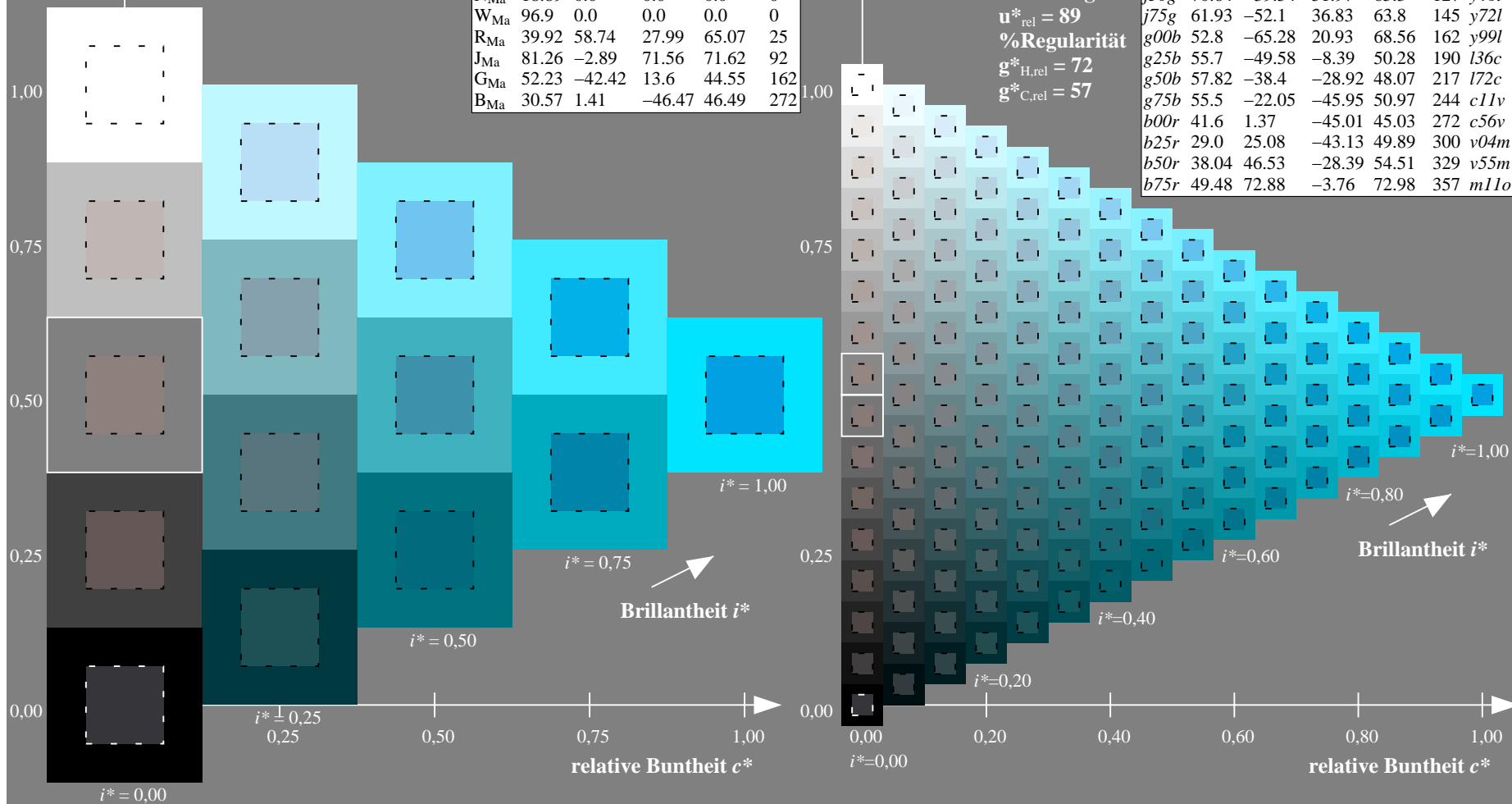
$g^*_{H,rel} = 72$

$g^*_{C,rel} = 57$

ORS19_96a; adaptierte CIELAB-Daten

u^*_e	$L^*=L^*_a$	a^*_a	b^*_a	$C^*_{ab,a}$	$h^*_{ab,a}$	u^*_d
r00j	48.88	66.47	31.67	73.63	25	m84o
r25j	55.85	52.39	47.48	70.7	42	o17y
r50j	65.45	35.22	58.37	68.17	59	o42y
r75j	75.19	17.82	69.41	71.66	76	o67y
j00g	87.03	-3.35	82.83	82.9	92	o92y
j25g	80.72	-25.01	69.5	73.86	110	y20l
j50g	70.64	-39.54	51.97	65.3	127	y46l
j75g	61.93	-52.1	36.83	63.8	145	y72l
g00b	52.8	-65.28	20.93	68.56	162	y99l
g25b	55.7	-49.58	-8.39	50.28	190	l36c
g50b	57.82	-38.4	-28.92	48.07	217	l72c
g75b	55.5	-22.05	-45.95	50.97	244	c11v
b00r	41.6	1.37	-45.01	45.03	272	c56v
b25r	29.0	25.08	-43.13	49.89	300	v04m
b50r	38.04	46.53	-28.39	54.51	329	v55m
b75r	49.48	72.88	-3.76	72.98	357	m11o

$u^*_e = g75b$



Ein und Ausgabe: Farbmétrisches Drucker-Reflektiv-System ORS19_96a für relativen CIELAB-Buntton $h^* = lab^*h^* = h_{ab}/360 = 0.755$

Daten für jede Farbe:

*lab*tch** und *lab*icu**

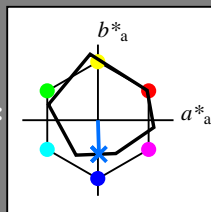
Bunttexte:

$$u^*_e = b00r \quad u^*_d = c56v$$

Kontrastreduzierungsfaktor:

$$c_{\mathbf{R}} = 1.0$$

K Dreiecks-Helligkeit t^*



ORS19 96a; adaptierte CIELAB-Daten						
u_e^*	$L^*=L_a^*$	a_a^*	b_a^*	$C^*_{ab,a}$	$h^*_{ab,a}$	
O _{Ma}	48.75	65.07	39.43	76.08	31	
Y _{Ma}	90.92	-10.29	87.24	87.85	97	
L _{Ma}	52.69	-65.44	20.75	68.65	162	
C _{Ma}	59.61	-28.98	-46.22	54.56	238	
V _{Ma}	28.39	23.63	-44.13	50.06	298	
M _{Ma}	49.58	73.93	-9.56	74.55	353	
N _{Ma}	18.89	0.0	0.0	0.0	0	
W _{Ma}	96.9	0.0	0.0	0.0	0	
R _{Ma}	39.92	58.74	27.99	65.07	25	
J _{Ma}	81.26	-2.89	71.56	71.62	92	
G _{Ma}	52.23	-42.42	13.6	44.55	162	
B _{Ma}	30.57	1.41	-46.47	46.49	272	

Daten für Maximalfarbe (Ma):

*LAB*LAB**M₂: 42 1 -45

*LAB*LCH**M₃: 42 45 271

lab⁺LCH*_{Ma}*: 42 45 27

lab*rgb*Ma: 0.0 0.0 1.0

***lab*olv**Ma: 0.0 0.44 1.0**

Dreiecks-Helligkeit t^*

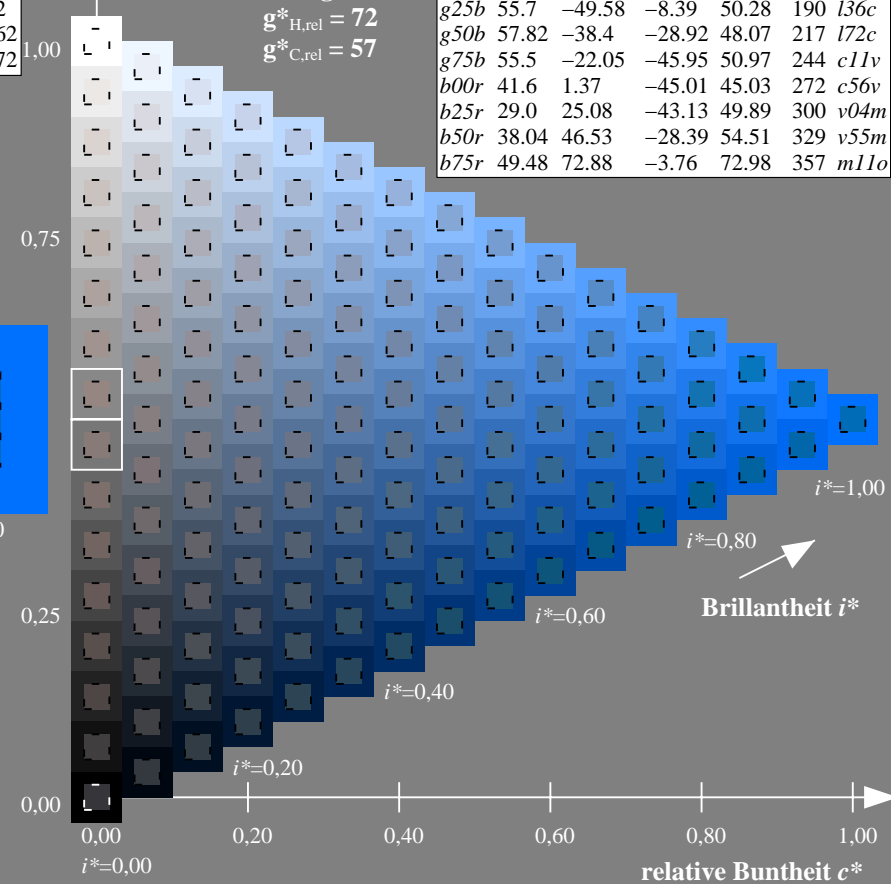
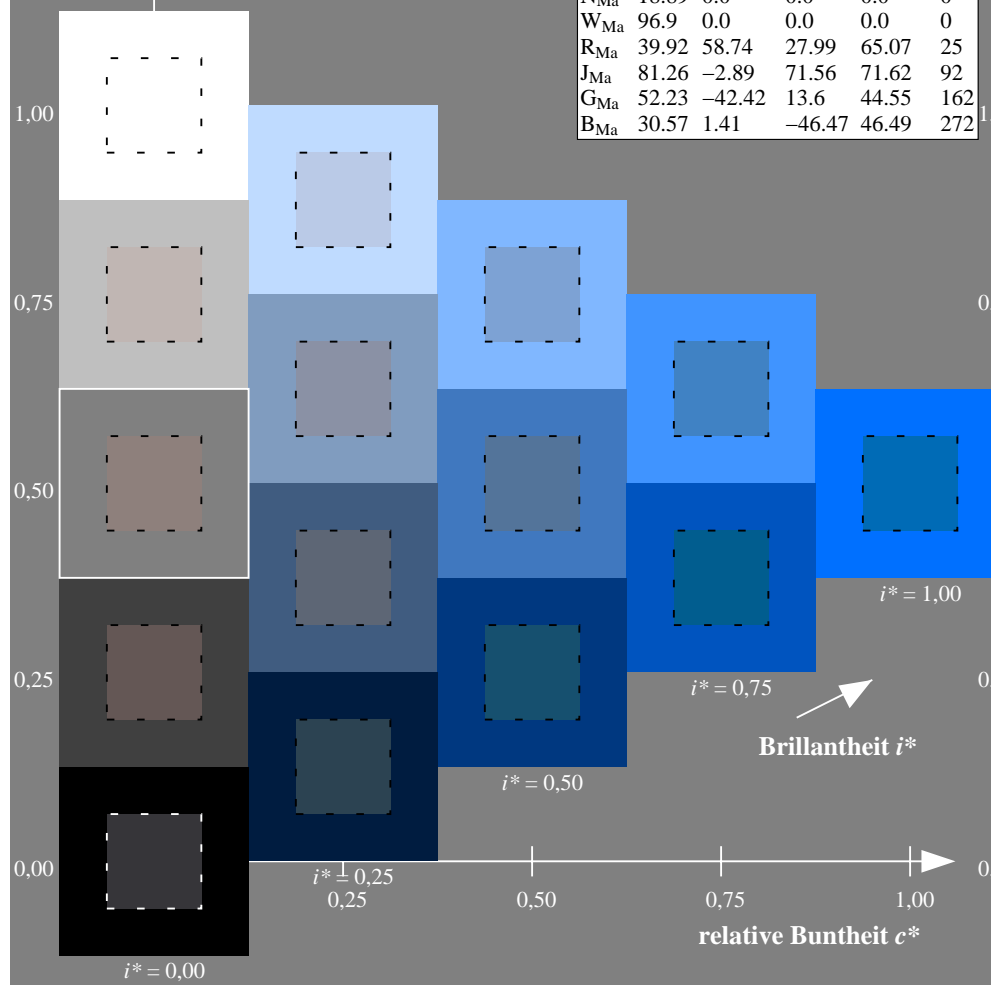
%Umfang

$$\mathbf{u}_{\text{rel}}^* = 89$$

%Regularität

$$g^*_{H,rel} = 72$$
$$g^*_{C,rel} = 57$$

ORS19_96a; adaptierte CIELAB-Daten							
u_e^*	$L^*=L_a^*$	a_a^*	b_a^*	$C_{ab,a}^*$	$h_{ab,a}^*$	u_d^*	
<i>r00j</i>	48.88	66.47	31.67	73.63	25	<i>m84o</i>	
<i>r25j</i>	55.85	52.39	47.48	70.7	42	<i>o17y</i>	
<i>r50j</i>	65.45	35.22	58.37	68.17	59	<i>o42y</i>	
<i>r75j</i>	75.19	17.82	69.41	71.66	76	<i>o67y</i>	
<i>j00g</i>	87.03	-3.35	82.83	82.9	92	<i>o92y</i>	
<i>j25g</i>	80.72	-25.01	69.5	73.86	110	<i>y20l</i>	
<i>j50g</i>	70.64	-39.54	51.97	65.3	127	<i>y46l</i>	
<i>j75g</i>	61.93	-52.1	36.83	63.8	145	<i>y72l</i>	
<i>g00b</i>	52.8	-65.28	20.93	68.56	162	<i>y99l</i>	
<i>g25b</i>	55.7	-49.58	-8.39	50.28	190	<i>l36c</i>	
<i>g50b</i>	57.82	-38.4	-28.92	48.07	217	<i>l72c</i>	
<i>g75b</i>	55.5	-22.05	-45.95	50.97	244	<i>c11v</i>	
<i>b00r</i>	41.6	1.37	-45.01	45.03	272	<i>c56v</i>	
<i>b25r</i>	29.0	25.08	-43.13	49.89	300	<i>v04m</i>	
<i>b50r</i>	38.04	46.53	-28.39	54.51	329	<i>v55m</i>	
<i>b75r</i>	49.48	72.88	-3.76	72.98	357	<i>m11o</i>	



Ein und Ausgabe: Farbmetrisches Drucker-Reflektiv-System ORS19_96a für relativen CIELAB-Buntton $h^* = lab^*h^* = h_{ab}/360 = 0.913$

Daten für jede Farbe:

lab^*ch^* und lab^*icu^*

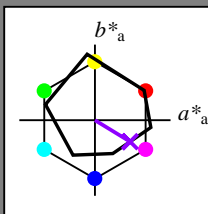
Bunttontexte:

$u^*_e = b50r$ $u^*_d = v55m$

Kontrastreduzierungsfaktor:

$c_R = 1.0$

Dreiecks-Helligkeit i^*



ORS19_96a; adaptierte CIELAB-Daten

u^*_e	$L^*=L^*_a$	a^*_a	b^*_a	$C^*_{ab,a}$	$h^*_{ab,a}$
O _{Ma}	48.75	65.07	39.43	76.08	31
Y _{Ma}	90.92	-10.29	87.24	87.85	97
L _{Ma}	52.69	-65.44	20.75	68.65	162
C _{Ma}	59.61	-28.98	-46.22	54.56	238
V _{Ma}	28.39	23.63	-44.13	50.06	298
M _{Ma}	49.58	73.93	-9.56	74.55	353
N _{Ma}	18.89	0.0	0.0	0.0	0
W _{Ma}	96.9	0.0	0.0	0.0	0
R _{Ma}	39.92	58.74	27.99	65.07	25
J _{Ma}	81.26	-2.89	71.56	71.62	92
G _{Ma}	52.23	-42.42	13.6	44.55	162
B _{Ma}	30.57	1.41	-46.47	46.49	272

Daten für Maximalfarbe (Ma):

$LAB^*LAB^*_{Ma}$: 38 47 -28

$LAB^*LCH^*_{Ma}$: 38 55 328

$lab^*rgb^*_{Ma}$: 1.0 0.0 1.0

$lab^*olv^*_{Ma}$: 0.56 0.0 1.0

Dreiecks-Helligkeit i^*

%Umfang

$u^*_{rel} = 89$

%Regularität

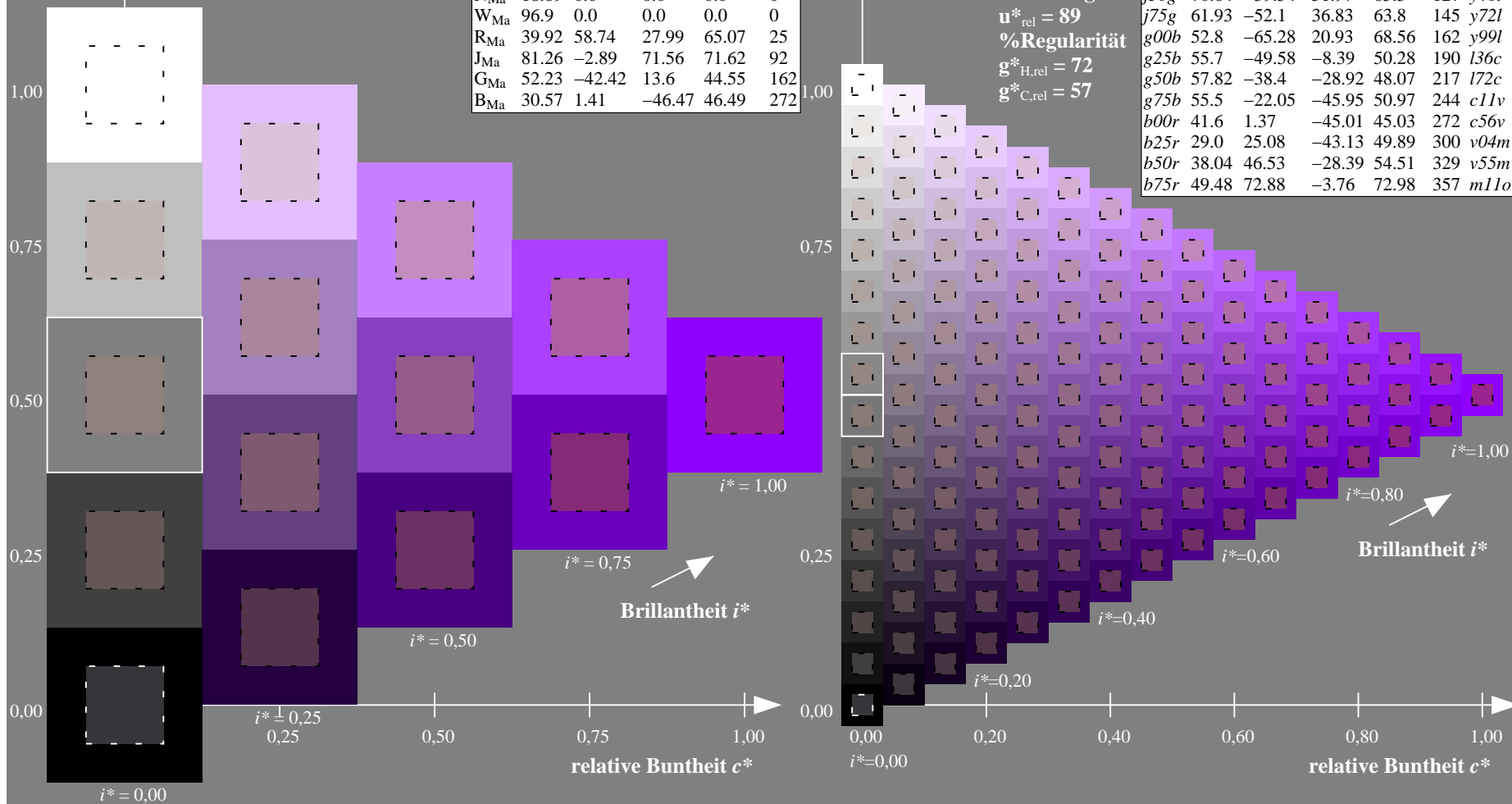
$g^*_{H,rel} = 72$

$g^*_{C,rel} = 57$

ORS19_96a; adaptierte CIELAB-Daten

u^*_e	$L^*=L^*_a$	a^*_a	b^*_a	$C^*_{ab,a}$	$h^*_{ab,a}$	u^*_d
r00j	48.88	66.47	31.67	73.63	25	m84o
r25j	55.85	52.39	47.48	70.7	42	o17y
r50j	65.45	35.22	58.37	68.17	59	o42y
r75j	75.19	17.82	69.41	71.66	76	o67y
j00g	87.03	-3.35	82.83	82.9	92	o92y
j25g	80.72	-25.01	69.5	73.86	110	y20l
j50g	70.64	-39.54	51.97	65.3	127	y46l
j75g	61.93	-52.1	36.83	63.8	145	y72l
g00b	52.8	-65.28	20.93	68.56	162	y99l
g25b	55.7	-49.58	-8.39	50.28	190	l36c
g50b	57.82	-38.4	-28.92	48.07	217	l72c
g75b	55.5	-22.05	-45.95	50.97	244	c11v
b00r	41.6	1.37	-45.01	45.03	272	c56v
b25r	29.0	25.08	-43.13	49.89	300	v04m
b50r	38.04	46.53	-28.39	54.51	329	v55m
b75r	49.48	72.88	-3.76	72.98	357	m11o

$u^*_e = b50r$



Ein und Ausgabe: Farbmetrisches Drucker-Reflektiv-System ORS19_96a für relativen CIELAB-Buntton $h^* = lab^*h^* = h_{ab}/360 = 0.992$

Daten für jede Farbe:

lab^*ch^* und lab^*icu^*

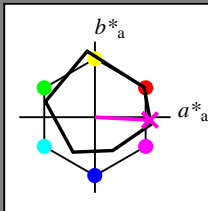
Bunttontexte:

$u^*_e = b75r$ $u^*_d = m11o$

Kontrastreduzierungsfaktor:

$c_R = 1.0$

Dreiecks-Helligkeit i^*



ORS19_96a; adaptierte CIELAB-Daten

u^*_e	$L^*=L^*_a$	a^*_a	b^*_a	$C^*_{ab,a}$	$h^*_{ab,a}$
O _{Ma}	48.75	65.07	39.43	76.08	31
Y _{Ma}	90.92	-10.29	87.24	87.85	97
L _{Ma}	52.69	-65.44	20.75	68.65	162
C _{Ma}	59.61	-28.98	-46.22	54.56	238
V _{Ma}	28.39	23.63	-44.13	50.06	298
M _{Ma}	49.58	73.93	-9.56	74.55	353
N _{Ma}	18.89	0.0	0.0	0.0	0
W _{Ma}	96.9	0.0	0.0	0.0	0
R _{Ma}	39.92	58.74	27.99	65.07	25
J _{Ma}	81.26	-2.89	71.56	71.62	92
G _{Ma}	52.23	-42.42	13.6	44.55	162
B _{Ma}	30.57	1.41	-46.47	46.49	272

Daten für Maximalfarbe (Ma):

$LAB^*LAB^*_{Ma}$: 49 73 -4

$LAB^*LCH^*_{Ma}$: 49 73 357

$lab^*rgb^*_{Ma}$: 1.0 0.0 0.5

$lab^*olv^*_{Ma}$: 1.0 0.0 0.89

Dreiecks-Helligkeit i^*

%Umfang

$u^*_{rel} = 89$

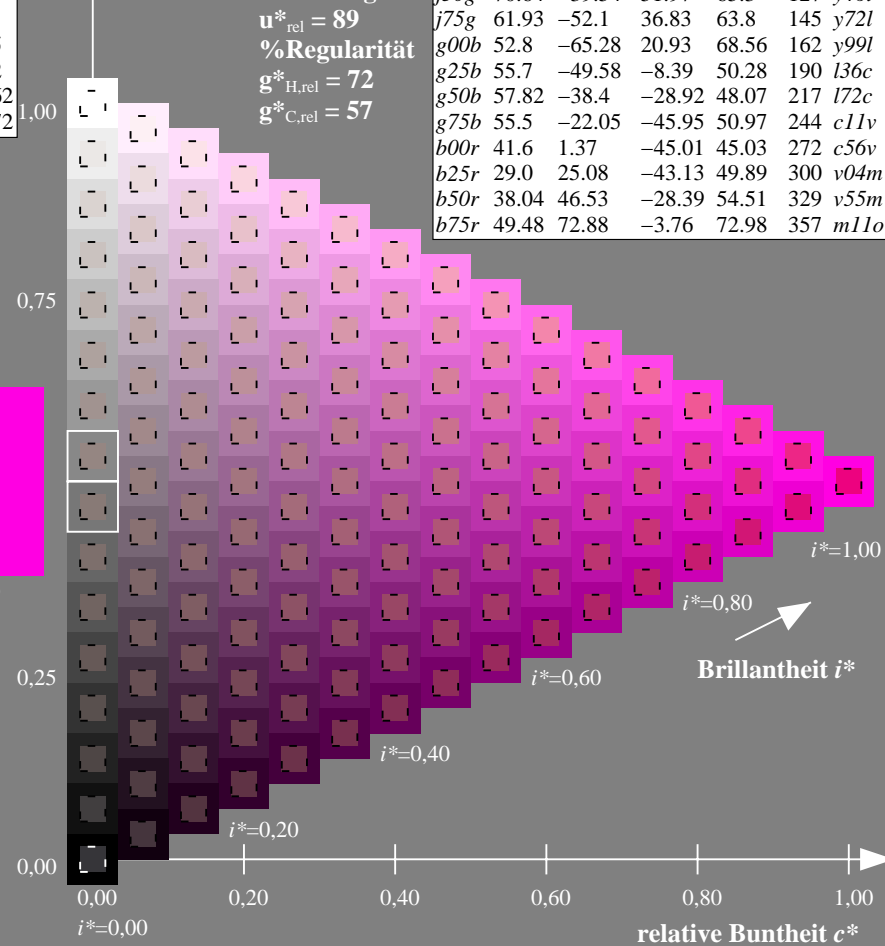
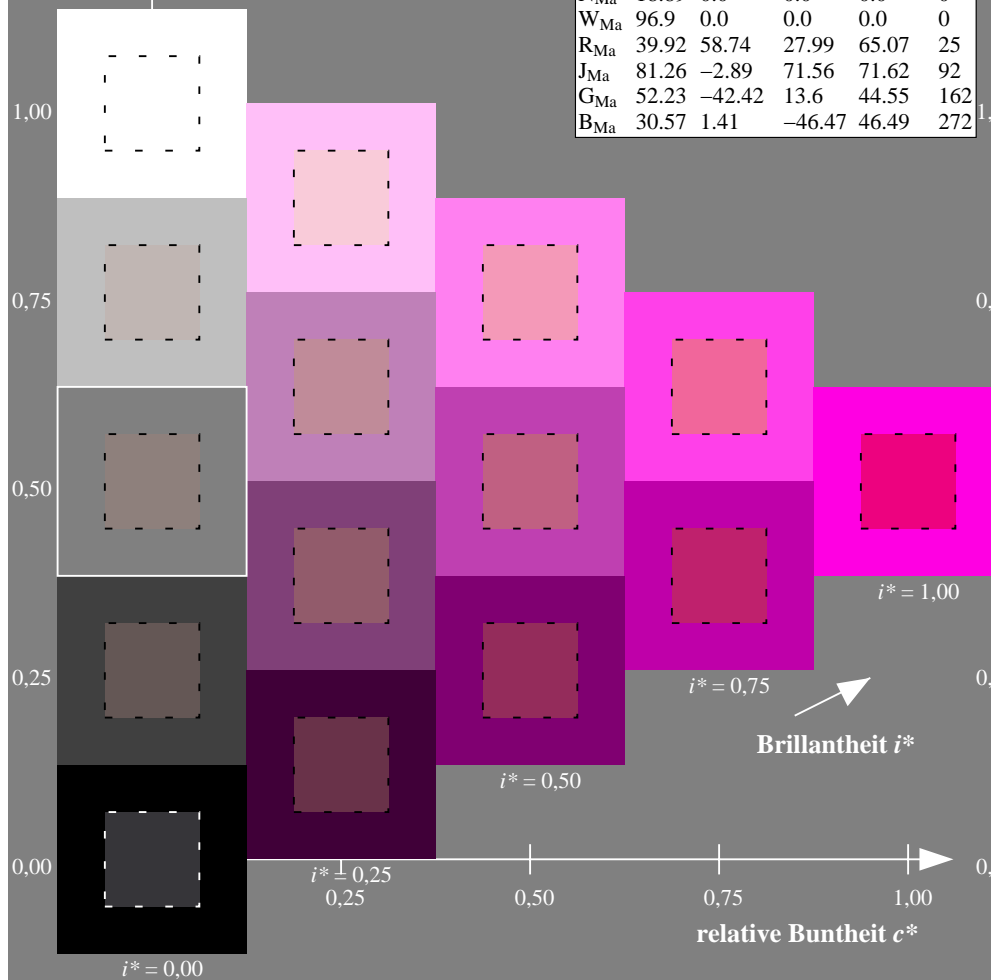
%Regularität

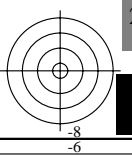
$g^*_{H,rel} = 72$

$g^*_{C,rel} = 57$

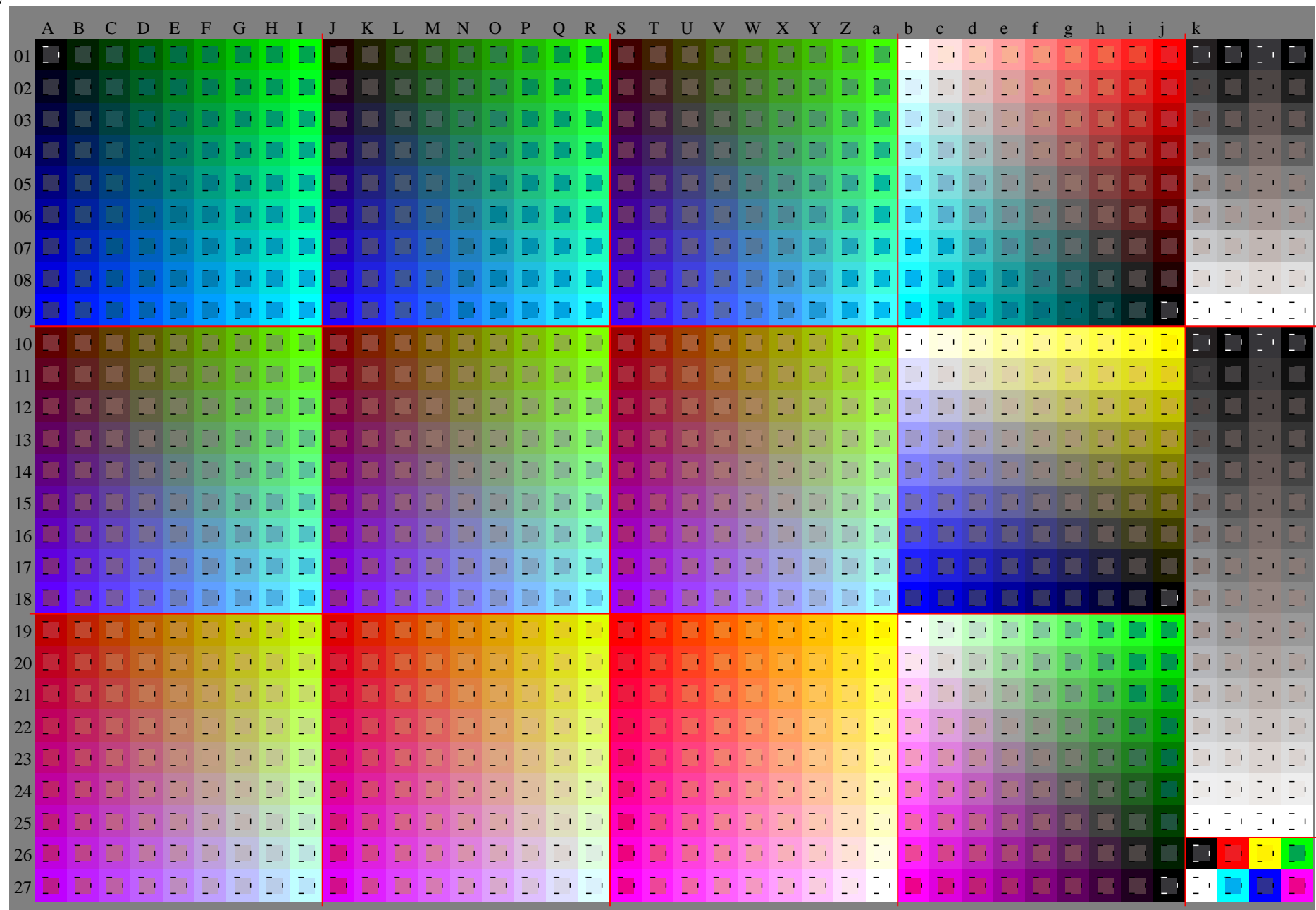
ORS19_96a; adaptierte CIELAB-Daten

u^*_e	$L^*=L^*_a$	a^*_a	b^*_a	$C^*_{ab,a}$	$h^*_{ab,a}$	u^*_d
r00j	48.88	66.47	31.67	73.63	25	m84o
r25j	55.85	52.39	47.48	70.7	42	o17y
r50j	65.45	35.22	58.37	68.17	59	o42y
r75j	75.19	17.82	69.41	71.66	76	o67y
j00g	87.03	-3.35	82.83	82.9	92	o92y
j25g	80.72	-25.01	69.5	73.86	110	y20l
j50g	70.64	-39.54	51.97	65.3	127	y46l
j75g	61.93	-52.1	36.83	63.8	145	y72l
g00b	52.8	-65.28	20.93	68.56	162	y99l
g25b	55.7	-49.58	-8.39	50.28	190	l36c
g50b	57.82	-38.4	-28.92	48.07	217	l72c
g75b	55.5	-22.05	-45.95	50.97	244	c11v
b00r	41.6	1.37	-45.01	45.03	272	c56v
b25r	29.0	25.08	-43.13	49.89	300	v04m
b50r	38.04	46.53	-28.39	54.51	329	v55m
b75r	49.48	72.88	-3.76	72.98	357	m11o





BAM-Prüfvorlage Eg38; Farbmatrik-Systeme, Seite 18/198 Eingabe: 000n / w / nnn0 / www set...
D65: Farbreihen, Datentabellen für 16 Bunttöne r00j bis b75r Ausgabe: keine Eingabeänderung

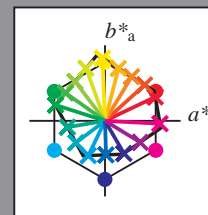


Ein und Ausgabe:
Farbmetrisches Drucker-Reflektiv-System ORS19_96a
Daten für jede Farbe:

u^*_e und Nummer $Nr.$ = 00 .. 15
Elementar-Bunttontext:
 $u^*_e = 16$ Bunttoene $r00j, r25j, ..., b75r$
Kontrastreduzierungsfaktor:
 $c_R = 1.0$

ORS19_96a; adaptierte CIELAB-Daten

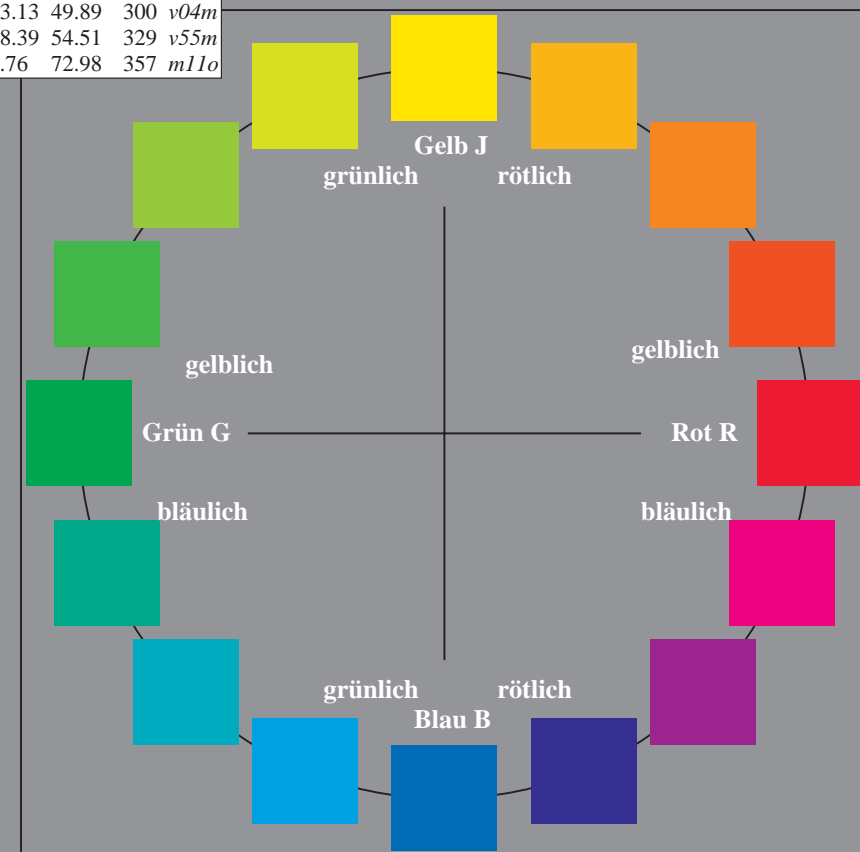
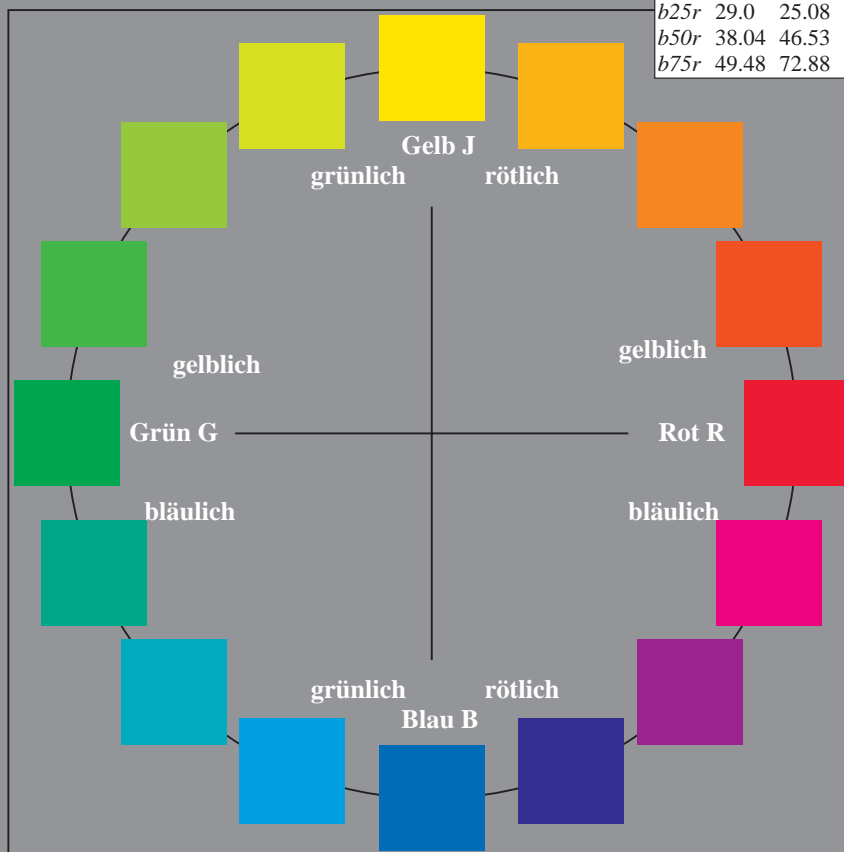
u^*_e	$L^*=L^*_a$	a^*_a	b^*_a	$C^*_{ab,a}$	$h^*_{ab,a}$	u^*_d
$r00j$	48.88	66.47	31.67	73.63	25	$m84o$
$r25j$	55.85	52.39	47.48	70.7	42	$o17y$
$r50j$	65.45	35.22	58.37	68.17	59	$o42y$
$r75j$	75.19	17.82	69.41	71.66	76	$o67y$
$j00g$	87.03	-3.35	82.83	82.9	92	$o92y$
$j25g$	80.72	-25.01	69.5	73.86	110	$y20l$
$j50g$	70.64	-39.54	51.97	65.3	127	$y46l$
$j75g$	61.93	-52.1	36.83	63.8	145	$y72l$
$g00b$	52.8	-65.28	20.93	68.56	162	$y99l$
$g25b$	55.7	-49.58	-8.39	50.28	190	$l36c$
$g50b$	57.82	-38.4	-28.92	48.07	217	$l72c$
$g75b$	55.5	-22.05	-45.95	50.97	244	$c11v$
$b00r$	41.6	1.37	-45.01	45.03	272	$c56v$
$b25r$	29.0	25.08	-43.13	49.89	300	$v04m$
$b50r$	38.04	46.53	-28.39	54.51	329	$v55m$
$b75r$	49.48	72.88	-3.76	72.98	357	$m11o$



%Umfang
 $u^*_{rel} = 89$
%Regularität
 $g^*_{H,rel} = 72$
 $g^*_{C,rel} = 57$

ORS19_96a; adaptierte CIELAB-Daten

Name	$L^*=L^*_a$	a^*_a	b^*_a	$C^*_{ab,a}$	$h^*_{ab,a}$
O_{Ma}	48.75	65.07	39.43	76.08	31
Y_{Ma}	90.92	-10.29	87.24	87.85	97
L_{Ma}	52.69	-65.44	20.75	68.65	162
C_{Ma}	59.61	-28.98	-46.22	54.56	238
V_{Ma}	28.39	23.63	-44.13	50.06	298
M_{Ma}	49.58	73.93	-9.56	74.55	353
N_{Ma}	18.89	0.0	0.0	0.0	0
W_{Ma}	96.9	0.0	0.0	0.0	0
R_{CIE}	39.92	58.74	27.99	65.07	25
J_{CIE}	81.26	-2.89	71.56	71.62	92
G_{CIE}	52.23	-42.42	13.6	44.55	162
B_{CIE}	30.57	1.41	-46.47	46.49	272



Ein und Ausgabe: Farbmimetrisches Drucker-Reflektiv-System ORS19_96a für relativen CIELAB-Buntton $h^* = lab^*h^* = h_{ab}/360 = 0.071$

Daten für jede Farbe:

lab^*tch^* und lab^*icu^*

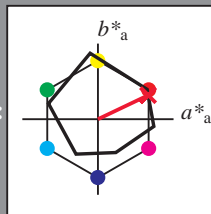
Bunttontexte:

$u^*_e = r00j$ $u^*_d = m84o$

Kontrastreduzierungsfaktor:

$c_R = 1.0$

Dreiecks-Helligkeit i^*



ORS19_96a; adaptierte CIELAB-Daten

u^*_e	$L^*=L^*_a$	a^*_a	b^*_a	$C^*_{ab,a}$	$h^*_{ab,a}$
O _{Ma}	48.75	65.07	39.43	76.08	31
Y _{Ma}	90.92	-10.29	87.24	87.85	97
L _{Ma}	52.69	-65.44	20.75	68.65	162
C _{Ma}	59.61	-28.98	-46.22	54.56	238
V _{Ma}	28.39	23.63	-44.13	50.06	298
M _{Ma}	49.58	73.93	-9.56	74.55	353
N _{Ma}	18.89	0.0	0.0	0.0	0
W _{Ma}	96.9	0.0	0.0	0.0	0
R _{Ma}	39.92	58.74	27.99	65.07	25
J _{Ma}	81.26	-2.89	71.56	71.62	92
G _{Ma}	52.23	-42.42	13.6	44.55	162
B _{Ma}	30.57	1.41	-46.47	46.49	272

Daten für Maximalfarbe (Ma):

$LAB^*LAB^*_{Ma}$: 49 66 32

$LAB^*LCH^*_{Ma}$: 49 74 25

$lab^*rgb^*_{Ma}$: 1.0 0.0 0.0

$lab^*olv^*_{Ma}$: 1.0 0.0 0.15

Dreiecks-Helligkeit i^*

%Umfang

$u^*_{rel} = 89$

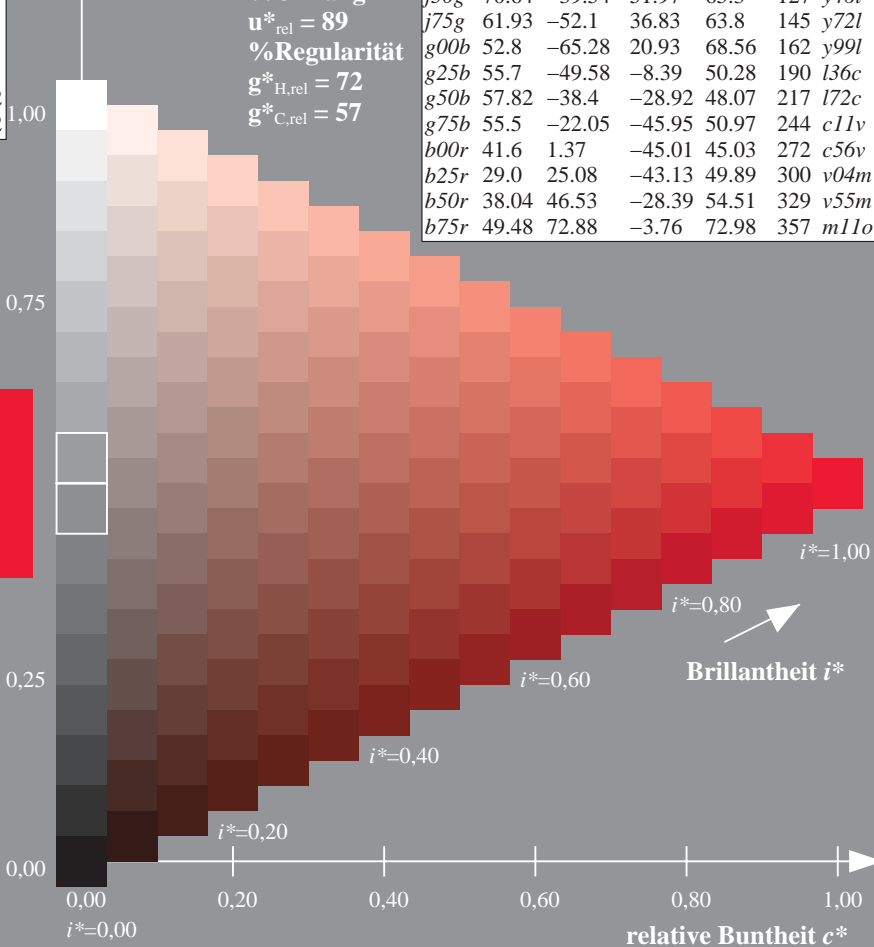
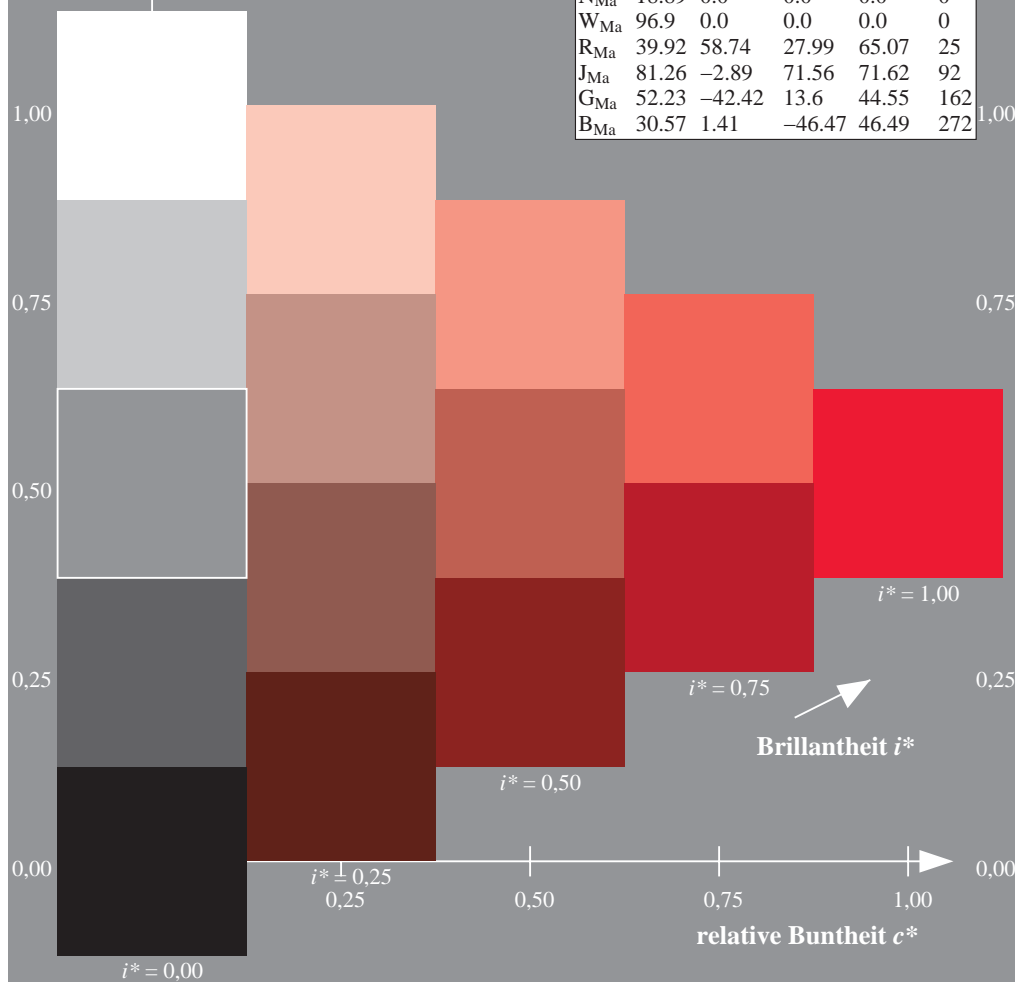
%Regularität

$g^*_{H,rel} = 72$

$g^*_{C,rel} = 57$

ORS19_96a; adaptierte CIELAB-Daten

u^*_e	$L^*=L^*_a$	a^*_a	b^*_a	$C^*_{ab,a}$	$h^*_{ab,a}$	u^*_d
r00j	48.88	66.47	31.67	73.63	25	m84o
r25j	55.85	52.39	47.48	70.7	42	o17y
r50j	65.45	35.22	58.37	68.17	59	o42y
r75j	75.19	17.82	69.41	71.66	76	o67y
j00g	87.03	-3.35	82.83	82.9	92	o92y
j25g	80.72	-25.01	69.5	73.86	110	y20l
j50g	70.64	-39.54	51.97	65.3	127	y46l
j75g	61.93	-52.1	36.83	63.8	145	y72l
g00b	52.8	-65.28	20.93	68.56	162	y99l
g25b	55.7	-49.58	-8.39	50.28	190	l36c
g50b	57.82	-38.4	-28.92	48.07	217	l72c
g75b	55.5	-22.05	-45.95	50.97	244	c11v
b00r	41.6	1.37	-45.01	45.03	272	c56v
b25r	29.0	25.08	-43.13	49.89	300	v04m
b50r	38.04	46.53	-28.39	54.51	329	v55m
b75r	49.48	72.88	-3.76	72.98	357	m11o



Ein und Ausgabe: Farbmimetrisches Drucker-Reflektiv-System ORS19_96a für relativen CIELAB-Buntton $h^* = lab^*h^* = h_{ab}/360 = 0.117$

Daten für jede Farbe:

lab^*tch^* und lab^*icu^*

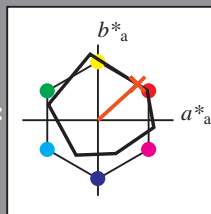
Bunttontexte:

$u^*_e = r25j$ $u^*_d = o17y$

Kontrastreduzierungsfaktor:

$c_R = 1.0$

Dreiecks-Helligkeit i^*



ORS19_96a; adaptierte CIELAB-Daten

u^*_e	$L^*=L^*_a$	a^*_a	b^*_a	$C^*_{ab,a}$	$h^*_{ab,a}$
O _{Ma}	48.75	65.07	39.43	76.08	31
Y _{Ma}	90.92	-10.29	87.24	87.85	97
L _{Ma}	52.69	-65.44	20.75	68.65	162
C _{Ma}	59.61	-28.98	-46.22	54.56	238
V _{Ma}	28.39	23.63	-44.13	50.06	298
M _{Ma}	49.58	73.93	-9.56	74.55	353
N _{Ma}	18.89	0.0	0.0	0.0	0
W _{Ma}	96.9	0.0	0.0	0.0	0
R _{Ma}	39.92	58.74	27.99	65.07	25
J _{Ma}	81.26	-2.89	71.56	71.62	92
G _{Ma}	52.23	-42.42	13.6	44.55	162
B _{Ma}	30.57	1.41	-46.47	46.49	272

Daten für Maximalfarbe (Ma):

$LAB^*LAB^*_{Ma}$: 56 52 47

$LAB^*LCH^*_{Ma}$: 56 71 42

$lab^*rgb^*_{Ma}$: 1.0 0.25 0.0

$lab^*olv^*_{Ma}$: 1.0 0.17 0.0

Dreiecks-Helligkeit i^*

%Umfang

$u^*_{rel} = 89$

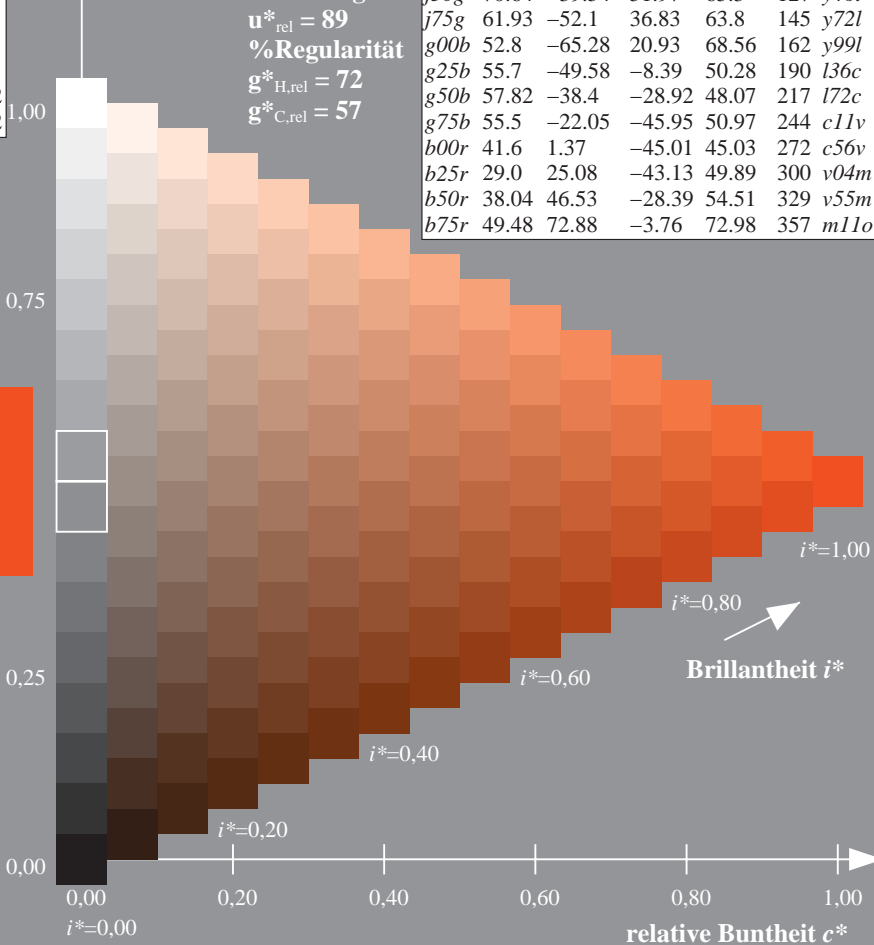
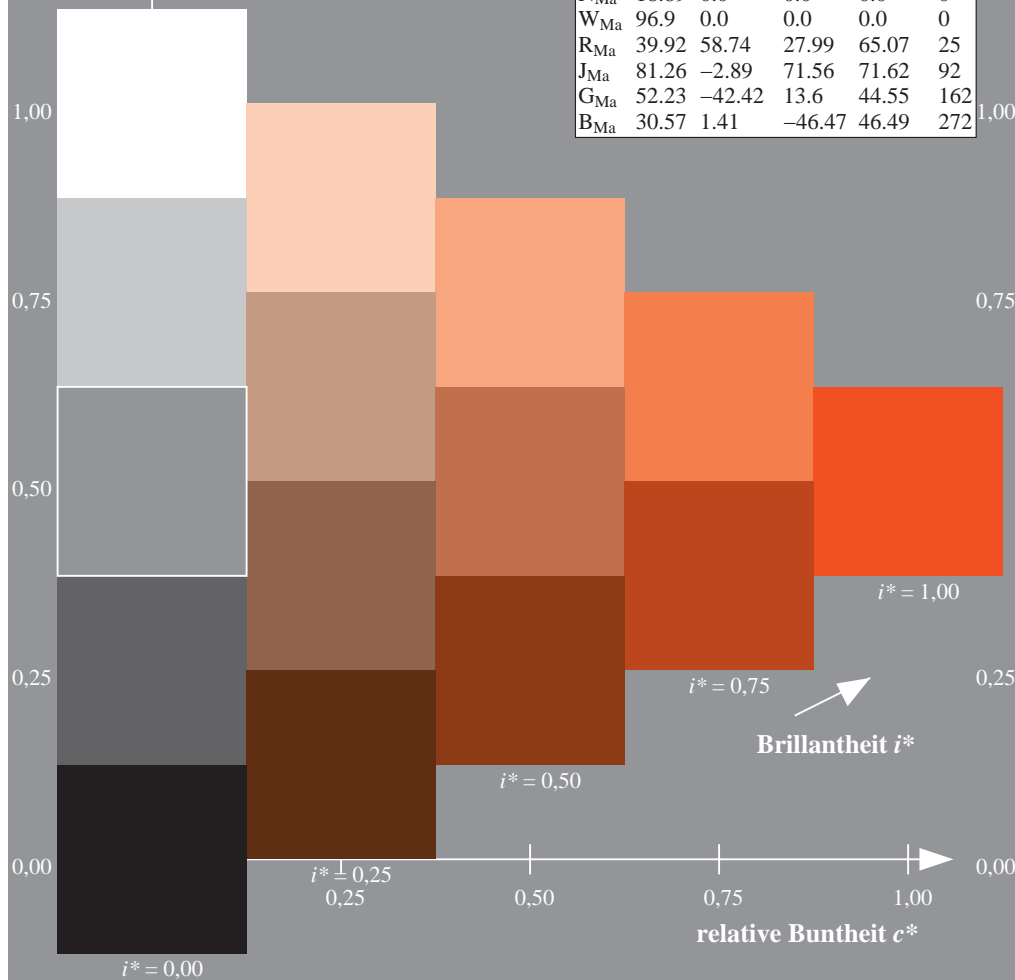
%Regularität

$g^*_{H,rel} = 72$

$g^*_{C,rel} = 57$

ORS19_96a; adaptierte CIELAB-Daten

u^*_e	$L^*=L^*_a$	a^*_a	b^*_a	$C^*_{ab,a}$	$h^*_{ab,a}$	u^*_d
r00j	48.88	66.47	31.67	73.63	25	m84o
r25j	55.85	52.39	47.48	70.7	42	o17y
r50j	65.45	35.22	58.37	68.17	59	o42y
r75j	75.19	17.82	69.41	71.66	76	o67y
j00g	87.03	-3.35	82.83	82.9	92	o92y
j25g	80.72	-25.01	69.5	73.86	110	y20l
j50g	70.64	-39.54	51.97	65.3	127	y46l
j75g	61.93	-52.1	36.83	63.8	145	y72l
g00b	52.8	-65.28	20.93	68.56	162	y99l
g25b	55.7	-49.58	-8.39	50.28	190	l36c
g50b	57.82	-38.4	-28.92	48.07	217	l72c
g75b	55.5	-22.05	-45.95	50.97	244	c11v
b00r	41.6	1.37	-45.01	45.03	272	c56v
b25r	29.0	25.08	-43.13	49.89	300	v04m
b50r	38.04	46.53	-28.39	54.51	329	v55m
b75r	49.48	72.88	-3.76	72.98	357	m11o



Ein und Ausgabe: Farbmimetrisches Drucker-Reflektiv-System ORS19_96a für relativen CIELAB-Buntton $h^* = lab^*h^* = h_{ab}/360 = 0.164$

Daten für jede Farbe:

lab^*tch^* und lab^*icu^*

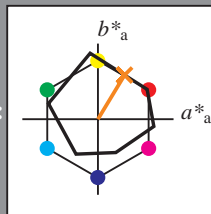
Bunttontexte:

$u^*_e = r50j$ $u^*_d = o42y$

Kontrastreduzierungsfaktor:

$c_R = 1.0$

Dreiecks-Helligkeit i^*



ORS19_96a; adaptierte CIELAB-Daten

	u^*_e	$L^*=L^*_a$	a^*_a	b^*_a	$C^*_{ab,a}$	$h^*_{ab,a}$
O _{Ma}	48.75	65.07	39.43	76.08	31	
Y _{Ma}	90.92	-10.29	87.24	87.85	97	
L _{Ma}	52.69	-65.44	20.75	68.65	162	
C _{Ma}	59.61	-28.98	-46.22	54.56	238	
V _{Ma}	28.39	23.63	-44.13	50.06	298	
M _{Ma}	49.58	73.93	-9.56	74.55	353	
N _{Ma}	18.89	0.0	0.0	0.0	0	
W _{Ma}	96.9	0.0	0.0	0.0	0	
R _{Ma}	39.92	58.74	27.99	65.07	25	
J _{Ma}	81.26	-2.89	71.56	71.62	92	
G _{Ma}	52.23	-42.42	13.6	44.55	162	
B _{Ma}	30.57	1.41	-46.47	46.49	272	

Daten für Maximalfarbe (Ma):

$LAB^*LAB^*_{Ma}$: 65 35 58

$LAB^*LCH^*_{Ma}$: 65 68 58

$lab^*rgb^*_{Ma}$: 1.0 0.5 0.0

$lab^*olv^*_{Ma}$: 1.0 0.42 0.0

Dreiecks-Helligkeit i^*

%Umfang

$u^*_{rel} = 89$

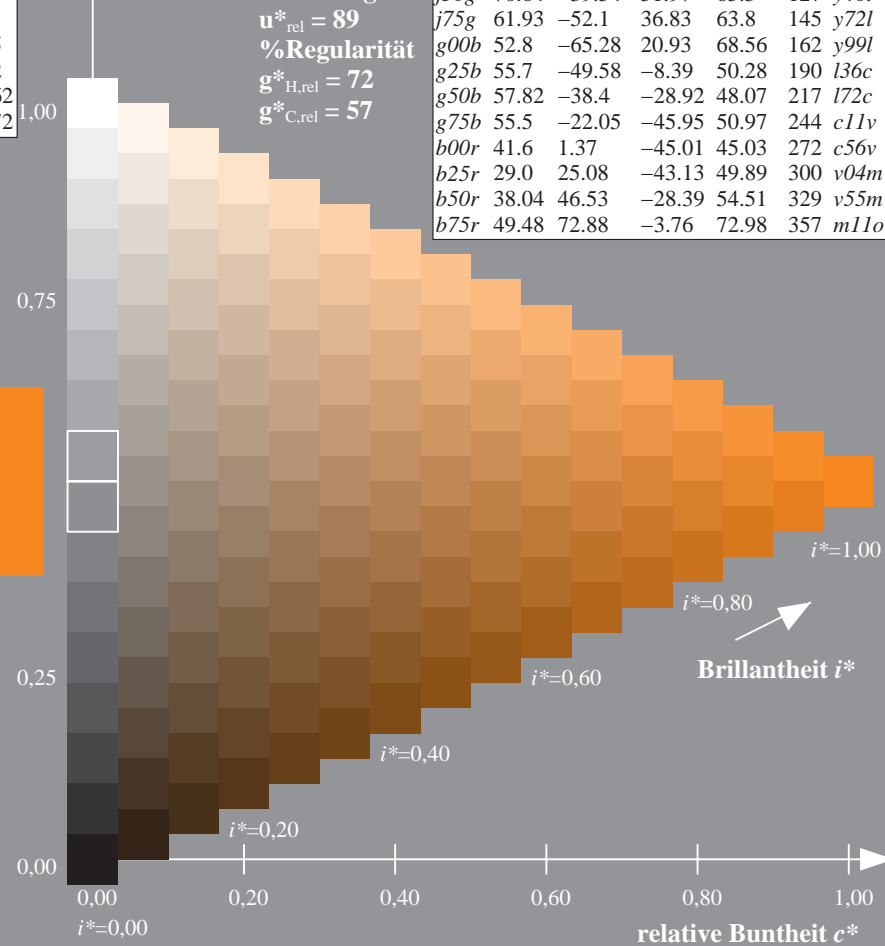
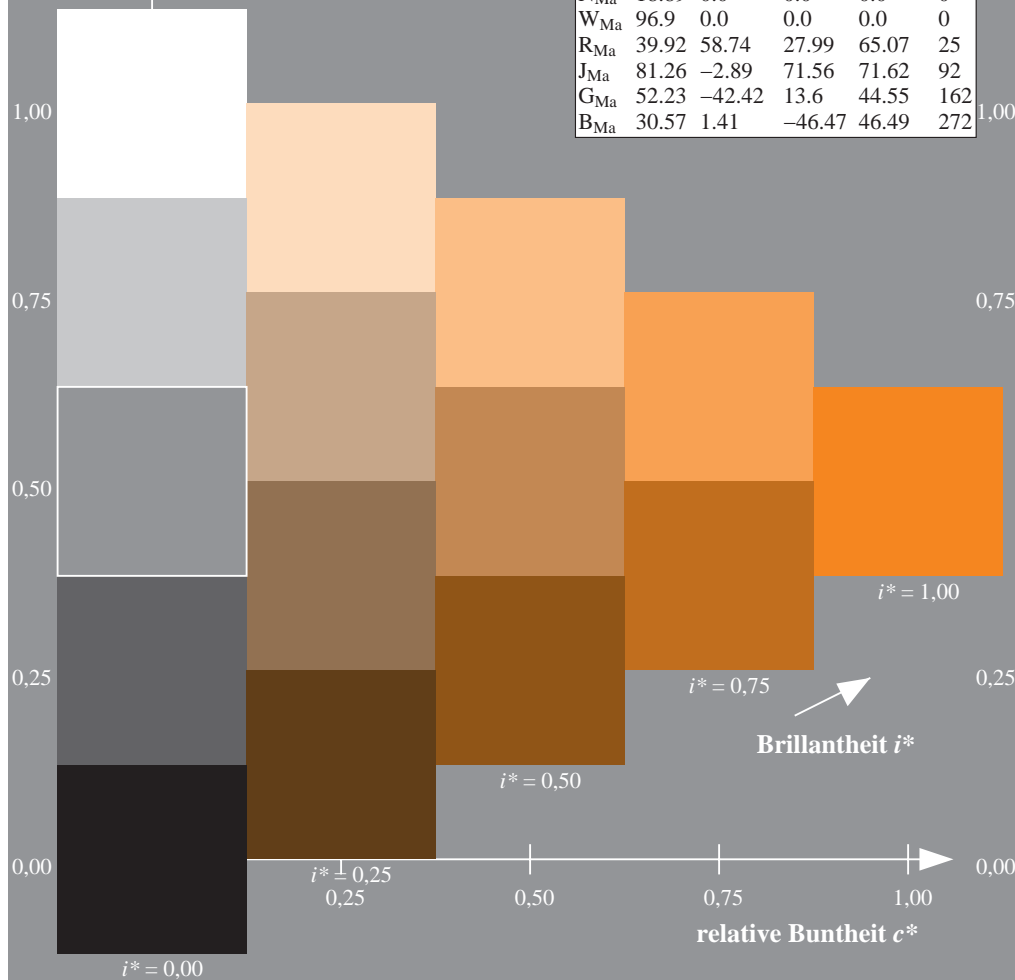
%Regularität

$g^*_{H,rel} = 72$

$g^*_{C,rel} = 57$

ORS19_96a; adaptierte CIELAB-Daten

	u^*_e	$L^*=L^*_a$	a^*_a	b^*_a	$C^*_{ab,a}$	$h^*_{ab,a}$	u^*_d
r00j	48.88	66.47	31.67	73.63	25	m84o	
r25j	55.85	52.39	47.48	70.7	42	o17y	
r50j	65.45	35.22	58.37	68.17	59	o42y	
r75j	75.19	17.82	69.41	71.66	76	o67y	
j00g	87.03	-3.35	82.83	82.9	92	o92y	
j25g	80.72	-25.01	69.5	73.86	110	y20l	
j50g	70.64	-39.54	51.97	65.3	127	y46l	
j75g	61.93	-52.1	36.83	63.8	145	y72l	
g00b	52.8	-65.28	20.93	68.56	162	y99l	
g25b	55.7	-49.58	-8.39	50.28	190	l36c	
g50b	57.82	-38.4	-28.92	48.07	217	l72c	
g75b	55.5	-22.05	-45.95	50.97	244	c11v	
b00r	41.6	1.37	-45.01	45.03	272	c56v	
b25r	29.0	25.08	-43.13	49.89	300	v04m	
b50r	38.04	46.53	-28.39	54.51	329	v55m	
b75r	49.48	72.88	-3.76	72.98	357	m11o	



Ein und Ausgabe: Farbmimetrisches Drucker-Reflektiv-System ORS19_96a für relativen CIELAB-Buntton $h^* = lab^*h^* = h_{ab}/360 = 0.21$

Daten für jede Farbe:

$lab^*_{tch^*}$ und $lab^*_{icu^*}$

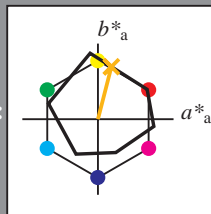
Bunttontexte:

$u^*_e = r75j$ $u^*_d = o67y$

Kontrastreduzierungsfaktor:

$c_R = 1.0$

Dreiecks-Helligkeit i^*



ORS19_96a; adaptierte CIELAB-Daten

u^*_e	$L^*=L^*_a$	a^*_a	b^*_a	$C^*_{ab,a}$	$h^*_{ab,a}$
O _{Ma}	48.75	65.07	39.43	76.08	31
Y _{Ma}	90.92	-10.29	87.24	87.85	97
L _{Ma}	52.69	-65.44	20.75	68.65	162
C _{Ma}	59.61	-28.98	-46.22	54.56	238
V _{Ma}	28.39	23.63	-44.13	50.06	298
M _{Ma}	49.58	73.93	-9.56	74.55	353
N _{Ma}	18.89	0.0	0.0	0.0	0
W _{Ma}	96.9	0.0	0.0	0.0	0
R _{Ma}	39.92	58.74	27.99	65.07	25
J _{Ma}	81.26	-2.89	71.56	71.62	92
G _{Ma}	52.23	-42.42	13.6	44.55	162
B _{Ma}	30.57	1.41	-46.47	46.49	272

Daten für Maximalfarbe (Ma):

$LAB^*LAB^*_{Ma}$: 75 18 69

$LAB^*LCH^*_{Ma}$: 75 72 75

$lab^*rgb^*_{Ma}$: 1.0 0.75 0.0

$lab^*olv^*_{Ma}$: 1.0 0.68 0.0

Dreiecks-Helligkeit i^*

%Umfang

$u^*_{rel} = 89$

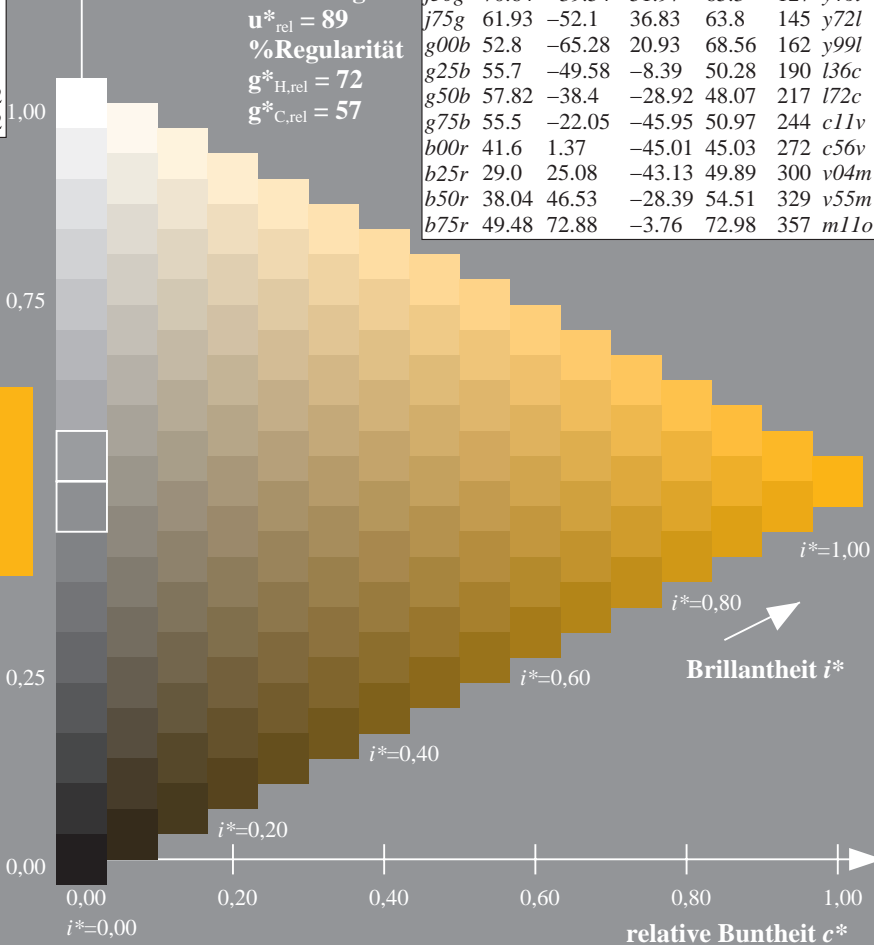
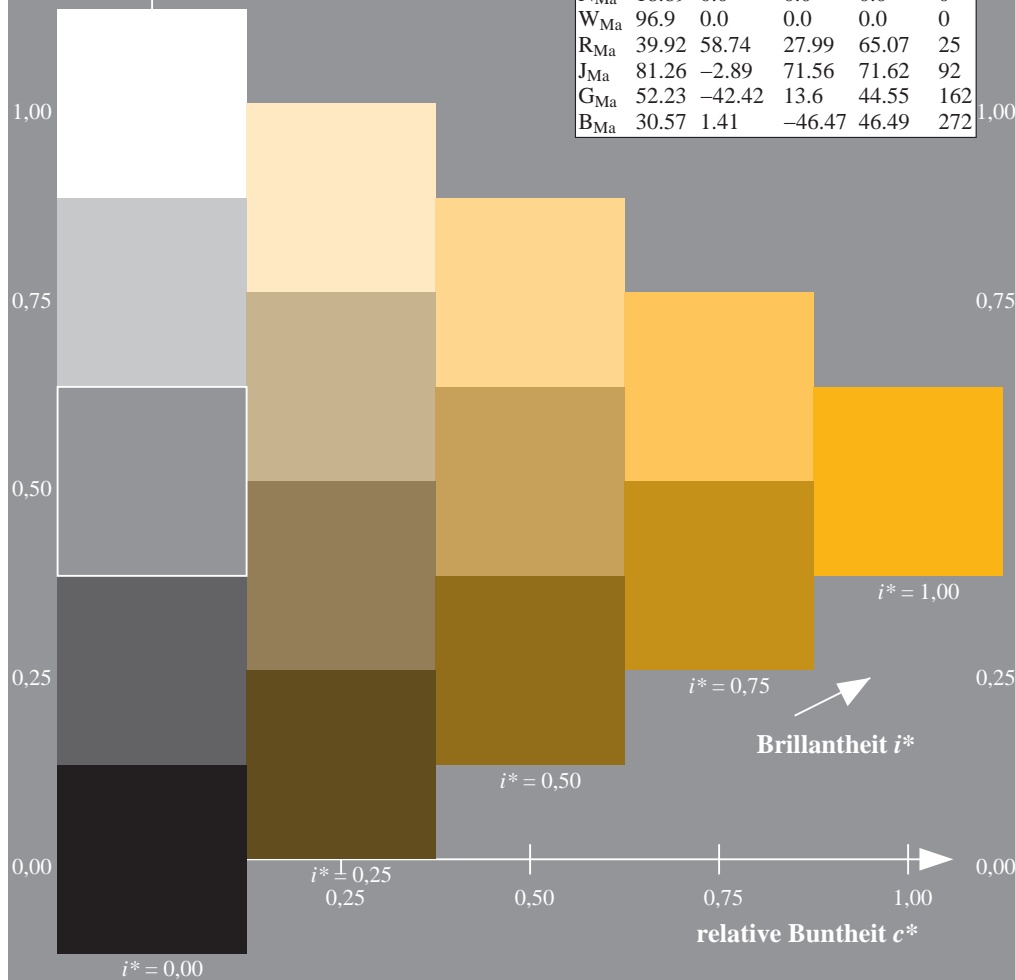
%Regularität

$g^*_{H,rel} = 72$

$g^*_{C,rel} = 57$

ORS19_96a; adaptierte CIELAB-Daten

u^*_e	$L^*=L^*_a$	a^*_a	b^*_a	$C^*_{ab,a}$	$h^*_{ab,a}$	u^*_d
r00j	48.88	66.47	31.67	73.63	25	m84o
r25j	55.85	52.39	47.48	70.7	42	o17y
r50j	65.45	35.22	58.37	68.17	59	o42y
r75j	75.19	17.82	69.41	71.66	76	o67y
j00g	87.03	-3.35	82.83	82.9	92	o92y
j25g	80.72	-25.01	69.5	73.86	110	y20l
j50g	70.64	-39.54	51.97	65.3	127	y46l
j75g	61.93	-52.1	36.83	63.8	145	y72l
g00b	52.8	-65.28	20.93	68.56	162	y99l
g25b	55.7	-49.58	-8.39	50.28	190	l36c
g50b	57.82	-38.4	-28.92	48.07	217	l72c
g75b	55.5	-22.05	-45.95	50.97	244	c11v
b00r	41.6	1.37	-45.01	45.03	272	c56v
b25r	29.0	25.08	-43.13	49.89	300	v04m
b50r	38.04	46.53	-28.39	54.51	329	v55m
b75r	49.48	72.88	-3.76	72.98	357	m11o



Ein und Ausgabe: Farbmimetrisches Drucker-Reflektiv-System ORS19_96a für relativen CIELAB-Buntton $h^* = lab^*h^* = h_{ab}/360 = 0.256$

Daten für jede Farbe:

lab^*tch^* und lab^*icu^*

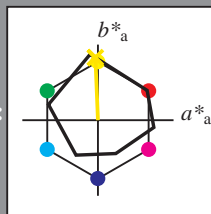
Bunttontexte:

$u^*_e = j00g$ $u^*_d = o92y$

Kontrastreduzierungsfaktor:

$c_R = 1.0$

Dreiecks-Helligkeit i^*



ORS19_96a; adaptierte CIELAB-Daten

u^*_e	$L^*=L^*_a$	a^*_a	b^*_a	$C^*_{ab,a}$	$h^*_{ab,a}$
O _{Ma}	48.75	65.07	39.43	76.08	31
Y _{Ma}	90.92	-10.29	87.24	87.85	97
L _{Ma}	52.69	-65.44	20.75	68.65	162
C _{Ma}	59.61	-28.98	-46.22	54.56	238
V _{Ma}	28.39	23.63	-44.13	50.06	298
M _{Ma}	49.58	73.93	-9.56	74.55	353
N _{Ma}	18.89	0.0	0.0	0.0	0
W _{Ma}	96.9	0.0	0.0	0.0	0
R _{Ma}	39.92	58.74	27.99	65.07	25
J _{Ma}	81.26	-2.89	71.56	71.62	92
G _{Ma}	52.23	-42.42	13.6	44.55	162
B _{Ma}	30.57	1.41	-46.47	46.49	272

Daten für Maximalfarbe (Ma):

$LAB^*LAB^*_{Ma}$: 87 -3 83

$LAB^*LCH^*_{Ma}$: 87 83 92

$lab^*rgb^*_{Ma}$: 1.0 1.0 0.0

$lab^*olv^*_{Ma}$: 1.0 0.93 0.0

Dreiecks-Helligkeit i^*

%Umfang

$u^*_{rel} = 89$

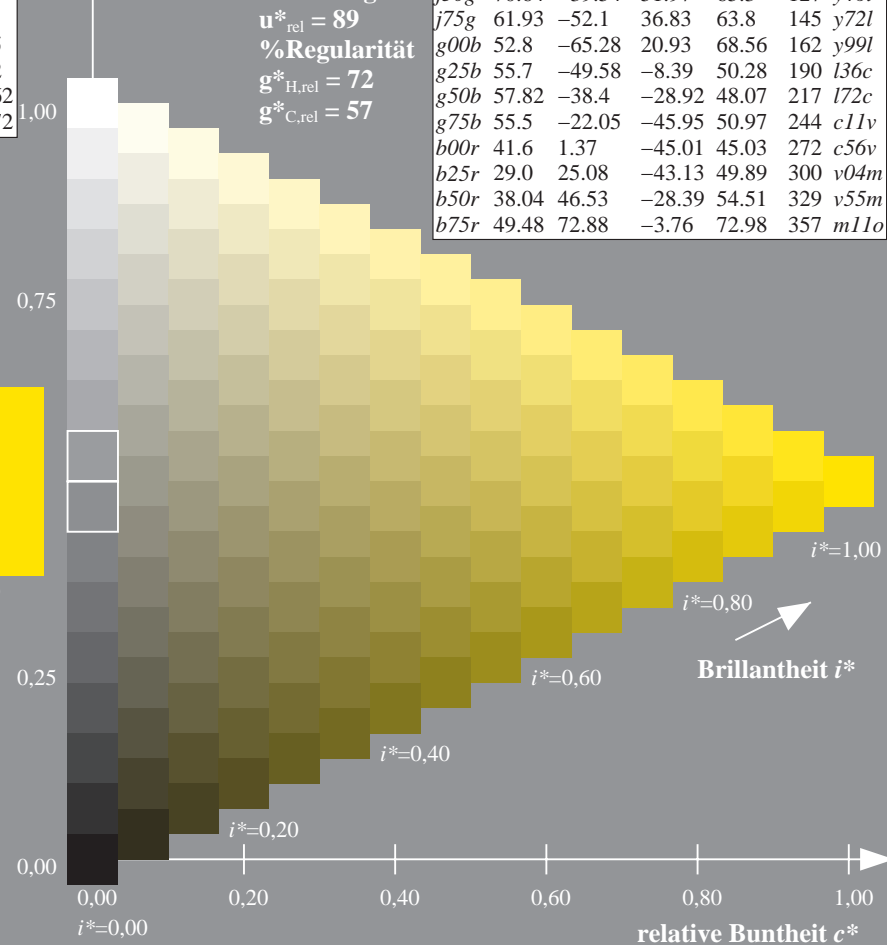
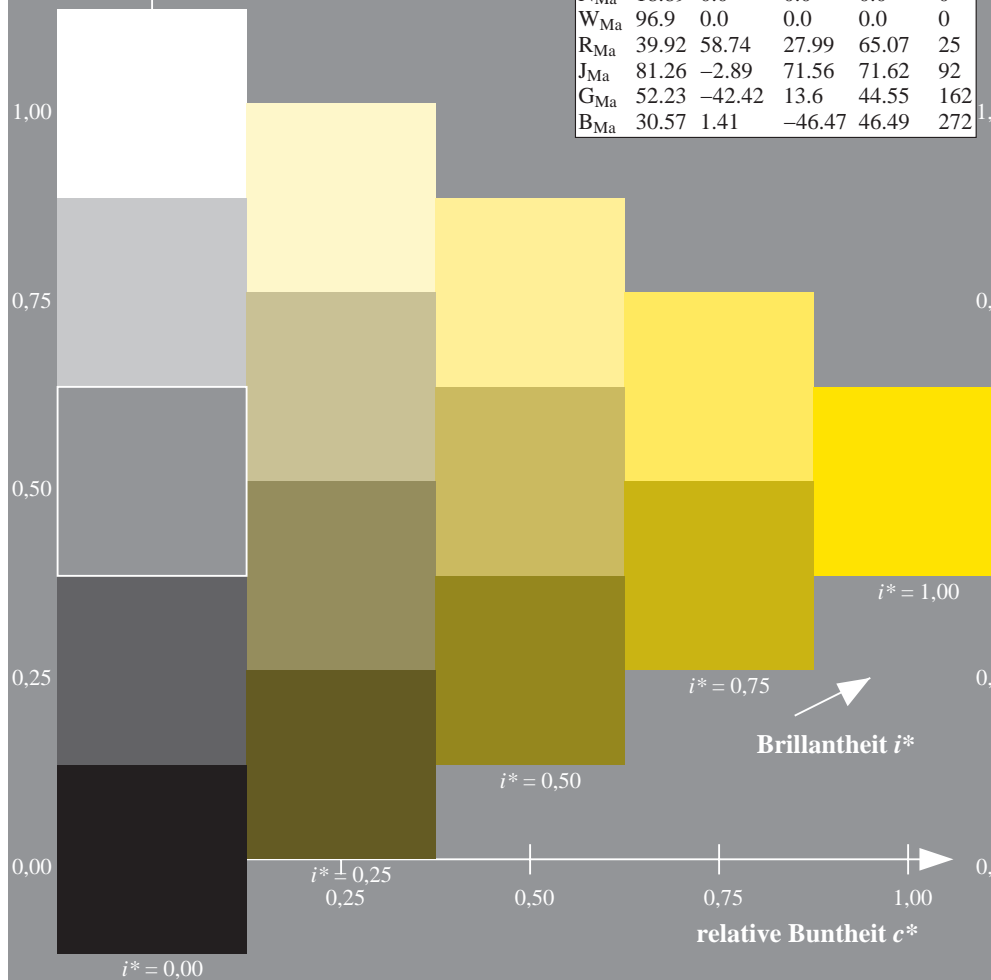
%Regularität

$g^*_{H,rel} = 72$

$g^*_{C,rel} = 57$

ORS19_96a; adaptierte CIELAB-Daten

u^*_e	$L^*=L^*_a$	a^*_a	b^*_a	$C^*_{ab,a}$	$h^*_{ab,a}$	u^*_d
r00j	48.88	66.47	31.67	73.63	25	m84o
r25j	55.85	52.39	47.48	70.7	42	o17y
r50j	65.45	35.22	58.37	68.17	59	o42y
r75j	75.19	17.82	69.41	71.66	76	o67y
j00g	87.03	-3.35	82.83	82.9	92	o92y
j25g	80.72	-25.01	69.5	73.86	110	y20l
j50g	70.64	-39.54	51.97	65.3	127	y46l
j75g	61.93	-52.1	36.83	63.8	145	y72l
g00b	52.8	-65.28	20.93	68.56	162	y99l
g25b	55.7	-49.58	-8.39	50.28	190	l36c
g50b	57.82	-38.4	-28.92	48.07	217	l72c
g75b	55.5	-22.05	-45.95	50.97	244	c11v
b00r	41.6	1.37	-45.01	45.03	272	c56v
b25r	29.0	25.08	-43.13	49.89	300	v04m
b50r	38.04	46.53	-28.39	54.51	329	v55m
b75r	49.48	72.88	-3.76	72.98	357	m11o



Ein und Ausgabe: Farbmétrisches Drucker-Reflektiv-System ORS19_96a für relativen CIELAB-Buntton $h^* = lab^*h^* = h_{ab}/360 = 0.305$

Daten für jede Farbe:

lab^*tch^* und lab^*icu^*

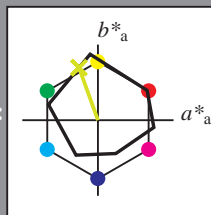
Bunttontexte:

$u^*_e = j25g$ $u^*_d = y20l$

Kontrastreduzierungsfaktor:

$c_R = 1.0$

Dreiecks-Helligkeit i^*



ORS19_96a; adaptierte CIELAB-Daten

u^*_e	$L^*=L^*_a$	a^*_a	b^*_a	$C^*_{ab,a}$	$h^*_{ab,a}$
O _{Ma}	48.75	65.07	39.43	76.08	31
Y _{Ma}	90.92	-10.29	87.24	87.85	97
L _{Ma}	52.69	-65.44	20.75	68.65	162
C _{Ma}	59.61	-28.98	-46.22	54.56	238
V _{Ma}	28.39	23.63	-44.13	50.06	298
M _{Ma}	49.58	73.93	-9.56	74.55	353
N _{Ma}	18.89	0.0	0.0	0.0	0
W _{Ma}	96.9	0.0	0.0	0.0	0
R _{Ma}	39.92	58.74	27.99	65.07	25
J _{Ma}	81.26	-2.89	71.56	71.62	92
G _{Ma}	52.23	-42.42	13.6	44.55	162
B _{Ma}	30.57	1.41	-46.47	46.49	272

Daten für Maximalfarbe (Ma):

$LAB^*LAB^*_{Ma}$: 81 -25 69

$LAB^*LCH^*_{Ma}$: 81 74 109

$lab^*rgb^*_{Ma}$: 0.75 1.0 0.0

$lab^*olv^*_{Ma}$: 0.8 1.0 0.0

Dreiecks-Helligkeit i^*

%Umfang

$u^*_{rel} = 89$

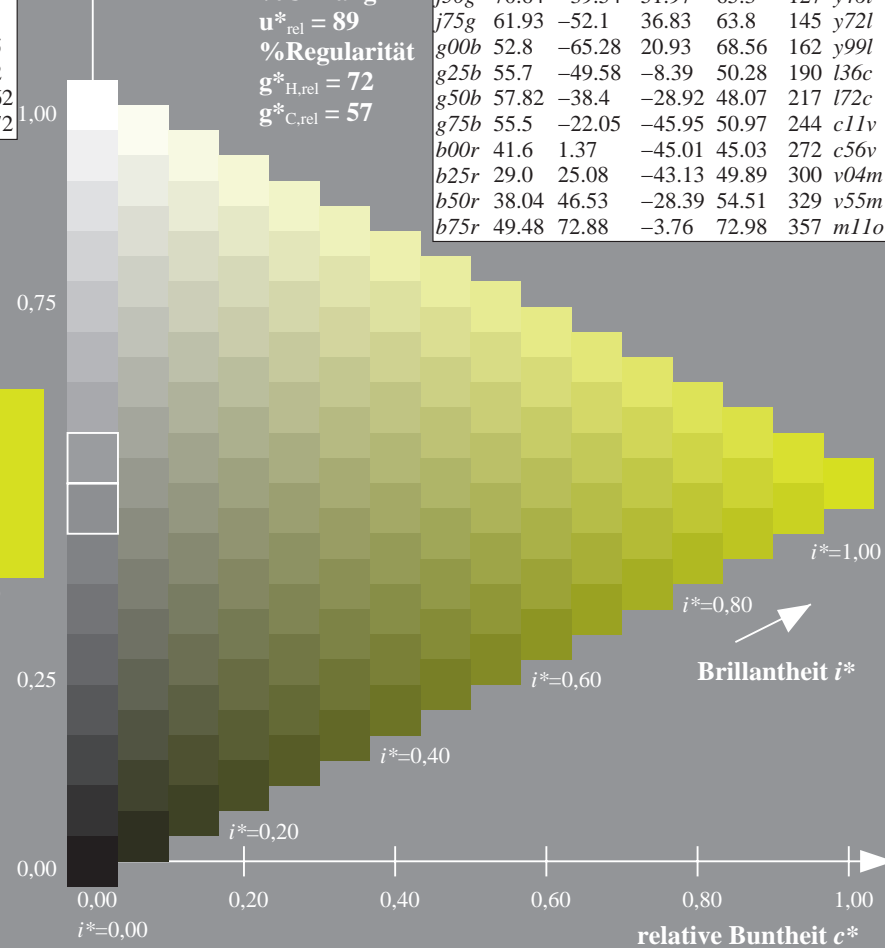
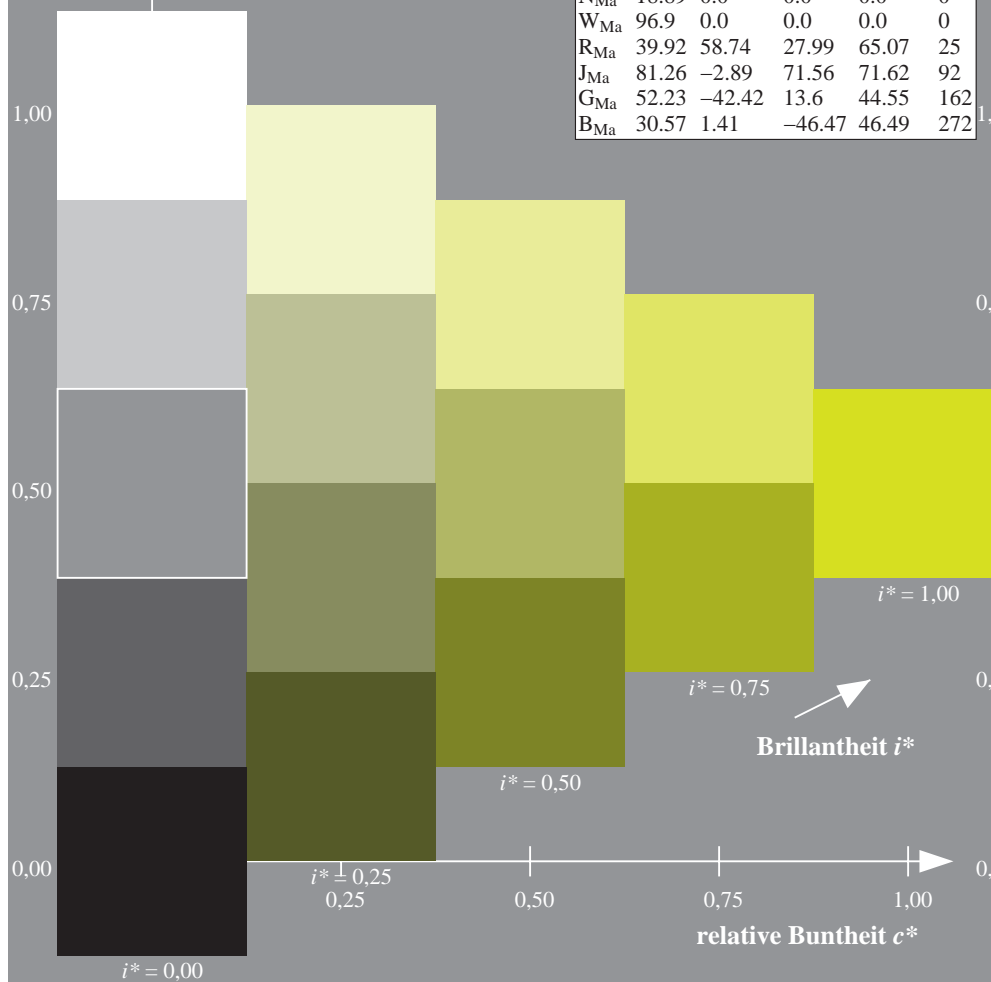
%Regularität

$g^*_{H,rel} = 72$

$g^*_{C,rel} = 57$

ORS19_96a; adaptierte CIELAB-Daten

u^*_e	$L^*=L^*_a$	a^*_a	b^*_a	$C^*_{ab,a}$	$h^*_{ab,a}$	u^*_d
r00j	48.88	66.47	31.67	73.63	25	m84o
r25j	55.85	52.39	47.48	70.7	42	o17y
r50j	65.45	35.22	58.37	68.17	59	o42y
r75j	75.19	17.82	69.41	71.66	76	o67y
j00g	87.03	-3.35	82.83	82.9	92	o92y
j25g	80.72	-25.01	69.5	73.86	110	y20l
j50g	70.64	-39.54	51.97	65.3	127	y46l
j75g	61.93	-52.1	36.83	63.8	145	y72l
g00b	52.8	-65.28	20.93	68.56	162	y99l
g25b	55.7	-49.58	-8.39	50.28	190	l36c
g50b	57.82	-38.4	-28.92	48.07	217	l72c
g75b	55.5	-22.05	-45.95	50.97	244	c11v
b00r	41.6	1.37	-45.01	45.03	272	c56v
b25r	29.0	25.08	-43.13	49.89	300	v04m
b50r	38.04	46.53	-28.39	54.51	329	v55m
b75r	49.48	72.88	-3.76	72.98	357	m11o



Ein und Ausgabe: Farbmimetrisches Drucker-Reflektiv-System ORS19_96a für relativen CIELAB-Buntton $h^* = lab^*h^* = h_{ab}/360 = 0.354$

Daten für jede Farbe:

lab^*tch^* und lab^*icu^*

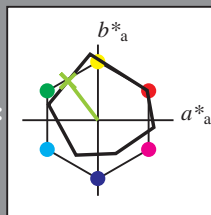
Bunttontexte:

$u^*_e = j50g$ $u^*_d = y46l$

Kontrastreduzierungsfaktor:

$c_R = 1.0$

Dreiecks-Helligkeit i^*



ORS19_96a; adaptierte CIELAB-Daten

u^*_e	$L^*=L^*_a$	a^*_a	b^*_a	$C^*_{ab,a}$	$h^*_{ab,a}$
O _{Ma}	48.75	65.07	39.43	76.08	31
Y _{Ma}	90.92	-10.29	87.24	87.85	97
L _{Ma}	52.69	-65.44	20.75	68.65	162
C _{Ma}	59.61	-28.98	-46.22	54.56	238
V _{Ma}	28.39	23.63	-44.13	50.06	298
M _{Ma}	49.58	73.93	-9.56	74.55	353
N _{Ma}	18.89	0.0	0.0	0.0	0
W _{Ma}	96.9	0.0	0.0	0.0	0
R _{Ma}	39.92	58.74	27.99	65.07	25
J _{Ma}	81.26	-2.89	71.56	71.62	92
G _{Ma}	52.23	-42.42	13.6	44.55	162
B _{Ma}	30.57	1.41	-46.47	46.49	272

Daten für Maximalfarbe (Ma):

$LAB^*LAB^*_{Ma}$: 71 -40 52

$LAB^*LCH^*_{Ma}$: 71 65 127

$lab^*rgb^*_{Ma}$: 0.5 1.0 0.0

$lab^*olv^*_{Ma}$: 0.54 1.0 0.0

Dreiecks-Helligkeit i^*

%Umfang

$u^*_{rel} = 89$

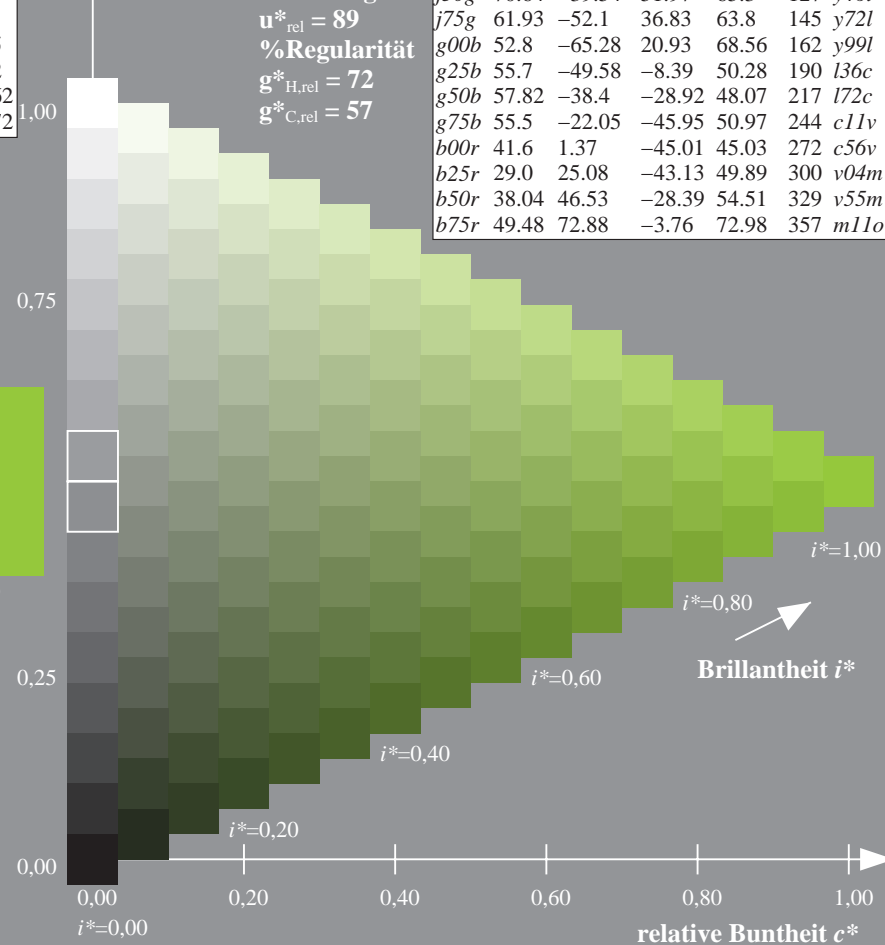
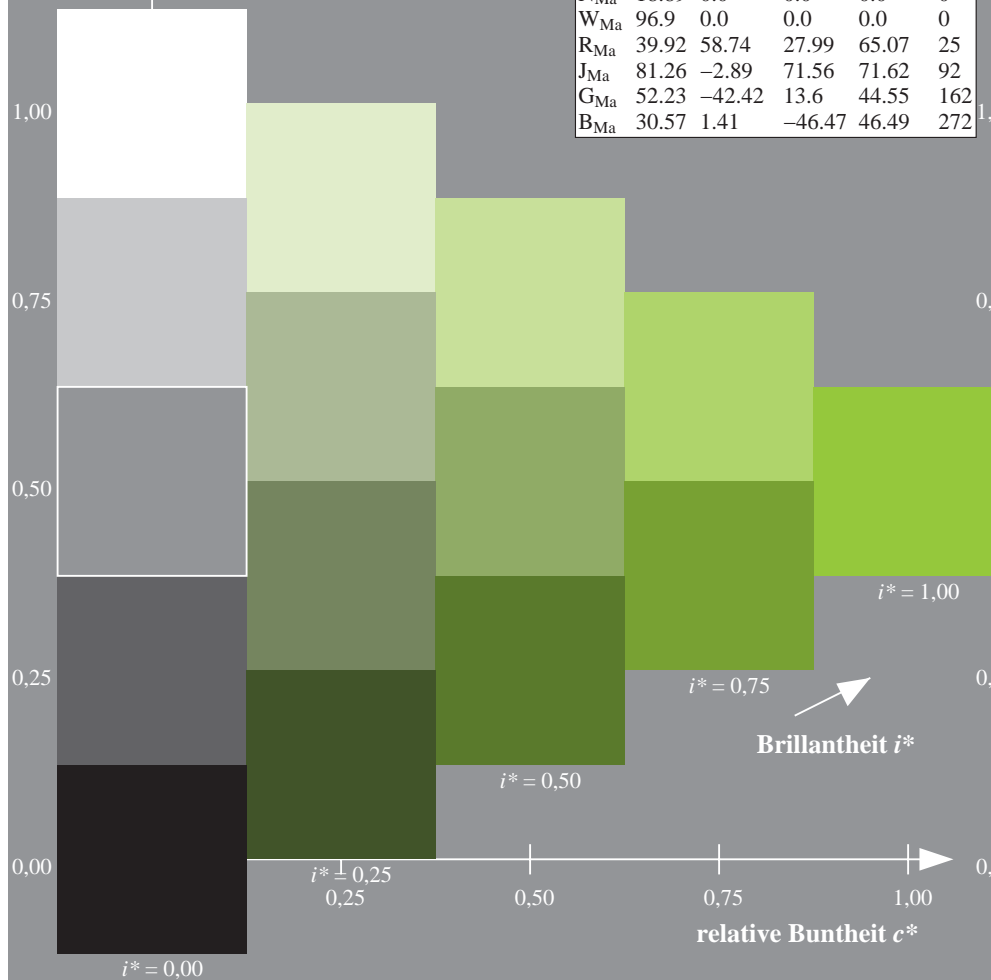
%Regularität

$g^*_{H,rel} = 72$

$g^*_{C,rel} = 57$

ORS19_96a; adaptierte CIELAB-Daten

u^*_e	$L^*=L^*_a$	a^*_a	b^*_a	$C^*_{ab,a}$	$h^*_{ab,a}$	u^*_d
r00j	48.88	66.47	31.67	73.63	25	m84o
r25j	55.85	52.39	47.48	70.7	42	o17y
r50j	65.45	35.22	58.37	68.17	59	o42y
r75j	75.19	17.82	69.41	71.66	76	o67y
j00g	87.03	-3.35	82.83	82.9	92	o92y
j25g	80.72	-25.01	69.5	73.86	110	y20l
j50g	70.64	-39.54	51.97	65.3	127	y46l
j75g	61.93	-52.1	36.83	63.8	145	y72l
g00b	52.8	-65.28	20.93	68.56	162	y99l
g25b	55.7	-49.58	-8.39	50.28	190	l36c
g50b	57.82	-38.4	-28.92	48.07	217	l72c
g75b	55.5	-22.05	-45.95	50.97	244	c11v
b00r	41.6	1.37	-45.01	45.03	272	c56v
b25r	29.0	25.08	-43.13	49.89	300	v04m
b50r	38.04	46.53	-28.39	54.51	329	v55m
b75r	49.48	72.88	-3.76	72.98	357	m11o



Ein und Ausgabe: Farbmetrisches Drucker-Reflektiv-System ORS19_96a für relativen CIELAB-Buntton $h^* = lab^*h^* = h_{ab}/360 = 0.402$

Daten für jede Farbe:

lab^*tch^* und lab^*icu^*

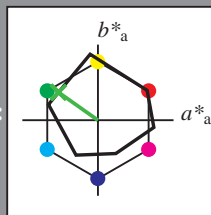
Bunttontexte:

$u_e^* = j75g$ $u_d^* = y72l$

Kontrastreduzierungsfaktor:

$c_R = 1.0$

Dreiecks-Helligkeit i^*



ORS19_96a; adaptierte CIELAB-Daten

	u_e^*	$L^*=L_a^*$	a_a^*	b_a^*	$C_{ab,a}^*$	$h_{ab,a}^*$
O _{Ma}	48.75	65.07	39.43	76.08	31	
Y _{Ma}	90.92	-10.29	87.24	87.85	97	
L _{Ma}	52.69	-65.44	20.75	68.65	162	
C _{Ma}	59.61	-28.98	-46.22	54.56	238	
V _{Ma}	28.39	23.63	-44.13	50.06	298	
M _{Ma}	49.58	73.93	-9.56	74.55	353	
N _{Ma}	18.89	0.0	0.0	0.0	0	
W _{Ma}	96.9	0.0	0.0	0.0	0	
R _{Ma}	39.92	58.74	27.99	65.07	25	
J _{Ma}	81.26	-2.89	71.56	71.62	92	
G _{Ma}	52.23	-42.42	13.6	44.55	162	
B _{Ma}	30.57	1.41	-46.47	46.49	272	

Daten für Maximalfarbe (Ma):

LAB^*LAB^*Ma : 62 -52 37

LAB^*LCH^*Ma : 62 64 144

lab^*rgb^*Ma : 0.25 1.0 0.0

lab^*olv^*Ma : 0.27 1.0 0.0

Dreiecks-Helligkeit i^*

%Umfang

$u_{rel}^* = 89$

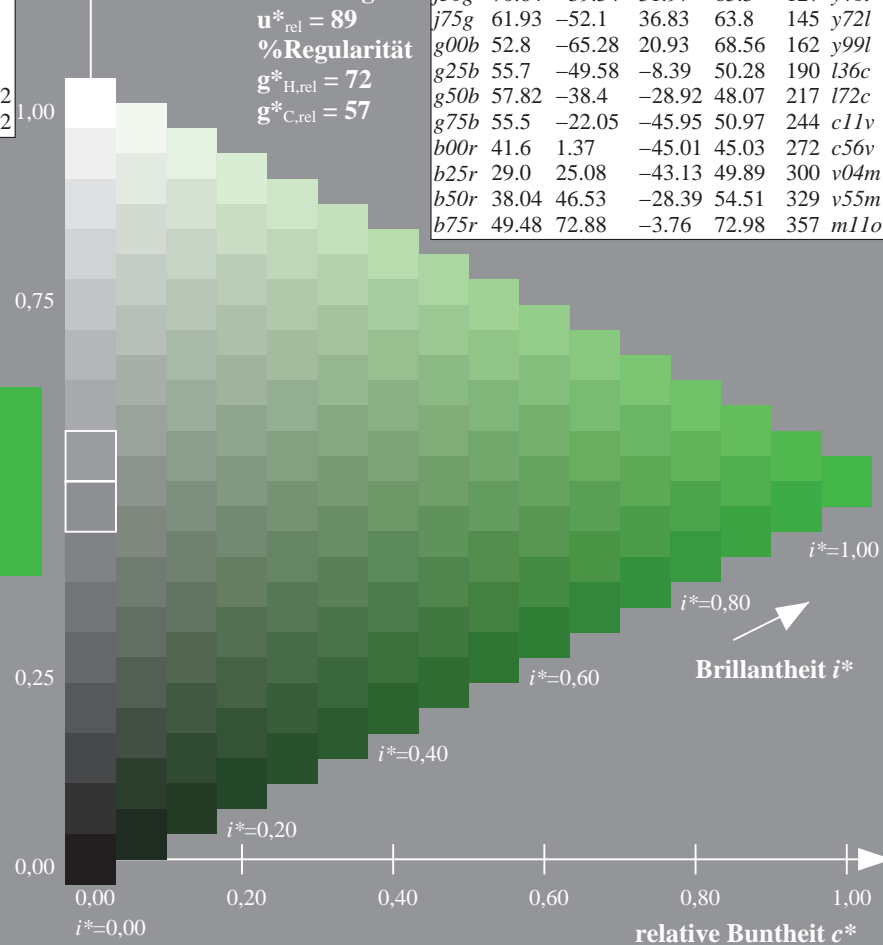
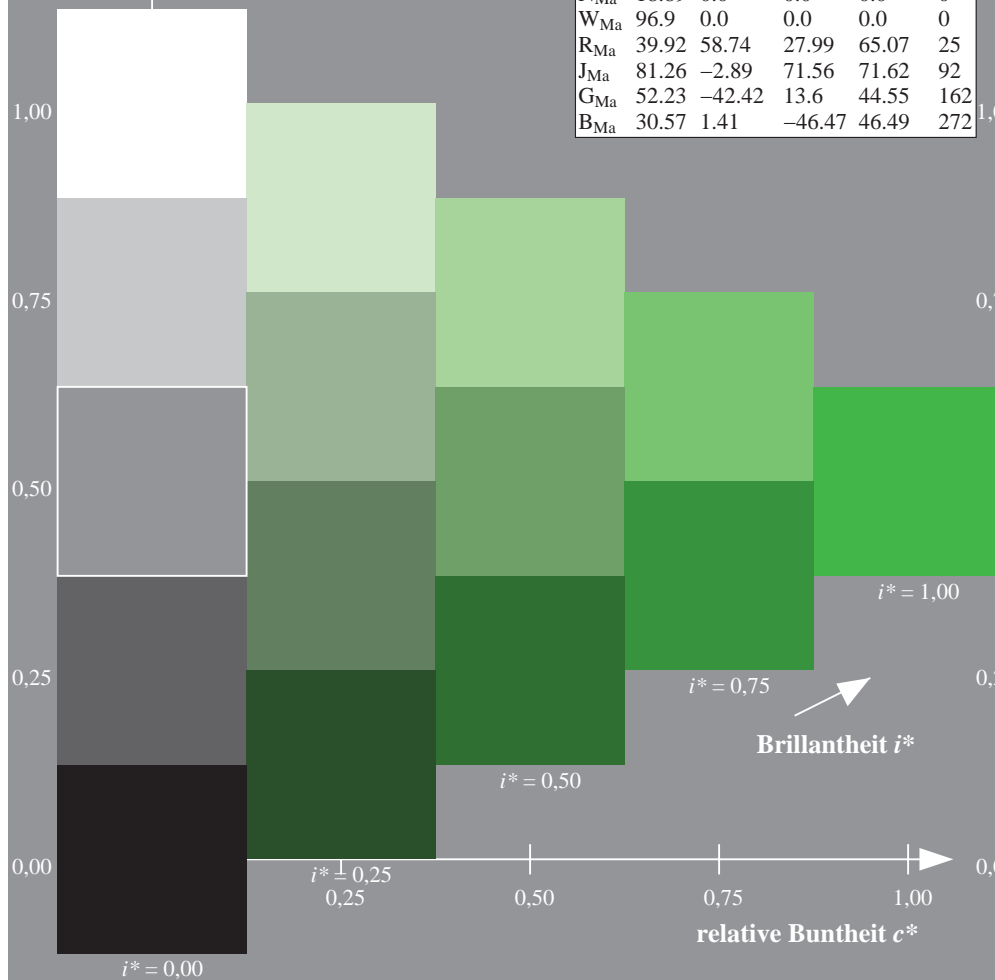
%Regularität

$g_{H,rel}^* = 72$

$g_{C,rel}^* = 57$

ORS19_96a; adaptierte CIELAB-Daten

	u_e^*	$L^*=L_a^*$	a_a^*	b_a^*	$C_{ab,a}^*$	$h_{ab,a}^*$	u_d^*
r00j	48.88	66.47	31.67	73.63	25	m84o	
r25j	55.85	52.39	47.48	70.7	42	o17y	
r50j	65.45	35.22	58.37	68.17	59	o42y	
r75j	75.19	17.82	69.41	71.66	76	o67y	
j00g	87.03	-3.35	82.83	82.9	92	o92y	
j25g	80.72	-25.01	69.5	73.86	110	y20l	
j50g	70.64	-39.54	51.97	65.3	127	y46l	
j75g	61.93	-52.1	36.83	63.8	145	y72l	
g00b	52.8	-65.28	20.93	68.56	162	y99l	
g25b	55.7	-49.58	-8.39	50.28	190	l36c	
g50b	57.82	-38.4	-28.92	48.07	217	l72c	
g75b	55.5	-22.05	-45.95	50.97	244	c11v	
b00r	41.6	1.37	-45.01	45.03	272	c56v	
b25r	29.0	25.08	-43.13	49.89	300	v04m	
b50r	38.04	46.53	-28.39	54.51	329	v55m	
b75r	49.48	72.88	-3.76	72.98	357	m11o	



Ein und Ausgabe: Farbmimetrisches Drucker-Reflektiv-System ORS19_96a für relativen CIELAB-Buntton $h^* = lab^*h^* = h_{ab}/360 = 0.451$

Daten für jede Farbe:

lab^*ch^* und lab^*icu^*

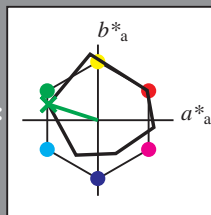
Bunttontexte:

$u^*_e = g00b$ $u^*_d = y99l$

Kontrastreduzierungsfaktor:

$c_R = 1.0$

Dreiecks-Helligkeit i^*



ORS19_96a; adaptierte CIELAB-Daten

u^*_e	$L^*=L^*_a$	a^*_a	b^*_a	$C^*_{ab,a}$	$h^*_{ab,a}$
O _{Ma}	48.75	65.07	39.43	76.08	31
Y _{Ma}	90.92	-10.29	87.24	87.85	97
L _{Ma}	52.69	-65.44	20.75	68.65	162
C _{Ma}	59.61	-28.98	-46.22	54.56	238
V _{Ma}	28.39	23.63	-44.13	50.06	298
M _{Ma}	49.58	73.93	-9.56	74.55	353
N _{Ma}	18.89	0.0	0.0	0.0	0
W _{Ma}	96.9	0.0	0.0	0.0	0
R _{Ma}	39.92	58.74	27.99	65.07	25
J _{Ma}	81.26	-2.89	71.56	71.62	92
G _{Ma}	52.23	-42.42	13.6	44.55	162
B _{Ma}	30.57	1.41	-46.47	46.49	272

Daten für Maximalfarbe (Ma):

$LAB^*LAB^*_{Ma}$: 53 -65 21

$LAB^*LCH^*_{Ma}$: 53 69 162

$lab^*rgb^*_{Ma}$: 0.0 1.0 0.0

$lab^*olv^*_{Ma}$: 0.0 1.0 0.0

Dreiecks-Helligkeit i^*

%Umfang

$u^*_{rel} = 89$

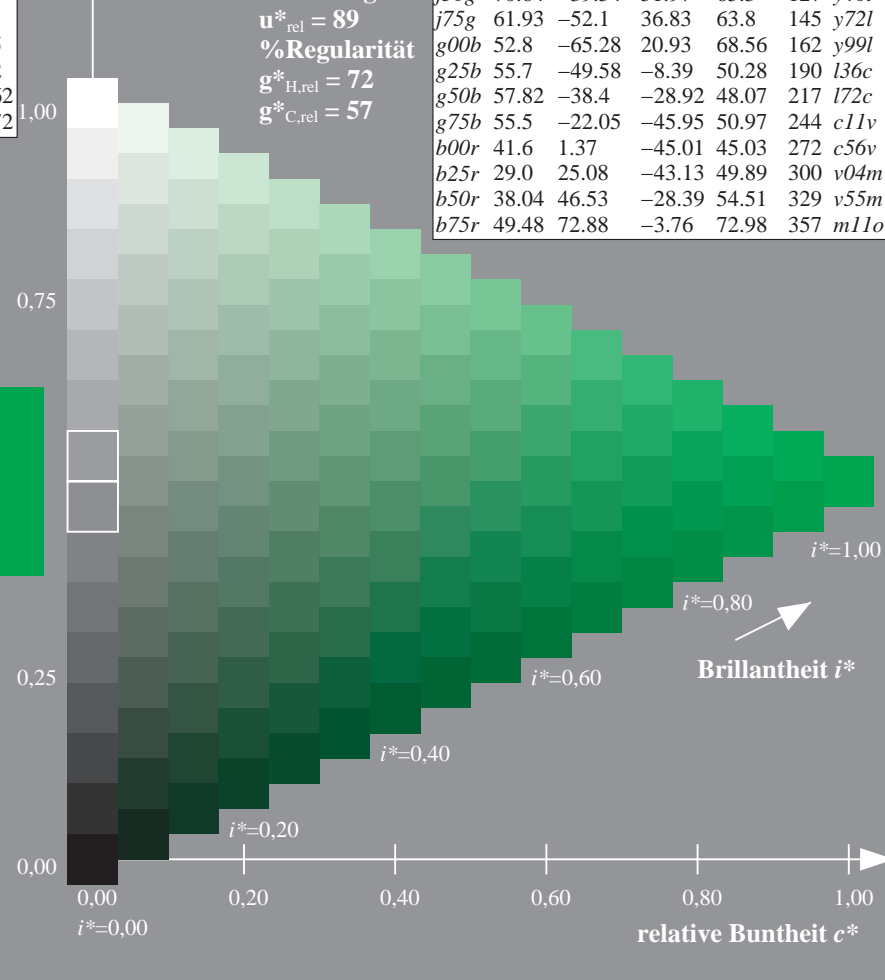
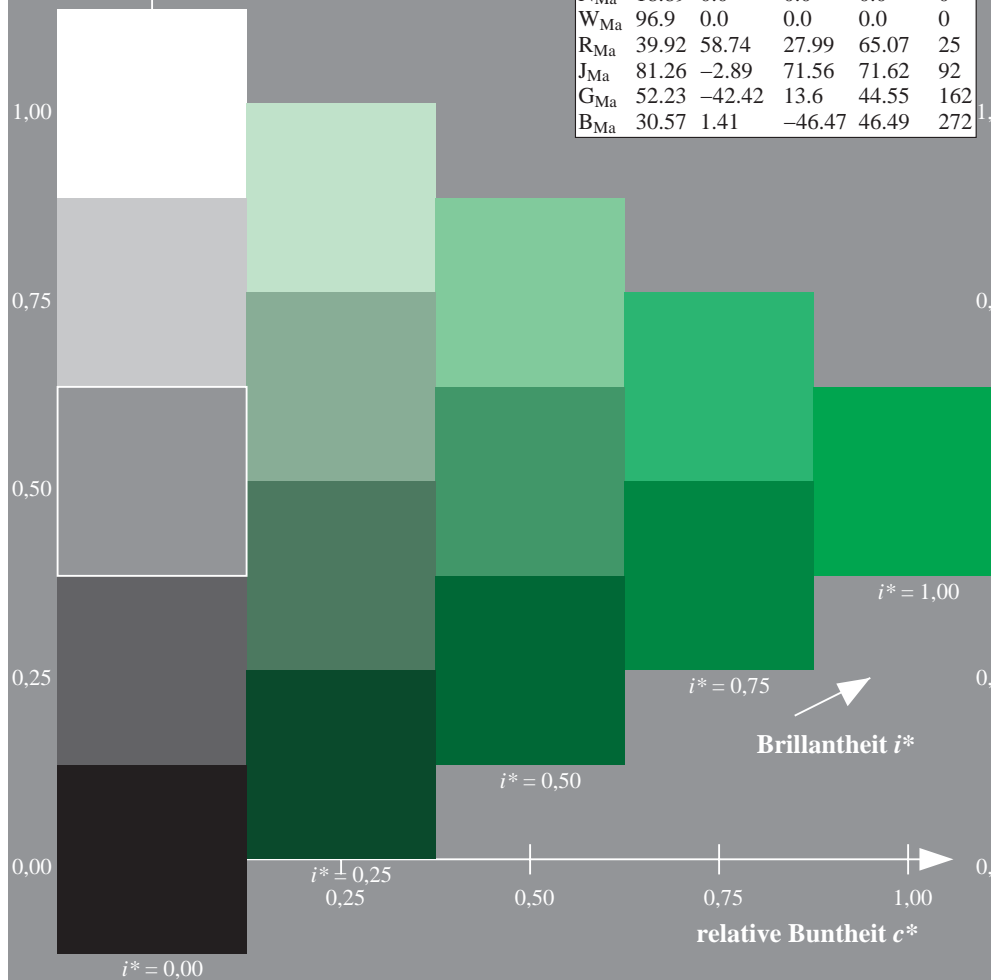
%Regularität

$g^*_{H,rel} = 72$

$g^*_{C,rel} = 57$

ORS19_96a; adaptierte CIELAB-Daten

u^*_e	$L^*=L^*_a$	a^*_a	b^*_a	$C^*_{ab,a}$	$h^*_{ab,a}$	u^*_d
r00j	48.88	66.47	31.67	73.63	25	m84o
r25j	55.85	52.39	47.48	70.7	42	o17y
r50j	65.45	35.22	58.37	68.17	59	o42y
r75j	75.19	17.82	69.41	71.66	76	o67y
j00g	87.03	-3.35	82.83	82.9	92	o92y
j25g	80.72	-25.01	69.5	73.86	110	y20l
j50g	70.64	-39.54	51.97	65.3	127	y46l
j75g	61.93	-52.1	36.83	63.8	145	y72l
g00b	52.8	-65.28	20.93	68.56	162	y99l
g25b	55.7	-49.58	-8.39	50.28	190	l36c
g50b	57.82	-38.4	-28.92	48.07	217	l72c
g75b	55.5	-22.05	-45.95	50.97	244	c11v
b00r	41.6	1.37	-45.01	45.03	272	c56v
b25r	29.0	25.08	-43.13	49.89	300	v04m
b50r	38.04	46.53	-28.39	54.51	329	v55m
b75r	49.48	72.88	-3.76	72.98	357	m11o



Ein und Ausgabe: Farbmimetrisches Drucker-Reflektiv-System ORS19_96a für relativen CIELAB-Buntton $h^* = lab^*h^* = h_{ab}/360 = 0.527$

Daten für jede Farbe:

lab^*ch^* und lab^*icu^*

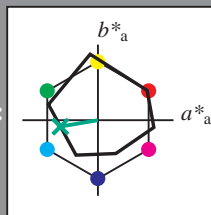
Bunttontexte:

$u^*_e = g25b$ $u^*_d = l36c$

Kontrastreduzierungsfaktor:

$c_R = 1.0$

Dreiecks-Helligkeit i^*



ORS19_96a; adaptierte CIELAB-Daten

u^*_e	$L^*=L^*_a$	a^*_a	b^*_a	$C^*_{ab,a}$	$h^*_{ab,a}$
O _{Ma}	48.75	65.07	39.43	76.08	31
Y _{Ma}	90.92	-10.29	87.24	87.85	97
L _{Ma}	52.69	-65.44	20.75	68.65	162
C _{Ma}	59.61	-28.98	-46.22	54.56	238
V _{Ma}	28.39	23.63	-44.13	50.06	298
M _{Ma}	49.58	73.93	-9.56	74.55	353
N _{Ma}	18.89	0.0	0.0	0.0	0
W _{Ma}	96.9	0.0	0.0	0.0	0
R _{Ma}	39.92	58.74	27.99	65.07	25
J _{Ma}	81.26	-2.89	71.56	71.62	92
G _{Ma}	52.23	-42.42	13.6	44.55	162
B _{Ma}	30.57	1.41	-46.47	46.49	272

Daten für Maximalfarbe (Ma):

$LAB^*LAB^*_{Ma}$: 56 -50 -8

$LAB^*LCH^*_{Ma}$: 56 50 189

$lab^*rgb^*_{Ma}$: 0.0 1.0 0.5

$lab^*olv^*_{Ma}$: 0.0 1.0 0.36

Dreiecks-Helligkeit i^*

%Umfang

$u^*_{rel} = 89$

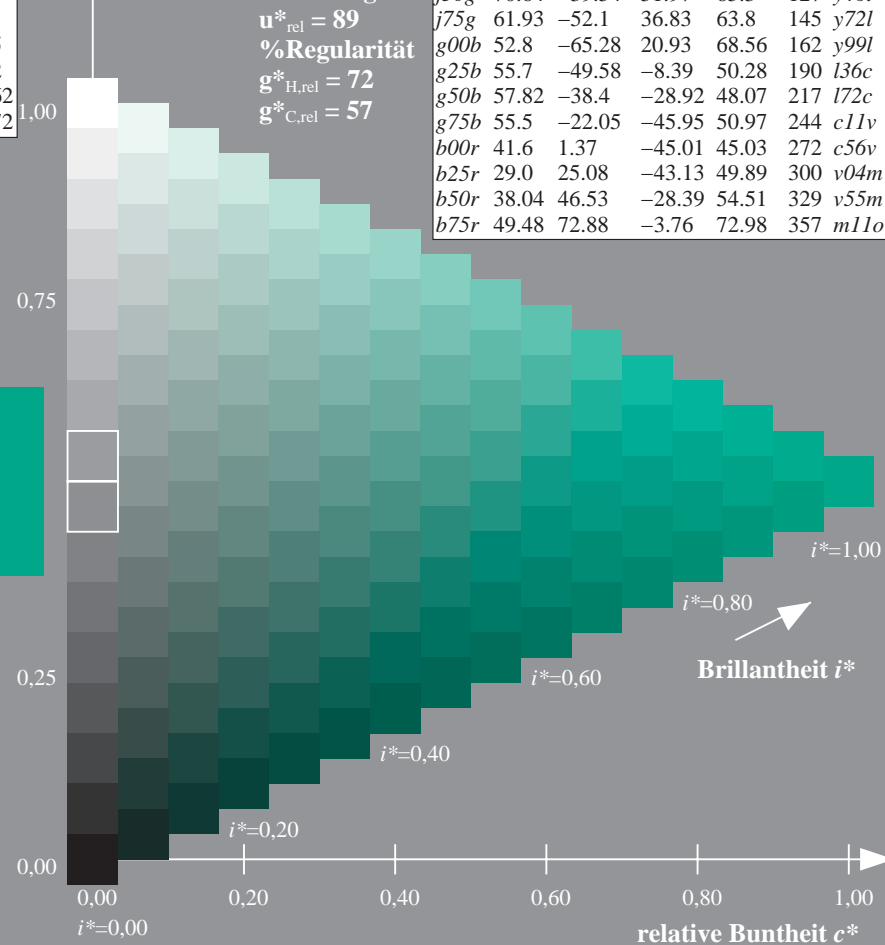
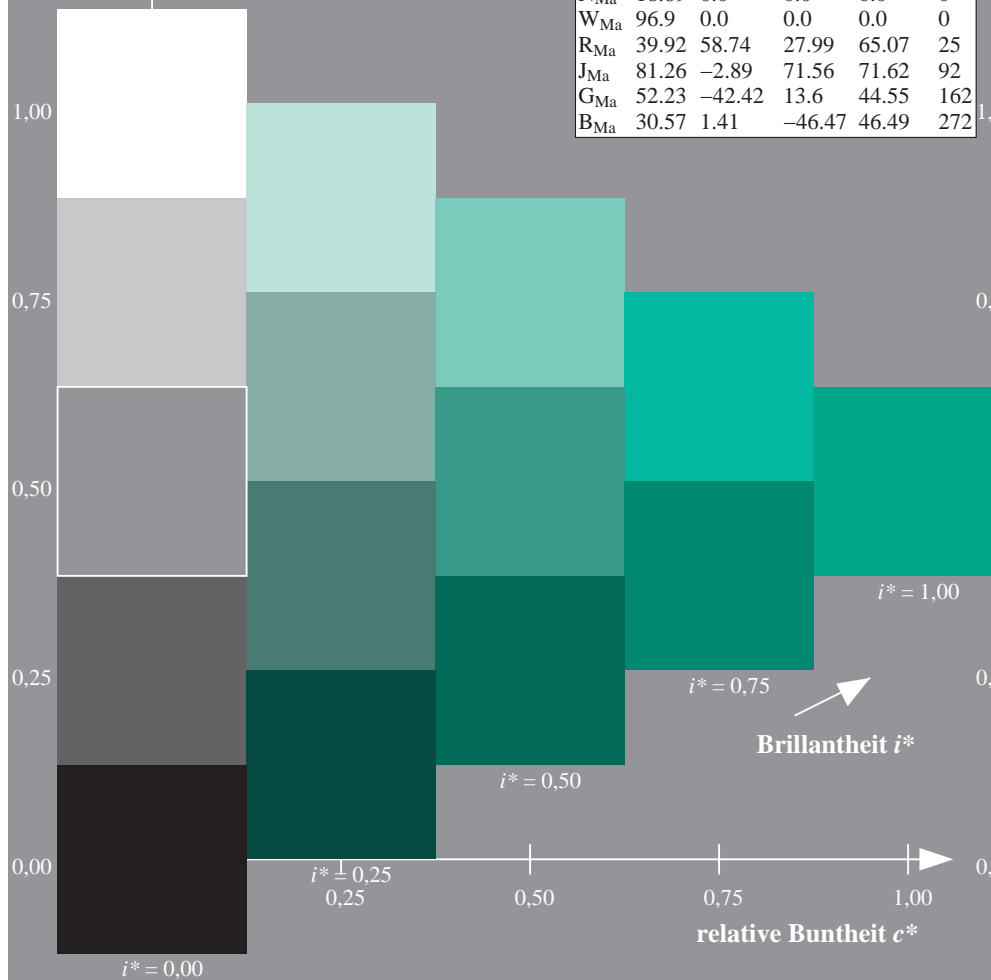
%Regularität

$g^*_{H,rel} = 72$

$g^*_{C,rel} = 57$

ORS19_96a; adaptierte CIELAB-Daten

u^*_e	$L^*=L^*_a$	a^*_a	b^*_a	$C^*_{ab,a}$	$h^*_{ab,a}$	u^*_d
r00j	48.88	66.47	31.67	73.63	25	m84o
r25j	55.85	52.39	47.48	70.7	42	o17y
r50j	65.45	35.22	58.37	68.17	59	o42y
r75j	75.19	17.82	69.41	71.66	76	o67y
j00g	87.03	-3.35	82.83	82.9	92	o92y
j25g	80.72	-25.01	69.5	73.86	110	y20l
j50g	70.64	-39.54	51.97	65.3	127	y46l
j75g	61.93	-52.1	36.83	63.8	145	y72l
g00b	52.8	-65.28	20.93	68.56	162	y99l
g25b	55.7	-49.58	-8.39	50.28	190	l36c
g50b	57.82	-38.4	-28.92	48.07	217	l72c
g75b	55.5	-22.05	-45.95	50.97	244	c11v
b00r	41.6	1.37	-45.01	45.03	272	c56v
b25r	29.0	25.08	-43.13	49.89	300	v04m
b50r	38.04	46.53	-28.39	54.51	329	v55m
b75r	49.48	72.88	-3.76	72.98	357	m11o



Ein und Ausgabe: Farbmatisches Drucker-Reflektiv-System ORS19_96a für relativen CIELAB-Buntton $h^* = lab^*h^* = h_{ab}/360 = 0.603$

Daten für jede Farbe:

lab^*ch^* und lab^*icu^*

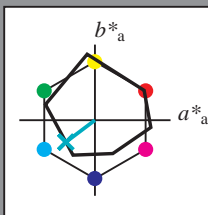
Bunttontexte:

$u^*_e = g50b$ $u^*_d = l72c$

Kontrastreduzierungsfaktor:

$c_R = 1.0$

Dreiecks-Helligkeit i^*



ORS19_96a; adaptierte CIELAB-Daten						
u^*_e	$L^*=L^*_a$	a^*_a	b^*_a	$C^*_{ab,a}$	$h^*_{ab,a}$	
O _{Ma}	48.75	65.07	39.43	76.08	31	
Y _{Ma}	90.92	-10.29	87.24	87.85	97	
L _{Ma}	52.69	-65.44	20.75	68.65	162	
C _{Ma}	59.61	-28.98	-46.22	54.56	238	
V _{Ma}	28.39	23.63	-44.13	50.06	298	
M _{Ma}	49.58	73.93	-9.56	74.55	353	
N _{Ma}	18.89	0.0	0.0	0.0	0	
W _{Ma}	96.9	0.0	0.0	0.0	0	
R _{Ma}	39.92	58.74	27.99	65.07	25	
J _{Ma}	81.26	-2.89	71.56	71.62	92	
G _{Ma}	52.23	-42.42	13.6	44.55	162	
B _{Ma}	30.57	1.41	-46.47	46.49	272	

Daten für Maximalfarbe (Ma):

$LAB^*LAB^*_{Ma}$: 58 -38 -29

$LAB^*LCH^*_{Ma}$: 58 48 216

$lab^*rgb^*_{Ma}$: 0.0 1.0 1.0

$lab^*olv^*_{Ma}$: 0.0 1.0 0.72

Dreiecks-Helligkeit i^*

%Umfang

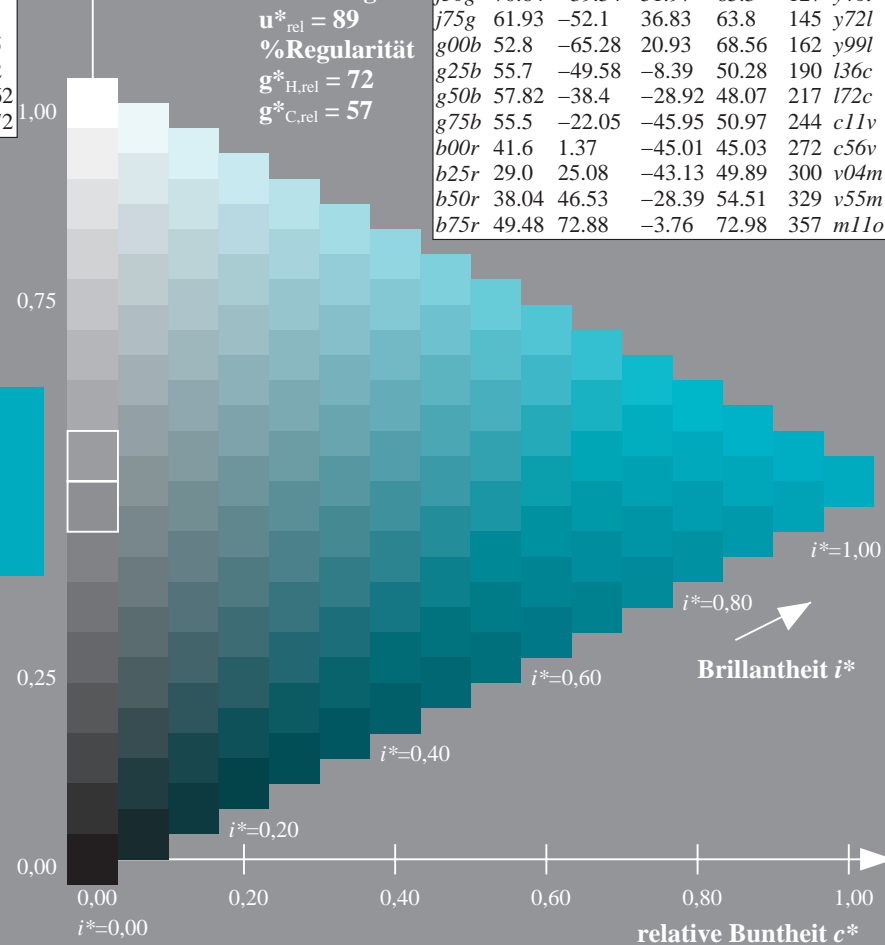
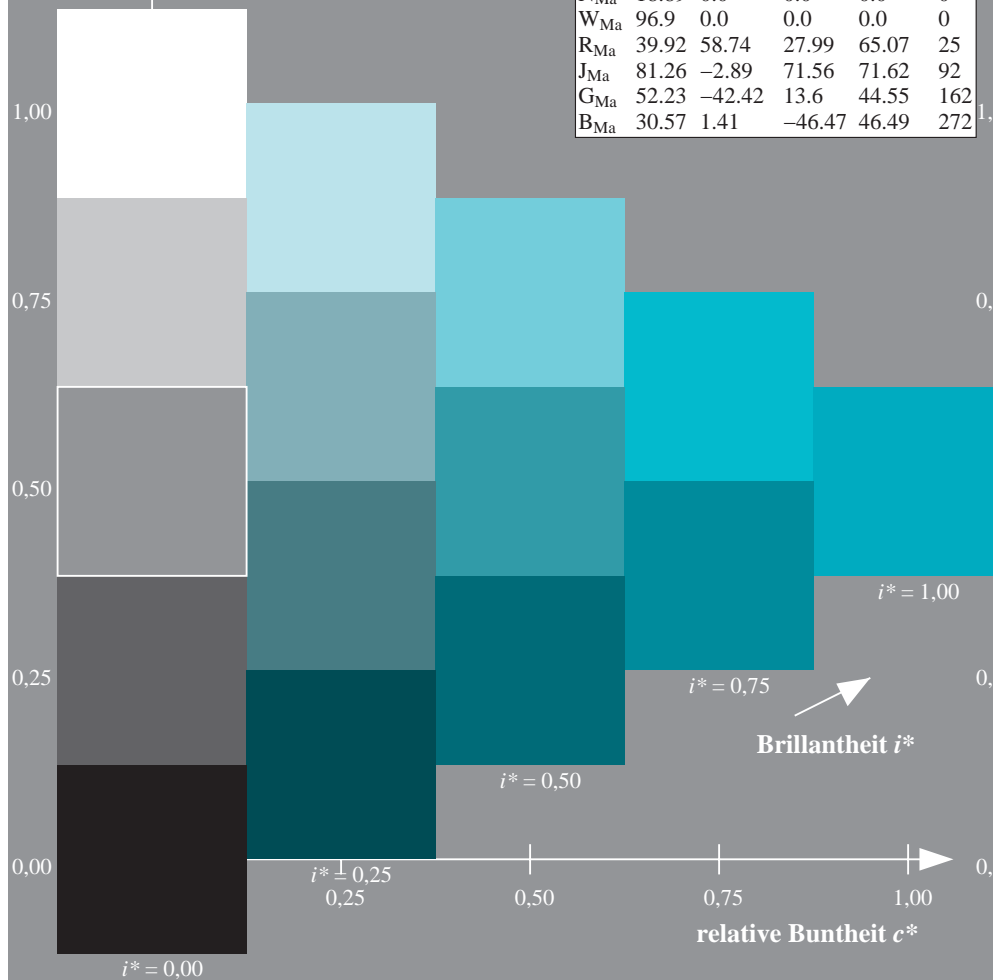
$u^*_{rel} = 89$

%Regularität

$g^*_{H,rel} = 72$

$g^*_{C,rel} = 57$

ORS19_96a; adaptierte CIELAB-Daten						
u^*_e	$L^*=L^*_a$	a^*_a	b^*_a	$C^*_{ab,a}$	$h^*_{ab,a}$	u^*_d
r00j	48.88	66.47	31.67	73.63	25	m84o
r25j	55.85	52.39	47.48	70.7	42	o17y
r50j	65.45	35.22	58.37	68.17	59	o42y
r75j	75.19	17.82	69.41	71.66	76	o67y
j00g	87.03	-3.35	82.83	82.9	92	o92y
j25g	80.72	-25.01	69.5	73.86	110	y20l
j50g	70.64	-39.54	51.97	65.3	127	y46l
j75g	61.93	-52.1	36.83	63.8	145	y72l
g00b	52.8	-65.28	20.93	68.56	162	y99l
g25b	55.7	-49.58	-8.39	50.28	190	l36c
g50b	57.82	-38.4	-28.92	48.07	217	l72c
g75b	55.5	-22.05	-45.95	50.97	244	c11v
b00r	41.6	1.37	-45.01	45.03	272	c56v
b25r	29.0	25.08	-43.13	49.89	300	v04m
b50r	38.04	46.53	-28.39	54.51	329	v55m
b75r	49.48	72.88	-3.76	72.98	357	m11o



Ein und Ausgabe: Farbmimetrisches Drucker-Reflektiv-System ORS19_96a für relativen CIELAB-Buntton $h^* = lab^*h^* = h_{ab}/360 = 0.679$

Daten für jede Farbe:

lab^*ch^* und lab^*icu^*

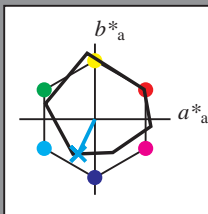
Bunttontexte:

$u^*_e = g75b$ $u^*_d = c11v$

Kontrastreduzierungsfaktor:

$c_R = 1.0$

Dreiecks-Helligkeit i^*



ORS19_96a; adaptierte CIELAB-Daten						
u^*_e	$L^*=L^*_a$	a^*_a	b^*_a	$C^*_{ab,a}$	$h^*_{ab,a}$	
O _{Ma}	48.75	65.07	39.43	76.08	31	
Y _{Ma}	90.92	-10.29	87.24	87.85	97	
L _{Ma}	52.69	-65.44	20.75	68.65	162	
C _{Ma}	59.61	-28.98	-46.22	54.56	238	
V _{Ma}	28.39	23.63	-44.13	50.06	298	
M _{Ma}	49.58	73.93	-9.56	74.55	353	
N _{Ma}	18.89	0.0	0.0	0.0	0	
W _{Ma}	96.9	0.0	0.0	0.0	0	
R _{Ma}	39.92	58.74	27.99	65.07	25	
J _{Ma}	81.26	-2.89	71.56	71.62	92	
G _{Ma}	52.23	-42.42	13.6	44.55	162	
B _{Ma}	30.57	1.41	-46.47	46.49	272	

Daten für Maximalfarbe (Ma):

$LAB^*LAB^*_{Ma}$: 55 -22 -46

$LAB^*LCH^*_{Ma}$: 55 51 244

$lab^*rgb^*_{Ma}$: 0.0 0.5 1.0

$lab^*olv^*_{Ma}$: 0.0 0.89 1.0

Dreiecks-Helligkeit i^*

%Umfang

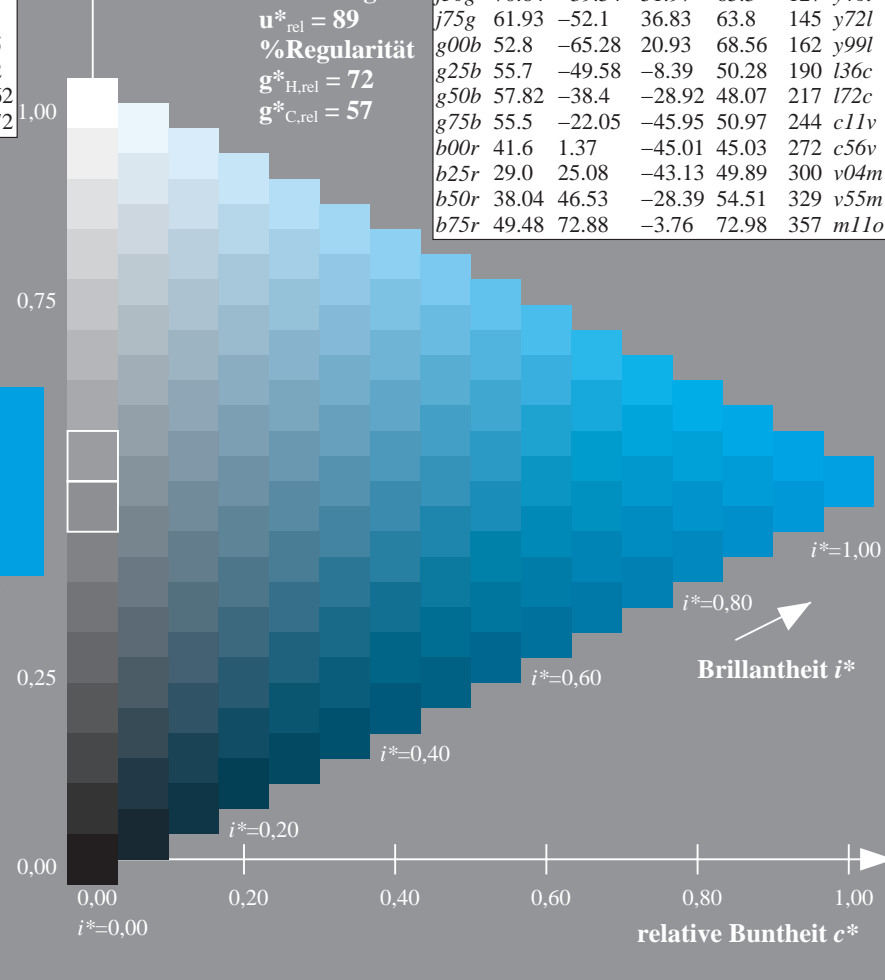
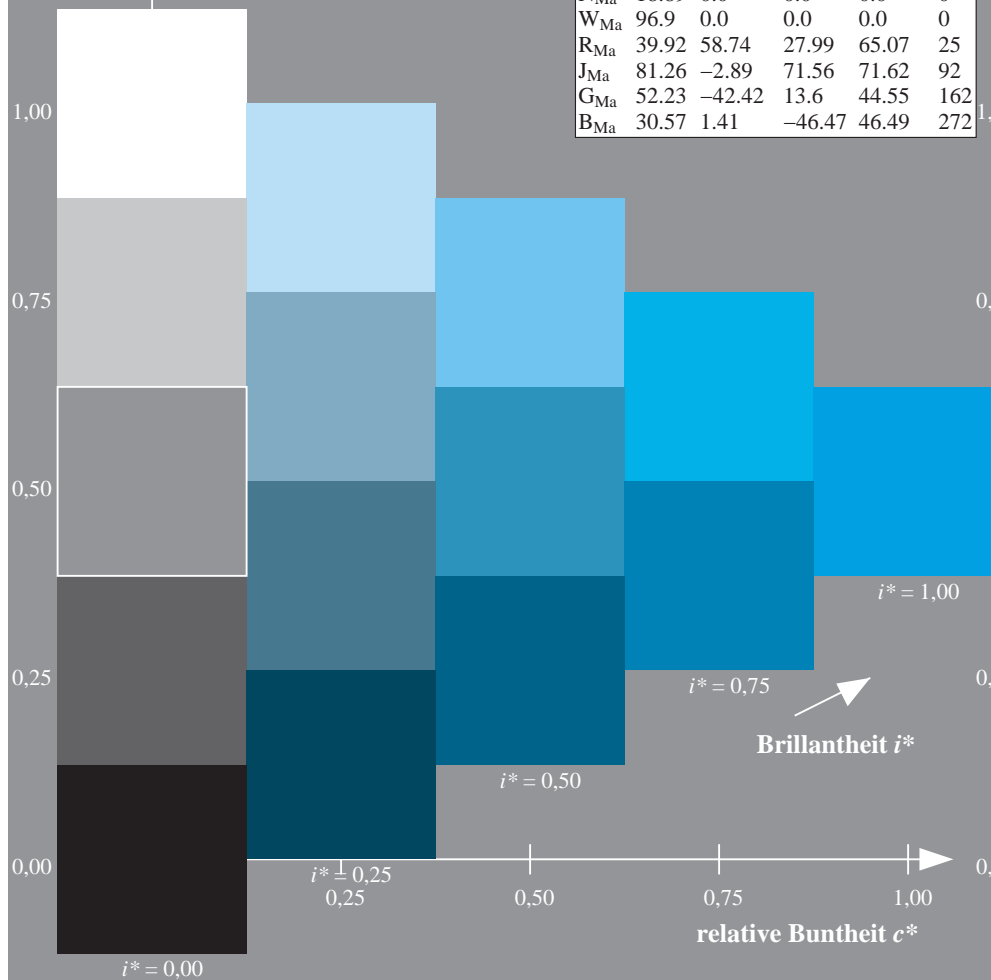
$u^*_{rel} = 89$

%Regularität

$g^*_{H,rel} = 72$

$g^*_{C,rel} = 57$

ORS19_96a; adaptierte CIELAB-Daten						
u^*_e	$L^*=L^*_a$	a^*_a	b^*_a	$C^*_{ab,a}$	$h^*_{ab,a}$	u^*_d
r00j	48.88	66.47	31.67	73.63	25	m84o
r25j	55.85	52.39	47.48	70.7	42	o17y
r50j	65.45	35.22	58.37	68.17	59	o42y
r75j	75.19	17.82	69.41	71.66	76	o67y
j00g	87.03	-3.35	82.83	82.9	92	o92y
j25g	80.72	-25.01	69.5	73.86	110	y20l
j50g	70.64	-39.54	51.97	65.3	127	y46l
j75g	61.93	-52.1	36.83	63.8	145	y72l
g00b	52.8	-65.28	20.93	68.56	162	y99l
g25b	55.7	-49.58	-8.39	50.28	190	l36c
g50b	57.82	-38.4	-28.92	48.07	217	l72c
g75b	55.5	-22.05	-45.95	50.97	244	c11v
b00r	41.6	1.37	-45.01	45.03	272	c56v
b25r	29.0	25.08	-43.13	49.89	300	v04m
b50r	38.04	46.53	-28.39	54.51	329	v55m
b75r	49.48	72.88	-3.76	72.98	357	m11o



Ein und Ausgabe: Farbmatisches Drucker-Reflektiv-System ORS19_96a für relativen CIELAB-Buntton $h^* = lab^*h^* = h_{ab}/360 = 0.755$

Daten für jede Farbe:

lab^*ch^* und lab^*icu^*

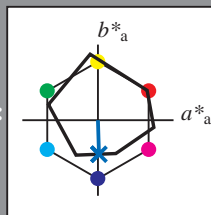
Bunttontexte:

$u_e^* = b00r$ $u_d^* = c56v$

Kontrastreduzierungsfaktor:

$c_R = 1.0$

Dreiecks-Helligkeit i^*



ORS19_96a; adaptierte CIELAB-Daten

u_e^*	$L^*=L_a^*$	a_a^*	b_a^*	$C_{ab,a}^*$	$h_{ab,a}^*$
O _{Ma}	48.75	65.07	39.43	76.08	31
Y _{Ma}	90.92	-10.29	87.24	87.85	97
L _{Ma}	52.69	-65.44	20.75	68.65	162
C _{Ma}	59.61	-28.98	-46.22	54.56	238
V _{Ma}	28.39	23.63	-44.13	50.06	298
M _{Ma}	49.58	73.93	-9.56	74.55	353
N _{Ma}	18.89	0.0	0.0	0.0	0
W _{Ma}	96.9	0.0	0.0	0.0	0
R _{Ma}	39.92	58.74	27.99	65.07	25
J _{Ma}	81.26	-2.89	71.56	71.62	92
G _{Ma}	52.23	-42.42	13.6	44.55	162
B _{Ma}	30.57	1.41	-46.47	46.49	272

Daten für Maximalfarbe (Ma):

$LAB^*LAB^*_{Ma}$: 42 1 -45

$LAB^*LCH^*_{Ma}$: 42 45 271

$lab^*rgb^*_{Ma}$: 0.0 0.0 1.0

$lab^*olv^*_{Ma}$: 0.0 0.44 1.0

Dreiecks-Helligkeit i^*

%Umfang

$u_{rel}^* = 89$

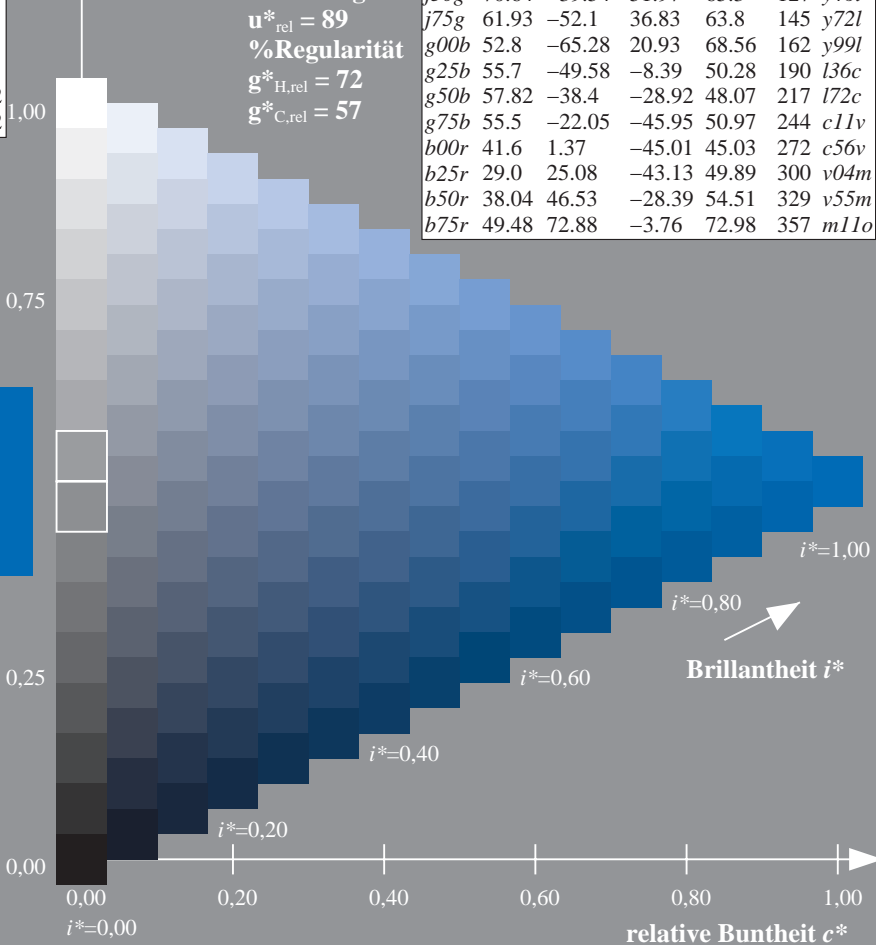
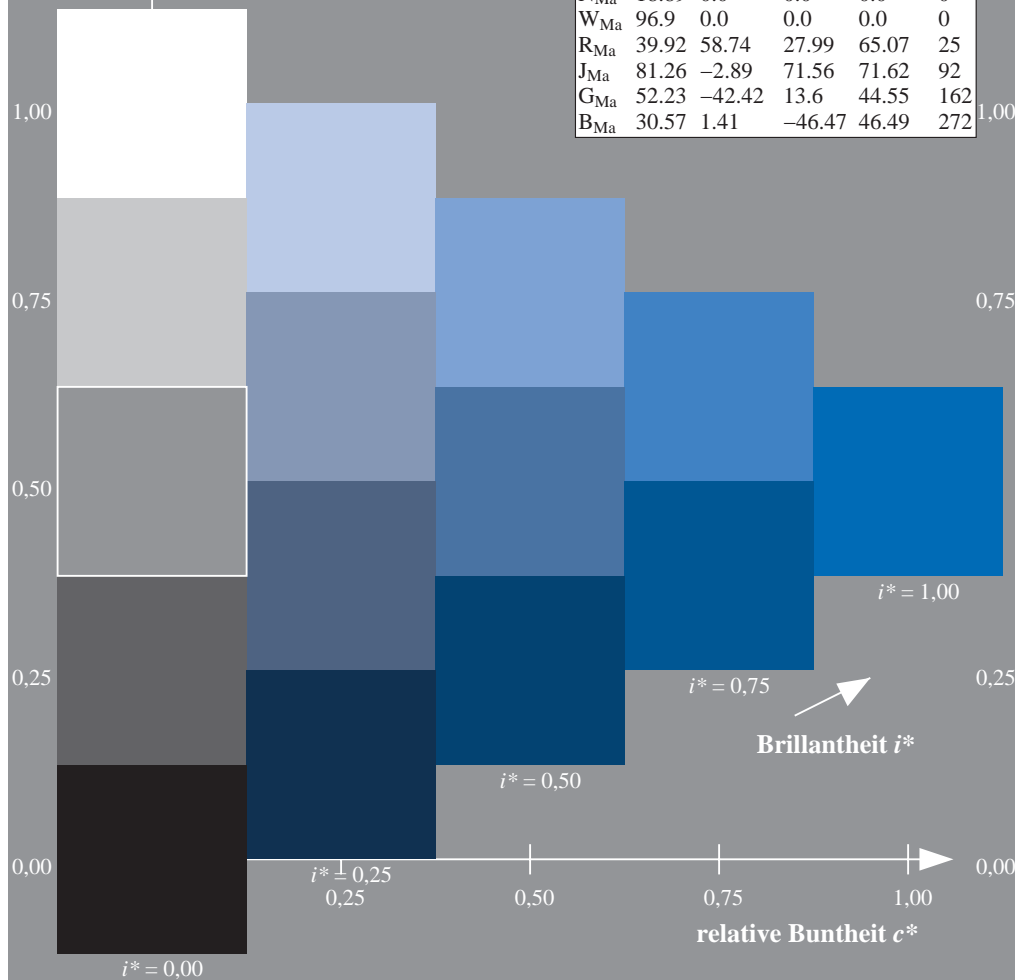
%Regularität

$g_{H,rel}^* = 72$

$g_{C,rel}^* = 57$

ORS19_96a; adaptierte CIELAB-Daten

u_e^*	$L^*=L_a^*$	a_a^*	b_a^*	$C_{ab,a}^*$	$h_{ab,a}^*$	u_d^*
r00j	48.88	66.47	31.67	73.63	25	m84o
r25j	55.85	52.39	47.48	70.7	42	o17y
r50j	65.45	35.22	58.37	68.17	59	o42y
r75j	75.19	17.82	69.41	71.66	76	o67y
j00g	87.03	-3.35	82.83	82.9	92	o92y
j25g	80.72	-25.01	69.5	73.86	110	y20l
j50g	70.64	-39.54	51.97	65.3	127	y46l
j75g	61.93	-52.1	36.83	63.8	145	y72l
g00b	52.8	-65.28	20.93	68.56	162	y99l
g25b	55.7	-49.58	-8.39	50.28	190	l36c
g50b	57.82	-38.4	-28.92	48.07	217	l72c
g75b	55.5	-22.05	-45.95	50.97	244	c11v
b00r	41.6	1.37	-45.01	45.03	272	c56v
b25r	29.0	25.08	-43.13	49.89	300	v04m
b50r	38.04	46.53	-28.39	54.51	329	v55m
b75r	49.48	72.88	-3.76	72.98	357	m11o



Ein und Ausgabe: Farbmétrisches Drucker-Reflektiv-System ORS19_96a für relativen CIELAB-Buntton $h^* = lab^*h^* = h_{ab}/360 = 0.834$

Daten für jede Farbe:

lab^*tch^* und lab^*icu^*

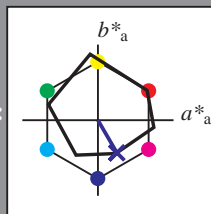
Bunttontexte:

$u^*_e = b25r$ $u^*_d = v04m$

Kontrastreduzierungsfaktor:

$c_R = 1.0$

Dreiecks-Helligkeit i^*



ORS19_96a; adaptierte CIELAB-Daten

u^*_e	$L^*=L^*_a$	a^*_a	b^*_a	$C^*_{ab,a}$	$h^*_{ab,a}$
O _{Ma}	48.75	65.07	39.43	76.08	31
Y _{Ma}	90.92	-10.29	87.24	87.85	97
L _{Ma}	52.69	-65.44	20.75	68.65	162
C _{Ma}	59.61	-28.98	-46.22	54.56	238
V _{Ma}	28.39	23.63	-44.13	50.06	298
M _{Ma}	49.58	73.93	-9.56	74.55	353
N _{Ma}	18.89	0.0	0.0	0.0	0
W _{Ma}	96.9	0.0	0.0	0.0	0
R _{Ma}	39.92	58.74	27.99	65.07	25
J _{Ma}	81.26	-2.89	71.56	71.62	92
G _{Ma}	52.23	-42.42	13.6	44.55	162
B _{Ma}	30.57	1.41	-46.47	46.49	272

Daten für Maximalfarbe (Ma):

$LAB^*LAB^*_{Ma}$: 29 25 -43

$LAB^*LCH^*_{Ma}$: 29 50 300

$lab^*rgb^*_{Ma}$: 0.5 0.0 1.0

$lab^*olv^*_{Ma}$: 0.04 0.0 1.0

Dreiecks-Helligkeit i^*

%Umfang

$u^*_{rel} = 89$

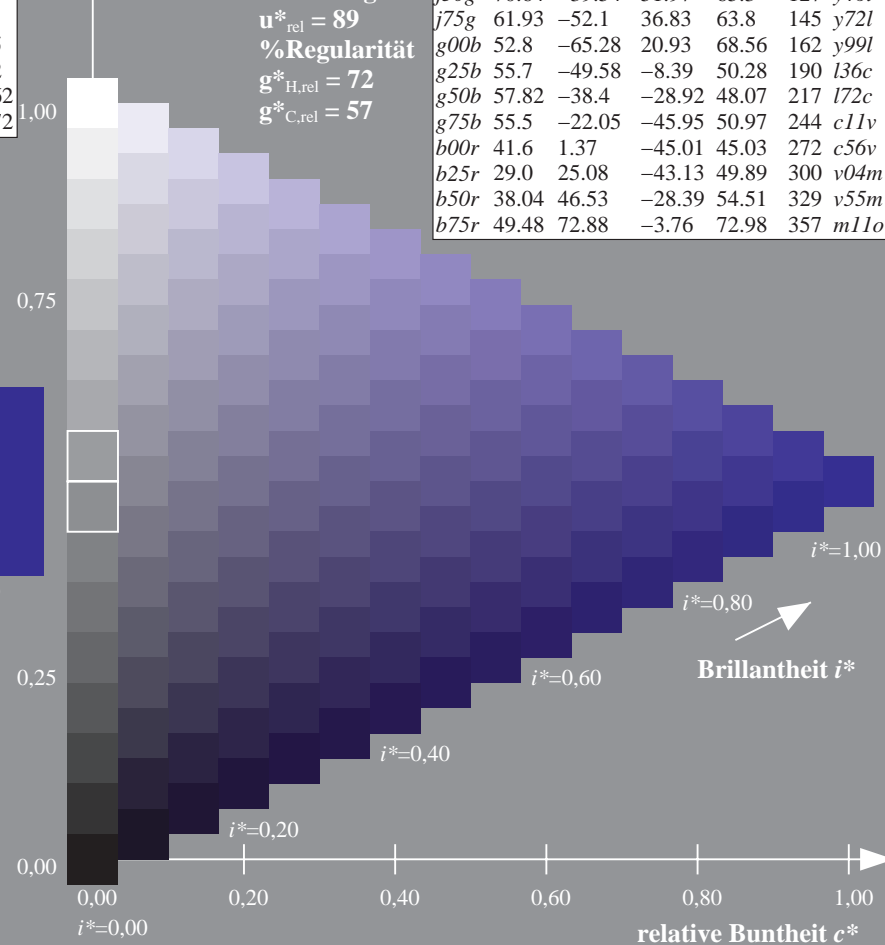
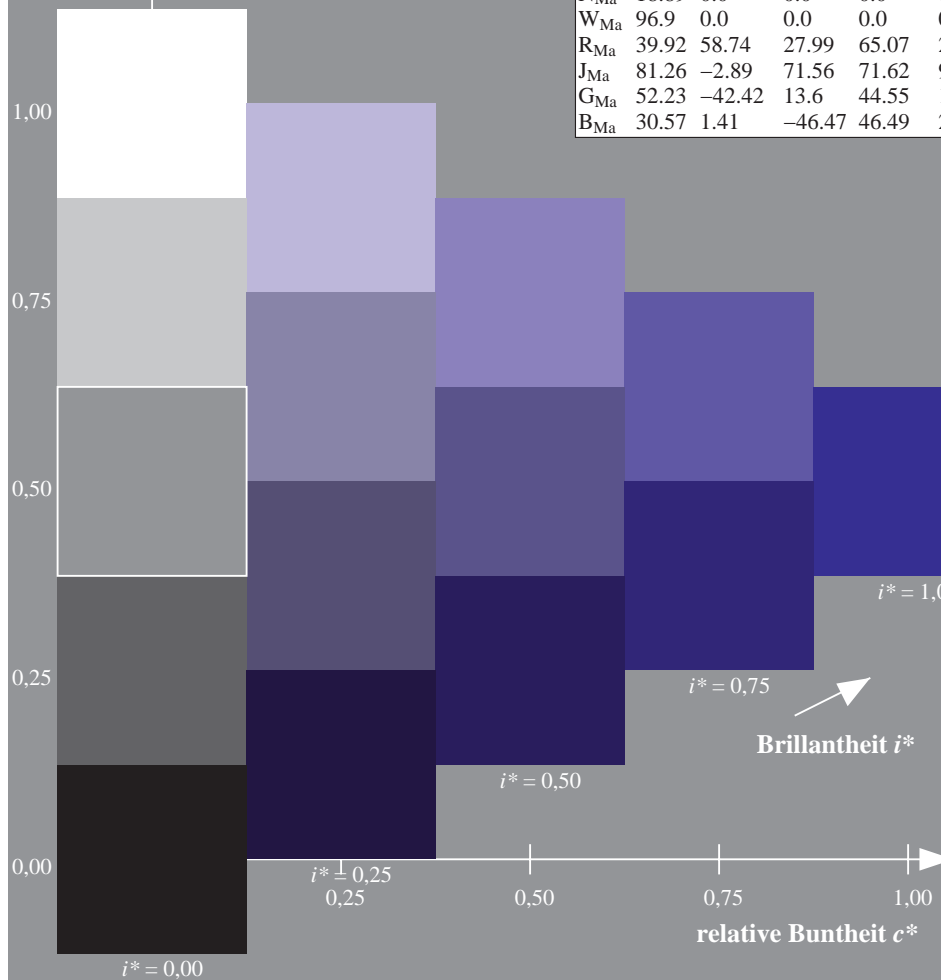
%Regularität

$g^*_{H,rel} = 72$

$g^*_{C,rel} = 57$

ORS19_96a; adaptierte CIELAB-Daten

u^*_e	$L^*=L^*_a$	a^*_a	b^*_a	$C^*_{ab,a}$	$h^*_{ab,a}$	u^*_d
r00j	48.88	66.47	31.67	73.63	25	m84o
r25j	55.85	52.39	47.48	70.7	42	o17y
r50j	65.45	35.22	58.37	68.17	59	o42y
r75j	75.19	17.82	69.41	71.66	76	o67y
j00g	87.03	-3.35	82.83	82.9	92	o92y
j25g	80.72	-25.01	69.5	73.86	110	y20l
j50g	70.64	-39.54	51.97	65.3	127	y46l
j75g	61.93	-52.1	36.83	63.8	145	y72l
g00b	52.8	-65.28	20.93	68.56	162	y99l
g25b	55.7	-49.58	-8.39	50.28	190	l36c
g50b	57.82	-38.4	-28.92	48.07	217	l72c
g75b	55.5	-22.05	-45.95	50.97	244	c11v
b00r	41.6	1.37	-45.01	45.03	272	c56v
b25r	29.0	25.08	-43.13	49.89	300	v04m
b50r	38.04	46.53	-28.39	54.51	329	v55m
b75r	49.48	72.88	-3.76	72.98	357	m11o



Ein und Ausgabe: Farbmetrisches Drucker-Reflektiv-System ORS19_96a für relativen CIELAB-Buntton $h^* = lab^*h^* = h_{ab}/360 = 0.913$

Daten für jede Farbe:

lab^*tch^* und lab^*icu^*

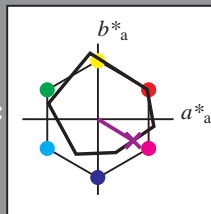
Bunttontexte:

$u^*_e = b50r$ $u^*_d = v55m$

Kontrastreduzierungsfaktor:

$c_R = 1.0$

Dreiecks-Helligkeit i^*



ORS19_96a; adaptierte CIELAB-Daten

u^*_e	$L^*=L^*_a$	a^*_a	b^*_a	$C^*_{ab,a}$	$h^*_{ab,a}$
O _{Ma}	48.75	65.07	39.43	76.08	31
Y _{Ma}	90.92	-10.29	87.24	87.85	97
L _{Ma}	52.69	-65.44	20.75	68.65	162
C _{Ma}	59.61	-28.98	-46.22	54.56	238
V _{Ma}	28.39	23.63	-44.13	50.06	298
M _{Ma}	49.58	73.93	-9.56	74.55	353
N _{Ma}	18.89	0.0	0.0	0.0	0
W _{Ma}	96.9	0.0	0.0	0.0	0
R _{Ma}	39.92	58.74	27.99	65.07	25
J _{Ma}	81.26	-2.89	71.56	71.62	92
G _{Ma}	52.23	-42.42	13.6	44.55	162
B _{Ma}	30.57	1.41	-46.47	46.49	272

Daten für Maximalfarbe (Ma):

$LAB^*LAB^*_{Ma}$: 38 47 -28

$LAB^*LCH^*_{Ma}$: 38 55 328

$lab^*rgb^*_{Ma}$: 1.0 0.0 1.0

$lab^*olv^*_{Ma}$: 0.56 0.0 1.0

Dreiecks-Helligkeit i^*

%Umfang

$u^*_{rel} = 89$

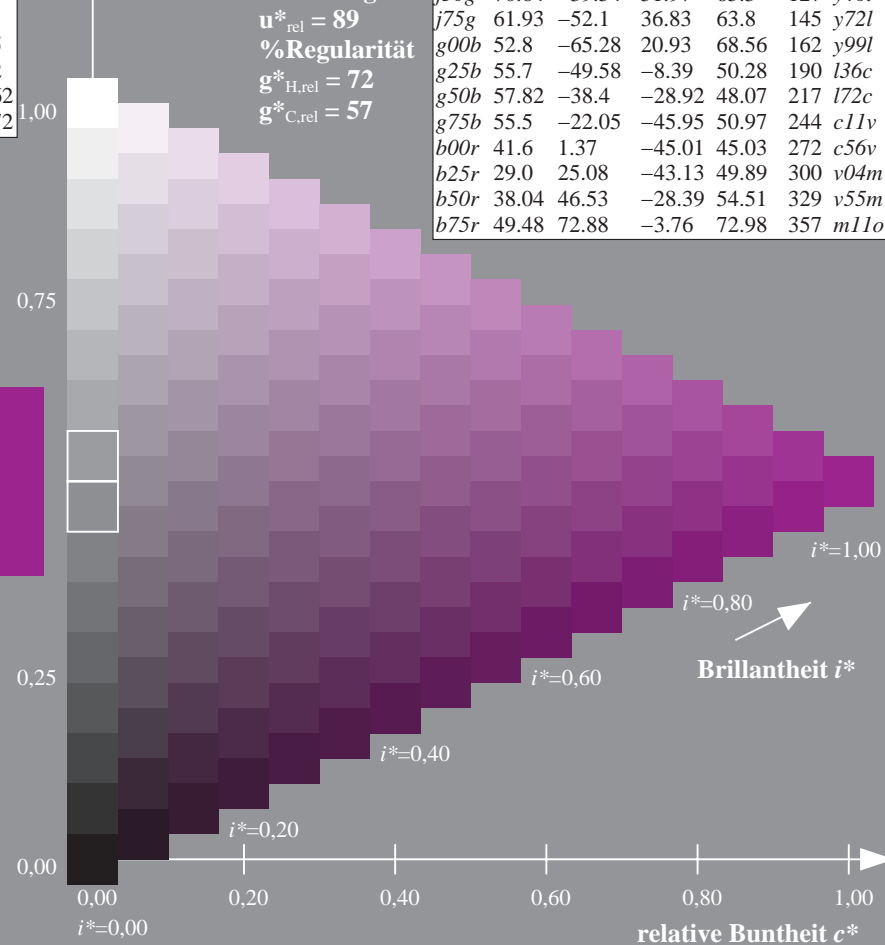
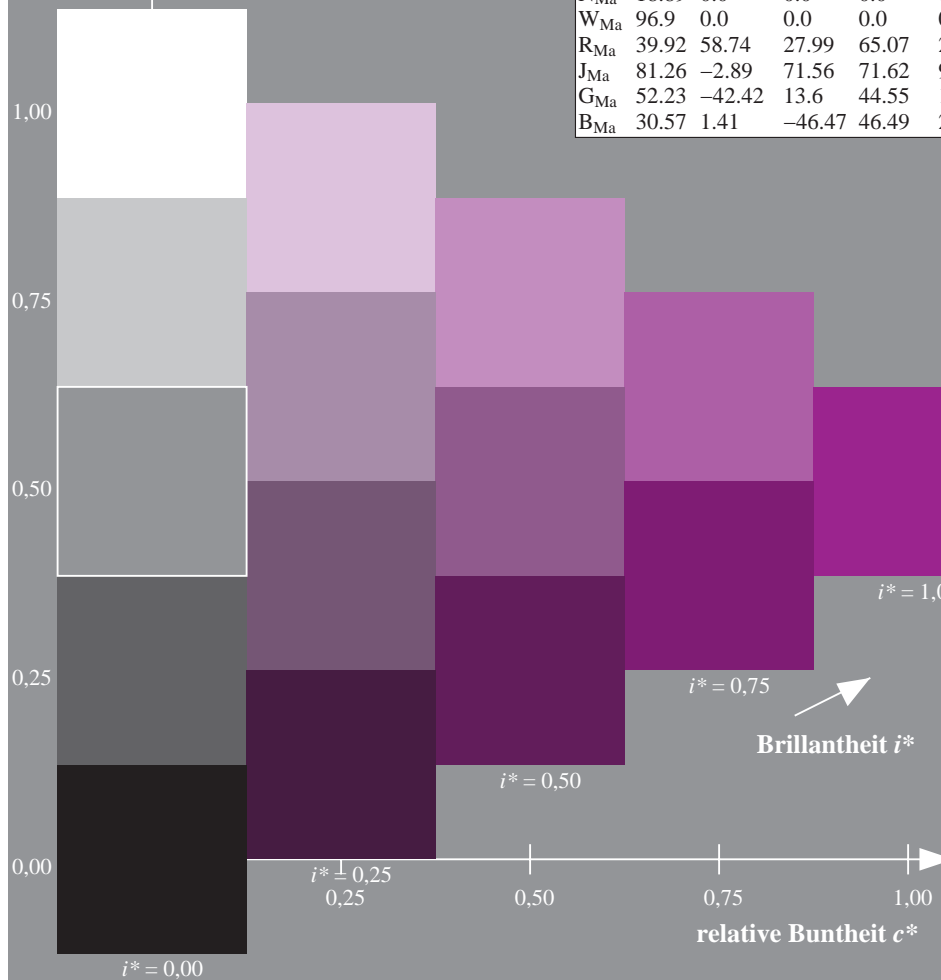
%Regularität

$g^*_{H,rel} = 72$

$g^*_{C,rel} = 57$

ORS19_96a; adaptierte CIELAB-Daten

u^*_e	$L^*=L^*_a$	a^*_a	b^*_a	$C^*_{ab,a}$	$h^*_{ab,a}$	u^*_d
r00j	48.88	66.47	31.67	73.63	25	m84o
r25j	55.85	52.39	47.48	70.7	42	o17y
r50j	65.45	35.22	58.37	68.17	59	o42y
r75j	75.19	17.82	69.41	71.66	76	o67y
j00g	87.03	-3.35	82.83	82.9	92	o92y
j25g	80.72	-25.01	69.5	73.86	110	y20l
j50g	70.64	-39.54	51.97	65.3	127	y46l
j75g	61.93	-52.1	36.83	63.8	145	y72l
g00b	52.8	-65.28	20.93	68.56	162	y99l
g25b	55.7	-49.58	-8.39	50.28	190	l36c
g50b	57.82	-38.4	-28.92	48.07	217	l72c
g75b	55.5	-22.05	-45.95	50.97	244	c11v
b00r	41.6	1.37	-45.01	45.03	272	c56v
b25r	29.0	25.08	-43.13	49.89	300	v04m
b50r	38.04	46.53	-28.39	54.51	329	v55m
b75r	49.48	72.88	-3.76	72.98	357	m11o



Ein und Ausgabe: Farbmimetrisches Drucker-Reflektiv-System ORS19_96a für relativen CIELAB-Buntton $h^* = lab^*h^* = h_{ab}/360 = 0.992$

Daten für jede Farbe:

lab^*tch^* und lab^*icu^*

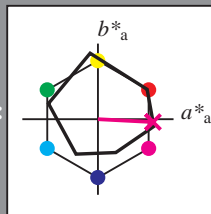
Bunttontexte:

$u^*_e = b75r$ $u^*_d = m11o$

Kontrastreduzierungsfaktor:

$c_R = 1.0$

Dreiecks-Helligkeit i^*



ORS19_96a; adaptierte CIELAB-Daten

	u^*_e	$L^*=L^*_a$	a^*_a	b^*_a	$C^*_{ab,a}$	$h^*_{ab,a}$
O _{Ma}	48.75	65.07	39.43	76.08	31	
Y _{Ma}	90.92	-10.29	87.24	87.85	97	
L _{Ma}	52.69	-65.44	20.75	68.65	162	
C _{Ma}	59.61	-28.98	-46.22	54.56	238	
V _{Ma}	28.39	23.63	-44.13	50.06	298	
M _{Ma}	49.58	73.93	-9.56	74.55	353	
N _{Ma}	18.89	0.0	0.0	0.0	0	
W _{Ma}	96.9	0.0	0.0	0.0	0	
R _{Ma}	39.92	58.74	27.99	65.07	25	
J _{Ma}	81.26	-2.89	71.56	71.62	92	
G _{Ma}	52.23	-42.42	13.6	44.55	162	
B _{Ma}	30.57	1.41	-46.47	46.49	272	

Daten für Maximalfarbe (Ma):

$LAB^*LAB^*_{Ma}$: 49 73 -4

$LAB^*LCH^*_{Ma}$: 49 73 357

$lab^*rgb^*_{Ma}$: 1.0 0.0 0.5

$lab^*olv^*_{Ma}$: 1.0 0.0 0.89

Dreiecks-Helligkeit i^*

%Umfang

$u^*_{rel} = 89$

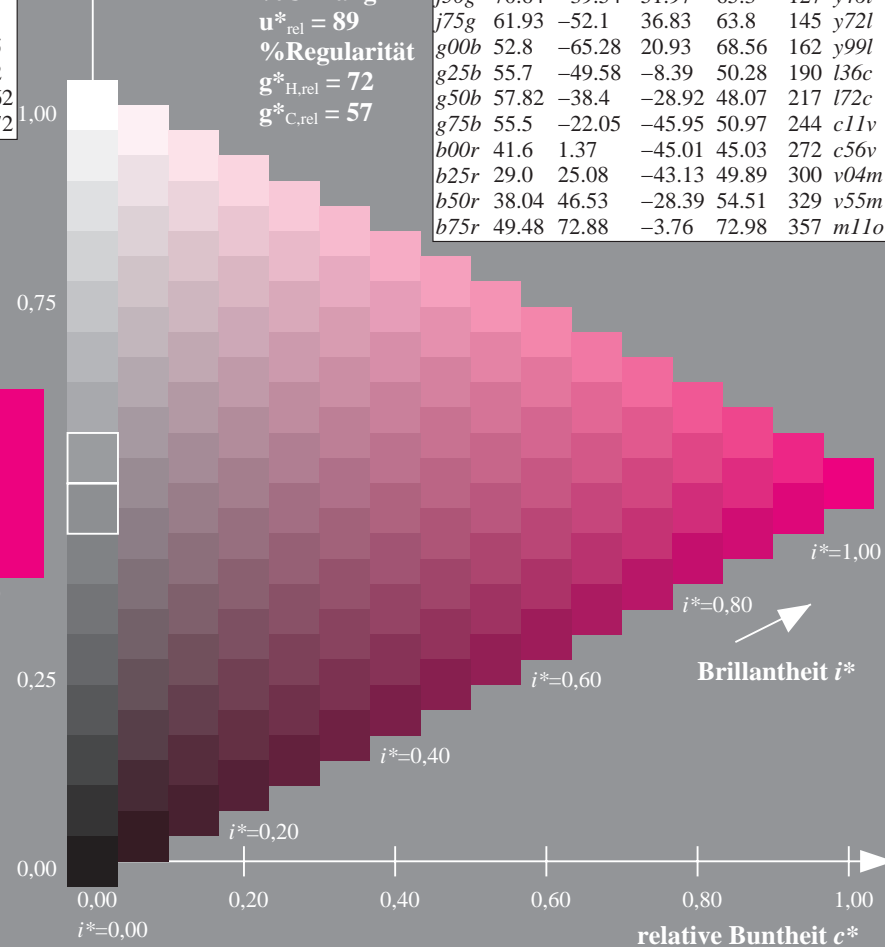
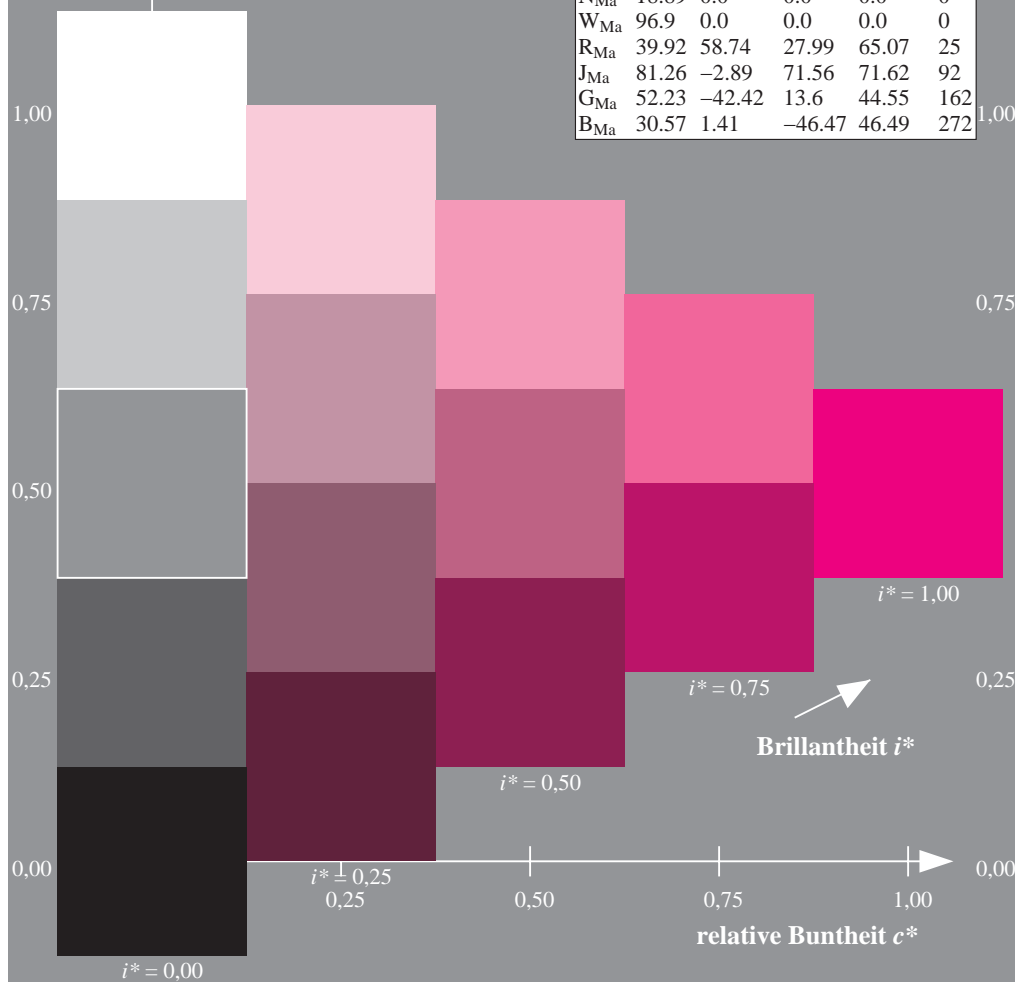
%Regularität

$g^*_{H,rel} = 72$

$g^*_{C,rel} = 57$

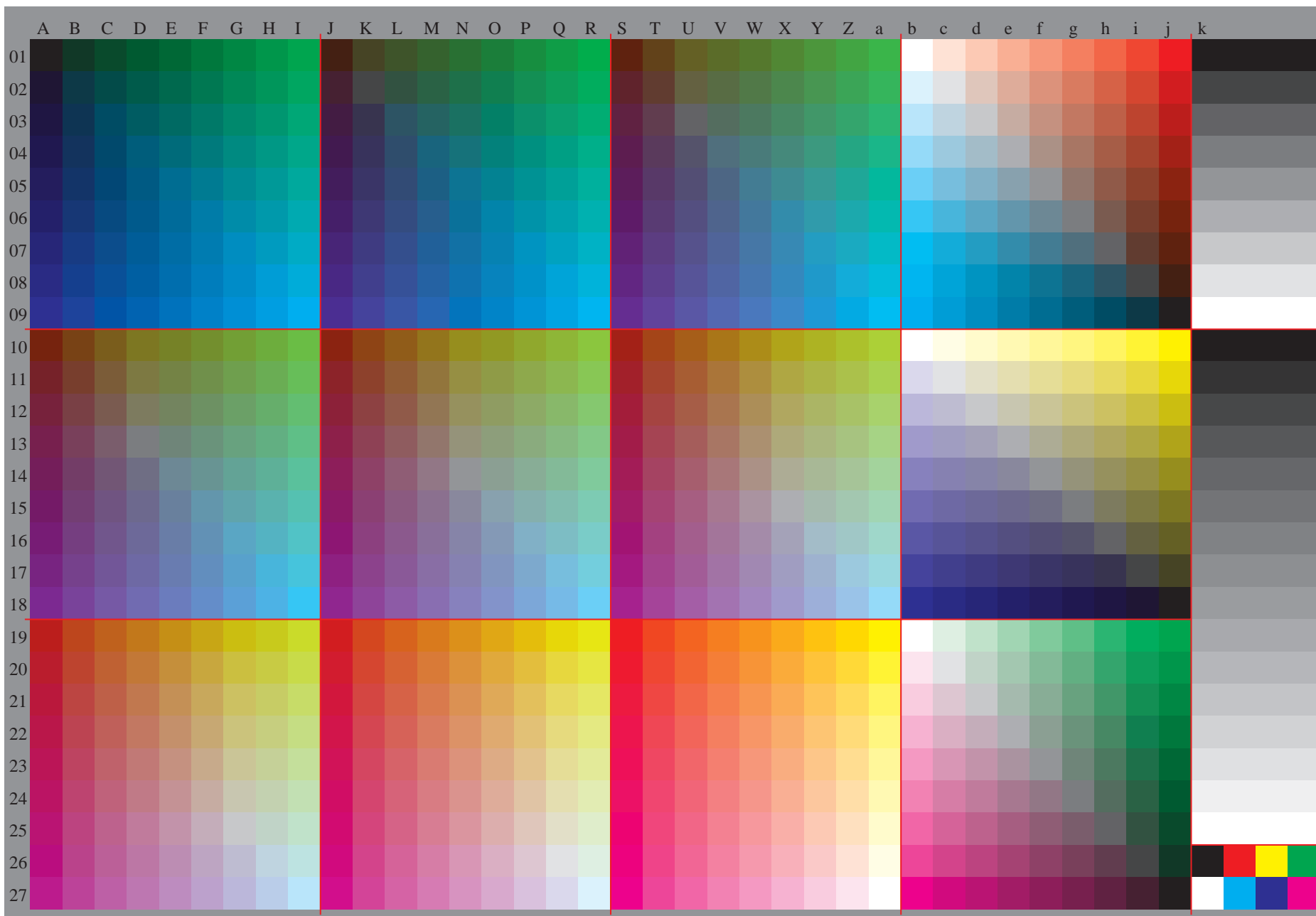
ORS19_96a; adaptierte CIELAB-Daten

	u^*_e	$L^*=L^*_a$	a^*_a	b^*_a	$C^*_{ab,a}$	$h^*_{ab,a}$	u^*_d
r00j	48.88	66.47	31.67	73.63	25		m84o
r25j	55.85	52.39	47.48	70.7	42		o17y
r50j	65.45	35.22	58.37	68.17	59		o42y
r75j	75.19	17.82	69.41	71.66	76		o67y
j00g	87.03	-3.35	82.83	82.9	92		o92y
j25g	80.72	-25.01	69.5	73.86	110		y20l
j50g	70.64	-39.54	51.97	65.3	127		y46l
j75g	61.93	-52.1	36.83	63.8	145		y72l
g00b	52.8	-65.28	20.93	68.56	162		y99l
g25b	55.7	-49.58	-8.39	50.28	190		l36c
g50b	57.82	-38.4	-28.92	48.07	217		l72c
g75b	55.5	-22.05	-45.95	50.97	244		c11v
b00r	41.6	1.37	-45.01	45.03	272		c56v
b25r	29.0	25.08	-43.13	49.89	300		v04m
b50r	38.04	46.53	-28.39	54.51	329		v55m
b75r	49.48	72.88	-3.76	72.98	357		m11o



Siehe ähnliche Dateien: <http://www.ps.bam.de/Eg38/>; www.ps.bam.de/Eg.HTM
Technische Information: <http://www.ps.bam.de> Version 2.1, io=1,1, Col5px=1

BAM-Registrierung: 20081001-Eg38/10L/L38G00NA.PS/.TXT BAM-Material: Code=rh4ta
Anwendung für Beurteilung und Messung von Drucker- oder Monitorsystemen

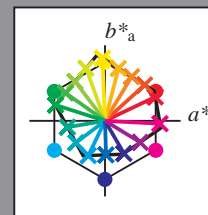


Ein und Ausgabe:
Farbmetrisches Drucker-Reflektiv-System ORS19_96a
Daten für jede Farbe:

u^*_e und Nummer $Nr.$ = 00 .. 15
Elementar-Bunttontext:
 $u^*_e = 16$ Bunttoene $r00j, r25j, \dots, b75r$
Kontrastreduzierungsfaktor:
 $c_R = 1.0$

ORS19_96a; adaptierte CIELAB-Daten

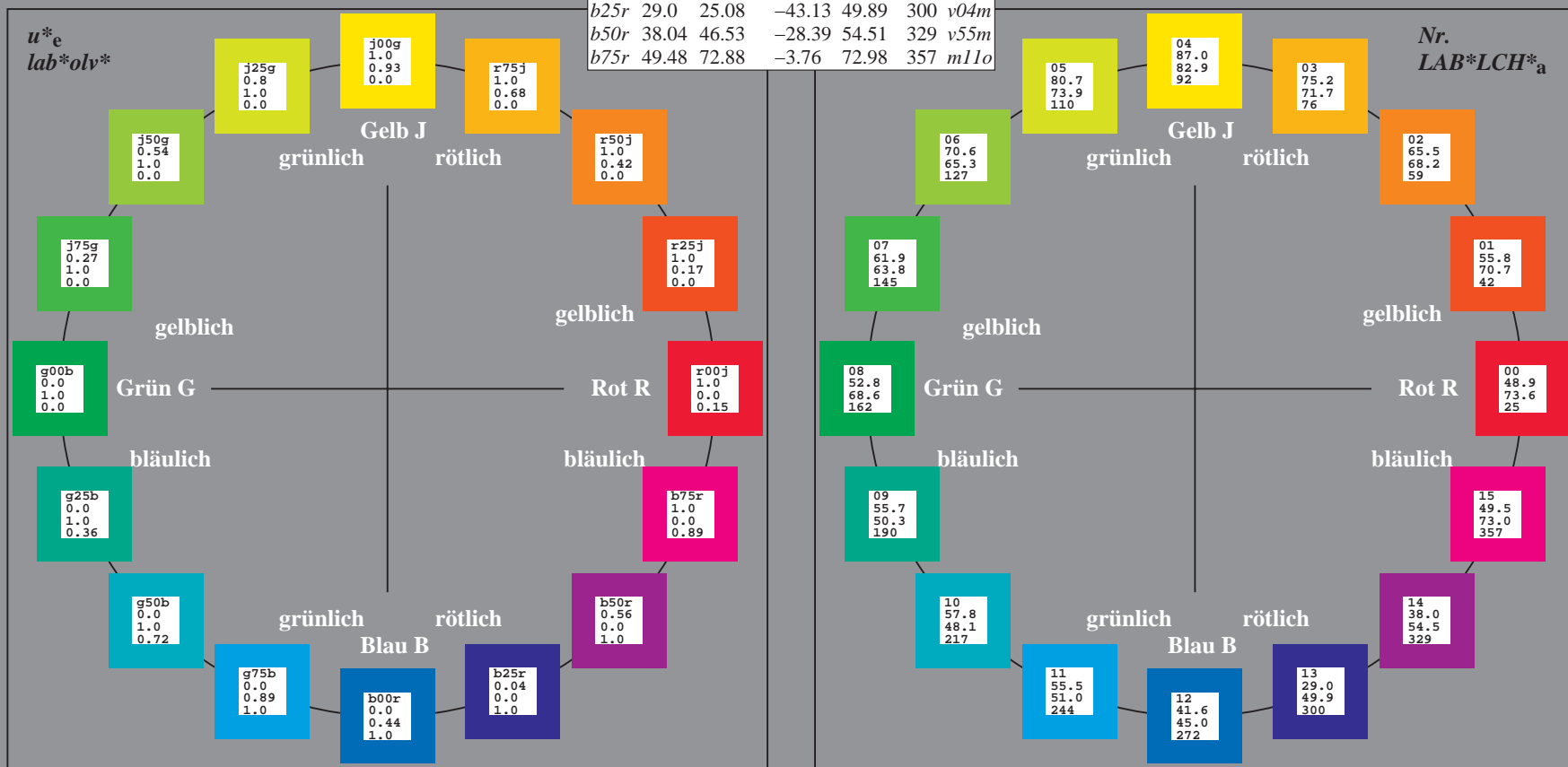
u^*_e	$L^*=L^*_a$	a^*_a	b^*_a	$C^*_{ab,a}$	$h^*_{ab,a}$	u^*_d
$r00j$	48.88	66.47	31.67	73.63	25	$m84o$
$r25j$	55.85	52.39	47.48	70.7	42	$o17y$
$r50j$	65.45	35.22	58.37	68.17	59	$o42y$
$r75j$	75.19	17.82	69.41	71.66	76	$o67y$
$j00g$	87.03	-3.35	82.83	82.9	92	$o92y$
$j25g$	80.72	-25.01	69.5	73.86	110	$y20l$
$j50g$	70.64	-39.54	51.97	65.3	127	$y46l$
$j75g$	61.93	-52.1	36.83	63.8	145	$y72l$
$g00b$	52.8	-65.28	20.93	68.56	162	$y99l$
$g25b$	55.7	-49.58	-8.39	50.28	190	$l36c$
$g50b$	57.82	-38.4	-28.92	48.07	217	$l72c$
$g75b$	55.5	-22.05	-45.95	50.97	244	$c11v$
$b00r$	41.6	1.37	-45.01	45.03	272	$c56v$
$b25r$	29.0	25.08	-43.13	49.89	300	$v04m$
$b50r$	38.04	46.53	-28.39	54.51	329	$v55m$
$b75r$	49.48	72.88	-3.76	72.98	357	$m11o$



%Umfang
 $u^*_{rel} = 89$
%Regularität
 $g^*_{H,rel} = 72$
 $g^*_{C,rel} = 57$

ORS19_96a; adaptierte CIELAB-Daten

Name	$L^*=L^*_a$	a^*_a	b^*_a	$C^*_{ab,a}$	$h^*_{ab,a}$
O_{Ma}	48.75	65.07	39.43	76.08	31
Y_{Ma}	90.92	-10.29	87.24	87.85	97
L_{Ma}	52.69	-65.44	20.75	68.65	162
C_{Ma}	59.61	-28.98	-46.22	54.56	238
V_{Ma}	28.39	23.63	-44.13	50.06	298
M_{Ma}	49.58	73.93	-9.56	74.55	353
N_{Ma}	18.89	0.0	0.0	0.0	0
W_{Ma}	96.9	0.0	0.0	0.0	0
R_{CIE}	39.92	58.74	27.99	65.07	25
J_{CIE}	81.26	-2.89	71.56	71.62	92
G_{CIE}	52.23	-42.42	13.6	44.55	162
B_{CIE}	30.57	1.41	-46.47	46.49	272



Ein und Ausgabe: Farbmetrisches Drucker-Reflektiv-System ORS19_96a für relativen CIELAB-Buntton $h^* = lab^*h^* = h_{ab}/360 = 0.071$

Daten für jede Farbe:

lab^*tch^* und lab^*icu^*

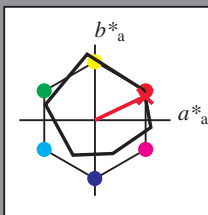
Bunttontexte:

$u^*_e = r00j$ $u^*_d = m84o$

Kontrastreduzierungsfaktor:

$c_R = 1.0$

Dreiecks-Helligkeit i^*



ORS19_96a; adaptierte CIELAB-Daten						
u^*_e	$L^*=L^*_a$	a^*_a	b^*_a	$C^*_{ab,a}$	$h^*_{ab,a}$	u^*_d
O _{Ma}	48.75	65.07	39.43	76.08	31	
Y _{Ma}	90.92	-10.29	87.24	87.85	97	
L _{Ma}	52.69	-65.44	20.75	68.65	162	
C _{Ma}	59.61	-28.98	-46.22	54.56	238	
V _{Ma}	28.39	23.63	-44.13	50.06	298	
M _{Ma}	49.58	73.93	-9.56	74.55	353	
N _{Ma}	18.89	0.0	0.0	0.0	0	
W _{Ma}	96.9	0.0	0.0	0.0	0	
R _{Ma}	39.92	58.74	27.99	65.07	25	
J _{Ma}	81.26	-2.89	71.56	71.62	92	
G _{Ma}	52.23	-42.42	13.6	44.55	162	
B _{Ma}	30.57	1.41	-46.47	46.49	272	

Daten für Maximalfarbe (Ma):

$LAB^*LAB^*_{Ma}$: 49 66 32

$LAB^*LCH^*_{Ma}$: 49 74 25

$lab^*rgb^*_{Ma}$: 1.0 0.0 0.0

$lab^*olv^*_{Ma}$: 1.0 0.0 0.15

Dreiecks-Helligkeit i^*

%Umfang

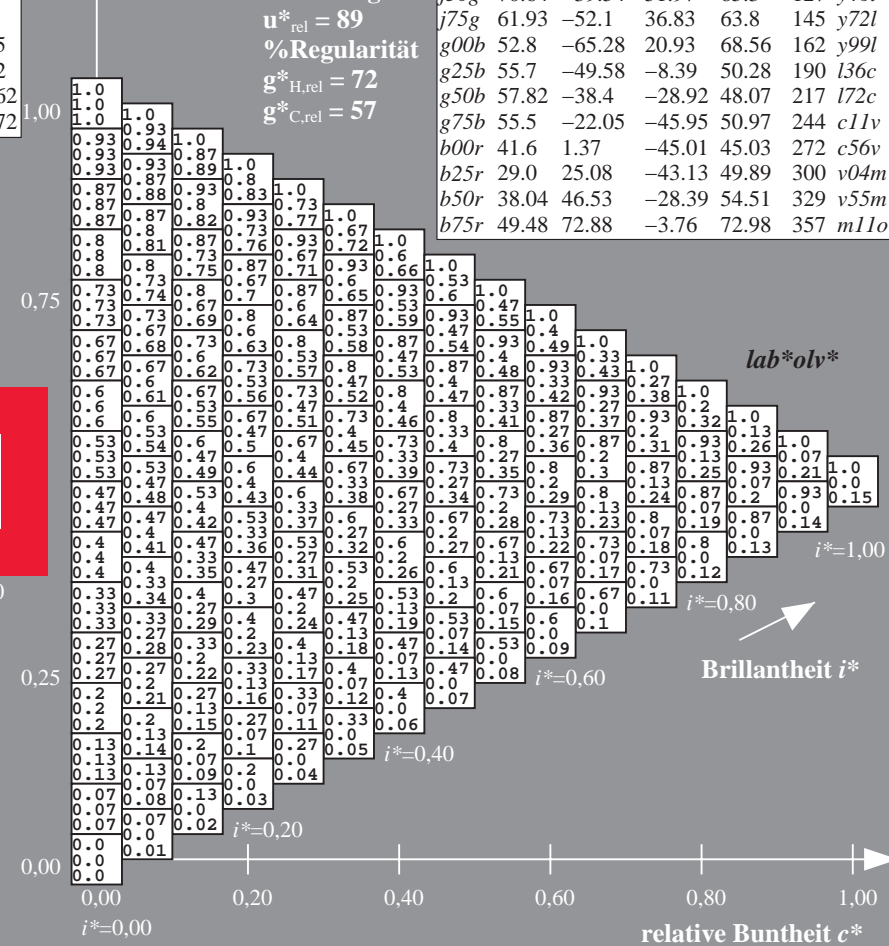
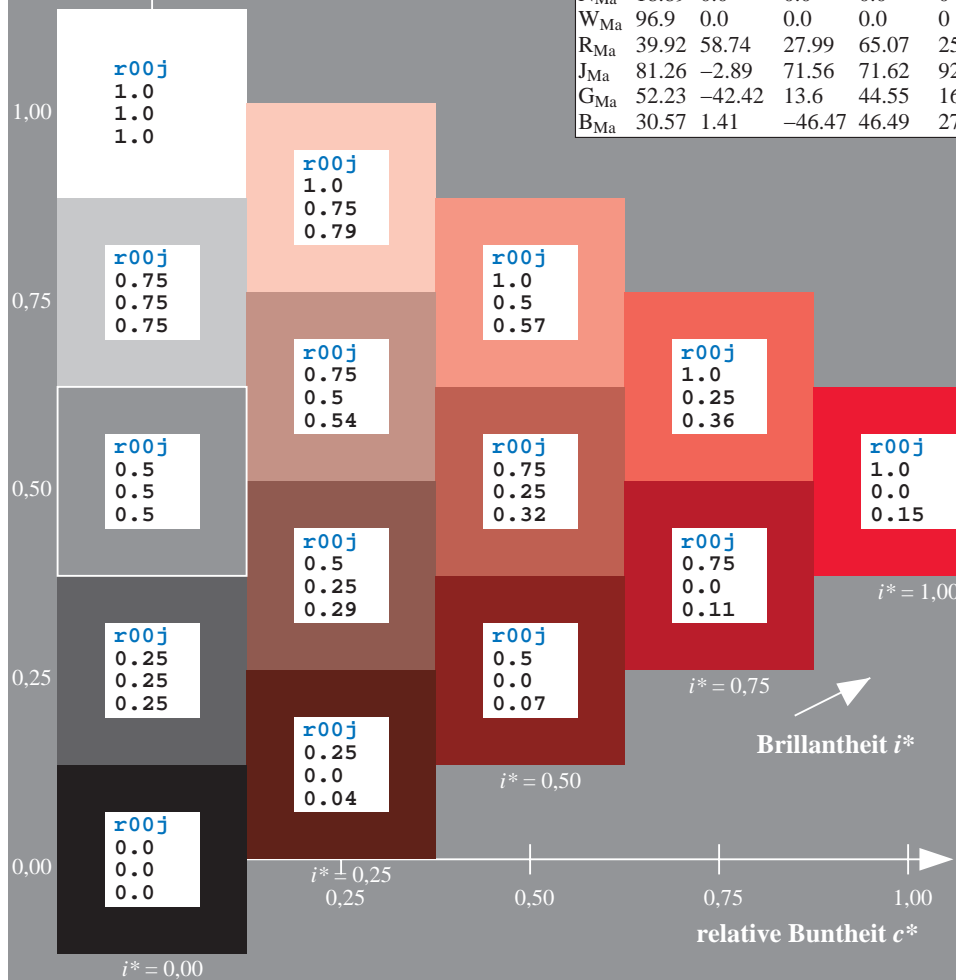
$u^*_{rel} = 89$

%Regularität

$g^*_{H,rel} = 72$

$g^*_{C,rel} = 57$

ORS19_96a; adaptierte CIELAB-Daten						
u^*_e	$L^*=L^*_a$	a^*_a	b^*_a	$C^*_{ab,a}$	$h^*_{ab,a}$	u^*_d
r00j	48.88	66.47	31.67	73.63	25	m84o
r25j	55.85	52.39	47.48	70.7	42	o17y
r50j	65.45	35.22	58.37	68.17	59	o42y
r75j	75.19	17.82	69.41	71.66	76	o67y
j00g	87.03	-3.35	82.83	82.9	92	o92y
j25g	80.72	-25.01	69.5	73.86	110	y20l
j50g	70.64	-39.54	51.97	65.3	127	y46l
j75g	61.93	-52.1	36.83	63.8	145	y72l
g00b	52.8	-65.28	20.93	68.56	162	y99l
g25b	55.7	-49.58	-8.39	50.28	190	l36c
g50b	57.82	-38.4	-28.92	48.07	217	l72c
g75b	55.5	-22.05	-45.95	50.97	244	c11v
b00r	41.6	1.37	-45.01	45.03	272	c56v
b25r	29.0	25.08	-43.13	49.89	300	v04m
b50r	38.04	46.53	-28.39	54.51	329	v55m
b75r	49.48	72.88	-3.76	72.98	357	m11o



Ein und Ausgabe: Farbmetrisches Drucker-Reflektiv-System ORS19_96a für relativen CIELAB-Buntton $h^* = lab^*h^* = h_{ab}/360 = 0.117$

Daten für jede Farbe:

lab^*tch^* und lab^*icu^*

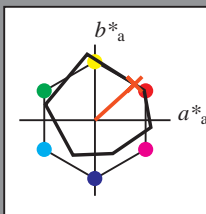
Bunttontexte:

$u^*_e = r25j$ $u^*_d = o17y$

Kontrastreduzierungsfaktor:

$c_R = 1.0$

Dreiecks-Helligkeit i^*



ORS19_96a; adaptierte CIELAB-Daten

	u^*_e	$L^*=L^*_a$	a^*_a	b^*_a	$C^*_{ab,a}$	$h^*_{ab,a}$
O _{Ma}	48.75	65.07	39.43	76.08	31	
Y _{Ma}	90.92	-10.29	87.24	87.85	97	
L _{Ma}	52.69	-65.44	20.75	68.65	162	
C _{Ma}	59.61	-28.98	-46.22	54.56	238	
V _{Ma}	28.39	23.63	-44.13	50.06	298	
M _{Ma}	49.58	73.93	-9.56	74.55	353	
N _{Ma}	18.89	0.0	0.0	0.0	0	
W _{Ma}	96.9	0.0	0.0	0.0	0	
R _{Ma}	39.92	58.74	27.99	65.07	25	
J _{Ma}	81.26	-2.89	71.56	71.62	92	
G _{Ma}	52.23	-42.42	13.6	44.55	162	
B _{Ma}	30.57	1.41	-46.47	46.49	272	

Daten für Maximalfarbe (Ma):

$LAB^*LAB^*_{Ma}$: 56 52 47

$LAB^*LCH^*_{Ma}$: 56 71 42

$lab^*rgb^*_{Ma}$: 1.0 0.25 0.0

$lab^*olv^*_{Ma}$: 1.0 0.17 0.0

Dreiecks-Helligkeit i^*

%Umfang

$u^*_{rel} = 89$

%Regularität

$g^*_{H,rel} = 72$

$g^*_{C,rel} = 57$

ORS19_96a; adaptierte CIELAB-Daten

	u^*_e	$L^*=L^*_a$	a^*_a	b^*_a	$C^*_{ab,a}$	$h^*_{ab,a}$	u^*_d
r00j	48.88	66.47	31.67	73.63	25	m84o	
r25j	55.85	52.39	47.48	70.7	42	o17y	
r50j	65.45	35.22	58.37	68.17	59	o42y	
r75j	75.19	17.82	69.41	71.66	76	o67y	
j00g	87.03	-3.35	82.83	82.9	92	o92y	
j25g	80.72	-25.01	69.5	73.86	110	y20l	
j50g	70.64	-39.54	51.97	65.3	127	y46l	
j75g	61.93	-52.1	36.83	63.8	145	y72l	
g00b	52.8	-65.28	20.93	68.56	162	y99l	
g25b	55.7	-49.58	-8.39	50.28	190	l36c	
g50b	57.82	-38.4	-28.92	48.07	217	l72c	
g75b	55.5	-22.05	-45.95	50.97	244	c11v	
b00r	41.6	1.37	-45.01	45.03	272	c56v	
b25r	29.0	25.08	-43.13	49.89	300	v04m	
b50r	38.04	46.53	-28.39	54.51	329	v55m	
b75r	49.48	72.88	-3.76	72.98	357	m11o	

lab^*olv^*

$i^* = 1.00$

Brillantheit i^*

$i^* = 0.80$

$i^* = 0.60$

$i^* = 0.40$

$i^* = 0.20$

$i^* = 0.00$

Ein und Ausgabe: Farbmetrisches Drucker-Reflektiv-System ORS19_96a für relativen CIELAB-Buntton $h^* = lab^*h^* = h_{ab}/360 = 0.164$

Daten für jede Farbe:

lab^*tch^* und lab^*icu^*

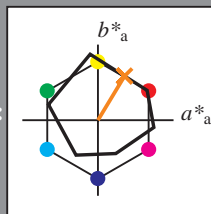
Bunttontexte:

$u^*_e = r50j$ $u^*_d = o42y$

Kontrastreduzierungsfaktor:

$c_R = 1.0$

Dreiecks-Helligkeit i^*



ORS19_96a; adaptierte CIELAB-Daten

	u^*_e	$L^*=L^*_a$	a^*_a	b^*_a	$C^*_{ab,a}$	$h^*_{ab,a}$
O _{Ma}	48.75	65.07	39.43	76.08	31	
Y _{Ma}	90.92	-10.29	87.24	87.85	97	
L _{Ma}	52.69	-65.44	20.75	68.65	162	
C _{Ma}	59.61	-28.98	-46.22	54.56	238	
V _{Ma}	28.39	23.63	-44.13	50.06	298	
M _{Ma}	49.58	73.93	-9.56	74.55	353	
N _{Ma}	18.89	0.0	0.0	0.0	0	
W _{Ma}	96.9	0.0	0.0	0.0	0	
R _{Ma}	39.92	58.74	27.99	65.07	25	
J _{Ma}	81.26	-2.89	71.56	71.62	92	
G _{Ma}	52.23	-42.42	13.6	44.55	162	
B _{Ma}	30.57	1.41	-46.47	46.49	272	

Daten für Maximalfarbe (Ma):

$LAB^*LAB^*_{Ma}$: 65 35 58

$LAB^*LCH^*_{Ma}$: 65 68 58

$lab^*rgb^*_{Ma}$: 1.0 0.5 0.0

$lab^*olv^*_{Ma}$: 1.0 0.42 0.0

Dreiecks-Helligkeit i^*

%Umfang

$u^*_{rel} = 89$

%Regularität

$g^*_{H,rel} = 72$

$g^*_{C,rel} = 57$

ORS19_96a; adaptierte CIELAB-Daten

	u^*_e	$L^*=L^*_a$	a^*_a	b^*_a	$C^*_{ab,a}$	$h^*_{ab,a}$	u^*_d
r00j	48.88	66.47	31.67	73.63	25	m84o	
r25j	55.85	52.39	47.48	70.7	42	o17y	
r50j	65.45	35.22	58.37	68.17	59	o42y	
r75j	75.19	17.82	69.41	71.66	76	o67y	
j00g	87.03	-3.35	82.83	82.9	92	o92y	
j25g	80.72	-25.01	69.5	73.86	110	y20l	
j50g	70.64	-39.54	51.97	65.3	127	y46l	
j75g	61.93	-52.1	36.83	63.8	145	y72l	
g00b	52.8	-65.28	20.93	68.56	162	y99l	
g25b	55.7	-49.58	-8.39	50.28	190	l36c	
g50b	57.82	-38.4	-28.92	48.07	217	l72c	
g75b	55.5	-22.05	-45.95	50.97	244	c11v	
b00r	41.6	1.37	-45.01	45.03	272	c56v	
b25r	29.0	25.08	-43.13	49.89	300	v04m	
b50r	38.04	46.53	-28.39	54.51	329	v55m	
b75r	49.48	72.88	-3.76	72.98	357	m11o	

lab^*olv^*

$i^* = 1.00$

Brillantheit i^*

$i^* = 0.80$

$i^* = 0.60$

$i^* = 0.40$

$i^* = 0.20$

$i^* = 0.00$

Ein und Ausgabe: Farbmetrisches Drucker-Reflektiv-System ORS19_96a für relativen CIELAB-Buntton $h^* = lab^*h^* = h_{ab}/360 = 0.21$

Daten für jede Farbe:

lab^*tch^* und lab^*icu^*

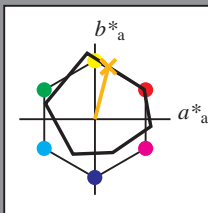
Bunttontexte:

$u^*_e = r75j$ $u^*_d = o67y$

Kontrastreduzierungsfaktor:

$c_R = 1.0$

Dreiecks-Helligkeit i^*



ORS19_96a; adaptierte CIELAB-Daten

u^*_e	$L^*=L^*_a$	a^*_a	b^*_a	$C^*_{ab,a}$	$h^*_{ab,a}$
O _{Ma}	48.75	65.07	39.43	76.08	31
Y _{Ma}	90.92	-10.29	87.24	87.85	97
L _{Ma}	52.69	-65.44	20.75	68.65	162
C _{Ma}	59.61	-28.98	-46.22	54.56	238
V _{Ma}	28.39	23.63	-44.13	50.06	298
M _{Ma}	49.58	73.93	-9.56	74.55	353
N _{Ma}	18.89	0.0	0.0	0.0	0
W _{Ma}	96.9	0.0	0.0	0.0	0
R _{Ma}	39.92	58.74	27.99	65.07	25
J _{Ma}	81.26	-2.89	71.56	71.62	92
G _{Ma}	52.23	-42.42	13.6	44.55	162
B _{Ma}	30.57	1.41	-46.47	46.49	272

Daten für Maximalfarbe (Ma):

$LAB^*LAB^*_{Ma}$: 75 18 69

$LAB^*LCH^*_{Ma}$: 75 72 75

$lab^*rgb^*_{Ma}$: 1.0 0.75 0.0

$lab^*olv^*_{Ma}$: 1.0 0.68 0.0

Dreiecks-Helligkeit i^*

%Umfang

$u^*_{rel} = 89$

%Regularität

$g^*_{H,rel} = 72$

$g^*_{C,rel} = 57$

ORS19_96a; adaptierte CIELAB-Daten

u^*_e	$L^*=L^*_a$	a^*_a	b^*_a	$C^*_{ab,a}$	$h^*_{ab,a}$	u^*_d
r00j	48.88	66.47	31.67	73.63	25	m84o
r25j	55.85	52.39	47.48	70.7	42	o17y
r50j	65.45	35.22	58.37	68.17	59	o42y
r75j	75.19	17.82	69.41	71.66	76	o67y
j00g	87.03	-3.35	82.83	82.9	92	o92y
j25g	80.72	-25.01	69.5	73.86	110	y20l
j50g	70.64	-39.54	51.97	65.3	127	y46l
j75g	61.93	-52.1	36.83	63.8	145	y72l
g00b	52.8	-65.28	20.93	68.56	162	y99l
g25b	55.7	-49.58	-8.39	50.28	190	l36c
g50b	57.82	-38.4	-28.92	48.07	217	l72c
g75b	55.5	-22.05	-45.95	50.97	244	c11v
b00r	41.6	1.37	-45.01	45.03	272	c56v
b25r	29.0	25.08	-43.13	49.89	300	v04m
b50r	38.04	46.53	-28.39	54.51	329	v55m
b75r	49.48	72.88	-3.76	72.98	357	m11o

lab^*olv^*

$i^* = 1.00$

Brillantheit i^*

$i^* = 0.80$

$i^* = 0.60$

$i^* = 0.40$

$i^* = 0.20$

$i^* = 0.00$

Ein und Ausgabe: Farbmetrisches Drucker-Reflektiv-System ORS19_96a für relativen CIELAB-Buntton $h^* = lab^*h^* = h_{ab}/360 = 0.256$

Daten für jede Farbe:

lab^*tch^* und lab^*icu^*

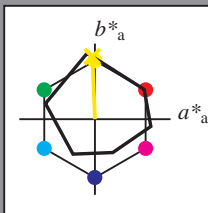
Bunttontexte:

$u^*_e = j00g$ $u^*_d = o92y$

Kontrastreduzierungsfaktor:

$c_R = 1.0$

Dreiecks-Helligkeit t^*



ORS19_96a; adaptierte CIELAB-Daten

u^*_e	$L^*=L^*_a$	a^*_a	b^*_a	$C^*_{ab,a}$	$h^*_{ab,a}$
O _{Ma}	48.75	65.07	39.43	76.08	31
Y _{Ma}	90.92	-10.29	87.24	87.85	97
L _{Ma}	52.69	-65.44	20.75	68.65	162
C _{Ma}	59.61	-28.98	-46.22	54.56	238
V _{Ma}	28.39	23.63	-44.13	50.06	298
M _{Ma}	49.58	73.93	-9.56	74.55	353
N _{Ma}	18.89	0.0	0.0	0.0	0
W _{Ma}	96.9	0.0	0.0	0.0	0
R _{Ma}	39.92	58.74	27.99	65.07	25
J _{Ma}	81.26	-2.89	71.56	71.62	92
G _{Ma}	52.23	-42.42	13.6	44.55	162
B _{Ma}	30.57	1.41	-46.47	46.49	272

Daten für Maximalfarbe (Ma):

$LAB^*LAB^*_{Ma}$: 87 -3 83

$LAB^*LCH^*_{Ma}$: 87 83 92

$lab^*rgb^*_{Ma}$: 1.0 1.0 0.0

$lab^*olv^*_{Ma}$: 1.0 0.93 0.0

Dreiecks-Helligkeit t^*

%Umfang

$u^*_{rel} = 89$

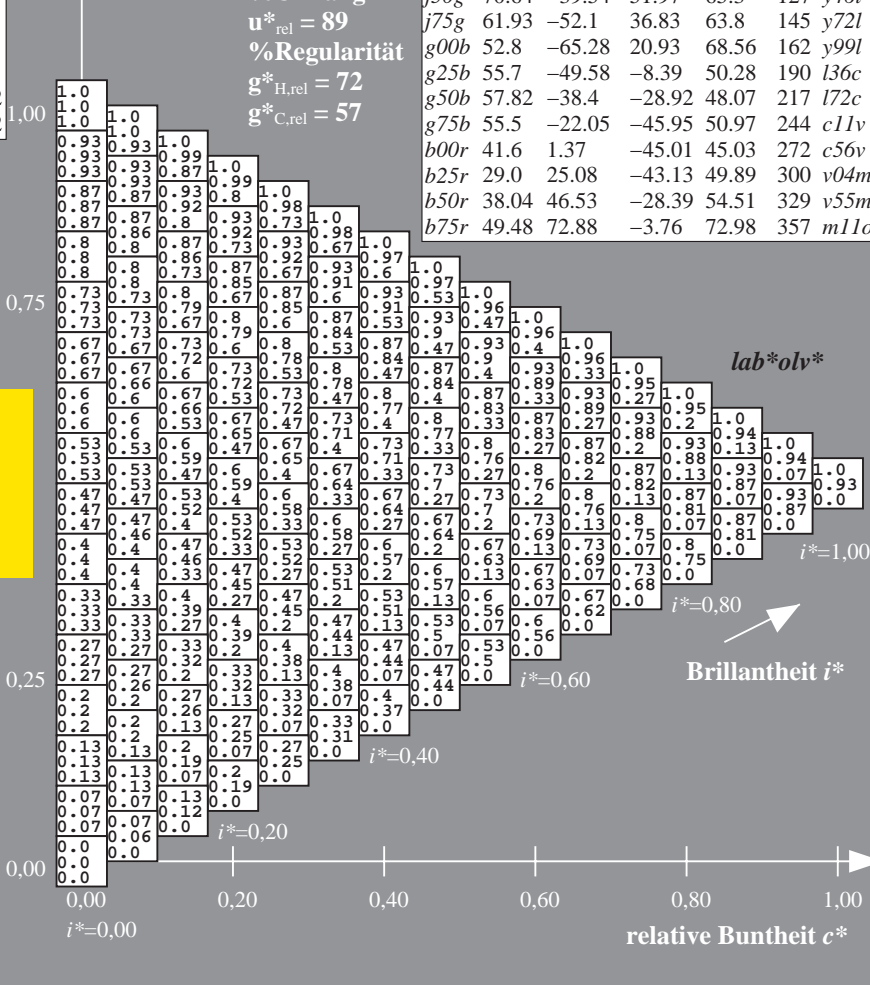
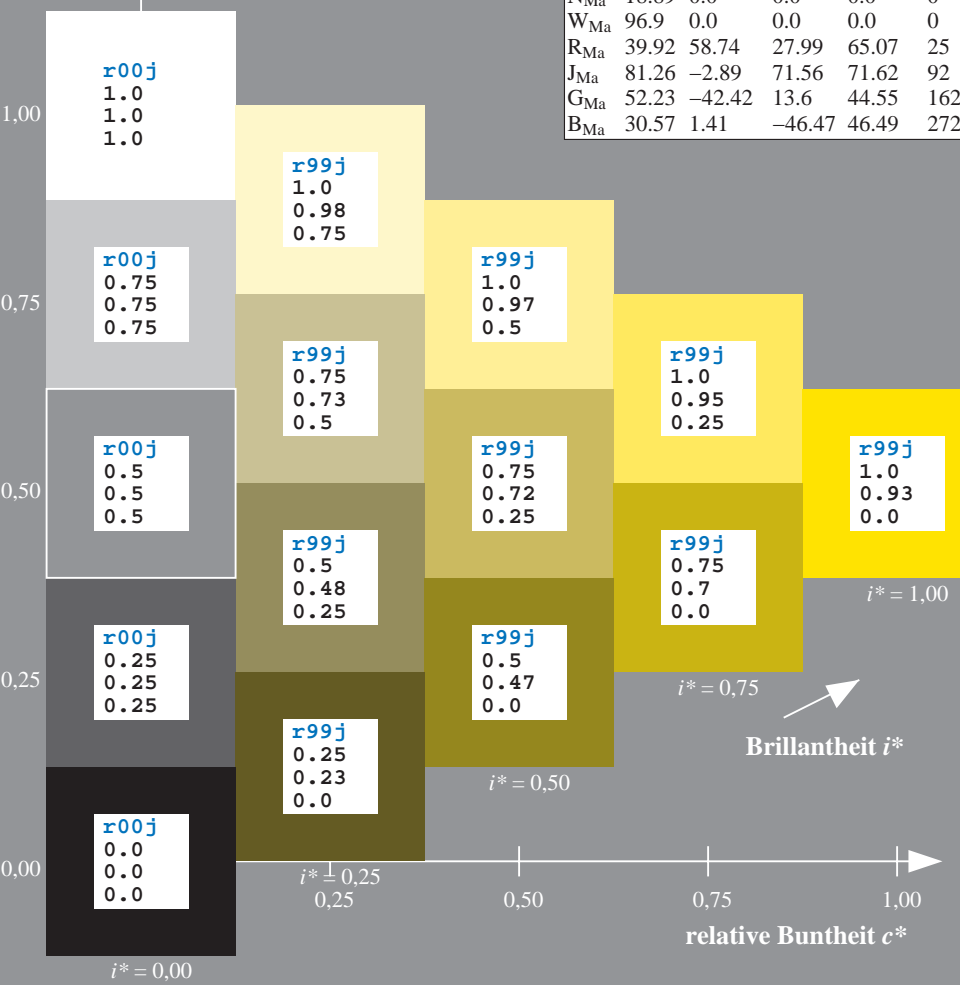
%Regularität

$g^*_{H,rel} = 72$

$g^*_{C,rel} = 57$

ORS19_96a; adaptierte CIELAB-Daten

u^*_e	$L^*=L^*_a$	a^*_a	b^*_a	$C^*_{ab,a}$	$h^*_{ab,a}$	u^*_d
r00j	48.88	66.47	31.67	73.63	25	m84o
r25j	55.85	52.39	47.48	70.7	42	o17y
r50j	65.45	35.22	58.37	68.17	59	o42y
r75j	75.19	17.82	69.41	71.66	76	o67y
j00g	87.03	-3.35	82.83	82.9	92	o92y
j25g	80.72	-25.01	69.5	73.86	110	y20l
j50g	70.64	-39.54	51.97	65.3	127	y46l
j75g	61.93	-52.1	36.83	63.8	145	y72l
g00b	52.8	-65.28	20.93	68.56	162	y99l
g25b	55.7	-49.58	-8.39	50.28	190	l36c
g50b	57.82	-38.4	-28.92	48.07	217	l72c
g75b	55.5	-22.05	-45.95	50.97	244	c11v
b00r	41.6	1.37	-45.01	45.03	272	c56v
b25r	29.0	25.08	-43.13	49.89	300	v04m
b50r	38.04	46.53	-28.39	54.51	329	v55m
b75r	49.48	72.88	-3.76	72.98	357	m11o



Daten für jede Farbe:

*lab*tch** und *lab*icu**

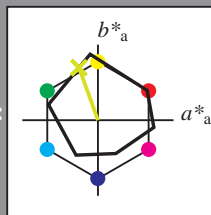
Bunttexte:

$$u^*_e = j25g \quad u^*_d = y20l$$

Kontrastreduzierungsfaktor:

 $c_R = 1.0$

K Dreiecks-Helligkeit t^*



ORS19 96a; adaptierte CIELAB-Daten						
u_e^*	$L^*=L_a^*$	a^*_a	b^*_a	$C^*_{ab,a}$	$h^*_{ab,a}$	
O _{Ma}	48.75	65.07	39.43	76.08	31	
Y _{Ma}	90.92	-10.29	87.24	87.85	97	
L _{Ma}	52.69	-65.44	20.75	68.65	162	
C _{Ma}	59.61	-28.98	-46.22	54.56	238	
V _{Ma}	28.39	23.63	-44.13	50.06	298	
M _{Ma}	49.58	73.93	-9.56	74.55	353	
N _{Ma}	18.89	0.0	0.0	0.0	0	
W _{Ma}	96.9	0.0	0.0	0.0	0	
R _{Ma}	39.92	58.74	27.99	65.07	25	
J _{Ma}	81.26	-2.89	71.56	71.62	92	
G _{Ma}	52.23	-42.42	13.6	44.55	162	
B _{Ma}	30.57	1.41	-46.47	46.49	272	

Daten für Maximalfarbe (Ma):

$LAB*LAB*_{Ma}: 81 \quad -25 \quad 69$

LAB*LCH*Ma: 81 74 109

*lab*rgb**_{Ma}: 0.75 1.0 0.0

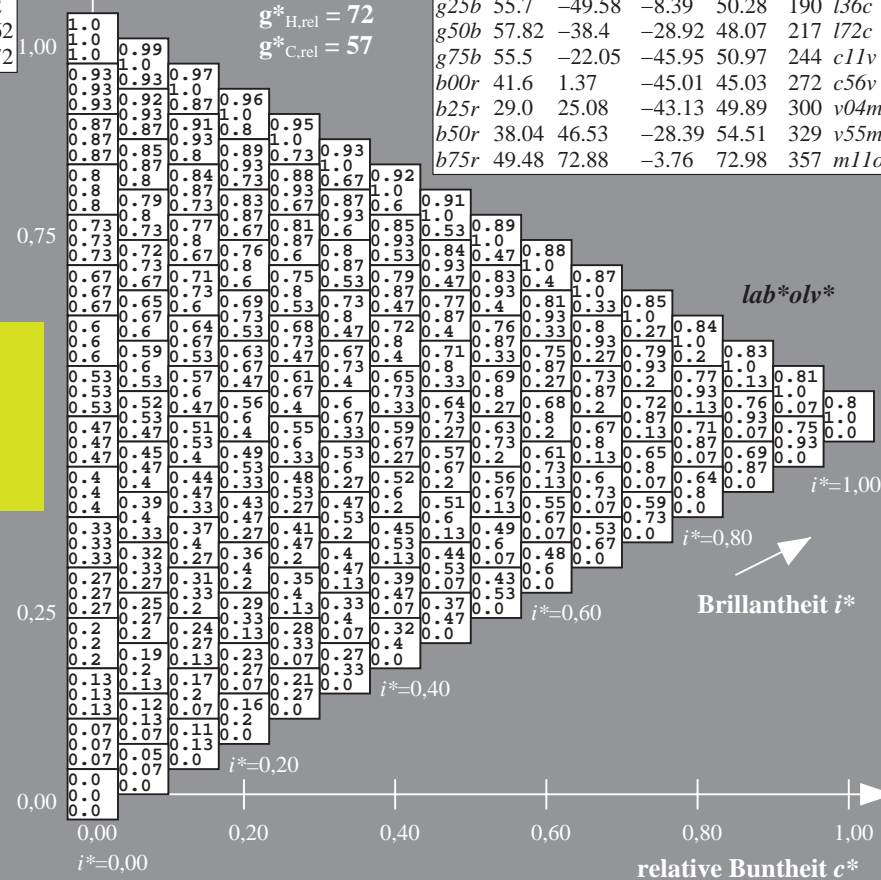
*lab*rgb**_{Ma}: 0.75 1.0 0.0
*lab*ol***_{Ma}: 0.8 1.0 0.0

Dreiecks-Helligkeit t^*

%Umfang

$$u_{rel}^* = 89$$

%Regularität

$$g^*_{H,rel} = 72$$


Brillantheit *i**

relative Buntheit c^* relative Buntheit c^*

Ein und Ausgabe: Farbmetrisches Drucker-Reflektiv-System ORS19_96a für relativen CIELAB-Buntton $h^* = lab^*h^* = h_{ab}/360 = 0.354$

Daten für jede Farbe:

lab^*tch^* und lab^*icu^*

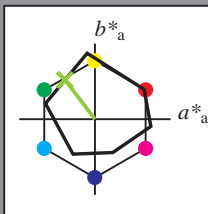
Bunttontexte:

$u^*_e = j50g$ $u^*_d = y46l$

Kontrastreduzierungsfaktor:

$c_R = 1.0$

Dreiecks-Helligkeit i^*



ORS19_96a; adaptierte CIELAB-Daten

	u^*_e	$L^*=L^*_a$	a^*_a	b^*_a	$C^*_{ab,a}$	$h^*_{ab,a}$
O _{Ma}	48.75	65.07	39.43	76.08	31	
Y _{Ma}	90.92	-10.29	87.24	87.85	97	
L _{Ma}	52.69	-65.44	20.75	68.65	162	
C _{Ma}	59.61	-28.98	-46.22	54.56	238	
V _{Ma}	28.39	23.63	-44.13	50.06	298	
M _{Ma}	49.58	73.93	-9.56	74.55	353	
N _{Ma}	18.89	0.0	0.0	0.0	0	
W _{Ma}	96.9	0.0	0.0	0.0	0	
R _{Ma}	39.92	58.74	27.99	65.07	25	
J _{Ma}	81.26	-2.89	71.56	71.62	92	
G _{Ma}	52.23	-42.42	13.6	44.55	162	
B _{Ma}	30.57	1.41	-46.47	46.49	272	

Daten für Maximalfarbe (Ma):

$LAB^*LAB^*_{Ma}$: 71 -40 52

$LAB^*LCH^*_{Ma}$: 71 65 127

$lab^*rgb^*_{Ma}$: 0.5 1.0 0.0

$lab^*olv^*_{Ma}$: 0.54 1.0 0.0

Dreiecks-Helligkeit i^*

%Umfang

$u^*_{rel} = 89$

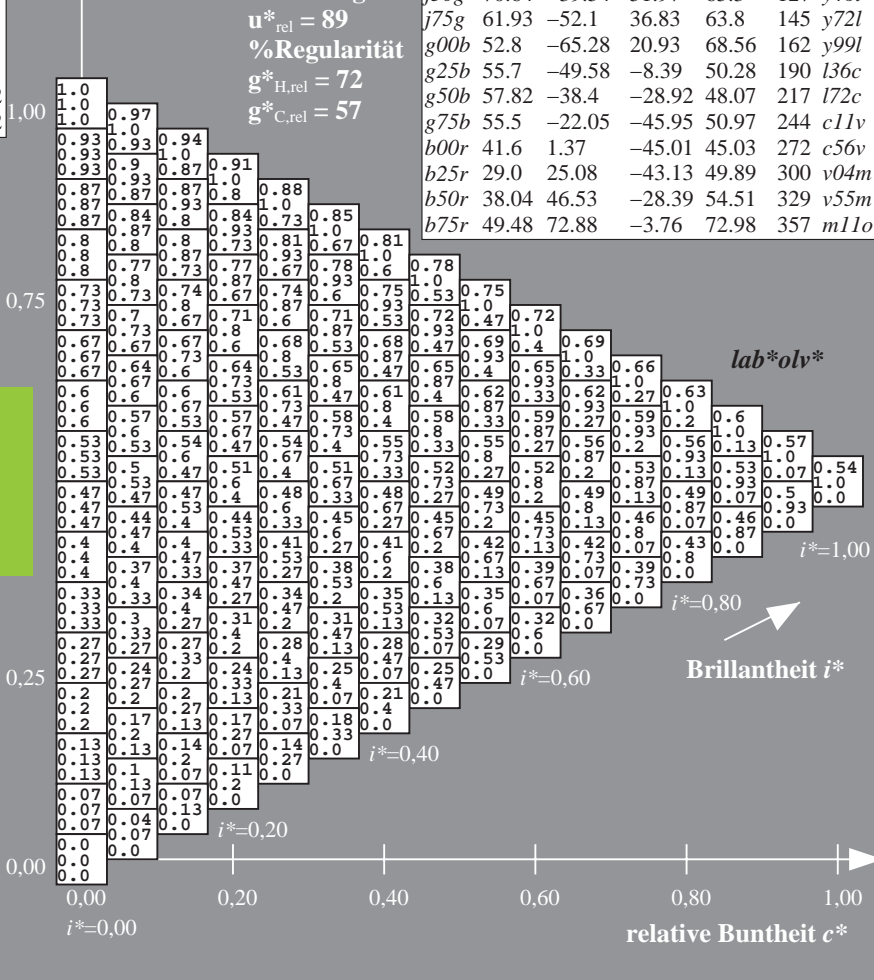
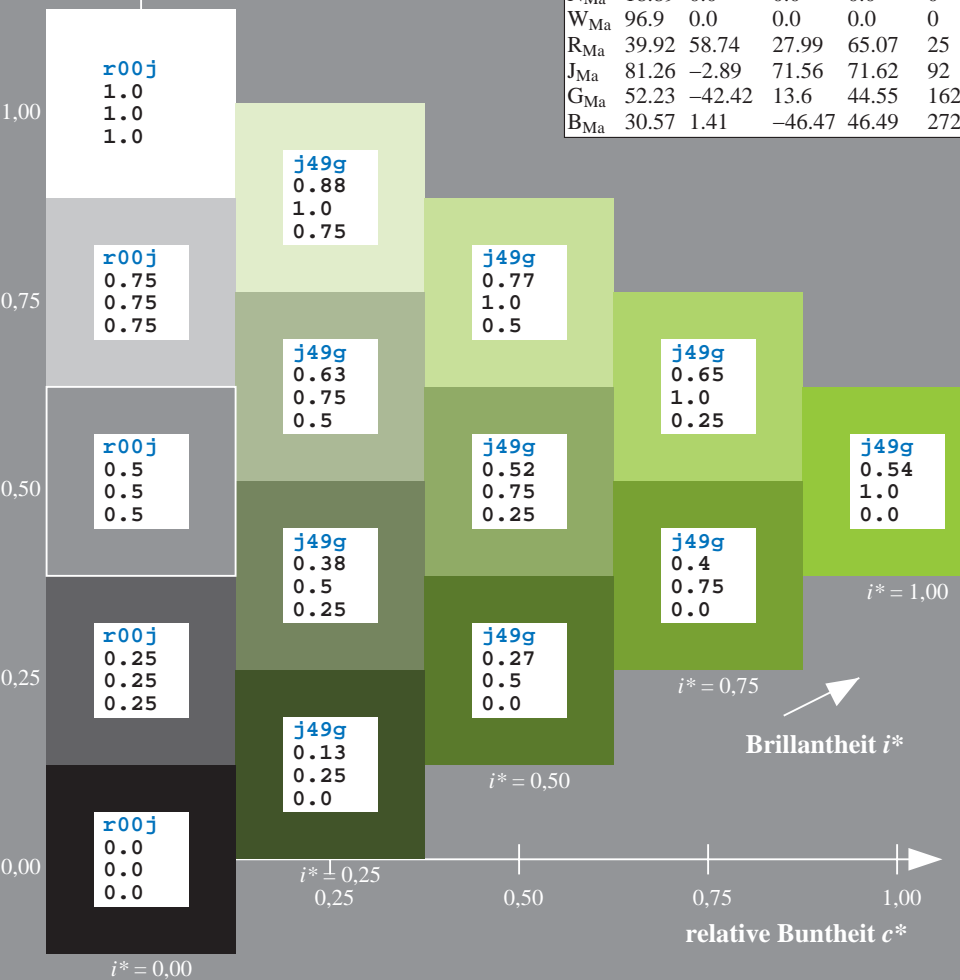
%Regularität

$g^*_{H,rel} = 72$

$g^*_{C,rel} = 57$

ORS19_96a; adaptierte CIELAB-Daten

	u^*_e	$L^*=L^*_a$	a^*_a	b^*_a	$C^*_{ab,a}$	$h^*_{ab,a}$	u^*_d
r00j	48.88	66.47	31.67	73.63	25	m84o	
r25j	55.85	52.39	47.48	70.7	42	o17y	
r50j	65.45	35.22	58.37	68.17	59	o42y	
r75j	75.19	17.82	69.41	71.66	76	o67y	
j00g	87.03	-3.35	82.83	82.9	92	o92y	
j25g	80.72	-25.01	69.5	73.86	110	y20l	
j50g	70.64	-39.54	51.97	65.3	127	y46l	
j75g	61.93	-52.1	36.83	63.8	145	y72l	
g00b	52.8	-65.28	20.93	68.56	162	y99l	
g25b	55.7	-49.58	-8.39	50.28	190	l36c	
g50b	57.82	-38.4	-28.92	48.07	217	l72c	
g75b	55.5	-22.05	-45.95	50.97	244	c11v	
b00r	41.6	1.37	-45.01	45.03	272	c56v	
b25r	29.0	25.08	-43.13	49.89	300	v04m	
b50r	38.04	46.53	-28.39	54.51	329	v55m	
b75r	49.48	72.88	-3.76	72.98	357	m11o	



Ein und Ausgabe: Farbmetrisches Drucker-Reflektiv-System ORS19_96a für relativen CIELAB-Buntton $h^* = lab^*h^* = h_{ab}/360 = 0.402$

Daten für jede Farbe:

lab^*tch^* und lab^*icu^*

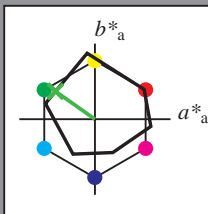
Bunttontexte:

$u^*_e = j75g$ $u^*_d = y72l$

Kontrastreduzierungsfaktor:

$c_R = 1.0$

Dreiecks-Helligkeit i^*



ORS19_96a; adaptierte CIELAB-Daten

u^*_e	$L^*=L^*_a$	a^*_a	b^*_a	$C^*_{ab,a}$	$h^*_{ab,a}$
O _{Ma}	48.75	65.07	39.43	76.08	31
Y _{Ma}	90.92	-10.29	87.24	87.85	97
L _{Ma}	52.69	-65.44	20.75	68.65	162
C _{Ma}	59.61	-28.98	-46.22	54.56	238
V _{Ma}	28.39	23.63	-44.13	50.06	298
M _{Ma}	49.58	73.93	-9.56	74.55	353
N _{Ma}	18.89	0.0	0.0	0.0	0
W _{Ma}	96.9	0.0	0.0	0.0	0
R _{Ma}	39.92	58.74	27.99	65.07	25
J _{Ma}	81.26	-2.89	71.56	71.62	92
G _{Ma}	52.23	-42.42	13.6	44.55	162
B _{Ma}	30.57	1.41	-46.47	46.49	272

Daten für Maximalfarbe (Ma):

$LAB^*LAB^*_{Ma}$: 62 -52 37

$LAB^*LCH^*_{Ma}$: 62 64 144

$lab^*rgb^*_{Ma}$: 0.25 1.0 0.0

$lab^*olv^*_{Ma}$: 0.27 1.0 0.0

Dreiecks-Helligkeit i^*

%Umfang

$u^*_{rel} = 89$

%Regularität

$g^*_{H,rel} = 72$

$g^*_{C,rel} = 57$

ORS19_96a; adaptierte CIELAB-Daten

u^*_e	$L^*=L^*_a$	a^*_a	b^*_a	$C^*_{ab,a}$	$h^*_{ab,a}$	u^*_d
r00j	48.88	66.47	31.67	73.63	25	m84o
r25j	55.85	52.39	47.48	70.7	42	o17y
r50j	65.45	35.22	58.37	68.17	59	o42y
r75j	75.19	17.82	69.41	71.66	76	o67y
j00g	87.03	-3.35	82.83	82.9	92	o92y
j25g	80.72	-25.01	69.5	73.86	110	y20l
j50g	70.64	-39.54	51.97	65.3	127	y46l
j75g	61.93	-52.1	36.83	63.8	145	y72l
g00b	52.8	-65.28	20.93	68.56	162	y99l
g25b	55.7	-49.58	-8.39	50.28	190	l36c
g50b	57.82	-38.4	-28.92	48.07	217	l72c
g75b	55.5	-22.05	-45.95	50.97	244	c11v
b00r	41.6	1.37	-45.01	45.03	272	c56v
b25r	29.0	25.08	-43.13	49.89	300	v04m
b50r	38.04	46.53	-28.39	54.51	329	v55m
b75r	49.48	72.88	-3.76	72.98	357	m11o

lab^*olv^*

$i^* = 1.00$

Brillantheit i^*

$i^* = 0.80$

$i^* = 0.60$

$i^* = 0.40$

$i^* = 0.20$

$i^* = 0.00$

Ein und Ausgabe: Farbmetrisches Drucker-Reflektiv-System ORS19_96a für relativen CIELAB-Buntton $h^* = lab^*h^* = h_{ab}/360 = 0.451$

Daten für jede Farbe:

lab^*tch^* und lab^*icu^*

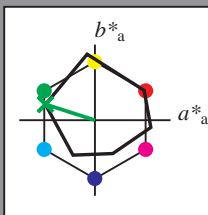
Bunttontexte:

$u^*_e = g00b$ $u^*_d = y99l$

Kontrastreduzierungsfaktor:

$c_R = 1.0$

Dreiecks-Helligkeit i^*



ORS19_96a; adaptierte CIELAB-Daten

u^*_e	$L^*=L^*_a$	a^*_a	b^*_a	$C^*_{ab,a}$	$h^*_{ab,a}$
O _{Ma}	48.75	65.07	39.43	76.08	31
Y _{Ma}	90.92	-10.29	87.24	87.85	97
L _{Ma}	52.69	-65.44	20.75	68.65	162
C _{Ma}	59.61	-28.98	-46.22	54.56	238
V _{Ma}	28.39	23.63	-44.13	50.06	298
M _{Ma}	49.58	73.93	-9.56	74.55	353
N _{Ma}	18.89	0.0	0.0	0.0	0
W _{Ma}	96.9	0.0	0.0	0.0	0
R _{Ma}	39.92	58.74	27.99	65.07	25
J _{Ma}	81.26	-2.89	71.56	71.62	92
G _{Ma}	52.23	-42.42	13.6	44.55	162
B _{Ma}	30.57	1.41	-46.47	46.49	272

Daten für Maximalfarbe (Ma):

$LAB^*LAB^*_{Ma}$: 53 -65 21

$LAB^*LCH^*_{Ma}$: 53 69 162

$lab^*rgb^*_{Ma}$: 0.0 1.0 0.0

$lab^*olv^*_{Ma}$: 0.0 1.0 0.0

Dreiecks-Helligkeit i^*

%Umfang

$u^*_{rel} = 89$

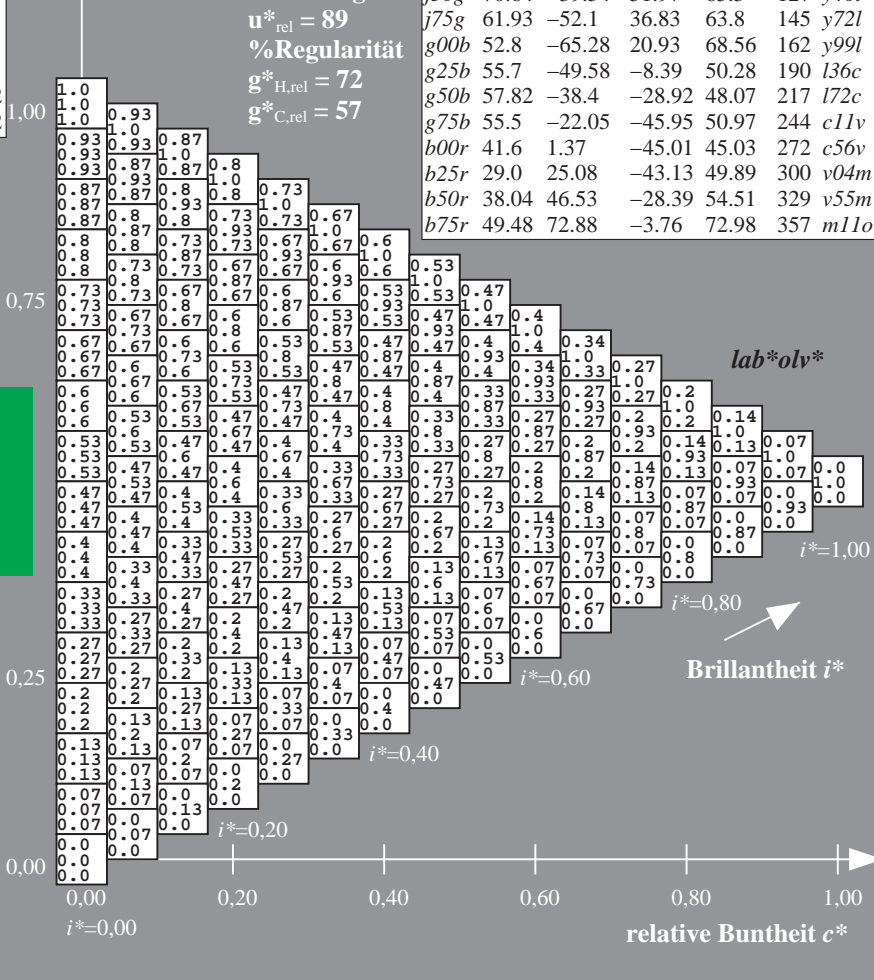
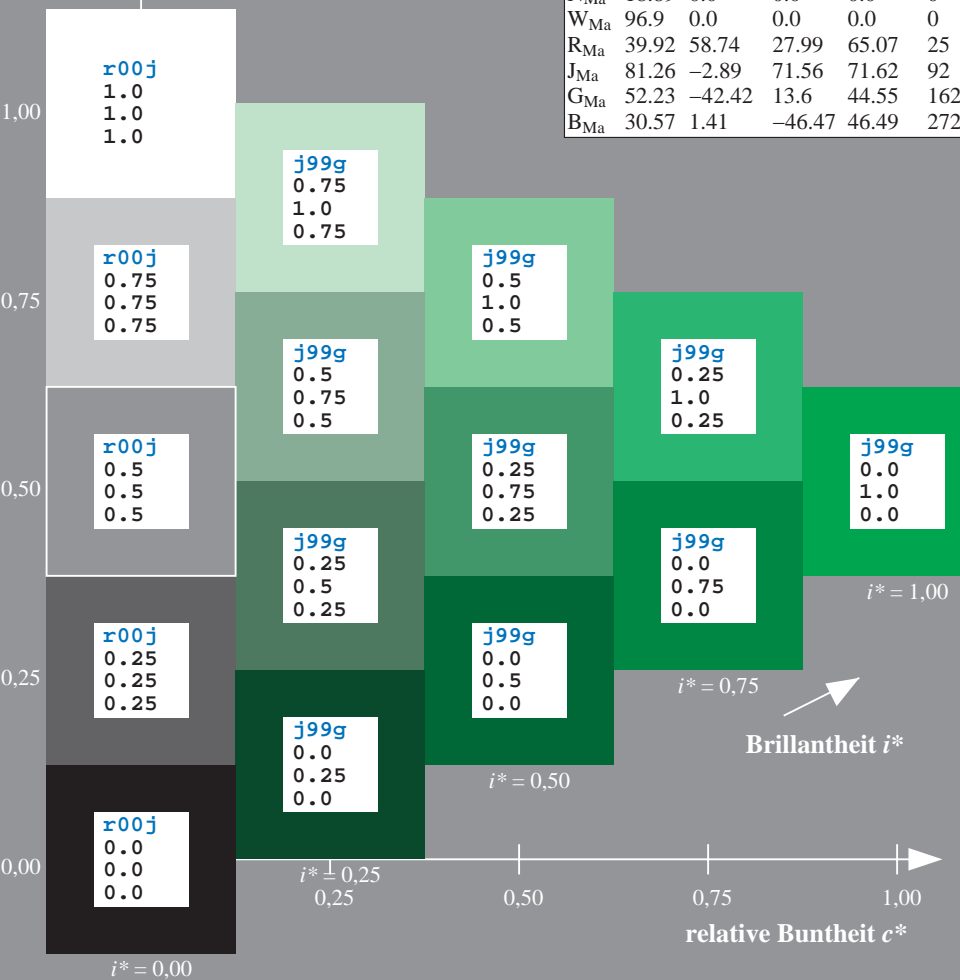
%Regularität

$g^*_{H,rel} = 72$

$g^*_{C,rel} = 57$

ORS19_96a; adaptierte CIELAB-Daten

u^*_e	$L^*=L^*_a$	a^*_a	b^*_a	$C^*_{ab,a}$	$h^*_{ab,a}$	u^*_d
r00j	48.88	66.47	31.67	73.63	25	m84o
r25j	55.85	52.39	47.48	70.7	42	o17y
r50j	65.45	35.22	58.37	68.17	59	o42y
r75j	75.19	17.82	69.41	71.66	76	o67y
j00g	87.03	-3.35	82.83	82.9	92	o92y
j25g	80.72	-25.01	69.5	73.86	110	y20l
j50g	70.64	-39.54	51.97	65.3	127	y46l
j75g	61.93	-52.1	36.83	63.8	145	y72l
g00b	52.8	-65.28	20.93	68.56	162	y99l
g25b	55.7	-49.58	-8.39	50.28	190	l36c
g50b	57.82	-38.4	-28.92	48.07	217	l72c
g75b	55.5	-22.05	-45.95	50.97	244	c11v
b00r	41.6	1.37	-45.01	45.03	272	c56v
b25r	29.0	25.08	-43.13	49.89	300	v04m
b50r	38.04	46.53	-28.39	54.51	329	v55m
b75r	49.48	72.88	-3.76	72.98	357	m11o



Daten für jede Farbe:

*lab*tch** und *lab*icu**

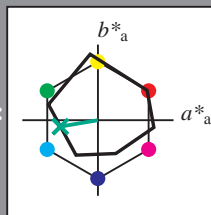
Bunttexte:

$$u^*_e = g25b \quad u^*_d = l36c$$

Kontrastreduzierungsfaktor:

 $c_R = 1.0$

Dreiecks-Helligkeit t^*



ORS19 96a; adaptierte CIELAB-Daten						
u^*_e	$L^*=L^*_a$	a^*_a	b^*_a	$C^*_{ab,a}$	$h^*_{ab,a}$	
O _{Ma}	48.75	65.07	39.43	76.08	31	
Y _{Ma}	90.92	-10.29	87.24	87.85	97	
L _{Ma}	52.69	-65.44	20.75	68.65	162	
C _{Ma}	59.61	-28.98	-46.22	54.56	238	
V _{Ma}	28.39	23.63	-44.13	50.06	298	
M _{Ma}	49.58	73.93	-9.56	74.55	353	
N _{Ma}	18.89	0.0	0.0	0.0	0	
W _{Ma}	96.9	0.0	0.0	0.0	0	
R _{Ma}	39.92	58.74	27.99	65.07	25	
J _{Ma}	81.26	-2.89	71.56	71.62	92	
G _{Ma}	52.23	-42.42	13.6	44.55	162	
B _{Ma}	30.57	1.41	-46.47	46.49	272	

Daten für Maximalfarbe (Ma):

LAB*LAB*Ma: 56 -50 -8

LAB*LCH*_{M2}: 56 50 189

*lab*rgb*_Ma: 0.0 1.0 0.5*

*lab*rgb*_{Ma}: 0.0 1.0 0.5
*lab*oly*_{Ma}: 0.0 1.0 0.36

Dreiecks-Helligkeit t^*

%U_m

%Umfang

$$u_{rel}^* = 89$$

%Regular

$$g^*_{H,rel} = 72$$
$$g^*_{C,rel} = 57$$

ORS19_96a; adaptierte CIELAB-Daten							
u^*_e	$L^*=L^*_a$	a^*_a	b^*_a	$C^*_{ab,a}$	$h^*_{ab,a}$	u^*_d	
<i>r00j</i>	48.88	66.47	31.67	73.63	25	<i>m84d</i>	
<i>r25j</i>	55.85	52.39	47.48	70.7	42	<i>o17y</i>	
<i>r50j</i>	65.45	35.22	58.37	68.17	59	<i>o42y</i>	
<i>r75j</i>	75.19	17.82	69.41	71.66	76	<i>o67y</i>	
<i>j00g</i>	87.03	-3.35	82.83	82.9	92	<i>o92y</i>	
<i>j25g</i>	80.72	-25.01	69.5	73.86	110	<i>y20l</i>	
<i>j50g</i>	70.64	-39.54	51.97	65.3	127	<i>y46l</i>	
<i>j75g</i>	61.93	-52.1	36.83	63.8	145	<i>y72l</i>	
<i>g00b</i>	52.8	-65.28	20.93	68.56	162	<i>y99l</i>	
<i>g25b</i>	55.7	-49.58	-8.39	50.28	190	<i>l36c</i>	
<i>g50b</i>	57.82	-38.4	-28.92	48.07	217	<i>l72c</i>	
<i>g75b</i>	55.5	-22.05	-45.95	50.97	244	<i>c11v</i>	
<i>b00r</i>	41.6	1.37	-45.01	45.03	272	<i>c56v</i>	
<i>b25r</i>	29.0	25.08	-43.13	49.89	300	<i>v04m</i>	
<i>b50r</i>	38.04	46.53	-28.39	54.51	329	<i>v55m</i>	
<i>b75r</i>	49.48	72.88	-3.76	72.98	357	<i>m11o</i>	

*lab*olv**

$$i^*=1,00$$

Brillantheit i*

BAM-Prüfvorlage Eg38; Farbmatrik-Systeme, Seite 47/198 Eingabe: 000n / w / nnn0 / www set...
D65: Farbreihen, Datentabellen für 16 Bunttöne r00j bis b75r Ausgabe: ->cmyn6* setcmykcolor

Eingabe: 000n / w / nnn0 / www set...
Ausgabe: ->cmyn6* setcmykcolor

BAM-Registrierung: 20081001-Eg38/10L/L38G00NA.PS/.TXT BAM-Material: Code=rha4ta
Anwendung für Beurteilung und Messung von Drucker- oder Monitorsystemen

Siehe ähnliche Dateien: <http://www.ps.bam.de/Eg38/>; www.ps.bam.de/Eg.HTM
Technische Information: <http://www.ps.bam.de> Version 2.1, io=1,1, ColSp=1

Ein und Ausgabe: Farbmetrisches Drucker-Reflektiv-System ORS19_96a für relativen CIELAB-Buntton $h^* = lab^*h^* = h_{ab}/360 = 0.603$

Daten für jede Farbe:

lab^*tch^* und lab^*icu^*

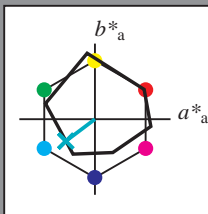
Bunttontexte:

$u^*_e = g50b$ $u^*_d = l72c$

Kontrastreduzierungsfaktor:

$c_R = 1.0$

Dreiecks-Helligkeit i^*



ORS19_96a; adaptierte CIELAB-Daten

	u^*_e	$L^*=L^*_a$	a^*_a	b^*_a	$C^*_{ab,a}$	$h^*_{ab,a}$
O _{Ma}	48.75	65.07	39.43	76.08	31	
Y _{Ma}	90.92	-10.29	87.24	87.85	97	
L _{Ma}	52.69	-65.44	20.75	68.65	162	
C _{Ma}	59.61	-28.98	-46.22	54.56	238	
V _{Ma}	28.39	23.63	-44.13	50.06	298	
M _{Ma}	49.58	73.93	-9.56	74.55	353	
N _{Ma}	18.89	0.0	0.0	0.0	0	
W _{Ma}	96.9	0.0	0.0	0.0	0	
R _{Ma}	39.92	58.74	27.99	65.07	25	
J _{Ma}	81.26	-2.89	71.56	71.62	92	
G _{Ma}	52.23	-42.42	13.6	44.55	162	
B _{Ma}	30.57	1.41	-46.47	46.49	272	

Daten für Maximalfarbe (Ma):

$LAB^*LAB^*_{Ma}$: 58 -38 -29

$LAB^*LCH^*_{Ma}$: 58 48 216

$lab^*rgb^*_{Ma}$: 0.0 1.0 1.0

$lab^*olv^*_{Ma}$: 0.0 1.0 0.72

Dreiecks-Helligkeit i^*

%Umfang

$u^*_{rel} = 89$

%Regularität

$g^*_{H,rel} = 72$

$g^*_{C,rel} = 57$

ORS19_96a; adaptierte CIELAB-Daten

	u^*_e	$L^*=L^*_a$	a^*_a	b^*_a	$C^*_{ab,a}$	$h^*_{ab,a}$	u^*_d
r00j	48.88	66.47	31.67	73.63	25	m84o	
r25j	55.85	52.39	47.48	70.7	42	o17y	
r50j	65.45	35.22	58.37	68.17	59	o42y	
r75j	75.19	17.82	69.41	71.66	76	o67y	
j00g	87.03	-3.35	82.83	82.9	92	o92y	
j25g	80.72	-25.01	69.5	73.86	110	y20l	
j50g	70.64	-39.54	51.97	65.3	127	y46l	
j75g	61.93	-52.1	36.83	63.8	145	y72l	
g00b	52.8	-65.28	20.93	68.56	162	y99l	
g25b	55.7	-49.58	-8.39	50.28	190	l36c	
g50b	57.82	-38.4	-28.92	48.07	217	l72c	
g75b	55.5	-22.05	-45.95	50.97	244	c11v	
b00r	41.6	1.37	-45.01	45.03	272	c56v	
b25r	29.0	25.08	-43.13	49.89	300	v04m	
b50r	38.04	46.53	-28.39	54.51	329	v55m	
b75r	49.48	72.88	-3.76	72.98	357	m11o	

lab^*olv^*

$i^* = 1.00$

Brillantheit i^*

$i^* = 0.80$

$i^* = 0.60$

$i^* = 0.40$

$i^* = 0.20$

Ein und Ausgabe: Farbmetrisches Drucker-Reflektiv-System ORS19_96a für relativen CIELAB-Buntton $h^* = lab^*h^* = h_{ab}/360 = 0.679$

Daten für jede Farbe:

lab^*tch^* und lab^*icu^*

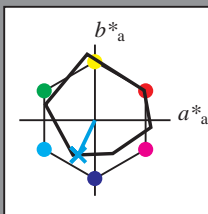
Bunttontexte:

$u^*_e = g75b$ $u^*_d = c11v$

Kontrastreduzierungsfaktor:

$c_R = 1.0$

Dreiecks-Helligkeit i^*



ORS19_96a; adaptierte CIELAB-Daten

	u^*_e	$L^*=L^*_a$	a^*_a	b^*_a	$C^*_{ab,a}$	$h^*_{ab,a}$
O _{Ma}	48.75	65.07	39.43	76.08	31	
Y _{Ma}	90.92	-10.29	87.24	87.85	97	
L _{Ma}	52.69	-65.44	20.75	68.65	162	
C _{Ma}	59.61	-28.98	-46.22	54.56	238	
V _{Ma}	28.39	23.63	-44.13	50.06	298	
M _{Ma}	49.58	73.93	-9.56	74.55	353	
N _{Ma}	18.89	0.0	0.0	0.0	0	
W _{Ma}	96.9	0.0	0.0	0.0	0	
R _{Ma}	39.92	58.74	27.99	65.07	25	
J _{Ma}	81.26	-2.89	71.56	71.62	92	
G _{Ma}	52.23	-42.42	13.6	44.55	162	
B _{Ma}	30.57	1.41	-46.47	46.49	272	

Daten für Maximalfarbe (Ma):

$LAB^*LAB^*_{Ma}$: 55 -22 -46

$LAB^*LCH^*_{Ma}$: 55 51 244

$lab^*rgb^*_{Ma}$: 0.0 0.5 1.0

$lab^*olv^*_{Ma}$: 0.0 0.89 1.0

Dreiecks-Helligkeit i^*

%Umfang

$u^*_{rel} = 89$

%Regularität

$g^*_{H,rel} = 72$

$g^*_{C,rel} = 57$

ORS19_96a; adaptierte CIELAB-Daten

	u^*_e	$L^*=L^*_a$	a^*_a	b^*_a	$C^*_{ab,a}$	$h^*_{ab,a}$	u^*_d
r00j	48.88	66.47	31.67	73.63	25	m84o	
r25j	55.85	52.39	47.48	70.7	42	o17y	
r50j	65.45	35.22	58.37	68.17	59	o42y	
r75j	75.19	17.82	69.41	71.66	76	o67y	
j00g	87.03	-3.35	82.83	82.9	92	o92y	
j25g	80.72	-25.01	69.5	73.86	110	y20l	
j50g	70.64	-39.54	51.97	65.3	127	y46l	
j75g	61.93	-52.1	36.83	63.8	145	y72l	
g00b	52.8	-65.28	20.93	68.56	162	y99l	
g25b	55.7	-49.58	-8.39	50.28	190	l36c	
g50b	57.82	-38.4	-28.92	48.07	217	l72c	
g75b	55.5	-22.05	-45.95	50.97	244	c11v	
b00r	41.6	1.37	-45.01	45.03	272	c56v	
b25r	29.0	25.08	-43.13	49.89	300	v04m	
b50r	38.04	46.53	-28.39	54.51	329	v55m	
b75r	49.48	72.88	-3.76	72.98	357	m11o	

lab^*olv^*

$i^* = 1.00$

Brillantheit i^*

$i^* = 0.80$

$i^* = 0.60$

$i^* = 0.40$

$i^* = 0.20$

Ein und Ausgabe: Farbmetrisches Drucker-Reflektiv-System ORS19_96a für relativen CIELAB-Buntton $h^* = lab^*h^* = h_{ab}/360 = 0.755$

Daten für jede Farbe:

lab^*tch^* und lab^*icu^*

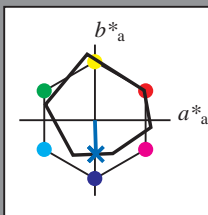
Bunttontexte:

$u^*_e = b00r$ $u^*_d = c56v$

Kontrastreduzierungsfaktor:

$c_R = 1.0$

Dreiecks-Helligkeit i^*



ORS19_96a; adaptierte CIELAB-Daten

	u^*_e	$L^*=L^*_a$	a^*_a	b^*_a	$C^*_{ab,a}$	$h^*_{ab,a}$
O _{Ma}	48.75	65.07	39.43	76.08	31	
Y _{Ma}	90.92	-10.29	87.24	87.85	97	
L _{Ma}	52.69	-65.44	20.75	68.65	162	
C _{Ma}	59.61	-28.98	-46.22	54.56	238	
V _{Ma}	28.39	23.63	-44.13	50.06	298	
M _{Ma}	49.58	73.93	-9.56	74.55	353	
N _{Ma}	18.89	0.0	0.0	0.0	0	
W _{Ma}	96.9	0.0	0.0	0.0	0	
R _{Ma}	39.92	58.74	27.99	65.07	25	
J _{Ma}	81.26	-2.89	71.56	71.62	92	
G _{Ma}	52.23	-42.42	13.6	44.55	162	
B _{Ma}	30.57	1.41	-46.47	46.49	272	

Daten für Maximalfarbe (Ma):

$LAB^*LAB^*_{Ma}$: 42 1 -45

$LAB^*LCH^*_{Ma}$: 42 45 271

$lab^*rgb^*_{Ma}$: 0.0 0.0 1.0

$lab^*olv^*_{Ma}$: 0.0 0.44 1.0

Dreiecks-Helligkeit i^*

%Umfang

$u^*_{rel} = 89$

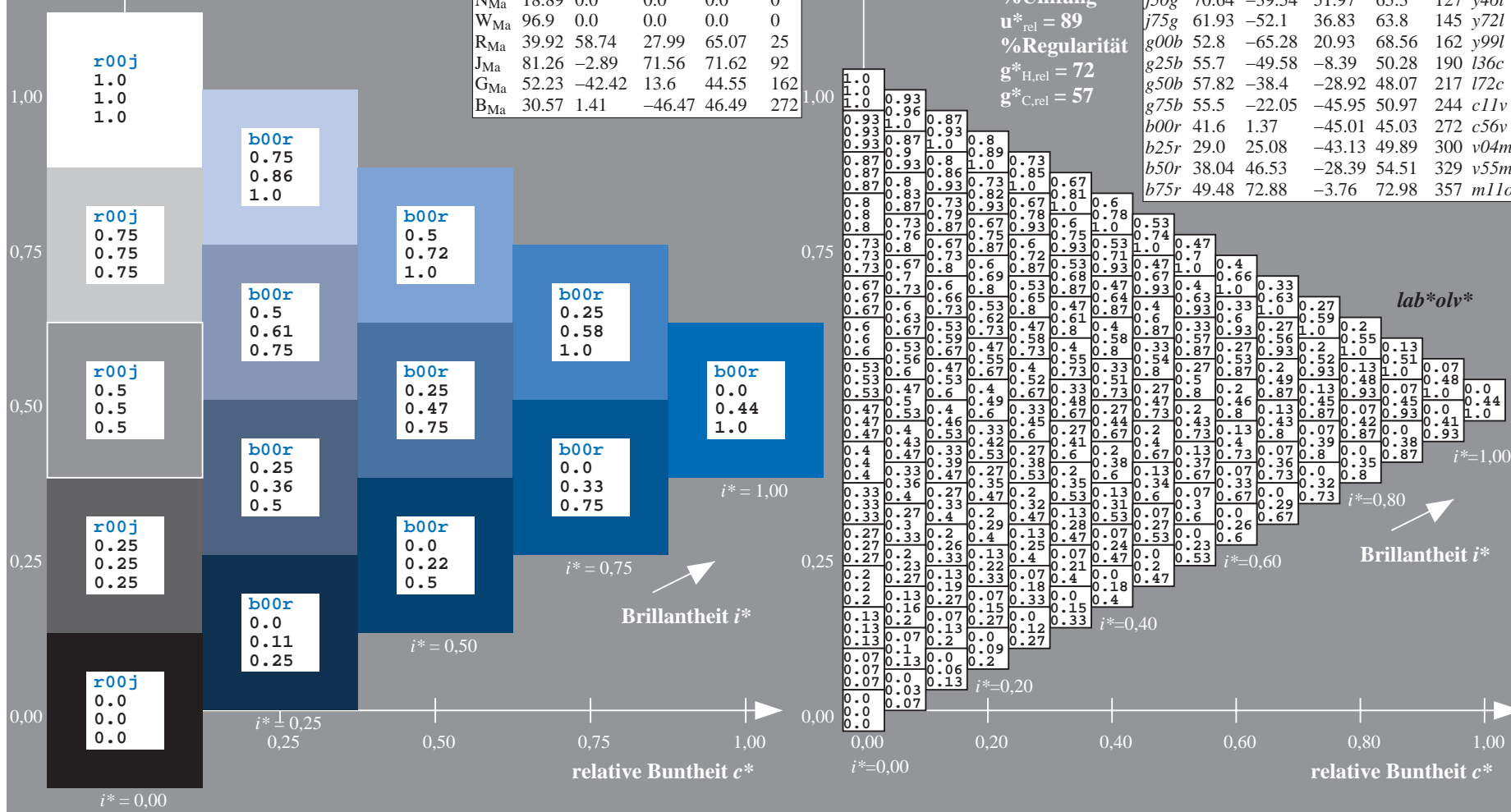
%Regularität

$g^*_{H,rel} = 72$

$g^*_{C,rel} = 57$

ORS19_96a; adaptierte CIELAB-Daten

	u^*_e	$L^*=L^*_a$	a^*_a	b^*_a	$C^*_{ab,a}$	$h^*_{ab,a}$	u^*_d
r00j	48.88	66.47	31.67	73.63	25	m84o	
r25j	55.85	52.39	47.48	70.7	42	o17y	
r50j	65.45	35.22	58.37	68.17	59	o42y	
r75j	75.19	17.82	69.41	71.66	76	o67y	
j00g	87.03	-3.35	82.83	82.9	92	o92y	
j25g	80.72	-25.01	69.5	73.86	110	y20l	
j50g	70.64	-39.54	51.97	65.3	127	y46l	
j75g	61.93	-52.1	36.83	63.8	145	y72l	
g00b	52.8	-65.28	20.93	68.56	162	y99l	
g25b	55.7	-49.58	-8.39	50.28	190	l36c	
g50b	57.82	-38.4	-28.92	48.07	217	l72c	
g75b	55.5	-22.05	-45.95	50.97	244	c11v	
b00r	41.6	1.37	-45.01	45.03	272	c56v	
b25r	29.0	25.08	-43.13	49.89	300	v04m	
b50r	38.04	46.53	-28.39	54.51	329	v55m	
b75r	49.48	72.88	-3.76	72.98	357	m11o	



Ein und Ausgabe: Farbmetrisches Drucker-Reflektiv-System ORS19_96a für relativen CIELAB-Buntton $h^* = lab^*h^* = h_{ab}/360 = 0.834$

Daten für jede Farbe:

lab^*tch^* und lab^*icu^*

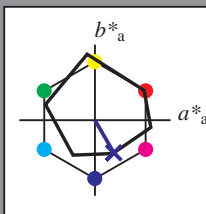
Bunttontexte:

$u^*_e = b25r$ $u^*_d = v04m$

Kontrastreduzierungsfaktor:

$c_R = 1.0$

Dreiecks-Helligkeit i^*



ORS19_96a; adaptierte CIELAB-Daten

u^*_e	$L^*=L^*_a$	a^*_a	b^*_a	$C^*_{ab,a}$	$h^*_{ab,a}$
O _{Ma}	48.75	65.07	39.43	76.08	31
Y _{Ma}	90.92	-10.29	87.24	87.85	97
L _{Ma}	52.69	-65.44	20.75	68.65	162
C _{Ma}	59.61	-28.98	-46.22	54.56	238
V _{Ma}	28.39	23.63	-44.13	50.06	298
M _{Ma}	49.58	73.93	-9.56	74.55	353
N _{Ma}	18.89	0.0	0.0	0.0	0
W _{Ma}	96.9	0.0	0.0	0.0	0
R _{Ma}	39.92	58.74	27.99	65.07	25
J _{Ma}	81.26	-2.89	71.56	71.62	92
G _{Ma}	52.23	-42.42	13.6	44.55	162
B _{Ma}	30.57	1.41	-46.47	46.49	272

Daten für Maximalfarbe (Ma):

$LAB^*LAB^*_{Ma}$: 29 25 -43

$LAB^*LCH^*_{Ma}$: 29 50 300

$lab^*rgb^*_{Ma}$: 0.5 0.0 1.0

$lab^*olv^*_{Ma}$: 0.04 0.0 1.0

Dreiecks-Helligkeit i^*

%Umfang

$u^*_{rel} = 89$

%Regularität

$g^*_{H,rel} = 72$

$g^*_{C,rel} = 57$

ORS19_96a; adaptierte CIELAB-Daten

u^*_e	$L^*=L^*_a$	a^*_a	b^*_a	$C^*_{ab,a}$	$h^*_{ab,a}$	u^*_d
r00j	48.88	66.47	31.67	73.63	25	m84o
r25j	55.85	52.39	47.48	70.7	42	o17y
r50j	65.45	35.22	58.37	68.17	59	o42y
r75j	75.19	17.82	69.41	71.66	76	o67y
j00g	87.03	-3.35	82.83	82.9	92	o92y
j25g	80.72	-25.01	69.5	73.86	110	y20l
j50g	70.64	-39.54	51.97	65.3	127	y46l
j75g	61.93	-52.1	36.83	63.8	145	y72l
g00b	52.8	-65.28	20.93	68.56	162	y99l
g25b	55.7	-49.58	-8.39	50.28	190	l36c
g50b	57.82	-38.4	-28.92	48.07	217	l72c
g75b	55.5	-22.05	-45.95	50.97	244	c11v
b00r	41.6	1.37	-45.01	45.03	272	c56v
b25r	29.0	25.08	-43.13	49.89	300	v04m
b50r	38.04	46.53	-28.39	54.51	329	v55m
b75r	49.48	72.88	-3.76	72.98	357	m11o

lab^*olv^*

$i^* = 1.00$

Brillantheit i^*

$i^* = 0.80$

$i^* = 0.60$

$i^* = 0.40$

$i^* = 0.20$

$i^* = 0.00$

Ein und Ausgabe: Farbmetrisches Drucker-Reflektiv-System ORS19_96a für relativen CIELAB-Buntton $h^* = lab^*h^* = h_{ab}/360 = 0.913$

Daten für jede Farbe:

lab^*tch^* und lab^*icu^*

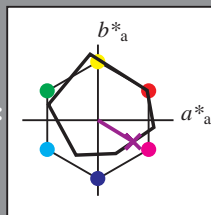
Bunttontexte:

$u^*_e = b50r$ $u^*_d = v55m$

Kontrastreduzierungsfaktor:

$c_R = 1.0$

Dreiecks-Helligkeit i^*



ORS19_96a; adaptierte CIELAB-Daten

	u^*_e	$L^*=L^*_a$	a^*_a	b^*_a	$C^*_{ab,a}$	$h^*_{ab,a}$
O _{Ma}	48.75	65.07	39.43	76.08	31	
Y _{Ma}	90.92	-10.29	87.24	87.85	97	
L _{Ma}	52.69	-65.44	20.75	68.65	162	
C _{Ma}	59.61	-28.98	-46.22	54.56	238	
V _{Ma}	28.39	23.63	-44.13	50.06	298	
M _{Ma}	49.58	73.93	-9.56	74.55	353	
N _{Ma}	18.89	0.0	0.0	0.0	0	
W _{Ma}	96.9	0.0	0.0	0.0	0	
R _{Ma}	39.92	58.74	27.99	65.07	25	
J _{Ma}	81.26	-2.89	71.56	71.62	92	
G _{Ma}	52.23	-42.42	13.6	44.55	162	
B _{Ma}	30.57	1.41	-46.47	46.49	272	

Daten für Maximalfarbe (Ma):

$LAB^*LAB^*_{Ma}$: 38 47 -28

$LAB^*LCH^*_{Ma}$: 38 55 328

$lab^*rgb^*_{Ma}$: 1.0 0.0 1.0

$lab^*olv^*_{Ma}$: 0.56 0.0 1.0

Dreiecks-Helligkeit i^*

%Umfang

$u^*_{rel} = 89$

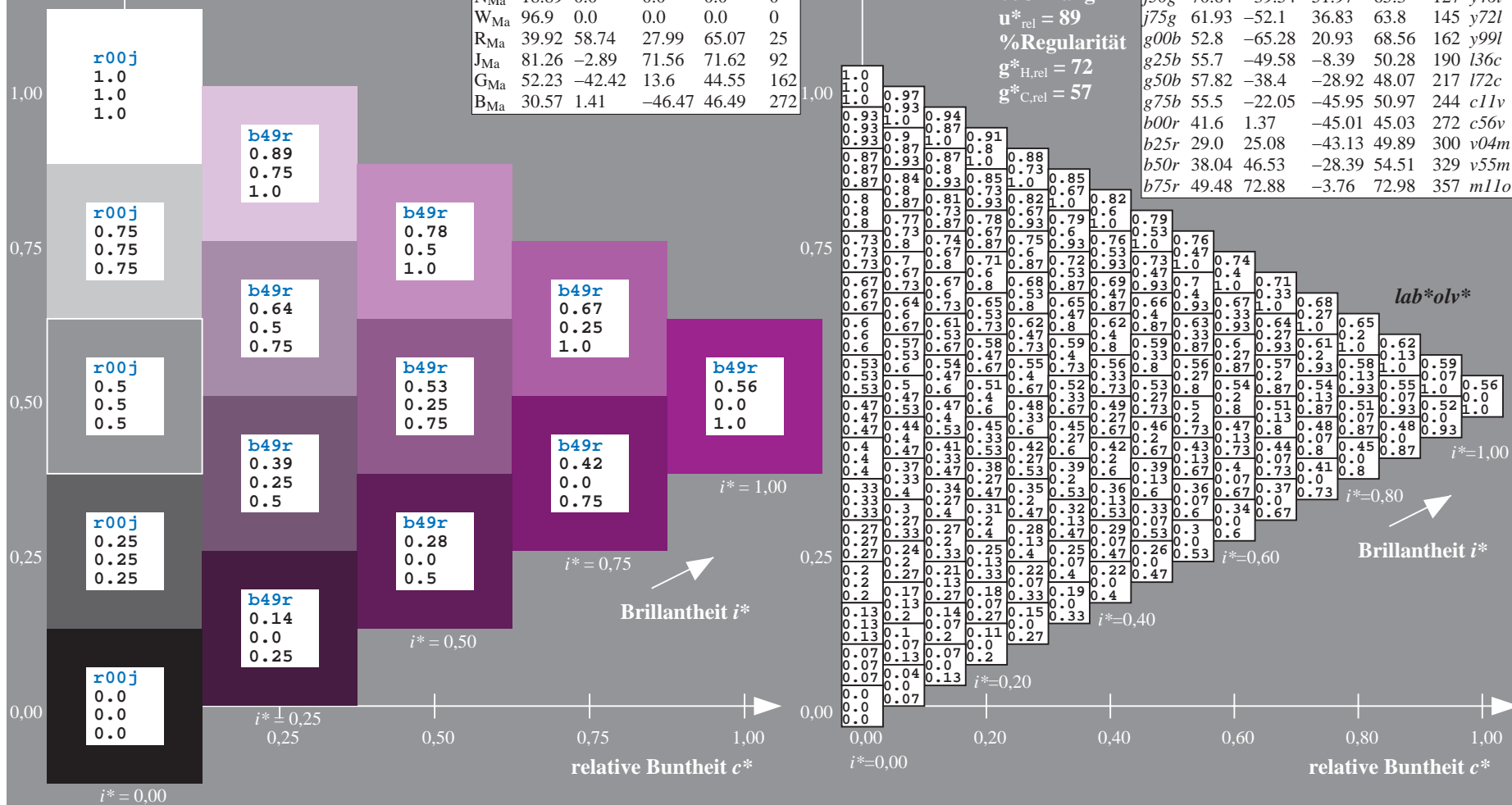
%Regularität

$g^*_{H,rel} = 72$

$g^*_{C,rel} = 57$

ORS19_96a; adaptierte CIELAB-Daten

	u^*_e	$L^*=L^*_a$	a^*_a	b^*_a	$C^*_{ab,a}$	$h^*_{ab,a}$	u^*_d
r00j	48.88	66.47	31.67	73.63	25	m84o	
r25j	55.85	52.39	47.48	70.7	42	o17y	
r50j	65.45	35.22	58.37	68.17	59	o42y	
r75j	75.19	17.82	69.41	71.66	76	o67y	
j00g	87.03	-3.35	82.83	82.9	92	o92y	
j25g	80.72	-25.01	69.5	73.86	110	y20l	
j50g	70.64	-39.54	51.97	65.3	127	y46l	
j75g	61.93	-52.1	36.83	63.8	145	y72l	
g00b	52.8	-65.28	20.93	68.56	162	y99l	
g25b	55.7	-49.58	-8.39	50.28	190	l36c	
g50b	57.82	-38.4	-28.92	48.07	217	l72c	
g75b	55.5	-22.05	-45.95	50.97	244	c11v	
b00r	41.6	1.37	-45.01	45.03	272	c56v	
b25r	29.0	25.08	-43.13	49.89	300	v04m	
b50r	38.04	46.53	-28.39	54.51	329	v55m	
b75r	49.48	72.88	-3.76	72.98	357	m11o	



Ein und Ausgabe: Farbmetrisches Drucker-Reflektiv-System ORS19_96a für relativen CIELAB-Buntton $h^* = lab^*h^* = h_{ab}/360 = 0.992$

Daten für jede Farbe:

lab^*tch^* und lab^*icu^*

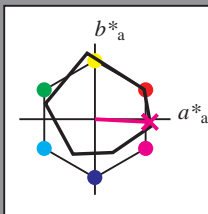
Bunttontexte:

$u^*_e = b75r$ $u^*_d = m11o$

Kontrastreduzierungsfaktor:

$c_R = 1.0$

Dreiecks-Helligkeit i^*



ORS19_96a; adaptierte CIELAB-Daten

u^*_e	$L^*=L^*_a$	a^*_a	b^*_a	$C^*_{ab,a}$	$h^*_{ab,a}$
O _{Ma}	48.75	65.07	39.43	76.08	31
Y _{Ma}	90.92	-10.29	87.24	87.85	97
L _{Ma}	52.69	-65.44	20.75	68.65	162
C _{Ma}	59.61	-28.98	-46.22	54.56	238
V _{Ma}	28.39	23.63	-44.13	50.06	298
M _{Ma}	49.58	73.93	-9.56	74.55	353
N _{Ma}	18.89	0.0	0.0	0.0	0
W _{Ma}	96.9	0.0	0.0	0.0	0
R _{Ma}	39.92	58.74	27.99	65.07	25
J _{Ma}	81.26	-2.89	71.56	71.62	92
G _{Ma}	52.23	-42.42	13.6	44.55	162
B _{Ma}	30.57	1.41	-46.47	46.49	272

Daten für Maximalfarbe (Ma):

$LAB^*LAB^*_{Ma}$: 49 73 -4

$LAB^*LCH^*_{Ma}$: 49 73 357

$lab^*rgb^*_{Ma}$: 1.0 0.0 0.5

$lab^*olv^*_{Ma}$: 1.0 0.0 0.89

Dreiecks-Helligkeit i^*

%Umfang

$u^*_{rel} = 89$

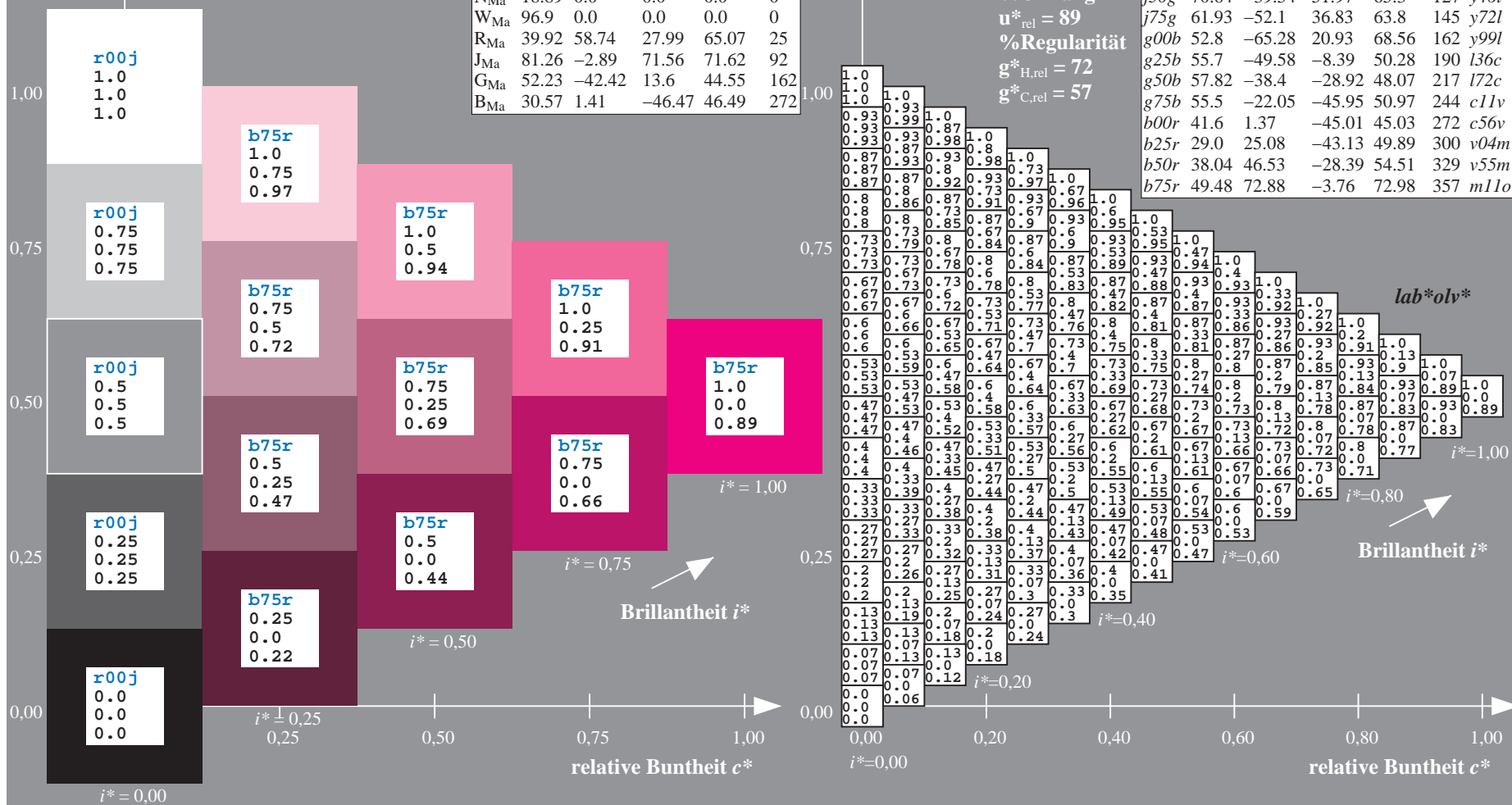
%Regularität

$g^*_{H,rel} = 72$

$g^*_{C,rel} = 57$

ORS19_96a; adaptierte CIELAB-Daten

u^*_e	$L^*=L^*_a$	a^*_a	b^*_a	$C^*_{ab,a}$	$h^*_{ab,a}$	u^*_d
r00j	48.88	66.47	31.67	73.63	25	m84o
r25j	55.85	52.39	47.48	70.7	42	o17y
r50j	65.45	35.22	58.37	68.17	59	o42y
r75j	75.19	17.82	69.41	71.66	76	o67y
j00g	87.03	-3.35	82.83	82.9	92	o92y
j25g	80.72	-25.01	69.5	73.86	110	y20l
j50g	70.64	-39.54	51.97	65.3	127	y46l
j75g	61.93	-52.1	36.83	63.8	145	y72l
g00b	52.8	-65.28	20.93	68.56	162	y99l
g25b	55.7	-49.58	-8.39	50.28	190	l36c
g50b	57.82	-38.4	-28.92	48.07	217	l72c
g75b	55.5	-22.05	-45.95	50.97	244	c11v
b00r	41.6	1.37	-45.01	45.03	272	c56v
b25r	29.0	25.08	-43.13	49.89	300	v04m
b50r	38.04	46.53	-28.39	54.51	329	v55m
b75r	49.48	72.88	-3.76	72.98	357	m11o



Siehe ähnliche Dateien: <http://www.ps.bam.de/Eg38/>; www.ps.bam.de/Eg38/
Technische Information: <http://www.ps.bam.de/Version2.1,io=1.1,ColSp=1>

	A	B	C	D	E	F	G	H	I	J	K	L	M	N	O	P	Q	R	S	T	U	V	W	X	Y	Z	a	b	c	d	e	f	g	h	i	j	k	lab*oly*																																																																																																																																																																																																																																																																																																																																																																																																																																																																																																																																																																																																																																																																																																																																																																																																																																																																																																																		
01	0.0	0.0	0.0	0.0	0.0	0.0	0.0	0.0	0.0	0.0	0.13	0.12	0.12	0.12	0.12	0.12	0.12	0.12	0.12	0.25	0.25	0.25	0.25	0.25	0.25	0.25	0.25	0.25	0.25	0.25	0.25	0.25	0.25	0.25	0.25	0.25	0.25	0.25	0.25	0.25	0.25	0.25	0.25	0.25	0.25	0.25	0.25	0.25	0.25	0.25	0.25	0.25	0.25	0.25	0.25	0.25	0.25	0.25	0.25	0.25	0.25	0.25	0.25	0.25	0.25	0.25	0.25	0.25	0.25	0.25	0.25	0.25	0.25	0.25	0.25	0.25	0.25	0.25	0.25	0.25	0.25	0.25	0.25	0.25	0.25	0.25	0.25	0.25	0.25	0.25	0.25	0.25	0.25	0.25	0.25	0.25	0.25	0.25	0.25	0.25	0.25	0.25	0.25	0.25	0.25	0.25	0.25	0.25	0.25	0.25	0.25	0.25	0.25	0.25	0.25	0.25	0.25	0.25	0.25	0.25	0.25	0.25	0.25	0.25	0.25	0.25	0.25	0.25	0.25	0.25	0.25	0.25	0.25	0.25	0.25	0.25	0.25	0.25	0.25	0.25	0.25	0.25	0.25	0.25	0.25	0.25	0.25	0.25	0.25	0.25	0.25	0.25	0.25	0.25	0.25	0.25	0.25	0.25	0.25	0.25	0.25	0.25	0.25	0.25	0.25	0.25	0.25	0.25	0.25	0.25	0.25	0.25	0.25	0.25	0.25	0.25	0.25	0.25	0.25	0.25	0.25	0.25	0.25	0.25	0.25	0.25	0.25	0.25	0.25	0.25	0.25	0.25	0.25	0.25	0.25	0.25	0.25	0.25	0.25	0.25	0.25	0.25	0.25	0.25	0.25	0.25	0.25	0.25	0.25	0.25	0.25	0.25	0.25	0.25	0.25	0.25	0.25	0.25	0.25	0.25	0.25	0.25	0.25	0.25	0.25	0.25	0.25	0.25	0.25	0.25	0.25	0.25	0.25	0.25	0.25	0.25	0.25	0.25	0.25	0.25	0.25	0.25	0.25	0.25	0.25	0.25	0.25	0.25	0.25	0.25	0.25	0.25	0.25	0.25	0.25	0.25	0.25	0.25	0.25	0.25	0.25	0.25	0.25	0.25	0.25	0.25	0.25	0.25	0.25	0.25	0.25	0.25	0.25	0.25	0.25	0.25	0.25	0.25	0.25	0.25	0.25	0.25	0.25	0.25	0.25	0.25	0.25	0.25	0.25	0.25	0.25	0.25	0.25	0.25	0.25	0.25	0.25	0.25	0.25	0.25	0.25	0.25	0.25	0.25	0.25	0.25	0.25	0.25	0.25	0.25	0.25	0.25	0.25	0.25	0.25	0.25	0.25	0.25	0.25	0.25	0.25	0.25	0.25	0.25	0.25	0.25	0.25	0.25	0.25	0.25	0.25	0.25	0.25	0.25	0.25	0.25	0.25	0.25	0.25	0.25	0.25	0.25	0.25	0.25	0.25	0.25	0.25	0.25	0.25	0.25	0.25	0.25	0.25	0.25	0.25	0.25	0.25	0.25	0.25	0.25	0.25	0.25	0.25	0.25	0.25	0.25	0.25	0.25	0.25	0.25	0.25	0.25	0.25	0.25	0.25	0.25	0.25	0.25	0.25	0.25	0.25	0.25	0.25	0.25	0.25	0.25	0.25	0.25	0.25	0.25	0.25	0.25	0.25	0.25	0.25	0.25	0.25	0.25	0.25	0.25	0.25	0.25	0.25	0.25	0.25	0.25	0.25	0.25	0.25	0.25	0.25	0.25	0.25	0.25	0.25	0.25	0.25	0.25	0.25	0.25	0.25	0.25	0.25	0.25	0.25	0.25	0.25	0.25	0.25	0.25	0.25	0.25	0.25	0.25	0.25	0.25	0.25	0.25	0.25	0.25	0.25	0.25	0.25	0.25	0.25	0.25	0.25	0.25	0.25	0.25	0.25	0.25	0.25	0.25	0.25	0.25	0.25	0.25	0.25	0.25	0.25	0.25	0.25	0.25	0.25	0.25	0.25	0.25	0.25	0.25	0.25	0.25	0.25	0.25	0.25	0.25	0.25	0.25	0.25	0.25	0.25	0.25	0.25	0.25	0.25	0.25	0.25	0.25	0.25	0.25	0.25	0.25	0.25	0.25	0.25	0.25	0.25	0.25	0.25	0.25	0.25	0.25	0.25	0.25	0.25	0.25	0.25	0.25	0.25	0.25	0.25	0.25	0.25	0.25	0.25	0.25	0.25	0.25	0.25	0.25	0.25	0.25	0.25	0.25	0.25	0.25	0.25	0.25	0.25	0.25	0.25	0.25	0.25	0.25	0.25	0.25	0.25	0.25	0.25	0.25	0.25	0.25	0.25	0.25	0.25	0.25	0.25	0.25	0.25	0.25	0.25	0.25	0.25	0.25	0.25	0.25	0.25	0.25	0.25	0.25	0.25	0.25	0.25	0.25	0.25	0.25	0.25	0.25	0.25	0.25	0.25	0.25	0.25	0.25	0.25	0.25	0.25	0.25	0.25	0.25	0.25	0.25	0.25	0.25	0.25	0.25	0.25	0.25	0.25	0.25	0.25	0.25	0.25	0.25	0.25	0.25	0.25	0.25	0.25	0.25	0.25	0.25	0.25	0.25	0.25	0.25	0.25	0.25	0.25	0.25	0.25	0.25	0.25	0.25	0.25	0.25	0.25	0.25	0.25	0.25	0.25	0.25	0.25	0.25	0.25	0.25	0.25	0.25	0.25	0.25	0.25	0.25	0.25	0.25	0.25	0.25	0.25	0.25	0.25	0.25	0.25	0.25	0.25	0.25	0.25	0.25	0.25	0.25	0.25	0.25	0.25	0.25	0.25	0.25	0.25	0.25	0.25	0.25	0.25	0.25	0.25	0.25	0.25	0.25	0.25	0.25	0.25	0.25	0.25	0.25	0.25	0.25	0.25	0.25	0.25	0.25	0.25	0.25	0.25	0.25	0.25	0.25	0.25	0.25	0.25	0.25	0.25	0.25	0.25	0.25	0.25	0.25	0.25	0.25	0.25	0.25	0.25	0.25	0.25	0.25	0.25	0.25	0.25	0.25	0.25	0.25	0.25	0.25	0.25	0.25	0.25	0.25	0.25	0.25	0.25	0.25	0.25	0.25	0.25	0.25	0.25	0.25	0.25	0.25	0.25	0.25	0.25	0.25	0.25	0.25	0.25	0.25	0.25	0.25	0.25	0.25	0.25	0.25	0.25	0.25	0.25	0.25	0.25	0.25	0.25	0.25	0.25	0.25	0.25	0.25	0.25	0.25	0.25	0.25	0.25	0.25	0.25	0.25	0.25	0.25	0.25	0.25	0.25	0.25	0.25	0.25	0.25	0.25	0.25	0.25	0.25	0.25	0.25	0.25	0.25	0.25	0.25	0.25	0.25	0.25	0.25	0.25	0.25	0.25	0.25	0.25	0.25	0.25	0.25	0.25	0.25	0.25	0.25	0.25	0.25	0.25	0.25	0.25	0.25	0.25	0.25	0.25	0.25	0.25	0.25	0.25	0.25	0.25	0.25	0.25	0.25	0.25	0.25	0.25	0.25	0.25	0.25	0.25	0.25	0.25	0.25	0.25	0.25	0.25	0.25	0.25	0.25	0.25	0.25	0.25	0.25	0.25	0.25	0.25	0.25	0.25	0.25	0.25	0.25	0.25	0.25	0.25	0.25	0.25	0.25	0.25	0.25	0.25	0.25	0.25	0.25	0.25	0.25	0.25	0.25	0.25	0.25	0.25	0.25	0.25	0.25	0.25	0.25	0.25	0.25	0.25	0.25	0.25	0.25	0.25	0.25	0.25	0.25	0.25	0.25	0.25	0.25	0.25	0.25	0.25	0.25	0.25	0.25	0.25	0.25	0.25	0.25	0.25	0.25	0.25	0.25	0.25	0.25	0.25	0.25	0.25	0.25	0.25	0.25	0.25	0.25	0.25	0.25	0.25	0.25	0.25	0.25	0.25	0.25	0.25	0.25	0.25	0.25	0.25	0.25	0.25	0.25	0.25	0.25	0.25

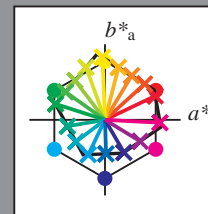
BAM-Registrierung: 20081001-Eg38/10L/L38G00NA.PS/.TXT BAM-Material: Code=th4ta
Anwendung für Beurteilung und Messung von Drucker- oder Monitorsystemen

Ein und Ausgabe:
Farbmetrisches Drucker-Reflektiv-System ORS19_96a
Daten für jede Farbe:

u^*_e und Nummer $Nr.$ = 00 .. 15
Elementar-Bunttontext:
 $u^*_e = 16$ Bunttoene $r00j, r25j, \dots, b75r$
Kontrastreduzierungsfaktor:
 $c_R = 1.0$

ORS19_96a; adaptierte CIELAB-Daten

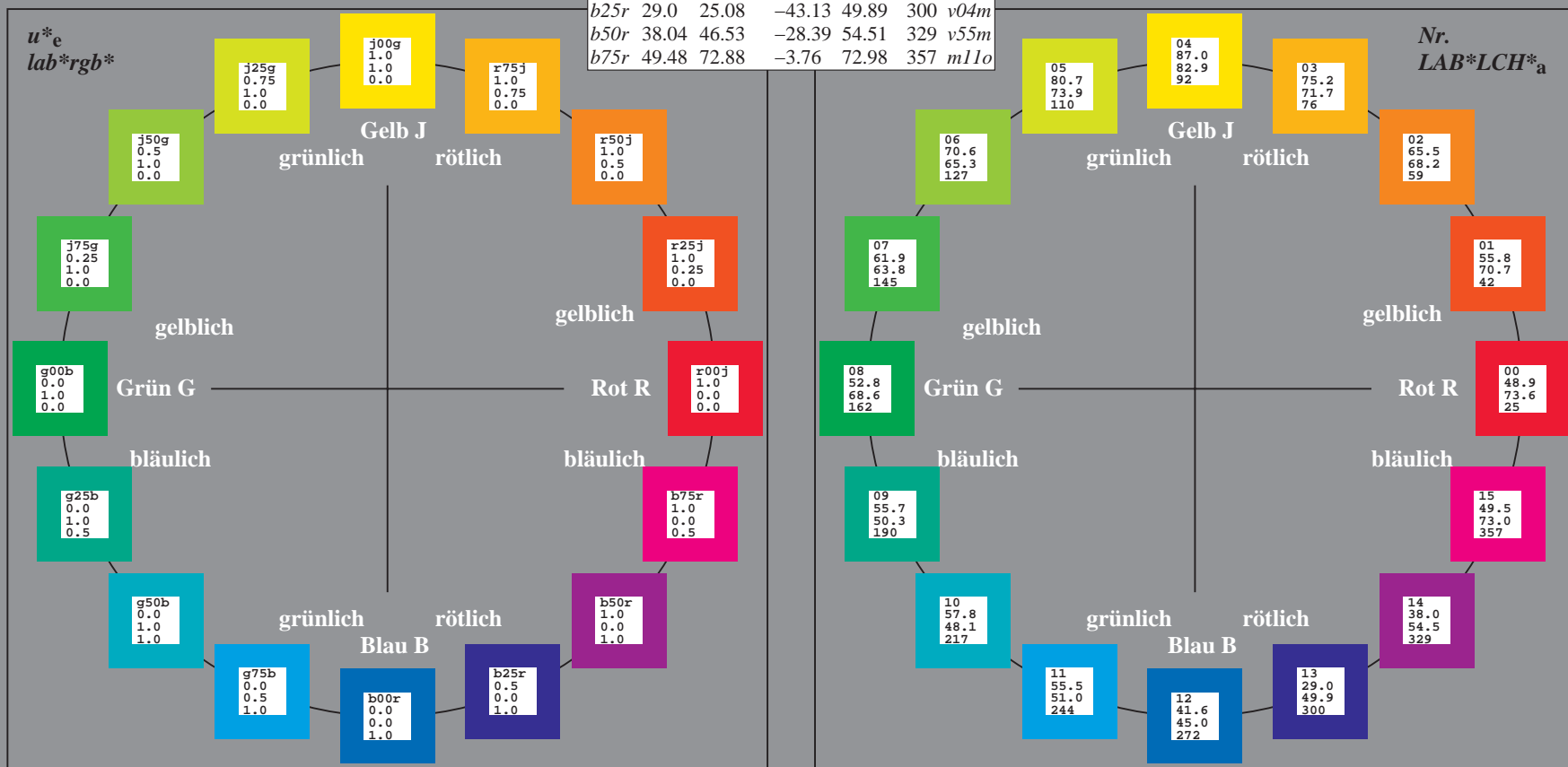
u^*_e	$L^*=L^*_a$	a^*_a	b^*_a	$C^*_{ab,a}$	$h^*_{ab,a}$	u^*_d
$r00j$	48.88	66.47	31.67	73.63	25	$m84o$
$r25j$	55.85	52.39	47.48	70.7	42	$o17y$
$r50j$	65.45	35.22	58.37	68.17	59	$o42y$
$r75j$	75.19	17.82	69.41	71.66	76	$o67y$
$j00g$	87.03	-3.35	82.83	82.9	92	$o92y$
$j25g$	80.72	-25.01	69.5	73.86	110	$y20l$
$j50g$	70.64	-39.54	51.97	65.3	127	$y46l$
$j75g$	61.93	-52.1	36.83	63.8	145	$y72l$
$g00b$	52.8	-65.28	20.93	68.56	162	$y99l$
$g25b$	55.7	-49.58	-8.39	50.28	190	$l36c$
$g50b$	57.82	-38.4	-28.92	48.07	217	$l72c$
$g75b$	55.5	-22.05	-45.95	50.97	244	$c11v$
$b00r$	41.6	1.37	-45.01	45.03	272	$c56v$
$b25r$	29.0	25.08	-43.13	49.89	300	$v04m$
$b50r$	38.04	46.53	-28.39	54.51	329	$v55m$
$b75r$	49.48	72.88	-3.76	72.98	357	$m11o$



%Umfang
 $u^*_{rel} = 89$
%Regularität
 $g^*_{H,rel} = 72$
 $g^*_{C,rel} = 57$

ORS19_96a; adaptierte CIELAB-Daten

Name	$L^*=L^*_a$	a^*_a	b^*_a	$C^*_{ab,a}$	$h^*_{ab,a}$
O_{Ma}	48.75	65.07	39.43	76.08	31
Y_{Ma}	90.92	-10.29	87.24	87.85	97
L_{Ma}	52.69	-65.44	20.75	68.65	162
C_{Ma}	59.61	-28.98	-46.22	54.56	238
V_{Ma}	28.39	23.63	-44.13	50.06	298
M_{Ma}	49.58	73.93	-9.56	74.55	353
N_{Ma}	18.89	0.0	0.0	0.0	0
W_{Ma}	96.9	0.0	0.0	0.0	0
R_{CIE}	39.92	58.74	27.99	65.07	25
J_{CIE}	81.26	-2.89	71.56	71.62	92
G_{CIE}	52.23	-42.42	13.6	44.55	162
B_{CIE}	30.57	1.41	-46.47	46.49	272



Ein und Ausgabe: Farbmetrisches Drucker-Reflektiv-System ORS19_96a für relativen CIELAB-Buntton $h^* = lab^*h^* = h_{ab}/360 = 0.071$

Daten für jede Farbe:

lab^*tch^* und lab^*icu^*

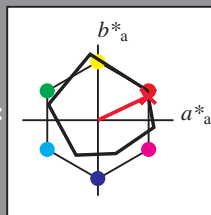
Bunttontexte:

$u^*_e = r00j$ $u^*_d = m84o$

Kontrastreduzierungsfaktor:

$c_R = 1.0$

Dreiecks-Helligkeit i^*



ORS19_96a; adaptierte CIELAB-Daten

u^*_e	$L^*=L^*_a$	a^*_a	b^*_a	$C^*_{ab,a}$	$h^*_{ab,a}$
O _{Ma}	48.75	65.07	39.43	76.08	31
Y _{Ma}	90.92	-10.29	87.24	87.85	97
L _{Ma}	52.69	-65.44	20.75	68.65	162
C _{Ma}	59.61	-28.98	-46.22	54.56	238
V _{Ma}	28.39	23.63	-44.13	50.06	298
M _{Ma}	49.58	73.93	-9.56	74.55	353
N _{Ma}	18.89	0.0	0.0	0.0	0
W _{Ma}	96.9	0.0	0.0	0.0	0
R _{Ma}	39.92	58.74	27.99	65.07	25
J _{Ma}	81.26	-2.89	71.56	71.62	92
G _{Ma}	52.23	-42.42	13.6	44.55	162
B _{Ma}	30.57	1.41	-46.47	46.49	272

Daten für Maximalfarbe (Ma):

$LAB^*LAB^*_{Ma}$: 49 66 32

$LAB^*LCH^*_{Ma}$: 49 74 25

$lab^*rgb^*_{Ma}$: 1.0 0.0 0.0

$lab^*olv^*_{Ma}$: 1.0 0.0 0.15

Dreiecks-Helligkeit i^*

%Umfang

$u^*_{rel} = 89$

%Regularität

$g^*_{H,rel} = 72$

$g^*_{C,rel} = 57$

ORS19_96a; adaptierte CIELAB-Daten

u^*_e	$L^*=L^*_a$	a^*_a	b^*_a	$C^*_{ab,a}$	$h^*_{ab,a}$	u^*_d
r00j	48.88	66.47	31.67	73.63	25	m84o
r25j	55.85	52.39	47.48	70.7	42	o17y
r50j	65.45	35.22	58.37	68.17	59	o42y
r75j	75.19	17.82	69.41	71.66	76	o67y
j00g	87.03	-3.35	82.83	82.9	92	o92y
j25g	80.72	-25.01	69.5	73.86	110	y20l
j50g	70.64	-39.54	51.97	65.3	127	y46l
j75g	61.93	-52.1	36.83	63.8	145	y72l
g00b	52.8	-65.28	20.93	68.56	162	y99l
g25b	55.7	-49.58	-8.39	50.28	190	l36c
g50b	57.82	-38.4	-28.92	48.07	217	l72c
g75b	55.5	-22.05	-45.95	50.97	244	c11v
b00r	41.6	1.37	-45.01	45.03	272	c56v
b25r	29.0	25.08	-43.13	49.89	300	v04m
b50r	38.04	46.53	-28.39	54.51	329	v55m
b75r	49.48	72.88	-3.76	72.98	357	m11o

lab^*rgb^*

$i^* = 1.00$

Brillantheit i^*

$i^* = 0.80$

$i^* = 0.60$

$i^* = 0.40$

$i^* = 0.20$

$i^* = 0.00$

Ein und Ausgabe: Farbmetrisches Drucker-Reflektiv-System ORS19_96a für relativen CIELAB-Buntton $h^* = lab^*h^* = h_{ab}/360 = 0.117$

Daten für jede Farbe:

lab^*tch^* und lab^*icu^*

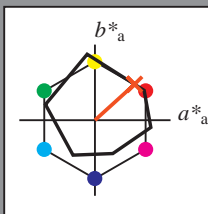
Bunttontexte:

$u^*_e = r25j$ $u^*_d = o17y$

Kontrastreduzierungsfaktor:

$c_R = 1.0$

Dreiecks-Helligkeit i^*



ORS19_96a; adaptierte CIELAB-Daten

u^*_e	$L^*=L^*_a$	a^*_a	b^*_a	$C^*_{ab,a}$	$h^*_{ab,a}$
O _{Ma}	48.75	65.07	39.43	76.08	31
Y _{Ma}	90.92	-10.29	87.24	87.85	97
L _{Ma}	52.69	-65.44	20.75	68.65	162
C _{Ma}	59.61	-28.98	-46.22	54.56	238
V _{Ma}	28.39	23.63	-44.13	50.06	298
M _{Ma}	49.58	73.93	-9.56	74.55	353
N _{Ma}	18.89	0.0	0.0	0.0	0
W _{Ma}	96.9	0.0	0.0	0.0	0
R _{Ma}	39.92	58.74	27.99	65.07	25
J _{Ma}	81.26	-2.89	71.56	71.62	92
G _{Ma}	52.23	-42.42	13.6	44.55	162
B _{Ma}	30.57	1.41	-46.47	46.49	272

Daten für Maximalfarbe (Ma):

$LAB^*LAB^*_{Ma}$: 56 52 47

$LAB^*LCH^*_{Ma}$: 56 71 42

$lab^*rgb^*_{Ma}$: 1.0 0.25 0.0

$lab^*olv^*_{Ma}$: 1.0 0.17 0.0

Dreiecks-Helligkeit i^*

%Umfang

$u^*_{rel} = 89$

%Regularität

$g^*_{H,rel} = 72$

$g^*_{C,rel} = 57$

ORS19_96a; adaptierte CIELAB-Daten

u^*_e	$L^*=L^*_a$	a^*_a	b^*_a	$C^*_{ab,a}$	$h^*_{ab,a}$	u^*_d
r00j	48.88	66.47	31.67	73.63	25	m84o
r25j	55.85	52.39	47.48	70.7	42	o17y
r50j	65.45	35.22	58.37	68.17	59	o42y
r75j	75.19	17.82	69.41	71.66	76	o67y
j00g	87.03	-3.35	82.83	82.9	92	o92y
j25g	80.72	-25.01	69.5	73.86	110	y20l
j50g	70.64	-39.54	51.97	65.3	127	y46l
j75g	61.93	-52.1	36.83	63.8	145	y72l
g00b	52.8	-65.28	20.93	68.56	162	y99l
g25b	55.7	-49.58	-8.39	50.28	190	l36c
g50b	57.82	-38.4	-28.92	48.07	217	l72c
g75b	55.5	-22.05	-45.95	50.97	244	c11v
b00r	41.6	1.37	-45.01	45.03	272	c56v
b25r	29.0	25.08	-43.13	49.89	300	v04m
b50r	38.04	46.53	-28.39	54.51	329	v55m
b75r	49.48	72.88	-3.76	72.98	357	m11o

lab^*rgb^*

$i^* = 1.00$

Brillantheit i^*

$i^* = 0.80$

$i^* = 0.60$

$i^* = 0.40$

$i^* = 0.20$

$i^* = 0.00$

Ein und Ausgabe: Farbmetrisches Drucker-Reflektiv-System ORS19_96a für relativen CIELAB-Buntton $h^* = lab^*h^* = h_{ab}/360 = 0.164$

Daten für jede Farbe:

lab^*tch^* und lab^*icu^*

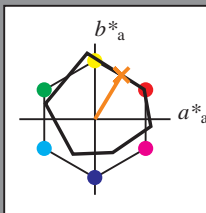
Bunttontexte:

$u^*_e = r50j$ $u^*_d = o42y$

Kontrastreduzierungsfaktor:

$c_R = 1.0$

Dreiecks-Helligkeit t^*



ORS19_96a; adaptierte CIELAB-Daten

	u^*_e	$L^*=L^*_a$	a^*_a	b^*_a	$C^*_{ab,a}$	$h^*_{ab,a}$
O _{Ma}	48.75	65.07	39.43	76.08	31	
Y _{Ma}	90.92	-10.29	87.24	87.85	97	
L _{Ma}	52.69	-65.44	20.75	68.65	162	
C _{Ma}	59.61	-28.98	-46.22	54.56	238	
V _{Ma}	28.39	23.63	-44.13	50.06	298	
M _{Ma}	49.58	73.93	-9.56	74.55	353	
N _{Ma}	18.89	0.0	0.0	0.0	0	
W _{Ma}	96.9	0.0	0.0	0.0	0	
R _{Ma}	39.92	58.74	27.99	65.07	25	
J _{Ma}	81.26	-2.89	71.56	71.62	92	
G _{Ma}	52.23	-42.42	13.6	44.55	162	
B _{Ma}	30.57	1.41	-46.47	46.49	272	

Daten für Maximalfarbe (Ma):

$LAB^*LAB^*_{Ma}$: 65 35 58

$LAB^*LCH^*_{Ma}$: 65 68 58

$lab^*rgb^*_{Ma}$: 1.0 0.5 0.0

$lab^*olv^*_{Ma}$: 1.0 0.42 0.0

Dreiecks-Helligkeit t^*

%Umfang

$u^*_{rel} = 89$

%Regularität

$g^*_{H,rel} = 72$

$g^*_{C,rel} = 57$

$u^*_e = r50j$
 lab^*rgb^*

ORS19_96a; adaptierte CIELAB-Daten

	u^*_e	$L^*=L^*_a$	a^*_a	b^*_a	$C^*_{ab,a}$	$h^*_{ab,a}$	u^*_d
r00j	48.88	66.47	31.67	73.63	25	m84o	
r25j	55.85	52.39	47.48	70.7	42	o17y	
r50j	65.45	35.22	58.37	68.17	59	o42y	
r75j	75.19	17.82	69.41	71.66	76	o67y	
j00g	87.03	-3.35	82.83	82.9	92	o92y	
j25g	80.72	-25.01	69.5	73.86	110	y20l	
j50g	70.64	-39.54	51.97	65.3	127	y46l	
j75g	61.93	-52.1	36.83	63.8	145	y72l	
g00b	52.8	-65.28	20.93	68.56	162	y99l	
g25b	55.7	-49.58	-8.39	50.28	190	l36c	
g50b	57.82	-38.4	-28.92	48.07	217	l72c	
g75b	55.5	-22.05	-45.95	50.97	244	c11v	
b00r	41.6	1.37	-45.01	45.03	272	c56v	
b25r	29.0	25.08	-43.13	49.89	300	v04m	
b50r	38.04	46.53	-28.39	54.51	329	v55m	
b75r	49.48	72.88	-3.76	72.98	357	m11o	

Ein und Ausgabe: Farbmetrisches Drucker-Reflektiv-System ORS19_96a für relativen CIELAB-Buntton $h^* = lab^*h^* = h_{ab}/360 = 0.21$

Daten für jede Farbe:

lab^*tch^* und lab^*icu^*

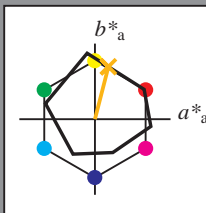
Bunttontexte:

$u^*_e = r75j$ $u^*_d = o67y$

Kontrastreduzierungsfaktor:

$c_R = 1.0$

Dreiecks-Helligkeit i^*



ORS19_96a; adaptierte CIELAB-Daten

	u^*_e	$L^*=L^*_a$	a^*_a	b^*_a	$C^*_{ab,a}$	$h^*_{ab,a}$
O _{Ma}	48.75	65.07	39.43	76.08	31	
Y _{Ma}	90.92	-10.29	87.24	87.85	97	
L _{Ma}	52.69	-65.44	20.75	68.65	162	
C _{Ma}	59.61	-28.98	-46.22	54.56	238	
V _{Ma}	28.39	23.63	-44.13	50.06	298	
M _{Ma}	49.58	73.93	-9.56	74.55	353	
N _{Ma}	18.89	0.0	0.0	0.0	0	
W _{Ma}	96.9	0.0	0.0	0.0	0	
R _{Ma}	39.92	58.74	27.99	65.07	25	
J _{Ma}	81.26	-2.89	71.56	71.62	92	
G _{Ma}	52.23	-42.42	13.6	44.55	162	
B _{Ma}	30.57	1.41	-46.47	46.49	272	

Daten für Maximalfarbe (Ma):

$LAB^*LAB^*_{Ma}$: 75 18 69

$LAB^*LCH^*_{Ma}$: 75 72 75

$lab^*rgb^*_{Ma}$: 1.0 0.75 0.0

$lab^*olv^*_{Ma}$: 1.0 0.68 0.0

Dreiecks-Helligkeit i^*

%Umfang

$u^*_{rel} = 89$

%Regularität

$g^*_{H,rel} = 72$

$g^*_{C,rel} = 57$

ORS19_96a; adaptierte CIELAB-Daten

	u^*_e	$L^*=L^*_a$	a^*_a	b^*_a	$C^*_{ab,a}$	$h^*_{ab,a}$	u^*_d
r00j	48.88	66.47	31.67	73.63	25	m84o	
r25j	55.85	52.39	47.48	70.7	42	o17y	
r50j	65.45	35.22	58.37	68.17	59	o42y	
r75j	75.19	17.82	69.41	71.66	76	o67y	
j00g	87.03	-3.35	82.83	82.9	92	o92y	
j25g	80.72	-25.01	69.5	73.86	110	y20l	
j50g	70.64	-39.54	51.97	65.3	127	y46l	
j75g	61.93	-52.1	36.83	63.8	145	y72l	
g00b	52.8	-65.28	20.93	68.56	162	y99l	
g25b	55.7	-49.58	-8.39	50.28	190	l36c	
g50b	57.82	-38.4	-28.92	48.07	217	l72c	
g75b	55.5	-22.05	-45.95	50.97	244	c11v	
b00r	41.6	1.37	-45.01	45.03	272	c56v	
b25r	29.0	25.08	-43.13	49.89	300	v04m	
b50r	38.04	46.53	-28.39	54.51	329	v55m	
b75r	49.48	72.88	-3.76	72.98	357	m11o	

lab^*rgb^*

$i^* = 1.00$

Brillantheit i^*

$i^* = 0.80$

$i^* = 0.60$

$i^* = 0.40$

$i^* = 0.20$

$i^* = 0.00$

Ein und Ausgabe: Farbmetrisches Drucker-Reflektiv-System ORS19_96a für relativen CIELAB-Buntton $h^* = lab^*h^* = h_{ab}/360 = 0.256$

Daten für jede Farbe:

lab^*tch^* und lab^*icu^*

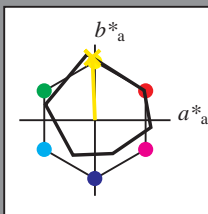
Bunttontexte:

$u^*_e = j00g$ $u^*_d = o92y$

Kontrastreduzierungsfaktor:

$c_R = 1.0$

Dreiecks-Helligkeit i^*



ORS19_96a; adaptierte CIELAB-Daten

	u^*_e	$L^*=L^*_a$	a^*_a	b^*_a	$C^*_{ab,a}$	$h^*_{ab,a}$
O _{Ma}	48.75	65.07	39.43	76.08	31	
Y _{Ma}	90.92	-10.29	87.24	87.85	97	
L _{Ma}	52.69	-65.44	20.75	68.65	162	
C _{Ma}	59.61	-28.98	-46.22	54.56	238	
V _{Ma}	28.39	23.63	-44.13	50.06	298	
M _{Ma}	49.58	73.93	-9.56	74.55	353	
N _{Ma}	18.89	0.0	0.0	0.0	0	
W _{Ma}	96.9	0.0	0.0	0.0	0	
R _{Ma}	39.92	58.74	27.99	65.07	25	
J _{Ma}	81.26	-2.89	71.56	71.62	92	
G _{Ma}	52.23	-42.42	13.6	44.55	162	
B _{Ma}	30.57	1.41	-46.47	46.49	272	

Daten für Maximalfarbe (Ma):

$LAB^*LAB^*_{Ma}$: 87 -3 83

$LAB^*LCH^*_{Ma}$: 87 83 92

$lab^*rgb^*_{Ma}$: 1.0 1.0 0.0

$lab^*olv^*_{Ma}$: 1.0 0.93 0.0

Dreiecks-Helligkeit i^*

%Umfang

$u^*_{rel} = 89$

%Regularität

$g^*_{H,rel} = 72$

$g^*_{C,rel} = 57$

ORS19_96a; adaptierte CIELAB-Daten

	u^*_e	$L^*=L^*_a$	a^*_a	b^*_a	$C^*_{ab,a}$	$h^*_{ab,a}$	u^*_d
r00j	48.88	66.47	31.67	73.63	25	m84o	
r25j	55.85	52.39	47.48	70.7	42	o17y	
r50j	65.45	35.22	58.37	68.17	59	o42y	
r75j	75.19	17.82	69.41	71.66	76	o67y	
j00g	87.03	-3.35	82.83	82.9	92	o92y	
j25g	80.72	-25.01	69.5	73.86	110	y20l	
j50g	70.64	-39.54	51.97	65.3	127	y46l	
j75g	61.93	-52.1	36.83	63.8	145	y72l	
g00b	52.8	-65.28	20.93	68.56	162	y99l	
g25b	55.7	-49.58	-8.39	50.28	190	l36c	
g50b	57.82	-38.4	-28.92	48.07	217	l72c	
g75b	55.5	-22.05	-45.95	50.97	244	c11v	
b00r	41.6	1.37	-45.01	45.03	272	c56v	
b25r	29.0	25.08	-43.13	49.89	300	v04m	
b50r	38.04	46.53	-28.39	54.51	329	v55m	
b75r	49.48	72.88	-3.76	72.98	357	m11o	

lab^*rgb^*

$i^* = 1.00$

Brillantheit i^*

$i^* = 0.80$

$i^* = 0.60$

$i^* = 0.40$

$i^* = 0.20$

$i^* = 0.00$

Ein und Ausgabe: Farbmetrisches Drucker-Reflektiv-System ORS19_96a für relativen CIELAB-Buntton $h^* = lab^*h^* = h_{ab}/360 = 0.305$

Daten für jede Farbe:

lab^*ch^* und lab^*icu^*

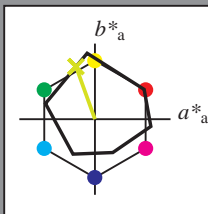
Bunttontexte:

$u^*_e = j25g$ $u^*_d = y20l$

Kontrastreduzierungsfaktor:

$c_R = 1.0$

Dreiecks-Helligkeit i^*



ORS19_96a; adaptierte CIELAB-Daten

u^*_e	$L^*=L^*_a$	a^*_a	b^*_a	$C^*_{ab,a}$	$h^*_{ab,a}$
O _{Ma}	48.75	65.07	39.43	76.08	31
Y _{Ma}	90.92	-10.29	87.24	87.85	97
L _{Ma}	52.69	-65.44	20.75	68.65	162
C _{Ma}	59.61	-28.98	-46.22	54.56	238
V _{Ma}	28.39	23.63	-44.13	50.06	298
M _{Ma}	49.58	73.93	-9.56	74.55	353
N _{Ma}	18.89	0.0	0.0	0.0	0
W _{Ma}	96.9	0.0	0.0	0.0	0
R _{Ma}	39.92	58.74	27.99	65.07	25
J _{Ma}	81.26	-2.89	71.56	71.62	92
G _{Ma}	52.23	-42.42	13.6	44.55	162
B _{Ma}	30.57	1.41	-46.47	46.49	272

Daten für Maximalfarbe (Ma):

$LAB^*LAB^*_{Ma}$: 81 -25 69

$LAB^*LCH^*_{Ma}$: 81 74 109

$lab^*rgb^*_{Ma}$: 0.75 1.0 0.0

$lab^*olv^*_{Ma}$: 0.8 1.0 0.0

Dreiecks-Helligkeit i^*

%Umfang

$u^*_{rel} = 89$

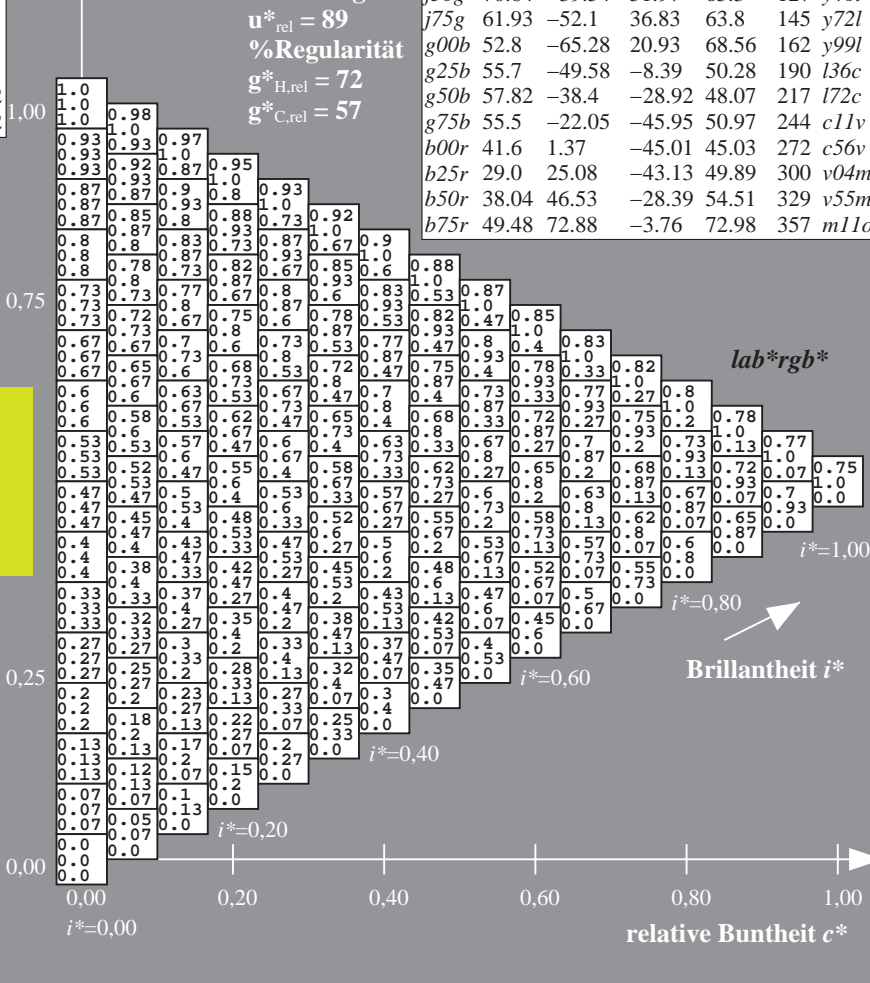
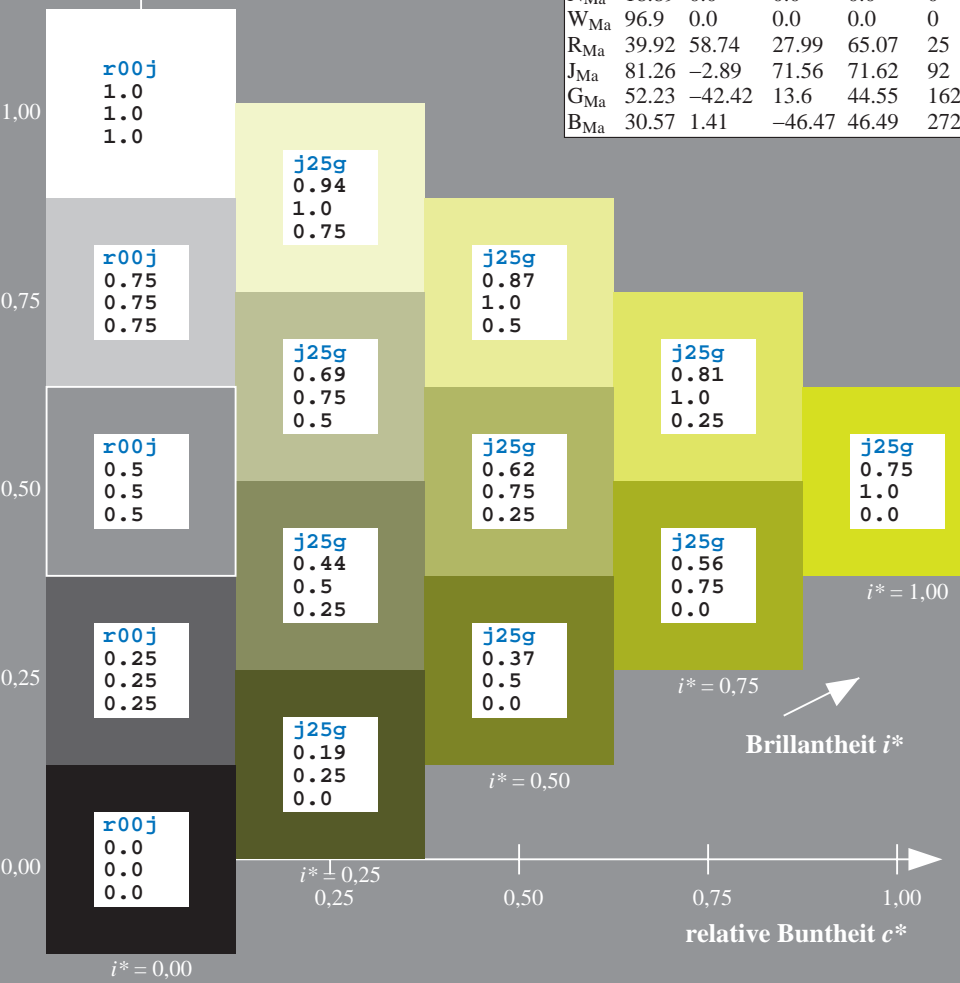
%Regularität

$g^*_{H,rel} = 72$

$g^*_{C,rel} = 57$

ORS19_96a; adaptierte CIELAB-Daten

u^*_e	$L^*=L^*_a$	a^*_a	b^*_a	$C^*_{ab,a}$	$h^*_{ab,a}$	u^*_d
r00j	48.88	66.47	31.67	73.63	25	m84o
r25j	55.85	52.39	47.48	70.7	42	o17y
r50j	65.45	35.22	58.37	68.17	59	o42y
r75j	75.19	17.82	69.41	71.66	76	o67y
j00g	87.03	-3.35	82.83	82.9	92	o92y
j25g	80.72	-25.01	69.5	73.86	110	y20l
j50g	70.64	-39.54	51.97	65.3	127	y46l
j75g	61.93	-52.1	36.83	63.8	145	y72l
g00b	52.8	-65.28	20.93	68.56	162	y99l
g25b	55.7	-49.58	-8.39	50.28	190	l36c
g50b	57.82	-38.4	-28.92	48.07	217	l72c
g75b	55.5	-22.05	-45.95	50.97	244	c11v
b00r	41.6	1.37	-45.01	45.03	272	c56v
b25r	29.0	25.08	-43.13	49.89	300	v04m
b50r	38.04	46.53	-28.39	54.51	329	v55m
b75r	49.48	72.88	-3.76	72.98	357	m11o



Ein und Ausgabe: Farbmetrisches Drucker-Reflektiv-System ORS19_96a für relativen CIELAB-Buntton $h^* = lab^*h^* = h_{ab}/360 = 0.354$

Daten für jede Farbe:

lab^*tch^* und lab^*icu^*

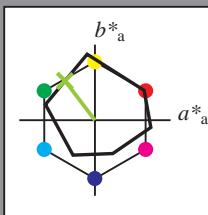
Bunttontexte:

$u^*_e = j50g$ $u^*_d = y46l$

Kontrastreduzierungsfaktor:

$c_R = 1.0$

Dreiecks-Helligkeit i^*



ORS19_96a; adaptierte CIELAB-Daten

	u^*_e	$L^*=L^*_a$	a^*_a	b^*_a	$C^*_{ab,a}$	$h^*_{ab,a}$
O _{Ma}	48.75	65.07	39.43	76.08	31	
Y _{Ma}	90.92	-10.29	87.24	87.85	97	
L _{Ma}	52.69	-65.44	20.75	68.65	162	
C _{Ma}	59.61	-28.98	-46.22	54.56	238	
V _{Ma}	28.39	23.63	-44.13	50.06	298	
M _{Ma}	49.58	73.93	-9.56	74.55	353	
N _{Ma}	18.89	0.0	0.0	0.0	0	
W _{Ma}	96.9	0.0	0.0	0.0	0	
R _{Ma}	39.92	58.74	27.99	65.07	25	
J _{Ma}	81.26	-2.89	71.56	71.62	92	
G _{Ma}	52.23	-42.42	13.6	44.55	162	
B _{Ma}	30.57	1.41	-46.47	46.49	272	

Daten für Maximalfarbe (Ma):

$LAB^*LAB^*_{Ma}$: 71 -40 52

$LAB^*LCH^*_{Ma}$: 71 65 127

$lab^*rgb^*_{Ma}$: 0.5 1.0 0.0

$lab^*olv^*_{Ma}$: 0.54 1.0 0.0

Dreiecks-Helligkeit i^*

%Umfang

$u^*_{rel} = 89$

%Regularität

$g^*_{H,rel} = 72$

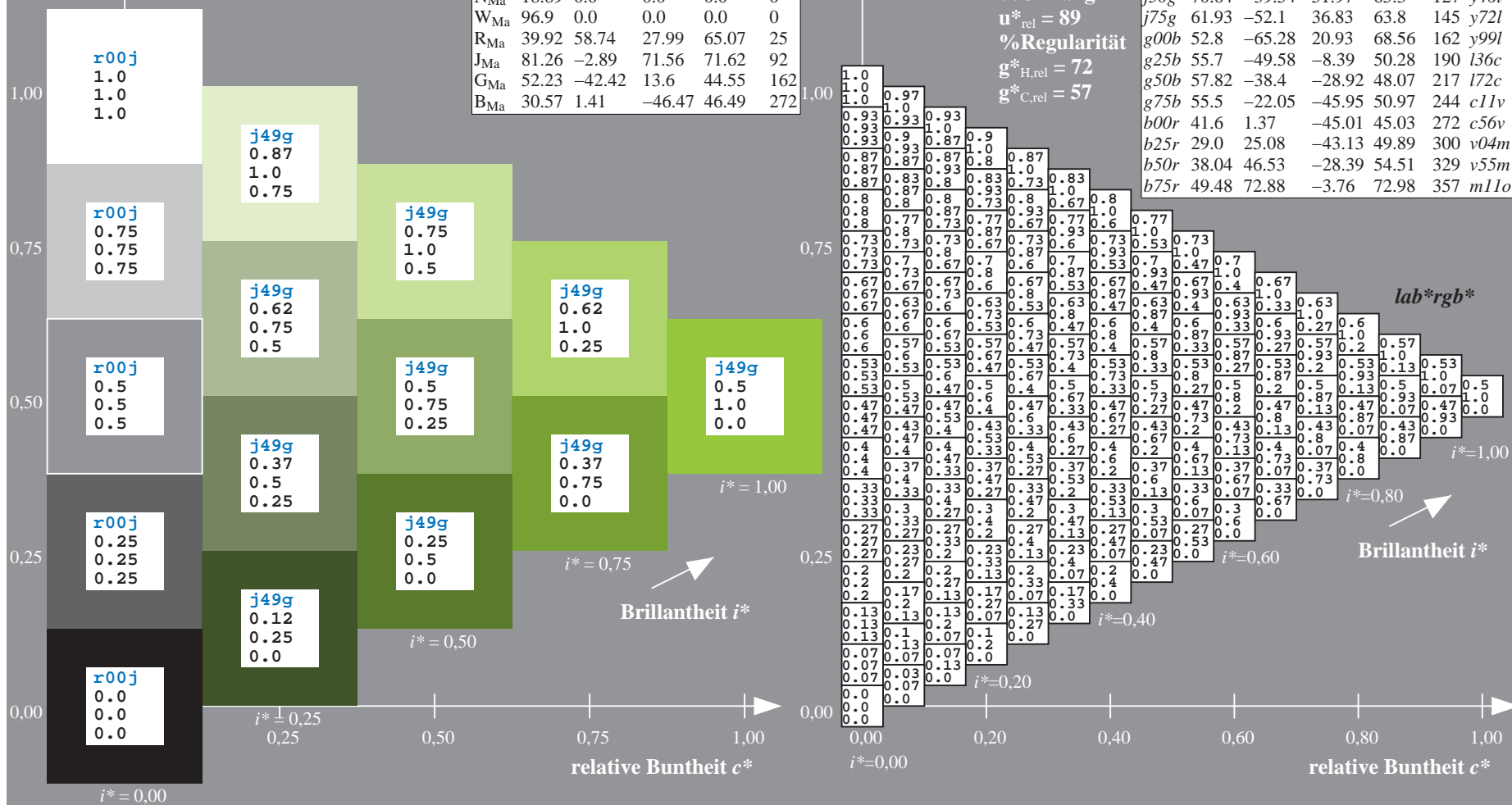
$g^*_{C,rel} = 57$

ORS19_96a; adaptierte CIELAB-Daten

	u^*_e	$L^*=L^*_a$	a^*_a	b^*_a	$C^*_{ab,a}$	$h^*_{ab,a}$	u^*_d
r00j	48.88	66.47	31.67	73.63	25	m84o	
r25j	55.85	52.39	47.48	70.7	42	o17y	
r50j	65.45	35.22	58.37	68.17	59	o42y	
r75j	75.19	17.82	69.41	71.66	76	o67y	
j00g	87.03	-3.35	82.83	82.9	92	o92y	
j25g	80.72	-25.01	69.5	73.86	110	y20l	
j50g	70.64	-39.54	51.97	65.3	127	y46l	
j75g	61.93	-52.1	36.83	63.8	145	y72l	
g00b	52.8	-65.28	20.93	68.56	162	y99l	
g25b	55.7	-49.58	-8.39	50.28	190	l36c	
g50b	57.82	-38.4	-28.92	48.07	217	l72c	
g75b	55.5	-22.05	-45.95	50.97	244	c11v	
b00r	41.6	1.37	-45.01	45.03	272	c56v	
b25r	29.0	25.08	-43.13	49.89	300	v04m	
b50r	38.04	46.53	-28.39	54.51	329	v55m	
b75r	49.48	72.88	-3.76	72.98	357	m11o	

Siehe ähnliche Dateien: <http://www.ps.bam.de/Eg38/>; www.ps.bam.de/Eg.HTM
Technische Information: <http://www.ps.bam.de> Version 2.1, io=1,1, ColSpx=1

BAM-Registrierung: 20081001-Eg38/10L/L38G00NA.PS/.TXT BAM-Material: Code=rh4ta
Anwendung für Beurteilung und Messung von Drucker- oder Monitorsystemen



Ein und Ausgabe: Farbmetrisches Drucker-Reflektiv-System ORS19_96a für relativen CIELAB-Buntton $h^* = lab^*h^* = h_{ab}/360 = 0.402$

Daten für jede Farbe:

lab^*ch^* und lab^*icu^*

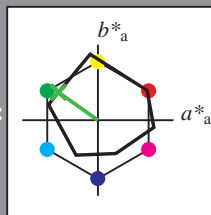
Bunttontexte:

$u^*_e = j75g$ $u^*_d = y72l$

Kontrastreduzierungsfaktor:

$c_R = 1.0$

Dreiecks-Helligkeit i^*



ORS19_96a; adaptierte CIELAB-Daten						
u^*_e	$L^*=L^*_a$	a^*_a	b^*_a	$C^*_{ab,a}$	$h^*_{ab,a}$	u^*_d
O _{Ma}	48.75	65.07	39.43	76.08	31	
Y _{Ma}	90.92	-10.29	87.24	87.85	97	
L _{Ma}	52.69	-65.44	20.75	68.65	162	
C _{Ma}	59.61	-28.98	-46.22	54.56	238	
V _{Ma}	28.39	23.63	-44.13	50.06	298	
M _{Ma}	49.58	73.93	-9.56	74.55	353	
N _{Ma}	18.89	0.0	0.0	0.0	0	
W _{Ma}	96.9	0.0	0.0	0.0	0	
R _{Ma}	39.92	58.74	27.99	65.07	25	
J _{Ma}	81.26	-2.89	71.56	71.62	92	
G _{Ma}	52.23	-42.42	13.6	44.55	162	
B _{Ma}	30.57	1.41	-46.47	46.49	272	

Daten für Maximalfarbe (Ma):

$LAB^*LAB^*_{Ma}$: 62 -52 37

$LAB^*LCH^*_{Ma}$: 62 64 144

$lab^*rgb^*_{Ma}$: 0.25 1.0 0.0

$lab^*olv^*_{Ma}$: 0.27 1.0 0.0

Dreiecks-Helligkeit i^*

%Umfang

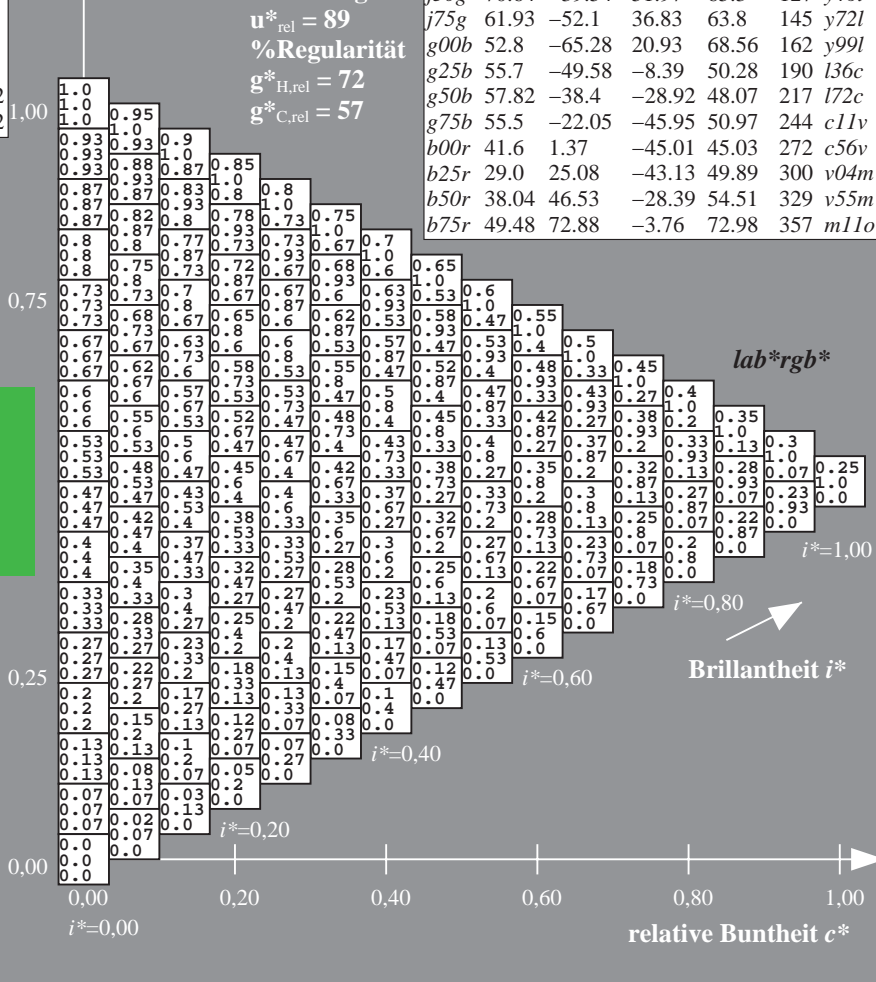
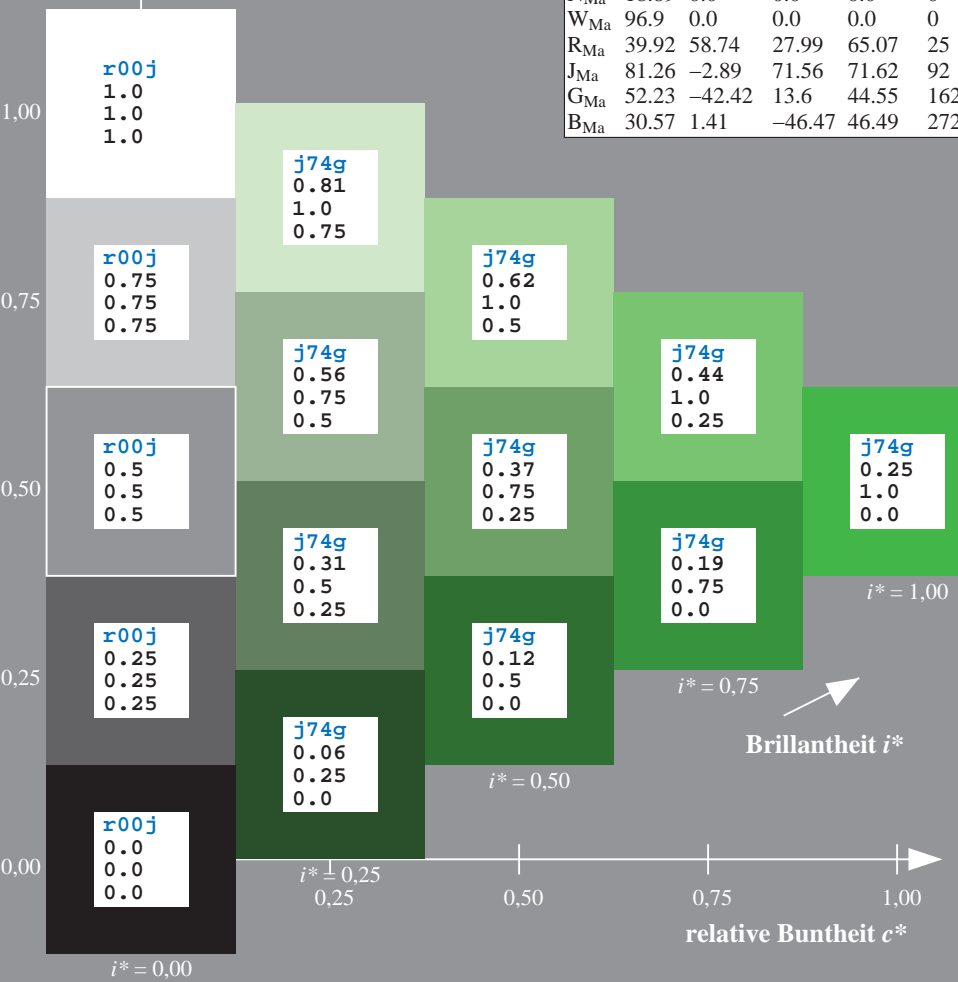
$u^*_{rel} = 89$

%Regularität

$g^*_{H,rel} = 72$

$g^*_{C,rel} = 57$

ORS19_96a; adaptierte CIELAB-Daten						
u^*_e	$L^*=L^*_a$	a^*_a	b^*_a	$C^*_{ab,a}$	$h^*_{ab,a}$	u^*_d
r00j	48.88	66.47	31.67	73.63	25	m84o
r25j	55.85	52.39	47.48	70.7	42	o17y
r50j	65.45	35.22	58.37	68.17	59	o42y
r75j	75.19	17.82	69.41	71.66	76	o67y
j00g	87.03	-3.35	82.83	82.9	92	o92y
j25g	80.72	-25.01	69.5	73.86	110	y20l
j50g	70.64	-39.54	51.97	65.3	127	y46l
j75g	61.93	-52.1	36.83	63.8	145	y72l
g00b	52.8	-65.28	20.93	68.56	162	y99l
g25b	55.7	-49.58	-8.39	50.28	190	l36c
g50b	57.82	-38.4	-28.92	48.07	217	l72c
g75b	55.5	-22.05	-45.95	50.97	244	c11v
b00r	41.6	1.37	-45.01	45.03	272	c56v
b25r	29.0	25.08	-43.13	49.89	300	v04m
b50r	38.04	46.53	-28.39	54.51	329	v55m
b75r	49.48	72.88	-3.76	72.98	357	m11o



Ein und Ausgabe: Farbmetrisches Drucker-Reflektiv-System ORS19_96a für relativen CIELAB-Buntton $h^* = lab^*h^* = h_{ab}/360 = 0.451$

Daten für jede Farbe:

lab^*tch^* und lab^*icu^*

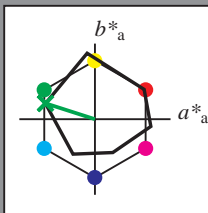
Bunttontexte:

$u^*_e = g00b$ $u^*_d = y99l$

Kontrastreduzierungsfaktor:

$c_R = 1.0$

Dreiecks-Helligkeit i^*



ORS19_96a; adaptierte CIELAB-Daten

u^*_e	$L^*=L^*_a$	a^*_a	b^*_a	$C^*_{ab,a}$	$h^*_{ab,a}$
O _{Ma}	48.75	65.07	39.43	76.08	31
Y _{Ma}	90.92	-10.29	87.24	87.85	97
L _{Ma}	52.69	-65.44	20.75	68.65	162
C _{Ma}	59.61	-28.98	-46.22	54.56	238
V _{Ma}	28.39	23.63	-44.13	50.06	298
M _{Ma}	49.58	73.93	-9.56	74.55	353
N _{Ma}	18.89	0.0	0.0	0.0	0
W _{Ma}	96.9	0.0	0.0	0.0	0
R _{Ma}	39.92	58.74	27.99	65.07	25
J _{Ma}	81.26	-2.89	71.56	71.62	92
G _{Ma}	52.23	-42.42	13.6	44.55	162
B _{Ma}	30.57	1.41	-46.47	46.49	272

Daten für Maximalfarbe (Ma):

$LAB^*LAB^*_{Ma}$: 53 -65 21

$LAB^*LCH^*_{Ma}$: 53 69 162

$lab^*rgb^*_{Ma}$: 0.0 1.0 0.0

$lab^*olv^*_{Ma}$: 0.0 1.0 0.0

Dreiecks-Helligkeit i^*

%Umfang

$u^*_{rel} = 89$

%Regularität

$g^*_{H,rel} = 72$

$g^*_{C,rel} = 57$

ORS19_96a; adaptierte CIELAB-Daten

u^*_e	$L^*=L^*_a$	a^*_a	b^*_a	$C^*_{ab,a}$	$h^*_{ab,a}$	u^*_d
r00j	48.88	66.47	31.67	73.63	25	m84o
r25j	55.85	52.39	47.48	70.7	42	o17y
r50j	65.45	35.22	58.37	68.17	59	o42y
r75j	75.19	17.82	69.41	71.66	76	o67y
j00g	87.03	-3.35	82.83	82.9	92	o92y
j25g	80.72	-25.01	69.5	73.86	110	y20l
j50g	70.64	-39.54	51.97	65.3	127	y46l
j75g	61.93	-52.1	36.83	63.8	145	y72l
g00b	52.8	-65.28	20.93	68.56	162	y99l
g25b	55.7	-49.58	-8.39	50.28	190	l36c
g50b	57.82	-38.4	-28.92	48.07	217	l72c
g75b	55.5	-22.05	-45.95	50.97	244	c11v
b00r	41.6	1.37	-45.01	45.03	272	c56v
b25r	29.0	25.08	-43.13	49.89	300	v04m
b50r	38.04	46.53	-28.39	54.51	329	v55m
b75r	49.48	72.88	-3.76	72.98	357	m11o

lab^*rgb^*

$i^* = 1.00$

Brillantheit i^*

$i^* = 0.80$

$i^* = 0.60$

$i^* = 0.40$

$i^* = 0.20$

$i^* = 0.00$

Ein und Ausgabe: Farbmetrisches Drucker-Reflektiv-System ORS19_96a für relativen CIELAB-Buntton $h^* = lab^*h^* = h_{ab}/360 = 0.527$

Daten für jede Farbe:

lab^*ch^* und lab^*icu^*

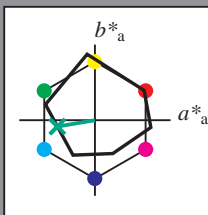
Bunttontexte:

$u^*_e = g25b$ $u^*_d = l36c$

Kontrastreduzierungsfaktor:

$c_R = 1.0$

Dreiecks-Helligkeit i^*



ORS19_96a; adaptierte CIELAB-Daten					
u^*_e	$L^*=L^*_a$	a^*_a	b^*_a	$C^*_{ab,a}$	$h^*_{ab,a}$
O _{Ma}	48.75	65.07	39.43	76.08	31
Y _{Ma}	90.92	-10.29	87.24	87.85	97
L _{Ma}	52.69	-65.44	20.75	68.65	162
C _{Ma}	59.61	-28.98	-46.22	54.56	238
V _{Ma}	28.39	23.63	-44.13	50.06	298
M _{Ma}	49.58	73.93	-9.56	74.55	353
N _{Ma}	18.89	0.0	0.0	0.0	0
W _{Ma}	96.9	0.0	0.0	0.0	0
R _{Ma}	39.92	58.74	27.99	65.07	25
J _{Ma}	81.26	-2.89	71.56	71.62	92
G _{Ma}	52.23	-42.42	13.6	44.55	162
B _{Ma}	30.57	1.41	-46.47	46.49	272

Daten für Maximalfarbe (Ma):

$LAB^*LAB^*_{Ma}$: 56 -50 -8

$LAB^*LCH^*_{Ma}$: 56 50 189

$lab^*rgb^*_{Ma}$: 0.0 1.0 0.5

$lab^*olv^*_{Ma}$: 0.0 1.0 0.36

Dreiecks-Helligkeit i^*

%Umfang

$u^*_{rel} = 89$

%Regularität

$g^*_{H,rel} = 72$

$g^*_{C,rel} = 57$

ORS19_96a; adaptierte CIELAB-Daten					
u^*_e	$L^*=L^*_a$	a^*_a	b^*_a	$C^*_{ab,a}$	$h^*_{ab,a}$
r00j	48.88	66.47	31.67	73.63	25
r25j	55.85	52.39	47.48	70.7	42
r50j	65.45	35.22	58.37	68.17	59
r75j	75.19	17.82	69.41	71.66	76
j00g	87.03	-3.35	82.83	82.9	92
j25g	80.72	-25.01	69.5	73.86	110
j50g	70.64	-39.54	51.97	65.3	127
j75g	61.93	-52.1	36.83	63.8	145
g00b	52.8	-65.28	20.93	68.56	162
g25b	55.7	-49.58	-8.39	50.28	190
g50b	57.82	-38.4	-28.92	48.07	217
g75b	55.5	-22.05	-45.95	50.97	244
b00r	41.6	1.37	-45.01	45.03	272
b25r	29.0	25.08	-43.13	49.89	300
b50r	38.04	46.53	-28.39	54.51	329
b75r	49.48	72.88	-3.76	72.98	357

lab^*rgb^*

$i^* = 1.00$

Brillantheit i^*

$i^* = 0.80$

$i^* = 0.60$

$i^* = 0.40$

$i^* = 0.20$

Ein und Ausgabe: Farbmetrisches Drucker-Reflektiv-System ORS19_96a für relativen CIELAB-Buntton $h^* = lab^*h^* = h_{ab}/360 = 0.603$

Daten für jede Farbe:

lab^*tch^* und lab^*icu^*

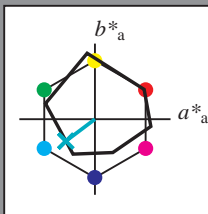
Bunttontexte:

$u^*_e = g50b$ $u^*_d = l72c$

Kontrastreduzierungsfaktor:

$c_R = 1.0$

Dreiecks-Helligkeit i^*



ORS19_96a; adaptierte CIELAB-Daten

u^*_e	$L^*=L^*_a$	a^*_a	b^*_a	$C^*_{ab,a}$	$h^*_{ab,a}$
O _{Ma}	48.75	65.07	39.43	76.08	31
Y _{Ma}	90.92	-10.29	87.24	87.85	97
L _{Ma}	52.69	-65.44	20.75	68.65	162
C _{Ma}	59.61	-28.98	-46.22	54.56	238
V _{Ma}	28.39	23.63	-44.13	50.06	298
M _{Ma}	49.58	73.93	-9.56	74.55	353
N _{Ma}	18.89	0.0	0.0	0.0	0
W _{Ma}	96.9	0.0	0.0	0.0	0
R _{Ma}	39.92	58.74	27.99	65.07	25
J _{Ma}	81.26	-2.89	71.56	71.62	92
G _{Ma}	52.23	-42.42	13.6	44.55	162
B _{Ma}	30.57	1.41	-46.47	46.49	272

Daten für Maximalfarbe (Ma):

$LAB^*LAB^*_{Ma}$: 58 -38 -29

$LAB^*LCH^*_{Ma}$: 58 48 216

$lab^*rgb^*_{Ma}$: 0.0 1.0 1.0

$lab^*olv^*_{Ma}$: 0.0 1.0 0.72

Dreiecks-Helligkeit i^*

%Umfang

$u^*_{rel} = 89$

%Regularität

$g^*_{H,rel} = 72$

$g^*_{C,rel} = 57$

ORS19_96a; adaptierte CIELAB-Daten

u^*_e	$L^*=L^*_a$	a^*_a	b^*_a	$C^*_{ab,a}$	$h^*_{ab,a}$	u^*_d
r00j	48.88	66.47	31.67	73.63	25	m84o
r25j	55.85	52.39	47.48	70.7	42	o17y
r50j	65.45	35.22	58.37	68.17	59	o42y
r75j	75.19	17.82	69.41	71.66	76	o67y
j00g	87.03	-3.35	82.83	82.9	92	o92y
j25g	80.72	-25.01	69.5	73.86	110	y20l
j50g	70.64	-39.54	51.97	65.3	127	y46l
j75g	61.93	-52.1	36.83	63.8	145	y72l
g00b	52.8	-65.28	20.93	68.56	162	y99l
g25b	55.7	-49.58	-8.39	50.28	190	l36c
g50b	57.82	-38.4	-28.92	48.07	217	l72c
g75b	55.5	-22.05	-45.95	50.97	244	c11v
b00r	41.6	1.37	-45.01	45.03	272	c56v
b25r	29.0	25.08	-43.13	49.89	300	v04m
b50r	38.04	46.53	-28.39	54.51	329	v55m
b75r	49.48	72.88	-3.76	72.98	357	m11o

lab^*rgb^*

$i^* = 1.00$

Brillantheit i^*

$i^* = 0.80$

$i^* = 0.60$

$i^* = 0.40$

$i^* = 0.20$

$i^* = 0.00$

Ein und Ausgabe: Farbmetrisches Drucker-Reflektiv-System ORS19_96a für relativen CIELAB-Buntton $h^* = lab^*h^* = h_{ab}/360 = 0.679$

Daten für jede Farbe:

lab^*tch^* und lab^*icu^*

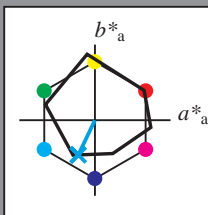
Bunttontexte:

$u^*_e = g75b$ $u^*_d = c11v$

Kontrastreduzierungsfaktor:

$c_R = 1.0$

Dreiecks-Helligkeit i^*



ORS19_96a; adaptierte CIELAB-Daten

	u^*_e	$L^*=L^*_a$	a^*_a	b^*_a	$C^*_{ab,a}$	$h^*_{ab,a}$
O _{Ma}	48.75	65.07	39.43	76.08	31	
Y _{Ma}	90.92	-10.29	87.24	87.85	97	
L _{Ma}	52.69	-65.44	20.75	68.65	162	
C _{Ma}	59.61	-28.98	-46.22	54.56	238	
V _{Ma}	28.39	23.63	-44.13	50.06	298	
M _{Ma}	49.58	73.93	-9.56	74.55	353	
N _{Ma}	18.89	0.0	0.0	0.0	0	
W _{Ma}	96.9	0.0	0.0	0.0	0	
R _{Ma}	39.92	58.74	27.99	65.07	25	
J _{Ma}	81.26	-2.89	71.56	71.62	92	
G _{Ma}	52.23	-42.42	13.6	44.55	162	
B _{Ma}	30.57	1.41	-46.47	46.49	272	

Daten für Maximalfarbe (Ma):

$LAB^*LAB^*_{Ma}$: 55 -22 -46

$LAB^*LCH^*_{Ma}$: 55 51 244

$lab^*rgb^*_{Ma}$: 0.0 0.5 1.0

$lab^*olv^*_{Ma}$: 0.0 0.89 1.0

Dreiecks-Helligkeit i^*

%Umfang

$u^*_{rel} = 89$

%Regularität

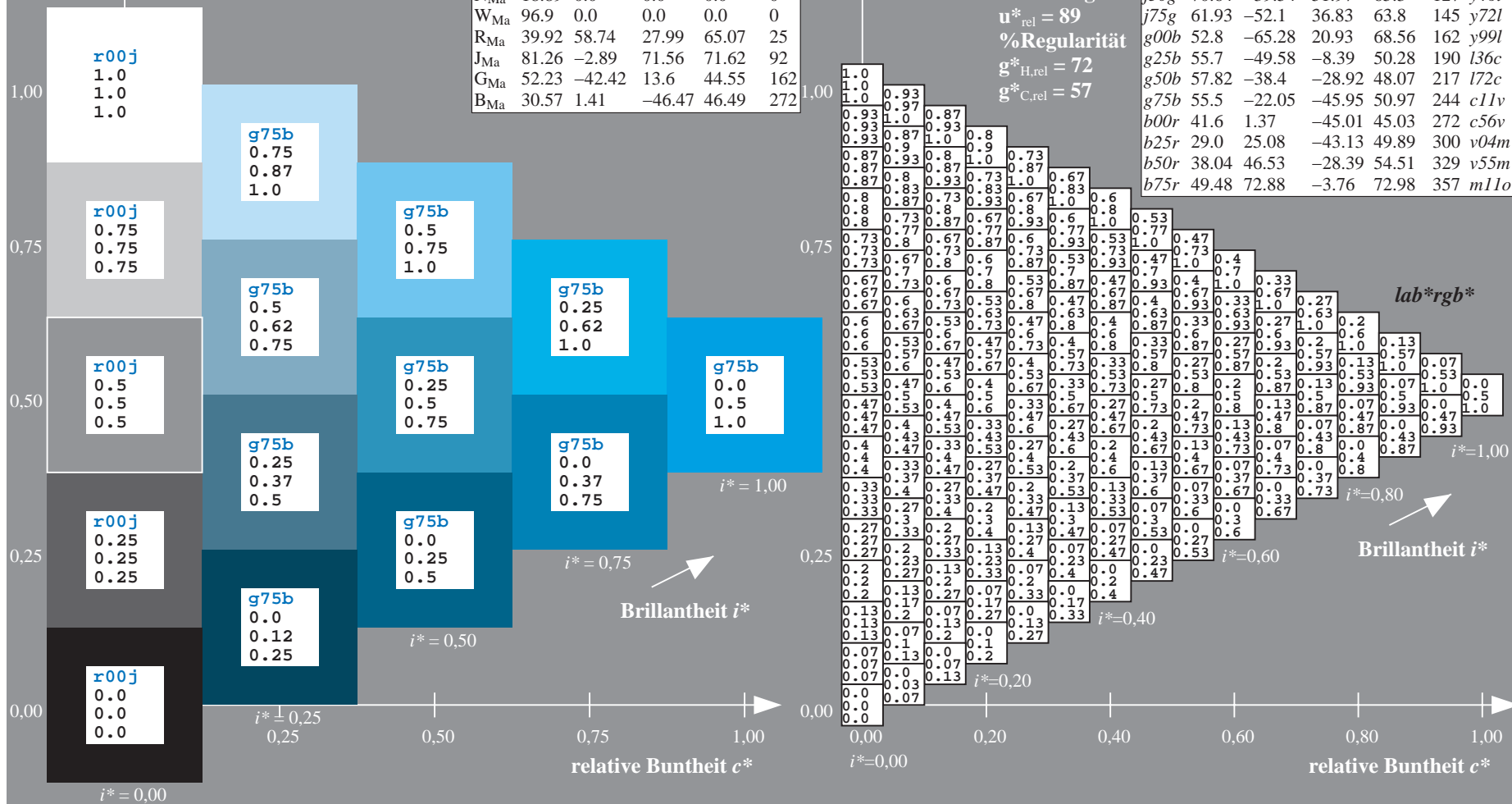
$g^*_{H,rel} = 72$

$g^*_{C,rel} = 57$

$u^*_e = g75b$
 lab^*rgb^*

ORS19_96a; adaptierte CIELAB-Daten

	u^*_e	$L^*=L^*_a$	a^*_a	b^*_a	$C^*_{ab,a}$	$h^*_{ab,a}$	u^*_d
r00j	48.88	66.47	31.67	73.63	25	m84o	
r25j	55.85	52.39	47.48	70.7	42	o17y	
r50j	65.45	35.22	58.37	68.17	59	o42y	
r75j	75.19	17.82	69.41	71.66	76	o67y	
j00g	87.03	-3.35	82.83	82.9	92	o92y	
j25g	80.72	-25.01	69.5	73.86	110	y20l	
j50g	70.64	-39.54	51.97	65.3	127	y46l	
j75g	61.93	-52.1	36.83	63.8	145	y72l	
g00b	52.8	-65.28	20.93	68.56	162	y99l	
g25b	55.7	-49.58	-8.39	50.28	190	l36c	
g50b	57.82	-38.4	-28.92	48.07	217	l72c	
g75b	55.5	-22.05	-45.95	50.97	244	c11v	
b00r	41.6	1.37	-45.01	45.03	272	c56v	
b25r	29.0	25.08	-43.13	49.89	300	v04m	
b50r	38.04	46.53	-28.39	54.51	329	v55m	
b75r	49.48	72.88	-3.76	72.98	357	m11o	



Ein und Ausgabe: Farbmetrisches Drucker-Reflektiv-System ORS19_96a für relativen CIELAB-Buntton $h^* = lab^*h^* = h_{ab}/360 = 0.755$

Daten für jede Farbe:

lab^*tch^* und lab^*icu^*

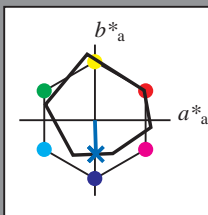
Bunttontexte:

$u^*_e = b00r$ $u^*_d = c56v$

Kontrastreduzierungsfaktor:

$c_R = 1.0$

Dreiecks-Helligkeit i^*



ORS19_96a; adaptierte CIELAB-Daten

u^*_e	$L^*=L^*_a$	a^*_a	b^*_a	$C^*_{ab,a}$	$h^*_{ab,a}$
O _{Ma}	48.75	65.07	39.43	76.08	31
Y _{Ma}	90.92	-10.29	87.24	87.85	97
L _{Ma}	52.69	-65.44	20.75	68.65	162
C _{Ma}	59.61	-28.98	-46.22	54.56	238
V _{Ma}	28.39	23.63	-44.13	50.06	298
M _{Ma}	49.58	73.93	-9.56	74.55	353
N _{Ma}	18.89	0.0	0.0	0.0	0
W _{Ma}	96.9	0.0	0.0	0.0	0
R _{Ma}	39.92	58.74	27.99	65.07	25
J _{Ma}	81.26	-2.89	71.56	71.62	92
G _{Ma}	52.23	-42.42	13.6	44.55	162
B _{Ma}	30.57	1.41	-46.47	46.49	272

Daten für Maximalfarbe (Ma):

$LAB^*LAB^*_{Ma}$: 42 1 -45

$LAB^*LCH^*_{Ma}$: 42 45 271

$lab^*rgb^*_{Ma}$: 0.0 0.0 1.0

$lab^*olv^*_{Ma}$: 0.0 0.44 1.0

Dreiecks-Helligkeit i^*

%Umfang

$u^*_{rel} = 89$

%Regularität

$g^*_{H,rel} = 72$

$g^*_{C,rel} = 57$

ORS19_96a; adaptierte CIELAB-Daten

u^*_e	$L^*=L^*_a$	a^*_a	b^*_a	$C^*_{ab,a}$	$h^*_{ab,a}$	u^*_d
r00j	48.88	66.47	31.67	73.63	25	m84o
r25j	55.85	52.39	47.48	70.7	42	o17y
r50j	65.45	35.22	58.37	68.17	59	o42y
r75j	75.19	17.82	69.41	71.66	76	o67y
j00g	87.03	-3.35	82.83	82.9	92	o92y
j25g	80.72	-25.01	69.5	73.86	110	y20l
j50g	70.64	-39.54	51.97	65.3	127	y46l
j75g	61.93	-52.1	36.83	63.8	145	y72l
g00b	52.8	-65.28	20.93	68.56	162	y99l
g25b	55.7	-49.58	-8.39	50.28	190	l36c
g50b	57.82	-38.4	-28.92	48.07	217	l72c
g75b	55.5	-22.05	-45.95	50.97	244	c11v
b00r	41.6	1.37	-45.01	45.03	272	c56v
b25r	29.0	25.08	-43.13	49.89	300	v04m
b50r	38.04	46.53	-28.39	54.51	329	v55m
b75r	49.48	72.88	-3.76	72.98	357	m11o

lab^*rgb^*

$i^* = 1.00$

Brillantheit i^*

$i^* = 0.80$

$i^* = 0.60$

$i^* = 0.40$

$i^* = 0.20$

$i^* = 0.00$

Ein und Ausgabe: Farbmetrisches Drucker-Reflektiv-System ORS19_96a für relativen CIELAB-Buntton $h^* = lab^*h^* = h_{ab}/360 = 0.834$

Daten für jede Farbe:

lab^*tch^* und lab^*icu^*

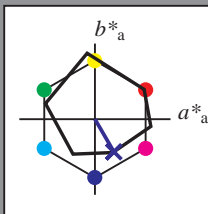
Bunttontexte:

$u^*_e = b25r$ $u^*_d = v04m$

Kontrastreduzierungsfaktor:

$c_R = 1.0$

Dreiecks-Helligkeit i^*



ORS19_96a; adaptierte CIELAB-Daten

u^*_e	$L^*=L^*_a$	a^*_a	b^*_a	$C^*_{ab,a}$	$h^*_{ab,a}$
O _{Ma}	48.75	65.07	39.43	76.08	31
Y _{Ma}	90.92	-10.29	87.24	87.85	97
L _{Ma}	52.69	-65.44	20.75	68.65	162
C _{Ma}	59.61	-28.98	-46.22	54.56	238
V _{Ma}	28.39	23.63	-44.13	50.06	298
M _{Ma}	49.58	73.93	-9.56	74.55	353
N _{Ma}	18.89	0.0	0.0	0.0	0
W _{Ma}	96.9	0.0	0.0	0.0	0
R _{Ma}	39.92	58.74	27.99	65.07	25
J _{Ma}	81.26	-2.89	71.56	71.62	92
G _{Ma}	52.23	-42.42	13.6	44.55	162
B _{Ma}	30.57	1.41	-46.47	46.49	272

Daten für Maximalfarbe (Ma):

$LAB^*LAB^*_{Ma}$: 29 25 -43

$LAB^*LCH^*_{Ma}$: 29 50 300

$lab^*rgb^*_{Ma}$: 0.5 0.0 1.0

$lab^*olv^*_{Ma}$: 0.04 0.0 1.0

Dreiecks-Helligkeit i^*

%Umfang

$u^*_{rel} = 89$

%Regularität

$g^*_{H,rel} = 72$

$g^*_{C,rel} = 57$

ORS19_96a; adaptierte CIELAB-Daten

u^*_e	$L^*=L^*_a$	a^*_a	b^*_a	$C^*_{ab,a}$	$h^*_{ab,a}$	u^*_d
r00j	48.88	66.47	31.67	73.63	25	m84o
r25j	55.85	52.39	47.48	70.7	42	o17y
r50j	65.45	35.22	58.37	68.17	59	o42y
r75j	75.19	17.82	69.41	71.66	76	o67y
j00g	87.03	-3.35	82.83	82.9	92	o92y
j25g	80.72	-25.01	69.5	73.86	110	y20l
j50g	70.64	-39.54	51.97	65.3	127	y46l
j75g	61.93	-52.1	36.83	63.8	145	y72l
g00b	52.8	-65.28	20.93	68.56	162	y99l
g25b	55.7	-49.58	-8.39	50.28	190	l36c
g50b	57.82	-38.4	-28.92	48.07	217	l72c
g75b	55.5	-22.05	-45.95	50.97	244	c11v
b00r	41.6	1.37	-45.01	45.03	272	c56v
b25r	29.0	25.08	-43.13	49.89	300	v04m
b50r	38.04	46.53	-28.39	54.51	329	v55m
b75r	49.48	72.88	-3.76	72.98	357	m11o

lab^*rgb^*

$i^* = 1.00$

Brillantheit i^*

$i^* = 0.80$

$i^* = 0.60$

$i^* = 0.40$

$i^* = 0.20$

$i^* = 0.00$

relative Buntheit c^*

relative Buntheit c^*

Ein und Ausgabe: Farbmetrisches Drucker-Reflektiv-System ORS19_96a für relativen CIELAB-Buntton $h^* = lab^*h^* = h_{ab}/360 = 0.913$

Daten für jede Farbe:

lab^*tch^* und lab^*icu^*

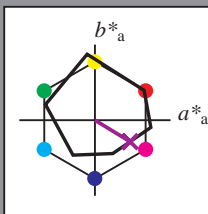
Bunttontexte:

$u^*_e = b50r$ $u^*_d = v55m$

Kontrastreduzierungsfaktor:

$c_R = 1.0$

Dreiecks-Helligkeit i^*



ORS19_96a; adaptierte CIELAB-Daten

u^*_e	$L^*=L^*_a$	a^*_a	b^*_a	$C^*_{ab,a}$	$h^*_{ab,a}$
O _{Ma}	48.75	65.07	39.43	76.08	31
Y _{Ma}	90.92	-10.29	87.24	87.85	97
L _{Ma}	52.69	-65.44	20.75	68.65	162
C _{Ma}	59.61	-28.98	-46.22	54.56	238
V _{Ma}	28.39	23.63	-44.13	50.06	298
M _{Ma}	49.58	73.93	-9.56	74.55	353
N _{Ma}	18.89	0.0	0.0	0.0	0
W _{Ma}	96.9	0.0	0.0	0.0	0
R _{Ma}	39.92	58.74	27.99	65.07	25
J _{Ma}	81.26	-2.89	71.56	71.62	92
G _{Ma}	52.23	-42.42	13.6	44.55	162
B _{Ma}	30.57	1.41	-46.47	46.49	272

Daten für Maximalfarbe (Ma):

$LAB^*LAB^*_{Ma}$: 38 47 -28

$LAB^*LCH^*_{Ma}$: 38 55 328

$lab^*rgb^*_{Ma}$: 1.0 0.0 1.0

$lab^*olv^*_{Ma}$: 0.56 0.0 1.0

Dreiecks-Helligkeit i^*

%Umfang

$u^*_{rel} = 89$

%Regularität

$g^*_{H,rel} = 72$

$g^*_{C,rel} = 57$

ORS19_96a; adaptierte CIELAB-Daten

u^*_e	$L^*=L^*_a$	a^*_a	b^*_a	$C^*_{ab,a}$	$h^*_{ab,a}$	u^*_d
r00j	48.88	66.47	31.67	73.63	25	m84o
r25j	55.85	52.39	47.48	70.7	42	o17y
r50j	65.45	35.22	58.37	68.17	59	o42y
r75j	75.19	17.82	69.41	71.66	76	o67y
j00g	87.03	-3.35	82.83	82.9	92	o92y
j25g	80.72	-25.01	69.5	73.86	110	y20l
j50g	70.64	-39.54	51.97	65.3	127	y46l
j75g	61.93	-52.1	36.83	63.8	145	y72l
g00b	52.8	-65.28	20.93	68.56	162	y99l
g25b	55.7	-49.58	-8.39	50.28	190	l36c
g50b	57.82	-38.4	-28.92	48.07	217	l72c
g75b	55.5	-22.05	-45.95	50.97	244	c11v
b00r	41.6	1.37	-45.01	45.03	272	c56v
b25r	29.0	25.08	-43.13	49.89	300	v04m
b50r	38.04	46.53	-28.39	54.51	329	v55m
b75r	49.48	72.88	-3.76	72.98	357	m11o

lab^*rgb^*

$i^* = 1.00$

Brillantheit i^*

$i^* = 0.80$

$i^* = 0.60$

$i^* = 0.40$

$i^* = 0.20$

$i^* = 0.00$

Ein und Ausgabe: Farbmetrisches Drucker-Reflektiv-System ORS19_96a für relativen CIELAB-Buntton $h^* = lab^*h^* = h_{ab}/360 = 0.992$

Daten für jede Farbe:

lab^*tch^* und lab^*icu^*

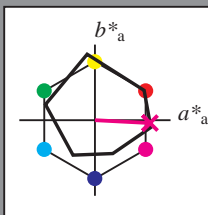
Bunttontexte:

$u^*_e = b75r$ $u^*_d = m11o$

Kontrastreduzierungsfaktor:

$c_R = 1.0$

Dreiecks-Helligkeit i^*



ORS19_96a; adaptierte CIELAB-Daten

u^*_e	$L^*=L^*_a$	a^*_a	b^*_a	$C^*_{ab,a}$	$h^*_{ab,a}$
O _{Ma}	48.75	65.07	39.43	76.08	31
Y _{Ma}	90.92	-10.29	87.24	87.85	97
L _{Ma}	52.69	-65.44	20.75	68.65	162
C _{Ma}	59.61	-28.98	-46.22	54.56	238
V _{Ma}	28.39	23.63	-44.13	50.06	298
M _{Ma}	49.58	73.93	-9.56	74.55	353
N _{Ma}	18.89	0.0	0.0	0.0	0
W _{Ma}	96.9	0.0	0.0	0.0	0
R _{Ma}	39.92	58.74	27.99	65.07	25
J _{Ma}	81.26	-2.89	71.56	71.62	92
G _{Ma}	52.23	-42.42	13.6	44.55	162
B _{Ma}	30.57	1.41	-46.47	46.49	272

Daten für Maximalfarbe (Ma):

$LAB^*LAB^*_{Ma}$: 49 73 -4

$LAB^*LCH^*_{Ma}$: 49 73 357

$lab^*rgb^*_{Ma}$: 1.0 0.0 0.5

$lab^*olv^*_{Ma}$: 1.0 0.0 0.89

Dreiecks-Helligkeit i^*

%Umfang

$u^*_{rel} = 89$

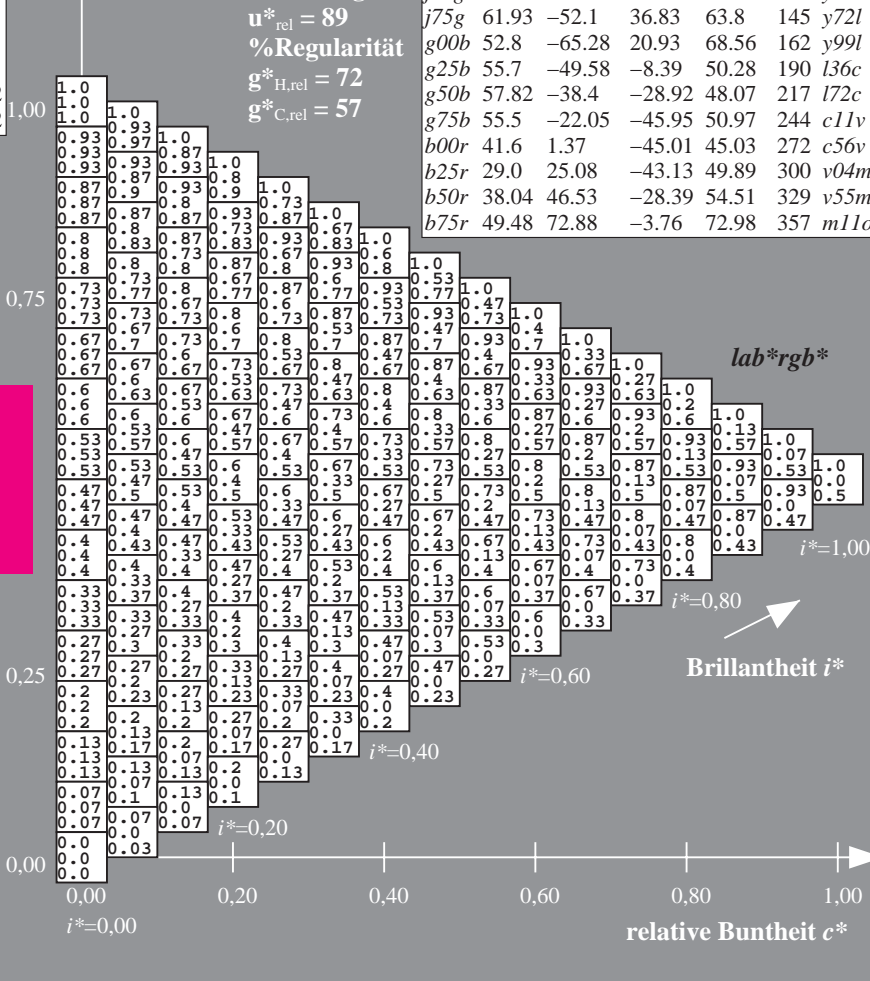
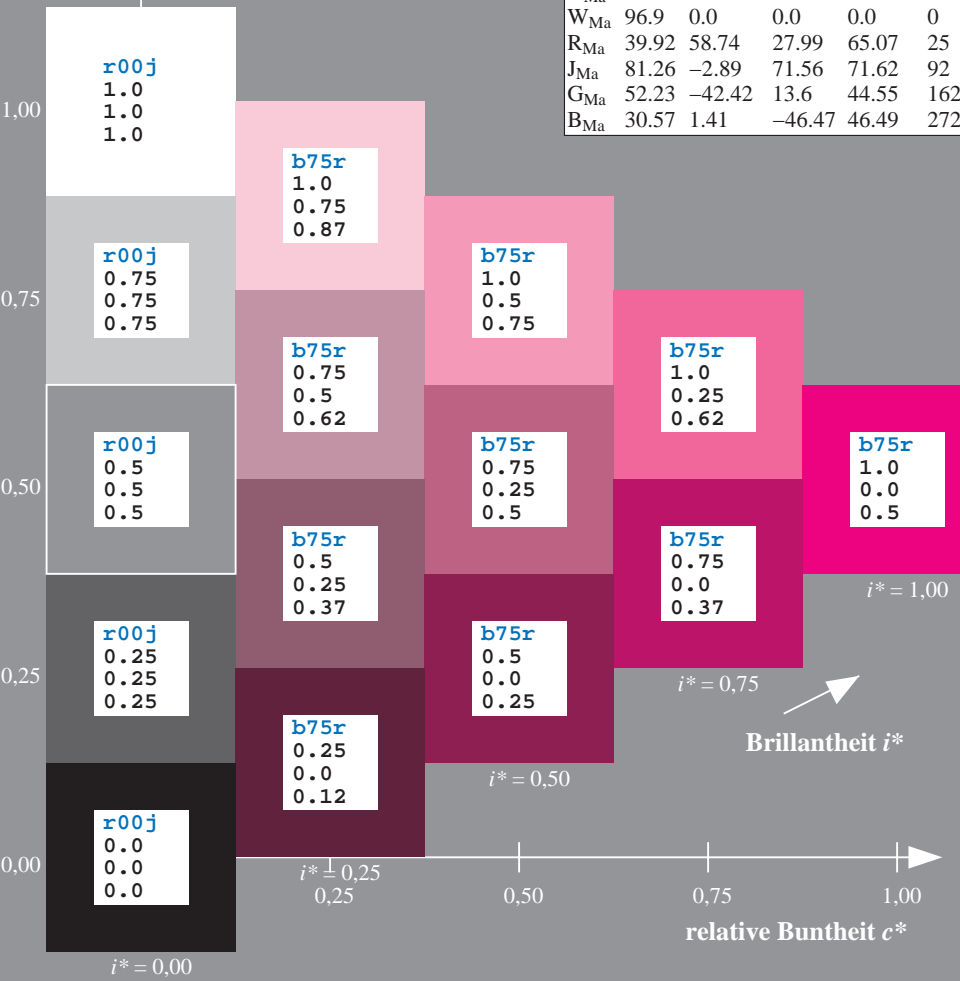
%Regularität

$g^*_{H,rel} = 72$

$g^*_{C,rel} = 57$

ORS19_96a; adaptierte CIELAB-Daten

u^*_e	$L^*=L^*_a$	a^*_a	b^*_a	$C^*_{ab,a}$	$h^*_{ab,a}$	u^*_d
r00j	48.88	66.47	31.67	73.63	25	m84o
r25j	55.85	52.39	47.48	70.7	42	o17y
r50j	65.45	35.22	58.37	68.17	59	o42y
r75j	75.19	17.82	69.41	71.66	76	o67y
j00g	87.03	-3.35	82.83	82.9	92	o92y
j25g	80.72	-25.01	69.5	73.86	110	y20l
j50g	70.64	-39.54	51.97	65.3	127	y46l
j75g	61.93	-52.1	36.83	63.8	145	y72l
g00b	52.8	-65.28	20.93	68.56	162	y99l
g25b	55.7	-49.58	-8.39	50.28	190	l36c
g50b	57.82	-38.4	-28.92	48.07	217	l72c
g75b	55.5	-22.05	-45.95	50.97	244	c11v
b00r	41.6	1.37	-45.01	45.03	272	c56v
b25r	29.0	25.08	-43.13	49.89	300	v04m
b50r	38.04	46.53	-28.39	54.51	329	v55m
b75r	49.48	72.88	-3.76	72.98	357	m11o

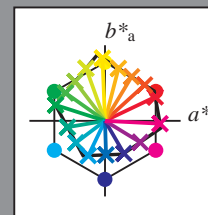


Ein und Ausgabe:
Farbmetrisches Drucker-Reflektiv-System ORS19_96a
Daten für jede Farbe:

u^*_e und Nummer $Nr.$ = 00 .. 15
Elementar-Bunttontext:
 $u^*_e = 16$ Bunttoene $r00j, r25j, \dots, b75r$
Kontrastreduzierungsfaktor:
 $c_R = 1.0$

ORS19_96a; adaptierte CIELAB-Daten

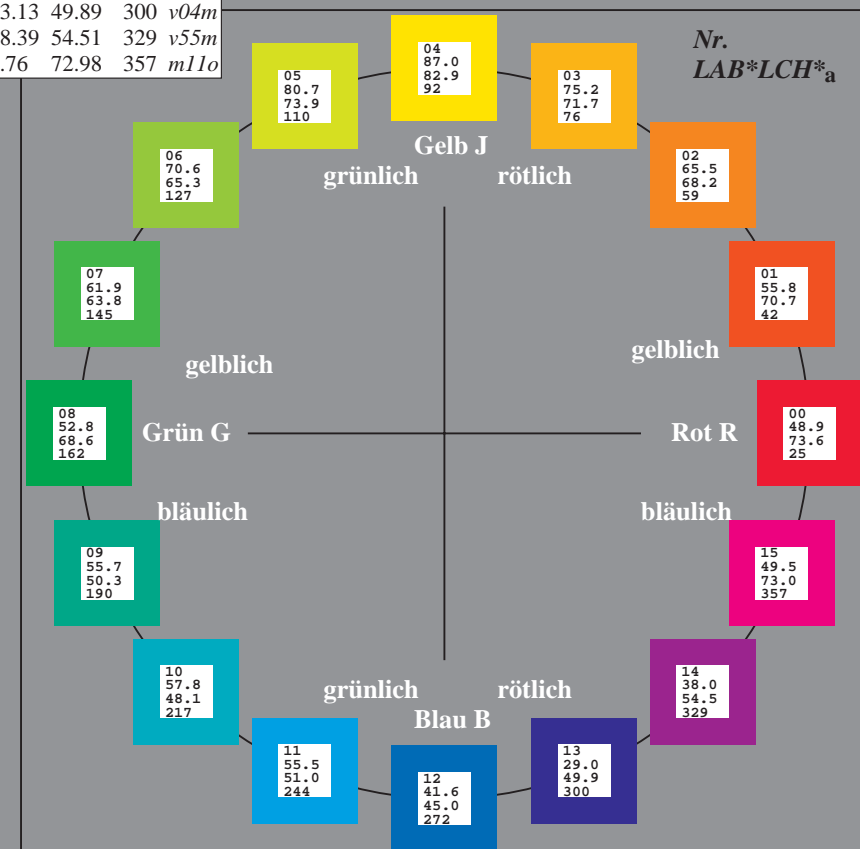
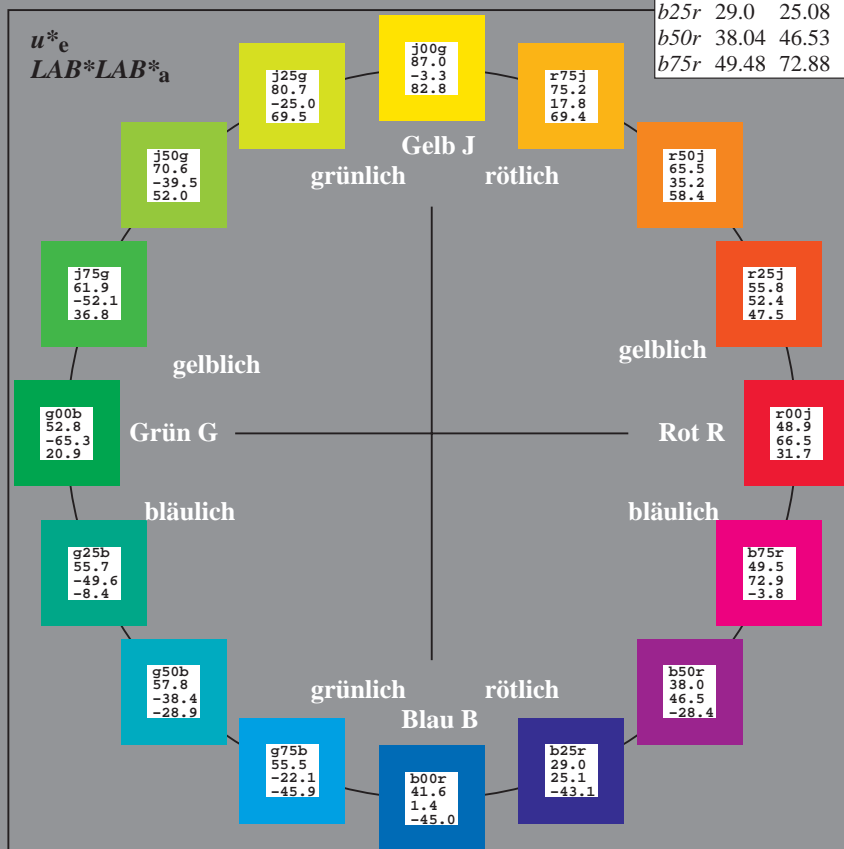
u^*_e	$L^*=L^*_a$	a^*_a	b^*_a	$C^*_{ab,a}$	$h^*_{ab,a}$	u^*_d
$r00j$	48.88	66.47	31.67	73.63	25	$m84o$
$r25j$	55.85	52.39	47.48	70.7	42	$o17y$
$r50j$	65.45	35.22	58.37	68.17	59	$o42y$
$r75j$	75.19	17.82	69.41	71.66	76	$o67y$
$j00g$	87.03	-3.35	82.83	82.9	92	$o92y$
$j25g$	80.72	-25.01	69.5	73.86	110	$y20l$
$j50g$	70.64	-39.54	51.97	65.3	127	$y46l$
$j75g$	61.93	-52.1	36.83	63.8	145	$y72l$
$g00b$	52.8	-65.28	20.93	68.56	162	$y99l$
$g25b$	55.7	-49.58	-8.39	50.28	190	$l36c$
$g50b$	57.82	-38.4	-28.92	48.07	217	$l72c$
$g75b$	55.5	-22.05	-45.95	50.97	244	$c11v$
$b00r$	41.6	1.37	-45.01	45.03	272	$c56v$
$b25r$	29.0	25.08	-43.13	49.89	300	$v04m$
$b50r$	38.04	46.53	-28.39	54.51	329	$v55m$
$b75r$	49.48	72.88	-3.76	72.98	357	$m11o$



%Umfang
 $u^*_{rel} = 89$
%Regularität
 $g^*_{H,rel} = 72$
 $g^*_{C,rel} = 57$

ORS19_96a; adaptierte CIELAB-Daten

Name	$L^*=L^*_a$	a^*_a	b^*_a	$C^*_{ab,a}$	$h^*_{ab,a}$
O _{Ma}	48.75	65.07	39.43	76.08	31
Y _{Ma}	90.92	-10.29	87.24	87.85	97
L _{Ma}	52.69	-65.44	20.75	68.65	162
C _{Ma}	59.61	-28.98	-46.22	54.56	238
V _{Ma}	28.39	23.63	-44.13	50.06	298
M _{Ma}	49.58	73.93	-9.56	74.55	353
N _{Ma}	18.89	0.0	0.0	0.0	0
W _{Ma}	96.9	0.0	0.0	0.0	0
R _{CIE}	39.92	58.74	27.99	65.07	25
J _{CIE}	81.26	-2.89	71.56	71.62	92
G _{CIE}	52.23	-42.42	13.6	44.55	162
B _{CIE}	30.57	1.41	-46.47	46.49	272



Ein und Ausgabe: Farbmetrisches Drucker-Reflektiv-System ORS19_96a für relativen CIELAB-Buntton $h^* = lab^*h^* = h_{ab}/360 = 0.071$

Daten für jede Farbe:

lab^*ch^* und lab^*icu^*

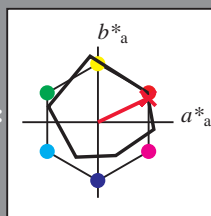
Bunttontexte:

$u^*_e = r00j$ $u^*_d = m84o$

Kontrastreduzierungsfaktor:

$c_R = 1.0$

Dreiecks-Helligkeit i^*



ORS19_96a; adaptierte CIELAB-Daten

u^*_e	$L^*=L^*_a$	a^*_a	b^*_a	$C^*_{ab,a}$	$h^*_{ab,a}$
O _{Ma}	48.75	65.07	39.43	76.08	31
Y _{Ma}	90.92	-10.29	87.24	87.85	97
L _{Ma}	52.69	-65.44	20.75	68.65	162
C _{Ma}	59.61	-28.98	-46.22	54.56	238
V _{Ma}	28.39	23.63	-44.13	50.06	298
M _{Ma}	49.58	73.93	-9.56	74.55	353
N _{Ma}	18.89	0.0	0.0	0.0	0
W _{Ma}	96.9	0.0	0.0	0.0	0
R _{Ma}	39.92	58.74	27.99	65.07	25
J _{Ma}	81.26	-2.89	71.56	71.62	92
G _{Ma}	52.23	-42.42	13.6	44.55	162
B _{Ma}	30.57	1.41	-46.47	46.49	272

Daten für Maximalfarbe (Ma):

$LAB^*LAB^*_{Ma}$: 49 66 32

$LAB^*LCH^*_{Ma}$: 49 74 25

$lab^*rgb^*_{Ma}$: 1.0 0.0 0.0

$lab^*olv^*_{Ma}$: 1.0 0.0 0.15

Dreiecks-Helligkeit i^*

%Umfang

$u^*_{rel} = 89$

%Regularität

$g^*_{H,rel} = 72$

$g^*_{C,rel} = 57$

ORS19_96a; adaptierte CIELAB-Daten

u^*_e	$L^*=L^*_a$	a^*_a	b^*_a	$C^*_{ab,a}$	$h^*_{ab,a}$	u^*_d
r00j	48.88	66.47	31.67	73.63	25	m84o
r25j	55.85	52.39	47.48	70.7	42	o17y
r50j	65.45	35.22	58.37	68.17	59	o42y
r75j	75.19	17.82	69.41	71.66	76	o67y
j00g	87.03	-3.35	82.83	82.9	92	o92y
j25g	80.72	-25.01	69.5	73.86	110	y20l
j50g	70.64	-39.54	51.97	65.3	127	y46l
j75g	61.93	-52.1	36.83	63.8	145	y72l
g00b	52.8	-65.28	20.93	68.56	162	y99l
g25b	55.7	-49.58	-8.39	50.28	190	l36c
g50b	57.82	-38.4	-28.92	48.07	217	l72c
g75b	55.5	-22.05	-45.95	50.97	244	c11v
b00r	41.6	1.37	-45.01	45.03	272	c56v
b25r	29.0	25.08	-43.13	49.89	300	v04m
b50r	38.04	46.53	-28.39	54.51	329	v55m
b75r	49.48	72.88	-3.76	72.98	357	m11o

$LAB^*LAB^*_{a}$

$i^* = 1.00$

Brillantheit i^*

$i^* = 0.80$

$i^* = 0.60$

$i^* = 0.40$

$i^* = 0.20$

$i^* = 0.00$

Ein und Ausgabe: Farbmetrisches Drucker-Reflektiv-System ORS19_96a für relativen CIELAB-Buntton $h^* = lab^*h^* = h_{ab}/360 = 0.117$

Daten für jede Farbe:

lab^*ch^* und lab^*icu^*

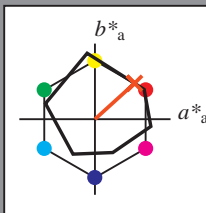
Bunttontexte:

$u^*_e = r25j$ $u^*_d = o17y$

Kontrastreduzierungsfaktor:

$c_R = 1.0$

Dreiecks-Helligkeit i^*



ORS19_96a; adaptierte CIELAB-Daten

u^*_e	$L^*=L^*_a$	a^*_a	b^*_a	$C^*_{ab,a}$	$h^*_{ab,a}$
O _{Ma}	48.75	65.07	39.43	76.08	31
Y _{Ma}	90.92	-10.29	87.24	87.85	97
L _{Ma}	52.69	-65.44	20.75	68.65	162
C _{Ma}	59.61	-28.98	-46.22	54.56	238
V _{Ma}	28.39	23.63	-44.13	50.06	298
M _{Ma}	49.58	73.93	-9.56	74.55	353
N _{Ma}	18.89	0.0	0.0	0.0	0
W _{Ma}	96.9	0.0	0.0	0.0	0
R _{Ma}	39.92	58.74	27.99	65.07	25
J _{Ma}	81.26	-2.89	71.56	71.62	92
G _{Ma}	52.23	-42.42	13.6	44.55	162
B _{Ma}	30.57	1.41	-46.47	46.49	272

Daten für Maximalfarbe (Ma):

$LAB^*LAB^*_{Ma}$: 56 52 47

$LAB^*LCH^*_{Ma}$: 56 71 42

$lab^*rgb^*_{Ma}$: 1.0 0.25 0.0

$lab^*olv^*_{Ma}$: 1.0 0.17 0.0

Dreiecks-Helligkeit i^*

%Umfang

$u^*_{rel} = 89$

%Regularität

$g^*_{H,rel} = 72$

$g^*_{C,rel} = 57$

ORS19_96a; adaptierte CIELAB-Daten

u^*_e	$L^*=L^*_a$	a^*_a	b^*_a	$C^*_{ab,a}$	$h^*_{ab,a}$	u^*_d
r00j	48.88	66.47	31.67	73.63	25	m84o
r25j	55.85	52.39	47.48	70.7	42	o17y
r50j	65.45	35.22	58.37	68.17	59	o42y
r75j	75.19	17.82	69.41	71.66	76	o67y
j00g	87.03	-3.35	82.83	82.9	92	o92y
j25g	80.72	-25.01	69.5	73.86	110	y20l
j50g	70.64	-39.54	51.97	65.3	127	y46l
j75g	61.93	-52.1	36.83	63.8	145	y72l
g00b	52.8	-65.28	20.93	68.56	162	y99l
g25b	55.7	-49.58	-8.39	50.28	190	l36c
g50b	57.82	-38.4	-28.92	48.07	217	l72c
g75b	55.5	-22.05	-45.95	50.97	244	c11v
b00r	41.6	1.37	-45.01	45.03	272	c56v
b25r	29.0	25.08	-43.13	49.89	300	v04m
b50r	38.04	46.53	-28.39	54.51	329	v55m
b75r	49.48	72.88	-3.76	72.98	357	m11o

$LAB^*LAB^*_{a}$

$i^* = 1.00$

Brillantheit i^*

$i^* = 0.80$

$i^* = 0.60$

$i^* = 0.40$

$i^* = 0.20$

$i^* = 0.00$

relative Buntheit c^*

relative Buntheit c^*

Ein und Ausgabe: Farbmetrisches Drucker-Reflektiv-System ORS19_96a für relativen CIELAB-Buntton $h^* = lab^*h^* = h_{ab}/360 = 0.164$

Daten für jede Farbe:

lab^*ch^* und lab^*icu^*

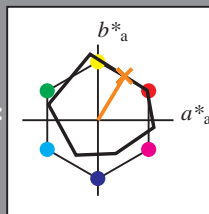
Bunttontexte:

$u^*_e = r50j$ $u^*_d = o42y$

Kontrastreduzierungsfaktor:

$c_R = 1.0$

Dreiecks-Helligkeit i^*



ORS19_96a; adaptierte CIELAB-Daten

u^*_e	$L^*=L^*_a$	a^*_a	b^*_a	$C^*_{ab,a}$	$h^*_{ab,a}$
O _{Ma}	48.75	65.07	39.43	76.08	31
Y _{Ma}	90.92	-10.29	87.24	87.85	97
L _{Ma}	52.69	-65.44	20.75	68.65	162
C _{Ma}	59.61	-28.98	-46.22	54.56	238
V _{Ma}	28.39	23.63	-44.13	50.06	298
M _{Ma}	49.58	73.93	-9.56	74.55	353
N _{Ma}	18.89	0.0	0.0	0.0	0
W _{Ma}	96.9	0.0	0.0	0.0	0
R _{Ma}	39.92	58.74	27.99	65.07	25
J _{Ma}	81.26	-2.89	71.56	71.62	92
G _{Ma}	52.23	-42.42	13.6	44.55	162
B _{Ma}	30.57	1.41	-46.47	46.49	272

Daten für Maximalfarbe (Ma):

$LAB^*LAB^*_{Ma}$: 65 35 58

$LAB^*LCH^*_{Ma}$: 65 68 58

$lab^*rgb^*_{Ma}$: 1.0 0.5 0.0

$lab^*olv^*_{Ma}$: 1.0 0.42 0.0

Dreiecks-Helligkeit i^*

%Umfang

$u^*_{rel} = 89$

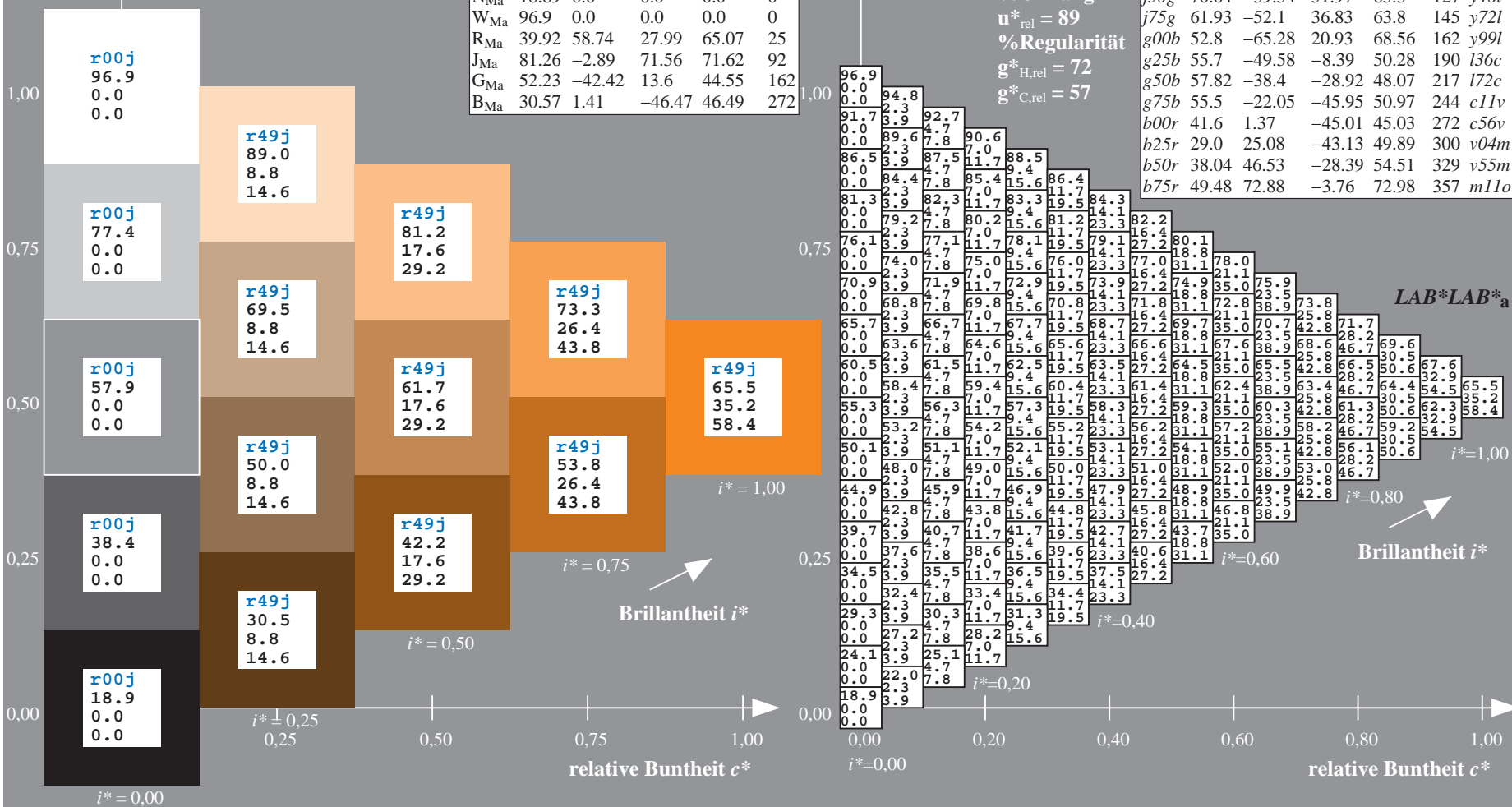
%Regularität

$g^*_{H,rel} = 72$

$g^*_{C,rel} = 57$

ORS19_96a; adaptierte CIELAB-Daten

u^*_e	$L^*=L^*_a$	a^*_a	b^*_a	$C^*_{ab,a}$	$h^*_{ab,a}$	u^*_d
r00j	48.88	66.47	31.67	73.63	25	m84o
r25j	55.85	52.39	47.48	70.7	42	o17y
r50j	65.45	35.22	58.37	68.17	59	o42y
r75j	75.19	17.82	69.41	71.66	76	o67y
j00g	87.03	-3.35	82.83	82.9	92	o92y
j25g	80.72	-25.01	69.5	73.86	110	y20l
j50g	70.64	-39.54	51.97	65.3	127	y46l
j75g	61.93	-52.1	36.83	63.8	145	y72l
g00b	52.8	-65.28	20.93	68.56	162	y99l
g25b	55.7	-49.58	-8.39	50.28	190	l36c
g50b	57.82	-38.4	-28.92	48.07	217	l72c
g75b	55.5	-22.05	-45.95	50.97	244	c11v
b00r	41.6	1.37	-45.01	45.03	272	c56v
b25r	29.0	25.08	-43.13	49.89	300	v04m
b50r	38.04	46.53	-28.39	54.51	329	v55m
b75r	49.48	72.88	-3.76	72.98	357	m11o



Ein und Ausgabe: Farbmetrisches Drucker-Reflektiv-System ORS19_96a für relativen CIELAB-Buntton $h^* = \text{lab}^*h^* = h_{ab}/360 = 0.21$

Daten für jede Farbe:

lab^*tch^* und lab^*icu^*

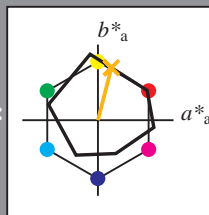
Bunttontexte:

$u^*_e = r75j$ $u^*_d = o67y$

Kontrastreduzierungsfaktor:

$c_R = 1.0$

Dreiecks-Helligkeit i^*



ORS19_96a; adaptierte CIELAB-Daten

u^*_e	$L^*=L^*_a$	a^*_a	b^*_a	$C^*_{ab,a}$	$h^*_{ab,a}$
O _{Ma}	48.75	65.07	39.43	76.08	31
Y _{Ma}	90.92	-10.29	87.24	87.85	97
L _{Ma}	52.69	-65.44	20.75	68.65	162
C _{Ma}	59.61	-28.98	-46.22	54.56	238
V _{Ma}	28.39	23.63	-44.13	50.06	298
M _{Ma}	49.58	73.93	-9.56	74.55	353
N _{Ma}	18.89	0.0	0.0	0.0	0
W _{Ma}	96.9	0.0	0.0	0.0	0
R _{Ma}	39.92	58.74	27.99	65.07	25
J _{Ma}	81.26	-2.89	71.56	71.62	92
G _{Ma}	52.23	-42.42	13.6	44.55	162
B _{Ma}	30.57	1.41	-46.47	46.49	272

Daten für Maximalfarbe (Ma):

$\text{LAB}^*\text{LAB}^*_{\text{Ma}}$: 75 18 69

$\text{LAB}^*\text{LCH}^*_{\text{Ma}}$: 75 72 75

$\text{lab}^*\text{rgb}^*_{\text{Ma}}$: 1.0 0.75 0.0

$\text{lab}^*\text{olv}^*_{\text{Ma}}$: 1.0 0.68 0.0

Dreiecks-Helligkeit i^*

%Umfang

$u^*_{\text{rel}} = 89$

%Regularität

$g^*_{H,\text{rel}} = 72$

$g^*_{C,\text{rel}} = 57$

ORS19_96a; adaptierte CIELAB-Daten

u^*_e	$L^*=L^*_a$	a^*_a	b^*_a	$C^*_{ab,a}$	$h^*_{ab,a}$	u^*_d
r00j	48.88	66.47	31.67	73.63	25	m84o
r25j	55.85	52.39	47.48	70.7	42	o17y
r50j	65.45	35.22	58.37	68.17	59	o42y
r75j	75.19	17.82	69.41	71.66	76	o67y
j00g	87.03	-3.35	82.83	82.9	92	o92y
j25g	80.72	-25.01	69.5	73.86	110	y20l
j50g	70.64	-39.54	51.97	65.3	127	y46l
j75g	61.93	-52.1	36.83	63.8	145	y72l
g00b	52.8	-65.28	20.93	68.56	162	y99l
g25b	55.7	-49.58	-8.39	50.28	190	l36c
g50b	57.82	-38.4	-28.92	48.07	217	l72c
g75b	55.5	-22.05	-45.95	50.97	244	c11v
b00r	41.6	1.37	-45.01	45.03	272	c56v
b25r	29.0	25.08	-43.13	49.89	300	v04m
b50r	38.04	46.53	-28.39	54.51	329	v55m
b75r	49.48	72.88	-3.76	72.98	357	m11o

$\text{LAB}^*\text{LAB}^*_{\text{a}}$

$i^* = 1.00$

Brillantheit i^*

$i^* = 0.80$

$i^* = 0.60$

$i^* = 0.40$

$i^* = 0.20$

Ein und Ausgabe: Farbmetrisches Drucker-Reflektiv-System ORS19_96a für relativen CIELAB-Buntton $h^* = lab^*h^* = h_{ab}/360 = 0.256$

Daten für jede Farbe:

lab^*ch^* und lab^*icu^*

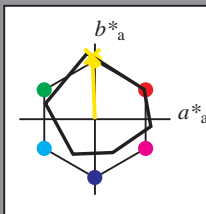
Bunttontexte:

$u^*_e = j00g$ $u^*_d = o92y$

Kontrastreduzierungsfaktor:

$c_R = 1.0$

Dreiecks-Helligkeit i^*



ORS19_96a; adaptierte CIELAB-Daten

u^*_e	$L^*=L^*_a$	a^*_a	b^*_a	$C^*_{ab,a}$	$h^*_{ab,a}$
O _{Ma}	48.75	65.07	39.43	76.08	31
Y _{Ma}	90.92	-10.29	87.24	87.85	97
L _{Ma}	52.69	-65.44	20.75	68.65	162
C _{Ma}	59.61	-28.98	-46.22	54.56	238
V _{Ma}	28.39	23.63	-44.13	50.06	298
M _{Ma}	49.58	73.93	-9.56	74.55	353
N _{Ma}	18.89	0.0	0.0	0.0	0
W _{Ma}	96.9	0.0	0.0	0.0	0
R _{Ma}	39.92	58.74	27.99	65.07	25
J _{Ma}	81.26	-2.89	71.56	71.62	92
G _{Ma}	52.23	-42.42	13.6	44.55	162
B _{Ma}	30.57	1.41	-46.47	46.49	272

Daten für Maximalfarbe (Ma):

$LAB^*LAB^*_Ma$: 87 -3 83

$LAB^*LCH^*_Ma$: 87 83 92

$lab^*rgb^*_Ma$: 1.0 1.0 0.0

$lab^*olv^*_Ma$: 1.0 0.93 0.0

Dreiecks-Helligkeit i^*

%Umfang

$u^*_{rel} = 89$

%Regularität

$g^*_{H,rel} = 72$

$g^*_{C,rel} = 57$

ORS19_96a; adaptierte CIELAB-Daten

u^*_e	$L^*=L^*_a$	a^*_a	b^*_a	$C^*_{ab,a}$	$h^*_{ab,a}$	u^*_d
r00j	48.88	66.47	31.67	73.63	25	m84o
r25j	55.85	52.39	47.48	70.7	42	o17y
r50j	65.45	35.22	58.37	68.17	59	o42y
r75j	75.19	17.82	69.41	71.66	76	o67y
j00g	87.03	-3.35	82.83	82.9	92	o92y
j25g	80.72	-25.01	69.5	73.86	110	y20l
j50g	70.64	-39.54	51.97	65.3	127	y46l
j75g	61.93	-52.1	36.83	63.8	145	y72l
g00b	52.8	-65.28	20.93	68.56	162	y99l
g25b	55.7	-49.58	-8.39	50.28	190	l36c
g50b	57.82	-38.4	-28.92	48.07	217	l72c
g75b	55.5	-22.05	-45.95	50.97	244	c11v
b00r	41.6	1.37	-45.01	45.03	272	c56v
b25r	29.0	25.08	-43.13	49.89	300	v04m
b50r	38.04	46.53	-28.39	54.51	329	v55m
b75r	49.48	72.88	-3.76	72.98	357	m11o

$LAB^*LAB^*_a$

$i^*=1.00$

Brillantheit i^*

$i^*=0.80$

$i^*=0.60$

$i^*=0.40$

$i^*=0.20$

Ein und Ausgabe: Farbmetrisches Drucker-Reflektiv-System ORS19_96a für relativen CIELAB-Buntton $h^* = lab^*h^* = h_{ab}/360 = 0.305$

Daten für jede Farbe:

lab^*ch^* und lab^*icu^*

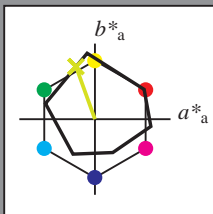
Bunttontexte:

$u^*_e = j25g$ $u^*_d = y20l$

Kontrastreduzierungsfaktor:

$c_R = 1.0$

Dreiecks-Helligkeit i^*



ORS19_96a; adaptierte CIELAB-Daten

u^*_e	$L^*=L^*_a$	a^*_a	b^*_a	$C^*_{ab,a}$	$h^*_{ab,a}$
O _{Ma}	48.75	65.07	39.43	76.08	31
Y _{Ma}	90.92	-10.29	87.24	87.85	97
L _{Ma}	52.69	-65.44	20.75	68.65	162
C _{Ma}	59.61	-28.98	-46.22	54.56	238
V _{Ma}	28.39	23.63	-44.13	50.06	298
M _{Ma}	49.58	73.93	-9.56	74.55	353
N _{Ma}	18.89	0.0	0.0	0.0	0
W _{Ma}	96.9	0.0	0.0	0.0	0
R _{Ma}	39.92	58.74	27.99	65.07	25
J _{Ma}	81.26	-2.89	71.56	71.62	92
G _{Ma}	52.23	-42.42	13.6	44.55	162
B _{Ma}	30.57	1.41	-46.47	46.49	272

Daten für Maximalfarbe (Ma):

$LAB^*LAB^*_{Ma}$: 81 -25 69

$LAB^*LCH^*_{Ma}$: 81 74 109

$lab^*rgb^*_{Ma}$: 0.75 1.0 0.0

$lab^*olv^*_{Ma}$: 0.8 1.0 0.0

Dreiecks-Helligkeit i^*

%Umfang

$u^*_{rel} = 89$

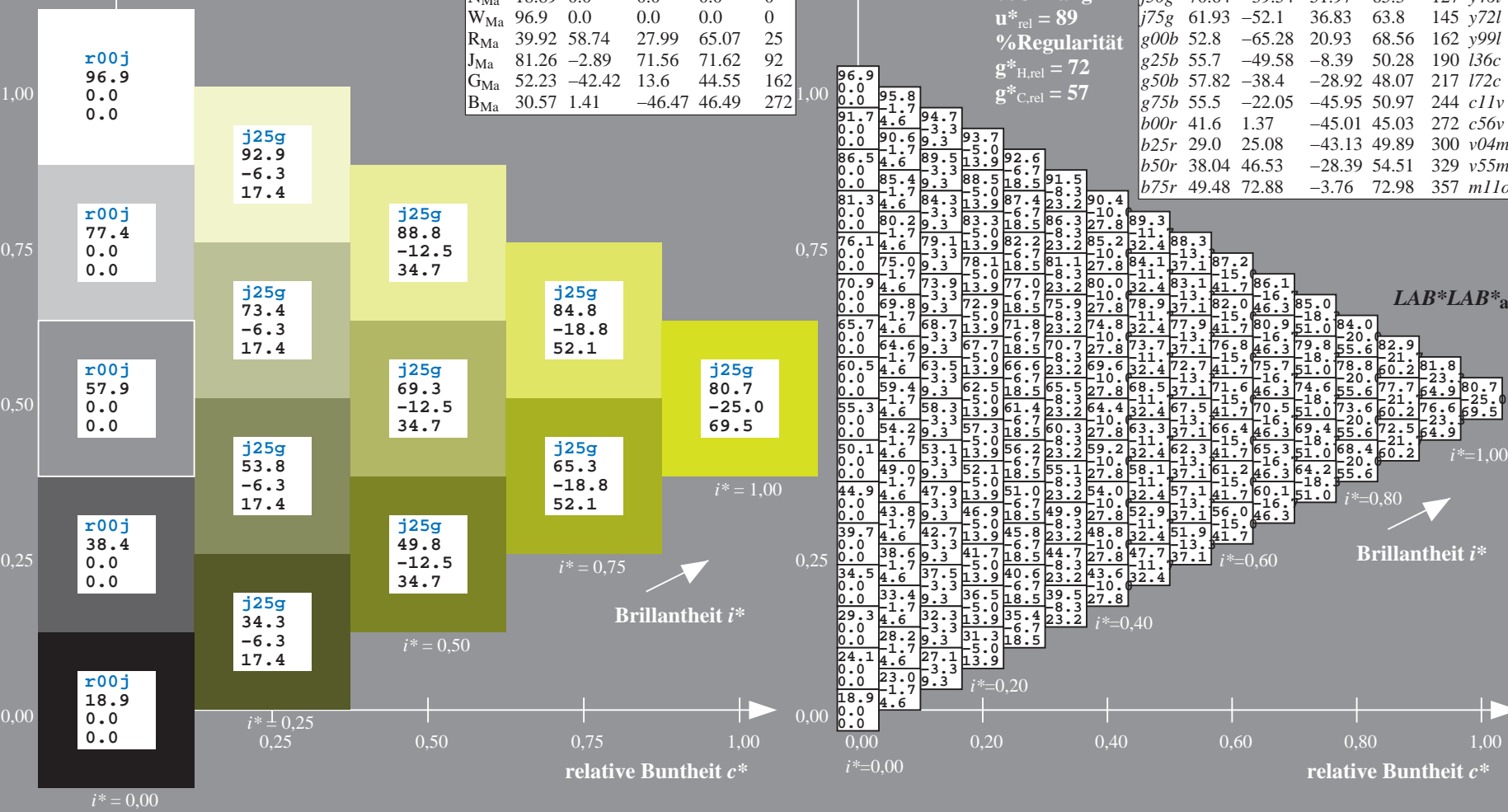
%Regularität

$g^*_{H,rel} = 72$

$g^*_{C,rel} = 57$

ORS19_96a; adaptierte CIELAB-Daten

u^*_e	$L^*=L^*_a$	a^*_a	b^*_a	$C^*_{ab,a}$	$h^*_{ab,a}$	u^*_d
r00j	48.88	66.47	31.67	73.63	25	m84o
r25j	55.85	52.39	47.48	70.7	42	o17y
r50j	65.45	35.22	58.37	68.17	59	o42y
r75j	75.19	17.82	69.41	71.66	76	o67y
j00g	87.03	-3.35	82.83	82.9	92	o92y
j25g	80.72	-25.01	69.5	73.86	110	y20l
j50g	70.64	-39.54	51.97	65.3	127	y46l
j75g	61.93	-52.1	36.83	63.8	145	y72l
g00b	52.8	-65.28	20.93	68.56	162	y99l
g25b	55.7	-49.58	-8.39	50.28	190	l36c
g50b	57.82	-38.4	-28.92	48.07	217	l72c
g75b	55.5	-22.05	-45.95	50.97	244	c11v
b00r	41.6	1.37	-45.01	45.03	272	c56v
b25r	29.0	25.08	-43.13	49.89	300	v04m
b50r	38.04	46.53	-28.39	54.51	329	v55m
b75r	49.48	72.88	-3.76	72.98	357	m11o



Ein und Ausgabe: Farbmetrisches Drucker-Reflektiv-System ORS19_96a für relativen CIELAB-Buntton $h^* = \text{lab}^*h^* = h_{ab}/360 = 0.354$

Daten für jede Farbe:

lab^*tch^* und lab^*icu^*

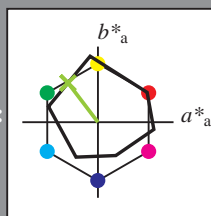
Bunttontexte:

$u^*_e = j50g$ $u^*_d = y46l$

Kontrastreduzierungsfaktor:

$c_R = 1.0$

Dreiecks-Helligkeit i^*



ORS19_96a; adaptierte CIELAB-Daten						
u^*_e	$L^*=L^*_a$	a^*_a	b^*_a	$C^*_{ab,a}$	$h^*_{ab,a}$	u^*_d
O _{Ma}	48.75	65.07	39.43	76.08	31	
Y _{Ma}	90.92	-10.29	87.24	87.85	97	
L _{Ma}	52.69	-65.44	20.75	68.65	162	
C _{Ma}	59.61	-28.98	-46.22	54.56	238	
V _{Ma}	28.39	23.63	-44.13	50.06	298	
M _{Ma}	49.58	73.93	-9.56	74.55	353	
N _{Ma}	18.89	0.0	0.0	0.0	0	
W _{Ma}	96.9	0.0	0.0	0.0	0	
R _{Ma}	39.92	58.74	27.99	65.07	25	
J _{Ma}	81.26	-2.89	71.56	71.62	92	
G _{Ma}	52.23	-42.42	13.6	44.55	162	
B _{Ma}	30.57	1.41	-46.47	46.49	272	

Daten für Maximalfarbe (Ma):

$\text{LAB}^*\text{LAB}^*_{\text{Ma}}$: 71 -40 52

$\text{LAB}^*\text{LCH}^*_{\text{Ma}}$: 71 65 127

$\text{lab}^*\text{rgb}^*_{\text{Ma}}$: 0.5 1.0 0.0

$\text{lab}^*\text{olv}^*_{\text{Ma}}$: 0.54 1.0 0.0

Dreiecks-Helligkeit i^*

%Umfang

$u^*_{\text{rel}} = 89$

%Regularität

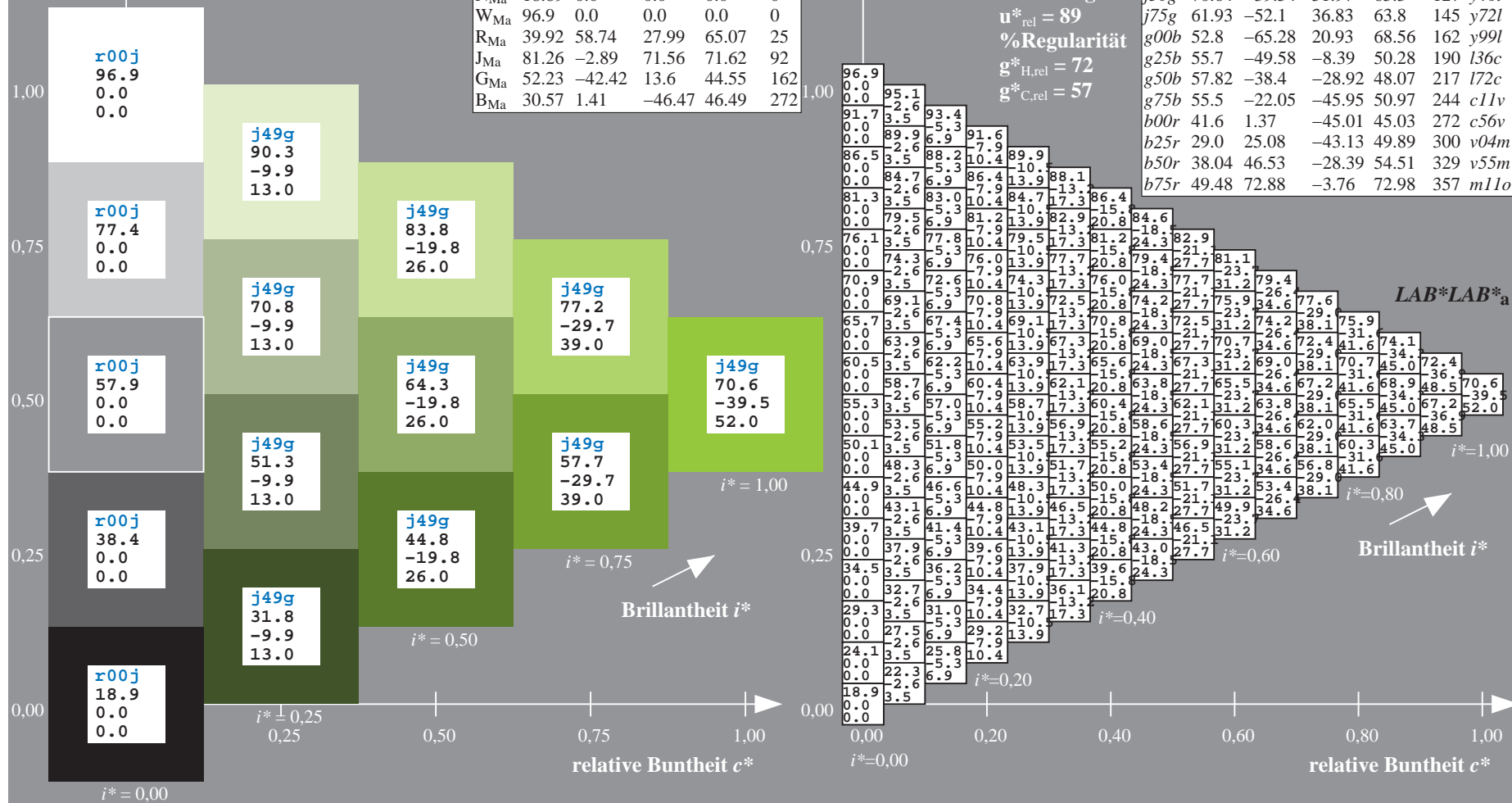
$g^*_{H,\text{rel}} = 72$

$g^*_{C,\text{rel}} = 57$

ORS19_96a; adaptierte CIELAB-Daten						
u^*_e	$L^*=L^*_a$	a^*_a	b^*_a	$C^*_{ab,a}$	$h^*_{ab,a}$	u^*_d
r00j	48.88	66.47	31.67	73.63	25	m84o
r25j	55.85	52.39	47.48	70.7	42	o17y
r50j	65.45	35.22	58.37	68.17	59	o42y
r75j	75.19	17.82	69.41	71.66	76	o67y
j00g	87.03	-3.35	82.83	82.9	92	o92y
j25g	80.72	-25.01	69.5	73.86	110	y20l
j50g	70.64	-39.54	51.97	65.3	127	y46l
j75g	61.93	-52.1	36.83	63.8	145	y72l
g00b	52.8	-65.28	20.93	68.56	162	y99l
g25b	55.7	-49.58	-8.39	50.28	190	l36c
g50b	57.82	-38.4	-28.92	48.07	217	l72c
g75b	55.5	-22.05	-45.95	50.97	244	c11v
b00r	41.6	1.37	-45.01	45.03	272	c56v
b25r	29.0	25.08	-43.13	49.89	300	v04m
b50r	38.04	46.53	-28.39	54.51	329	v55m
b75r	49.48	72.88	-3.76	72.98	357	m11o

Siehe ähnliche Dateien: <http://www.ps.bam.de/Eg38/>; www.ps.bam.de/Eg38/HTML
Technische Information: <http://www.ps.bam.de> Version 2.1, io=1,1, ColSpx=1

BAM-Registrierung: 20081001-Eg38/10L/L38G00NA.PS/.TXT BAM-Material: Code=rh4ta
Anwendung für Beurteilung und Messung von Drucker- oder Monitorsystemen



Ein und Ausgabe: Farbmetrisches Drucker-Reflektiv-System ORS19_96a für relativen CIELAB-Buntton $h^* = \text{lab}^*h^* = h_{ab}/360 = 0.402$

Daten für jede Farbe:

lab^*ch^* und lab^*icu^*

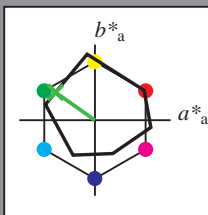
Bunttontexte:

$u^*_e = j75g$ $u^*_d = y72l$

Kontrastreduzierungsfaktor:

$c_R = 1.0$

Dreiecks-Helligkeit i^*



ORS19_96a; adaptierte CIELAB-Daten

u^*_e	$L^*=L^*_a$	a^*_a	b^*_a	$C^*_{ab,a}$	$h^*_{ab,a}$
O _{Ma}	48.75	65.07	39.43	76.08	31
Y _{Ma}	90.92	-10.29	87.24	87.85	97
L _{Ma}	52.69	-65.44	20.75	68.65	162
C _{Ma}	59.61	-28.98	-46.22	54.56	238
V _{Ma}	28.39	23.63	-44.13	50.06	298
M _{Ma}	49.58	73.93	-9.56	74.55	353
N _{Ma}	18.89	0.0	0.0	0.0	0
W _{Ma}	96.9	0.0	0.0	0.0	0
R _{Ma}	39.92	58.74	27.99	65.07	25
J _{Ma}	81.26	-2.89	71.56	71.62	92
G _{Ma}	52.23	-42.42	13.6	44.55	162
B _{Ma}	30.57	1.41	-46.47	46.49	272

Daten für Maximalfarbe (Ma):

$\text{LAB}^*\text{LAB}^*_{\text{Ma}}$: 62 -52 37

$\text{LAB}^*\text{LCH}^*_{\text{Ma}}$: 62 64 144

$\text{lab}^*\text{rgb}^*_{\text{Ma}}$: 0.25 1.0 0.0

$\text{lab}^*\text{olv}^*_{\text{Ma}}$: 0.27 1.0 0.0

Dreiecks-Helligkeit i^*

%Umfang

$u^*_{\text{rel}} = 89$

%Regularität

$g^*_{H,\text{rel}} = 72$

$g^*_{C,\text{rel}} = 57$

ORS19_96a; adaptierte CIELAB-Daten

u^*_e	$L^*=L^*_a$	a^*_a	b^*_a	$C^*_{ab,a}$	$h^*_{ab,a}$	u^*_d
r00j	48.88	66.47	31.67	73.63	25	m84o
r25j	55.85	52.39	47.48	70.7	42	o17y
r50j	65.45	35.22	58.37	68.17	59	o42y
r75j	75.19	17.82	69.41	71.66	76	o67y
j00g	87.03	-3.35	82.83	82.9	92	o92y
j25g	80.72	-25.01	69.5	73.86	110	y20l
j50g	70.64	-39.54	51.97	65.3	127	y46l
j75g	61.93	-52.1	36.83	63.8	145	y72l
g00b	52.8	-65.28	20.93	68.56	162	y99l
g25b	55.7	-49.58	-8.39	50.28	190	l36c
g50b	57.82	-38.4	-28.92	48.07	217	l72c
g75b	55.5	-22.05	-45.95	50.97	244	c11v
b00r	41.6	1.37	-45.01	45.03	272	c56v
b25r	29.0	25.08	-43.13	49.89	300	v04m
b50r	38.04	46.53	-28.39	54.51	329	v55m
b75r	49.48	72.88	-3.76	72.98	357	m11o

$\text{LAB}^*\text{LAB}^*_{\text{a}}$

$i^* = 1.00$

Brillantheit i^*

$i^* = 0.80$

$i^* = 0.60$

$i^* = 0.40$

$i^* = 0.20$

Ein und Ausgabe: Farbmetrisches Drucker-Reflektiv-System ORS19_96a für relativen CIELAB-Buntton $h^* = \text{lab}^*h^* = h_{ab}/360 = 0.451$

Daten für jede Farbe:

lab^*tch^* und lab^*icu^*

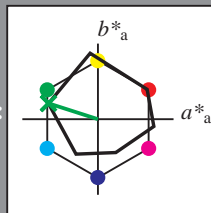
Bunttontexte:

$u^*_e = g00b$ $u^*_d = y99l$

Kontrastreduzierungsfaktor:

$c_R = 1.0$

Dreiecks-Helligkeit i^*



ORS19_96a; adaptierte CIELAB-Daten

u^*_e	$L^*=L^*_a$	a^*_a	b^*_a	$C^*_{ab,a}$	$h^*_{ab,a}$
O _{Ma}	48.75	65.07	39.43	76.08	31
Y _{Ma}	90.92	-10.29	87.24	87.85	97
L _{Ma}	52.69	-65.44	20.75	68.65	162
C _{Ma}	59.61	-28.98	-46.22	54.56	238
V _{Ma}	28.39	23.63	-44.13	50.06	298
M _{Ma}	49.58	73.93	-9.56	74.55	353
N _{Ma}	18.89	0.0	0.0	0.0	0
W _{Ma}	96.9	0.0	0.0	0.0	0
R _{Ma}	39.92	58.74	27.99	65.07	25
J _{Ma}	81.26	-2.89	71.56	71.62	92
G _{Ma}	52.23	-42.42	13.6	44.55	162
B _{Ma}	30.57	1.41	-46.47	46.49	272

Daten für Maximalfarbe (Ma):

$\text{LAB}^*\text{LAB}^*_{\text{Ma}}$: 53 -65 21

$\text{LAB}^*\text{LCH}^*_{\text{Ma}}$: 53 69 162

$\text{lab}^*\text{rgb}^*_{\text{Ma}}$: 0.0 1.0 0.0

$\text{lab}^*\text{olv}^*_{\text{Ma}}$: 0.0 1.0 0.0

Dreiecks-Helligkeit i^*

%Umfang

$u^*_{\text{rel}} = 89$

%Regularität

$g^*_{H,\text{rel}} = 72$

$g^*_{C,\text{rel}} = 57$

ORS19_96a; adaptierte CIELAB-Daten

u^*_e	$L^*=L^*_a$	a^*_a	b^*_a	$C^*_{ab,a}$	$h^*_{ab,a}$	u^*_d
r00j	48.88	66.47	31.67	73.63	25	m84o
r25j	55.85	52.39	47.48	70.7	42	o17y
r50j	65.45	35.22	58.37	68.17	59	o42y
r75j	75.19	17.82	69.41	71.66	76	o67y
j00g	87.03	-3.35	82.83	82.9	92	o92y
j25g	80.72	-25.01	69.5	73.86	110	y20l
j50g	70.64	-39.54	51.97	65.3	127	y46l
j75g	61.93	-52.1	36.83	63.8	145	y72l
g00b	52.8	-65.28	20.93	68.56	162	y99l
g25b	55.7	-49.58	-8.39	50.28	190	l36c
g50b	57.82	-38.4	-28.92	48.07	217	l72c
g75b	55.5	-22.05	-45.95	50.97	244	c11v
b00r	41.6	1.37	-45.01	45.03	272	c56v
b25r	29.0	25.08	-43.13	49.89	300	v04m
b50r	38.04	46.53	-28.39	54.51	329	v55m
b75r	49.48	72.88	-3.76	72.98	357	m11o

$u^*_e = g00b$
 $\text{LAB}^*\text{LAB}^*_{\text{a}}$

$\text{LAB}^*\text{LAB}^*_{\text{a}}$

$i^* = 1.00$

Brillantheit i^*

$i^* = 0.80$

$i^* = 0.60$

$i^* = 0.40$

$i^* = 0.20$

Ein und Ausgabe: Farbmetrisches Drucker-Reflektiv-System ORS19_96a für relativen CIELAB-Buntton $h^* = \text{lab}^*h^* = h_{ab}/360 = 0.527$

Daten für jede Farbe:

lab^*tch^* und lab^*icu^*

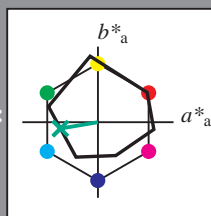
Bunttontexte:

$u^*_e = g25b$ $u^*_d = l36c$

Kontrastreduzierungsfaktor:

$c_R = 1.0$

Dreiecks-Helligkeit i^*



ORS19_96a; adaptierte CIELAB-Daten

u^*_e	$L^*=L^*_a$	a^*_a	b^*_a	$C^*_{ab,a}$	$h^*_{ab,a}$
O _{Ma}	48.75	65.07	39.43	76.08	31
Y _{Ma}	90.92	-10.29	87.24	87.85	97
L _{Ma}	52.69	-65.44	20.75	68.65	162
C _{Ma}	59.61	-28.98	-46.22	54.56	238
V _{Ma}	28.39	23.63	-44.13	50.06	298
M _{Ma}	49.58	73.93	-9.56	74.55	353
N _{Ma}	18.89	0.0	0.0	0.0	0
W _{Ma}	96.9	0.0	0.0	0.0	0
R _{Ma}	39.92	58.74	27.99	65.07	25
J _{Ma}	81.26	-2.89	71.56	71.62	92
G _{Ma}	52.23	-42.42	13.6	44.55	162
B _{Ma}	30.57	1.41	-46.47	46.49	272

Daten für Maximalfarbe (Ma):

$\text{LAB}^*\text{LAB}^*_{\text{Ma}}$: 56 -50 -8

$\text{LAB}^*\text{LCH}^*_{\text{Ma}}$: 56 50 189

$\text{lab}^*\text{rgb}^*_{\text{Ma}}$: 0.0 1.0 0.5

$\text{lab}^*\text{olv}^*_{\text{Ma}}$: 0.0 1.0 0.36

Dreiecks-Helligkeit i^*

%Umfang

$u^*_{\text{rel}} = 89$

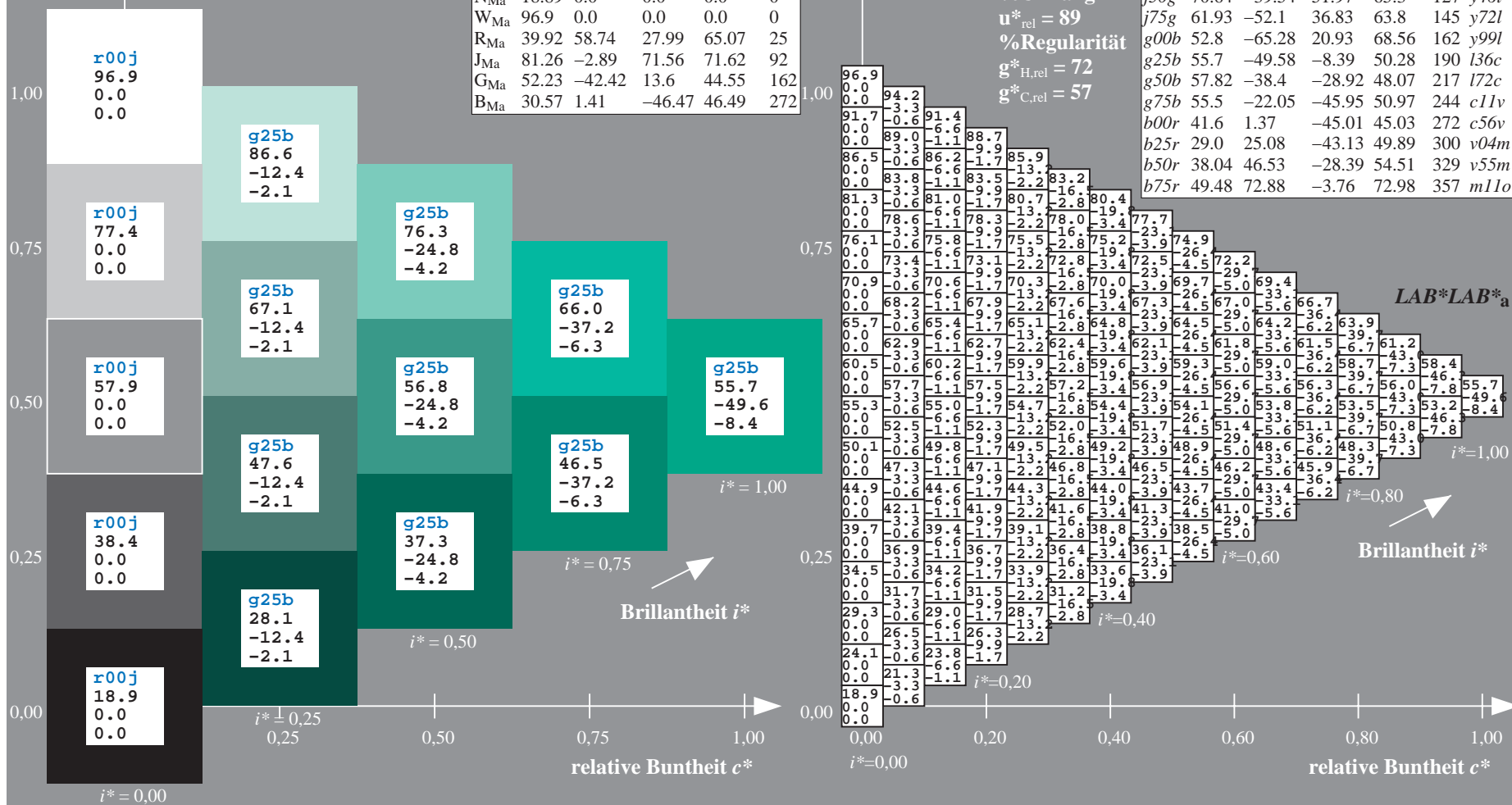
%Regularität

$g^*_{H,\text{rel}} = 72$

$g^*_{C,\text{rel}} = 57$

ORS19_96a; adaptierte CIELAB-Daten

u^*_e	$L^*=L^*_a$	a^*_a	b^*_a	$C^*_{ab,a}$	$h^*_{ab,a}$	u^*_d
r00j	48.88	66.47	31.67	73.63	25	m84o
r25j	55.85	52.39	47.48	70.7	42	o17y
r50j	65.45	35.22	58.37	68.17	59	o42y
r75j	75.19	17.82	69.41	71.66	76	o67y
j00g	87.03	-3.35	82.83	82.9	92	o92y
j25g	80.72	-25.01	69.5	73.86	110	y20l
j50g	70.64	-39.54	51.97	65.3	127	y46l
j75g	61.93	-52.1	36.83	63.8	145	y72l
g00b	52.8	-65.28	20.93	68.56	162	y99l
g25b	55.7	-49.58	-8.39	50.28	190	l36c
g50b	57.82	-38.4	-28.92	48.07	217	l72c
g75b	55.5	-22.05	-45.95	50.97	244	c11v
b00r	41.6	1.37	-45.01	45.03	272	c56v
b25r	29.0	25.08	-43.13	49.89	300	v04m
b50r	38.04	46.53	-28.39	54.51	329	v55m
b75r	49.48	72.88	-3.76	72.98	357	m11o



Ein und Ausgabe: Farbmetrisches Drucker-Reflektiv-System ORS19_96a für relativen CIELAB-Buntton $h^* = lab^*h^* = h_{ab}/360 = 0.603$

Daten für jede Farbe:

lab^*ch^* und lab^*icu^*

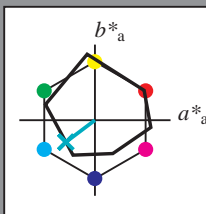
Bunttontexte:

$u^*_e = g50b$ $u^*_d = l72c$

Kontrastreduzierungsfaktor:

$c_R = 1.0$

Dreiecks-Helligkeit i^*



ORS19_96a; adaptierte CIELAB-Daten

	u^*_e	$L^*=L^*_a$	a^*_a	b^*_a	$C^*_{ab,a}$	$h^*_{ab,a}$
O _{Ma}	48.75	65.07	39.43	76.08	31	
Y _{Ma}	90.92	-10.29	87.24	87.85	97	
L _{Ma}	52.69	-65.44	20.75	68.65	162	
C _{Ma}	59.61	-28.98	-46.22	54.56	238	
V _{Ma}	28.39	23.63	-44.13	50.06	298	
M _{Ma}	49.58	73.93	-9.56	74.55	353	
N _{Ma}	18.89	0.0	0.0	0.0	0	
W _{Ma}	96.9	0.0	0.0	0.0	0	
R _{Ma}	39.92	58.74	27.99	65.07	25	
J _{Ma}	81.26	-2.89	71.56	71.62	92	
G _{Ma}	52.23	-42.42	13.6	44.55	162	
B _{Ma}	30.57	1.41	-46.47	46.49	272	

Daten für Maximalfarbe (Ma):

$LAB^*LAB^*_{Ma}$: 58 -38 -29

$LAB^*LCH^*_{Ma}$: 58 48 216

$lab^*rgb^*_{Ma}$: 0.0 1.0 1.0

$lab^*olv^*_{Ma}$: 0.0 1.0 0.72

Dreiecks-Helligkeit i^*

%Umfang

$u^*_{rel} = 89$

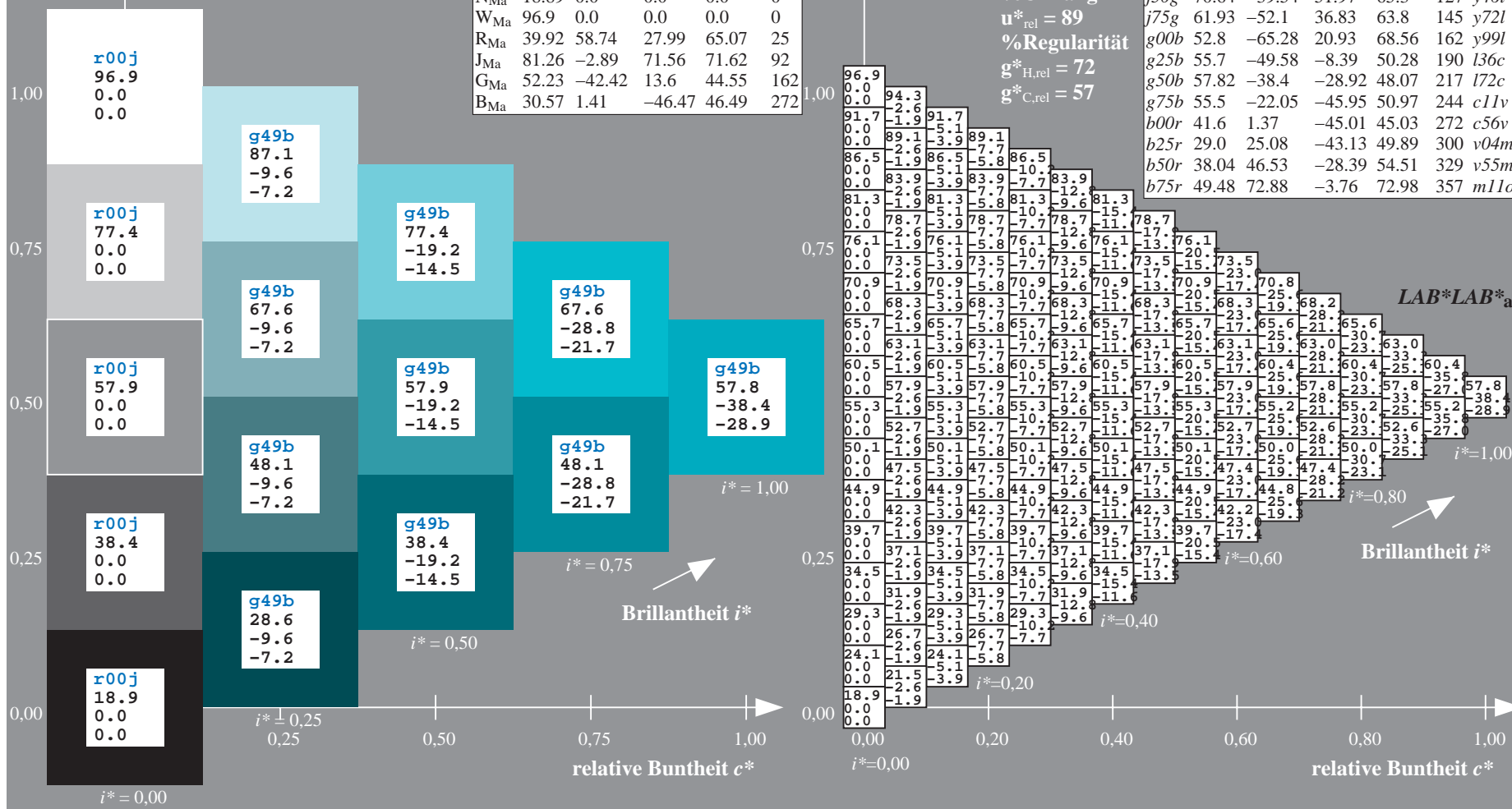
%Regularität

$g^*_{H,rel} = 72$

$g^*_{C,rel} = 57$

ORS19_96a; adaptierte CIELAB-Daten

	u^*_e	$L^*=L^*_a$	a^*_a	b^*_a	$C^*_{ab,a}$	$h^*_{ab,a}$	u^*_d
r00j	48.88	66.47	31.67	73.63	25	m84o	
r25j	55.85	52.39	47.48	70.7	42	o17y	
r50j	65.45	35.22	58.37	68.17	59	o42y	
r75j	75.19	17.82	69.41	71.66	76	o67y	
j00g	87.03	-3.35	82.83	82.9	92	o92y	
j25g	80.72	-25.01	69.5	73.86	110	y20l	
j50g	70.64	-39.54	51.97	65.3	127	y46l	
j75g	61.93	-52.1	36.83	63.8	145	y72l	
g00b	52.8	-65.28	20.93	68.56	162	y99l	
g25b	55.7	-49.58	-8.39	50.28	190	l36c	
g50b	57.82	-38.4	-28.92	48.07	217	l72c	
g75b	55.5	-22.05	-45.95	50.97	244	c11v	
b00r	41.6	1.37	-45.01	45.03	272	c56v	
b25r	29.0	25.08	-43.13	49.89	300	v04m	
b50r	38.04	46.53	-28.39	54.51	329	v55m	
b75r	49.48	72.88	-3.76	72.98	357	m11o	



Ein und Ausgabe: Farbmetrisches Drucker-Reflektiv-System ORS19_96a für relativen CIELAB-Buntton $h^* = lab^*h^* = h_{ab}/360 = 0.679$

Daten für jede Farbe:

lab^*ch^* und lab^*icu^*

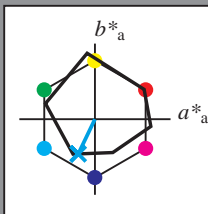
Bunttontexte:

$u^*_e = g75b$ $u^*_d = c11v$

Kontrastreduzierungsfaktor:

$c_R = 1.0$

Dreiecks-Helligkeit i^*



ORS19_96a; adaptierte CIELAB-Daten

	u^*_e	$L^*=L^*_a$	a^*_a	b^*_a	$C^*_{ab,a}$	$h^*_{ab,a}$
O _{Ma}	48.75	65.07	39.43	76.08	31	
Y _{Ma}	90.92	-10.29	87.24	87.85	97	
L _{Ma}	52.69	-65.44	20.75	68.65	162	
C _{Ma}	59.61	-28.98	-46.22	54.56	238	
V _{Ma}	28.39	23.63	-44.13	50.06	298	
M _{Ma}	49.58	73.93	-9.56	74.55	353	
N _{Ma}	18.89	0.0	0.0	0.0	0	
W _{Ma}	96.9	0.0	0.0	0.0	0	
R _{Ma}	39.92	58.74	27.99	65.07	25	
J _{Ma}	81.26	-2.89	71.56	71.62	92	
G _{Ma}	52.23	-42.42	13.6	44.55	162	
B _{Ma}	30.57	1.41	-46.47	46.49	272	

Daten für Maximalfarbe (Ma):

$LAB^*LAB^*_{Ma}$: 55 -22 -46

$LAB^*LCH^*_{Ma}$: 55 51 244

$lab^*rgb^*_{Ma}$: 0.0 0.5 1.0

$lab^*olv^*_{Ma}$: 0.0 0.89 1.0

Dreiecks-Helligkeit i^*

%Umfang

$u^*_{rel} = 89$

%Regularität

$g^*_{H,rel} = 72$

$g^*_{C,rel} = 57$

ORS19_96a; adaptierte CIELAB-Daten

	u^*_e	$L^*=L^*_a$	a^*_a	b^*_a	$C^*_{ab,a}$	$h^*_{ab,a}$	u^*_d
r00j	48.88	66.47	31.67	73.63	25	m84o	
r25j	55.85	52.39	47.48	70.7	42	o17y	
r50j	65.45	35.22	58.37	68.17	59	o42y	
r75j	75.19	17.82	69.41	71.66	76	o67y	
j00g	87.03	-3.35	82.83	82.9	92	o92y	
j25g	80.72	-25.01	69.5	73.86	110	y20l	
j50g	70.64	-39.54	51.97	65.3	127	y46l	
j75g	61.93	-52.1	36.83	63.8	145	y72l	
g00b	52.8	-65.28	20.93	68.56	162	y99l	
g25b	55.7	-49.58	-8.39	50.28	190	l36c	
g50b	57.82	-38.4	-28.92	48.07	217	l72c	
g75b	55.5	-22.05	-45.95	50.97	244	c11v	
b00r	41.6	1.37	-45.01	45.03	272	c56v	
b25r	29.0	25.08	-43.13	49.89	300	v04m	
b50r	38.04	46.53	-28.39	54.51	329	v55m	
b75r	49.48	72.88	-3.76	72.98	357	m11o	

$LAB^*LAB^*_{Ma}$

$i^* = 1.00$

Brillantheit i^*

$i^* = 0.80$

$i^* = 0.60$

$i^* = 0.40$

$i^* = 0.20$

$i^* = 0.00$

relative Buntheit c^*

relative Buntheit c^*

Ein und Ausgabe: Farbmetrisches Drucker-Reflektiv-System ORS19_96a für relativen CIELAB-Buntton $h^* = lab^*h^* = h_{ab}/360 = 0.755$

Daten für jede Farbe:

lab^*ch^* und lab^*icu^*

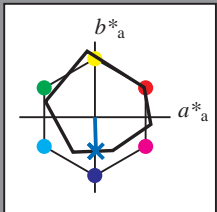
Bunttontexte:

$u^*_e = b00r$ $u^*_d = c56v$

Kontrastreduzierungsfaktor:

$c_R = 1.0$

Dreiecks-Helligkeit i^*



ORS19_96a; adaptierte CIELAB-Daten

u^*_e	$L^*=L^*_a$	a^*_a	b^*_a	$C^*_{ab,a}$	$h^*_{ab,a}$
O _{Ma}	48.75	65.07	39.43	76.08	31
Y _{Ma}	90.92	-10.29	87.24	87.85	97
L _{Ma}	52.69	-65.44	20.75	68.65	162
C _{Ma}	59.61	-28.98	-46.22	54.56	238
V _{Ma}	28.39	23.63	-44.13	50.06	298
M _{Ma}	49.58	73.93	-9.56	74.55	353
N _{Ma}	18.89	0.0	0.0	0.0	0
W _{Ma}	96.9	0.0	0.0	0.0	0
R _{Ma}	39.92	58.74	27.99	65.07	25
J _{Ma}	81.26	-2.89	71.56	71.62	92
G _{Ma}	52.23	-42.42	13.6	44.55	162
B _{Ma}	30.57	1.41	-46.47	46.49	272

Daten für Maximalfarbe (Ma):

$LAB^*LAB^*_{Ma}$: 42 1 -45

$LAB^*LCH^*_{Ma}$: 42 45 271

$lab^*rgb^*_{Ma}$: 0.0 0.0 1.0

$lab^*olv^*_{Ma}$: 0.0 0.44 1.0

Dreiecks-Helligkeit i^*

%Umfang

$u^*_{rel} = 89$

%Regularität

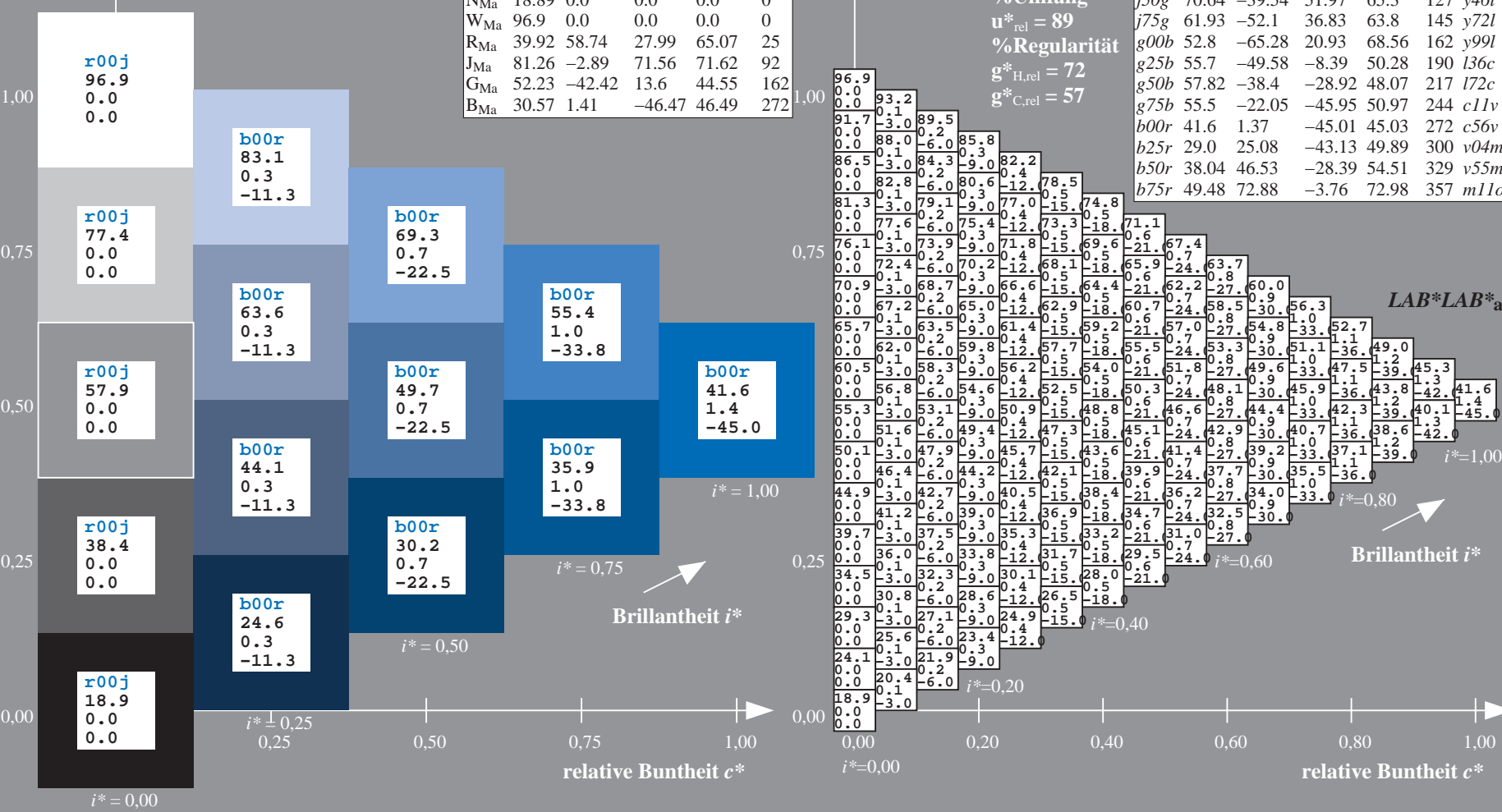
$g^*_{H,rel} = 72$

$g^*_{C,rel} = 57$

ORS19_96a; adaptierte CIELAB-Daten

u^*_e	$L^*=L^*_a$	a^*_a	b^*_a	$C^*_{ab,a}$	$h^*_{ab,a}$	u^*_d
r00j	48.88	66.47	31.67	73.63	25	m84o
r25j	55.85	52.39	47.48	70.7	42	o17y
r50j	65.45	35.22	58.37	68.17	59	o42y
r75j	75.19	17.82	69.41	71.66	76	o67y
j00g	87.03	-3.35	82.83	82.9	92	o92y
j25g	80.72	-25.01	69.5	73.86	110	y20l
j50g	70.64	-39.54	51.97	65.3	127	y46l
j75g	61.93	-52.1	36.83	63.8	145	y72l
g00b	52.8	-65.28	20.93	68.56	162	y99l
g25b	55.7	-49.58	-8.39	50.28	190	l36c
g50b	57.82	-38.4	-28.92	48.07	217	l72c
g75b	55.5	-22.05	-45.95	50.97	244	c11v
b00r	41.6	1.37	-45.01	45.03	272	c56v
b25r	29.0	25.08	-43.13	49.89	300	v04m
b50r	38.04	46.53	-28.39	54.51	329	v55m
b75r	49.48	72.88	-3.76	72.98	357	m11o

$u^*_e = b00r$
 $LAB^*LAB^*_{Ma}$



Ein und Ausgabe: Farbmetrisches Drucker-Reflektiv-System ORS19_96a für relativen CIELAB-Buntton $h^* = lab^*h^* = h_{ab}/360 = 0.834$

Daten für jede Farbe:

lab^*ch^* und lab^*icu^*

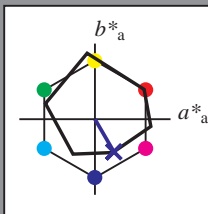
Bunttontexte:

$u^*_e = b25r$ $u^*_d = v04m$

Kontrastreduzierungsfaktor:

$c_R = 1.0$

Dreiecks-Helligkeit i^*



ORS19_96a; adaptierte CIELAB-Daten

u^*_e	$L^*=L^*_a$	a^*_a	b^*_a	$C^*_{ab,a}$	$h^*_{ab,a}$
O _{Ma}	48.75	65.07	39.43	76.08	31
Y _{Ma}	90.92	-10.29	87.24	87.85	97
L _{Ma}	52.69	-65.44	20.75	68.65	162
C _{Ma}	59.61	-28.98	-46.22	54.56	238
V _{Ma}	28.39	23.63	-44.13	50.06	298
M _{Ma}	49.58	73.93	-9.56	74.55	353
N _{Ma}	18.89	0.0	0.0	0.0	0
W _{Ma}	96.9	0.0	0.0	0.0	0
R _{Ma}	39.92	58.74	27.99	65.07	25
J _{Ma}	81.26	-2.89	71.56	71.62	92
G _{Ma}	52.23	-42.42	13.6	44.55	162
B _{Ma}	30.57	1.41	-46.47	46.49	272

Daten für Maximalfarbe (Ma):

$LAB^*LAB^*_{Ma}$: 29 25 -43

$LAB^*LCH^*_{Ma}$: 29 50 300

$lab^*rgb^*_{Ma}$: 0.5 0.0 1.0

$lab^*olv^*_{Ma}$: 0.04 0.0 1.0

Dreiecks-Helligkeit i^*

%Umfang

$u^*_{rel} = 89$

%Regularität

$g^*_{H,rel} = 72$

$g^*_{C,rel} = 57$

ORS19_96a; adaptierte CIELAB-Daten

u^*_e	$L^*=L^*_a$	a^*_a	b^*_a	$C^*_{ab,a}$	$h^*_{ab,a}$	u^*_d
r00j	48.88	66.47	31.67	73.63	25	m84o
r25j	55.85	52.39	47.48	70.7	42	o17y
r50j	65.45	35.22	58.37	68.17	59	o42y
r75j	75.19	17.82	69.41	71.66	76	o67y
j00g	87.03	-3.35	82.83	82.9	92	o92y
j25g	80.72	-25.01	69.5	73.86	110	y20l
j50g	70.64	-39.54	51.97	65.3	127	y46l
j75g	61.93	-52.1	36.83	63.8	145	y72l
g00b	52.8	-65.28	20.93	68.56	162	y99l
g25b	55.7	-49.58	-8.39	50.28	190	l36c
g50b	57.82	-38.4	-28.92	48.07	217	l72c
g75b	55.5	-22.05	-45.95	50.97	244	c11v
b00r	41.6	1.37	-45.01	45.03	272	c56v
b25r	29.0	25.08	-43.13	49.89	300	v04m
b50r	38.04	46.53	-28.39	54.51	329	v55m
b75r	49.48	72.88	-3.76	72.98	357	m11o

$LAB^*LAB^*_{a}$

$i^* = 1.00$

Brillantheit i^*

$i^* = 0.80$

$i^* = 0.60$

$i^* = 0.40$

$i^* = 0.20$

relative Buntheit c^*

relative Buntheit c^*

Ein und Ausgabe: Farbmetrisches Drucker-Reflektiv-System ORS19_96a für relativen CIELAB-Buntton $h^* = lab^*h^* = h_{ab}/360 = 0.913$

Daten für jede Farbe:

lab^*ch^* und lab^*icu^*

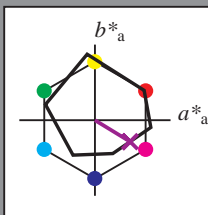
Bunttontexte:

$u^*_e = b50r$ $u^*_d = v55m$

Kontrastreduzierungsfaktor:

$c_R = 1.0$

Dreiecks-Helligkeit i^*



ORS19_96a; adaptierte CIELAB-Daten

	u^*_e	$L^*=L^*_a$	a^*_a	b^*_a	$C^*_{ab,a}$	$h^*_{ab,a}$
O _{Ma}	48.75	65.07	39.43	76.08	31	
Y _{Ma}	90.92	-10.29	87.24	87.85	97	
L _{Ma}	52.69	-65.44	20.75	68.65	162	
C _{Ma}	59.61	-28.98	-46.22	54.56	238	
V _{Ma}	28.39	23.63	-44.13	50.06	298	
M _{Ma}	49.58	73.93	-9.56	74.55	353	
N _{Ma}	18.89	0.0	0.0	0.0	0	
W _{Ma}	96.9	0.0	0.0	0.0	0	
R _{Ma}	39.92	58.74	27.99	65.07	25	
J _{Ma}	81.26	-2.89	71.56	71.62	92	
G _{Ma}	52.23	-42.42	13.6	44.55	162	
B _{Ma}	30.57	1.41	-46.47	46.49	272	

Daten für Maximalfarbe (Ma):

$LAB^*LAB^*_{Ma}$: 38 47 -28

$LAB^*LCH^*_{Ma}$: 38 55 328

$lab^*rgb^*_{Ma}$: 1.0 0.0 1.0

$lab^*olv^*_{Ma}$: 0.56 0.0 1.0

Dreiecks-Helligkeit i^*

%Umfang

$u^*_{rel} = 89$

%Regularität

$g^*_{H,rel} = 72$

$g^*_{C,rel} = 57$

ORS19_96a; adaptierte CIELAB-Daten

	u^*_e	$L^*=L^*_a$	a^*_a	b^*_a	$C^*_{ab,a}$	$h^*_{ab,a}$	u^*_d
r00j	48.88	66.47	31.67	73.63	25	m84o	
r25j	55.85	52.39	47.48	70.7	42	o17y	
r50j	65.45	35.22	58.37	68.17	59	o42y	
r75j	75.19	17.82	69.41	71.66	76	o67y	
j00g	87.03	-3.35	82.83	82.9	92	o92y	
j25g	80.72	-25.01	69.5	73.86	110	y20l	
j50g	70.64	-39.54	51.97	65.3	127	y46l	
j75g	61.93	-52.1	36.83	63.8	145	y72l	
g00b	52.8	-65.28	20.93	68.56	162	y99l	
g25b	55.7	-49.58	-8.39	50.28	190	l36c	
g50b	57.82	-38.4	-28.92	48.07	217	l72c	
g75b	55.5	-22.05	-45.95	50.97	244	c11v	
b00r	41.6	1.37	-45.01	45.03	272	c56v	
b25r	29.0	25.08	-43.13	49.89	300	v04m	
b50r	38.04	46.53	-28.39	54.51	329	v55m	
b75r	49.48	72.88	-3.76	72.98	357	m11o	

$LAB^*LAB^*_{a}$

$i^* = 1.00$

Brillantheit i^*

$i^* = 0.80$

$i^* = 0.60$

$i^* = 0.40$

$i^* = 0.20$

Ein und Ausgabe: Farbmetrisches Drucker-Reflektiv-System ORS19_96a für relativen CIELAB-Buntton $h^* = \text{lab}^*h^* = h_{ab}/360 = 0.992$

Daten für jede Farbe:

lab^*ch^* und lab^*icu^*

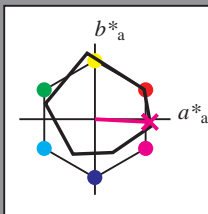
Bunttontexte:

$u^*_e = b75r$ $u^*_d = m11o$

Kontrastreduzierungsfaktor:

$c_R = 1.0$

Dreiecks-Helligkeit i^*



ORS19_96a; adaptierte CIELAB-Daten

u^*_e	$L^*=L^*_a$	a^*_a	b^*_a	$C^*_{ab,a}$	$h^*_{ab,a}$
O _{Ma}	48.75	65.07	39.43	76.08	31
Y _{Ma}	90.92	-10.29	87.24	87.85	97
L _{Ma}	52.69	-65.44	20.75	68.65	162
C _{Ma}	59.61	-28.98	-46.22	54.56	238
V _{Ma}	28.39	23.63	-44.13	50.06	298
M _{Ma}	49.58	73.93	-9.56	74.55	353
N _{Ma}	18.89	0.0	0.0	0.0	0
W _{Ma}	96.9	0.0	0.0	0.0	0
R _{Ma}	39.92	58.74	27.99	65.07	25
J _{Ma}	81.26	-2.89	71.56	71.62	92
G _{Ma}	52.23	-42.42	13.6	44.55	162
B _{Ma}	30.57	1.41	-46.47	46.49	272

Daten für Maximalfarbe (Ma):

$\text{LAB}^*\text{LAB}^*_{Ma}$: 49 73 -4

$\text{LAB}^*\text{LCH}^*_{Ma}$: 49 73 357

$\text{lab}^*\text{rgb}^*_{Ma}$: 1.0 0.0 0.5

$\text{lab}^*\text{olv}^*_{Ma}$: 1.0 0.0 0.89

Dreiecks-Helligkeit i^*

%Umfang

$u^*_{rel} = 89$

%Regularität

$g^*_{H,rel} = 72$

$g^*_{C,rel} = 57$

ORS19_96a; adaptierte CIELAB-Daten

u^*_e	$L^*=L^*_a$	a^*_a	b^*_a	$C^*_{ab,a}$	$h^*_{ab,a}$	u^*_d
r00j	48.88	66.47	31.67	73.63	25	m84o
r25j	55.85	52.39	47.48	70.7	42	o17y
r50j	65.45	35.22	58.37	68.17	59	o42y
r75j	75.19	17.82	69.41	71.66	76	o67y
j00g	87.03	-3.35	82.83	82.9	92	o92y
j25g	80.72	-25.01	69.5	73.86	110	y20l
j50g	70.64	-39.54	51.97	65.3	127	y46l
j75g	61.93	-52.1	36.83	63.8	145	y72l
g00b	52.8	-65.28	20.93	68.56	162	y99l
g25b	55.7	-49.58	-8.39	50.28	190	l36c
g50b	57.82	-38.4	-28.92	48.07	217	l72c
g75b	55.5	-22.05	-45.95	50.97	244	c11v
b00r	41.6	1.37	-45.01	45.03	272	c56v
b25r	29.0	25.08	-43.13	49.89	300	v04m
b50r	38.04	46.53	-28.39	54.51	329	v55m
b75r	49.48	72.88	-3.76	72.98	357	m11o

$\text{LAB}^*\text{LAB}^*_a$

$i^* = 1.00$

Brillantheit i^*

$i^* = 0.80$

$i^* = 0.60$

$i^* = 0.40$

$i^* = 0.20$

Siehe ähnliche Dateien: <http://www.ps.bam.de/Eg38/>; www.ps.bam.de/Eg38/
Technische Information: [http://www.ps.bam.de/Version 2.1, io=1.1, ColSp=1](http://www.ps.bam.de/Version%202.1,%20io=1.1,%20ColSp=1)

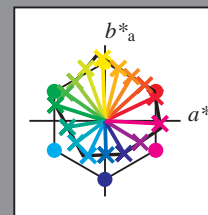
	A	B	C	D	E	F	G	H	I	J	K	L	M	N	O	P	Q	R	S	T	U	V	W	X	Y	Z	a	b	c	d	e	f	g	h	i	j	k	LAB*LAB*a				
01	18.9	23.1	27.3	31.6	35.8	40.0	44.2	48.5	52.7	56.9	61.1	65.3	69.5	73.7	77.9	82.1	86.3	90.5	94.7	98.9	103.1	107.3	111.5	115.7	119.9	124.1	128.3	132.5	136.7	140.9	145.1	149.3	153.5	157.7	161.9	166.1	170.3	174.5	178.7	182.9		
02	0.0	2.6	5.2	7.8	10.4	13.0	15.6	18.2	20.7	23.3	25.9	28.5	31.1	33.7	36.3	38.9	41.5	44.1	46.7	49.3	51.9	54.5	57.1	59.7	62.3	64.9	67.5	70.1	72.7	75.3	77.9	80.5	83.1	85.7	88.3	90.9	93.5	96.1	98.7	101.3		
03	3.0	-3.6	-11.3	-18.9	-26.7	-34.4	-42.2	-50.0	-57.8	-65.6	-73.4	-81.2	-89.0	-96.8	-104.6	-112.4	-120.2	-128.0	-135.8	-143.6	-151.4	-159.2	-167.0	-174.8	-182.6	-190.4	-198.2	-206.0	-213.8	-221.6	-229.4	-237.2	-245.0	-252.8	-260.6	-268.4	-276.2	-284.0	-291.8	-300.0		
04	-5.0	-5.8	-4.1	-2.5	-0.6	1.5	3.7	6.0	8.4	1.2	0.0	2.6	5.2	7.8	10.4	13.0	15.6	18.2	20.7	23.3	25.9	28.5	31.1	33.7	36.3	38.9	41.5	44.1	46.7	49.3	51.9	54.5	57.1	59.7	62.3	64.9	67.5	70.1	72.7	75.3	77.9	
05	21.3	25.0	29.1	33.3	37.7	42.1	46.4	50.7	55.0	59.3	63.6	67.9	72.2	76.5	80.8	85.1	89.4	93.7	98.0	102.3	106.6	110.9	115.2	119.5	123.8	128.1	132.4	136.7	141.0	145.3	149.6	153.9	158.2	162.5	166.8	171.1	175.4	179.7	184.0	188.3	192.6	
06	5.9	-0.4	-7.2	-15.0	-22.6	-30.2	-37.9	-45.6	-53.3	-61.0	-68.7	-76.4	-84.1	-91.8	-99.5	-107.2	-114.9	-122.6	-130.3	-138.0	-145.7	-153.4	-161.1	-168.8	-176.5	-184.2	-191.9	-199.6	-207.3	-215.0	-222.7	-230.4	-238.1	-245.8	-253.5	-261.2	-268.9	-276.6	-284.3	-292.0		
07	-11.0	-11.3	-11.6	-9.7	-8.3	-6.7	-5.0	-3.2	-1.2	-0.6	-0.5	-0.4	-0.3	-0.2	-0.1	0.0	0.1	0.2	0.3	0.4	0.5	0.6	0.7	0.8	0.9	1.0	1.1	1.2	1.3	1.4	1.5	1.6	1.7	1.8	1.9	2.0	2.1	2.2	2.3	2.4		
08	22.5	26.3	29.9	34.2	38.4	42.7	47.1	51.5	55.8	60.2	64.5	68.9	73.2	77.6	81.9	86.3	90.6	95.0	99.3	103.7	108.0	112.4	116.7	121.1	125.4	129.8	134.1	138.5	142.8	147.2	151.5	155.9	160.2	164.6	168.9	173.3	177.6	182.0	186.3	190.7	195.0	
09	8.9	2.4	-3.6	-10.9	-18.8	-26.3	-33.8	-41.4	-49.1	-56.8	-64.4	-72.0	-79.6	-87.2	-94.8	-102.4	-110.0	-117.6	-125.2	-132.8	-140.4	-148.0	-155.6	-163.2	-170.8	-178.4	-186.0	-193.6	-201.2	-208.8	-216.4	-224.0	-231.6	-239.2	-246.8	-254.4	-262.0	-269.6	-277.2	-284.8		
10	-16.5	-16.8	-17.0	-17.3	-15.2	-13.8	-12.4	-10.9	-9.3	-7.7	-6.1	-4.5	-2.9	-1.3	0.3	1.9	3.5	5.1	6.7	8.3	9.9	11.5	13.1	14.7	16.3	17.9	19.5	21.1	22.7	24.3	25.9	27.5	29.1	30.7	32.3	33.9	35.5	37.1	38.7	40.3	41.9	
11	23.6	27.6	31.1	34.8	39.2	43.5	47.8	52.2	56.5	60.8	65.2	69.5	73.8	78.2	82.5	86.9	91.2	95.6	99.9	104.3	108.6	113.0	117.3	121.7	126.0	130.4	134.7	139.1	143.4	147.8	152.1	156.5	160.8	165.2	169.5	173.9	178.2	182.6	186.9	191.3	195.6	
12	11.8	5.2	-0.8	-7.0	-14.5	-22.5	-30.1	-37.6	-45.1	-52.6	-60.1	-67.6	-75.1	-82.6	-90.1	-97.6	-105.1	-112.6	-120.1	-127.6	-135.1	-142.6	-150.1	-157.6	-165.1	-172.6	-180.1	-187.6	-195.1	-202.6	-210.1	-217.6	-225.1	-232.6	-240.1	-247.6	-255.1	-262.6	-270.1	-277.6		
13	-22.1	-22.3	-22.6	-22.8	-23.1	-20.8	-19.3	-18.0	-16.6	-15.2	-13.8	-12.4	-11.0	-9.6	-8.2	-6.8	-5.4	-4.0	-2.6	-1.2	0.2	1.6	3.0	4.4	5.8	7.2	8.6	10.0	11.4	12.8	14.2	15.6	17.0	18.4	19.8	21.2	22.6	24.0	25.4	26.8	28.2	
14	24.8	28.8	32.4	35.9	39.8	44.3	48.6	52.9	57.3	61.6	65.9	70.2	74.5	78.8	83.1	87.4	91.7	96.0	100.3	104.6	108.9	113.2	117.5	121.8	126.1	130.4	134.7	139.0	143.3	147.6	151.9	156.2	160.5	164.8	169.1	173.4	177.7	182.0	186.3	190.6	194.9	199.2
15	14.8	8.0	2.0	-4.0	-10.4	-16.2	-22.3	-28.4	-34.5	-40.6	-46.7	-52.8	-58.9	-64.9	-71.0	-77.1	-83.2	-89.3	-95.4	-101.5	-107.6	-113.7	-119.8	-125.9	-132.0	-138.1	-144.2	-150.3	-156.4	-162.5	-168.6	-174.7	-180.8	-186.9	-193.0	-199.1	-205.2	-211.3	-217.4	-223.5	-229.6	
16	-27.6	-27.8	-28.1	-28.4	-28.6	-28.9	-26.5	-24.9	-23.5	-22.1	-20.7	-19.3	-17.9	-16.5	-15.1	-13.7	-12.3	-10.9	-9.5	-8.1	-6.7	-5.3	-3.9	-2.5	-1.1	0.3	1.7	3.1	4.5	5.9	7.3	8.7	10.1	11.5	12.9	14.3	15.7	17.1	18.5	19.9	21.3	
17	30.0	30.1	33.7	37.2	40.8	44.4	48.0	51.6	55.2	58.8	62.4	66.0	69.6	73.2	76.8	80.4	84.0	87.6	91.2	94.8	98.4	102.0	105.6	109.2	112.8	116.4	120.0	123.6	127.2	130.8	134.4	138.0	141.6	145.2	148.8	152.4	156.0	159.6	163.2	166.8	170.4	
18	-13.1	-33.4	-33.6	-33.8	-34.1	-34.4	-34.7	-32.2	-30.5	-29.7	-27.8	-26.8	-25.8	-24.8	-23.8	-22.8	-21.8	-20.8	-19.8	-18.8	-17.8	-16.8	-15.8	-14.8	-13.8	-12.8	-11.8	-10.8	-9.8	-8.8	-7.8	-6.8	-5.8	-4.8	-3.8	-2.8	-1.8	-0.8	0.2	1.2		
19	27.2	31.3	35.0	38.5	42.1	45.8	49.4	53.0	56.7	60.3	63.9	67.5	71.1	74.7	78.3	81.9	85.5	89.1	92.7	96.3	99.9	103.5	107.1	110.7	114.3	117.9	121.5	125.1	128.7	132.3	135.9	139.5	143.1	146.7	150.3	153.9	157.5	161.1	164.7	168.3	171.9	
20	20.7	13.8	7.6	1.6	-4.3	-10.6	-17.4	-25.4	-33.8	-42.6	-51.8	-61.0	-70.2	-79.4	-88.6	-97.8	-107.0	-116.2	-125.4	-134.6	-143.8	-153.0	-162.2	-171.4	-180.6	-189.8	-199.0	-208.2	-217.4	-226.6	-235.8	-245.0	-254.2	-263.4	-272.6	-281.8	-291.0	-300.2	-309.4	-318.6	-327.8	
21	-38.6	-38.9	-39.1	-39.4	-39.6	-39.9	-40.1	-40.4	-37.9	-35.3	-33.3	-31.3	-29.3	-27.3	-25.3	-23.3	-21.3	-19.3	-17.3	-15.3	-13.3	-11.3	-9.3	-7.3	-5.3	-3.3	-1.3	0.7	2.1	3.5	4.9	6.3	7.7	9.1	10.5	11.9	13.3	14.7	16.1	17.5	18.9	
22	28.4	32.5	36.2	39.8	43.3	46.9	50.7	54.9	59.6	64.3	69.0	73.7	78.4	83.1	87.8	92.5	97.2	101.9	106.6	111.3	116.0	120.7	125.4	130.1	134.8	139.5	144.2	148.9	153.6	158.3	163.0	167.7	172.4	177.1	181.8	186.5	191.2	195.9	200.6	205.3	210.0	
23	3.6	16.7	10.4	4.4	-1.5	-7.6	-14.0	-21.0	-29.0	-38.5	-48.4	-58.7	-69.0	-79.3	-89.6	-99.9	-110.2	-120.5	-130.8	-141.1	-151.4	-161.7	-172.0	-182.3	-192.6	-202.9	-213.2	-223.5	-233.8	-244.1	-254.4	-264.7	-275.0	-285.3	-295.6	-305.9	-316.2	-326.5	-336.8	-347.1	-357.4	
24	-44.1	-44.4	-44.7	-44.9	-45.1	-45.4	-45.6	-45.9	-46.2	-46.5	-46.8	-46.8	-46.8	-46.8	-46.8	-46.8	-46.8	-46.8	-46.8	-46.8	-46.8	-46.8	-46.8	-46.8	-46.8	-46.8	-46.8	-46.8	-46.8	-46.8	-46.8	-46.8	-46.8	-46.8	-46.8	-46.8	-46.8	-46.8	-46.8	-46.8		
25	30.1	35.1	39.8	45.9	48.7	52.6	56.8	61.1	65.4	69.8	74.2	78.6	83.0	87.4	91.8	96.2	100.6	105.0	109.4	113.8	118.2	122.6	127.0	131.4	135.8	140.2	144.6	149.0	153.4	157.8	162.2	166.6	171.0	175.4	179.8	184.2	188.6	193.0	197.4	201.8	206.2	
26	24.4	15.4	7.0	-3.9	-14.1	-22.7	-30.9	-39.1	-47.3	-55.5	-63.7	-71.9	-80.1	-88.3	-96.5	-104.7	-112.9	-121.1	-129.3	-137.5	-145.7	-153.9	-162.1	-170.3	-178.5	-186.7	-194.9	-203.1	-211.3	-219.5	-227.7	-235.9	-244.1	-252.3	-260.5	-268.7	-276.9	-285.1	-293.3	-301.5	-309.7	
27	14.8	20.5	25.8	32.7	32.9	34.9	37.4	40.1	42.8	45.6	48.4	51.2	54.0	56.8	59.6	62.4	65.2	68.0	70.8	73.6	76.4	79.2	82.0	84.8	87.6	90.4	93.2	96.0	98.8	101.6	104.4	107.2	110.0	112.8	115.6	118.4	121.2	124.0	126.8	129.6	132.4	
28	2.0	3.6	1.1	4.0	4.6	4.9	4.8	4.6	4.3	3.9	3.5	3.1	2.7	2.3	1.9	1.5	1.1	0.7	0.3	-0.1	-0.5	-0.9	-1.3	-1.7	-2.1	-2.5	-2.9	-3.3	-3.7	-4.1	-4.5	-4.9	-5.3	-5.7	-6.1	-6.5	-6.9	-7.3	-7.7	-8.1		
29	2.5	9.9	15.4	21.8	28.2	25.0	27.0	30.3	33.1	33.3	34.0	34.8	35.6	36.4	37.2	38.0	38.8	39.6	40.4	41.2	42.0	42.8	43.6	44.4	45.2	46.0	46.8	47.6	48.4	49.2	50.0	50.8	51.6	52.4	53.2	54.0	54.8	55.6	56.4	57.2	58.0	
30	3.3	36.2	42.1	47.4	51.0	55.3	59.6	63.9	68.2	72.4	76.7	80.9	85.2	89.5	93.8	98.1	102.4	106.7	111.0	115.3	119.6	123.9	128.2	132.5	136.8	141.1	145.4	149.7	154.0	158.3	162.6	166.9	171.2	175.5	179.8	184.1	188.4	192.7	197.0	201.3	205.6	
31	26.6	17.4	8.1	-1.3	-10.3	-18.4	-26.5	-34.6	-42.7	-50.8	-58.9	-67.0	-75.1	-83.2	-91.3	-99.4	-107.5	-115.6	-123.7	-131.8	-139.9	-148.0	-156.1	-164.2	-172.3	-180.4	-188.5	-196.6	-204.7	-212.8	-220.9	-229.0	-237.1	-245								

Ein und Ausgabe:
Farbmetrisches Drucker-Reflektiv-System ORS19_96a
Daten für jede Farbe:

u^*_e und Nummer $Nr.$ = 00 .. 15
Elementar-Bunttontext:
 $u^*_e = 16$ Bunttoene $r00j, r25j, \dots, b75r$
Kontrastreduzierungsfaktor:
 $c_R = 1.0$

ORS19_96a; adaptierte CIELAB-Daten

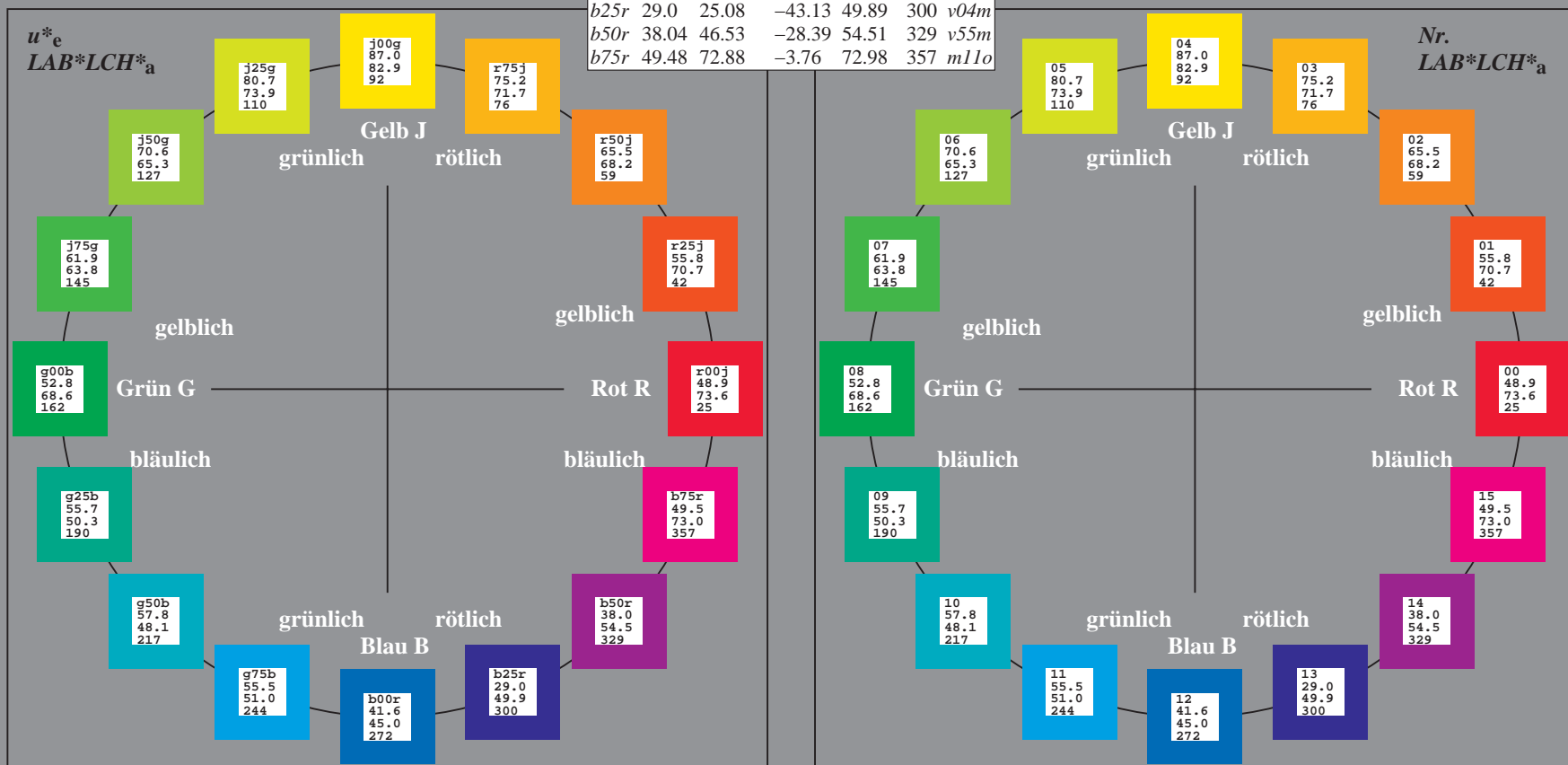
u^*_e	$L^*=L^*_a$	a^*_a	b^*_a	$C^*_{ab,a}$	$h^*_{ab,a}$	u^*_d
$r00j$	48.88	66.47	31.67	73.63	25	$m84o$
$r25j$	55.85	52.39	47.48	70.7	42	$o17y$
$r50j$	65.45	35.22	58.37	68.17	59	$o42y$
$r75j$	75.19	17.82	69.41	71.66	76	$o67y$
$j00g$	87.03	-3.35	82.83	82.9	92	$o92y$
$j25g$	80.72	-25.01	69.5	73.86	110	$y20l$
$j50g$	70.64	-39.54	51.97	65.3	127	$y46l$
$j75g$	61.93	-52.1	36.83	63.8	145	$y72l$
$g00b$	52.8	-65.28	20.93	68.56	162	$y99l$
$g25b$	55.7	-49.58	-8.39	50.28	190	$l36c$
$g50b$	57.82	-38.4	-28.92	48.07	217	$l72c$
$g75b$	55.5	-22.05	-45.95	50.97	244	$c11v$
$b00r$	41.6	1.37	-45.01	45.03	272	$c56v$
$b25r$	29.0	25.08	-43.13	49.89	300	$v04m$
$b50r$	38.04	46.53	-28.39	54.51	329	$v55m$
$b75r$	49.48	72.88	-3.76	72.98	357	$m11o$



%Umfang
 $u^*_{rel} = 89$
%Regularität
 $g^*_{H,rel} = 72$
 $g^*_{C,rel} = 57$

ORS19_96a; adaptierte CIELAB-Daten

Name	$L^*=L^*_a$	a^*_a	b^*_a	$C^*_{ab,a}$	$h^*_{ab,a}$
O _{Ma}	48.75	65.07	39.43	76.08	31
Y _{Ma}	90.92	-10.29	87.24	87.85	97
L _{Ma}	52.69	-65.44	20.75	68.65	162
C _{Ma}	59.61	-28.98	-46.22	54.56	238
V _{Ma}	28.39	23.63	-44.13	50.06	298
M _{Ma}	49.58	73.93	-9.56	74.55	353
N _{Ma}	18.89	0.0	0.0	0.0	0
W _{Ma}	96.9	0.0	0.0	0.0	0
R _{CIE}	39.92	58.74	27.99	65.07	25
J _{CIE}	81.26	-2.89	71.56	71.62	92
G _{CIE}	52.23	-42.42	13.6	44.55	162
B _{CIE}	30.57	1.41	-46.47	46.49	272



Ein und Ausgabe: Farbmetrisches Drucker-Reflektiv-System ORS19_96a für relativen CIELAB-Buntton $h^* = lab^*h^* = h_{ab}/360 = 0.071$

Daten für jede Farbe:

lab^*tch^* und lab^*icu^*

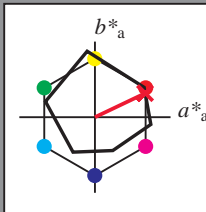
Bunttontexte:

$u^*_e = r00j$ $u^*_d = m84o$

Kontrastreduzierungsfaktor:

$c_R = 1.0$

Dreiecks-Helligkeit i^*



ORS19_96a; adaptierte CIELAB-Daten						
u^*_e	$L^*=L^*_a$	a^*_a	b^*_a	$C^*_{ab,a}$	$h^*_{ab,a}$	u^*_d
O _{Ma}	48.75	65.07	39.43	76.08	31	
Y _{Ma}	90.92	-10.29	87.24	87.85	97	
L _{Ma}	52.69	-65.44	20.75	68.65	162	
C _{Ma}	59.61	-28.98	-46.22	54.56	238	
V _{Ma}	28.39	23.63	-44.13	50.06	298	
M _{Ma}	49.58	73.93	-9.56	74.55	353	
N _{Ma}	18.89	0.0	0.0	0.0	0	
W _{Ma}	96.9	0.0	0.0	0.0	0	
R _{Ma}	39.92	58.74	27.99	65.07	25	
J _{Ma}	81.26	-2.89	71.56	71.62	92	
G _{Ma}	52.23	-42.42	13.6	44.55	162	
B _{Ma}	30.57	1.41	-46.47	46.49	272	

Daten für Maximalfarbe (Ma):

$LAB^*LAB^*_{Ma}$: 49 66 32

$LAB^*LCH^*_{Ma}$: 49 74 25

$lab^*rgb^*_{Ma}$: 1.0 0.0 0.0

$lab^*olv^*_{Ma}$: 1.0 0.0 0.15

Dreiecks-Helligkeit i^*

%Umfang

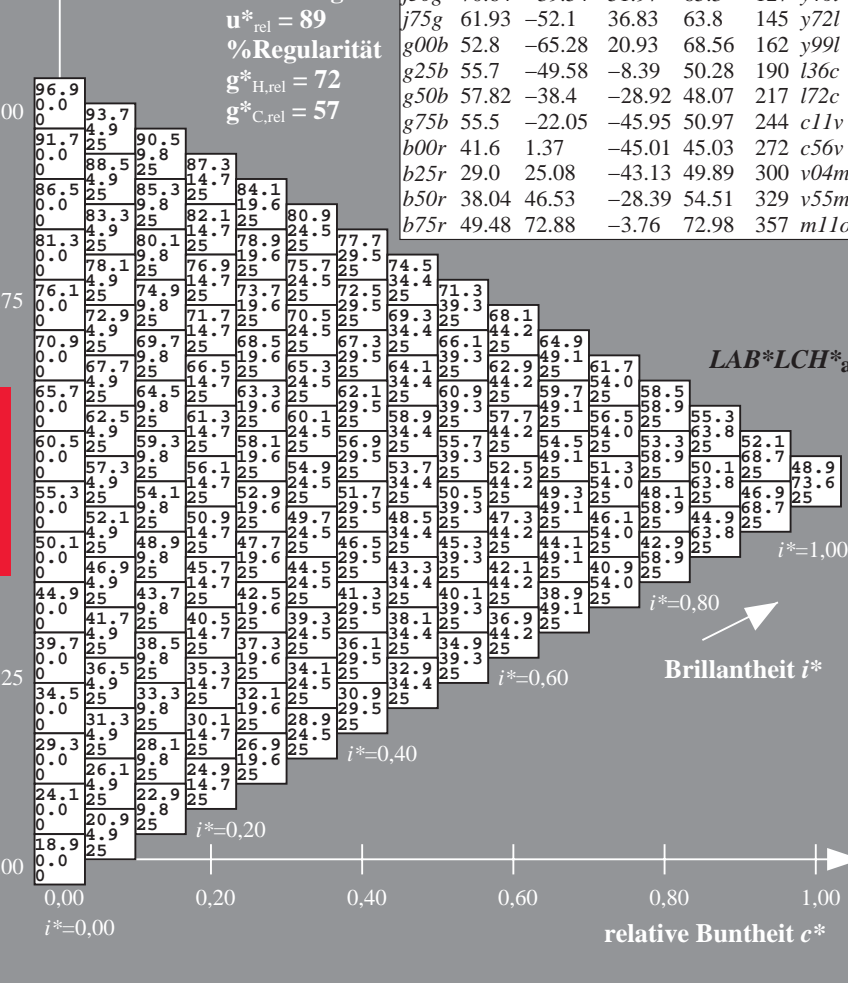
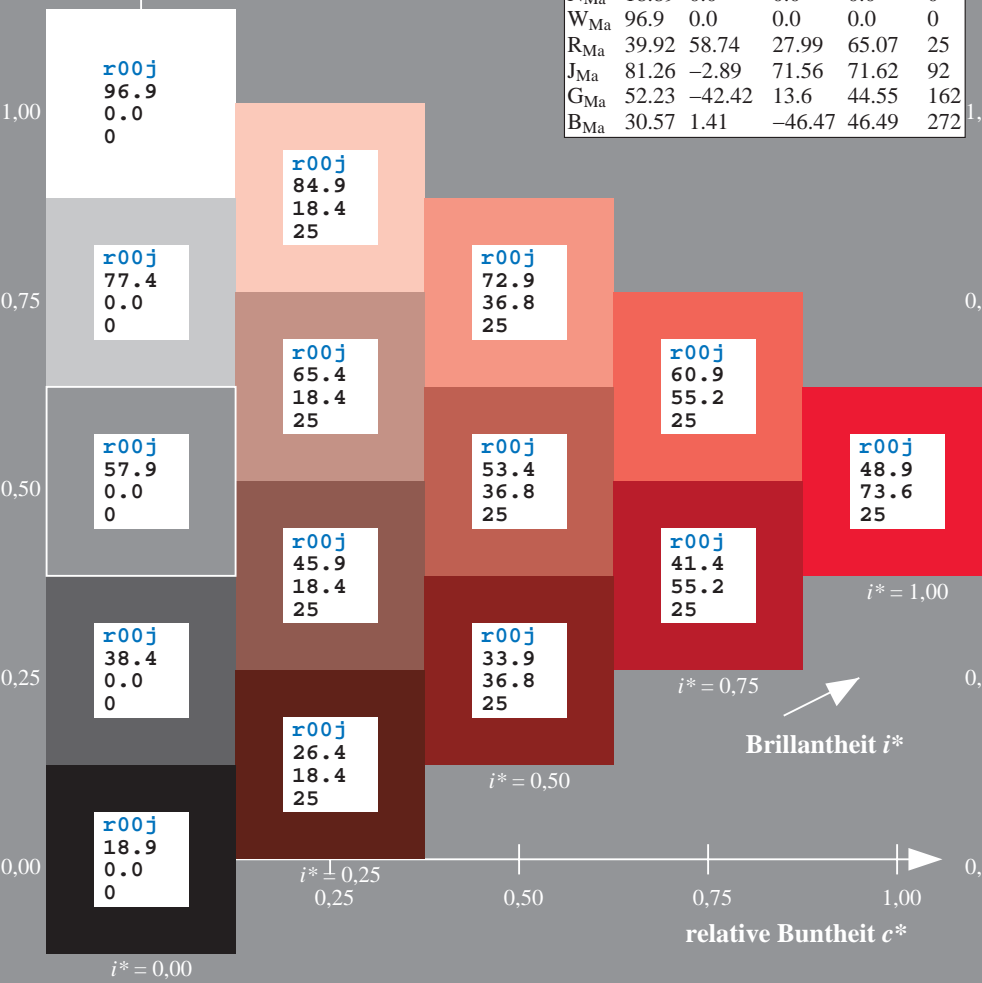
$u^*_{rel} = 89$

%Regularität

$g^*_{H,rel} = 72$

$g^*_{C,rel} = 57$

ORS19_96a; adaptierte CIELAB-Daten						
u^*_e	$L^*=L^*_a$	a^*_a	b^*_a	$C^*_{ab,a}$	$h^*_{ab,a}$	u^*_d
r00j	48.88	66.47	31.67	73.63	25	m84o
r25j	55.85	52.39	47.48	70.7	42	o17y
r50j	65.45	35.22	58.37	68.17	59	o42y
r75j	75.19	17.82	69.41	71.66	76	o67y
j00g	87.03	-3.35	82.83	82.9	92	o92y
j25g	80.72	-25.01	69.5	73.86	110	y20l
j50g	70.64	-39.54	51.97	65.3	127	y46l
j75g	61.93	-52.1	36.83	63.8	145	y72l
g00b	52.8	-65.28	20.93	68.56	162	y99l
g25b	55.7	-49.58	-8.39	50.28	190	l36c
g50b	57.82	-38.4	-28.92	48.07	217	l72c
g75b	55.5	-22.05	-45.95	50.97	244	c11v
b00r	41.6	1.37	-45.01	45.03	272	c56v
b25r	29.0	25.08	-43.13	49.89	300	v04m
b50r	38.04	46.53	-28.39	54.51	329	v55m
b75r	49.48	72.88	-3.76	72.98	357	m11o



Ein und Ausgabe: Farbmetrisches Drucker-Reflektiv-System ORS19_96a für relativen CIELAB-Buntton $h^* = lab^*h^* = h_{ab}/360 = 0.117$

Daten für jede Farbe:

lab^*ch^* und lab^*icu^*

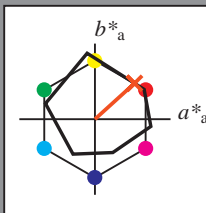
Bunttontexte:

$u^*_e = r25j$ $u^*_d = o17y$

Kontrastreduzierungsfaktor:

$c_R = 1.0$

Dreiecks-Helligkeit i^*



ORS19_96a; adaptierte CIELAB-Daten

u^*_e	$L^*=L^*_a$	a^*_a	b^*_a	$C^*_{ab,a}$	$h^*_{ab,a}$
O _{Ma}	48.75	65.07	39.43	76.08	31
Y _{Ma}	90.92	-10.29	87.24	87.85	97
L _{Ma}	52.69	-65.44	20.75	68.65	162
C _{Ma}	59.61	-28.98	-46.22	54.56	238
V _{Ma}	28.39	23.63	-44.13	50.06	298
M _{Ma}	49.58	73.93	-9.56	74.55	353
N _{Ma}	18.89	0.0	0.0	0.0	0
W _{Ma}	96.9	0.0	0.0	0.0	0
R _{Ma}	39.92	58.74	27.99	65.07	25
J _{Ma}	81.26	-2.89	71.56	71.62	92
G _{Ma}	52.23	-42.42	13.6	44.55	162
B _{Ma}	30.57	1.41	-46.47	46.49	272

Daten für Maximalfarbe (Ma):

$LAB^*LAB^*_{Ma}$: 56 52 47

$LAB^*LCH^*_{Ma}$: 56 71 42

$lab^*rgb^*_{Ma}$: 1.0 0.25 0.0

$lab^*olv^*_{Ma}$: 1.0 0.17 0.0

Dreiecks-Helligkeit i^*

%Umfang

$u^*_{rel} = 89$

%Regularität

$g^*_{H,rel} = 72$

$g^*_{C,rel} = 57$

ORS19_96a; adaptierte CIELAB-Daten

u^*_e	$L^*=L^*_a$	a^*_a	b^*_a	$C^*_{ab,a}$	$h^*_{ab,a}$	u^*_d
r00j	48.88	66.47	31.67	73.63	25	m84o
r25j	55.85	52.39	47.48	70.7	42	o17y
r50j	65.45	35.22	58.37	68.17	59	o42y
r75j	75.19	17.82	69.41	71.66	76	o67y
j00g	87.03	-3.35	82.83	82.9	92	o92y
j25g	80.72	-25.01	69.5	73.86	110	y20l
j50g	70.64	-39.54	51.97	65.3	127	y46l
j75g	61.93	-52.1	36.83	63.8	145	y72l
g00b	52.8	-65.28	20.93	68.56	162	y99l
g25b	55.7	-49.58	-8.39	50.28	190	l36c
g50b	57.82	-38.4	-28.92	48.07	217	l72c
g75b	55.5	-22.05	-45.95	50.97	244	c11v
b00r	41.6	1.37	-45.01	45.03	272	c56v
b25r	29.0	25.08	-43.13	49.89	300	v04m
b50r	38.04	46.53	-28.39	54.51	329	v55m
b75r	49.48	72.88	-3.76	72.98	357	m11o

$LAB^*LCH^*_{a}$

$i^* = 1.00$

Brillantheit i^*

$i^* = 0.80$

$i^* = 0.60$

$i^* = 0.40$

$i^* = 0.20$

$i^* = 0.00$

relative Buntheit c^*

relative Buntheit c^*

Ein und Ausgabe: Farbmetrisches Drucker-Reflektiv-System ORS19_96a für relativen CIELAB-Buntton $h^* = lab^*h^* = h_{ab}/360 = 0.164$

Daten für jede Farbe:

lab^*ch^* und lab^*icu^*

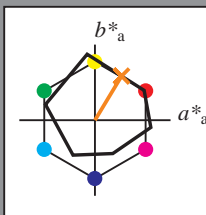
Bunttontexte:

$u^*_e = r50j$ $u^*_d = o42y$

Kontrastreduzierungsfaktor:

$c_R = 1.0$

Dreiecks-Helligkeit i^*



ORS19_96a; adaptierte CIELAB-Daten

	u^*_e	$L^*=L^*_a$	a^*_a	b^*_a	$C^*_{ab,a}$	$h^*_{ab,a}$
O _{Ma}	48.75	65.07	39.43	76.08	31	
Y _{Ma}	90.92	-10.29	87.24	87.85	97	
L _{Ma}	52.69	-65.44	20.75	68.65	162	
C _{Ma}	59.61	-28.98	-46.22	54.56	238	
V _{Ma}	28.39	23.63	-44.13	50.06	298	
M _{Ma}	49.58	73.93	-9.56	74.55	353	
N _{Ma}	18.89	0.0	0.0	0.0	0	
W _{Ma}	96.9	0.0	0.0	0.0	0	
R _{Ma}	39.92	58.74	27.99	65.07	25	
J _{Ma}	81.26	-2.89	71.56	71.62	92	
G _{Ma}	52.23	-42.42	13.6	44.55	162	
B _{Ma}	30.57	1.41	-46.47	46.49	272	

Daten für Maximalfarbe (Ma):

$LAB^*LAB^*_{Ma}$: 65 35 58

$LAB^*LCH^*_{Ma}$: 65 68 58

$lab^*rgb^*_{Ma}$: 1.0 0.5 0.0

$lab^*olv^*_{Ma}$: 1.0 0.42 0.0

Dreiecks-Helligkeit i^*

%Umfang

$u^*_{rel} = 89$

%Regularität

$g^*_{H,rel} = 72$

$g^*_{C,rel} = 57$

ORS19_96a; adaptierte CIELAB-Daten

	u^*_e	$L^*=L^*_a$	a^*_a	b^*_a	$C^*_{ab,a}$	$h^*_{ab,a}$	u^*_d
r00j	48.88	66.47	31.67	73.63	25	m84o	
r25j	55.85	52.39	47.48	70.7	42	o17y	
r50j	65.45	35.22	58.37	68.17	59	o42y	
r75j	75.19	17.82	69.41	71.66	76	o67y	
j00g	87.03	-3.35	82.83	82.9	92	o92y	
j25g	80.72	-25.01	69.5	73.86	110	y20l	
j50g	70.64	-39.54	51.97	65.3	127	y46l	
j75g	61.93	-52.1	36.83	63.8	145	y72l	
g00b	52.8	-65.28	20.93	68.56	162	y99l	
g25b	55.7	-49.58	-8.39	50.28	190	l36c	
g50b	57.82	-38.4	-28.92	48.07	217	l72c	
g75b	55.5	-22.05	-45.95	50.97	244	c11v	
b00r	41.6	1.37	-45.01	45.03	272	c56v	
b25r	29.0	25.08	-43.13	49.89	300	v04m	
b50r	38.04	46.53	-28.39	54.51	329	v55m	
b75r	49.48	72.88	-3.76	72.98	357	m11o	

$LAB^*LCH^*_{a}$

$i^*=1.00$

Brillantheit i^*

$i^*=0.80$

$i^*=0.60$

$i^*=0.40$

$i^*=0.20$

Ein und Ausgabe: Farbmetrisches Drucker-Reflektiv-System ORS19_96a für relativen CIELAB-Buntton $h^* = lab^*h^* = h_{ab}/360 = 0.21$

Daten für jede Farbe:

lab^*ch^* und lab^*icu^*

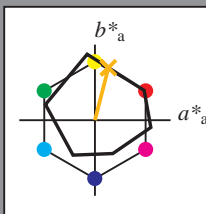
Bunttontexte:

$u^*_e = r75j$ $u^*_d = o67y$

Kontrastreduzierungsfaktor:

$c_R = 1.0$

Dreiecks-Helligkeit i^*



ORS19_96a; adaptierte CIELAB-Daten

	u^*_e	$L^*=L^*_a$	a^*_a	b^*_a	$C^*_{ab,a}$	$h^*_{ab,a}$
O _{Ma}	48.75	65.07	39.43	76.08	31	
Y _{Ma}	90.92	-10.29	87.24	87.85	97	
L _{Ma}	52.69	-65.44	20.75	68.65	162	
C _{Ma}	59.61	-28.98	-46.22	54.56	238	
V _{Ma}	28.39	23.63	-44.13	50.06	298	
M _{Ma}	49.58	73.93	-9.56	74.55	353	
N _{Ma}	18.89	0.0	0.0	0.0	0	
W _{Ma}	96.9	0.0	0.0	0.0	0	
R _{Ma}	39.92	58.74	27.99	65.07	25	
J _{Ma}	81.26	-2.89	71.56	71.62	92	
G _{Ma}	52.23	-42.42	13.6	44.55	162	
B _{Ma}	30.57	1.41	-46.47	46.49	272	

Daten für Maximalfarbe (Ma):

$LAB^*LAB^*_{Ma}$: 75 18 69

$LAB^*LCH^*_{Ma}$: 75 72 75

$lab^*rgb^*_{Ma}$: 1.0 0.75 0.0

$lab^*olv^*_{Ma}$: 1.0 0.68 0.0

Dreiecks-Helligkeit i^*

%Umfang

$u^*_{rel} = 89$

%Regularität

$g^*_{H,rel} = 72$

$g^*_{C,rel} = 57$

ORS19_96a; adaptierte CIELAB-Daten

	u^*_e	$L^*=L^*_a$	a^*_a	b^*_a	$C^*_{ab,a}$	$h^*_{ab,a}$	u^*_d
r00j	48.88	66.47	31.67	73.63	25	m84o	
r25j	55.85	52.39	47.48	70.7	42	o17y	
r50j	65.45	35.22	58.37	68.17	59	o42y	
r75j	75.19	17.82	69.41	71.66	76	o67y	
j00g	87.03	-3.35	82.83	82.9	92	o92y	
j25g	80.72	-25.01	69.5	73.86	110	y20l	
j50g	70.64	-39.54	51.97	65.3	127	y46l	
j75g	61.93	-52.1	36.83	63.8	145	y72l	
g00b	52.8	-65.28	20.93	68.56	162	y99l	
g25b	55.7	-49.58	-8.39	50.28	190	l36c	
g50b	57.82	-38.4	-28.92	48.07	217	l72c	
g75b	55.5	-22.05	-45.95	50.97	244	c11v	
b00r	41.6	1.37	-45.01	45.03	272	c56v	
b25r	29.0	25.08	-43.13	49.89	300	v04m	
b50r	38.04	46.53	-28.39	54.51	329	v55m	
b75r	49.48	72.88	-3.76	72.98	357	m11o	

$LAB^*LCH^*_{Ma}$

$i^* = 1.00$

Brillantheit i^*

$i^* = 0.80$

$i^* = 0.60$

$i^* = 0.40$

$i^* = 0.20$

Ein und Ausgabe: Farbmetrisches Drucker-Reflektiv-System ORS19_96a für relativen CIELAB-Buntton $h^* = lab^*h^* = h_{ab}/360 = 0.256$

Daten für jede Farbe:

lab^*ch^* und lab^*icu^*

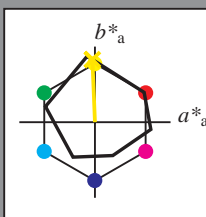
Bunttontexte:

$u^*_e = j00g$ $u^*_d = o92y$

Kontrastreduzierungsfaktor:

$c_R = 1.0$

Dreiecks-Helligkeit i^*



ORS19_96a; adaptierte CIELAB-Daten						
	u^*_e	$L^*=L^*_a$	a^*_a	b^*_a	$C^*_{ab,a}$	$h^*_{ab,a}$
O _{Ma}	48.75	65.07	39.43	76.08	31	
Y _{Ma}	90.92	-10.29	87.24	87.85	97	
L _{Ma}	52.69	-65.44	20.75	68.65	162	
C _{Ma}	59.61	-28.98	-46.22	54.56	238	
V _{Ma}	28.39	23.63	-44.13	50.06	298	
M _{Ma}	49.58	73.93	-9.56	74.55	353	
W _{Ma}	18.89	0.0	0.0	0.0	0	
N _{Ma}	96.9	0.0	0.0	0.0	0	
R _{Ma}	39.92	58.74	27.99	65.07	25	
J _{Ma}	81.26	-2.89	71.56	71.62	92	
G _{Ma}	52.23	-42.42	13.6	44.55	162	
B _{Ma}	30.57	1.41	-46.47	46.49	272	

Daten für Maximalfarbe (Ma):

$LAB^*LAB^*_{Ma}$: 87 -3 83

$LAB^*LCH^*_{Ma}$: 87 83 92

$lab^*rgb^*_{Ma}$: 1.0 1.0 0.0

$lab^*olv^*_{Ma}$: 1.0 0.93 0.0

Dreiecks-Helligkeit i^*

%Umfang

$u^*_{rel} = 89$

%Regularität

$g^*_{H,rel} = 72$

$g^*_{C,rel} = 57$

ORS19_96a; adaptierte CIELAB-Daten						
	u^*_e	$L^*=L^*_a$	a^*_a	b^*_a	$C^*_{ab,a}$	$h^*_{ab,a}$
r00j	48.88	66.47	31.67	73.63	25	m84o
r25j	55.85	52.39	47.48	70.7	42	o17y
r50j	65.45	35.22	58.37	68.17	59	o42y
r75j	75.19	17.82	69.41	71.66	76	o67y
j00g	87.03	-3.35	82.83	82.9	92	o92y
j25g	80.72	-25.01	69.5	73.86	110	y20l
j50g	70.64	-39.54	51.97	65.3	127	y46l
j75g	61.93	-52.1	36.83	63.8	145	y72l
g00b	52.8	-65.28	20.93	68.56	162	y99l
g25b	55.7	-49.58	-8.39	50.28	190	l36c
g50b	57.82	-38.4	-28.92	48.07	217	l72c
g75b	55.5	-22.05	-45.95	50.97	244	c11v
b00r	41.6	1.37	-45.01	45.03	272	c56v
b25r	29.0	25.08	-43.13	49.89	300	v04m
b50r	38.04	46.53	-28.39	54.51	329	v55m
b75r	49.48	72.88	-3.76	72.98	357	m11o

$LAB^*LCH^*_{a}$

$i^* = 1.00$

Brillantheit i^*

$i^* = 0.80$

$i^* = 0.60$

$i^* = 0.40$

$i^* = 0.20$

$i^* = 0.00$

relative Buntheit c^*

relative Buntheit c^*

Ein und Ausgabe: Farbmetrisches Drucker-Reflektiv-System ORS19_96a für relativen CIELAB-Buntton $h^* = lab^*h^* = h_{ab}/360 = 0.305$

Daten für jede Farbe:

lab^*ch^* und lab^*icu^*

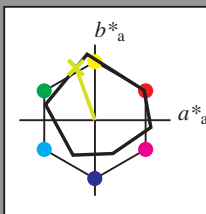
Bunttontexte:

$u^*_e = j25g$ $u^*_d = y20l$

Kontrastreduzierungsfaktor:

$c_R = 1.0$

Dreiecks-Helligkeit i^*



ORS19_96a; adaptierte CIELAB-Daten

u^*_e	$L^*=L^*_a$	a^*_a	b^*_a	$C^*_{ab,a}$	$h^*_{ab,a}$
O _{Ma}	48.75	65.07	39.43	76.08	31
Y _{Ma}	90.92	-10.29	87.24	87.85	97
L _{Ma}	52.69	-65.44	20.75	68.65	162
C _{Ma}	59.61	-28.98	-46.22	54.56	238
V _{Ma}	28.39	23.63	-44.13	50.06	298
M _{Ma}	49.58	73.93	-9.56	74.55	353
N _{Ma}	18.89	0.0	0.0	0.0	0
W _{Ma}	96.9	0.0	0.0	0.0	0
R _{Ma}	39.92	58.74	27.99	65.07	25
J _{Ma}	81.26	-2.89	71.56	71.62	92
G _{Ma}	52.23	-42.42	13.6	44.55	162
B _{Ma}	30.57	1.41	-46.47	46.49	272

Daten für Maximalfarbe (Ma):

$LAB^*LAB^*_{Ma}$: 81 -25 69

$LAB^*LCH^*_{Ma}$: 81 74 109

$lab^*rgb^*_{Ma}$: 0.75 1.0 0.0

$lab^*olv^*_{Ma}$: 0.8 1.0 0.0

Dreiecks-Helligkeit i^*

%Umfang

$u^*_{rel} = 89$

%Regularität

$g^*_{H,rel} = 72$

$g^*_{C,rel} = 57$

ORS19_96a; adaptierte CIELAB-Daten

u^*_e	$L^*=L^*_a$	a^*_a	b^*_a	$C^*_{ab,a}$	$h^*_{ab,a}$	u^*_d
r00j	48.88	66.47	31.67	73.63	25	m84o
r25j	55.85	52.39	47.48	70.7	42	o17y
r50j	65.45	35.22	58.37	68.17	59	o42y
r75j	75.19	17.82	69.41	71.66	76	o67y
j00g	87.03	-3.35	82.83	82.9	92	o92y
j25g	80.72	-25.01	69.5	73.86	110	y20l
j50g	70.64	-39.54	51.97	65.3	127	y46l
j75g	61.93	-52.1	36.83	63.8	145	y72l
g00b	52.8	-65.28	20.93	68.56	162	y99l
g25b	55.7	-49.58	-8.39	50.28	190	l36c
g50b	57.82	-38.4	-28.92	48.07	217	l72c
g75b	55.5	-22.05	-45.95	50.97	244	c11v
b00r	41.6	1.37	-45.01	45.03	272	c56v
b25r	29.0	25.08	-43.13	49.89	300	v04m
b50r	38.04	46.53	-28.39	54.51	329	v55m
b75r	49.48	72.88	-3.76	72.98	357	m11o

$LAB^*LCH^*_{Ma}$

$i^*=1.00$

Brillantheit i^*

$i^*=0.80$

$i^*=0.60$

$i^*=0.40$

$i^*=0.20$

$i^*=0.00$

Ein und Ausgabe: Farbmetrisches Drucker-Reflektiv-System ORS19_96a für relativen CIELAB-Buntton $h^* = lab^*h^* = h_{ab}/360 = 0.354$

Daten für jede Farbe:

lab^*ch^* und lab^*icu^*

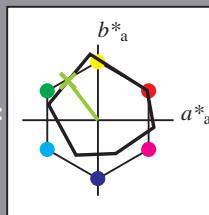
Bunttontexte:

$u^*_e = j50g$ $u^*_d = y46l$

Kontrastreduzierungsfaktor:

$c_R = 1.0$

Dreiecks-Helligkeit i^*



ORS19_96a; adaptierte CIELAB-Daten

	u^*_e	$L^*=L^*_a$	a^*_a	b^*_a	$C^*_{ab,a}$	$h^*_{ab,a}$
O _{Ma}	48.75	65.07	39.43	76.08	31	
Y _{Ma}	90.92	-10.29	87.24	87.85	97	
L _{Ma}	52.69	-65.44	20.75	68.65	162	
C _{Ma}	59.61	-28.98	-46.22	54.56	238	
V _{Ma}	28.39	23.63	-44.13	50.06	298	
M _{Ma}	49.58	73.93	-9.56	74.55	353	
N _{Ma}	18.89	0.0	0.0	0.0	0	
W _{Ma}	96.9	0.0	0.0	0.0	0	
R _{Ma}	39.92	58.74	27.99	65.07	25	
J _{Ma}	81.26	-2.89	71.56	71.62	92	
G _{Ma}	52.23	-42.42	13.6	44.55	162	
B _{Ma}	30.57	1.41	-46.47	46.49	272	

Daten für Maximalfarbe (Ma):

$LAB^*LAB^*_{Ma}$: 71 -40 52

$LAB^*LCH^*_{Ma}$: 71 65 127

$lab^*rgb^*_{Ma}$: 0.5 1.0 0.0

$lab^*olv^*_{Ma}$: 0.54 1.0 0.0

Dreiecks-Helligkeit i^*

%Umfang

$u^*_{rel} = 89$

%Regularität

$g^*_{H,rel} = 72$

$g^*_{C,rel} = 57$

ORS19_96a; adaptierte CIELAB-Daten

	u^*_e	$L^*=L^*_a$	a^*_a	b^*_a	$C^*_{ab,a}$	$h^*_{ab,a}$	u^*_d
r00j	48.88	66.47	31.67	73.63	25	m84o	
r25j	55.85	52.39	47.48	70.7	42	o17y	
r50j	65.45	35.22	58.37	68.17	59	o42y	
r75j	75.19	17.82	69.41	71.66	76	o67y	
j00g	87.03	-3.35	82.83	82.9	92	o92y	
j25g	80.72	-25.01	69.5	73.86	110	y20l	
j50g	70.64	-39.54	51.97	65.3	127	y46l	
j75g	61.93	-52.1	36.83	63.8	145	y72l	
g00b	52.8	-65.28	20.93	68.56	162	y99l	
g25b	55.7	-49.58	-8.39	50.28	190	l36c	
g50b	57.82	-38.4	-28.92	48.07	217	l72c	
g75b	55.5	-22.05	-45.95	50.97	244	c11v	
b00r	41.6	1.37	-45.01	45.03	272	c56v	
b25r	29.0	25.08	-43.13	49.89	300	v04m	
b50r	38.04	46.53	-28.39	54.51	329	v55m	
b75r	49.48	72.88	-3.76	72.98	357	m11o	

$LAB^*LCH^*_{a}$

$i^* = 1.00$

Brillantheit i^*

$i^* = 0.80$

$i^* = 0.60$

$i^* = 0.40$

$i^* = 0.20$

relative Buntheit c^*

relative Buntheit c^*

Ein und Ausgabe: Farbmetrisches Drucker-Reflektiv-System ORS19_96a für relativen CIELAB-Buntton $h^* = lab^*h^* = h_{ab}/360 = 0.402$

Daten für jede Farbe:

lab^*ch^* und lab^*icu^*

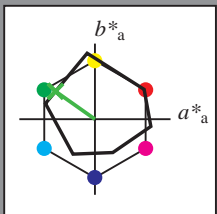
Bunttontexte:

$u^*_e = j75g$ $u^*_d = y72l$

Kontrastreduzierungsfaktor:

$c_R = 1.0$

Dreiecks-Helligkeit i^*



ORS19_96a; adaptierte CIELAB-Daten

u^*_e	$L^*=L^*_a$	a^*_a	b^*_a	$C^*_{ab,a}$	$h^*_{ab,a}$
O _{Ma}	48.75	65.07	39.43	76.08	31
Y _{Ma}	90.92	-10.29	87.24	87.85	97
L _{Ma}	52.69	-65.44	20.75	68.65	162
C _{Ma}	59.61	-28.98	-46.22	54.56	238
V _{Ma}	28.39	23.63	-44.13	50.06	298
M _{Ma}	49.58	73.93	-9.56	74.55	353
N _{Ma}	18.89	0.0	0.0	0.0	0
W _{Ma}	96.9	0.0	0.0	0.0	0
R _{Ma}	39.92	58.74	27.99	65.07	25
J _{Ma}	81.26	-2.89	71.56	71.62	92
G _{Ma}	52.23	-42.42	13.6	44.55	162
B _{Ma}	30.57	1.41	-46.47	46.49	272

Daten für Maximalfarbe (Ma):

$LAB^*LAB^*_{Ma}$: 62 -52 37

$LAB^*LCH^*_{Ma}$: 62 64 144

$lab^*rgb^*_{Ma}$: 0.25 1.0 0.0

$lab^*olv^*_{Ma}$: 0.27 1.0 0.0

Dreiecks-Helligkeit i^*

%Umfang

$u^*_{rel} = 89$

%Regularität

$g^*_{H,rel} = 72$

$g^*_{C,rel} = 57$

ORS19_96a; adaptierte CIELAB-Daten

u^*_e	$L^*=L^*_a$	a^*_a	b^*_a	$C^*_{ab,a}$	$h^*_{ab,a}$	u^*_d
r00j	48.88	66.47	31.67	73.63	25	m84o
r25j	55.85	52.39	47.48	70.7	42	o17y
r50j	65.45	35.22	58.37	68.17	59	o42y
r75j	75.19	17.82	69.41	71.66	76	o67y
j00g	87.03	-3.35	82.83	82.9	92	o92y
j25g	80.72	-25.01	69.5	73.86	110	y20l
j50g	70.64	-39.54	51.97	65.3	127	y46l
j75g	61.93	-52.1	36.83	63.8	145	y72l
g00b	52.8	-65.28	20.93	68.56	162	y99l
g25b	55.7	-49.58	-8.39	50.28	190	l36c
g50b	57.82	-38.4	-28.92	48.07	217	l72c
g75b	55.5	-22.05	-45.95	50.97	244	c11v
b00r	41.6	1.37	-45.01	45.03	272	c56v
b25r	29.0	25.08	-43.13	49.89	300	v04m
b50r	38.04	46.53	-28.39	54.51	329	v55m
b75r	49.48	72.88	-3.76	72.98	357	m11o

$LAB^*LCH^*_{Ma}$

$i^* = 1.00$

Brillantheit i^*

$i^* = 0.80$

$i^* = 0.60$

$i^* = 0.40$

$i^* = 0.20$

$i^* = 0.00$

relative Buntheit c^*

relative Buntheit c^*

Ein und Ausgabe: Farbmetrisches Drucker-Reflektiv-System ORS19_96a für relativen CIELAB-Buntton $h^* = lab^*h^* = h_{ab}/360 = 0.451$

Daten für jede Farbe:

lab^*ch^* und lab^*icu^*

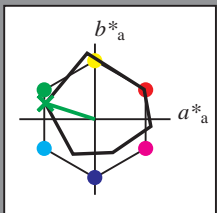
Bunttontexte:

$u^*_e = g00b$ $u^*_d = y99l$

Kontrastreduzierungsfaktor:

$c_R = 1.0$

Dreiecks-Helligkeit i^*



ORS19_96a; adaptierte CIELAB-Daten

u^*_e	$L^*=L^*_a$	a^*_a	b^*_a	$C^*_{ab,a}$	$h^*_{ab,a}$
O _{Ma}	48.75	65.07	39.43	76.08	31
Y _{Ma}	90.92	-10.29	87.24	87.85	97
L _{Ma}	52.69	-65.44	20.75	68.65	162
C _{Ma}	59.61	-28.98	-46.22	54.56	238
V _{Ma}	28.39	23.63	-44.13	50.06	298
M _{Ma}	49.58	73.93	-9.56	74.55	353
N _{Ma}	18.89	0.0	0.0	0.0	0
W _{Ma}	96.9	0.0	0.0	0.0	0
R _{Ma}	39.92	58.74	27.99	65.07	25
J _{Ma}	81.26	-2.89	71.56	71.62	92
G _{Ma}	52.23	-42.42	13.6	44.55	162
B _{Ma}	30.57	1.41	-46.47	46.49	272

Daten für Maximalfarbe (Ma):

$LAB^*LAB^*_{Ma}$: 53 -65 21

$LAB^*LCH^*_{Ma}$: 53 69 162

$lab^*rgb^*_{Ma}$: 0.0 1.0 0.0

$lab^*olv^*_{Ma}$: 0.0 1.0 0.0

Dreiecks-Helligkeit i^*

%Umfang

$u^*_{rel} = 89$

%Regularität

$g^*_{H,rel} = 72$

$g^*_{C,rel} = 57$

ORS19_96a; adaptierte CIELAB-Daten

u^*_e	$L^*=L^*_a$	a^*_a	b^*_a	$C^*_{ab,a}$	$h^*_{ab,a}$	u^*_d
r00j	48.88	66.47	31.67	73.63	25	m84o
r25j	55.85	52.39	47.48	70.7	42	o17y
r50j	65.45	35.22	58.37	68.17	59	o42y
r75j	75.19	17.82	69.41	71.66	76	o67y
j00g	87.03	-3.35	82.83	82.9	92	o92y
j25g	80.72	-25.01	69.5	73.86	110	y20l
j50g	70.64	-39.54	51.97	65.3	127	y46l
j75g	61.93	-52.1	36.83	63.8	145	y72l
g00b	52.8	-65.28	20.93	68.56	162	y99l
g25b	55.7	-49.58	-8.39	50.28	190	l36c
g50b	57.82	-38.4	-28.92	48.07	217	l72c
g75b	55.5	-22.05	-45.95	50.97	244	c11v
b00r	41.6	1.37	-45.01	45.03	272	c56v
b25r	29.0	25.08	-43.13	49.89	300	v04m
b50r	38.04	46.53	-28.39	54.51	329	v55m
b75r	49.48	72.88	-3.76	72.98	357	m11o

$LAB^*LCH^*_{a}$

$i^*=1.00$

Brillantheit i^*

$i^*=0.80$

$i^*=0.60$

$i^*=0.40$

$i^*=0.20$

$i^*=0.00$

relative Buntheit c^*

Ein und Ausgabe: Farbmetrisches Drucker-Reflektiv-System ORS19_96a für relativen CIELAB-Buntton $h^* = lab^*h^* = h_{ab}/360 = 0.527$

Daten für jede Farbe:

lab^*ch^* und lab^*icu^*

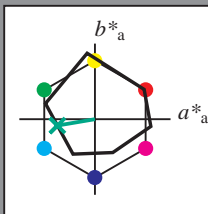
Bunttontexte:

$u^*_e = g25b$ $u^*_d = l36c$

Kontrastreduzierungsfaktor:

$c_R = 1.0$

Dreiecks-Helligkeit i^*



ORS19_96a; adaptierte CIELAB-Daten

u^*_e	$L^*=L^*_a$	a^*_a	b^*_a	$C^*_{ab,a}$	$h^*_{ab,a}$
O _{Ma}	48.75	65.07	39.43	76.08	31
Y _{Ma}	90.92	-10.29	87.24	87.85	97
L _{Ma}	52.69	-65.44	20.75	68.65	162
C _{Ma}	59.61	-28.98	-46.22	54.56	238
V _{Ma}	28.39	23.63	-44.13	50.06	298
M _{Ma}	49.58	73.93	-9.56	74.55	353
N _{Ma}	18.89	0.0	0.0	0.0	0
W _{Ma}	96.9	0.0	0.0	0.0	0
R _{Ma}	39.92	58.74	27.99	65.07	25
J _{Ma}	81.26	-2.89	71.56	71.62	92
G _{Ma}	52.23	-42.42	13.6	44.55	162
B _{Ma}	30.57	1.41	-46.47	46.49	272

Daten für Maximalfarbe (Ma):

$LAB^*LAB^*_{Ma}$: 56 -50 -8

$LAB^*LCH^*_{Ma}$: 56 50 189

$lab^*rgb^*_{Ma}$: 0.0 1.0 0.5

$lab^*olv^*_{Ma}$: 0.0 1.0 0.36

Dreiecks-Helligkeit i^*

%Umfang

$u^*_{rel} = 89$

%Regularität

$g^*_{H,rel} = 72$

$g^*_{C,rel} = 57$

ORS19_96a; adaptierte CIELAB-Daten

u^*_e	$L^*=L^*_a$	a^*_a	b^*_a	$C^*_{ab,a}$	$h^*_{ab,a}$	u^*_d
r00j	48.88	66.47	31.67	73.63	25	m84o
r25j	55.85	52.39	47.48	70.7	42	o17y
r50j	65.45	35.22	58.37	68.17	59	o42y
r75j	75.19	17.82	69.41	71.66	76	o67y
j00g	87.03	-3.35	82.83	82.9	92	o92y
j25g	80.72	-25.01	69.5	73.86	110	y20l
j50g	70.64	-39.54	51.97	65.3	127	y46l
j75g	61.93	-52.1	36.83	63.8	145	y72l
g00b	52.8	-65.28	20.93	68.56	162	y99l
g25b	55.7	-49.58	-8.39	50.28	190	l36c
g50b	57.82	-38.4	-28.92	48.07	217	l72c
g75b	55.5	-22.05	-45.95	50.97	244	c11v
b00r	41.6	1.37	-45.01	45.03	272	c56v
b25r	29.0	25.08	-43.13	49.89	300	v04m
b50r	38.04	46.53	-28.39	54.51	329	v55m
b75r	49.48	72.88	-3.76	72.98	357	m11o

$LAB^*LCH^*_{a}$

$i^* = 1.00$

Brillantheit i^*

$i^* = 0.80$

$i^* = 0.60$

$i^* = 0.40$

$i^* = 0.20$

Ein und Ausgabe: Farbmimetrisches Drucker-Reflektiv-System ORS19_96a für relativen CIELAB-Buntton $h^* = \text{lab}^*h^* = h_{ab}/360 = 0.603$

Daten für jede Farbe:

lab^*ch^* und lab^*icu^*

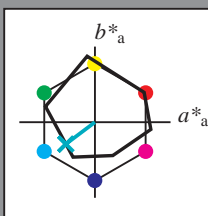
Bunttontexte:

$u^*_e = g50b$ $u^*_d = l72c$

Kontrastreduzierungsfaktor:

$c_R = 1.0$

Dreiecks-Helligkeit i^*



ORS19_96a; adaptierte CIELAB-Daten					
u^*_e	$L^*=L^*_a$	a^*_a	b^*_a	$C^*_{ab,a}$	$h^*_{ab,a}$
O _{Ma}	48.75	65.07	39.43	76.08	31
Y _{Ma}	90.92	-10.29	87.24	87.85	97
L _{Ma}	52.69	-65.44	20.75	68.65	162
C _{Ma}	59.61	-28.98	-46.22	54.56	238
V _{Ma}	28.39	23.63	-44.13	50.06	298
M _{Ma}	49.58	73.93	-9.56	74.55	353
N _{Ma}	18.89	0.0	0.0	0.0	0
W _{Ma}	96.9	0.0	0.0	0.0	0
R _{Ma}	39.92	58.74	27.99	65.07	25
J _{Ma}	81.26	-2.89	71.56	71.62	92
G _{Ma}	52.23	-42.42	13.6	44.55	162
B _{Ma}	30.57	1.41	-46.47	46.49	272

Daten für Maximalfarbe (Ma):

$\text{LAB}^*\text{LAB}^*_{\text{Ma}}$: 58 -38 -29

$\text{LAB}^*\text{LCH}^*_{\text{Ma}}$: 58 48 216

$\text{lab}^*\text{rgb}^*_{\text{Ma}}$: 0.0 1.0 1.0

$\text{lab}^*\text{olv}^*_{\text{Ma}}$: 0.0 1.0 0.72

Dreiecks-Helligkeit i^*

%Umfang

$u^*_{\text{rel}} = 89$

%Regularität

$g^*_{H,\text{rel}} = 72$

$g^*_{C,\text{rel}} = 57$

ORS19_96a; adaptierte CIELAB-Daten					
u^*_e	$L^*=L^*_a$	a^*_a	b^*_a	$C^*_{ab,a}$	$h^*_{ab,a}$
r00j	48.88	66.47	31.67	73.63	25
r25j	55.85	52.39	47.48	70.7	42
r50j	65.45	35.22	58.37	68.17	59
r75j	75.19	17.82	69.41	71.66	76
j00g	87.03	-3.35	82.83	82.9	92
j25g	80.72	-25.01	69.5	73.86	110
j50g	70.64	-39.54	51.97	65.3	127
j75g	61.93	-52.1	36.83	63.8	145
g00b	52.8	-65.28	20.93	68.56	162
g25b	55.7	-49.58	-8.39	50.28	190
g50b	57.82	-38.4	-28.92	48.07	217
g75b	55.5	-22.05	-45.95	50.97	244
b00r	41.6	1.37	-45.01	45.03	272
b25r	29.0	25.08	-43.13	49.89	300
b50r	38.04	46.53	-28.39	54.51	329
b75r	49.48	72.88	-3.76	72.98	357

$\text{LAB}^*\text{LCH}^*_{\text{Ma}}$

$i^* = 1.00$

Brillantheit i^*

$i^* = 0.80$

$i^* = 0.60$

$i^* = 0.40$

$i^* = 0.20$

$i^* = 0.00$

Ein und Ausgabe: Farbmetrisches Drucker-Reflektiv-System ORS19_96a für relativen CIELAB-Buntton $h^* = \text{lab}^*h^* = h_{ab}/360 = 0.679$

Daten für jede Farbe:

lab^*ch^* und lab^*icu^*

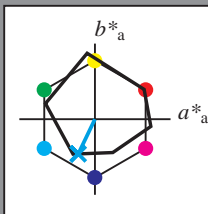
Bunttontexte:

$u^*_e = g75b$ $u^*_d = c11v$

Kontrastreduzierungsfaktor:

$c_R = 1.0$

Dreiecks-Helligkeit i^*



ORS19_96a; adaptierte CIELAB-Daten

u^*_e	$L^*=L^*_a$	a^*_a	b^*_a	$C^*_{ab,a}$	$h^*_{ab,a}$
O _{Ma}	48.75	65.07	39.43	76.08	31
Y _{Ma}	90.92	-10.29	87.24	87.85	97
L _{Ma}	52.69	-65.44	20.75	68.65	162
C _{Ma}	59.61	-28.98	-46.22	54.56	238
V _{Ma}	28.39	23.63	-44.13	50.06	298
M _{Ma}	49.58	73.93	-9.56	74.55	353
N _{Ma}	18.89	0.0	0.0	0.0	0
W _{Ma}	96.9	0.0	0.0	0.0	0
R _{Ma}	39.92	58.74	27.99	65.07	25
J _{Ma}	81.26	-2.89	71.56	71.62	92
G _{Ma}	52.23	-42.42	13.6	44.55	162
B _{Ma}	30.57	1.41	-46.47	46.49	272

Daten für Maximalfarbe (Ma):

$\text{LAB}^*\text{LAB}^*_{\text{Ma}}$: 55 -22 -46

$\text{LAB}^*\text{LCH}^*_{\text{Ma}}$: 55 51 244

$\text{lab}^*\text{rgb}^*_{\text{Ma}}$: 0.0 0.5 1.0

$\text{lab}^*\text{olv}^*_{\text{Ma}}$: 0.0 0.89 1.0

Dreiecks-Helligkeit i^*

%Umfang

$u^*_{\text{rel}} = 89$

%Regularität

$g^*_{H,\text{rel}} = 72$

$g^*_{C,\text{rel}} = 57$

ORS19_96a; adaptierte CIELAB-Daten

u^*_e	$L^*=L^*_a$	a^*_a	b^*_a	$C^*_{ab,a}$	$h^*_{ab,a}$	u^*_d
r00j	48.88	66.47	31.67	73.63	25	m84o
r25j	55.85	52.39	47.48	70.7	42	o17y
r50j	65.45	35.22	58.37	68.17	59	o42y
r75j	75.19	17.82	69.41	71.66	76	o67y
j00g	87.03	-3.35	82.83	82.9	92	o92y
j25g	80.72	-25.01	69.5	73.86	110	y20l
j50g	70.64	-39.54	51.97	65.3	127	y46l
j75g	61.93	-52.1	36.83	63.8	145	y72l
g00b	52.8	-65.28	20.93	68.56	162	y99l
g25b	55.7	-49.58	-8.39	50.28	190	l36c
g50b	57.82	-38.4	-28.92	48.07	217	l72c
g75b	55.5	-22.05	-45.95	50.97	244	c11v
b00r	41.6	1.37	-45.01	45.03	272	c56v
b25r	29.0	25.08	-43.13	49.89	300	v04m
b50r	38.04	46.53	-28.39	54.51	329	v55m
b75r	49.48	72.88	-3.76	72.98	357	m11o

$\text{LAB}^*\text{LCH}^*_{\text{Ma}}$

$i^* = 1.00$

Brillantheit i^*

$i^* = 0.80$

$i^* = 0.60$

$i^* = 0.40$

$i^* = 0.20$

$i^* = 0.00$

relative Buntheit c^*

Ein und Ausgabe: Farbmetrisches Drucker-Reflektiv-System ORS19_96a für relativen CIELAB-Buntton $h^* = lab^*h^* = h_{ab}/360 = 0.755$

Daten für jede Farbe:

lab^*ch^* und lab^*icu^*

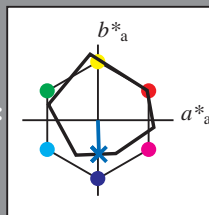
Bunttontexte:

$u^*_e = b00r$ $u^*_d = c56v$

Kontrastreduzierungsfaktor:

$c_R = 1.0$

Dreiecks-Helligkeit i^*



ORS19_96a; adaptierte CIELAB-Daten

	u^*_e	$L^*=L^*_a$	a^*_a	b^*_a	$C^*_{ab,a}$	$h^*_{ab,a}$
O _{Ma}	48.75	65.07	39.43	76.08	31	
Y _{Ma}	90.92	-10.29	87.24	87.85	97	
L _{Ma}	52.69	-65.44	20.75	68.65	162	
C _{Ma}	59.61	-28.98	-46.22	54.56	238	
V _{Ma}	28.39	23.63	-44.13	50.06	298	
M _{Ma}	49.58	73.93	-9.56	74.55	353	
N _{Ma}	18.89	0.0	0.0	0.0	0	
W _{Ma}	96.9	0.0	0.0	0.0	0	
R _{Ma}	39.92	58.74	27.99	65.07	25	
J _{Ma}	81.26	-2.89	71.56	71.62	92	
G _{Ma}	52.23	-42.42	13.6	44.55	162	
B _{Ma}	30.57	1.41	-46.47	46.49	272	

Daten für Maximalfarbe (Ma):

$LAB^*LAB^*_{Ma}$: 42 1 -45

$LAB^*LCH^*_{Ma}$: 42 45 271

$lab^*rgb^*_{Ma}$: 0.0 0.0 1.0

$lab^*olv^*_{Ma}$: 0.0 0.44 1.0

Dreiecks-Helligkeit i^*

%Umfang

$u^*_{rel} = 89$

%Regularität

$g^*_{H,rel} = 72$

$g^*_{C,rel} = 57$

ORS19_96a; adaptierte CIELAB-Daten

	u^*_e	$L^*=L^*_a$	a^*_a	b^*_a	$C^*_{ab,a}$	$h^*_{ab,a}$	u^*_d
r00j	48.88	66.47	31.67	73.63	25	m84o	
r25j	55.85	52.39	47.48	70.7	42	o17y	
r50j	65.45	35.22	58.37	68.17	59	o42y	
r75j	75.19	17.82	69.41	71.66	76	o67y	
j00g	87.03	-3.35	82.83	82.9	92	o92y	
j25g	80.72	-25.01	69.5	73.86	110	y20l	
j50g	70.64	-39.54	51.97	65.3	127	y46l	
j75g	61.93	-52.1	36.83	63.8	145	y72l	
g00b	52.8	-65.28	20.93	68.56	162	y99l	
g25b	55.7	-49.58	-8.39	50.28	190	l36c	
g50b	57.82	-38.4	-28.92	48.07	217	l72c	
g75b	55.5	-22.05	-45.95	50.97	244	c11v	
b00r	41.6	1.37	-45.01	45.03	272	c56v	
b25r	29.0	25.08	-43.13	49.89	300	v04m	
b50r	38.04	46.53	-28.39	54.51	329	v55m	
b75r	49.48	72.88	-3.76	72.98	357	m11o	

$u^*_e = b00r$
 $LAB^*LCH^*_{Ma}$

$LAB^*LCH^*_{Ma}$

$i^* = 1.00$

Brillantheit i^*

$i^* = 0.80$

$i^* = 0.60$

$i^* = 0.40$

$i^* = 0.20$

$i^* = 0.00$

relative Buntheit c^*

relative Buntheit c^*

Ein und Ausgabe: Farbmetrisches Drucker-Reflektiv-System ORS19_96a für relativen CIELAB-Buntton $h^* = lab^*h^* = h_{ab}/360 = 0.834$

Daten für jede Farbe:

lab^*ch^* und lab^*icu^*

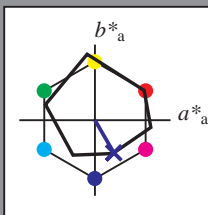
Bunttontexte:

$u^*_e = b25r$ $u^*_d = v04m$

Kontrastreduzierungsfaktor:

$c_R = 1.0$

Dreiecks-Helligkeit i^*



ORS19_96a; adaptierte CIELAB-Daten

	u^*_e	$L^*=L^*_a$	a^*_a	b^*_a	$C^*_{ab,a}$	$h^*_{ab,a}$
O _{Ma}	48.75	65.07	39.43	76.08	31	
Y _{Ma}	90.92	-10.29	87.24	87.85	97	
L _{Ma}	52.69	-65.44	20.75	68.65	162	
C _{Ma}	59.61	-28.98	-46.22	54.56	238	
V _{Ma}	28.39	23.63	-44.13	50.06	298	
M _{Ma}	49.58	73.93	-9.56	74.55	353	
N _{Ma}	18.89	0.0	0.0	0.0	0	
W _{Ma}	96.9	0.0	0.0	0.0	0	
R _{Ma}	39.92	58.74	27.99	65.07	25	
J _{Ma}	81.26	-2.89	71.56	71.62	92	
G _{Ma}	52.23	-42.42	13.6	44.55	162	
B _{Ma}	30.57	1.41	-46.47	46.49	272	

Daten für Maximalfarbe (Ma):

$LAB^*LAB^*_{Ma}$: 29 25 -43

$LAB^*LCH^*_{Ma}$: 29 50 300

$lab^*rgb^*_{Ma}$: 0.5 0.0 1.0

$lab^*olv^*_{Ma}$: 0.04 0.0 1.0

Dreiecks-Helligkeit i^*

%Umfang

$u^*_{rel} = 89$

%Regularität

$g^*_{H,rel} = 72$

$g^*_{C,rel} = 57$

ORS19_96a; adaptierte CIELAB-Daten

	u^*_e	$L^*=L^*_a$	a^*_a	b^*_a	$C^*_{ab,a}$	$h^*_{ab,a}$	u^*_d
r00j	48.88	66.47	31.67	73.63	25	m84o	
r25j	55.85	52.39	47.48	70.7	42	o17y	
r50j	65.45	35.22	58.37	68.17	59	o42y	
r75j	75.19	17.82	69.41	71.66	76	o67y	
j00g	87.03	-3.35	82.83	82.9	92	o92y	
j25g	80.72	-25.01	69.5	73.86	110	y20l	
j50g	70.64	-39.54	51.97	65.3	127	y46l	
j75g	61.93	-52.1	36.83	63.8	145	y72l	
g00b	52.8	-65.28	20.93	68.56	162	y99l	
g25b	55.7	-49.58	-8.39	50.28	190	l36c	
g50b	57.82	-38.4	-28.92	48.07	217	l72c	
g75b	55.5	-22.05	-45.95	50.97	244	c11v	
b00r	41.6	1.37	-45.01	45.03	272	c56v	
b25r	29.0	25.08	-43.13	49.89	300	v04m	
b50r	38.04	46.53	-28.39	54.51	329	v55m	
b75r	49.48	72.88	-3.76	72.98	357	m11o	

$LAB^*LCH^*_{a}$

$i^* = 1.00$

Brillantheit i^*

$i^* = 0.80$

$i^* = 0.60$

$i^* = 0.40$

$i^* = 0.20$

$i^* = 0.00$

relative Buntheit c^*

relative Buntheit c^*

Ein und Ausgabe: Farbmetrisches Drucker-Reflektiv-System ORS19_96a für relativen CIELAB-Buntton $h^* = lab^*h^* = h_{ab}/360 = 0.913$

Daten für jede Farbe:

lab^*ch^* und lab^*icu^*

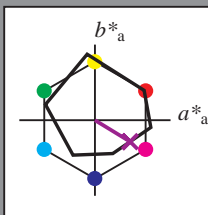
Bunttontexte:

$u^*_e = b50r$ $u^*_d = v55m$

Kontrastreduzierungsfaktor:

$c_R = 1.0$

Dreiecks-Helligkeit i^*



ORS19_96a; adaptierte CIELAB-Daten

	u^*_e	$L^*=L^*_a$	a^*_a	b^*_a	$C^*_{ab,a}$	$h^*_{ab,a}$
O _{Ma}	48.75	65.07	39.43	76.08	31	
Y _{Ma}	90.92	-10.29	87.24	87.85	97	
L _{Ma}	52.69	-65.44	20.75	68.65	162	
C _{Ma}	59.61	-28.98	-46.22	54.56	238	
V _{Ma}	28.39	23.63	-44.13	50.06	298	
M _{Ma}	49.58	73.93	-9.56	74.55	353	
N _{Ma}	18.89	0.0	0.0	0.0	0	
W _{Ma}	96.9	0.0	0.0	0.0	0	
R _{Ma}	39.92	58.74	27.99	65.07	25	
J _{Ma}	81.26	-2.89	71.56	71.62	92	
G _{Ma}	52.23	-42.42	13.6	44.55	162	
B _{Ma}	30.57	1.41	-46.47	46.49	272	

Daten für Maximalfarbe (Ma):

$LAB^*LAB^*_{Ma}$: 38 47 -28

$LAB^*LCH^*_{Ma}$: 38 55 328

$lab^*rgb^*_{Ma}$: 1.0 0.0 1.0

$lab^*olv^*_{Ma}$: 0.56 0.0 1.0

Dreiecks-Helligkeit i^*

%Umfang

$u^*_{rel} = 89$

%Regularität

$g^*_{H,rel} = 72$

$g^*_{C,rel} = 57$

ORS19_96a; adaptierte CIELAB-Daten

	u^*_e	$L^*=L^*_a$	a^*_a	b^*_a	$C^*_{ab,a}$	$h^*_{ab,a}$	u^*_d
r00j	48.88	66.47	31.67	73.63	25	m84o	
r25j	55.85	52.39	47.48	70.7	42	o17y	
r50j	65.45	35.22	58.37	68.17	59	o42y	
r75j	75.19	17.82	69.41	71.66	76	o67y	
j00g	87.03	-3.35	82.83	82.9	92	o92y	
j25g	80.72	-25.01	69.5	73.86	110	y20l	
j50g	70.64	-39.54	51.97	65.3	127	y46l	
j75g	61.93	-52.1	36.83	63.8	145	y72l	
g00b	52.8	-65.28	20.93	68.56	162	y99l	
g25b	55.7	-49.58	-8.39	50.28	190	l36c	
g50b	57.82	-38.4	-28.92	48.07	217	l72c	
g75b	55.5	-22.05	-45.95	50.97	244	c11v	
b00r	41.6	1.37	-45.01	45.03	272	c56v	
b25r	29.0	25.08	-43.13	49.89	300	v04m	
b50r	38.04	46.53	-28.39	54.51	329	v55m	
b75r	49.48	72.88	-3.76	72.98	357	m11o	

$LAB^*LCH^*_{a}$

$i^*=1.00$

Brillantheit i^*

$i^*=0.80$

$i^*=0.60$

$i^*=0.40$

$i^*=0.20$

$i^*=0.00$

Ein und Ausgabe: Farbmetrisches Drucker-Reflektiv-System ORS19_96a für relativen CIELAB-Buntton $h^* = \text{lab}^*h^* = h_{ab}/360 = 0.992$

Daten für jede Farbe:

lab^*ch^* und lab^*icu^*

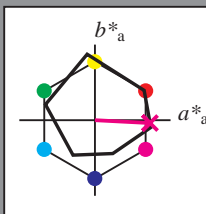
Bunttontexte:

$u^*_e = b75r$ $u^*_d = m11o$

Kontrastreduzierungsfaktor:

$c_R = 1.0$

Dreiecks-Helligkeit i^*



ORS19_96a; adaptierte CIELAB-Daten

u^*_e	$L^*=L^*_a$	a^*_a	b^*_a	$C^*_{ab,a}$	$h^*_{ab,a}$
O _{Ma}	48.75	65.07	39.43	76.08	31
Y _{Ma}	90.92	-10.29	87.24	87.85	97
L _{Ma}	52.69	-65.44	20.75	68.65	162
C _{Ma}	59.61	-28.98	-46.22	54.56	238
V _{Ma}	28.39	23.63	-44.13	50.06	298
M _{Ma}	49.58	73.93	-9.56	74.55	353
W _{Ma}	18.89	0.0	0.0	0.0	0
N _{Ma}	96.9	0.0	0.0	0.0	0
R _{Ma}	39.92	58.74	27.99	65.07	25
J _{Ma}	81.26	-2.89	71.56	71.62	92
G _{Ma}	52.23	-42.42	13.6	44.55	162
B _{Ma}	30.57	1.41	-46.47	46.49	272

Daten für Maximalfarbe (Ma):

$\text{LAB}^*\text{LAB}^*_{\text{Ma}}$: 49 73 -4

$\text{LAB}^*\text{LCH}^*_{\text{Ma}}$: 49 73 357

$\text{lab}^*\text{rgb}^*_{\text{Ma}}$: 1.0 0.0 0.5

$\text{lab}^*\text{olv}^*_{\text{Ma}}$: 1.0 0.0 0.89

Dreiecks-Helligkeit i^*

%Umfang

$u^*_{\text{rel}} = 89$

%Regularität

$g^*_{H,\text{rel}} = 72$

$g^*_{C,\text{rel}} = 57$

ORS19_96a; adaptierte CIELAB-Daten

u^*_e	$L^*=L^*_a$	a^*_a	b^*_a	$C^*_{ab,a}$	$h^*_{ab,a}$	u^*_d
r00j	48.88	66.47	31.67	73.63	25	m84o
r25j	55.85	52.39	47.48	70.7	42	o17y
r50j	65.45	35.22	58.37	68.17	59	o42y
r75j	75.19	17.82	69.41	71.66	76	o67y
j00g	87.03	-3.35	82.83	82.9	92	o92y
j25g	80.72	-25.01	69.5	73.86	110	y20l
j50g	70.64	-39.54	51.97	65.3	127	y46l
j75g	61.93	-52.1	36.83	63.8	145	y72l
g00b	52.8	-65.28	20.93	68.56	162	y99l
g25b	55.7	-49.58	-8.39	50.28	190	l36c
g50b	57.82	-38.4	-28.92	48.07	217	l72c
g75b	55.5	-22.05	-45.95	50.97	244	c11v
b00r	41.6	1.37	-45.01	45.03	272	c56v
b25r	29.0	25.08	-43.13	49.89	300	v04m
b50r	38.04	46.53	-28.39	54.51	329	v55m
b75r	49.48	72.88	-3.76	72.98	357	m11o

$\text{LAB}^*\text{LCH}^*_{\text{Ma}}$

$i^*=1.00$

Brillantheit i^*

$i^*=0.80$

$i^*=0.60$

$i^*=0.40$

$i^*=0.20$

$i^*=0.00$

Siehe ähnliche Dateien: <http://www.ps.bam.de/Eg38/>; www.ps.bam.de/Eg38/
Technische Information: [http://www.ps.bam.de/Version 2.1, io=1.1, ColSp=1](http://www.ps.bam.de/Version%202.1,%20io=1.1,%20ColSp=1)

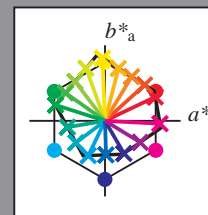
	A	B	C	D	E	F	G	H	I	J	K	L	M	N	O	P	Q	R	S	T	U	V	W	X	Y	Z	a	b	c	d	e	f	g	h	i	j	k	LAB*LCH*a																																																																																																																																																																																																																																																																																																																																																																																																																																																																																																																																																																																																																																																																																																																																																																																																																																																																																																																																																																																																																																																																																																										
01	18.9	8.6	12.3	27.3	31.6	35.8	40.0	44.2	48.5	52.7	56.9	61.1	65.4	69.6	73.8	78.0	82.2	86.4	90.6	94.8	99.0	103.2	107.4	111.6	115.8	120.0	124.2	128.4	132.6	136.8	141.0	145.2	149.4	153.6	157.8	162.0	166.2	170.4	174.6	178.8	183.0	187.2	191.4	195.6	199.8	204.0	208.2	212.4	216.6	220.8	225.0	229.2	233.4	237.6	241.8	246.0	250.2	254.4	258.6	262.8	267.0	271.2	275.4	279.6	283.8	288.0	292.2	296.4	300.6	304.8	309.0	313.2	317.4	321.6	325.8	330.0	334.2	338.4	342.6	346.8	351.0	355.2	359.4	363.6	367.8	372.0	376.2	380.4	384.6	388.8	393.0	397.2	401.4	405.6	409.8	414.0	418.2	422.4	426.6	430.8	435.0	439.2	443.4	447.6	451.8	456.0	460.2	464.4	468.6	472.8	477.0	481.2	485.4	489.6	493.8	498.0	502.2	506.4	510.6	514.8	519.0	523.2	527.4	531.6	535.8	540.0	544.2	548.4	552.6	556.8	561.0	565.2	569.4	573.6	577.8	582.0	586.2	590.4	594.6	598.8	603.0	607.2	611.4	615.6	619.8	624.0	628.2	632.4	636.6	640.8	645.0	649.2	653.4	657.6	661.8	666.0	670.2	674.4	678.6	682.8	687.0	691.2	695.4	699.6	703.8	708.0	712.2	716.4	720.6	724.8	729.0	733.2	737.4	741.6	745.8	750.0	754.2	758.4	762.6	766.8	771.0	775.2	779.4	783.6	787.8	792.0	796.2	800.4	804.6	808.8	813.0	817.2	821.4	825.6	829.8	834.0	838.2	842.4	846.6	850.8	855.0	859.2	863.4	867.6	871.8	876.0	880.2	884.4	888.6	892.8	897.0	901.2	905.4	909.6	913.8	918.0	922.2	926.4	930.6	934.8	939.0	943.2	947.4	951.6	955.8	960.0	964.2	968.4	972.6	976.8	981.0	985.2	989.4	993.6	997.8	1002.0	1006.2	1010.4	1014.6	1018.8	1023.0	1027.2	1031.4	1035.6	1039.8	1044.0	1048.2	1052.4	1056.6	1060.8	1065.0	1069.2	1073.4	1077.6	1081.8	1086.0	1090.2	1094.4	1098.6	1102.8	1107.0	1111.2	1115.4	1119.6	1123.8	1128.0	1132.2	1136.4	1140.6	1144.8	1149.0	1153.2	1157.4	1161.6	1165.8	1170.0	1174.2	1178.4	1182.6	1186.8	1191.0	1195.2	1199.4	1203.6	1207.8	1212.0	1216.2	1220.4	1224.6	1228.8	1233.0	1237.2	1241.4	1245.6	1249.8	1254.0	1258.2	1262.4	1266.6	1270.8	1275.0	1279.2	1283.4	1287.6	1291.8	1296.0	1300.2	1304.4	1308.6	1312.8	1317.0	1321.2	1325.4	1329.6	1333.8	1338.0	1342.2	1346.4	1350.6	1354.8	1359.0	1363.2	1367.4	1371.6	1375.8	1380.0	1384.2	1388.4	1392.6	1396.8	1401.0	1405.2	1409.4	1413.6	1417.8	1422.0	1426.2	1430.4	1434.6	1438.8	1443.0	1447.2	1451.4	1455.6	1459.8	1464.0	1468.2	1472.4	1476.6	1480.8	1485.0	1489.2	1493.4	1497.6	1501.8	1506.0	1510.2	1514.4	1518.6	1522.8	1527.0	1531.2	1535.4	1539.6	1543.8	1548.0	1552.2	1556.4	1560.6	1564.8	1569.0	1573.2	1577.4	1581.6	1585.8	1590.0	1594.2	1598.4	1602.6	1606.8	1611.0	1615.2	1619.4	1623.6	1627.8	1632.0	1636.2	1640.4	1644.6	1648.8	1653.0	1657.2	1661.4	1665.6	1669.8	1674.0	1678.2	1682.4	1686.6	1690.8	1695.0	1699.2	1703.4	1707.6	1711.8	1716.0	1720.2	1724.4	1728.6	1732.8	1737.0	1741.2	1745.4	1749.6	1753.8	1758.0	1762.2	1766.4	1770.6	1774.8	1779.0	1783.2	1787.4	1791.6	1795.8	1800.0	1804.2	1808.4	1812.6	1816.8	1821.0	1825.2	1829.4	1833.6	1837.8	1842.0	1846.2	1850.4	1854.6	1858.8	1863.0	1867.2	1871.4	1875.6	1879.8	1884.0	1888.2	1892.4	1896.6	1900.8	1905.0	1909.2	1913.4	1917.6	1921.8	1926.0	1930.2	1934.4	1938.6	1942.8	1947.0	1951.2	1955.4	1959.6	1963.8	1968.0	1972.2	1976.4	1980.6	1984.8	1989.0	1993.2	1997.4	2001.6	2005.8	2010.0	2014.2	2018.4	2022.6	2026.8	2031.0	2035.2	2039.4	2043.6	2047.8	2052.0	2056.2	2060.4	2064.6	2068.8	2073.0	2077.2	2081.4	2085.6	2089.8	2094.0	2098.2	2102.4	2106.6	2110.8	2115.0	2119.2	2123.4	2127.6	2131.8	2136.0	2140.2	2144.4	2148.6	2152.8	2157.0	2161.2	2165.4	2169.6	2173.8	2178.0	2182.2	2186.4	2190.6	2194.8	2199.0	2203.2	2207.4	2211.6	2215.8	2220.0	2224.2	2228.4	2232.6	2236.8	2241.0	2245.2	2249.4	2253.6	2257.8	2262.0	2266.2	2270.4	2274.6	2278.8	2283.0	2287.2	2291.4	2295.6	2300.0	2304.2	2308.4	2312.6	2316.8	2321.0	2325.2	2329.4	2333.6	2337.8	2342.0	2346.2	2350.4	2354.6	2358.8	2363.0	2367.2	2371.4	2375.6	2379.8	2384.0	2388.2	2392.4	2396.6	2400.8	2405.0	2409.2	2413.4	2417.6	2421.8	2426.0	2430.2	2434.4	2438.6	2442.8	2447.0	2451.2	2455.4	2459.6	2463.8	2468.0	2472.2	2476.4	2480.6	2484.8	2489.0	2493.2	2497.4	2501.6	2505.8	2510.0	2514.2	2518.4	2522.6	2526.8	2531.0	2535.2	2539.4	2543.6	2547.8	2552.0	2556.2	2560.4	2564.6	2568.8	2573.0	2577.2	2581.4	2585.6	2589.8	2594.0	2598.2	2602.4	2606.6	2610.8	2615.0	2619.2	2623.4	2627.6	2631.8	2636.0	2640.2	2644.4	2648.6	2652.8	2657.0	2661.2	2665.4	2669.6	2673.8	2678.0	2682.2	2686.4	2690.6	2694.8	2699.0	2703.2	2707.4	2711.6	2715.8	2720.0	2724.2	2728.4	2732.6	2736.8	2741.0	2745.2	2749.4	2753.6	2757.8	2762.0	2766.2	2770.4	2774.6	2778.8	2783.0	2787.2	2791.4	2795.6	2799.8	2804.0	2808.2	2812.4	2816.6	2820.8	2825.0	2829.2	2833.4	2837.6	2841.8	2846.0	2850.2	2854.4	2858.6	2862.8	2867.0	2871.2	2875.4	2879.6	2883.8	2888.0	2892.2	2896.4	2900.6	2904.8	2909.0	2913.2	2917.4	2921.6	2925.8	2930.0	2934.2	2938.4	2942.6	2946.8	2951.0	2955.2	2959.4	2963.6	2967.8	2972.0	2976.2	2980.4	2984.6	2988.8	2993.0	2997.2	3001.4	3005.6	3009.8	3014.0	3018.2	3022.4	3026.6	3030.8	3035.0	3039.2	3043.4	3047.6	3051.8	3056.0	3060.2	3064.4	3068.6	3072.8	3077.0	3081.2	3085.4	3089.6	3093.8	3098.0	3102.2	3106.4	3110.6	3114.8	3119.0	3123.2	3127.4	3131.6	3135.8	3140.0	3144.2	3148.4	3152.6	3156.8	3161.0	3165.2	3169.4	3173.6	3177.8	3182.0	3186.2	3190.4	3194.6	3198.8	3203.0	3207.2	3211.4	3215.6	3219.8	3224.0	3228.2	3232.4	3236.6	3240.8	3245.0	3249.2	3253.4	3257.6	3261.8	3266.0	3270.2	3274.4	3278.6	3282.8	3287.0	3291.2	3295.4	3299.6	3303.8	3308.0	3312.2	3316.4	3320.6	3324.8	3329.0	3333.2	3337.4	3341.6	3345.8	3350.0	3354.2	3358.4	3362.6	3366.8	3371.0	3375.2	3379.4	3383.6	3387.8	3392.0	3396.2	3400.4	3404.6	3408.8	3413.0	3417.2	3421.4	3425.6	3429.8	3434.0	3438.2	3442.4	3446.6	3450.8	3455.0	3459.2	3463.4	3467.6	3471.8	3476.0	3480.2	3484.4	3488.6	3492.8	3497.0	3501.2	3505.4	3509.6	3513.8	3518.0	3522.2	3526.4	3530.6	3534.8	3539.0	3543.2	3547.4	3551.6	3555.8	3560.0	3564.2	3568.4	3572.6	3576.8	3581.0	3585.2	3589.4	3593.6	3597.8	3602.0	3606.2	3610.4	3614.6	3618.8	3623.0	3627.2	3631.4	3635.6	3639.8	3644.0	3648.2	3652.4	3656.6	3660.8	3665.0	3669.2	3673.4	3677.6	3681.8	3686.0	3690.2	3694.4	3698.6	3702.8	3707.0	3711.2	3715.4	3719.6	3723.8	3728.0	3732.2	3736.4	3740.6	3744.8	3749.0	3753.2	3757.4	3761.6	3765.8	3770.0	3774.2	3778.4	3782.6	3786.8	3791.0	3795.2	3799.4	3803.6	3807.8	3812.0	3816.2	3820.4	3824.6	3828.8	3833.0	3837.2	3841.4	3845.6	3849.8	3854.0	3858.2	3862.4	3866.6	3870.8	3875.0	3879.2	3883.4	3887.6	3891.8	3896.0	3900.2	3904.4	3908.6	3912.8	3917.0	3921.2	3925.4	3929.6	3933.8	3938.0	3942.2	3946.4	3950.6	3954.8	3959.0	3963.2	3967.4	3971.6	3975.8	3980.0	3984.2	3988.4	3992.6	3996.8	4001.0	4005.2	4009.4	4013.6	4017.8	4022.0	4026.2	4030.4	4034.6	4038.8	4043.0	4047.2	4051.4	4055.6	4059.8	4064.0	4068.2	4072.4	4076.6	4080.8	4085.0	4089.2	4093.4	4097.6	4101.8	4106.0	4110.2	4114.4	4118.6	4122.8	4127.0	4131.2	4135.4	4139.6	4143.8	4148.0	4152.2	4156.4	4160.6	4164.8	4169.0	4173.2	4177.4	4181.6	4185.8	4190.0	4194.2	4198.4	4202.6	4206.8	4211.0	4215.2	4219.4	4223.6	4227.8	4232.0	4236.2	4240.4	4244.6	4248.8	4253.0	4257.2	4261.4	4265.6	4269.8	4274.0	4278.2	4282.4	4286.6	4290.8	4295.0	4299.2	4303.4	4307.6	4311.8	4316.0	4320.2	4324.4	4328.6	4332.8	4337.0	4341.2	4345.4	4349.6	4353.8	4358.0	4362.2	4366.4	4370.6	4374.8	4379.0	4383.2	4387.4	4391.6	4395.8	4400.0	4404.2	4408.4	4412.6	4416.8	4421.0	4425.2	4429.4	4433.6	4437.8	4442.0	4446.2	4450.4	4454.6	4458.8	4463.0	4467.2	4471.4	4475.6	4479.8	4484.0	4488.2	4492.4	4496.6	4500.8	4505.0	4509.2	4513.4	4517.6	4521.8	4526.0	4530.2	4534.4	4538.6	4542.8	4547.0	4551.2	4555.4	4559.6	4563.8	4568.0	4572.2	4576.4	4580.6	4584.8	4589.0	4593.2	4597.4	4601.6	4605.8	4610.0	4614.2	4618.4	4622.6	4626.8	4631.0	4635.2	4639.4	4643.6	4647.8</

Ein und Ausgabe:
Farbmetrisches Drucker-Reflektiv-System ORS19_96a
Daten für jede Farbe:

u^*_e und Nummer $Nr.$ = 00 .. 15
Elementar-Bunttontext:
 $u^*_e = 16$ Bunttoene $r00j, r25j, \dots, b75r$
Kontrastreduzierungsfaktor:
 $c_R = 1.0$

ORS19_96a; adaptierte CIELAB-Daten

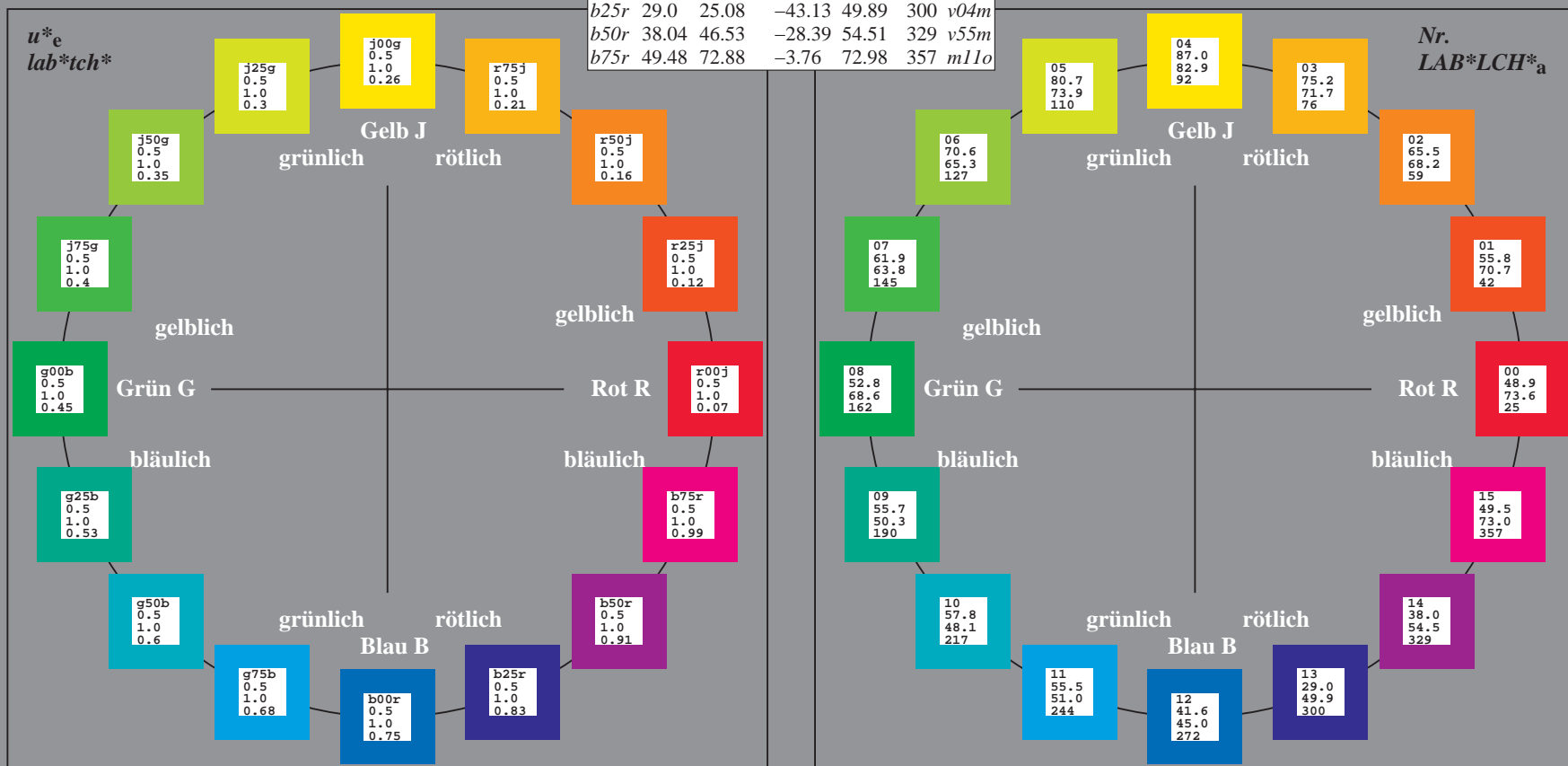
u^*_e	$L^*=L^*_a$	a^*_a	b^*_a	$C^*_{ab,a}$	$h^*_{ab,a}$	u^*_d
$r00j$	48.88	66.47	31.67	73.63	25	$m84o$
$r25j$	55.85	52.39	47.48	70.7	42	$o17y$
$r50j$	65.45	35.22	58.37	68.17	59	$o42y$
$r75j$	75.19	17.82	69.41	71.66	76	$o67y$
$j00g$	87.03	-3.35	82.83	82.9	92	$o92y$
$j25g$	80.72	-25.01	69.5	73.86	110	$y20l$
$j50g$	70.64	-39.54	51.97	65.3	127	$y46l$
$j75g$	61.93	-52.1	36.83	63.8	145	$y72l$
$g00b$	52.8	-65.28	20.93	68.56	162	$y99l$
$g25b$	55.7	-49.58	-8.39	50.28	190	$l36c$
$g50b$	57.82	-38.4	-28.92	48.07	217	$l72c$
$g75b$	55.5	-22.05	-45.95	50.97	244	$c11v$
$b00r$	41.6	1.37	-45.01	45.03	272	$c56v$
$b25r$	29.0	25.08	-43.13	49.89	300	$v04m$
$b50r$	38.04	46.53	-28.39	54.51	329	$v55m$
$b75r$	49.48	72.88	-3.76	72.98	357	$m11o$



%Umfang
 $u^*_{rel} = 89$
%Regularität
 $g^*_{H,rel} = 72$
 $g^*_{C,rel} = 57$

ORS19_96a; adaptierte CIELAB-Daten

Name	$L^*=L^*_a$	a^*_a	b^*_a	$C^*_{ab,a}$	$h^*_{ab,a}$
O_{Ma}	48.75	65.07	39.43	76.08	31
Y_{Ma}	90.92	-10.29	87.24	87.85	97
L_{Ma}	52.69	-65.44	20.75	68.65	162
C_{Ma}	59.61	-28.98	-46.22	54.56	238
V_{Ma}	28.39	23.63	-44.13	50.06	298
M_{Ma}	49.58	73.93	-9.56	74.55	353
N_{Ma}	18.89	0.0	0.0	0.0	0
W_{Ma}	96.9	0.0	0.0	0.0	0
R_{CIE}	39.92	58.74	27.99	65.07	25
J_{CIE}	81.26	-2.89	71.56	71.62	92
G_{CIE}	52.23	-42.42	13.6	44.55	162
B_{CIE}	30.57	1.41	-46.47	46.49	272



Ein und Ausgabe: Farbmetrisches Drucker-Reflektiv-System ORS19_96a für relativen CIELAB-Buntton $h^* = lab^*h^* = h_{ab}/360 = 0.071$

Daten für jede Farbe:

lab^*tch^* und lab^*icu^*

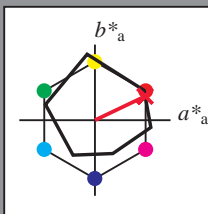
Bunttontexte:

$u^*_e = r00j$ $u^*_d = m84o$

Kontrastreduzierungsfaktor:

$c_R = 1.0$

Dreiecks-Helligkeit i^*



ORS19_96a; adaptierte CIELAB-Daten

u^*_e	$L^*=L^*_a$	a^*_a	b^*_a	$C^*_{ab,a}$	$h^*_{ab,a}$
O _{Ma}	48.75	65.07	39.43	76.08	31
Y _{Ma}	90.92	-10.29	87.24	87.85	97
L _{Ma}	52.69	-65.44	20.75	68.65	162
C _{Ma}	59.61	-28.98	-46.22	54.56	238
V _{Ma}	28.39	23.63	-44.13	50.06	298
M _{Ma}	49.58	73.93	-9.56	74.55	353
N _{Ma}	18.89	0.0	0.0	0.0	0
W _{Ma}	96.9	0.0	0.0	0.0	0
R _{Ma}	39.92	58.74	27.99	65.07	25
J _{Ma}	81.26	-2.89	71.56	71.62	92
G _{Ma}	52.23	-42.42	13.6	44.55	162
B _{Ma}	30.57	1.41	-46.47	46.49	272

Daten für Maximalfarbe (Ma):

$LAB^*LAB^*_{Ma}$: 49 66 32

$LAB^*LCH^*_{Ma}$: 49 74 25

$lab^*rgb^*_{Ma}$: 1.0 0.0 0.0

$lab^*olv^*_{Ma}$: 1.0 0.0 0.15

Dreiecks-Helligkeit i^*

%Umfang

$u^*_{rel} = 89$

%Regularität

$g^*_{H,rel} = 72$

$g^*_{C,rel} = 57$

ORS19_96a; adaptierte CIELAB-Daten

u^*_e	$L^*=L^*_a$	a^*_a	b^*_a	$C^*_{ab,a}$	$h^*_{ab,a}$	u^*_d
r00j	48.88	66.47	31.67	73.63	25	m84o
r25j	55.85	52.39	47.48	70.7	42	o17y
r50j	65.45	35.22	58.37	68.17	59	o42y
r75j	75.19	17.82	69.41	71.66	76	o67y
j00g	87.03	-3.35	82.83	82.9	92	o92y
j25g	80.72	-25.01	69.5	73.86	110	y20l
j50g	70.64	-39.54	51.97	65.3	127	y46l
j75g	61.93	-52.1	36.83	63.8	145	y72l
g00b	52.8	-65.28	20.93	68.56	162	y99l
g25b	55.7	-49.58	-8.39	50.28	190	l36c
g50b	57.82	-38.4	-28.92	48.07	217	l72c
g75b	55.5	-22.05	-45.95	50.97	244	c11v
b00r	41.6	1.37	-45.01	45.03	272	c56v
b25r	29.0	25.08	-43.13	49.89	300	v04m
b50r	38.04	46.53	-28.39	54.51	329	v55m
b75r	49.48	72.88	-3.76	72.98	357	m11o

lab^*tch^*

$i^* = 1.00$

Brillantheit i^*

$i^* = 0.80$

$i^* = 0.60$

$i^* = 0.40$

$i^* = 0.20$

Ein und Ausgabe: Farbmetrisches Drucker-Reflektiv-System ORS19_96a für relativen CIELAB-Buntton $h^* = \text{lab}^*h^* = h_{ab}/360 = 0.117$

Daten für jede Farbe:

lab^*tch^* und lab^*icu^*

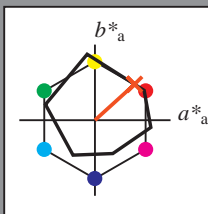
Bunttontexte:

$u^*_e = r25j$ $u^*_d = o17y$

Kontrastreduzierungsfaktor:

$c_R = 1.0$

Dreiecks-Helligkeit i^*



ORS19_96a; adaptierte CIELAB-Daten

u^*_e	$L^*=L^*_a$	a^*_a	b^*_a	$C^*_{ab,a}$	$h^*_{ab,a}$
O _{Ma}	48.75	65.07	39.43	76.08	31
Y _{Ma}	90.92	-10.29	87.24	87.85	97
L _{Ma}	52.69	-65.44	20.75	68.65	162
C _{Ma}	59.61	-28.98	-46.22	54.56	238
V _{Ma}	28.39	23.63	-44.13	50.06	298
M _{Ma}	49.58	73.93	-9.56	74.55	353
N _{Ma}	18.89	0.0	0.0	0.0	0
W _{Ma}	96.9	0.0	0.0	0.0	0
R _{Ma}	39.92	58.74	27.99	65.07	25
J _{Ma}	81.26	-2.89	71.56	71.62	92
G _{Ma}	52.23	-42.42	13.6	44.55	162
B _{Ma}	30.57	1.41	-46.47	46.49	272

Daten für Maximalfarbe (Ma):

$\text{LAB}^*\text{LAB}^*_{\text{Ma}}$: 56 52 47

$\text{LAB}^*\text{LCH}^*_{\text{Ma}}$: 56 71 42

$\text{lab}^*\text{rgb}^*_{\text{Ma}}$: 1.0 0.25 0.0

$\text{lab}^*\text{olv}^*_{\text{Ma}}$: 1.0 0.17 0.0

Dreiecks-Helligkeit i^*

%Umfang

$u^*_{\text{rel}} = 89$

%Regularität

$g^*_{H,\text{rel}} = 72$

$g^*_{C,\text{rel}} = 57$

ORS19_96a; adaptierte CIELAB-Daten

u^*_e	$L^*=L^*_a$	a^*_a	b^*_a	$C^*_{ab,a}$	$h^*_{ab,a}$	u^*_d
r00j	48.88	66.47	31.67	73.63	25	m84o
r25j	55.85	52.39	47.48	70.7	42	o17y
r50j	65.45	35.22	58.37	68.17	59	o42y
r75j	75.19	17.82	69.41	71.66	76	o67y
j00g	87.03	-3.35	82.83	82.9	92	o92y
j25g	80.72	-25.01	69.5	73.86	110	y20l
j50g	70.64	-39.54	51.97	65.3	127	y46l
j75g	61.93	-52.1	36.83	63.8	145	y72l
g00b	52.8	-65.28	20.93	68.56	162	y99l
g25b	55.7	-49.58	-8.39	50.28	190	l36c
g50b	57.82	-38.4	-28.92	48.07	217	l72c
g75b	55.5	-22.05	-45.95	50.97	244	c11v
b00r	41.6	1.37	-45.01	45.03	272	c56v
b25r	29.0	25.08	-43.13	49.89	300	v04m
b50r	38.04	46.53	-28.39	54.51	329	v55m
b75r	49.48	72.88	-3.76	72.98	357	m11o

lab^*tch^*

$i^* = 1.00$

Brillantheit i^*

$i^* = 0.80$

$i^* = 0.60$

$i^* = 0.40$

$i^* = 0.20$

$i^* = 0.00$

Ein und Ausgabe: Farbmetrisches Drucker-Reflektiv-System ORS19_96a für relativen CIELAB-Buntton $h^* = lab^*h^* = h_{ab}/360 = 0.164$

Daten für jede Farbe:

lab^*tch^* und lab^*icu^*

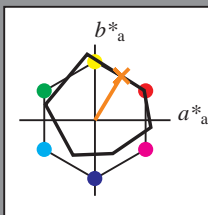
Bunttontexte:

$u^*_e = r50j$ $u^*_d = o42y$

Kontrastreduzierungsfaktor:

$c_R = 1.0$

Dreiecks-Helligkeit t^*



ORS19_96a; adaptierte CIELAB-Daten

	u^*_e	$L^*=L^*_a$	a^*_a	b^*_a	$C^*_{ab,a}$	$h^*_{ab,a}$
O _{Ma}	48.75	65.07	39.43	76.08	31	
Y _{Ma}	90.92	-10.29	87.24	87.85	97	
L _{Ma}	52.69	-65.44	20.75	68.65	162	
C _{Ma}	59.61	-28.98	-46.22	54.56	238	
V _{Ma}	28.39	23.63	-44.13	50.06	298	
M _{Ma}	49.58	73.93	-9.56	74.55	353	
N _{Ma}	18.89	0.0	0.0	0.0	0	
W _{Ma}	96.9	0.0	0.0	0.0	0	
R _{Ma}	39.92	58.74	27.99	65.07	25	
J _{Ma}	81.26	-2.89	71.56	71.62	92	
G _{Ma}	52.23	-42.42	13.6	44.55	162	
B _{Ma}	30.57	1.41	-46.47	46.49	272	

Daten für Maximalfarbe (Ma):

$LAB^*LAB^*_{Ma}$: 65 35 58

$LAB^*LCH^*_{Ma}$: 65 68 58

$lab^*rgb^*_{Ma}$: 1.0 0.5 0.0

$lab^*olv^*_{Ma}$: 1.0 0.42 0.0

Dreiecks-Helligkeit t^*

%Umfang

$u^*_{rel} = 89$

%Regularität

$g^*_{H,rel} = 72$

$g^*_{C,rel} = 57$

ORS19_96a; adaptierte CIELAB-Daten

	u^*_e	$L^*=L^*_a$	a^*_a	b^*_a	$C^*_{ab,a}$	$h^*_{ab,a}$	u^*_d
r00j	48.88	66.47	31.67	73.63	25	m84o	
r25j	55.85	52.39	47.48	70.7	42	o17y	
r50j	65.45	35.22	58.37	68.17	59	o42y	
r75j	75.19	17.82	69.41	71.66	76	o67y	
j00g	87.03	-3.35	82.83	82.9	92	o92y	
j25g	80.72	-25.01	69.5	73.86	110	y20l	
j50g	70.64	-39.54	51.97	65.3	127	y46l	
j75g	61.93	-52.1	36.83	63.8	145	y72l	
g00b	52.8	-65.28	20.93	68.56	162	y99l	
g25b	55.7	-49.58	-8.39	50.28	190	l36c	
g50b	57.82	-38.4	-28.92	48.07	217	l72c	
g75b	55.5	-22.05	-45.95	50.97	244	c11v	
b00r	41.6	1.37	-45.01	45.03	272	c56v	
b25r	29.0	25.08	-43.13	49.89	300	v04m	
b50r	38.04	46.53	-28.39	54.51	329	v55m	
b75r	49.48	72.88	-3.76	72.98	357	m11o	

lab^*tch^*

$i^* = 1.00$

Brillantheit i^*

$i^* = 0.80$

$i^* = 0.60$

$i^* = 0.40$

$i^* = 0.20$

Ein und Ausgabe: Farbmetrisches Drucker-Reflektiv-System ORS19_96a für relativen CIELAB-Buntton $h^* = lab^*h^* = h_{ab}/360 = 0.21$

Daten für jede Farbe:

lab^*tch^* und lab^*icu^*

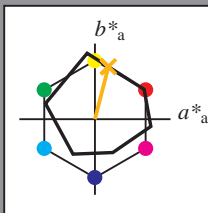
Bunttontexte:

$u^*_e = r75j$ $u^*_d = o67y$

Kontrastreduzierungsfaktor:

$c_R = 1.0$

Dreiecks-Helligkeit i^*



ORS19_96a; adaptierte CIELAB-Daten

u^*_e	$L^*=L^*_a$	a^*_a	b^*_a	$C^*_{ab,a}$	$h^*_{ab,a}$
O _{Ma}	48.75	65.07	39.43	76.08	31
Y _{Ma}	90.92	-10.29	87.24	87.85	97
L _{Ma}	52.69	-65.44	20.75	68.65	162
C _{Ma}	59.61	-28.98	-46.22	54.56	238
V _{Ma}	28.39	23.63	-44.13	50.06	298
M _{Ma}	49.58	73.93	-9.56	74.55	353
N _{Ma}	18.89	0.0	0.0	0.0	0
W _{Ma}	96.9	0.0	0.0	0.0	0
R _{Ma}	39.92	58.74	27.99	65.07	25
J _{Ma}	81.26	-2.89	71.56	71.62	92
G _{Ma}	52.23	-42.42	13.6	44.55	162
B _{Ma}	30.57	1.41	-46.47	46.49	272

Daten für Maximalfarbe (Ma):

$LAB^*LAB^*_{Ma}$: 75 18 69

$LAB^*LCH^*_{Ma}$: 75 72 75

$lab^*rgb^*_{Ma}$: 1.0 0.75 0.0

$lab^*olv^*_{Ma}$: 1.0 0.68 0.0

Dreiecks-Helligkeit i^*

%Umfang

$u^*_{rel} = 89$

%Regularität

$g^*_{H,rel} = 72$

$g^*_{C,rel} = 57$

ORS19_96a; adaptierte CIELAB-Daten

u^*_e	$L^*=L^*_a$	a^*_a	b^*_a	$C^*_{ab,a}$	$h^*_{ab,a}$	u^*_d
r00j	48.88	66.47	31.67	73.63	25	m84o
r25j	55.85	52.39	47.48	70.7	42	o17y
r50j	65.45	35.22	58.37	68.17	59	o42y
r75j	75.19	17.82	69.41	71.66	76	o67y
j00g	87.03	-3.35	82.83	82.9	92	o92y
j25g	80.72	-25.01	69.5	73.86	110	y20l
j50g	70.64	-39.54	51.97	65.3	127	y46l
j75g	61.93	-52.1	36.83	63.8	145	y72l
g00b	52.8	-65.28	20.93	68.56	162	y99l
g25b	55.7	-49.58	-8.39	50.28	190	l36c
g50b	57.82	-38.4	-28.92	48.07	217	l72c
g75b	55.5	-22.05	-45.95	50.97	244	c11v
b00r	41.6	1.37	-45.01	45.03	272	c56v
b25r	29.0	25.08	-43.13	49.89	300	v04m
b50r	38.04	46.53	-28.39	54.51	329	v55m
b75r	49.48	72.88	-3.76	72.98	357	m11o

lab^*tch^*

$i^* = 1.00$

Brillantheit i^*

$i^* = 0.80$

$i^* = 0.60$

$i^* = 0.40$

$i^* = 0.20$

Ein und Ausgabe: Farbmetrisches Drucker-Reflektiv-System ORS19_96a für relativen CIELAB-Buntton $h^* = lab^*h^* = h_{ab}/360 = 0.256$

Daten für jede Farbe:

lab^*tch^* und lab^*icu^*

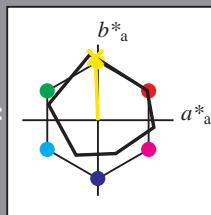
Bunttontexte:

$u^*_e = j00g$ $u^*_d = o92y$

Kontrastreduzierungsfaktor:

$c_R = 1.0$

Dreiecks-Helligkeit i^*



ORS19_96a; adaptierte CIELAB-Daten

u^*_e	$L^*=L^*_a$	a^*_a	b^*_a	$C^*_{ab,a}$	$h^*_{ab,a}$
O _{Ma}	48.75	65.07	39.43	76.08	31
Y _{Ma}	90.92	-10.29	87.24	87.85	97
L _{Ma}	52.69	-65.44	20.75	68.65	162
C _{Ma}	59.61	-28.98	-46.22	54.56	238
V _{Ma}	28.39	23.63	-44.13	50.06	298
M _{Ma}	49.58	73.93	-9.56	74.55	353
N _{Ma}	18.89	0.0	0.0	0.0	0
W _{Ma}	96.9	0.0	0.0	0.0	0
R _{Ma}	39.92	58.74	27.99	65.07	25
J _{Ma}	81.26	-2.89	71.56	71.62	92
G _{Ma}	52.23	-42.42	13.6	44.55	162
B _{Ma}	30.57	1.41	-46.47	46.49	272

Daten für Maximalfarbe (Ma):

$LAB^*LAB^*_{Ma}$: 87 -3 83

$LAB^*LCH^*_{Ma}$: 87 83 92

$lab^*rgb^*_{Ma}$: 1.0 1.0 0.0

$lab^*olv^*_{Ma}$: 1.0 0.93 0.0

Dreiecks-Helligkeit i^*

%Umfang

$u^*_{rel} = 89$

%Regularität

$g^*_{H,rel} = 72$

$g^*_{C,rel} = 57$

ORS19_96a; adaptierte CIELAB-Daten

u^*_e	$L^*=L^*_a$	a^*_a	b^*_a	$C^*_{ab,a}$	$h^*_{ab,a}$	u^*_d
r00j	48.88	66.47	31.67	73.63	25	m84o
r25j	55.85	52.39	47.48	70.7	42	o17y
r50j	65.45	35.22	58.37	68.17	59	o42y
r75j	75.19	17.82	69.41	71.66	76	o67y
j00g	87.03	-3.35	82.83	82.9	92	o92y
j25g	80.72	-25.01	69.5	73.86	110	y20l
j50g	70.64	-39.54	51.97	65.3	127	y46l
j75g	61.93	-52.1	36.83	63.8	145	y72l
g00b	52.8	-65.28	20.93	68.56	162	y99l
g25b	55.7	-49.58	-8.39	50.28	190	l36c
g50b	57.82	-38.4	-28.92	48.07	217	l72c
g75b	55.5	-22.05	-45.95	50.97	244	c11v
b00r	41.6	1.37	-45.01	45.03	272	c56v
b25r	29.0	25.08	-43.13	49.89	300	v04m
b50r	38.04	46.53	-28.39	54.51	329	v55m
b75r	49.48	72.88	-3.76	72.98	357	m11o

lab^*tch^*

$i^* = 1.00$

Brillantheit i^*

$i^* = 0.80$

$i^* = 0.60$

$i^* = 0.40$

$i^* = 0.20$

Ein und Ausgabe: Farbmetrisches Drucker-Reflektiv-System ORS19_96a für relativen CIELAB-Buntton $h^* = lab^*h^* = h_{ab}/360 = 0.305$

Daten für jede Farbe:

lab^*tch^* und lab^*icu^*

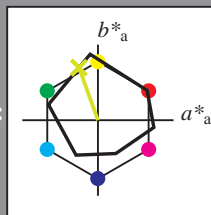
Bunttontexte:

$u^*_e = j25g$ $u^*_d = y20l$

Kontrastreduzierungsfaktor:

$c_R = 1.0$

Dreiecks-Helligkeit i^*



ORS19_96a; adaptierte CIELAB-Daten

	u^*_e	$L^*=L^*_a$	a^*_a	b^*_a	$C^*_{ab,a}$	$h^*_{ab,a}$
O _{Ma}	48.75	65.07	39.43	76.08	31	
Y _{Ma}	90.92	-10.29	87.24	87.85	97	
L _{Ma}	52.69	-65.44	20.75	68.65	162	
C _{Ma}	59.61	-28.98	-46.22	54.56	238	
V _{Ma}	28.39	23.63	-44.13	50.06	298	
M _{Ma}	49.58	73.93	-9.56	74.55	353	
N _{Ma}	18.89	0.0	0.0	0.0	0	
W _{Ma}	96.9	0.0	0.0	0.0	0	
R _{Ma}	39.92	58.74	27.99	65.07	25	
J _{Ma}	81.26	-2.89	71.56	71.62	92	
G _{Ma}	52.23	-42.42	13.6	44.55	162	
B _{Ma}	30.57	1.41	-46.47	46.49	272	

Daten für Maximalfarbe (Ma):

$LAB^*LAB^*_{Ma}$: 81 -25 69

$LAB^*LCH^*_{Ma}$: 81 74 109

$lab^*rgb^*_{Ma}$: 0.75 1.0 0.0

$lab^*olv^*_{Ma}$: 0.8 1.0 0.0

Dreiecks-Helligkeit i^*

%Umfang

$u^*_{rel} = 89$

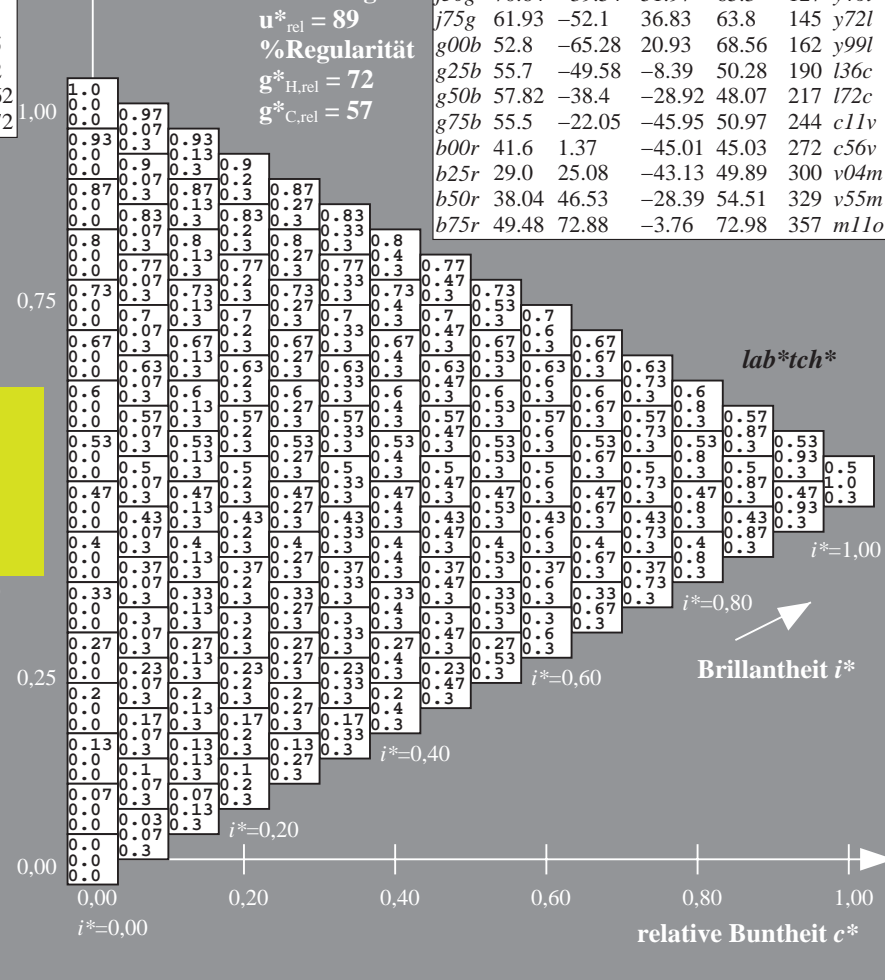
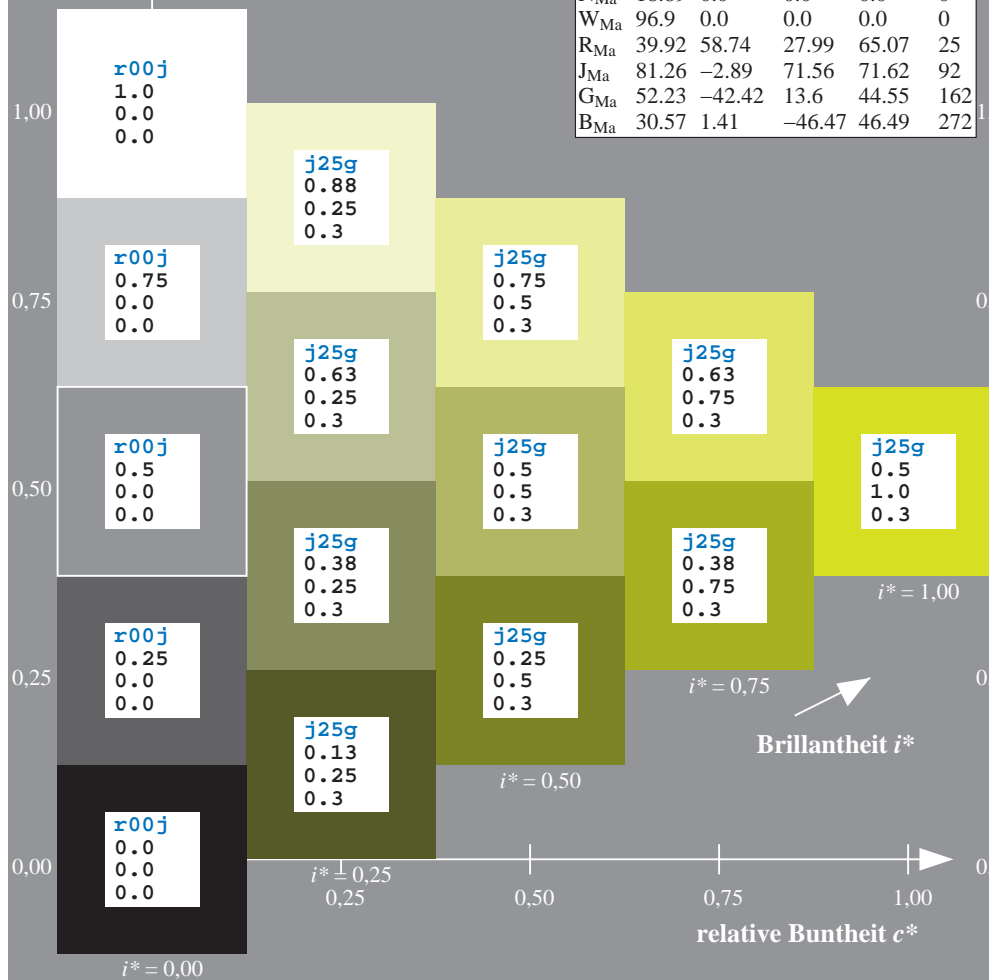
%Regularität

$g^*_{H,rel} = 72$

$g^*_{C,rel} = 57$

ORS19_96a; adaptierte CIELAB-Daten

	u^*_e	$L^*=L^*_a$	a^*_a	b^*_a	$C^*_{ab,a}$	$h^*_{ab,a}$	u^*_d
r00j	48.88	66.47	31.67	73.63	25	m84o	
r25j	55.85	52.39	47.48	70.7	42	o17y	
r50j	65.45	35.22	58.37	68.17	59	o42y	
r75j	75.19	17.82	69.41	71.66	76	o67y	
j00g	87.03	-3.35	82.83	82.9	92	o92y	
j25g	80.72	-25.01	69.5	73.86	110	y20l	
j50g	70.64	-39.54	51.97	65.3	127	y46l	
j75g	61.93	-52.1	36.83	63.8	145	y72l	
g00b	52.8	-65.28	20.93	68.56	162	y99l	
g25b	55.7	-49.58	-8.39	50.28	190	l36c	
g50b	57.82	-38.4	-28.92	48.07	217	l72c	
g75b	55.5	-22.05	-45.95	50.97	244	c11v	
b00r	41.6	1.37	-45.01	45.03	272	c56v	
b25r	29.0	25.08	-43.13	49.89	300	v04m	
b50r	38.04	46.53	-28.39	54.51	329	v55m	
b75r	49.48	72.88	-3.76	72.98	357	m11o	



Ein und Ausgabe: Farbmetrisches Drucker-Reflektiv-System ORS19_96a für relativen CIELAB-Buntton $h^* = lab^*h^* = h_{ab}/360 = 0.354$

Daten für jede Farbe:

lab^*tch^* und lab^*icu^*

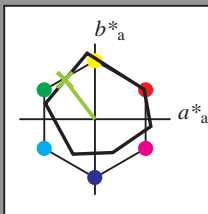
Bunttontexte:

$u^*_e = j50g$ $u^*_d = y46l$

Kontrastreduzierungsfaktor:

$c_R = 1.0$

Dreiecks-Helligkeit i^*



ORS19_96a; adaptierte CIELAB-Daten

	u^*_e	$L^*=L^*_a$	a^*_a	b^*_a	$C^*_{ab,a}$	$h^*_{ab,a}$
O _{Ma}	48.75	65.07	39.43	76.08	31	
Y _{Ma}	90.92	-10.29	87.24	87.85	97	
L _{Ma}	52.69	-65.44	20.75	68.65	162	
C _{Ma}	59.61	-28.98	-46.22	54.56	238	
V _{Ma}	28.39	23.63	-44.13	50.06	298	
M _{Ma}	49.58	73.93	-9.56	74.55	353	
N _{Ma}	18.89	0.0	0.0	0.0	0	
W _{Ma}	96.9	0.0	0.0	0.0	0	
R _{Ma}	39.92	58.74	27.99	65.07	25	
J _{Ma}	81.26	-2.89	71.56	71.62	92	
G _{Ma}	52.23	-42.42	13.6	44.55	162	
B _{Ma}	30.57	1.41	-46.47	46.49	272	

Daten für Maximalfarbe (Ma):

$LAB^*LAB^*_{Ma}$: 71 -40 52

$LAB^*LCH^*_{Ma}$: 71 65 127

$lab^*rgb^*_{Ma}$: 0.5 1.0 0.0

$lab^*olv^*_{Ma}$: 0.54 1.0 0.0

Dreiecks-Helligkeit i^*

%Umfang

$u^*_{rel} = 89$

%Regularität

$g^*_{H,rel} = 72$

$g^*_{C,rel} = 57$

ORS19_96a; adaptierte CIELAB-Daten

	u^*_e	$L^*=L^*_a$	a^*_a	b^*_a	$C^*_{ab,a}$	$h^*_{ab,a}$	u^*_d
r00j	48.88	66.47	31.67	73.63	25	m84o	
r25j	55.85	52.39	47.48	70.7	42	o17y	
r50j	65.45	35.22	58.37	68.17	59	o42y	
r75j	75.19	17.82	69.41	71.66	76	o67y	
j00g	87.03	-3.35	82.83	82.9	92	o92y	
j25g	80.72	-25.01	69.5	73.86	110	y20l	
j50g	70.64	-39.54	51.97	65.3	127	y46l	
j75g	61.93	-52.1	36.83	63.8	145	y72l	
g00b	52.8	-65.28	20.93	68.56	162	y99l	
g25b	55.7	-49.58	-8.39	50.28	190	l36c	
g50b	57.82	-38.4	-28.92	48.07	217	l72c	
g75b	55.5	-22.05	-45.95	50.97	244	c11v	
b00r	41.6	1.37	-45.01	45.03	272	c56v	
b25r	29.0	25.08	-43.13	49.89	300	v04m	
b50r	38.04	46.53	-28.39	54.51	329	v55m	
b75r	49.48	72.88	-3.76	72.98	357	m11o	

lab^*tch^*

$i^* = 1.00$

Brillantheit i^*

$i^* = 0.80$

$i^* = 0.60$

$i^* = 0.40$

$i^* = 0.20$

$i^* = 0.00$

Ein und Ausgabe: Farbmetrisches Drucker-Reflektiv-System ORS19_96a für relativen CIELAB-Buntton $h^* = lab^*h^* = h_{ab}/360 = 0.402$

Daten für jede Farbe:

lab^*tch^* und lab^*icu^*

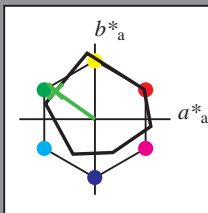
Bunttontexte:

$u^*_e = j75g$ $u^*_d = y72l$

Kontrastreduzierungsfaktor:

$c_R = 1.0$

Dreiecks-Helligkeit i^*



ORS19_96a; adaptierte CIELAB-Daten

	u^*_e	$L^*=L^*_a$	a^*_a	b^*_a	$C^*_{ab,a}$	$h^*_{ab,a}$
O _{Ma}	48.75	65.07	39.43	76.08	31	
Y _{Ma}	90.92	-10.29	87.24	87.85	97	
L _{Ma}	52.69	-65.44	20.75	68.65	162	
C _{Ma}	59.61	-28.98	-46.22	54.56	238	
V _{Ma}	28.39	23.63	-44.13	50.06	298	
M _{Ma}	49.58	73.93	-9.56	74.55	353	
N _{Ma}	18.89	0.0	0.0	0.0	0	
W _{Ma}	96.9	0.0	0.0	0.0	0	
R _{Ma}	39.92	58.74	27.99	65.07	25	
J _{Ma}	81.26	-2.89	71.56	71.62	92	
G _{Ma}	52.23	-42.42	13.6	44.55	162	
B _{Ma}	30.57	1.41	-46.47	46.49	272	

Daten für Maximalfarbe (Ma):

$LAB^*LAB^*_{Ma}$: 62 -52 37

$LAB^*LCH^*_{Ma}$: 62 64 144

$lab^*rgb^*_{Ma}$: 0.25 1.0 0.0

$lab^*olv^*_{Ma}$: 0.27 1.0 0.0

Dreiecks-Helligkeit i^*

%Umfang

$u^*_{rel} = 89$

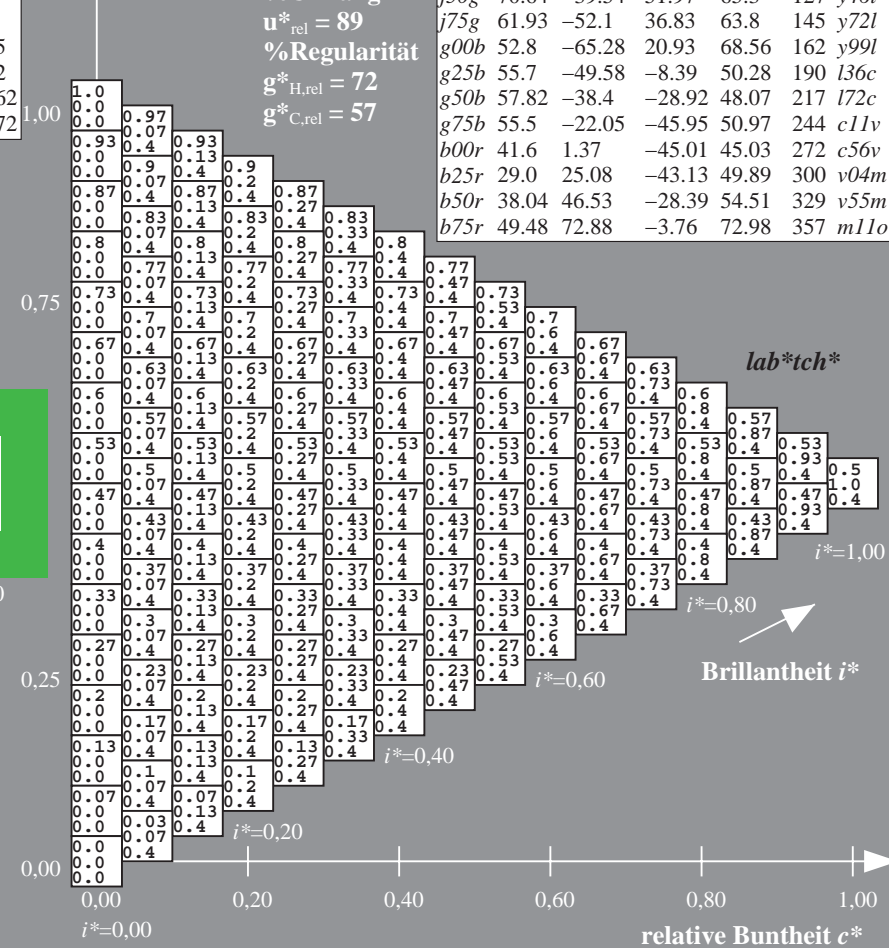
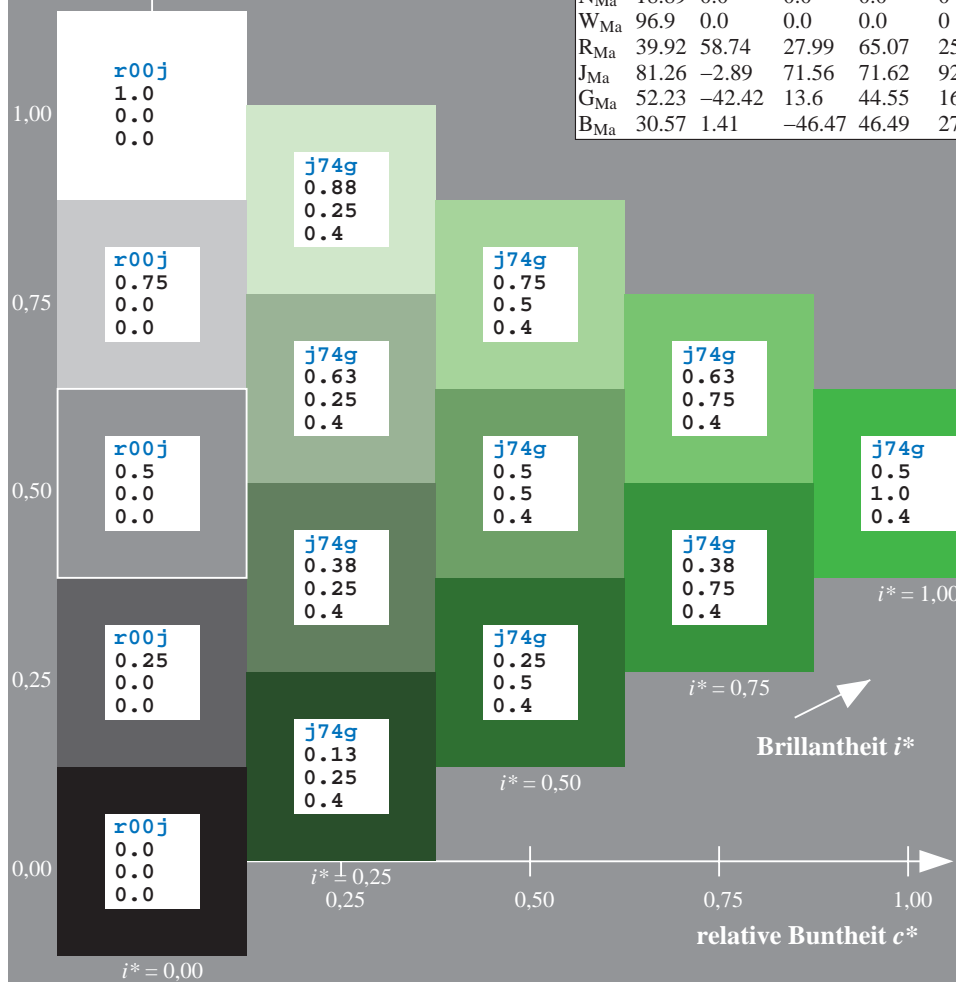
%Regularität

$g^*_{H,rel} = 72$

$g^*_{C,rel} = 57$

ORS19_96a; adaptierte CIELAB-Daten

	u^*_e	$L^*=L^*_a$	a^*_a	b^*_a	$C^*_{ab,a}$	$h^*_{ab,a}$	u^*_d
r00j	48.88	66.47	31.67	73.63	25	m84o	
r25j	55.85	52.39	47.48	70.7	42	o17y	
r50j	65.45	35.22	58.37	68.17	59	o42y	
r75j	75.19	17.82	69.41	71.66	76	o67y	
j00g	87.03	-3.35	82.83	82.9	92	o92y	
j25g	80.72	-25.01	69.5	73.86	110	y20l	
j50g	70.64	-39.54	51.97	65.3	127	y46l	
j75g	61.93	-52.1	36.83	63.8	145	y72l	
g00b	52.8	-65.28	20.93	68.56	162	y99l	
g25b	55.7	-49.58	-8.39	50.28	190	l36c	
g50b	57.82	-38.4	-28.92	48.07	217	l72c	
g75b	55.5	-22.05	-45.95	50.97	244	c11v	
b00r	41.6	1.37	-45.01	45.03	272	c56v	
b25r	29.0	25.08	-43.13	49.89	300	v04m	
b50r	38.04	46.53	-28.39	54.51	329	v55m	
b75r	49.48	72.88	-3.76	72.98	357	m11o	



Ein und Ausgabe: Farbmetrisches Drucker-Reflektiv-System ORS19_96a für relativen CIELAB-Buntton $h^* = lab^*h^* = h_{ab}/360 = 0.451$

Daten für jede Farbe:

lab^*tch^* und lab^*icu^*

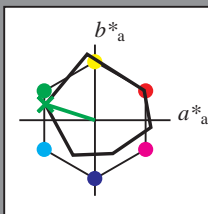
Bunttontexte:

$u^*_e = g00b$ $u^*_d = y99l$

Kontrastreduzierungsfaktor:

$c_R = 1.0$

Dreiecks-Helligkeit i^*



ORS19_96a; adaptierte CIELAB-Daten

u^*_e	$L^*=L^*_a$	a^*_a	b^*_a	$C^*_{ab,a}$	$h^*_{ab,a}$
O _{Ma}	48.75	65.07	39.43	76.08	31
Y _{Ma}	90.92	-10.29	87.24	87.85	97
L _{Ma}	52.69	-65.44	20.75	68.65	162
C _{Ma}	59.61	-28.98	-46.22	54.56	238
V _{Ma}	28.39	23.63	-44.13	50.06	298
M _{Ma}	49.58	73.93	-9.56	74.55	353
N _{Ma}	18.89	0.0	0.0	0.0	0
W _{Ma}	96.9	0.0	0.0	0.0	0
R _{Ma}	39.92	58.74	27.99	65.07	25
J _{Ma}	81.26	-2.89	71.56	71.62	92
G _{Ma}	52.23	-42.42	13.6	44.55	162
B _{Ma}	30.57	1.41	-46.47	46.49	272

Daten für Maximalfarbe (Ma):

$LAB^*LAB^*_{Ma}$: 53 -65 21

$LAB^*LCH^*_{Ma}$: 53 69 162

$lab^*rgb^*_{Ma}$: 0.0 1.0 0.0

$lab^*olv^*_{Ma}$: 0.0 1.0 0.0

Dreiecks-Helligkeit i^*

%Umfang

$u^*_{rel} = 89$

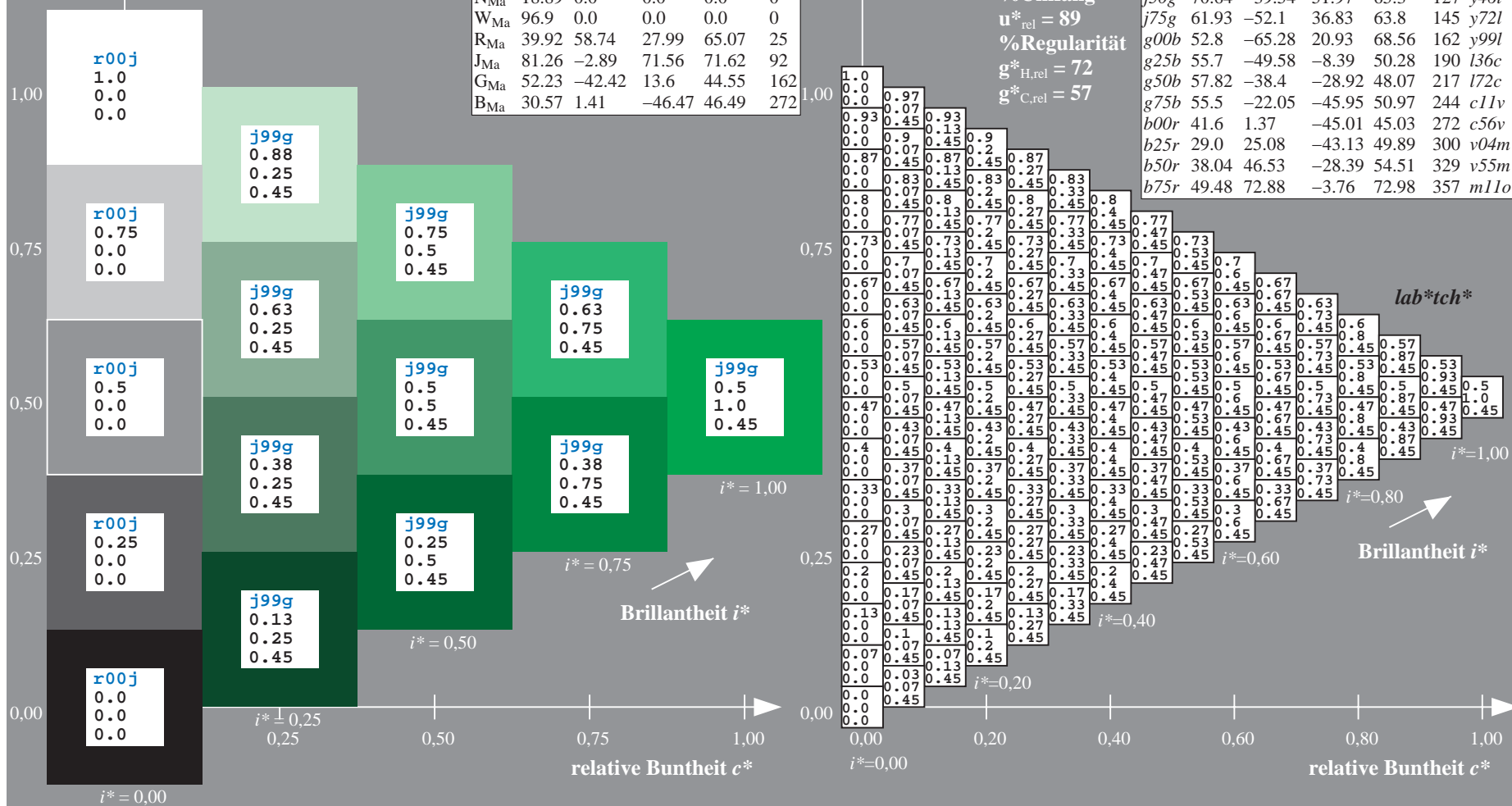
%Regularität

$g^*_{H,rel} = 72$

$g^*_{C,rel} = 57$

ORS19_96a; adaptierte CIELAB-Daten

u^*_e	$L^*=L^*_a$	a^*_a	b^*_a	$C^*_{ab,a}$	$h^*_{ab,a}$	u^*_d
r00j	48.88	66.47	31.67	73.63	25	m84o
r25j	55.85	52.39	47.48	70.7	42	o17y
r50j	65.45	35.22	58.37	68.17	59	o42y
r75j	75.19	17.82	69.41	71.66	76	o67y
j00g	87.03	-3.35	82.83	82.9	92	o92y
j25g	80.72	-25.01	69.5	73.86	110	y20l
j50g	70.64	-39.54	51.97	65.3	127	y46l
j75g	61.93	-52.1	36.83	63.8	145	y72l
g00b	52.8	-65.28	20.93	68.56	162	y99l
g25b	55.7	-49.58	-8.39	50.28	190	l36c
g50b	57.82	-38.4	-28.92	48.07	217	l72c
g75b	55.5	-22.05	-45.95	50.97	244	c11v
b00r	41.6	1.37	-45.01	45.03	272	c56v
b25r	29.0	25.08	-43.13	49.89	300	v04m
b50r	38.04	46.53	-28.39	54.51	329	v55m
b75r	49.48	72.88	-3.76	72.98	357	m11o



Ein und Ausgabe: Farbmetrisches Drucker-Reflektiv-System ORS19_96a für relativen CIELAB-Buntton $h^* = lab^*h^* = h_{ab}/360 = 0.527$

Daten für jede Farbe:

lab^*tch^* und lab^*icu^*

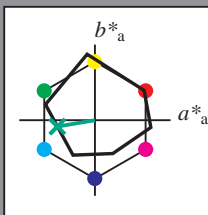
Bunttontexte:

$u^*_e = g25b$ $u^*_d = l36c$

Kontrastreduzierungsfaktor:

$c_R = 1.0$

Dreiecks-Helligkeit i^*



ORS19_96a; adaptierte CIELAB-Daten

	u^*_e	$L^*=L^*_a$	a^*_a	b^*_a	$C^*_{ab,a}$	$h^*_{ab,a}$
O _{Ma}	48.75	65.07	39.43	76.08	31	
Y _{Ma}	90.92	-10.29	87.24	87.85	97	
L _{Ma}	52.69	-65.44	20.75	68.65	162	
C _{Ma}	59.61	-28.98	-46.22	54.56	238	
V _{Ma}	28.39	23.63	-44.13	50.06	298	
M _{Ma}	49.58	73.93	-9.56	74.55	353	
N _{Ma}	18.89	0.0	0.0	0.0	0	
W _{Ma}	96.9	0.0	0.0	0.0	0	
R _{Ma}	39.92	58.74	27.99	65.07	25	
J _{Ma}	81.26	-2.89	71.56	71.62	92	
G _{Ma}	52.23	-42.42	13.6	44.55	162	
B _{Ma}	30.57	1.41	-46.47	46.49	272	

Daten für Maximalfarbe (Ma):

$LAB^*LAB^*_{Ma}$: 56 -50 -8

$LAB^*LCH^*_{Ma}$: 56 50 189

$lab^*rgb^*_{Ma}$: 0.0 1.0 0.5

$lab^*olv^*_{Ma}$: 0.0 1.0 0.36

Dreiecks-Helligkeit i^*

%Umfang

$u^*_{rel} = 89$

%Regularität

$g^*_{H,rel} = 72$

$g^*_{C,rel} = 57$

ORS19_96a; adaptierte CIELAB-Daten

	u^*_e	$L^*=L^*_a$	a^*_a	b^*_a	$C^*_{ab,a}$	$h^*_{ab,a}$	u^*_d
r00j	48.88	66.47	31.67	73.63	25	m84o	
r25j	55.85	52.39	47.48	70.7	42	o17y	
r50j	65.45	35.22	58.37	68.17	59	o42y	
r75j	75.19	17.82	69.41	71.66	76	o67y	
j00g	87.03	-3.35	82.83	82.9	92	o92y	
j25g	80.72	-25.01	69.5	73.86	110	y20l	
j50g	70.64	-39.54	51.97	65.3	127	y46l	
j75g	61.93	-52.1	36.83	63.8	145	y72l	
g00b	52.8	-65.28	20.93	68.56	162	y99l	
g25b	55.7	-49.58	-8.39	50.28	190	l36c	
g50b	57.82	-38.4	-28.92	48.07	217	l72c	
g75b	55.5	-22.05	-45.95	50.97	244	c11v	
b00r	41.6	1.37	-45.01	45.03	272	c56v	
b25r	29.0	25.08	-43.13	49.89	300	v04m	
b50r	38.04	46.53	-28.39	54.51	329	v55m	
b75r	49.48	72.88	-3.76	72.98	357	m11o	

lab^*tch^*

$i^* = 1.00$

Brillantheit i^*

$i^* = 0.80$

$i^* = 0.60$

$i^* = 0.40$

$i^* = 0.20$

Ein und Ausgabe: Farbmetrisches Drucker-Reflektiv-System ORS19_96a für relativen CIELAB-Buntton $h^* = lab^*h^* = h_{ab}/360 = 0.603$

Daten für jede Farbe:

lab^*tch^* und lab^*icu^*

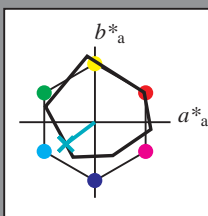
Bunttontexte:

$u^*_e = g50b$ $u^*_d = l72c$

Kontrastreduzierungsfaktor:

$c_R = 1.0$

Dreiecks-Helligkeit i^*



ORS19_96a; adaptierte CIELAB-Daten

	u^*_e	$L^*=L^*_a$	a^*_a	b^*_a	$C^*_{ab,a}$	$h^*_{ab,a}$
O _{Ma}	48.75	65.07	39.43	76.08	31	
Y _{Ma}	90.92	-10.29	87.24	87.85	97	
L _{Ma}	52.69	-65.44	20.75	68.65	162	
C _{Ma}	59.61	-28.98	-46.22	54.56	238	
V _{Ma}	28.39	23.63	-44.13	50.06	298	
M _{Ma}	49.58	73.93	-9.56	74.55	353	
N _{Ma}	18.89	0.0	0.0	0.0	0	
W _{Ma}	96.9	0.0	0.0	0.0	0	
R _{Ma}	39.92	58.74	27.99	65.07	25	
J _{Ma}	81.26	-2.89	71.56	71.62	92	
G _{Ma}	52.23	-42.42	13.6	44.55	162	
B _{Ma}	30.57	1.41	-46.47	46.49	272	

Daten für Maximalfarbe (Ma):

$LAB^*LAB^*_{Ma}$: 58 -38 -29

$LAB^*LCH^*_{Ma}$: 58 48 216

$lab^*rgb^*_{Ma}$: 0.0 1.0 1.0

$lab^*olv^*_{Ma}$: 0.0 1.0 0.72

Dreiecks-Helligkeit i^*

%Umfang

$u^*_{rel} = 89$

%Regularität

$g^*_{H,rel} = 72$

$g^*_{C,rel} = 57$

ORS19_96a; adaptierte CIELAB-Daten

	u^*_e	$L^*=L^*_a$	a^*_a	b^*_a	$C^*_{ab,a}$	$h^*_{ab,a}$	u^*_d
r00j	48.88	66.47	31.67	73.63	25	m84o	
r25j	55.85	52.39	47.48	70.7	42	o17y	
r50j	65.45	35.22	58.37	68.17	59	o42y	
r75j	75.19	17.82	69.41	71.66	76	o67y	
j00g	87.03	-3.35	82.83	82.9	92	o92y	
j25g	80.72	-25.01	69.5	73.86	110	y20l	
j50g	70.64	-39.54	51.97	65.3	127	y46l	
j75g	61.93	-52.1	36.83	63.8	145	y72l	
g00b	52.8	-65.28	20.93	68.56	162	y99l	
g25b	55.7	-49.58	-8.39	50.28	190	l36c	
g50b	57.82	-38.4	-28.92	48.07	217	l72c	
g75b	55.5	-22.05	-45.95	50.97	244	c11v	
b00r	41.6	1.37	-45.01	45.03	272	c56v	
b25r	29.0	25.08	-43.13	49.89	300	v04m	
b50r	38.04	46.53	-28.39	54.51	329	v55m	
b75r	49.48	72.88	-3.76	72.98	357	m11o	

lab^*tch^*

$i^* = 1.00$

Brillantheit i^*

$i^* = 0.80$

$i^* = 0.60$

$i^* = 0.40$

$i^* = 0.20$

$i^* = 0.00$

relative Buntheit c^*

Ein und Ausgabe: Farbmetrisches Drucker-Reflektiv-System ORS19_96a für relativen CIELAB-Buntton $h^* = lab^*h^* = h_{ab}/360 = 0.679$

Daten für jede Farbe:

lab^*tch^* und lab^*icu^*

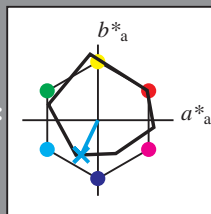
Bunttontexte:

$u^*_e = g75b$ $u^*_d = c11v$

Kontrastreduzierungsfaktor:

$c_R = 1.0$

Dreiecks-Helligkeit i^*



ORS19_96a; adaptierte CIELAB-Daten

	u^*_e	$L^*=L^*_a$	a^*_a	b^*_a	$C^*_{ab,a}$	$h^*_{ab,a}$
O _{Ma}	48.75	65.07	39.43	76.08	31	
Y _{Ma}	90.92	-10.29	87.24	87.85	97	
L _{Ma}	52.69	-65.44	20.75	68.65	162	
C _{Ma}	59.61	-28.98	-46.22	54.56	238	
V _{Ma}	28.39	23.63	-44.13	50.06	298	
M _{Ma}	49.58	73.93	-9.56	74.55	353	
N _{Ma}	18.89	0.0	0.0	0.0	0	
W _{Ma}	96.9	0.0	0.0	0.0	0	
R _{Ma}	39.92	58.74	27.99	65.07	25	
J _{Ma}	81.26	-2.89	71.56	71.62	92	
G _{Ma}	52.23	-42.42	13.6	44.55	162	
B _{Ma}	30.57	1.41	-46.47	46.49	272	

Daten für Maximalfarbe (Ma):

$LAB^*LAB^*_{Ma}$: 55 -22 -46

$LAB^*LCH^*_{Ma}$: 55 51 244

$lab^*rgb^*_{Ma}$: 0.0 0.5 1.0

$lab^*olv^*_{Ma}$: 0.0 0.89 1.0

Dreiecks-Helligkeit i^*

%Umfang

$u^*_{rel} = 89$

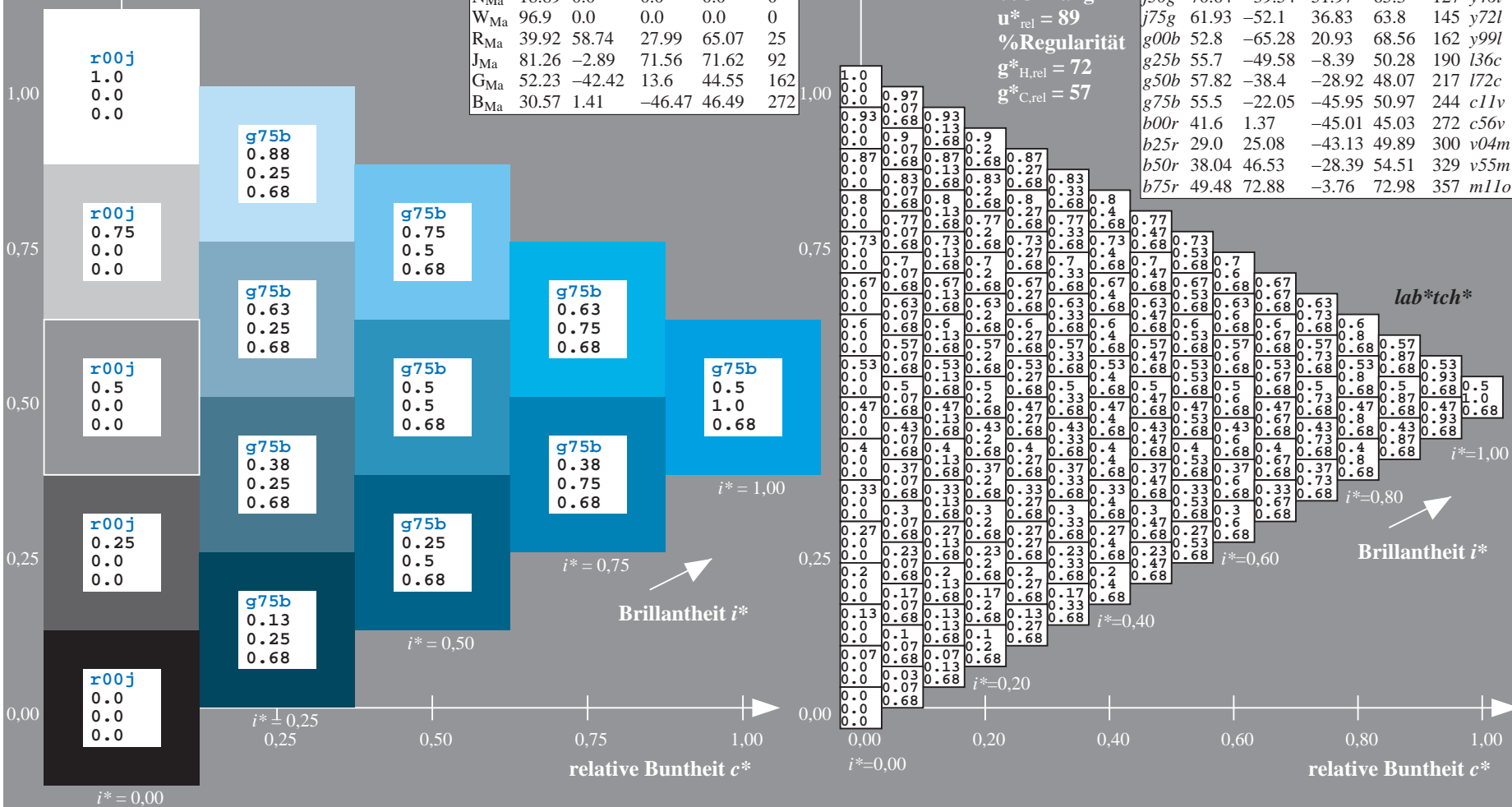
%Regularität

$g^*_{H,rel} = 72$

$g^*_{C,rel} = 57$

ORS19_96a; adaptierte CIELAB-Daten

	u^*_e	$L^*=L^*_a$	a^*_a	b^*_a	$C^*_{ab,a}$	$h^*_{ab,a}$	u^*_d
r00j	48.88	66.47	31.67	73.63	25	m84o	
r25j	55.85	52.39	47.48	70.7	42	o17y	
r50j	65.45	35.22	58.37	68.17	59	o42y	
r75j	75.19	17.82	69.41	71.66	76	o67y	
j00g	87.03	-3.35	82.83	82.9	92	o92y	
j25g	80.72	-25.01	69.5	73.86	110	y20l	
j50g	70.64	-39.54	51.97	65.3	127	y46l	
j75g	61.93	-52.1	36.83	63.8	145	y72l	
g00b	52.8	-65.28	20.93	68.56	162	y99l	
g25b	55.7	-49.58	-8.39	50.28	190	l36c	
g50b	57.82	-38.4	-28.92	48.07	217	l72c	
g75b	55.5	-22.05	-45.95	50.97	244	c11v	
b00r	41.6	1.37	-45.01	45.03	272	c56v	
b25r	29.0	25.08	-43.13	49.89	300	v04m	
b50r	38.04	46.53	-28.39	54.51	329	v55m	
b75r	49.48	72.88	-3.76	72.98	357	m11o	



Ein und Ausgabe: Farbmetrisches Drucker-Reflektiv-System ORS19_96a für relativen CIELAB-Buntton $h^* = lab^*h^* = h_{ab}/360 = 0.755$

Daten für jede Farbe:

lab^*tch^* und lab^*icu^*

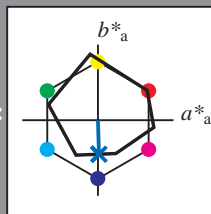
Bunttontexte:

$u^*_e = b00r$ $u^*_d = c56v$

Kontrastreduzierungsfaktor:

$c_R = 1.0$

Dreiecks-Helligkeit i^*



ORS19_96a; adaptierte CIELAB-Daten

u^*_e	$L^*=L^*_a$	a^*_a	b^*_a	$C^*_{ab,a}$	$h^*_{ab,a}$
O _{Ma}	48.75	65.07	39.43	76.08	31
Y _{Ma}	90.92	-10.29	87.24	87.85	97
L _{Ma}	52.69	-65.44	20.75	68.65	162
C _{Ma}	59.61	-28.98	-46.22	54.56	238
V _{Ma}	28.39	23.63	-44.13	50.06	298
M _{Ma}	49.58	73.93	-9.56	74.55	353
N _{Ma}	18.89	0.0	0.0	0.0	0
W _{Ma}	96.9	0.0	0.0	0.0	0
R _{Ma}	39.92	58.74	27.99	65.07	25
J _{Ma}	81.26	-2.89	71.56	71.62	92
G _{Ma}	52.23	-42.42	13.6	44.55	162
B _{Ma}	30.57	1.41	-46.47	46.49	272

Daten für Maximalfarbe (Ma):

$LAB^*LAB^*_{Ma}$: 42 1 -45

$LAB^*LCH^*_{Ma}$: 42 45 271

$lab^*rgb^*_{Ma}$: 0.0 0.0 1.0

$lab^*olv^*_{Ma}$: 0.0 0.44 1.0

Dreiecks-Helligkeit i^*

%Umfang

$u^*_{rel} = 89$

%Regularität

$g^*_{H,rel} = 72$

$g^*_{C,rel} = 57$

ORS19_96a; adaptierte CIELAB-Daten

u^*_e	$L^*=L^*_a$	a^*_a	b^*_a	$C^*_{ab,a}$	$h^*_{ab,a}$	u^*_d
r00j	48.88	66.47	31.67	73.63	25	m84o
r25j	55.85	52.39	47.48	70.7	42	o17y
r50j	65.45	35.22	58.37	68.17	59	o42y
r75j	75.19	17.82	69.41	71.66	76	o67y
j00g	87.03	-3.35	82.83	82.9	92	o92y
j25g	80.72	-25.01	69.5	73.86	110	y20l
j50g	70.64	-39.54	51.97	65.3	127	y46l
j75g	61.93	-52.1	36.83	63.8	145	y72l
g00b	52.8	-65.28	20.93	68.56	162	y99l
g25b	55.7	-49.58	-8.39	50.28	190	l36c
g50b	57.82	-38.4	-28.92	48.07	217	l72c
g75b	55.5	-22.05	-45.95	50.97	244	c11v
b00r	41.6	1.37	-45.01	45.03	272	c56v
b25r	29.0	25.08	-43.13	49.89	300	v04m
b50r	38.04	46.53	-28.39	54.51	329	v55m
b75r	49.48	72.88	-3.76	72.98	357	m11o

lab^*tch^*

$i^* = 1.00$

Brillantheit i^*

$i^* = 0.80$

$i^* = 0.60$

$i^* = 0.40$

$i^* = 0.20$

relative Buntheit c^*

relative Buntheit c^*

Ein und Ausgabe: Farbmetrisches Drucker-Reflektiv-System ORS19_96a für relativen CIELAB-Buntton $h^* = lab^*h^* = h_{ab}/360 = 0.834$

Daten für jede Farbe:

lab^*tch^* und lab^*icu^*

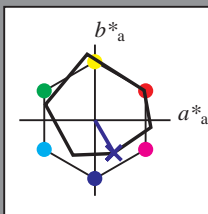
Bunttontexte:

$u^*_e = b25r$ $u^*_d = v04m$

Kontrastreduzierungsfaktor:

$c_R = 1.0$

Dreiecks-Helligkeit i^*



ORS19_96a; adaptierte CIELAB-Daten

	u^*_e	$L^*=L^*_a$	a^*_a	b^*_a	$C^*_{ab,a}$	$h^*_{ab,a}$
O _{Ma}	48.75	65.07	39.43	76.08	31	
Y _{Ma}	90.92	-10.29	87.24	87.85	97	
L _{Ma}	52.69	-65.44	20.75	68.65	162	
C _{Ma}	59.61	-28.98	-46.22	54.56	238	
V _{Ma}	28.39	23.63	-44.13	50.06	298	
M _{Ma}	49.58	73.93	-9.56	74.55	353	
N _{Ma}	18.89	0.0	0.0	0.0	0	
W _{Ma}	96.9	0.0	0.0	0.0	0	
R _{Ma}	39.92	58.74	27.99	65.07	25	
J _{Ma}	81.26	-2.89	71.56	71.62	92	
G _{Ma}	52.23	-42.42	13.6	44.55	162	
B _{Ma}	30.57	1.41	-46.47	46.49	272	

Daten für Maximalfarbe (Ma):

$LAB^*LAB^*_{Ma}$: 29 25 -43

$LAB^*LCH^*_{Ma}$: 29 50 300

$lab^*rgb^*_{Ma}$: 0.5 0.0 1.0

$lab^*olv^*_{Ma}$: 0.04 0.0 1.0

Dreiecks-Helligkeit i^*

%Umfang

$u^*_{rel} = 89$

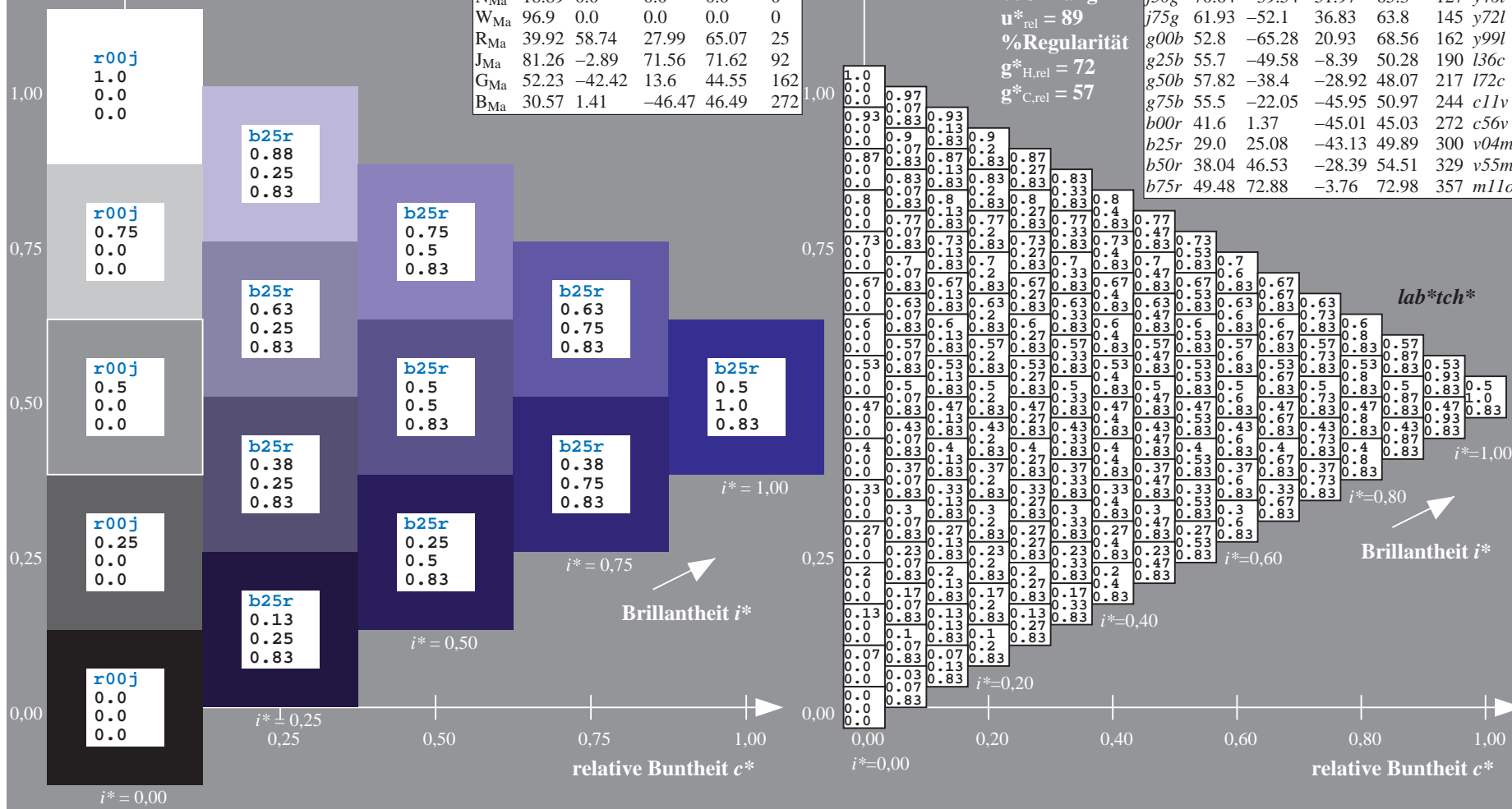
%Regularität

$g^*_{H,rel} = 72$

$g^*_{C,rel} = 57$

ORS19_96a; adaptierte CIELAB-Daten

	u^*_e	$L^*=L^*_a$	a^*_a	b^*_a	$C^*_{ab,a}$	$h^*_{ab,a}$	u^*_d
r00j	48.88	66.47	31.67	73.63	25	m84o	
r25j	55.85	52.39	47.48	70.7	42	o17y	
r50j	65.45	35.22	58.37	68.17	59	o42y	
r75j	75.19	17.82	69.41	71.66	76	o67y	
j00g	87.03	-3.35	82.83	82.9	92	o92y	
j25g	80.72	-25.01	69.5	73.86	110	y20l	
j50g	70.64	-39.54	51.97	65.3	127	y46l	
j75g	61.93	-52.1	36.83	63.8	145	y72l	
g00b	52.8	-65.28	20.93	68.56	162	y99l	
g25b	55.7	-49.58	-8.39	50.28	190	l36c	
g50b	57.82	-38.4	-28.92	48.07	217	l72c	
g75b	55.5	-22.05	-45.95	50.97	244	c11v	
b00r	41.6	1.37	-45.01	45.03	272	c56v	
b25r	29.0	25.08	-43.13	49.89	300	v04m	
b50r	38.04	46.53	-28.39	54.51	329	v55m	
b75r	49.48	72.88	-3.76	72.98	357	m11o	



Ein und Ausgabe: Farbmetrisches Drucker-Reflektiv-System ORS19_96a für relativen CIELAB-Buntton $h^* = lab^*h^* = h_{ab}/360 = 0.913$

Daten für jede Farbe:

lab^*tch^* und lab^*icu^*

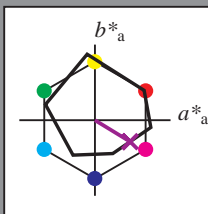
Bunttontexte:

$u^*_e = b50r$ $u^*_d = v55m$

Kontrastreduzierungsfaktor:

$c_R = 1.0$

Dreiecks-Helligkeit i^*



ORS19_96a; adaptierte CIELAB-Daten					
u^*_e	$L^*=L^*_a$	a^*_a	b^*_a	$C^*_{ab,a}$	$h^*_{ab,a}$
O _{Ma}	48.75	65.07	39.43	76.08	31
Y _{Ma}	90.92	-10.29	87.24	87.85	97
L _{Ma}	52.69	-65.44	20.75	68.65	162
C _{Ma}	59.61	-28.98	-46.22	54.56	238
V _{Ma}	28.39	23.63	-44.13	50.06	298
M _{Ma}	49.58	73.93	-9.56	74.55	353
N _{Ma}	18.89	0.0	0.0	0.0	0
W _{Ma}	96.9	0.0	0.0	0.0	0
R _{Ma}	39.92	58.74	27.99	65.07	25
J _{Ma}	81.26	-2.89	71.56	71.62	92
G _{Ma}	52.23	-42.42	13.6	44.55	162
B _{Ma}	30.57	1.41	-46.47	46.49	272

Daten für Maximalfarbe (Ma):

$LAB^*LAB^*_{Ma}$: 38 47 -28

$LAB^*LCH^*_{Ma}$: 38 55 328

$lab^*rgb^*_{Ma}$: 1.0 0.0 1.0

$lab^*olv^*_{Ma}$: 0.56 0.0 1.0

Dreiecks-Helligkeit i^*

%Umfang

$u^*_{rel} = 89$

%Regularität

$g^*_{H,rel} = 72$

$g^*_{C,rel} = 57$

ORS19_96a; adaptierte CIELAB-Daten					
u^*_e	$L^*=L^*_a$	a^*_a	b^*_a	$C^*_{ab,a}$	$h^*_{ab,a}$
r00j	48.88	66.47	31.67	73.63	25
r25j	55.85	52.39	47.48	70.7	42
r50j	65.45	35.22	58.37	68.17	59
r75j	75.19	17.82	69.41	71.66	76
j00g	87.03	-3.35	82.83	82.9	92
j25g	80.72	-25.01	69.5	73.86	110
j50g	70.64	-39.54	51.97	65.3	127
j75g	61.93	-52.1	36.83	63.8	145
g00b	52.8	-65.28	20.93	68.56	162
g25b	55.7	-49.58	-8.39	50.28	190
g50b	57.82	-38.4	-28.92	48.07	217
g75b	55.5	-22.05	-45.95	50.97	244
b00r	41.6	1.37	-45.01	45.03	272
b25r	29.0	25.08	-43.13	49.89	300
b50r	38.04	46.53	-28.39	54.51	329
b75r	49.48	72.88	-3.76	72.98	357

lab^*tch^*

$i^* = 1.00$

Brillantheit i^*

$i^* = 0.80$

$i^* = 0.60$

$i^* = 0.40$

$i^* = 0.20$

relative Buntheit c^*

relative Buntheit c^*

Ein und Ausgabe: Farbmetrisches Drucker-Reflektiv-System ORS19_96a für relativen CIELAB-Buntton $h^* = lab^*h^* = h_{ab}/360 = 0.992$

Daten für jede Farbe:

lab^*tch^* und lab^*icu^*

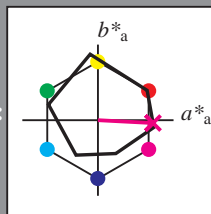
Bunttontexte:

$u^*_e = b75r$ $u^*_d = m11o$

Kontrastreduzierungsfaktor:

$c_R = 1.0$

Dreiecks-Helligkeit i^*



ORS19_96a; adaptierte CIELAB-Daten

u^*_e	$L^*=L^*_a$	a^*_a	b^*_a	$C^*_{ab,a}$	$h^*_{ab,a}$
O _{Ma}	48.75	65.07	39.43	76.08	31
Y _{Ma}	90.92	-10.29	87.24	87.85	97
L _{Ma}	52.69	-65.44	20.75	68.65	162
C _{Ma}	59.61	-28.98	-46.22	54.56	238
V _{Ma}	28.39	23.63	-44.13	50.06	298
M _{Ma}	49.58	73.93	-9.56	74.55	353
N _{Ma}	18.89	0.0	0.0	0.0	0
W _{Ma}	96.9	0.0	0.0	0.0	0
R _{Ma}	39.92	58.74	27.99	65.07	25
J _{Ma}	81.26	-2.89	71.56	71.62	92
G _{Ma}	52.23	-42.42	13.6	44.55	162
B _{Ma}	30.57	1.41	-46.47	46.49	272

Daten für Maximalfarbe (Ma):

$LAB^*LAB^*_{Ma}$: 49 73 -4

$LAB^*LCH^*_{Ma}$: 49 73 357

$lab^*rgb^*_{Ma}$: 1.0 0.0 0.5

$lab^*olv^*_{Ma}$: 1.0 0.0 0.89

Dreiecks-Helligkeit i^*

%Umfang

$u^*_{rel} = 89$

%Regularität

$g^*_{H,rel} = 72$

$g^*_{C,rel} = 57$

ORS19_96a; adaptierte CIELAB-Daten

u^*_e	$L^*=L^*_a$	a^*_a	b^*_a	$C^*_{ab,a}$	$h^*_{ab,a}$	u^*_d
r00j	48.88	66.47	31.67	73.63	25	m84o
r25j	55.85	52.39	47.48	70.7	42	o17y
r50j	65.45	35.22	58.37	68.17	59	o42y
r75j	75.19	17.82	69.41	71.66	76	o67y
j00g	87.03	-3.35	82.83	82.9	92	o92y
j25g	80.72	-25.01	69.5	73.86	110	y20l
j50g	70.64	-39.54	51.97	65.3	127	y46l
j75g	61.93	-52.1	36.83	63.8	145	y72l
g00b	52.8	-65.28	20.93	68.56	162	y99l
g25b	55.7	-49.58	-8.39	50.28	190	l36c
g50b	57.82	-38.4	-28.92	48.07	217	l72c
g75b	55.5	-22.05	-45.95	50.97	244	c11v
b00r	41.6	1.37	-45.01	45.03	272	c56v
b25r	29.0	25.08	-43.13	49.89	300	v04m
b50r	38.04	46.53	-28.39	54.51	329	v55m
b75r	49.48	72.88	-3.76	72.98	357	m11o

lab^*tch^*

$i^* = 1.00$

Brillantheit i^*

$i^* = 0.80$

$i^* = 0.60$

$i^* = 0.40$

$i^* = 0.20$

$i^* = 0.00$

Siehe ähnliche Dateien: <http://www.ps.bam.de/Eg38/>; www.ps.bam.de/Eg38/
Technische Information: [http://www.ps.bam.de/Version 2.1, io=1.1, ColSp=1](http://www.ps.bam.de/Version%202.1,%20io=1.1,%20ColSp=1)

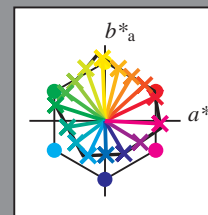
	A	B	C	D	E	F	G	H	I	J	K	L	M	N	O	P	Q	R	S	T	U	V	W	X	Y	Z	a	b	c	d	e	f	g	h	i	j	k	lab* <i>tch*</i>																																																																																																																																																																																																																																																																																																																																																																																																																																																																																																																																																																																																																																																																																																																																																																																																																																																																																																																																																																																																																																																																																																																																																																																																																														
01	0.0	0.06	0.13	0.19	0.25	0.31	0.38	0.44	0.5	0.56	0.63	0.69	0.75	0.81	0.88	0.94	1.0	1.06	1.13	1.19	1.25	1.31	1.38	1.44	1.5	1.56	1.63	1.69	1.75	1.81	1.88	1.94	2.0	2.06	2.13	2.19	2.25	2.31	2.38	2.44	2.5	2.56	2.63	2.69	2.75	2.81	2.88	2.94	3.0	3.06	3.13	3.19	3.25	3.31	3.38	3.44	3.5	3.56	3.63	3.69	3.75	3.81	3.88	3.94	4.0	4.06	4.13	4.19	4.25	4.31	4.38	4.44	4.5	4.56	4.63	4.69	4.75	4.81	4.88	4.94	5.0	5.06	5.13	5.19	5.25	5.31	5.38	5.44	5.5	5.56	5.63	5.69	5.75	5.81	5.88	5.94	6.0	6.06	6.13	6.19	6.25	6.31	6.38	6.44	6.5	6.56	6.63	6.69	6.75	6.81	6.88	6.94	7.0	7.06	7.13	7.19	7.25	7.31	7.38	7.44	7.5	7.56	7.63	7.69	7.75	7.81	7.88	7.94	8.0	8.06	8.13	8.19	8.25	8.31	8.38	8.44	8.5	8.56	8.63	8.69	8.75	8.81	8.88	8.94	9.0	9.06	9.13	9.19	9.25	9.31	9.38	9.44	9.5	9.56	9.63	9.69	9.75	9.81	9.88	9.94	10.0	10.06	10.13	10.19	10.25	10.31	10.38	10.44	10.5	10.56	10.63	10.69	10.75	10.81	10.88	10.94	11.0	11.06	11.13	11.19	11.25	11.31	11.38	11.44	11.5	11.56	11.63	11.69	11.75	11.81	11.88	11.94	12.0	12.06	12.13	12.19	12.25	12.31	12.38	12.44	12.5	12.56	12.63	12.69	12.75	12.81	12.88	12.94	13.0	13.06	13.13	13.19	13.25	13.31	13.38	13.44	13.5	13.56	13.63	13.69	13.75	13.81	13.88	13.94	14.0	14.06	14.13	14.19	14.25	14.31	14.38	14.44	14.5	14.56	14.63	14.69	14.75	14.81	14.88	14.94	15.0	15.06	15.13	15.19	15.25	15.31	15.38	15.44	15.5	15.56	15.63	15.69	15.75	15.81	15.88	15.94	16.0	16.06	16.13	16.19	16.25	16.31	16.38	16.44	16.5	16.56	16.63	16.69	16.75	16.81	16.88	16.94	17.0	17.06	17.13	17.19	17.25	17.31	17.38	17.44	17.5	17.56	17.63	17.69	17.75	17.81	17.88	17.94	18.0	18.06	18.13	18.19	18.25	18.31	18.38	18.44	18.5	18.56	18.63	18.69	18.75	18.81	18.88	18.94	19.0	19.06	19.13	19.19	19.25	19.31	19.38	19.44	19.5	19.56	19.63	19.69	19.75	19.81	19.88	19.94	20.0	20.06	20.13	20.19	20.25	20.31	20.38	20.44	20.5	20.56	20.63	20.69	20.75	20.81	20.88	20.94	21.0	21.06	21.13	21.19	21.25	21.31	21.38	21.44	21.5	21.56	21.63	21.69	21.75	21.81	21.88	21.94	22.0	22.06	22.13	22.19	22.25	22.31	22.38	22.44	22.5	22.56	22.63	22.69	22.75	22.81	22.88	22.94	23.0	23.06	23.13	23.19	23.25	23.31	23.38	23.44	23.5	23.56	23.63	23.69	23.75	23.81	23.88	23.94	24.0	24.06	24.13	24.19	24.25	24.31	24.38	24.44	24.5	24.56	24.63	24.69	24.75	24.81	24.88	24.94	25.0	25.06	25.13	25.19	25.25	25.31	25.38	25.44	25.5	25.56	25.63	25.69	25.75	25.81	25.88	25.94	26.0	26.06	26.13	26.19	26.25	26.31	26.38	26.44	26.5	26.56	26.63	26.69	26.75	26.81	26.88	26.94	27.0	27.06	27.13	27.19	27.25	27.31	27.38	27.44	27.5	27.56	27.63	27.69	27.75	27.81	27.88	27.94	28.0	28.06	28.13	28.19	28.25	28.31	28.38	28.44	28.5	28.56	28.63	28.69	28.75	28.81	28.88	28.94	29.0	29.06	29.13	29.19	29.25	29.31	29.38	29.44	29.5	29.56	29.63	29.69	29.75	29.81	29.88	29.94	30.0	30.06	30.13	30.19	30.25	30.31	30.38	30.44	30.5	30.56	30.63	30.69	30.75	30.81	30.88	30.94	31.0	31.06	31.13	31.19	31.25	31.31	31.38	31.44	31.5	31.56	31.63	31.69	31.75	31.81	31.88	31.94	32.0	32.06	32.13	32.19	32.25	32.31	32.38	32.44	32.5	32.56	32.63	32.69	32.75	32.81	32.88	32.94	33.0	33.06	33.13	33.19	33.25	33.31	33.38	33.44	33.5	33.56	33.63	33.69	33.75	33.81	33.88	33.94	34.0	34.06	34.13	34.19	34.25	34.31	34.38	34.44	34.5	34.56	34.63	34.69	34.75	34.81	34.88	34.94	35.0	35.06	35.13	35.19	35.25	35.31	35.38	35.44	35.5	35.56	35.63	35.69	35.75	35.81	35.88	35.94	36.0	36.06	36.13	36.19	36.25	36.31	36.38	36.44	36.5	36.56	36.63	36.69	36.75	36.81	36.88	36.94	37.0	37.06	37.13	37.19	37.25	37.31	37.38	37.44	37.5	37.56	37.63	37.69	37.75	37.81	37.88	37.94	38.0	38.06	38.13	38.19	38.25	38.31	38.38	38.44	38.5	38.56	38.63	38.69	38.75	38.81	38.88	38.94	39.0	39.06	39.13	39.19	39.25	39.31	39.38	39.44	39.5	39.56	39.63	39.69	39.75	39.81	39.88	39.94	40.0	40.06	40.13	40.19	40.25	40.31	40.38	40.44	40.5	40.56	40.63	40.69	40.75	40.81	40.88	40.94	41.0	41.06	41.13	41.19	41.25	41.31	41.38	41.44	41.5	41.56	41.63	41.69	41.75	41.81	41.88	41.94	42.0	42.06	42.13	42.19	42.25	42.31	42.38	42.44	42.5	42.56	42.63	42.69	42.75	42.81	42.88	42.94	43.0	43.06	43.13	43.19	43.25	43.31	43.38	43.44	43.5	43.56	43.63	43.69	43.75	43.81	43.88	43.94	44.0	44.06	44.13	44.19	44.25	44.31	44.38	44.44	44.5	44.56	44.63	44.69	44.75	44.81	44.88	44.94	45.0	45.06	45.13	45.19	45.25	45.31	45.38	45.44	45.5	45.56	45.63	45.69	45.75	45.81	45.88	45.94	46.0	46.06	46.13	46.19	46.25	46.31	46.38	46.44	46.5	46.56	46.63	46.69	46.75	46.81	46.88	46.94	47.0	47.06	47.13	47.19	47.25	47.31	47.38	47.44	47.5	47.56	47.63	47.69	47.75	47.81	47.88	47.94	48.0	48.06	48.13	48.19	48.25	48.31	48.38	48.44	48.5	48.56	48.63	48.69	48.75	48.81	48.88	48.94	49.0	49.06	49.13	49.19	49.25	49.31	49.38	49.44	49.5	49.56	49.63	49.69	49.75	49.81	49.88	49.94	50.0	50.06	50.13	50.19	50.25	50.31	50.38	50.44	50.5	50.56	50.63	50.69	50.75	50.81	50.88	50.94	51.0	51.06	51.13	51.19	51.25	51.31	51.38	51.44	51.5	51.56	51.63	51.69	51.75	51.81	51.88	51.94	52.0	52.06	52.13	52.19	52.25	52.31	52.38	52.44	52.5	52.56	52.63	52.69	52.75	52.81	52.88	52.94	53.0	53.06	53.13	53.19	53.25	53.31	53.38	53.44	53.5	53.56	53.63	53.69	53.75	53.81	53.88	53.94	54.0	54.06	54.13	54.19	54.25	54.31	54.38	54.44	54.5	54.56	54.63	54.69	54.75	54.81	54.88	54.94	55.0	55.06	55.13	55.19	55.25	55.31	55.38	55.44	55.5	55.56	55.63	55.69	55.75	55.81	55.88	55.94	56.0	56.06	56.13	56.19	56.25	56.31	56.38	56.44	56.5	56.56	56.63	56.69	56.75	56.81	56.88	56.94	57.0	57.06	57.13	57.19	57.25	57.31	57.38	57.44	57.5	57.56	57.63	57.69	57.75	57.81	57.88	57.94	58.0	58.06	58.13	58.19	58.25	58.31	58.38	58.44	58.5	58.56	58.63	58.69	58.75	58.81	58.88	58.94	59.0	59.06	59.13	59.19	59.25	59.31	59.38	59.44	59.5	59.56	59.63	59.69	59.75	59.81	59.88	59.94	60.0	60.06	60.13	60.19	60.25	60.31	60.38	60.44	60.5	60.56	60.63	60.69	60.75	60.81	60.88	60.94	61.0	61.06	61.13	61.19	61.25	61.31	61.38	61.44	61.5	61.56	61.63	61.69	61.75	61.81	61.88	61.94	62.0	62.06	62.13	62.19	62.25	62.31	62.38	62.44	62.5	62.56	62.63	62.69	62.75	62.81	62.88	62.94	63.0	63.06	63.13	63.19	63.25	63.31	63.38	63.44	63.5	63.56	63.63	63.69	63.75	63.81	63.88	63.94	64.0	64.06	64.13	64.19	64.25	64.31	64.38	64.44	64.5	64.56	64.63	64.69	64.75	64.81	64.88	64.94	65.0	65.06	65.13	65.19	65.25	65.31	65.38	65.44	65.5	65.56	65.63	65.69	65.75	65.81	65.88	65.94	66.0	66.06	66.13	66.19	66.25	66.31	66.38	66.44	66.5	66.56	66.63	66.69	66.75	66.81	66.88	66.94	67.0	67.06	67.13	67.19	67.25	67.31	67.38	67.44	67.5	67.56	67.63	67.69	67.75	67.81	67.88	67.94	68.0	68.06	68.13	68.19	68.25	68.31	68.38	68.44	68.5	68.56	68.63	68.69	68.75	68.81	68.88	68.94	69.0	69.06	69.13	69.19	69.25	69.31	69.38	69.44	69.5	69.56	69.63	69.69	69.75	69.81	69.88	69.94	70.0	70.06	70.13	70.19	70.25	70.31	70.38	70.44	70.5	70.56	70.63	70.69	70.75	70.81	70.88	70.94	71.0	71.06	71.13	71.19	71.25	71.31	71.38	71.44	71.5	71.56	71.63	71.69	71.75	71.81	71.88	71.94	72.0	72.06	72.13	72.19	72.25	72.31	72.38	72.44	72.5	72.56	72.63	72.69	72.75	72.81	72.88	72.94	73.0	73.06	73.13	73.19	73.25	73.31	73.38	73.44	73.5	73.56	73.63	73.69	73.75	73.81	73.88	73.94	74.0	74.06	74.13	74.19	74.25	74.31	74.38	74.44	74.5	74.56	74.63	74.69	74.75	74.81	74.88	74.94	75.0	75.06	75.13	75.19	75.25	75.31	75.38	75.44	75.5	75.56	75.63	75.69	75.75	75.81	75.88	75.94	76.0	76.06	76.13	76

Ein und Ausgabe:
Farbmetrisches Drucker-Reflektiv-System ORS19_96a
Daten für jede Farbe:

u^*_e und Nummer $Nr.$ = 00 .. 15
Elementar-Bunttontext:
 $u^*_e = 16$ Bunttoene $r00j, r25j, \dots, b75r$
Kontrastreduzierungsfaktor:
 $c_R = 1.0$

ORS19_96a; adaptierte CIELAB-Daten

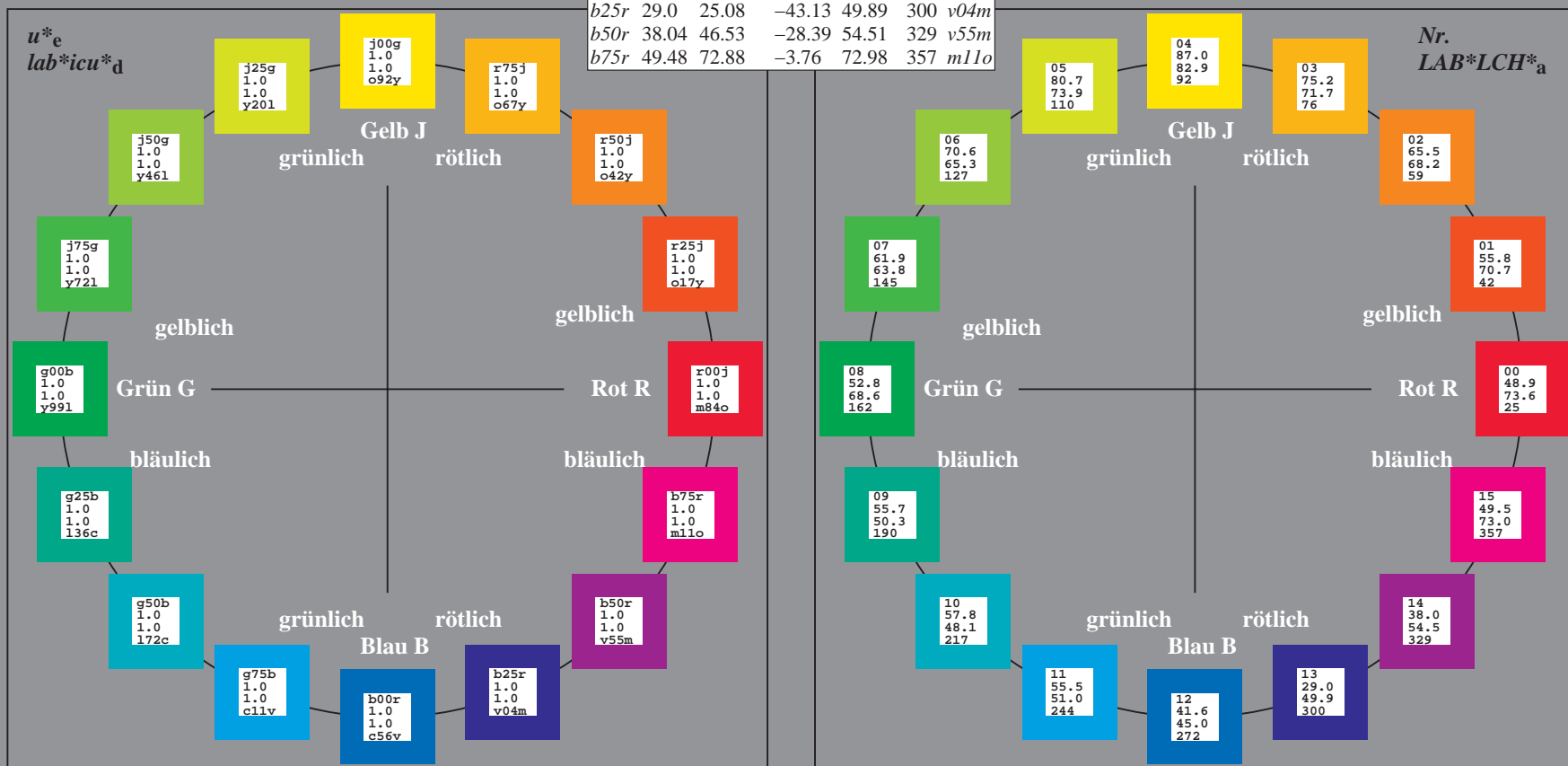
u^*_e	$L^*=L^*_a$	a^*_a	b^*_a	$C^*_{ab,a}$	$h^*_{ab,a}$	u^*_d
$r00j$	48.88	66.47	31.67	73.63	25	$m84o$
$r25j$	55.85	52.39	47.48	70.7	42	$o17y$
$r50j$	65.45	35.22	58.37	68.17	59	$o42y$
$r75j$	75.19	17.82	69.41	71.66	76	$o67y$
$j00g$	87.03	-3.35	82.83	82.9	92	$o92y$
$j25g$	80.72	-25.01	69.5	73.86	110	$y20l$
$j50g$	70.64	-39.54	51.97	65.3	127	$y46l$
$j75g$	61.93	-52.1	36.83	63.8	145	$y72l$
$g00b$	52.8	-65.28	20.93	68.56	162	$y99l$
$g25b$	55.7	-49.58	-8.39	50.28	190	$l36c$
$g50b$	57.82	-38.4	-28.92	48.07	217	$l72c$
$g75b$	55.5	-22.05	-45.95	50.97	244	$c11v$
$b00r$	41.6	1.37	-45.01	45.03	272	$c56v$
$b25r$	29.0	25.08	-43.13	49.89	300	$v04m$
$b50r$	38.04	46.53	-28.39	54.51	329	$v55m$
$b75r$	49.48	72.88	-3.76	72.98	357	$m11o$



%Umfang
 $u^*_{rel} = 89$
%Regularität
 $g^*_{H,rel} = 72$
 $g^*_{C,rel} = 57$

ORS19_96a; adaptierte CIELAB-Daten

Name	$L^*=L^*_a$	a^*_a	b^*_a	$C^*_{ab,a}$	$h^*_{ab,a}$
O_{Ma}	48.75	65.07	39.43	76.08	31
Y_{Ma}	90.92	-10.29	87.24	87.85	97
L_{Ma}	52.69	-65.44	20.75	68.65	162
C_{Ma}	59.61	-28.98	-46.22	54.56	238
V_{Ma}	28.39	23.63	-44.13	50.06	298
M_{Ma}	49.58	73.93	-9.56	74.55	353
N_{Ma}	18.89	0.0	0.0	0.0	0
W_{Ma}	96.9	0.0	0.0	0.0	0
R_{CIE}	39.92	58.74	27.99	65.07	25
J_{CIE}	81.26	-2.89	71.56	71.62	92
G_{CIE}	52.23	-42.42	13.6	44.55	162
B_{CIE}	30.57	1.41	-46.47	46.49	272



Ein und Ausgabe: Farbmetrisches Drucker-Reflektiv-System ORS19_96a für relativen CIELAB-Buntton $h^* = \text{lab}^*h^* = h_{ab}/360 = 0.071$

Daten für jede Farbe:

lab^*tch^* und lab^*icu^*

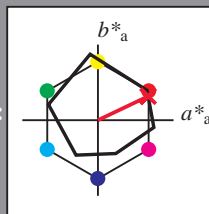
Bunttontexte:

$u^*_e = r00j$ $u^*_d = m84o$

Kontrastreduzierungsfaktor:

$c_R = 1.0$

Dreiecks-Helligkeit i^*



ORS19_96a; adaptierte CIELAB-Daten

u^*_e	$L^*=L^*_a$	a^*_a	b^*_a	$C^*_{ab,a}$	$h^*_{ab,a}$
O _{Ma}	48.75	65.07	39.43	76.08	31
Y _{Ma}	90.92	-10.29	87.24	87.85	97
L _{Ma}	52.69	-65.44	20.75	68.65	162
C _{Ma}	59.61	-28.98	-46.22	54.56	238
V _{Ma}	28.39	23.63	-44.13	50.06	298
M _{Ma}	49.58	73.93	-9.56	74.55	353
N _{Ma}	18.89	0.0	0.0	0.0	0
W _{Ma}	96.9	0.0	0.0	0.0	0
R _{Ma}	39.92	58.74	27.99	65.07	25
J _{Ma}	81.26	-2.89	71.56	71.62	92
G _{Ma}	52.23	-42.42	13.6	44.55	162
B _{Ma}	30.57	1.41	-46.47	46.49	272

Daten für Maximalfarbe (Ma):

$\text{LAB}^*\text{LAB}^*_{\text{Ma}}$: 49 66 32

$\text{LAB}^*\text{LCH}^*_{\text{Ma}}$: 49 74 25

$\text{lab}^*\text{rgb}^*_{\text{Ma}}$: 1.0 0.0 0.0

$\text{lab}^*\text{olv}^*_{\text{Ma}}$: 1.0 0.0 0.15

Dreiecks-Helligkeit i^*

%Umfang

$u^*_{\text{rel}} = 89$

%Regularität

$g^*_{H,\text{rel}} = 72$

$g^*_{C,\text{rel}} = 57$

ORS19_96a; adaptierte CIELAB-Daten

u^*_e	$L^*=L^*_a$	a^*_a	b^*_a	$C^*_{ab,a}$	$h^*_{ab,a}$	u^*_d
r00j	48.88	66.47	31.67	73.63	25	m84o
r25j	55.85	52.39	47.48	70.7	42	o17y
r50j	65.45	35.22	58.37	68.17	59	o42y
r75j	75.19	17.82	69.41	71.66	76	o67y
j00g	87.03	-3.35	82.83	82.9	92	o92y
j25g	80.72	-25.01	69.5	73.86	110	y20l
j50g	70.64	-39.54	51.97	65.3	127	y46l
j75g	61.93	-52.1	36.83	63.8	145	y72l
g00b	52.8	-65.28	20.93	68.56	162	y99l
g25b	55.7	-49.58	-8.39	50.28	190	l36c
g50b	57.82	-38.4	-28.92	48.07	217	l72c
g75b	55.5	-22.05	-45.95	50.97	244	c11v
b00r	41.6	1.37	-45.01	45.03	272	c56v
b25r	29.0	25.08	-43.13	49.89	300	v04m
b50r	38.04	46.53	-28.39	54.51	329	v55m
b75r	49.48	72.88	-3.76	72.98	357	m11o

$\text{lab}^*\text{icu}^*_d$

$i^* = 1.00$

Brillantheit i^*

$i^* = 0.80$

$i^* = 0.60$

$i^* = 0.40$

$i^* = 0.20$

$i^* = 0.00$

relative Buntheit c^*

relative Buntheit c^*

Ein und Ausgabe: Farbmetrisches Drucker-Reflektiv-System ORS19_96a für relativen CIELAB-Buntton $h^* = lab^*h^* = h_{ab}/360 = 0.117$

Daten für jede Farbe:

lab^*ch^* und lab^*icu^*

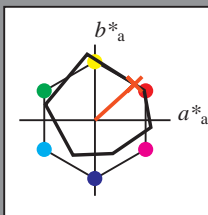
Bunttontexte:

$u^*_e = r25j$ $u^*_d = o17y$

Kontrastreduzierungsfaktor:

$c_R = 1.0$

Dreiecks-Helligkeit i^*



ORS19_96a; adaptierte CIELAB-Daten

u^*_e	$L^*=L^*_a$	a^*_a	b^*_a	$C^*_{ab,a}$	$h^*_{ab,a}$
O _{Ma}	48.75	65.07	39.43	76.08	31
Y _{Ma}	90.92	-10.29	87.24	87.85	97
L _{Ma}	52.69	-65.44	20.75	68.65	162
C _{Ma}	59.61	-28.98	-46.22	54.56	238
V _{Ma}	28.39	23.63	-44.13	50.06	298
M _{Ma}	49.58	73.93	-9.56	74.55	353
N _{Ma}	18.89	0.0	0.0	0.0	0
W _{Ma}	96.9	0.0	0.0	0.0	0
R _{Ma}	39.92	58.74	27.99	65.07	25
J _{Ma}	81.26	-2.89	71.56	71.62	92
G _{Ma}	52.23	-42.42	13.6	44.55	162
B _{Ma}	30.57	1.41	-46.47	46.49	272

Daten für Maximalfarbe (Ma):

$LAB^*LAB^*_{Ma}$: 56 52 47

$LAB^*LCH^*_{Ma}$: 56 71 42

$lab^*rgb^*_{Ma}$: 1.0 0.25 0.0

$lab^*olv^*_{Ma}$: 1.0 0.17 0.0

Dreiecks-Helligkeit i^*

%Umfang

$u^*_{rel} = 89$

%Regularität

$g^*_{H,rel} = 72$

$g^*_{C,rel} = 57$

ORS19_96a; adaptierte CIELAB-Daten

u^*_e	$L^*=L^*_a$	a^*_a	b^*_a	$C^*_{ab,a}$	$h^*_{ab,a}$	u^*_d
r00j	48.88	66.47	31.67	73.63	25	m84o
r25j	55.85	52.39	47.48	70.7	42	o17y
r50j	65.45	35.22	58.37	68.17	59	o42y
r75j	75.19	17.82	69.41	71.66	76	o67y
j00g	87.03	-3.35	82.83	82.9	92	o92y
j25g	80.72	-25.01	69.5	73.86	110	y20l
j50g	70.64	-39.54	51.97	65.3	127	y46l
j75g	61.93	-52.1	36.83	63.8	145	y72l
g00b	52.8	-65.28	20.93	68.56	162	y99l
g25b	55.7	-49.58	-8.39	50.28	190	l36c
g50b	57.82	-38.4	-28.92	48.07	217	l72c
g75b	55.5	-22.05	-45.95	50.97	244	c11v
b00r	41.6	1.37	-45.01	45.03	272	c56v
b25r	29.0	25.08	-43.13	49.89	300	v04m
b50r	38.04	46.53	-28.39	54.51	329	v55m
b75r	49.48	72.88	-3.76	72.98	357	m11o

$lab^*icu^*_d$

$i^* = 1.00$

Brillantheit i^*

$i^* = 0.80$

$i^* = 0.60$

$i^* = 0.40$

$i^* = 0.20$

relative Buntheit c^*

Ein und Ausgabe: Farbmetrisches Drucker-Reflektiv-System ORS19_96a für relativen CIELAB-Buntton $h^* = \text{lab}^*h^* = h_{ab}/360 = 0.164$

Daten für jede Farbe:

lab^*tch^* und lab^*icu^*

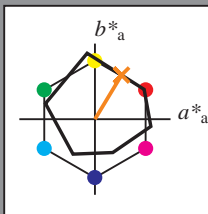
Bunttontexte:

$u^*_e = r50j$ $u^*_d = o42y$

Kontrastreduzierungsfaktor:

$c_R = 1.0$

Dreiecks-Helligkeit i^*



ORS19_96a; adaptierte CIELAB-Daten

u^*_e	$L^*=L^*_a$	a^*_a	b^*_a	$C^*_{ab,a}$	$h^*_{ab,a}$
O _{Ma}	48.75	65.07	39.43	76.08	31
Y _{Ma}	90.92	-10.29	87.24	87.85	97
L _{Ma}	52.69	-65.44	20.75	68.65	162
C _{Ma}	59.61	-28.98	-46.22	54.56	238
V _{Ma}	28.39	23.63	-44.13	50.06	298
M _{Ma}	49.58	73.93	-9.56	74.55	353
N _{Ma}	18.89	0.0	0.0	0.0	0
W _{Ma}	96.9	0.0	0.0	0.0	0
R _{Ma}	39.92	58.74	27.99	65.07	25
J _{Ma}	81.26	-2.89	71.56	71.62	92
G _{Ma}	52.23	-42.42	13.6	44.55	162
B _{Ma}	30.57	1.41	-46.47	46.49	272

Daten für Maximalfarbe (Ma):

$\text{LAB}^*\text{LAB}^*_{\text{Ma}}$: 65 35 58

$\text{LAB}^*\text{LCH}^*_{\text{Ma}}$: 65 68 58

$\text{lab}^*\text{rgb}^*_{\text{Ma}}$: 1.0 0.5 0.0

$\text{lab}^*\text{olv}^*_{\text{Ma}}$: 1.0 0.42 0.0

Dreiecks-Helligkeit i^*

%Umfang

$u^*_{\text{rel}} = 89$

%Regularität

$g^*_{H,\text{rel}} = 72$

$g^*_{C,\text{rel}} = 57$

ORS19_96a; adaptierte CIELAB-Daten

u^*_e	$L^*=L^*_a$	a^*_a	b^*_a	$C^*_{ab,a}$	$h^*_{ab,a}$	u^*_d
r00j	48.88	66.47	31.67	73.63	25	m84o
r25j	55.85	52.39	47.48	70.7	42	o17y
r50j	65.45	35.22	58.37	68.17	59	o42y
r75j	75.19	17.82	69.41	71.66	76	o67y
j00g	87.03	-3.35	82.83	82.9	92	o92y
j25g	80.72	-25.01	69.5	73.86	110	y20l
j50g	70.64	-39.54	51.97	65.3	127	y46l
j75g	61.93	-52.1	36.83	63.8	145	y72l
g00b	52.8	-65.28	20.93	68.56	162	y99l
g25b	55.7	-49.58	-8.39	50.28	190	l36c
g50b	57.82	-38.4	-28.92	48.07	217	l72c
g75b	55.5	-22.05	-45.95	50.97	244	c11v
b00r	41.6	1.37	-45.01	45.03	272	c56v
b25r	29.0	25.08	-43.13	49.89	300	v04m
b50r	38.04	46.53	-28.39	54.51	329	v55m
b75r	49.48	72.88	-3.76	72.98	357	m11o

$\text{lab}^*\text{icu}^*_d$

$i^* = 1.00$

Brillantheit i^*

$i^* = 0.80$

$i^* = 0.60$

$i^* = 0.40$

$i^* = 0.20$

$i^* = 0.00$

relative Buntheit c^*

relative Buntheit c^*

Daten für jede Farbe:

*lab*tch** und *lab*icu**

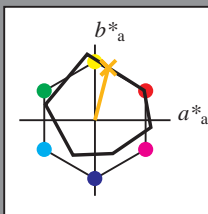
Bunttexte:

$$u^*_e = r75j \quad u^*_d = o67y$$

Kontrastreduzierungsfaktor:

 $c_p = 1.0$

K Dreiecks-Helligkeit t^*



ORS19 96a; adaptierte CIELAB-Daten						
u_e^*	$L^*=L_a^*$	a^*_a	b^*_a	$C^*_{ab,a}$	$h^*_{ab,a}$	
O _{Ma}	48.75	65.07	39.43	76.08	31	
Y _{Ma}	90.92	-10.29	87.24	87.85	97	
L _{Ma}	52.69	-65.44	20.75	68.65	162	
C _{Ma}	59.61	-28.98	-46.22	54.56	238	
V _{Ma}	28.39	23.63	-44.13	50.06	298	
M _{Ma}	49.58	73.93	-9.56	74.55	353	
N _{Ma}	18.89	0.0	0.0	0.0	0	
W _{Ma}	96.9	0.0	0.0	0.0	0	
R _{Ma}	39.92	58.74	27.99	65.07	25	
J _{Ma}	81.26	-2.89	71.56	71.62	92	
G _{Ma}	52.23	-42.42	13.6	44.55	162	
B _{Ma}	30.57	1.41	-46.47	46.49	272	

Daten für Maximalfarbe (Ma):

*LAB*LAB*Mo: 75 18 69*

LAD LAB Ma. 75 16 69

LAB*LCH*Ma: 75 72 75

*lab*rgb*_Ma: 1.0 0.75 0.0*

*lab*olv**M_a: 1.0 0.68 0.0

Dreiecks-Helligkeit t^*

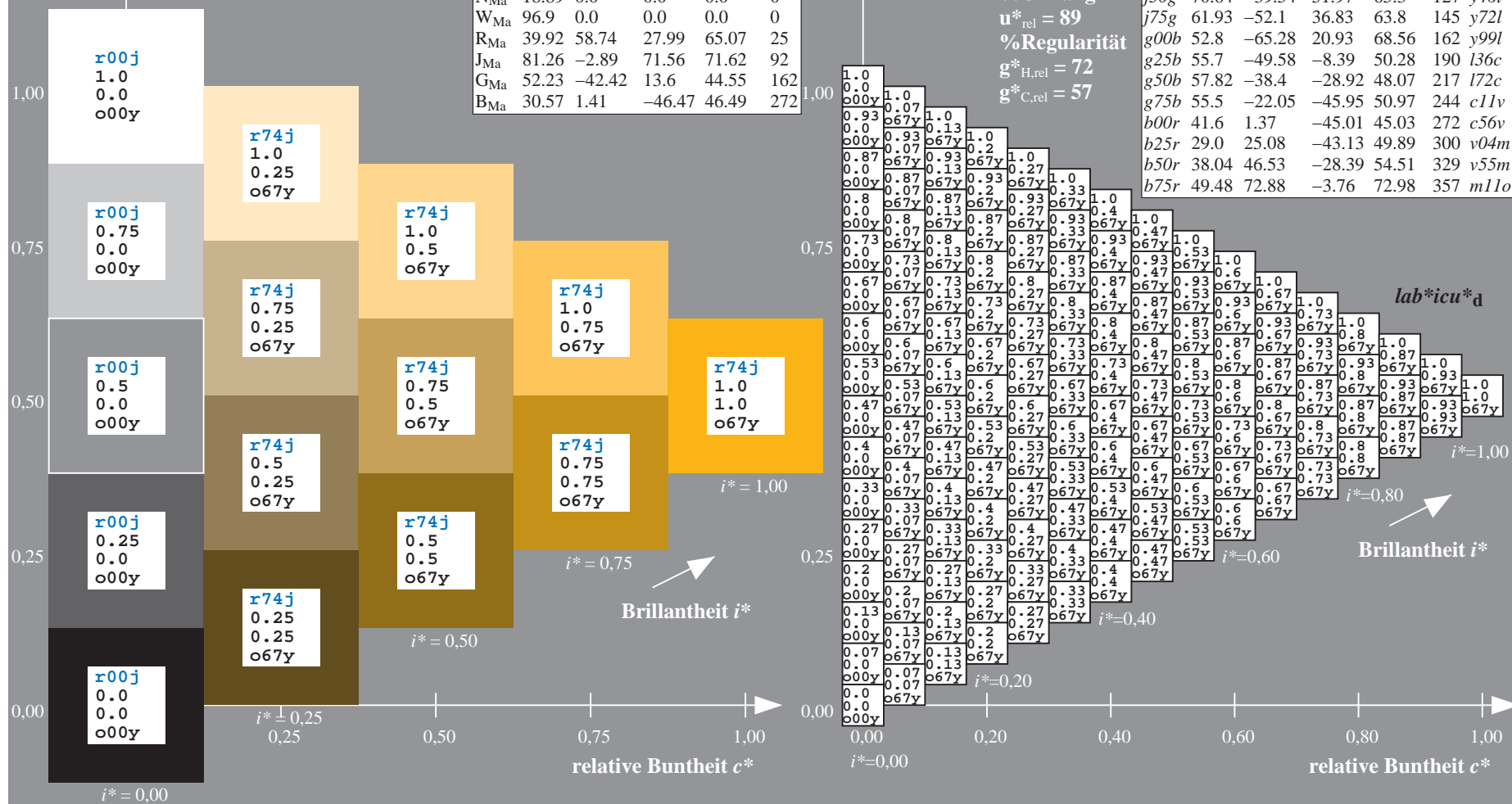
%Umfang

$$\mathbf{u}_{\text{rel}}^* = 89$$

%Regularität

$$g^*_{H,rel} = 72$$
$$g^*_{C,rel} = 57$$

ORS19_96a; adaptierte CIELAB-Daten						
u_e^*	$L^*=L_a^*$	a_a^*	b_a^*	$C_{ab,a}^*$	$h_{ab,a}^*$	u_d^*
<i>r00j</i>	48.88	66.47	31.67	73.63	25	<i>m84o</i>
<i>r25j</i>	55.85	52.39	47.48	70.7	42	<i>o17y</i>
<i>r50j</i>	65.45	35.22	58.37	68.17	59	<i>o42y</i>
<i>r75j</i>	75.19	17.82	69.41	71.66	76	<i>o67y</i>
<i>j00g</i>	87.03	-3.35	82.83	82.9	92	<i>o92y</i>
<i>j25g</i>	80.72	-25.01	69.5	73.86	110	<i>y20l</i>
<i>j50g</i>	70.64	-39.54	51.97	65.3	127	<i>y46l</i>
<i>j75g</i>	61.93	-52.1	36.83	63.8	145	<i>y72l</i>
<i>g00b</i>	52.8	-65.28	20.93	68.56	162	<i>y99l</i>
<i>g25b</i>	55.7	-49.58	-8.39	50.28	190	<i>l36c</i>
<i>g50b</i>	57.82	-38.4	-28.92	48.07	217	<i>l72c</i>
<i>g75b</i>	55.5	-22.05	-45.95	50.97	244	<i>c11v</i>
<i>b00r</i>	41.6	1.37	-45.01	45.03	272	<i>c56v</i>
<i>b25r</i>	29.0	25.08	-43.13	49.89	300	<i>v04m</i>
<i>b50r</i>	38.04	46.53	-28.39	54.51	329	<i>v55m</i>
<i>b75r</i>	49.48	72.88	-3.76	72.98	357	<i>m11o</i>



BAM-Prüfvorlage Eg38; Farbmatrik-Systeme, Seite 131/198 Eingabe: 000n / w / nnn0 / www set...
D65: Farbreihen, Datentabellen für 16 Bunttöne r00j bis b75r Ausgabe: ->cmyn6* setcmykcolor

Eingabe: *000n / w / nnn0 / www set...*

Ausgabe: $\rightarrow \text{cmvyn6}^* \text{setcmvycolor}$

Ein und Ausgabe: Farbmetrisches Drucker-Reflektiv-System ORS19_96a für relativen CIELAB-Buntton $h^* = lab^*h^* = h_{ab}/360 = 0.256$

Daten für jede Farbe:

lab^*ch^* und lab^*icu^*

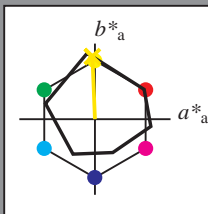
Bunttontexte:

$u^*_e = j00g$ $u^*_d = o92y$

Kontrastreduzierungsfaktor:

$c_R = 1.0$

Dreiecks-Helligkeit i^*



ORS19_96a; adaptierte CIELAB-Daten

u^*_e	$L^*=L^*_a$	a^*_a	b^*_a	$C^*_{ab,a}$	$h^*_{ab,a}$
O _{Ma}	48.75	65.07	39.43	76.08	31
Y _{Ma}	90.92	-10.29	87.24	87.85	97
L _{Ma}	52.69	-65.44	20.75	68.65	162
C _{Ma}	59.61	-28.98	-46.22	54.56	238
V _{Ma}	28.39	23.63	-44.13	50.06	298
M _{Ma}	49.58	73.93	-9.56	74.55	353
N _{Ma}	18.89	0.0	0.0	0.0	0
W _{Ma}	96.9	0.0	0.0	0.0	0
R _{Ma}	39.92	58.74	27.99	65.07	25
J _{Ma}	81.26	-2.89	71.56	71.62	92
G _{Ma}	52.23	-42.42	13.6	44.55	162
B _{Ma}	30.57	1.41	-46.47	46.49	272

Daten für Maximalfarbe (Ma):

$LAB^*LAB^*_{Ma}$: 87 -3 83

$LAB^*LCH^*_{Ma}$: 87 83 92

$lab^*rgb^*_{Ma}$: 1.0 1.0 0.0

$lab^*olv^*_{Ma}$: 1.0 0.93 0.0

Dreiecks-Helligkeit i^*

%Umfang

$u^*_{rel} = 89$

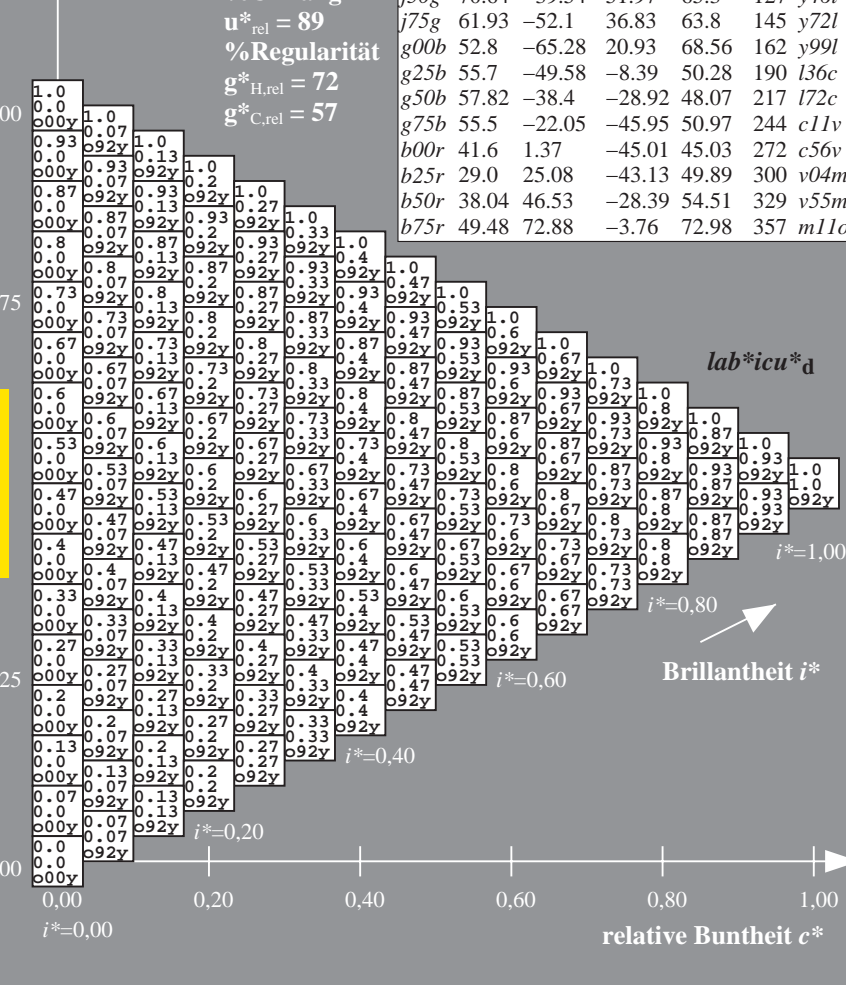
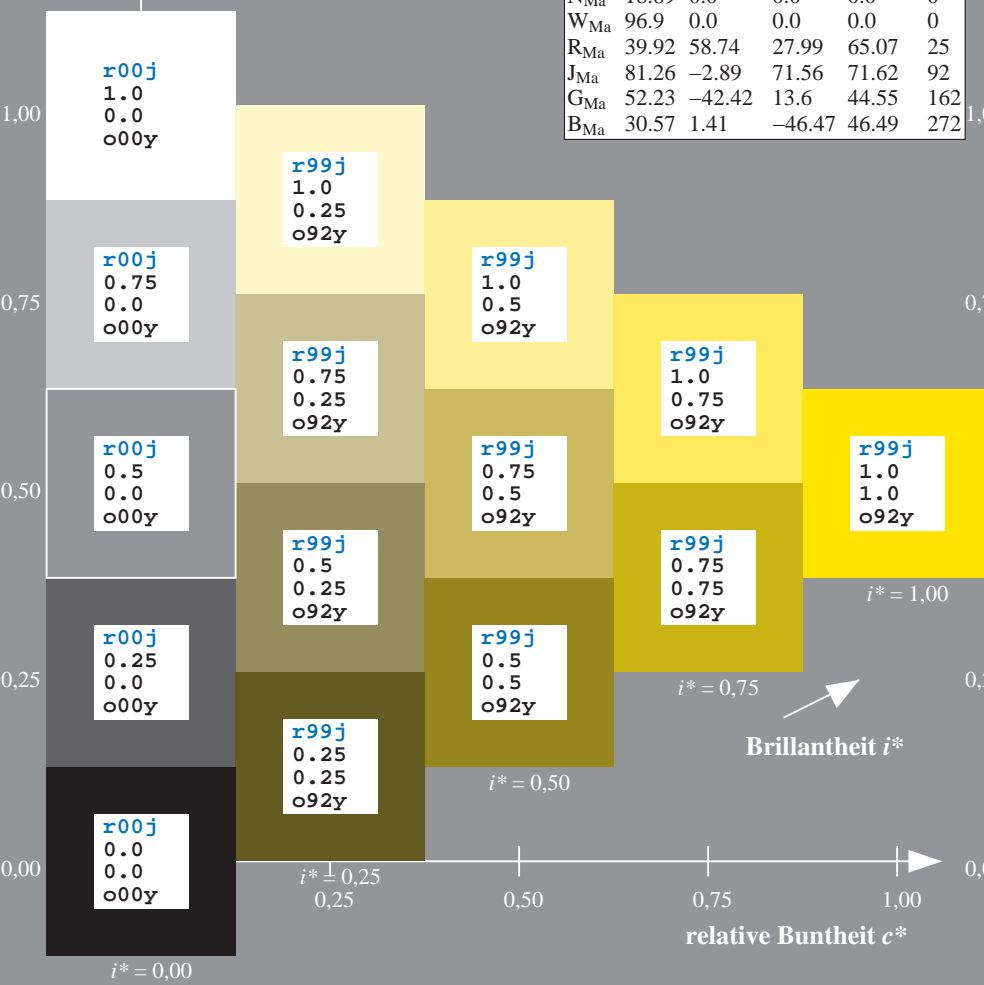
%Regularität

$g^*_{H,rel} = 72$

$g^*_{C,rel} = 57$

ORS19_96a; adaptierte CIELAB-Daten

u^*_e	$L^*=L^*_a$	a^*_a	b^*_a	$C^*_{ab,a}$	$h^*_{ab,a}$	u^*_d
r00j	48.88	66.47	31.67	73.63	25	m84o
r25j	55.85	52.39	47.48	70.7	42	o17y
r50j	65.45	35.22	58.37	68.17	59	o42y
r75j	75.19	17.82	69.41	71.66	76	o67y
j00g	87.03	-3.35	82.83	82.9	92	o92y
j25g	80.72	-25.01	69.5	73.86	110	y20l
j50g	70.64	-39.54	51.97	65.3	127	y46l
j75g	61.93	-52.1	36.83	63.8	145	y72l
g00b	52.8	-65.28	20.93	68.56	162	y99l
g25b	55.7	-49.58	-8.39	50.28	190	l36c
g50b	57.82	-38.4	-28.92	48.07	217	l72c
g75b	55.5	-22.05	-45.95	50.97	244	c11v
b00r	41.6	1.37	-45.01	45.03	272	c56v
b25r	29.0	25.08	-43.13	49.89	300	v04m
b50r	38.04	46.53	-28.39	54.51	329	v55m
b75r	49.48	72.88	-3.76	72.98	357	m11o



Ein und Ausgabe: Farbmetrisches Drucker-Reflektiv-System ORS19_96a für relativen CIELAB-Buntton $h^* = \text{lab}^*h^* = h_{ab}/360 = 0.305$

Daten für jede Farbe:

lab^*tch^* und lab^*icu^*

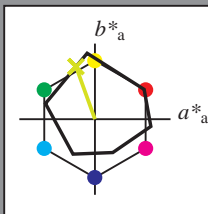
Bunttontexte:

$u^*_e = j25g$ $u^*_d = y20l$

Kontrastreduzierungsfaktor:

$c_R = 1.0$

Dreiecks-Helligkeit i^*



ORS19_96a; adaptierte CIELAB-Daten

u^*_e	$L^*=L^*_a$	a^*_a	b^*_a	$C^*_{ab,a}$	$h^*_{ab,a}$
O _{Ma}	48.75	65.07	39.43	76.08	31
Y _{Ma}	90.92	-10.29	87.24	87.85	97
L _{Ma}	52.69	-65.44	20.75	68.65	162
C _{Ma}	59.61	-28.98	-46.22	54.56	238
V _{Ma}	28.39	23.63	-44.13	50.06	298
M _{Ma}	49.58	73.93	-9.56	74.55	353
N _{Ma}	18.89	0.0	0.0	0.0	0
W _{Ma}	96.9	0.0	0.0	0.0	0
R _{Ma}	39.92	58.74	27.99	65.07	25
J _{Ma}	81.26	-2.89	71.56	71.62	92
G _{Ma}	52.23	-42.42	13.6	44.55	162
B _{Ma}	30.57	1.41	-46.47	46.49	272

Daten für Maximalfarbe (Ma):

$\text{LAB}^*\text{LAB}^*_{\text{Ma}}$: 81 -25 69

$\text{LAB}^*\text{LCH}^*_{\text{Ma}}$: 81 74 109

$\text{lab}^*\text{rgb}^*_{\text{Ma}}$: 0.75 1.0 0.0

$\text{lab}^*\text{olv}^*_{\text{Ma}}$: 0.8 1.0 0.0

Dreiecks-Helligkeit i^*

%Umfang

$u^*_{\text{rel}} = 89$

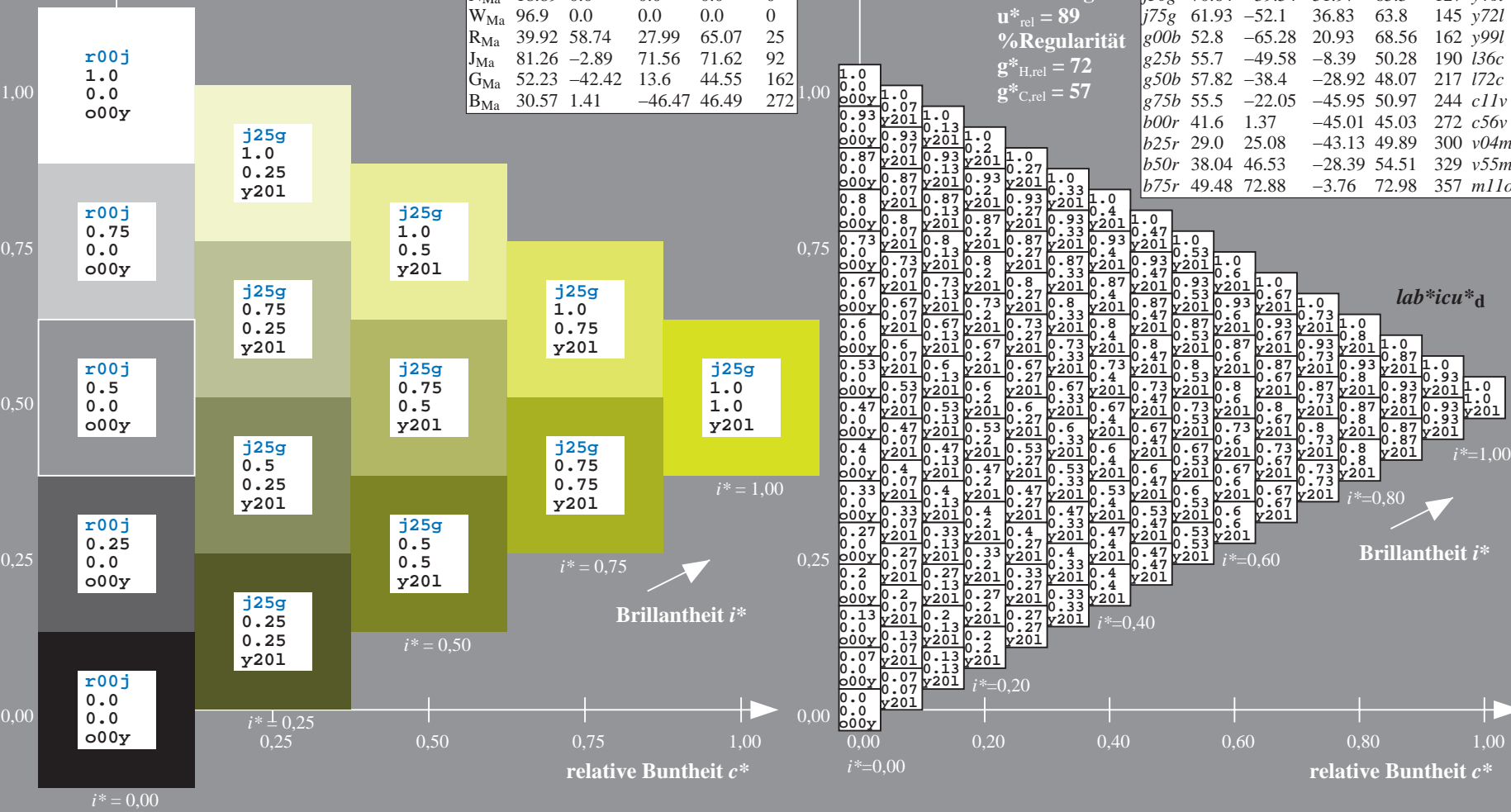
%Regularität

$g^*_{H,\text{rel}} = 72$

$g^*_{C,\text{rel}} = 57$

ORS19_96a; adaptierte CIELAB-Daten

u^*_e	$L^*=L^*_a$	a^*_a	b^*_a	$C^*_{ab,a}$	$h^*_{ab,a}$	u^*_d
r00j	48.88	66.47	31.67	73.63	25	m84o
r25j	55.85	52.39	47.48	70.7	42	o17y
r50j	65.45	35.22	58.37	68.17	59	o42y
r75j	75.19	17.82	69.41	71.66	76	o67y
j00g	87.03	-3.35	82.83	82.9	92	o92y
j25g	80.72	-25.01	69.5	73.86	110	y20l
j50g	70.64	-39.54	51.97	65.3	127	y46l
j75g	61.93	-52.1	36.83	63.8	145	y72l
g00b	52.8	-65.28	20.93	68.56	162	y99l
g25b	55.7	-49.58	-8.39	50.28	190	l36c
g50b	57.82	-38.4	-28.92	48.07	217	l72c
g75b	55.5	-22.05	-45.95	50.97	244	c11v
b00r	41.6	1.37	-45.01	45.03	272	c56v
b25r	29.0	25.08	-43.13	49.89	300	v04m
b50r	38.04	46.53	-28.39	54.51	329	v55m
b75r	49.48	72.88	-3.76	72.98	357	m11o



Ein und Ausgabe: Farbmetrisches Drucker-Reflektiv-System ORS19_96a für relativen CIELAB-Buntton $h^* = \text{lab}^*h^* = h_{ab}/360 = 0.354$

Daten für jede Farbe:

lab^*tch^* und lab^*icu^*

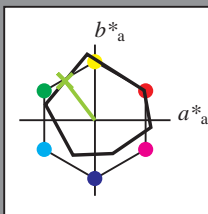
Bunttontexte:

$u^*_e = j50g$ $u^*_d = y46l$

Kontrastreduzierungsfaktor:

$c_R = 1.0$

Dreiecks-Helligkeit i^*



ORS19_96a; adaptierte CIELAB-Daten

u^*_e	$L^*=L^*_a$	a^*_a	b^*_a	$C^*_{ab,a}$	$h^*_{ab,a}$
O _{Ma}	48.75	65.07	39.43	76.08	31
Y _{Ma}	90.92	-10.29	87.24	87.85	97
L _{Ma}	52.69	-65.44	20.75	68.65	162
C _{Ma}	59.61	-28.98	-46.22	54.56	238
V _{Ma}	28.39	23.63	-44.13	50.06	298
M _{Ma}	49.58	73.93	-9.56	74.55	353
N _{Ma}	18.89	0.0	0.0	0.0	0
W _{Ma}	96.9	0.0	0.0	0.0	0
R _{Ma}	39.92	58.74	27.99	65.07	25
J _{Ma}	81.26	-2.89	71.56	71.62	92
G _{Ma}	52.23	-42.42	13.6	44.55	162
B _{Ma}	30.57	1.41	-46.47	46.49	272

Daten für Maximalfarbe (Ma):

$\text{LAB}^*\text{LAB}^*_{\text{Ma}}$: 71 -40 52

$\text{LAB}^*\text{LCH}^*_{\text{Ma}}$: 71 65 127

$\text{lab}^*\text{rgb}^*_{\text{Ma}}$: 0.5 1.0 0.0

$\text{lab}^*\text{olv}^*_{\text{Ma}}$: 0.54 1.0 0.0

Dreiecks-Helligkeit i^*

%Umfang

$u^*_{\text{rel}} = 89$

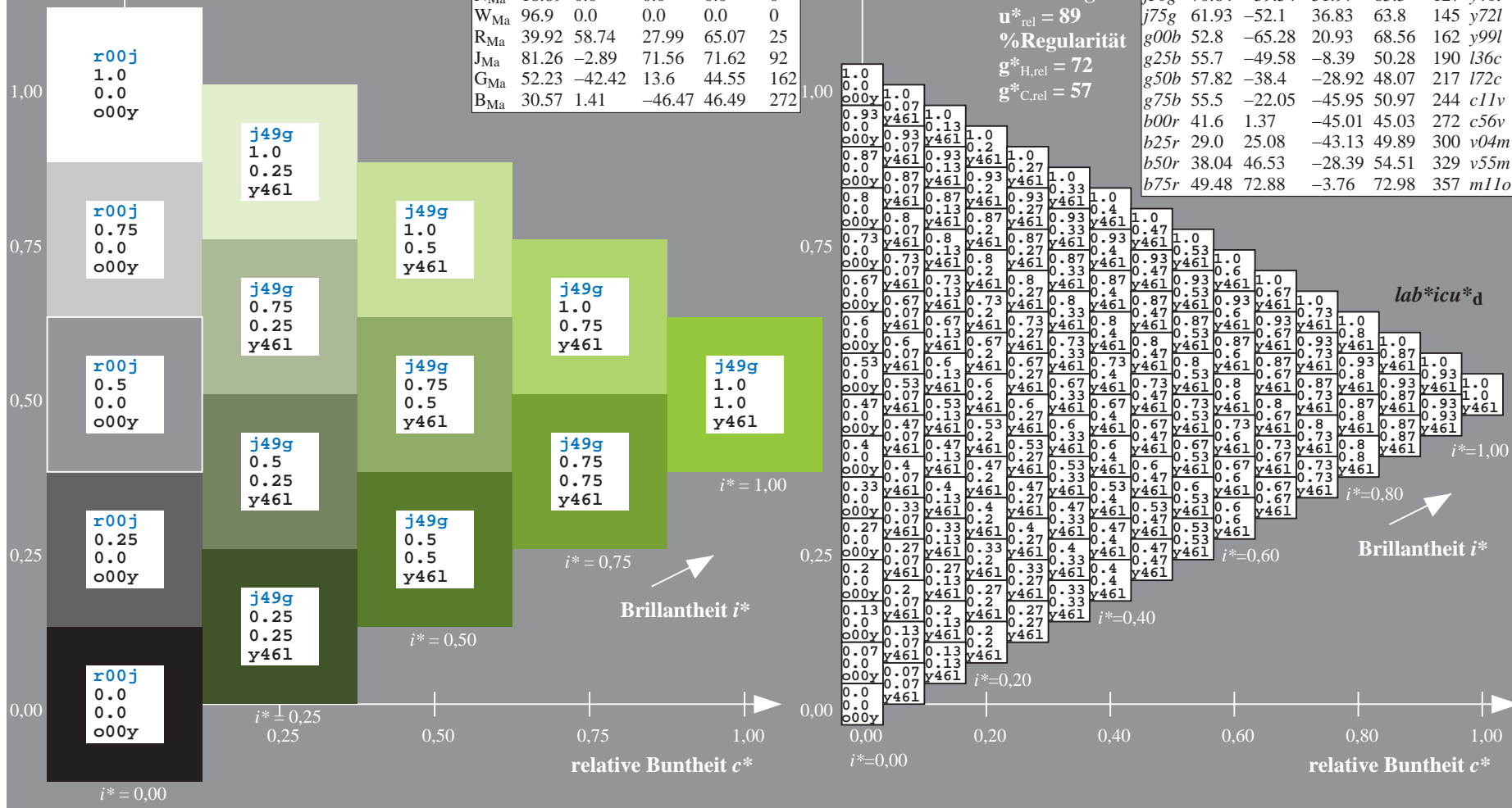
%Regularität

$g^*_{H,\text{rel}} = 72$

$g^*_{C,\text{rel}} = 57$

ORS19_96a; adaptierte CIELAB-Daten

u^*_e	$L^*=L^*_a$	a^*_a	b^*_a	$C^*_{ab,a}$	$h^*_{ab,a}$	u^*_d
r00j	48.88	66.47	31.67	73.63	25	m84o
r25j	55.85	52.39	47.48	70.7	42	o17y
r50j	65.45	35.22	58.37	68.17	59	o42y
r75j	75.19	17.82	69.41	71.66	76	o67y
j00g	87.03	-3.35	82.83	82.9	92	o92y
j25g	80.72	-25.01	69.5	73.86	110	y20l
j50g	70.64	-39.54	51.97	65.3	127	y46l
j75g	61.93	-52.1	36.83	63.8	145	y72l
g00b	52.8	-65.28	20.93	68.56	162	y99l
g25b	55.7	-49.58	-8.39	50.28	190	l36c
g50b	57.82	-38.4	-28.92	48.07	217	l72c
g75b	55.5	-22.05	-45.95	50.97	244	c11v
b00r	41.6	1.37	-45.01	45.03	272	c56v
b25r	29.0	25.08	-43.13	49.89	300	v04m
b50r	38.04	46.53	-28.39	54.51	329	v55m
b75r	49.48	72.88	-3.76	72.98	357	m11o



Ein und Ausgabe: Farbmetrisches Drucker-Reflektiv-System ORS19_96a für relativen CIELAB-Buntton $h^* = \text{lab}^*h^* = h_{ab}/360 = 0.402$

Daten für jede Farbe:

lab^*tch^* und lab^*icu^*

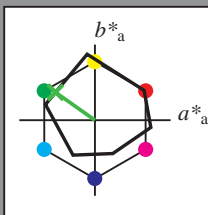
Bunttontexte:

$u^*_e = j75g$ $u^*_d = y72l$

Kontrastreduzierungsfaktor:

$c_R = 1.0$

Dreiecks-Helligkeit i^*



ORS19_96a; adaptierte CIELAB-Daten

u^*_e	$L^*=L^*_a$	a^*_a	b^*_a	$C^*_{ab,a}$	$h^*_{ab,a}$
O _{Ma}	48.75	65.07	39.43	76.08	31
Y _{Ma}	90.92	-10.29	87.24	87.85	97
L _{Ma}	52.69	-65.44	20.75	68.65	162
C _{Ma}	59.61	-28.98	-46.22	54.56	238
V _{Ma}	28.39	23.63	-44.13	50.06	298
M _{Ma}	49.58	73.93	-9.56	74.55	353
N _{Ma}	18.89	0.0	0.0	0.0	0
W _{Ma}	96.9	0.0	0.0	0.0	0
R _{Ma}	39.92	58.74	27.99	65.07	25
J _{Ma}	81.26	-2.89	71.56	71.62	92
G _{Ma}	52.23	-42.42	13.6	44.55	162
B _{Ma}	30.57	1.41	-46.47	46.49	272

Daten für Maximalfarbe (Ma):

$\text{LAB}^*\text{LAB}^*_{\text{Ma}}$: 62 -52 37

$\text{LAB}^*\text{LCH}^*_{\text{Ma}}$: 62 64 144

$\text{lab}^*\text{rgb}^*_{\text{Ma}}$: 0.25 1.0 0.0

$\text{lab}^*\text{olv}^*_{\text{Ma}}$: 0.27 1.0 0.0

Dreiecks-Helligkeit i^*

%Umfang

$u^*_{\text{rel}} = 89$

%Regularität

$g^*_{H,\text{rel}} = 72$

$g^*_{C,\text{rel}} = 57$

ORS19_96a; adaptierte CIELAB-Daten

u^*_e	$L^*=L^*_a$	a^*_a	b^*_a	$C^*_{ab,a}$	$h^*_{ab,a}$	u^*_d
r00j	48.88	66.47	31.67	73.63	25	m84o
r25j	55.85	52.39	47.48	70.7	42	o17y
r50j	65.45	35.22	58.37	68.17	59	o42y
r75j	75.19	17.82	69.41	71.66	76	o67y
j00g	87.03	-3.35	82.83	82.9	92	o92y
j25g	80.72	-25.01	69.5	73.86	110	y20l
j50g	70.64	-39.54	51.97	65.3	127	y46l
j75g	61.93	-52.1	36.83	63.8	145	y72l
g00b	52.8	-65.28	20.93	68.56	162	y99l
g25b	55.7	-49.58	-8.39	50.28	190	l36c
g50b	57.82	-38.4	-28.92	48.07	217	l72c
g75b	55.5	-22.05	-45.95	50.97	244	c11v
b00r	41.6	1.37	-45.01	45.03	272	c56v
b25r	29.0	25.08	-43.13	49.89	300	v04m
b50r	38.04	46.53	-28.39	54.51	329	v55m
b75r	49.48	72.88	-3.76	72.98	357	m11o

Ein und Ausgabe: Farbmetrisches Drucker-Reflektiv-System ORS19_96a für relativen CIELAB-Buntton $h^* = \text{lab}^*h^* = h_{ab}/360 = 0.451$

Daten für jede Farbe:

lab^*tch^* und lab^*icu^*

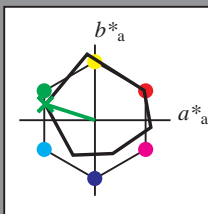
Bunttontexte:

$u^*_e = g00b$ $u^*_d = y99l$

Kontrastreduzierungsfaktor:

$c_R = 1.0$

Dreiecks-Helligkeit i^*



ORS19_96a; adaptierte CIELAB-Daten

u^*_e	$L^*=L^*_a$	a^*_a	b^*_a	$C^*_{ab,a}$	$h^*_{ab,a}$
O _{Ma}	48.75	65.07	39.43	76.08	31
Y _{Ma}	90.92	-10.29	87.24	87.85	97
L _{Ma}	52.69	-65.44	20.75	68.65	162
C _{Ma}	59.61	-28.98	-46.22	54.56	238
V _{Ma}	28.39	23.63	-44.13	50.06	298
M _{Ma}	49.58	73.93	-9.56	74.55	353
N _{Ma}	18.89	0.0	0.0	0.0	0
W _{Ma}	96.9	0.0	0.0	0.0	0
R _{Ma}	39.92	58.74	27.99	65.07	25
J _{Ma}	81.26	-2.89	71.56	71.62	92
G _{Ma}	52.23	-42.42	13.6	44.55	162
B _{Ma}	30.57	1.41	-46.47	46.49	272

Daten für Maximalfarbe (Ma):

$\text{LAB}^*\text{LAB}^*_{\text{Ma}}$: 53 -65 21

$\text{LAB}^*\text{LCH}^*_{\text{Ma}}$: 53 69 162

$\text{lab}^*\text{rgb}^*_{\text{Ma}}$: 0.0 1.0 0.0

$\text{lab}^*\text{olv}^*_{\text{Ma}}$: 0.0 1.0 0.0

Dreiecks-Helligkeit i^*

%Umfang

$u^*_{\text{rel}} = 89$

%Regularität

$g^*_{H,\text{rel}} = 72$

$g^*_{C,\text{rel}} = 57$

ORS19_96a; adaptierte CIELAB-Daten

u^*_e	$L^*=L^*_a$	a^*_a	b^*_a	$C^*_{ab,a}$	$h^*_{ab,a}$	u^*_d
r00j	48.88	66.47	31.67	73.63	25	m84o
r25j	55.85	52.39	47.48	70.7	42	o17y
r50j	65.45	35.22	58.37	68.17	59	o42y
r75j	75.19	17.82	69.41	71.66	76	o67y
j00g	87.03	-3.35	82.83	82.9	92	o92y
j25g	80.72	-25.01	69.5	73.86	110	y20l
j50g	70.64	-39.54	51.97	65.3	127	y46l
j75g	61.93	-52.1	36.83	63.8	145	y72l
g00b	52.8	-65.28	20.93	68.56	162	y99l
g25b	55.7	-49.58	-8.39	50.28	190	l36c
g50b	57.82	-38.4	-28.92	48.07	217	l72c
g75b	55.5	-22.05	-45.95	50.97	244	c11v
b00r	41.6	1.37	-45.01	45.03	272	c56v
b25r	29.0	25.08	-43.13	49.89	300	v04m
b50r	38.04	46.53	-28.39	54.51	329	v55m
b75r	49.48	72.88	-3.76	72.98	357	m11o

$\text{lab}^*\text{icu}^*_d$

$i^* = 1.00$

Brillantheit i^*

$i^* = 0.80$

$i^* = 0.60$

$i^* = 0.40$

$i^* = 0.20$

$i^* = 0.00$

relative Buntheit c^*

relative Buntheit c^*

Ein und Ausgabe: Farbmetrisches Drucker-Reflektiv-System ORS19_96a für relativen CIELAB-Buntton $h^* = lab^*h^* = h_{ab}/360 = 0.527$

Daten für jede Farbe:

lab^*ch^* und lab^*icu^*

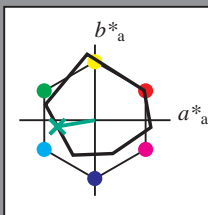
Bunttontexte:

$u^*_e = g25b$ $u^*_d = l36c$

Kontrastreduzierungsfaktor:

$c_R = 1.0$

Dreiecks-Helligkeit i^*



ORS19_96a; adaptierte CIELAB-Daten

u^*_e	$L^*=L^*_a$	a^*_a	b^*_a	$C^*_{ab,a}$	$h^*_{ab,a}$
O _{Ma}	48.75	65.07	39.43	76.08	31
Y _{Ma}	90.92	-10.29	87.24	87.85	97
L _{Ma}	52.69	-65.44	20.75	68.65	162
C _{Ma}	59.61	-28.98	-46.22	54.56	238
V _{Ma}	28.39	23.63	-44.13	50.06	298
M _{Ma}	49.58	73.93	-9.56	74.55	353
N _{Ma}	18.89	0.0	0.0	0.0	0
W _{Ma}	96.9	0.0	0.0	0.0	0
R _{Ma}	39.92	58.74	27.99	65.07	25
J _{Ma}	81.26	-2.89	71.56	71.62	92
G _{Ma}	52.23	-42.42	13.6	44.55	162
B _{Ma}	30.57	1.41	-46.47	46.49	272

Daten für Maximalfarbe (Ma):

$LAB^*LAB^*_{Ma}$: 56 -50 -8

$LAB^*LCH^*_{Ma}$: 56 50 189

$lab^*rgb^*_{Ma}$: 0.0 1.0 0.5

$lab^*olv^*_{Ma}$: 0.0 1.0 0.36

Dreiecks-Helligkeit i^*

%Umfang

$u^*_{rel} = 89$

%Regularität

$g^*_{H,rel} = 72$

$g^*_{C,rel} = 57$

ORS19_96a; adaptierte CIELAB-Daten

u^*_e	$L^*=L^*_a$	a^*_a	b^*_a	$C^*_{ab,a}$	$h^*_{ab,a}$	u^*_d
r00j	48.88	66.47	31.67	73.63	25	m84o
r25j	55.85	52.39	47.48	70.7	42	o17y
r50j	65.45	35.22	58.37	68.17	59	o42y
r75j	75.19	17.82	69.41	71.66	76	o67y
j00g	87.03	-3.35	82.83	82.9	92	o92y
j25g	80.72	-25.01	69.5	73.86	110	y20l
j50g	70.64	-39.54	51.97	65.3	127	y46l
j75g	61.93	-52.1	36.83	63.8	145	y72l
g00b	52.8	-65.28	20.93	68.56	162	y99l
g25b	55.7	-49.58	-8.39	50.28	190	l36c
g50b	57.82	-38.4	-28.92	48.07	217	l72c
g75b	55.5	-22.05	-45.95	50.97	244	c11v
b00r	41.6	1.37	-45.01	45.03	272	c56v
b25r	29.0	25.08	-43.13	49.89	300	v04m
b50r	38.04	46.53	-28.39	54.51	329	v55m
b75r	49.48	72.88	-3.76	72.98	357	m11o

$lab^*icu^*_d$

$i^* = 1.00$

Brillantheit i^*

$i^* = 0.80$

$i^* = 0.60$

$i^* = 0.40$

$i^* = 0.20$

$i^* = 0.00$

Ein und Ausgabe: Farbmetrisches Drucker-Reflektiv-System ORS19_96a für relativen CIELAB-Buntton $h^* = lab^*h^* = h_{ab}/360 = 0.603$

Daten für jede Farbe:

lab^*ch^* und lab^*icu^*

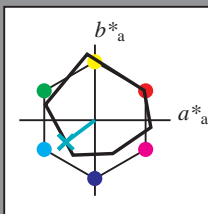
Bunttontexte:

$u^*_e = g50b$ $u^*_d = l72c$

Kontrastreduzierungsfaktor:

$c_R = 1.0$

Dreiecks-Helligkeit i^*



ORS19_96a; adaptierte CIELAB-Daten

	u^*_e	$L^*=L^*_a$	a^*_a	b^*_a	$C^*_{ab,a}$	$h^*_{ab,a}$
O _{Ma}	48.75	65.07	39.43	76.08	31	
Y _{Ma}	90.92	-10.29	87.24	87.85	97	
L _{Ma}	52.69	-65.44	20.75	68.65	162	
C _{Ma}	59.61	-28.98	-46.22	54.56	238	
V _{Ma}	28.39	23.63	-44.13	50.06	298	
M _{Ma}	49.58	73.93	-9.56	74.55	353	
N _{Ma}	18.89	0.0	0.0	0.0	0	
W _{Ma}	96.9	0.0	0.0	0.0	0	
R _{Ma}	39.92	58.74	27.99	65.07	25	
J _{Ma}	81.26	-2.89	71.56	71.62	92	
G _{Ma}	52.23	-42.42	13.6	44.55	162	
B _{Ma}	30.57	1.41	-46.47	46.49	272	

Daten für Maximalfarbe (Ma):

$LAB^*LAB^*_{Ma}$: 58 -38 -29

$LAB^*LCH^*_{Ma}$: 58 48 216

$lab^*rgb^*_{Ma}$: 0.0 1.0 1.0

$lab^*olv^*_{Ma}$: 0.0 1.0 0.72

Dreiecks-Helligkeit i^*

%Umfang

$u^*_{rel} = 89$

%Regularität

$g^*_{H,rel} = 72$

$g^*_{C,rel} = 57$

ORS19_96a; adaptierte CIELAB-Daten

	u^*_e	$L^*=L^*_a$	a^*_a	b^*_a	$C^*_{ab,a}$	$h^*_{ab,a}$	u^*_d
r00j	48.88	66.47	31.67	73.63	25	m84o	
r25j	55.85	52.39	47.48	70.7	42	o17y	
r50j	65.45	35.22	58.37	68.17	59	o42y	
r75j	75.19	17.82	69.41	71.66	76	o67y	
j00g	87.03	-3.35	82.83	82.9	92	o92y	
j25g	80.72	-25.01	69.5	73.86	110	y20l	
j50g	70.64	-39.54	51.97	65.3	127	y46l	
j75g	61.93	-52.1	36.83	63.8	145	y72l	
g00b	52.8	-65.28	20.93	68.56	162	y99l	
g25b	55.7	-49.58	-8.39	50.28	190	l36c	
g50b	57.82	-38.4	-28.92	48.07	217	l72c	
g75b	55.5	-22.05	-45.95	50.97	244	c11v	
b00r	41.6	1.37	-45.01	45.03	272	c56v	
b25r	29.0	25.08	-43.13	49.89	300	v04m	
b50r	38.04	46.53	-28.39	54.51	329	v55m	
b75r	49.48	72.88	-3.76	72.98	357	m11o	

$lab^*icu^*_d$

$i^* = 1.00$

Brillantheit i^*

$i^* = 0.80$

$i^* = 0.60$

$i^* = 0.40$

$i^* = 0.20$

$i^* = 0.00$

Ein und Ausgabe: Farbmetrisches Drucker-Reflektiv-System ORS19_96a für relativen CIELAB-Buntton $h^* = \text{lab}^*h^* = h_{ab}/360 = 0.679$

Daten für jede Farbe:

lab^*tch^* und lab^*icu^*

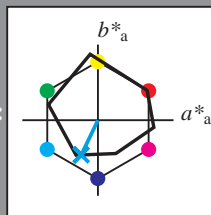
Bunttontexte:

$u^*_e = g75b$ $u^*_d = c11v$

Kontrastreduzierungsfaktor:

$c_R = 1.0$

Dreiecks-Helligkeit t^*



ORS19_96a; adaptierte CIELAB-Daten

u^*_e	$L^*=L^*_a$	a^*_a	b^*_a	$C^*_{ab,a}$	$h^*_{ab,a}$
O _{Ma}	48.75	65.07	39.43	76.08	31
Y _{Ma}	90.92	-10.29	87.24	87.85	97
L _{Ma}	52.69	-65.44	20.75	68.65	162
C _{Ma}	59.61	-28.98	-46.22	54.56	238
V _{Ma}	28.39	23.63	-44.13	50.06	298
M _{Ma}	49.58	73.93	-9.56	74.55	353
N _{Ma}	18.89	0.0	0.0	0.0	0
W _{Ma}	96.9	0.0	0.0	0.0	0
R _{Ma}	39.92	58.74	27.99	65.07	25
J _{Ma}	81.26	-2.89	71.56	71.62	92
G _{Ma}	52.23	-42.42	13.6	44.55	162
B _{Ma}	30.57	1.41	-46.47	46.49	272

Daten für Maximalfarbe (Ma):

$\text{LAB}^*\text{LAB}^*_{\text{Ma}}$: 55 -22 -46

$\text{LAB}^*\text{LCH}^*_{\text{Ma}}$: 55 51 244

$\text{lab}^*\text{rgb}^*_{\text{Ma}}$: 0.0 0.5 1.0

$\text{lab}^*\text{olv}^*_{\text{Ma}}$: 0.0 0.89 1.0

Dreiecks-Helligkeit t^*

%Umfang

$u^*_{\text{rel}} = 89$

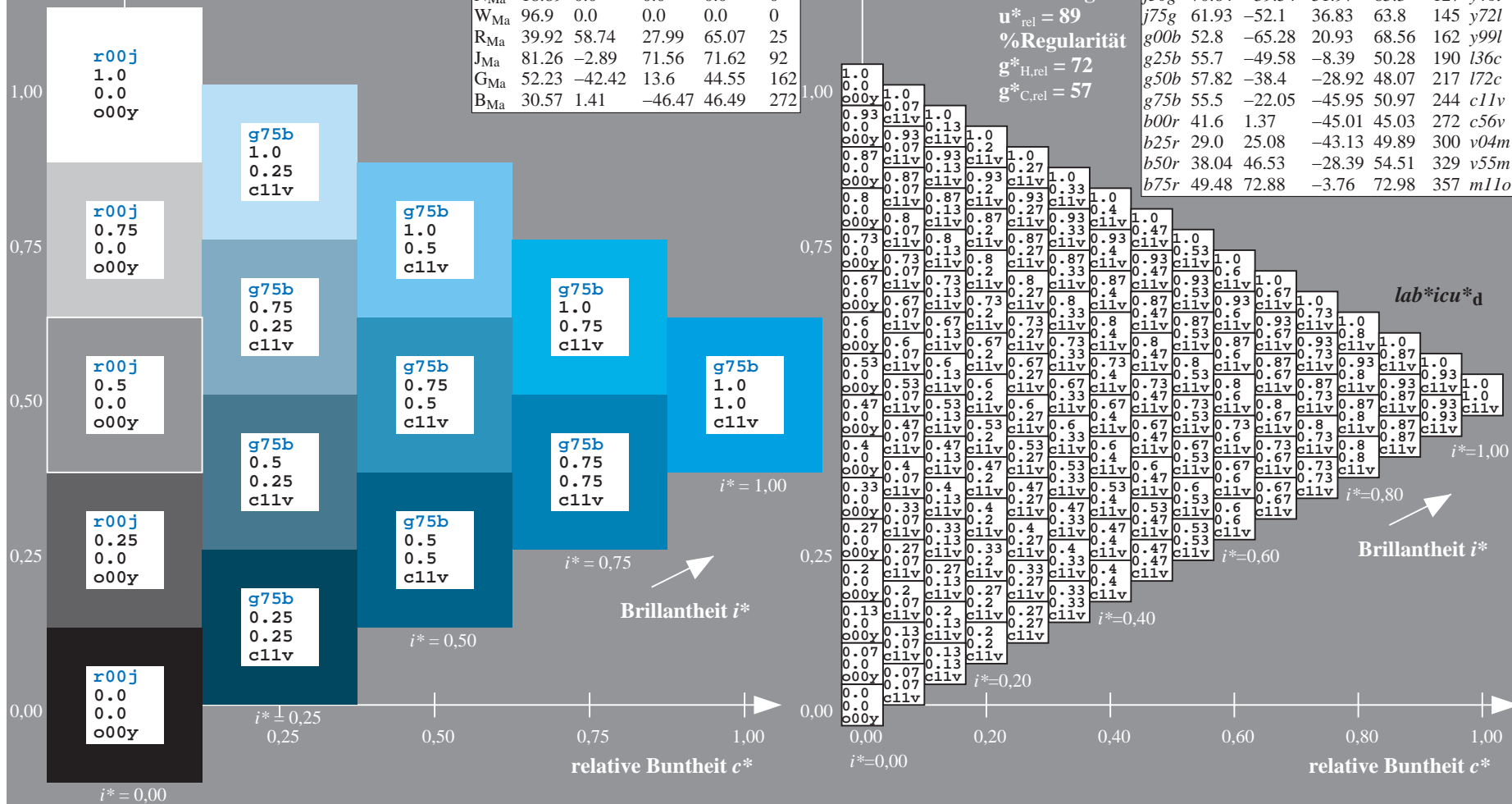
%Regularität

$g^*_{H,\text{rel}} = 72$

$g^*_{C,\text{rel}} = 57$

ORS19_96a; adaptierte CIELAB-Daten

u^*_e	$L^*=L^*_a$	a^*_a	b^*_a	$C^*_{ab,a}$	$h^*_{ab,a}$	u^*_d
r00j	48.88	66.47	31.67	73.63	25	m84o
r25j	55.85	52.39	47.48	70.7	42	o17y
r50j	65.45	35.22	58.37	68.17	59	o42y
r75j	75.19	17.82	69.41	71.66	76	o67y
j00g	87.03	-3.35	82.83	82.9	92	o92y
j25g	80.72	-25.01	69.5	73.86	110	y20l
j50g	70.64	-39.54	51.97	65.3	127	y46l
j75g	61.93	-52.1	36.83	63.8	145	y72l
g00b	52.8	-65.28	20.93	68.56	162	y99l
g25b	55.7	-49.58	-8.39	50.28	190	l36c
g50b	57.82	-38.4	-28.92	48.07	217	l72c
g75b	55.5	-22.05	-45.95	50.97	244	c11v
b00r	41.6	1.37	-45.01	45.03	272	c56v
b25r	29.0	25.08	-43.13	49.89	300	v04m
b50r	38.04	46.53	-28.39	54.51	329	v55m
b75r	49.48	72.88	-3.76	72.98	357	m11o



Ein und Ausgabe: Farbmetrisches Drucker-Reflektiv-System ORS19_96a für relativen CIELAB-Buntton $h^* = lab^*h^* = h_{ab}/360 = 0.755$

Daten für jede Farbe:

lab^*tch^* und lab^*icu^*

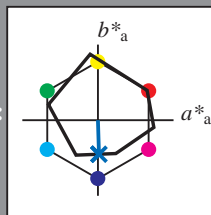
Bunttontexte:

$u^*_e = b00r$ $u^*_d = c56v$

Kontrastreduzierungsfaktor:

$c_R = 1.0$

Dreiecks-Helligkeit i^*



ORS19_96a; adaptierte CIELAB-Daten

	u^*_e	$L^*=L^*_a$	a^*_a	b^*_a	$C^*_{ab,a}$	$h^*_{ab,a}$
O _{Ma}	48.75	65.07	39.43	76.08	31	
Y _{Ma}	90.92	-10.29	87.24	87.85	97	
L _{Ma}	52.69	-65.44	20.75	68.65	162	
C _{Ma}	59.61	-28.98	-46.22	54.56	238	
V _{Ma}	28.39	23.63	-44.13	50.06	298	
M _{Ma}	49.58	73.93	-9.56	74.55	353	
N _{Ma}	18.89	0.0	0.0	0.0	0	
W _{Ma}	96.9	0.0	0.0	0.0	0	
R _{Ma}	39.92	58.74	27.99	65.07	25	
J _{Ma}	81.26	-2.89	71.56	71.62	92	
G _{Ma}	52.23	-42.42	13.6	44.55	162	
B _{Ma}	30.57	1.41	-46.47	46.49	272	

Daten für Maximalfarbe (Ma):

$LAB^*LAB^*_{Ma}$: 42 1 -45

$LAB^*LCH^*_{Ma}$: 42 45 271

$lab^*rgb^*_{Ma}$: 0.0 0.0 1.0

$lab^*olv^*_{Ma}$: 0.0 0.44 1.0

Dreiecks-Helligkeit i^*

%Umfang

$u^*_{rel} = 89$

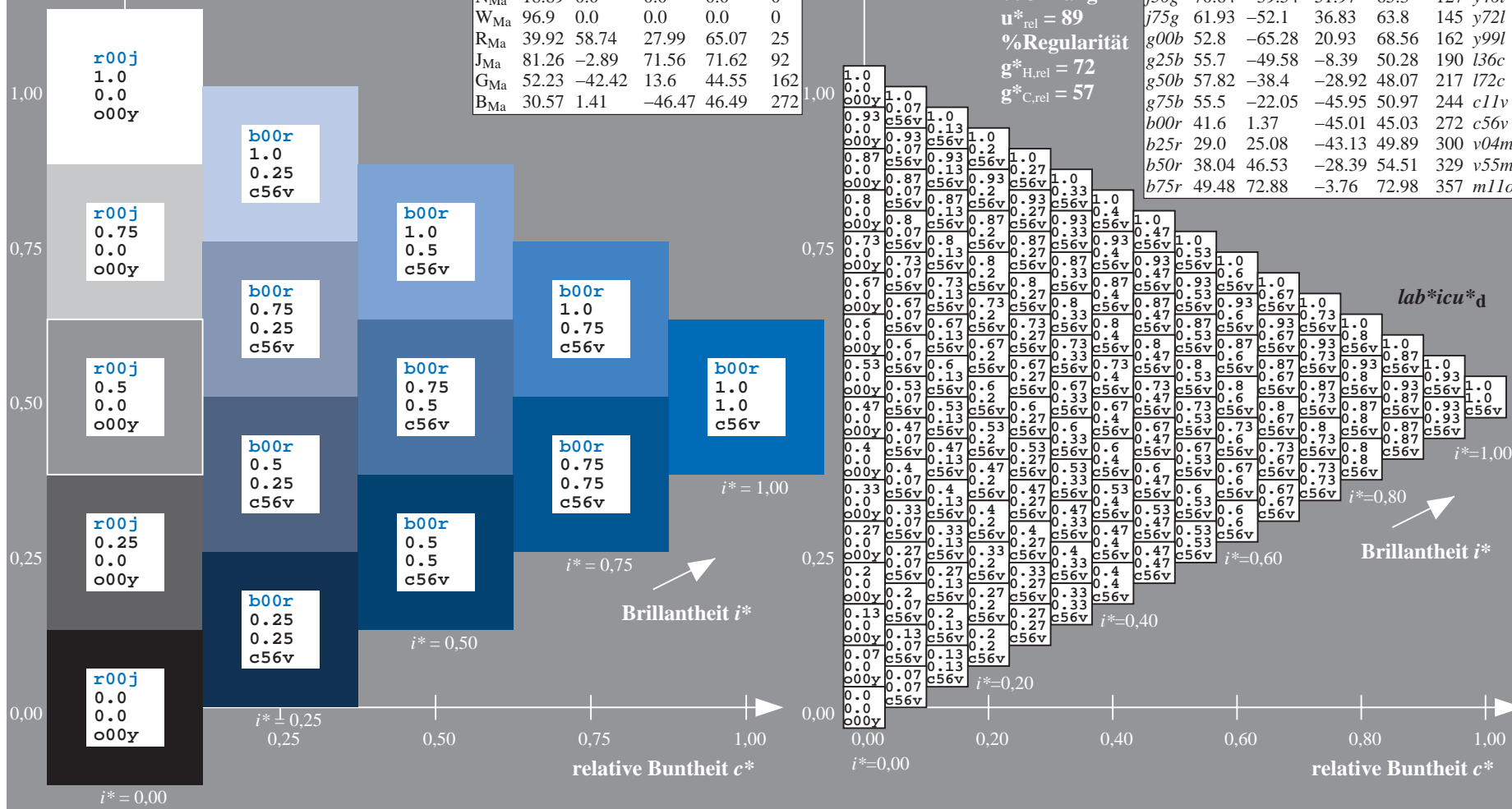
%Regularität

$g^*_{H,rel} = 72$

$g^*_{C,rel} = 57$

ORS19_96a; adaptierte CIELAB-Daten

	u^*_e	$L^*=L^*_a$	a^*_a	b^*_a	$C^*_{ab,a}$	$h^*_{ab,a}$	u^*_d
r00j	48.88	66.47	31.67	73.63	25	m84o	
r25j	55.85	52.39	47.48	70.7	42	o17y	
r50j	65.45	35.22	58.37	68.17	59	o42y	
r75j	75.19	17.82	69.41	71.66	76	o67y	
j00g	87.03	-3.35	82.83	82.9	92	o92y	
j25g	80.72	-25.01	69.5	73.86	110	y20l	
j50g	70.64	-39.54	51.97	65.3	127	y46l	
j75g	61.93	-52.1	36.83	63.8	145	y72l	
g00b	52.8	-65.28	20.93	68.56	162	y99l	
g25b	55.7	-49.58	-8.39	50.28	190	l36c	
g50b	57.82	-38.4	-28.92	48.07	217	l72c	
g75b	55.5	-22.05	-45.95	50.97	244	c11v	
b00r	41.6	1.37	-45.01	45.03	272	c56v	
b25r	29.0	25.08	-43.13	49.89	300	v04m	
b50r	38.04	46.53	-28.39	54.51	329	v55m	
b75r	49.48	72.88	-3.76	72.98	357	m11o	



Ein und Ausgabe: Farbmetrisches Drucker-Reflektiv-System ORS19_96a für relativen CIELAB-Buntton $h^* = lab^*h^* = h_{ab}/360 = 0.834$

Daten für jede Farbe:

lab^*ch^* und lab^*icu^*

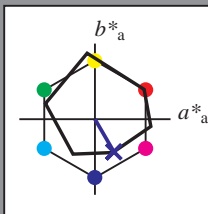
Bunttontexte:

$u^*_e = b25r$ $u^*_d = v04m$

Kontrastreduzierungsfaktor:

$c_R = 1.0$

Dreiecks-Helligkeit i^*



ORS19_96a; adaptierte CIELAB-Daten

u^*_e	$L^*=L^*_a$	a^*_a	b^*_a	$C^*_{ab,a}$	$h^*_{ab,a}$
O _{Ma}	48.75	65.07	39.43	76.08	31
Y _{Ma}	90.92	-10.29	87.24	87.85	97
L _{Ma}	52.69	-65.44	20.75	68.65	162
C _{Ma}	59.61	-28.98	-46.22	54.56	238
V _{Ma}	28.39	23.63	-44.13	50.06	298
M _{Ma}	49.58	73.93	-9.56	74.55	353
N _{Ma}	18.89	0.0	0.0	0.0	0
W _{Ma}	96.9	0.0	0.0	0.0	0
R _{Ma}	39.92	58.74	27.99	65.07	25
J _{Ma}	81.26	-2.89	71.56	71.62	92
G _{Ma}	52.23	-42.42	13.6	44.55	162
B _{Ma}	30.57	1.41	-46.47	46.49	272

Daten für Maximalfarbe (Ma):

$LAB^*LAB^*_{Ma}$: 29 25 -43

$LAB^*LCH^*_{Ma}$: 29 50 300

$lab^*rgb^*_{Ma}$: 0.5 0.0 1.0

$lab^*olv^*_{Ma}$: 0.04 0.0 1.0

Dreiecks-Helligkeit i^*

%Umfang

$u^*_{rel} = 89$

%Regularität

$g^*_{H,rel} = 72$

$g^*_{C,rel} = 57$

ORS19_96a; adaptierte CIELAB-Daten

u^*_e	$L^*=L^*_a$	a^*_a	b^*_a	$C^*_{ab,a}$	$h^*_{ab,a}$	u^*_d
r00j	48.88	66.47	31.67	73.63	25	m84o
r25j	55.85	52.39	47.48	70.7	42	o17y
r50j	65.45	35.22	58.37	68.17	59	o42y
r75j	75.19	17.82	69.41	71.66	76	o67y
j00g	87.03	-3.35	82.83	82.9	92	o92y
j25g	80.72	-25.01	69.5	73.86	110	y20l
j50g	70.64	-39.54	51.97	65.3	127	y46l
j75g	61.93	-52.1	36.83	63.8	145	y72l
g00b	52.8	-65.28	20.93	68.56	162	y99l
g25b	55.7	-49.58	-8.39	50.28	190	l36c
g50b	57.82	-38.4	-28.92	48.07	217	l72c
g75b	55.5	-22.05	-45.95	50.97	244	c11v
b00r	41.6	1.37	-45.01	45.03	272	c56v
b25r	29.0	25.08	-43.13	49.89	300	v04m
b50r	38.04	46.53	-28.39	54.51	329	v55m
b75r	49.48	72.88	-3.76	72.98	357	m11o

$lab^*icu^*_d$

$i^* = 1.00$

Brillantheit i^*

$i^* = 0.80$

$i^* = 0.60$

$i^* = 0.40$

$i^* = 0.20$

$i^* = 0.00$

Ein und Ausgabe: Farbmetrisches Drucker-Reflektiv-System ORS19_96a für relativen CIELAB-Buntton $h^* = \text{lab}^*h^* = h_{ab}/360 = 0.913$

Daten für jede Farbe:

lab^*ch^* und lab^*icu^*

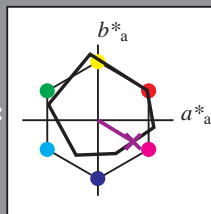
Bunttontexte:

$u^*_e = b50r$ $u^*_d = v55m$

Kontrastreduzierungsfaktor:

$c_R = 1.0$

Dreiecks-Helligkeit i^*



ORS19_96a; adaptierte CIELAB-Daten

u^*_e	$L^*=L^*_a$	a^*_a	b^*_a	$C^*_{ab,a}$	$h^*_{ab,a}$
O _{Ma}	48.75	65.07	39.43	76.08	31
Y _{Ma}	90.92	-10.29	87.24	87.85	97
L _{Ma}	52.69	-65.44	20.75	68.65	162
C _{Ma}	59.61	-28.98	-46.22	54.56	238
V _{Ma}	28.39	23.63	-44.13	50.06	298
M _{Ma}	49.58	73.93	-9.56	74.55	353
N _{Ma}	18.89	0.0	0.0	0.0	0
W _{Ma}	96.9	0.0	0.0	0.0	0
R _{Ma}	39.92	58.74	27.99	65.07	25
J _{Ma}	81.26	-2.89	71.56	71.62	92
G _{Ma}	52.23	-42.42	13.6	44.55	162
B _{Ma}	30.57	1.41	-46.47	46.49	272

Daten für Maximalfarbe (Ma):

$\text{LAB}^*\text{LAB}^*_{\text{Ma}}$: 38 47 -28

$\text{LAB}^*\text{LCH}^*_{\text{Ma}}$: 38 55 328

$\text{lab}^*\text{rgb}^*_{\text{Ma}}$: 1.0 0.0 1.0

$\text{lab}^*\text{olv}^*_{\text{Ma}}$: 0.56 0.0 1.0

Dreiecks-Helligkeit i^*

%Umfang

$u^*_{\text{rel}} = 89$

%Regularität

$g^*_{H,\text{rel}} = 72$

$g^*_{C,\text{rel}} = 57$

ORS19_96a; adaptierte CIELAB-Daten

u^*_e	$L^*=L^*_a$	a^*_a	b^*_a	$C^*_{ab,a}$	$h^*_{ab,a}$	u^*_d
r00j	48.88	66.47	31.67	73.63	25	m84o
r25j	55.85	52.39	47.48	70.7	42	o17y
r50j	65.45	35.22	58.37	68.17	59	o42y
r75j	75.19	17.82	69.41	71.66	76	o67y
j00g	87.03	-3.35	82.83	82.9	92	o92y
j25g	80.72	-25.01	69.5	73.86	110	y20l
j50g	70.64	-39.54	51.97	65.3	127	y46l
j75g	61.93	-52.1	36.83	63.8	145	y72l
g00b	52.8	-65.28	20.93	68.56	162	y99l
g25b	55.7	-49.58	-8.39	50.28	190	l36c
g50b	57.82	-38.4	-28.92	48.07	217	l72c
g75b	55.5	-22.05	-45.95	50.97	244	c11v
b00r	41.6	1.37	-45.01	45.03	272	c56v
b25r	29.0	25.08	-43.13	49.89	300	v04m
b50r	38.04	46.53	-28.39	54.51	329	v55m
b75r	49.48	72.88	-3.76	72.98	357	m11o

$\text{lab}^*\text{icu}^*_d$

$i^* = 1.00$

Brillantheit i^*

$i^* = 0.80$

$i^* = 0.60$

$i^* = 0.40$

$i^* = 0.20$

$i^* = 0.00$

Ein und Ausgabe: Farbmetrisches Drucker-Reflektiv-System ORS19_96a für relativen CIELAB-Buntton $h^* = \text{lab}^*h^* = h_{ab}/360 = 0.992$

Daten für jede Farbe:

lab^*tch^* und lab^*icu^*

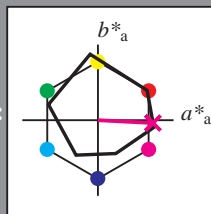
Bunttontexte:

$u^*_e = b75r$ $u^*_d = m11o$

Kontrastreduzierungsfaktor:

$c_R = 1.0$

Dreiecks-Helligkeit t^*



ORS19_96a; adaptierte CIELAB-Daten

u^*_e	$L^*=L^*_a$	a^*_a	b^*_a	$C^*_{ab,a}$	$h^*_{ab,a}$
O _{Ma}	48.75	65.07	39.43	76.08	31
Y _{Ma}	90.92	-10.29	87.24	87.85	97
L _{Ma}	52.69	-65.44	20.75	68.65	162
C _{Ma}	59.61	-28.98	-46.22	54.56	238
V _{Ma}	28.39	23.63	-44.13	50.06	298
M _{Ma}	49.58	73.93	-9.56	74.55	353
N _{Ma}	18.89	0.0	0.0	0.0	0
W _{Ma}	96.9	0.0	0.0	0.0	0
R _{Ma}	39.92	58.74	27.99	65.07	25
J _{Ma}	81.26	-2.89	71.56	71.62	92
G _{Ma}	52.23	-42.42	13.6	44.55	162
B _{Ma}	30.57	1.41	-46.47	46.49	272

Daten für Maximalfarbe (Ma):

$\text{LAB}^*\text{LAB}^*_{\text{Ma}}$: 49 73 -4

$\text{LAB}^*\text{LCH}^*_{\text{Ma}}$: 49 73 357

$\text{lab}^*\text{rgb}^*_{\text{Ma}}$: 1.0 0.0 0.5

$\text{lab}^*\text{olv}^*_{\text{Ma}}$: 1.0 0.0 0.89

Dreiecks-Helligkeit t^*

%Umfang

$u^*_{\text{rel}} = 89$

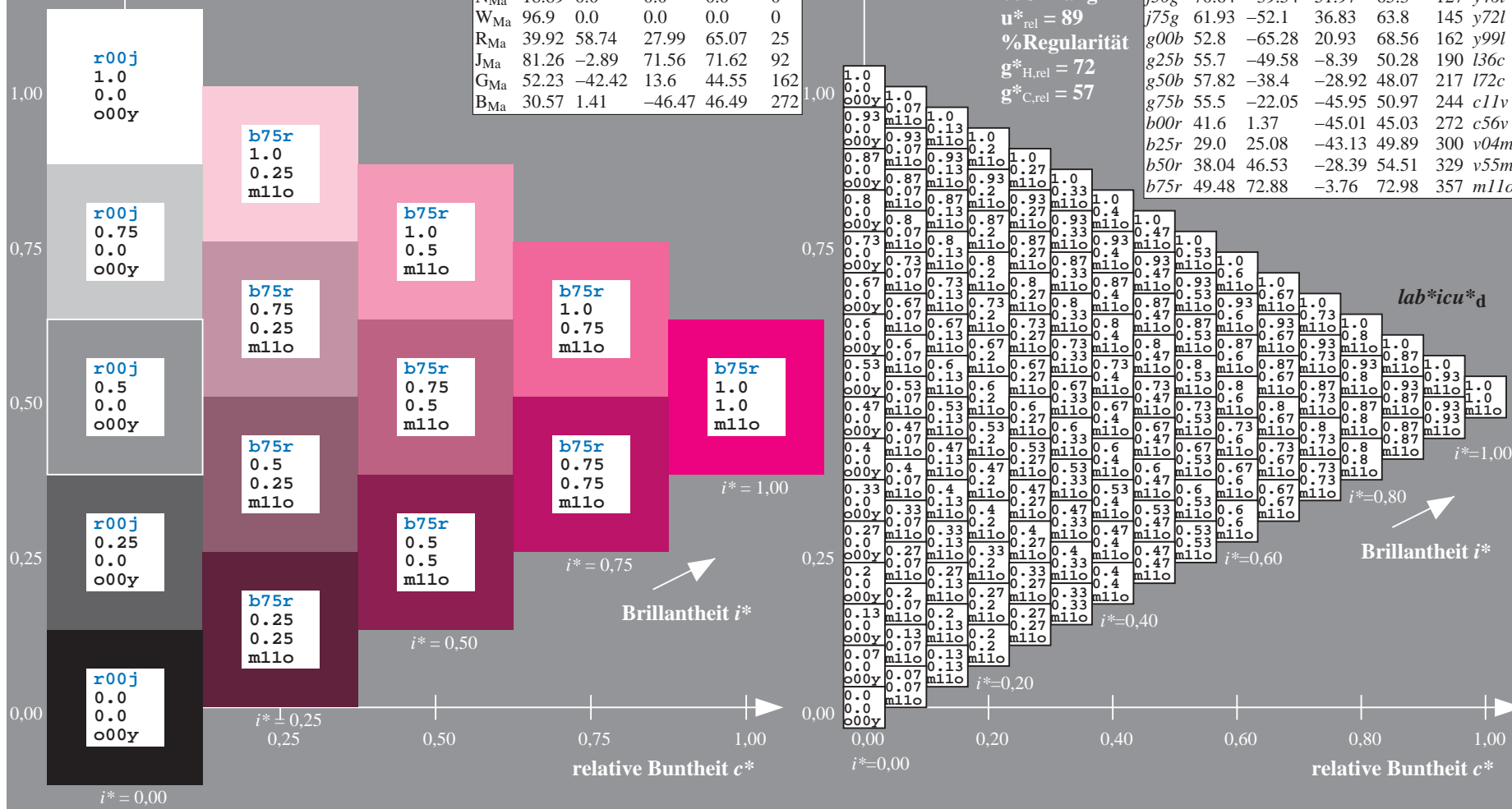
%Regularität

$g^*_{H,\text{rel}} = 72$

$g^*_{C,\text{rel}} = 57$

ORS19_96a; adaptierte CIELAB-Daten

u^*_e	$L^*=L^*_a$	a^*_a	b^*_a	$C^*_{ab,a}$	$h^*_{ab,a}$	u^*_d
r00j	48.88	66.47	31.67	73.63	25	m84o
r25j	55.85	52.39	47.48	70.7	42	o17y
r50j	65.45	35.22	58.37	68.17	59	o42y
r75j	75.19	17.82	69.41	71.66	76	o67y
j00g	87.03	-3.35	82.83	82.9	92	o92y
j25g	80.72	-25.01	69.5	73.86	110	y20l
j50g	70.64	-39.54	51.97	65.3	127	y46l
j75g	61.93	-52.1	36.83	63.8	145	y72l
g00b	52.8	-65.28	20.93	68.56	162	y99l
g25b	55.7	-49.58	-8.39	50.28	190	l36c
g50b	57.82	-38.4	-28.92	48.07	217	l72c
g75b	55.5	-22.05	-45.95	50.97	244	c11v
b00r	41.6	1.37	-45.01	45.03	272	c56v
b25r	29.0	25.08	-43.13	49.89	300	v04m
b50r	38.04	46.53	-28.39	54.51	329	v55m
b75r	49.48	72.88	-3.76	72.98	357	m11o



Siehe ähnliche Dateien: <http://www.ps.bam.de/Eg38/>; www.ps.bam.de/Eg38/
Technische Information: <http://www.ps.bam.de/Version2.1,io=1.1,ColSp=1>

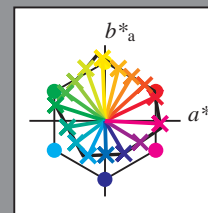
	A	B	C	D	E	F	G	H	I	J	K	L	M	N	O	P	Q	R	S	T	U	V	W	X	Y	Z	a	b	c	d	e	f	g	h	i	j	k	lab*icu*a																																																																																																																																																																																																																																																																																																																																																																																																																																																																																																																																																																																																																																																																																																																																																																																																																																																																																																																																																																																																																																																																																																																																																																																															
01	0.0	0.13	0.25	0.38	0.5	0.63	0.75	0.88	1.0	1.13	1.25	1.38	1.5	1.63	1.75	1.88	2.0	2.13	2.25	2.38	2.5	2.63	2.75	2.88	3.0	3.13	3.25	3.38	3.5	3.63	3.75	3.88	4.0	4.13	4.25	4.38	4.5	4.63	4.75	4.88	5.0	5.13	5.25	5.38	5.5	5.63	5.75	5.88	6.0	6.13	6.25	6.38	6.5	6.63	6.75	6.88	7.0	7.13	7.25	7.38	7.5	7.63	7.75	7.88	8.0	8.13	8.25	8.38	8.5	8.63	8.75	8.88	9.0	9.13	9.25	9.38	9.5	9.63	9.75	9.88	10.0	10.13	10.25	10.38	10.5	10.63	10.75	10.88	11.0	11.13	11.25	11.38	11.5	11.63	11.75	11.88	12.0	12.13	12.25	12.38	12.5	12.63	12.75	12.88	13.0	13.13	13.25	13.38	13.5	13.63	13.75	13.88	14.0	14.13	14.25	14.38	14.5	14.63	14.75	14.88	15.0	15.13	15.25	15.38	15.5	15.63	15.75	15.88	16.0	16.13	16.25	16.38	16.5	16.63	16.75	16.88	17.0	17.13	17.25	17.38	17.5	17.63	17.75	17.88	18.0	18.13	18.25	18.38	18.5	18.63	18.75	18.88	19.0	19.13	19.25	19.38	19.5	19.63	19.75	19.88	20.0	20.13	20.25	20.38	20.5	20.63	20.75	20.88	21.0	21.13	21.25	21.38	21.5	21.63	21.75	21.88	22.0	22.13	22.25	22.38	22.5	22.63	22.75	22.88	23.0	23.13	23.25	23.38	23.5	23.63	23.75	23.88	24.0	24.13	24.25	24.38	24.5	24.63	24.75	24.88	25.0	25.13	25.25	25.38	25.5	25.63	25.75	25.88	26.0	26.13	26.25	26.38	26.5	26.63	26.75	26.88	27.0	27.13	27.25	27.38	27.5	27.63	27.75	27.88	28.0	28.13	28.25	28.38	28.5	28.63	28.75	28.88	29.0	29.13	29.25	29.38	29.5	29.63	29.75	29.88	30.0	30.13	30.25	30.38	30.5	30.63	30.75	30.88	31.0	31.13	31.25	31.38	31.5	31.63	31.75	31.88	32.0	32.13	32.25	32.38	32.5	32.63	32.75	32.88	33.0	33.13	33.25	33.38	33.5	33.63	33.75	33.88	34.0	34.13	34.25	34.38	34.5	34.63	34.75	34.88	35.0	35.13	35.25	35.38	35.5	35.63	35.75	35.88	36.0	36.13	36.25	36.38	36.5	36.63	36.75	36.88	37.0	37.13	37.25	37.38	37.5	37.63	37.75	37.88	38.0	38.13	38.25	38.38	38.5	38.63	38.75	38.88	39.0	39.13	39.25	39.38	39.5	39.63	39.75	39.88	40.0	40.13	40.25	40.38	40.5	40.63	40.75	40.88	41.0	41.13	41.25	41.38	41.5	41.63	41.75	41.88	42.0	42.13	42.25	42.38	42.5	42.63	42.75	42.88	43.0	43.13	43.25	43.38	43.5	43.63	43.75	43.88	44.0	44.13	44.25	44.38	44.5	44.63	44.75	44.88	45.0	45.13	45.25	45.38	45.5	45.63	45.75	45.88	46.0	46.13	46.25	46.38	46.5	46.63	46.75	46.88	47.0	47.13	47.25	47.38	47.5	47.63	47.75	47.88	48.0	48.13	48.25	48.38	48.5	48.63	48.75	48.88	49.0	49.13	49.25	49.38	49.5	49.63	49.75	49.88	50.0	50.13	50.25	50.38	50.5	50.63	50.75	50.88	51.0	51.13	51.25	51.38	51.5	51.63	51.75	51.88	52.0	52.13	52.25	52.38	52.5	52.63	52.75	52.88	53.0	53.13	53.25	53.38	53.5	53.63	53.75	53.88	54.0	54.13	54.25	54.38	54.5	54.63	54.75	54.88	55.0	55.13	55.25	55.38	55.5	55.63	55.75	55.88	56.0	56.13	56.25	56.38	56.5	56.63	56.75	56.88	57.0	57.13	57.25	57.38	57.5	57.63	57.75	57.88	58.0	58.13	58.25	58.38	58.5	58.63	58.75	58.88	59.0	59.13	59.25	59.38	59.5	59.63	59.75	59.88	60.0	60.13	60.25	60.38	60.5	60.63	60.75	60.88	61.0	61.13	61.25	61.38	61.5	61.63	61.75	61.88	62.0	62.13	62.25	62.38	62.5	62.63	62.75	62.88	63.0	63.13	63.25	63.38	63.5	63.63	63.75	63.88	64.0	64.13	64.25	64.38	64.5	64.63	64.75	64.88	65.0	65.13	65.25	65.38	65.5	65.63	65.75	65.88	66.0	66.13	66.25	66.38	66.5	66.63	66.75	66.88	67.0	67.13	67.25	67.38	67.5	67.63	67.75	67.88	68.0	68.13	68.25	68.38	68.5	68.63	68.75	68.88	69.0	69.13	69.25	69.38	69.5	69.63	69.75	69.88	70.0	70.13	70.25	70.38	70.5	70.63	70.75	70.88	71.0	71.13	71.25	71.38	71.5	71.63	71.75	71.88	72.0	72.13	72.25	72.38	72.5	72.63	72.75	72.88	73.0	73.13	73.25	73.38	73.5	73.63	73.75	73.88	74.0	74.13	74.25	74.38	74.5	74.63	74.75	74.88	75.0	75.13	75.25	75.38	75.5	75.63	75.75	75.88	76.0	76.13	76.25	76.38	76.5	76.63	76.75	76.88	77.0	77.13	77.25	77.38	77.5	77.63	77.75	77.88	78.0	78.13	78.25	78.38	78.5	78.63	78.75	78.88	79.0	79.13	79.25	79.38	79.5	79.63	79.75	79.88	80.0	80.13	80.25	80.38	80.5	80.63	80.75	80.88	81.0	81.13	81.25	81.38	81.5	81.63	81.75	81.88	82.0	82.13	82.25	82.38	82.5	82.63	82.75	82.88	83.0	83.13	83.25	83.38	83.5	83.63	83.75	83.88	84.0	84.13	84.25	84.38	84.5	84.63	84.75	84.88	85.0	85.13	85.25	85.38	85.5	85.63	85.75	85.88	86.0	86.13	86.25	86.38	86.5	86.63	86.75	86.88	87.0	87.13	87.25	87.38	87.5	87.63	87.75	87.88	88.0	88.13	88.25	88.38	88.5	88.63	88.75	88.88	89.0	89.13	89.25	89.38	89.5	89.63	89.75	89.88	90.0	90.13	90.25	90.38	90.5	90.63	90.75	90.88	91.0	91.13	91.25	91.38	91.5	91.63	91.75	91.88	92.0	92.13	92.25	92.38	92.5	92.63	92.75	92.88	93.0	93.13	93.25	93.38	93.5	93.63	93.75	93.88	94.0	94.13	94.25	94.38	94.5	94.63	94.75	94.88	95.0	95.13	95.25	95.38	95.5	95.63	95.75	95.88	96.0	96.13	96.25	96.38	96.5	96.63	96.75	96.88	97.0	97.13	97.25	97.38	97.5	97.63	97.75	97.88	98.0	98.13	98.25	98.38	98.5	98.63	98.75	98.88	99.0	99.13	99.25	99.38	99.5	99.63	99.75	99.88	100.0	100.13	100.25	100.38	100.5	100.63	100.75	100.88	101.0	101.13	101.25	101.38	101.5	101.63	101.75	101.88	102.0	102.13	102.25	102.38	102.5	102.63	102.75	102.88	103.0	103.13	103.25	103.38	103.5	103.63	103.75	103.88	104.0	104.13	104.25	104.38	104.5	104.63	104.75	104.88	105.0	105.13	105.25	105.38	105.5	105.63	105.75	105.88	106.0	106.13	106.25	106.38	106.5	106.63	106.75	106.88	107.0	107.13	107.25	107.38	107.5	107.63	107.75	107.88	108.0	108.13	108.25	108.38	108.5	108.63	108.75	108.88	109.0	109.13	109.25	109.38	109.5	109.63	109.75	109.88	110.0	110.13	110.25	110.38	110.5	110.63	110.75	110.88	111.0	111.13	111.25	111.38	111.5	111.63	111.75	111.88	112.0	112.13	112.25	112.38	112.5	112.63	112.75	112.88	113.0	113.13	113.25	113.38	113.5	113.63	113.75	113.88	114.0	114.13	114.25	114.38	114.5	114.63	114.75	114.88	115.0	115.13	115.25	115.38	115.5	115.63	115.75	115.88	116.0	116.13	116.25	116.38	116.5	116.63	116.75	116.88	117.0	117.13	117.25	117.38	117.5	117.63	117.75	117.88	118.0	118.13	118.25	118.38	118.5	118.63	118.75	118.88	119.0	119.13	119.25	119.38	119.5	119.63	119.75	119.88	120.0	120.13	120.25	120.38	120.5	120.63	120.75	120.88	121.0	121.13	121.25	121.38	121.5	121.63	121.75	121.88	122.0	122.13	122.25	122.38	122.5	122.63	122.75	122.88	123.0	123.13	123.25	123.38	123.5	123.63	123.75	123.88	124.0	124.13	124.25	124.38	124.5	124.63	124.75	124.88	125.0	125.13	125.25	125.38	125.5	125.63	125.75	125.88	126.0	126.13	126.25	126.38	126.5	126.63	126.75	126.88	127.0	127.13	127.25	127.38	127.5	127.63	127.75	127.88	128.0	128.13	128.25	128.38	128.5	128.63	128.75	128.88	129.0	129.13	129.25	129.38	129.5	129.63	129.75	129.88	130.0	130.13	130.25	130.38	130.5	130.63	130.75	130.88	131.0	131.13	131.25	131.38	131.5	131.63	131.75	131.88	132.0	132.13	132.25	132.38	132.5	132.63	132.75	132.88	133.0	133.13	133.25	133.38	133.5	133.63	133.75	133.88	134.0	134.13	134.25	134.38	134.5	134.63	134.75	134.88	135.0	135.13	135.25	135.38	135.5	135.63	135.75	135.88	136.0	136.13	136.25	136.38	136.5	136.63	136.75	136.88	137.0	137.13	137.25	137.38	137.5	137.63	137.75	137.88	138.0	138.13	138.25	138.38	138.5	138.63	138.75	138.88	139.0	139.13	139.25	139.38	139.5	139.63	139.75	139.88	140.0	140.13	140.25	140.38	140.5	140.63	140.75	140.88	141.0	141.13	141.25	141.38	141.5	141.63	141.75	141.88	142.0	142.13	142.25	142.38	142.5	142.63	142.75	142.88	143.0	143.13	143.25	143.38	143.5	143.63	143.75	143.88	144.0	144.13	144.25	144.38	144.5	144.63	144.75	144.88	145.0	145.13	145.25	145.38	145.5	145.63	145.75	145.88	146.0	146.13	146.25	146.38	146.5	146.63	146.75	146.88	147.0	147.13	147.25	147.38	147.5	147.63	147.75	147.88	148.0	148.13	148.25	148.38	

Ein und Ausgabe:
Farbmetrisches Drucker-Reflektiv-System ORS19_96a
Daten für jede Farbe:

u^*_e und Nummer $Nr.$ = 00 .. 15
Elementar-Bunttontext:
 $u^*_e = 16$ Bunttoene $r00j, r25j, \dots, b75r$
Kontrastreduzierungsfaktor:
 $c_R = 1.0$

ORS19_96a; adaptierte CIELAB-Daten

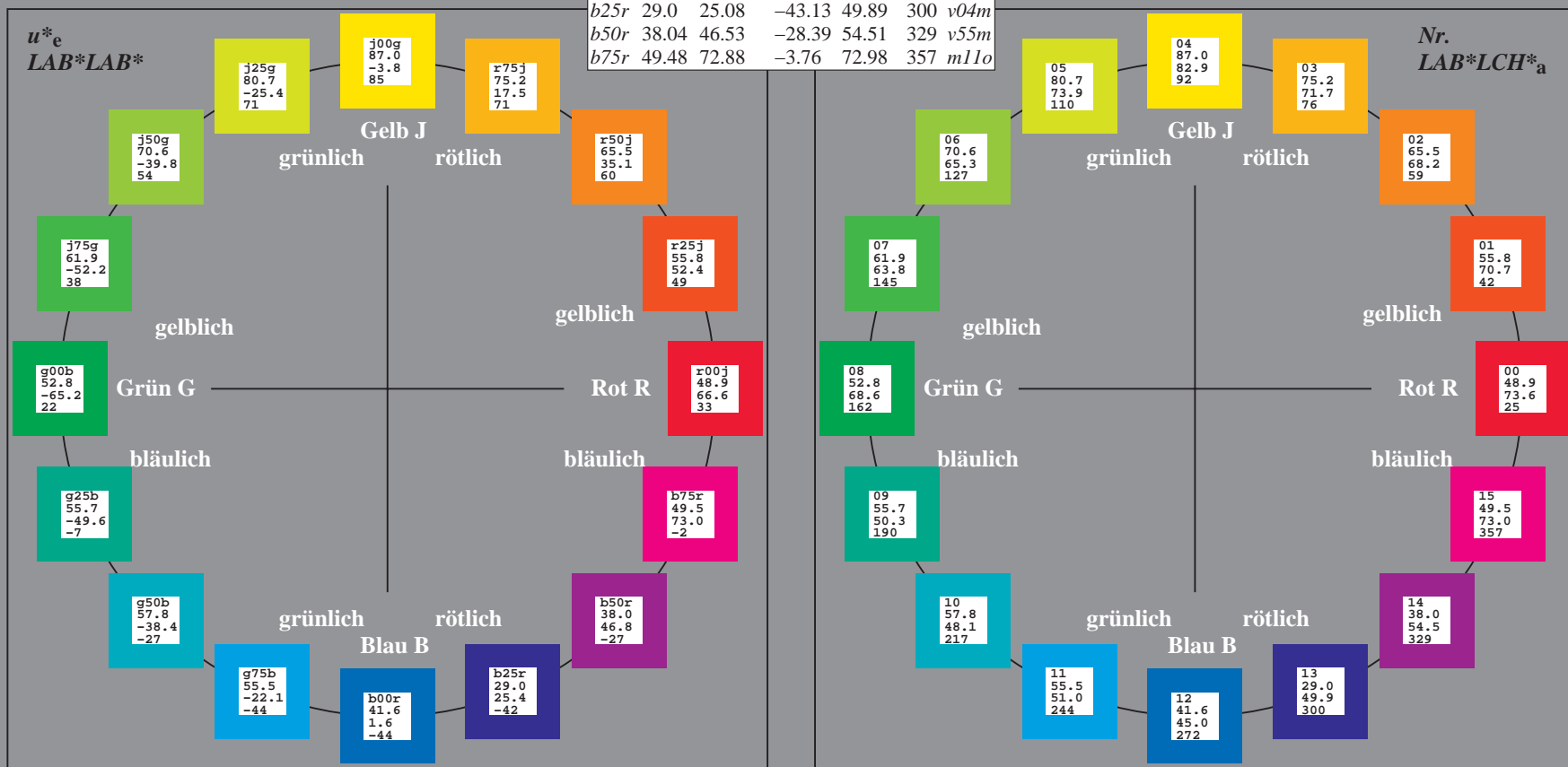
u^*_e	$L^*=L^*_a$	a^*_a	b^*_a	$C^*_{ab,a}$	$h^*_{ab,a}$	u^*_d
$r00j$	48.88	66.47	31.67	73.63	25	$m84o$
$r25j$	55.85	52.39	47.48	70.7	42	$o17y$
$r50j$	65.45	35.22	58.37	68.17	59	$o42y$
$r75j$	75.19	17.82	69.41	71.66	76	$o67y$
$j00g$	87.03	-3.35	82.83	82.9	92	$o92y$
$j25g$	80.72	-25.01	69.5	73.86	110	$y20l$
$j50g$	70.64	-39.54	51.97	65.3	127	$y46l$
$j75g$	61.93	-52.1	36.83	63.8	145	$y72l$
$g00b$	52.8	-65.28	20.93	68.56	162	$y99l$
$g25b$	55.7	-49.58	-8.39	50.28	190	$l36c$
$g50b$	57.82	-38.4	-28.92	48.07	217	$l72c$
$g75b$	55.5	-22.05	-45.95	50.97	244	$c11v$
$b00r$	41.6	1.37	-45.01	45.03	272	$c56v$
$b25r$	29.0	25.08	-43.13	49.89	300	$v04m$
$b50r$	38.04	46.53	-28.39	54.51	329	$v55m$
$b75r$	49.48	72.88	-3.76	72.98	357	$m11o$



%Umfang
 $u^*_{rel} = 89$
%Regularität
 $g^*_{H,rel} = 72$
 $g^*_{C,rel} = 57$

ORS19_96; CIELAB-Daten

Name	$L^*=L^*$	a^*	b^*	C^*_{ab}	h^*_{ab}
O_M	48.75	65.16	40.76	76.86	32
Y_M	90.92	-10.78	89.36	90.01	97
L_M	52.69	-65.4	22.15	69.05	161
C_M	59.61	-29.04	-44.69	53.3	237
V_M	28.39	24.0	-43.18	49.4	299
M_M	49.58	74.01	-8.22	74.47	354
N_M	18.89	0.5	0.77	0.92	57
W_M	96.9	-0.57	2.23	2.3	104
R_{CIE}	39.92	58.74	27.99	65.07	25
J_{CIE}	81.26	-2.89	71.56	71.62	92
G_{CIE}	52.23	-42.42	13.6	44.55	162
B_{CIE}	30.57	1.41	-46.47	46.49	272



Ein und Ausgabe: Farbmetrisches Drucker-Reflektiv-System ORS19_96a für relativen CIELAB-Buntton $h^* = lab^*h^* = h_{ab}/360 = 0.071$

Daten für jede Farbe:

lab^*ch^* und lab^*icu^*

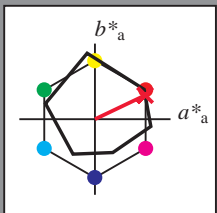
Bunttontexte:

$u^*_e = r00j$ $u^*_d = m84o$

Kontrastreduzierungsfaktor:

$c_R = 1.0$

Dreiecks-Helligkeit i^*



ORS19_96; CIELAB-Daten						
u^*_e	$L^*=L^*_a$	a^*	b^*	C^*_{ab}	h^*_{ab}	
O _M	48.75	65.16	40.76	76.86	32	
Y _M	90.92	-10.78	89.36	90.01	97	
L _M	52.69	-65.4	22.15	69.05	161	
C _M	59.61	-29.04	-44.69	53.3	237	
V _M	28.39	24.0	-43.18	49.4	299	
M _M	49.58	74.01	-8.22	74.47	354	
N _M	18.89	0.5	0.77	0.92	57	
W _M	96.9	-0.57	2.23	2.3	104	
R _M	39.92	58.74	27.99	65.07	25	
J _M	81.26	-2.89	71.56	71.62	92	
G _M	52.23	-42.42	13.6	44.55	162	
B _M	30.57	1.41	-46.47	46.49	272	

Daten für Maximalfarbe (Ma):

LAB^*LAB^*Ma : 49 66 32

LAB^*LCH^*Ma : 49 74 25

lab^*rgb^*Ma : 1.0 0.0 0.0

lab^*olv^*Ma : 1.0 0.0 0.15

Dreiecks-Helligkeit i^*

%Umfang

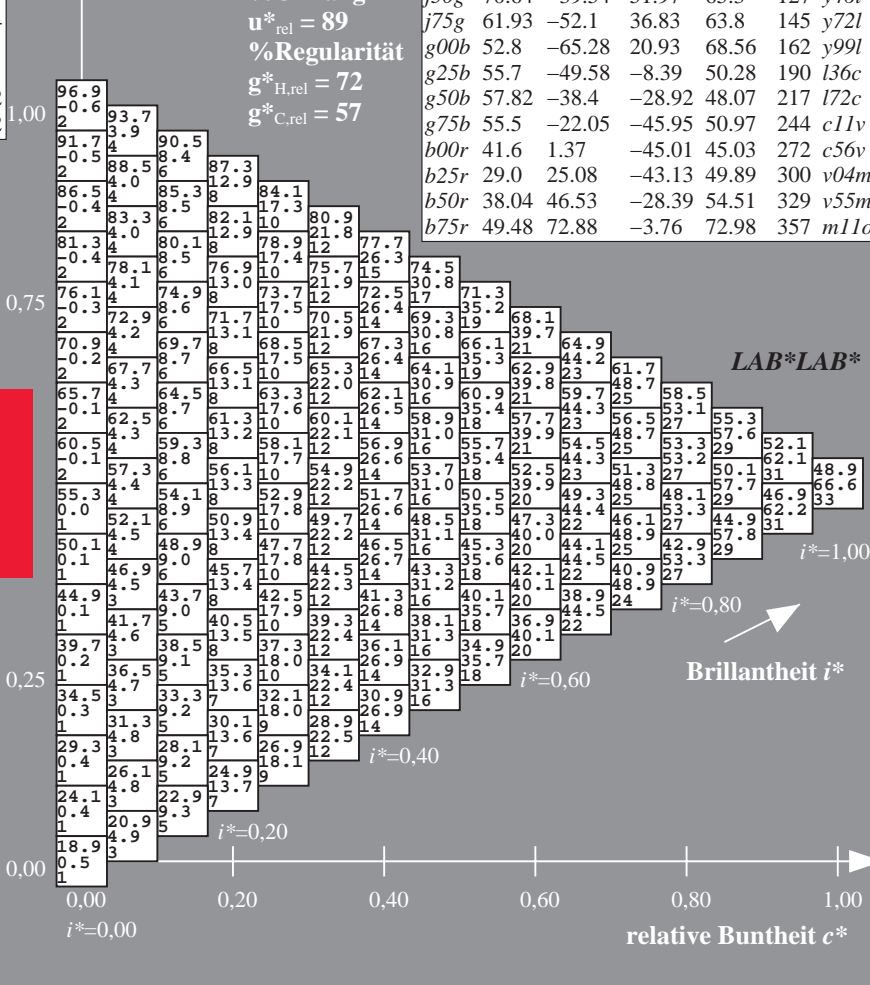
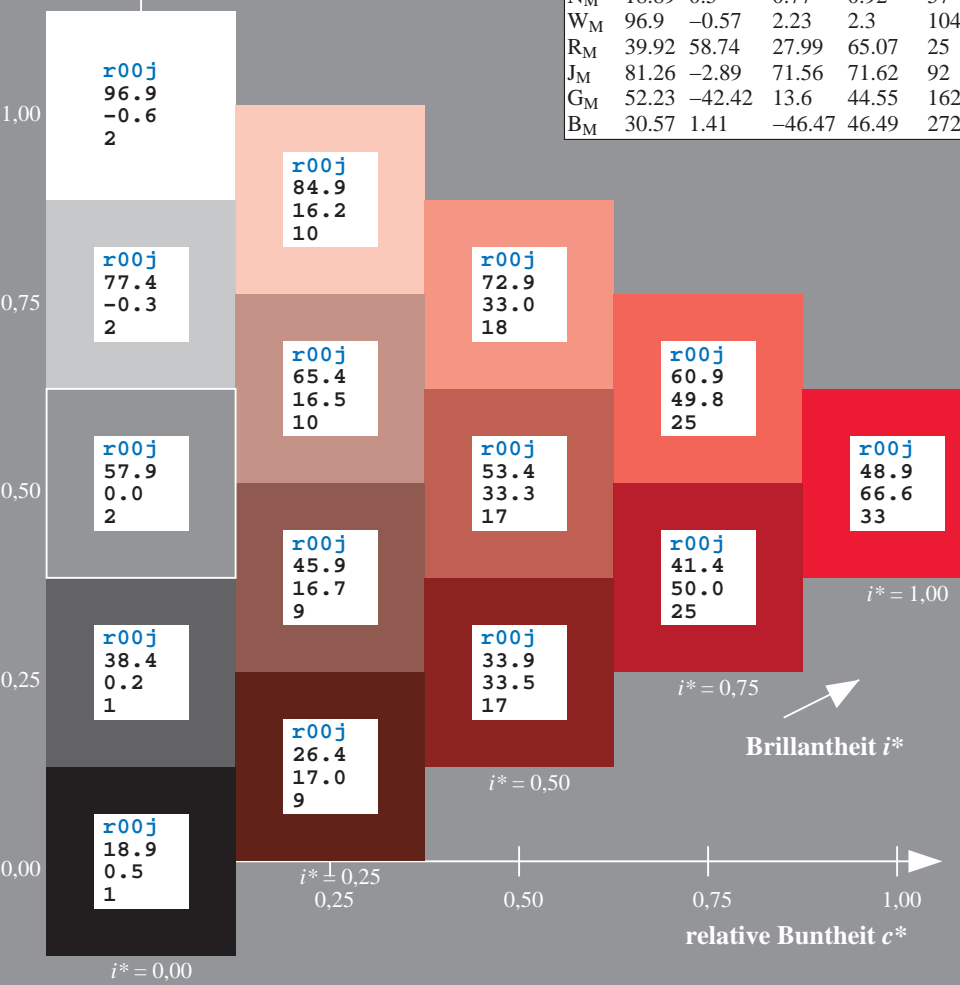
$u^*_{rel} = 89$

%Regularität

$g^*_{H,rel} = 72$

$g^*_{C,rel} = 57$

ORS19_96a; adaptierte CIELAB-Daten							
u^*_e	$L^*=L^*_a$	a^*_a	b^*_a	$C^*_{ab,a}$	$h^*_{ab,a}$	u^*_d	
r00j	48.88	66.47	31.67	73.63	25	m84o	
r25j	55.85	52.39	47.48	70.7	42	o17y	
r50j	65.45	35.22	58.37	68.17	59	o42y	
r75j	75.19	17.82	69.41	71.66	76	o67y	
j00g	87.03	-3.35	82.83	82.9	92	o92y	
j25g	80.72	-25.01	69.5	73.86	110	y20l	
j50g	70.64	-39.54	51.97	65.3	127	y46l	
j75g	61.93	-52.1	36.83	63.8	145	y72l	
g00b	52.8	-65.28	20.93	68.56	162	y99l	
g25b	55.7	-49.58	-8.39	50.28	190	l36c	
g50b	57.82	-38.4	-28.92	48.07	217	l72c	
g75b	55.5	-22.05	-45.95	50.97	244	c11v	
b00r	41.6	1.37	-45.01	45.03	272	c56v	
b25r	29.0	25.08	-43.13	49.89	300	v04m	
b50r	38.04	46.53	-28.39	54.51	329	v55m	
b75r	49.48	72.88	-3.76	72.98	357	m11o	



Ein und Ausgabe: Farbmetrisches Drucker-Reflektiv-System ORS19_96a für relativen CIELAB-Buntton $h^* = lab^*h^* = h_{ab}/360 = 0.117$

Daten für jede Farbe:

lab^*ch^* und lab^*icu^*

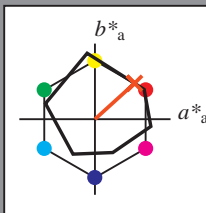
Bunttontexte:

$u^*_e = r25j$ $u^*_d = o17y$

Kontrastreduzierungsfaktor:

$c_R = 1.0$

Dreiecks-Helligkeit i^*



ORS19_96; CIELAB-Daten					
u^*_e	$L^*=L^*_a$	a^*	b^*	C^*_{ab}	h^*_{ab}
O _M	48.75	65.16	40.76	76.86	32
Y _M	90.92	-10.78	89.36	90.01	97
L _M	52.69	-65.4	22.15	69.05	161
C _M	59.61	-29.04	-44.69	53.3	237
V _M	28.39	24.0	-43.18	49.4	299
M _M	49.58	74.01	-8.22	74.47	354
N _M	18.89	0.5	0.77	0.92	57
W _M	96.9	-0.57	2.23	2.3	104
R _M	39.92	58.74	27.99	65.07	25
J _M	81.26	-2.89	71.56	71.62	92
G _M	52.23	-42.42	13.6	44.55	162
B _M	30.57	1.41	-46.47	46.49	272

Daten für Maximalfarbe (Ma):

$LAB^*LAB^*_Ma$: 56 52 47

$LAB^*LCH^*_Ma$: 56 71 42

$lab^*rgb^*_Ma$: 1.0 0.25 0.0

$lab^*olv^*_Ma$: 1.0 0.17 0.0

Dreiecks-Helligkeit i^*

%Umfang

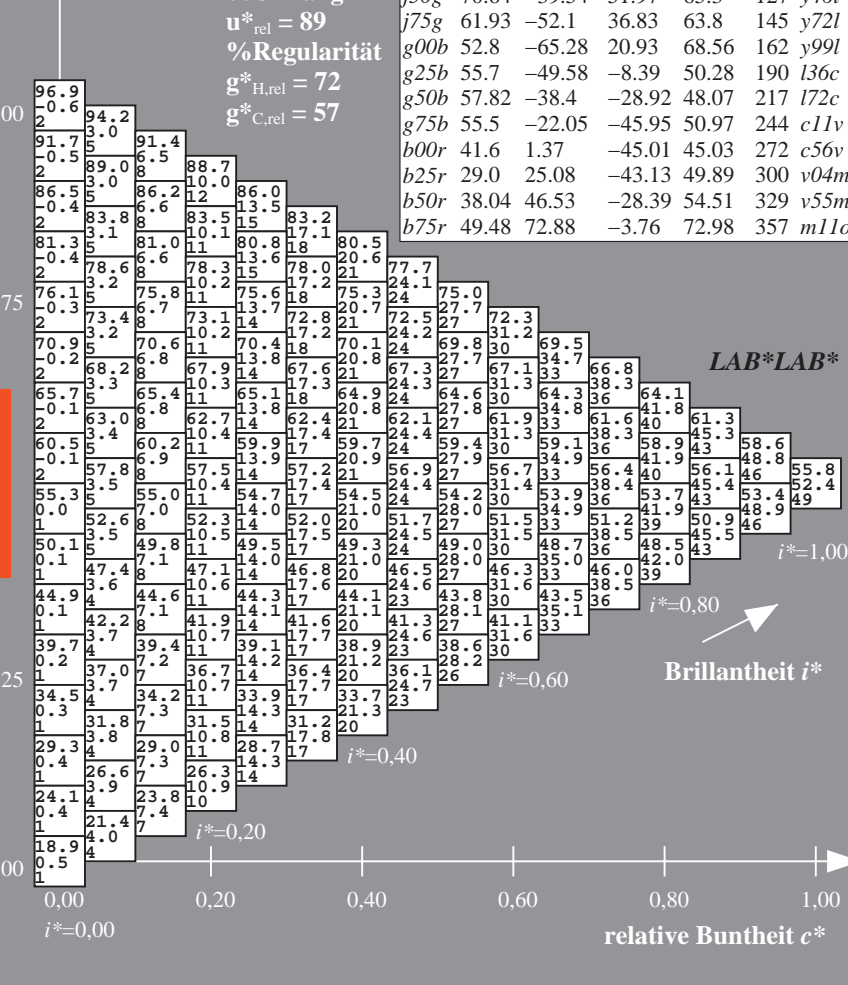
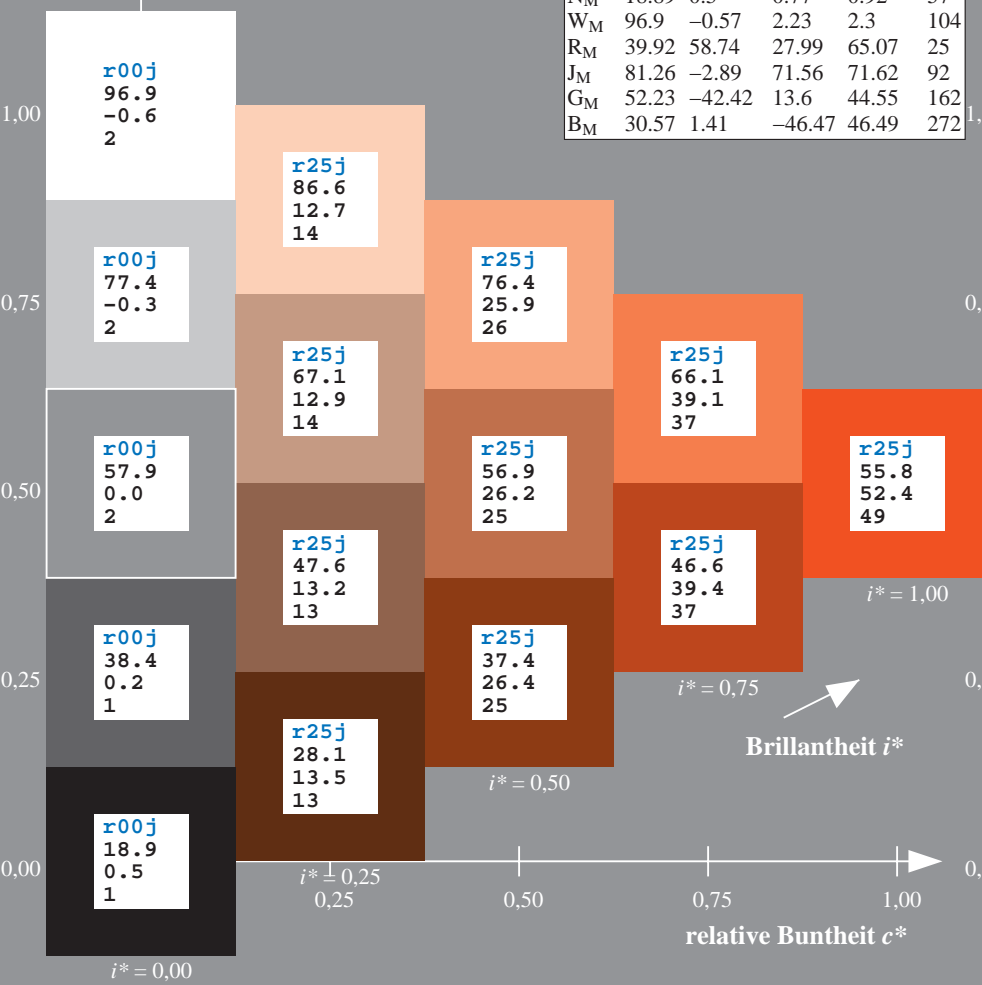
$u^*_{rel} = 89$

%Regularität

$g^*_{H,rel} = 72$

$g^*_{C,rel} = 57$

ORS19_96a; adaptierte CIELAB-Daten							
u^*_e	$L^*=L^*_a$	a^*_a	b^*_a	$C^*_{ab,a}$	$h^*_{ab,a}$	u^*_d	
r00j	48.88	66.47	31.67	73.63	25	m84o	
r25j	55.85	52.39	47.48	70.7	42	o17y	
r50j	65.45	35.22	58.37	68.17	59	o42y	
r75j	75.19	17.82	69.41	71.66	76	o67y	
j00g	87.03	-3.35	82.83	82.9	92	o92y	
j25g	80.72	-25.01	69.5	73.86	110	y20l	
j50g	70.64	-39.54	51.97	65.3	127	y46l	
j75g	61.93	-52.1	36.83	63.8	145	y72l	
g00b	52.8	-65.28	20.93	68.56	162	y99l	
g25b	55.7	-49.58	-8.39	50.28	190	l36c	
g50b	57.82	-38.4	-28.92	48.07	217	l72c	
g75b	55.5	-22.05	-45.95	50.97	244	c11v	
b00r	41.6	1.37	-45.01	45.03	272	c56v	
b25r	29.0	25.08	-43.13	49.89	300	v04m	
b50r	38.04	46.53	-28.39	54.51	329	v55m	
b75r	49.48	72.88	-3.76	72.98	357	m11o	



Ein und Ausgabe: Farbmetrisches Drucker-Reflektiv-System ORS19_96a für relativen CIELAB-Buntton $h^* = lab^*h^* = h_{ab}/360 = 0.164$

Daten für jede Farbe:

lab^*ch^* und lab^*icu^*

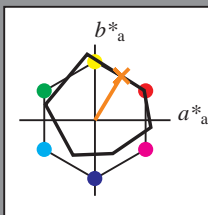
Bunttontexte:

$u^*_e = r50j$ $u^*_d = o42y$

Kontrastreduzierungsfaktor:

$c_R = 1.0$

Dreiecks-Helligkeit i^*



ORS19_96; CIELAB-Daten						
u^*_e	$L^*=L^*$	a^*	b^*	C^*_{ab}	h^*_{ab}	
O _M	48.75	65.16	40.76	76.86	32	
Y _M	90.92	-10.78	89.36	90.01	97	
L _M	52.69	-65.4	22.15	69.05	161	
C _M	59.61	-29.04	-44.69	53.3	237	
V _M	28.39	24.0	-43.18	49.4	299	
M _M	49.58	74.01	-8.22	74.47	354	
N _M	18.89	0.5	0.77	0.92	57	
W _M	96.9	-0.57	2.23	2.3	104	
R _M	39.92	58.74	27.99	65.07	25	
J _M	81.26	-2.89	71.56	71.62	92	
G _M	52.23	-42.42	13.6	44.55	162	
B _M	30.57	1.41	-46.47	46.49	272	

Daten für Maximalfarbe (Ma):

LAB^*LAB^*Ma : 65 35 58

LAB^*LCH^*Ma : 65 68 58

lab^*rgb^*Ma : 1.0 0.5 0.0

lab^*olv^*Ma : 1.0 0.42 0.0

Dreiecks-Helligkeit i^*

%Umfang

$u^*_{rel} = 89$

%Regularität

$g^*_{H,rel} = 72$

$g^*_{C,rel} = 57$

$u^*_e = r50j$
 LAB^*LAB^*

ORS19_96a; adaptierte CIELAB-Daten									
u^*_e	$L^*=L^*_a$	a^*_a	b^*_a	$C^*_{ab,a}$	$h^*_{ab,a}$	u^*_d			
r00j	48.88	66.47	31.67	73.63	25	m84o			
r25j	55.85	52.39	47.48	70.7	42	o17y			
r50j	65.45	35.22	58.37	68.17	59	o42y			
r75j	75.19	17.82	69.41	71.66	76	o67y			
j00g	87.03	-3.35	82.83	82.9	92	o92y			
j25g	80.72	-25.01	69.5	73.86	110	y20l			
j50g	70.64	-39.54	51.97	65.3	127	y46l			
j75g	61.93	-52.1	36.83	63.8	145	y72l			
g00b	52.8	-65.28	20.93	68.56	162	y99l			
g25b	55.7	-49.58	-8.39	50.28	190	l36c			
g50b	57.82	-38.4	-28.92	48.07	217	l72c			
g75b	55.5	-22.05	-45.95	50.97	244	c11v			
b00r	41.6	1.37	-45.01	45.03	272	c56v			
b25r	29.0	25.08	-43.13	49.89	300	v04m			
b50r	38.04	46.53	-28.39	54.51	329	v55m			
b75r	49.48	72.88	-3.76	72.98	357	m11o			

LAB^*LAB^*

u^*_e	L^*	a^*	b^*	C^*_{ab}	h^*_{ab}	u^*_d
r00j	48.88	66.47	31.67	73.63	25	m84o
r25j	55.85	52.39	47.48	70.7	42	o17y
r50j	65.45	35.22	58.37	68.17	59	o42y
r75j	75.19	17.82	69.41	71.66	76	o67y
j00g	87.03	-3.35	82.83	82.9	92	o92y
j25g	80.72	-25.01	69.5	73.86	110	y20l
j50g	70.64	-39.54	51.97	65.3	127	y46l
j75g	61.93	-52.1	36.83	63.8	145	y72l
g00b	52.8	-65.28	20.93	68.56	162	y99l
g25b	55.7	-49.58	-8.39	50.28	190	l36c
g50b	57.82	-38.4	-28.92	48.07	217	l72c
g75b	55.5	-22.05	-45.95	50.97	244	c11v
b00r	41.6	1.37	-45.01	45.03	272	c56v
b25r	29.0	25.08	-43.13	49.89	300	v04m
b50r	38.04	46.53	-28.39	54.51	329	v55m
b75r	49.48	72.88	-3.76	72.98	357	m11o

$i^* = 1.00$

$i^* = 0.80$

$i^* = 0.60$

$i^* = 0.40$

$i^* = 0.20$

$i^* = 0.00$

Brillantheit i^*

relative Buntheit c^*

relative Buntheit c^*

relative Buntheit c^*

relative Buntheit c^*

relative Buntheit c^*

relative Buntheit c^*

relative Buntheit c^*

relative Buntheit c^*

relative Buntheit c^*

relative Buntheit c^*

relative Buntheit c^*

Ein und Ausgabe: Farbmetrisches Drucker-Reflektiv-System ORS19_96a für relativen CIELAB-Buntton $h^* = \text{lab}^*h^* = h_{ab}/360 = 0.21$

Daten für jede Farbe:

lab^*ch^* und lab^*icu^*

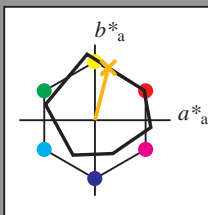
Bunttontexte:

$u^*_e = r75j$ $u^*_d = o67y$

Kontrastreduzierungsfaktor:

$c_R = 1.0$

Dreiecks-Helligkeit i^*



ORS19_96; CIELAB-Daten						
u^*_e	$L^*=L^*_a$	a^*	b^*	C^*_{ab}	h^*_{ab}	
O _M	48.75	65.16	40.76	76.86	32	
Y _M	90.92	-10.78	89.36	90.01	97	
L _M	52.69	-65.4	22.15	69.05	161	
C _M	59.61	-29.04	-44.69	53.3	237	
V _M	28.39	24.0	-43.18	49.4	299	
M _M	49.58	74.01	-8.22	74.47	354	
N _M	18.89	0.5	0.77	0.92	57	
W _M	96.9	-0.57	2.23	2.3	104	
R _M	39.92	58.74	27.99	65.07	25	
J _M	81.26	-2.89	71.56	71.62	92	
G _M	52.23	-42.42	13.6	44.55	162	
B _M	30.57	1.41	-46.47	46.49	272	

Daten für Maximalfarbe (Ma):

$\text{LAB}^*\text{LAB}^*_{\text{Ma}}$: 75 18 69

$\text{LAB}^*\text{LCH}^*_{\text{Ma}}$: 75 72 75

$\text{lab}^*\text{rgb}^*_{\text{Ma}}$: 1.0 0.75 0.0

$\text{lab}^*\text{olv}^*_{\text{Ma}}$: 1.0 0.68 0.0

Dreiecks-Helligkeit i^*

%Umfang

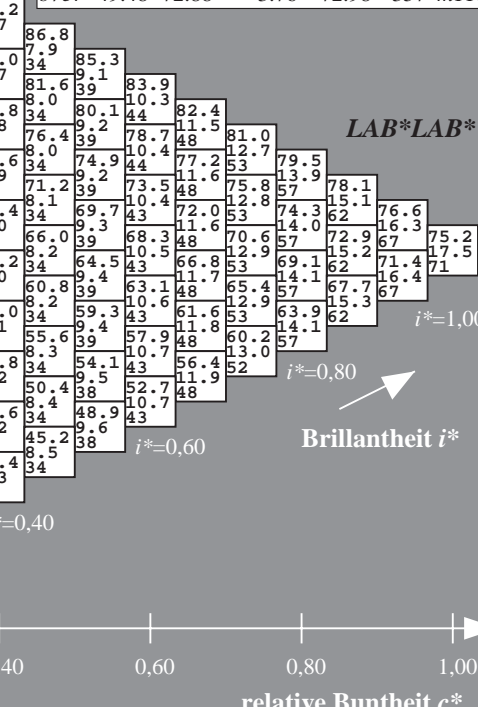
$u^*_{\text{rel}} = 89$

%Regularität

$g^*_{H,\text{rel}} = 72$

$g^*_{C,\text{rel}} = 57$

ORS19_96a; adaptierte CIELAB-Daten									
u^*_e	$L^*=L^*_a$	a^*_a	b^*_a	$C^*_{ab,a}$	$h^*_{ab,a}$	u^*_d			
r00j	48.88	66.47	31.67	73.63	25	m84o			
r25j	55.85	52.39	47.48	70.7	42	o17y			
r50j	65.45	35.22	58.37	68.17	59	o42y			
r75j	75.19	17.82	69.41	71.66	76	o67y			
j00g	87.03	-3.35	82.83	82.9	92	o92y			
j25g	80.72	-25.01	69.5	73.86	110	y20l			
j50g	70.64	-39.54	51.97	65.3	127	y46l			
j75g	61.93	-52.1	36.83	63.8	145	y72l			
g00b	52.8	-65.28	20.93	68.56	162	y99l			
g25b	55.7	-49.58	-8.39	50.28	190	l36c			
g50b	57.82	-38.4	-28.92	48.07	217	l72c			
g75b	55.5	-22.05	-45.95	50.97	244	c11v			
b00r	41.6	1.37	-45.01	45.03	272	c56v			
b25r	29.0	25.08	-43.13	49.89	300	v04m			
b50r	38.04	46.53	-28.39	54.51	329	v55m			
b75r	49.48	72.88	-3.76	72.98	357	m11o			



Ein und Ausgabe: Farbmetrisches Drucker-Reflektiv-System ORS19_96a für relativen CIELAB-Buntton $h^* = \text{lab}^*h^* = h_{ab}/360 = 0.256$

Daten für jede Farbe:

lab^*ch^* und lab^*icu^*

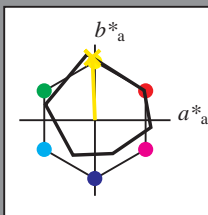
Bunttontexte:

$u^*_e = j00g$ $u^*_d = o92y$

Kontrastreduzierungsfaktor:

$c_R = 1.0$

Dreiecks-Helligkeit i^*



ORS19_96; CIELAB-Daten					
u^*_e	$L^*=L^*$	a^*	b^*	C^*_{ab}	h^*_{ab}
O _M	48.75	65.16	40.76	76.86	32
Y _M	90.92	-10.78	89.36	90.01	97
L _M	52.69	-65.4	22.15	69.05	161
C _M	59.61	-29.04	-44.69	53.3	237
V _M	28.39	24.0	-43.18	49.4	299
M _M	49.58	74.01	-8.22	74.47	354
N _M	18.89	0.5	0.77	0.92	57
W _M	96.9	-0.57	2.23	2.3	104
R _M	39.92	58.74	27.99	65.07	25
J _M	81.26	-2.89	71.56	71.62	92
G _M	52.23	-42.42	13.6	44.55	162
B _M	30.57	1.41	-46.47	46.49	272

Daten für Maximalfarbe (Ma):

$\text{LAB}^*\text{LAB}^*\text{Ma}$: 87 -3 83

$\text{LAB}^*\text{LCH}^*\text{Ma}$: 87 83 92

$\text{lab}^*\text{rgb}^*\text{Ma}$: 1.0 1.0 0.0

$\text{lab}^*\text{olv}^*\text{Ma}$: 1.0 0.93 0.0

Dreiecks-Helligkeit i^*

%Umfang

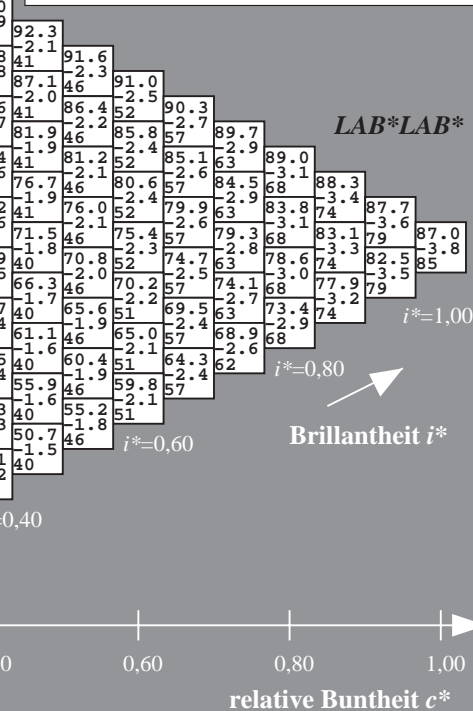
$u^*_{\text{rel}} = 89$

%Regularität

$g^*_{H,\text{rel}} = 72$

$g^*_{C,\text{rel}} = 57$

ORS19_96a; adaptierte CIELAB-Daten							
u^*_e	$L^*=L^*_a$	a^*_a	b^*_a	$C^*_{ab,a}$	$h^*_{ab,a}$	u^*_d	
r00j	48.88	66.47	31.67	73.63	25	m84o	
r25j	55.85	52.39	47.48	70.7	42	o17y	
r50j	65.45	35.22	58.37	68.17	59	o42y	
r75j	75.19	17.82	69.41	71.66	76	o67y	
j00g	87.03	-3.35	82.83	82.9	92	o92y	
j25g	80.72	-25.01	69.5	73.86	110	y20l	
j50g	70.64	-39.54	51.97	65.3	127	y46l	
j75g	61.93	-52.1	36.83	63.8	145	y72l	
g00b	52.8	-65.28	20.93	68.56	162	y99l	
g25b	55.7	-49.58	-8.39	50.28	190	l36c	
g50b	57.82	-38.4	-28.92	48.07	217	l72c	
g75b	55.5	-22.05	-45.95	50.97	244	c11v	
b00r	41.6	1.37	-45.01	45.03	272	c56v	
b25r	29.0	25.08	-43.13	49.89	300	v04m	
b50r	38.04	46.53	-28.39	54.51	329	v55m	
b75r	49.48	72.88	-3.76	72.98	357	m11o	



Ein und Ausgabe: Farbmetrisches Drucker-Reflektiv-System ORS19_96a für relativen CIELAB-Buntton $h^* = \text{lab}^*h^* = h_{ab}/360 = 0.305$

Daten für jede Farbe:

lab^*tch^* und lab^*icu^*

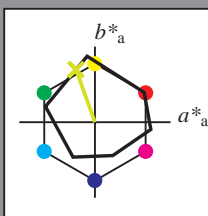
Bunttontexte:

$u^*_e = j25g$ $u^*_d = y20l$

Kontrastreduzierungsfaktor:

$c_R = 1.0$

Dreiecks-Helligkeit i^*



ORS19_96; CIELAB-Daten					
u^*_e	$L^*=L^*$	a^*	b^*	C^*_{ab}	h^*_{ab}
O _M	48.75	65.16	40.76	76.86	32
Y _M	90.92	-10.78	89.36	90.01	97
L _M	52.69	-65.4	22.15	69.05	161
C _M	59.61	-29.04	-44.69	53.3	237
V _M	28.39	24.0	-43.18	49.4	299
M _M	49.58	74.01	-8.22	74.47	354
N _M	18.89	0.5	0.77	0.92	57
W _M	96.9	-0.57	2.23	2.3	104
R _M	39.92	58.74	27.99	65.07	25
J _M	81.26	-2.89	71.56	71.62	92
G _M	52.23	-42.42	13.6	44.55	162
B _M	30.57	1.41	-46.47	46.49	272

Daten für Maximalfarbe (Ma):

$\text{LAB}^*\text{LAB}^*_{\text{Ma}}$: 81 -25 69

$\text{LAB}^*\text{LCH}^*_{\text{Ma}}$: 81 74 109

$\text{lab}^*\text{rgb}^*_{\text{Ma}}$: 0.75 1.0 0.0

$\text{lab}^*\text{olv}^*_{\text{Ma}}$: 0.8 1.0 0.0

Dreiecks-Helligkeit i^*

%Umfang

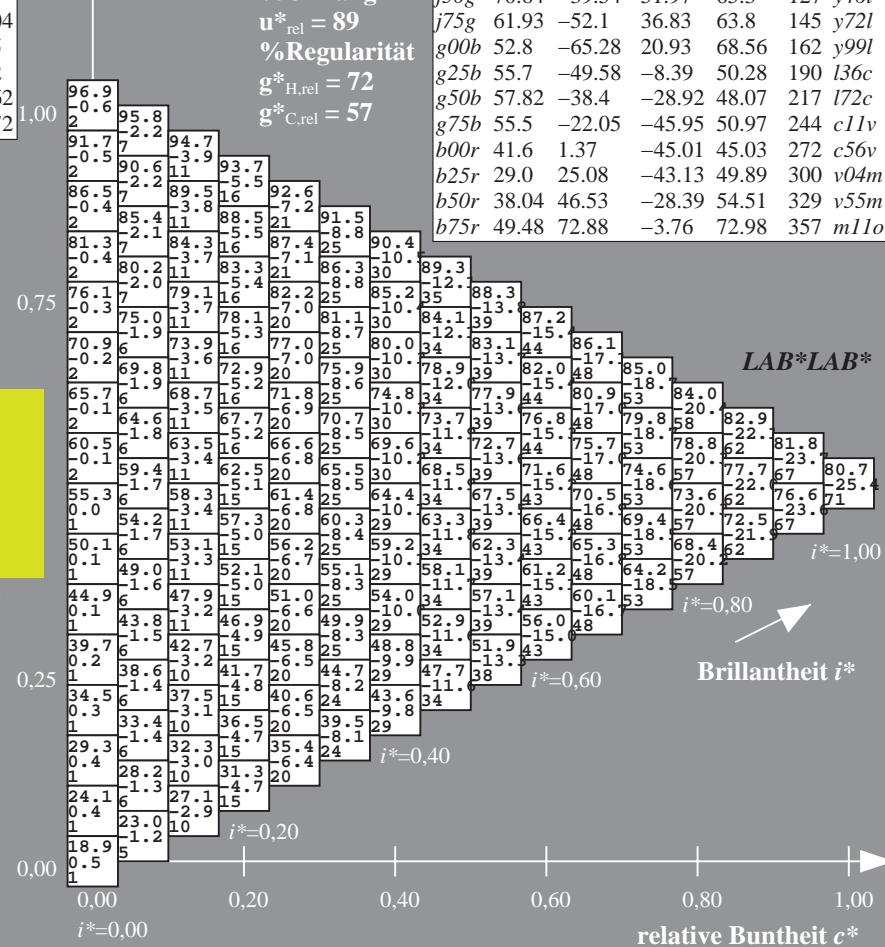
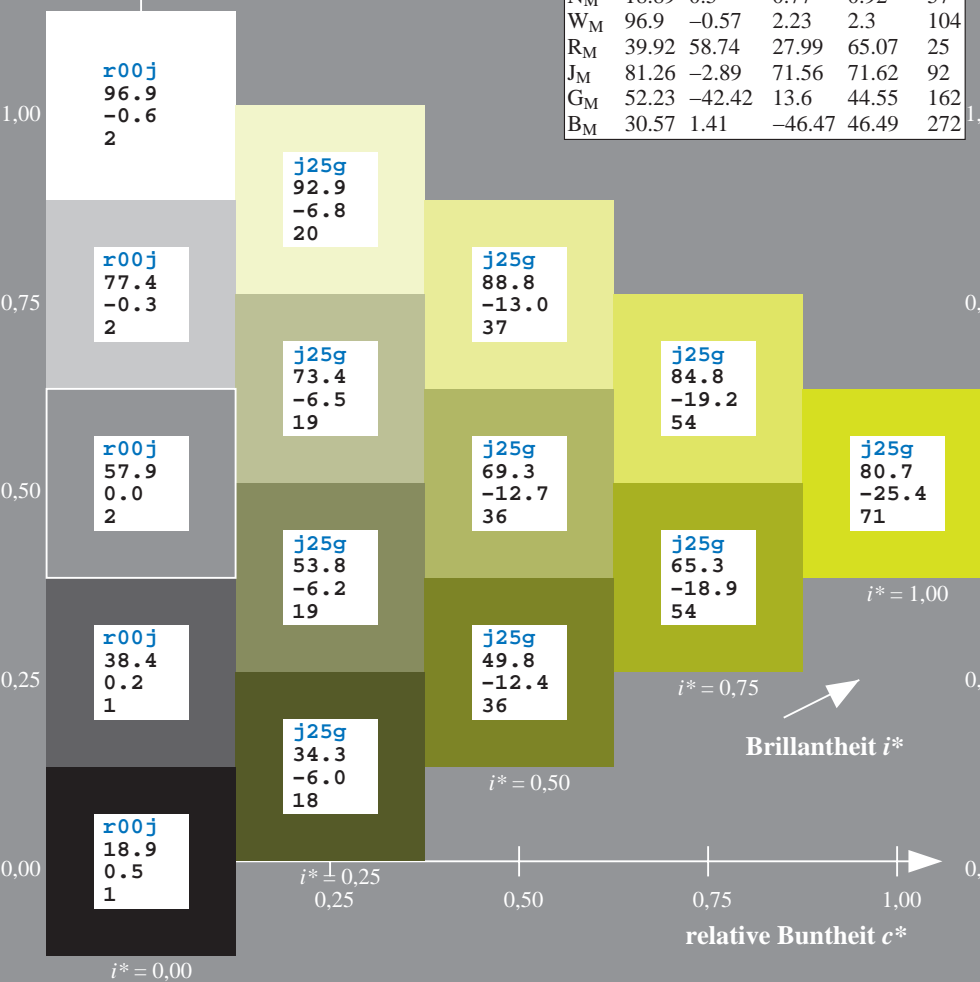
$u^*_{\text{rel}} = 89$

%Regularität

$g^*_{H,\text{rel}} = 72$

$g^*_{C,\text{rel}} = 57$

ORS19_96a; adaptierte CIELAB-Daten							
u^*_e	$L^*=L^*_a$	a^*_a	b^*_a	$C^*_{ab,a}$	$h^*_{ab,a}$	u^*_d	
r00j	48.88	66.47	31.67	73.63	25	m84o	
r25j	55.85	52.39	47.48	70.7	42	o17y	
r50j	65.45	35.22	58.37	68.17	59	o42y	
r75j	75.19	17.82	69.41	71.66	76	o67y	
j00g	87.03	-3.35	82.83	82.9	92	o92y	
j25g	80.72	-25.01	69.5	73.86	110	y20l	
j50g	70.64	-39.54	51.97	65.3	127	y46l	
j75g	61.93	-52.1	36.83	63.8	145	y72l	
g00b	52.8	-65.28	20.93	68.56	162	y99l	
g25b	55.7	-49.58	-8.39	50.28	190	l36c	
g50b	57.82	-38.4	-28.92	48.07	217	l72c	
g75b	55.5	-22.05	-45.95	50.97	244	c11v	
b00r	41.6	1.37	-45.01	45.03	272	c56v	
b25r	29.0	25.08	-43.13	49.89	300	v04m	
b50r	38.04	46.53	-28.39	54.51	329	v55m	
b75r	49.48	72.88	-3.76	72.98	357	m11o	



Ein und Ausgabe: Farbmetrisches Drucker-Reflektiv-System ORS19_96a für relativen CIELAB-Buntton $h^* = lab^*h^* = h_{ab}/360 = 0.354$

Daten für jede Farbe:

lab^*tch^* und lab^*icu^*

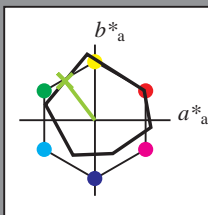
Bunttontexte:

$u^*_e = j50g$ $u^*_d = y46l$

Kontrastreduzierungsfaktor:

$c_R = 1.0$

Dreiecks-Helligkeit i^*



ORS19_96; CIELAB-Daten					
u^*_e	$L^*=L^*_a$	a^*	b^*	C^*_{ab}	h^*_{ab}
O _M	48.75	65.16	40.76	76.86	32
Y _M	90.92	-10.78	89.36	90.01	97
L _M	52.69	-65.4	22.15	69.05	161
C _M	59.61	-29.04	-44.69	53.3	237
V _M	28.39	24.0	-43.18	49.4	299
M _M	49.58	74.01	-8.22	74.47	354
N _M	18.89	0.5	0.77	0.92	57
W _M	96.9	-0.57	2.23	2.3	104
R _M	39.92	58.74	27.99	65.07	25
J _M	81.26	-2.89	71.56	71.62	92
G _M	52.23	-42.42	13.6	44.55	162
B _M	30.57	1.41	-46.47	46.49	272

Daten für Maximalfarbe (Ma):

$LAB^*LAB^*_{Ma}$: 71 -40 52

$LAB^*LCH^*_{Ma}$: 71 65 127

$lab^*rgb^*_{Ma}$: 0.5 1.0 0.0

$lab^*olv^*_{Ma}$: 0.54 1.0 0.0

Dreiecks-Helligkeit i^*

%Umfang

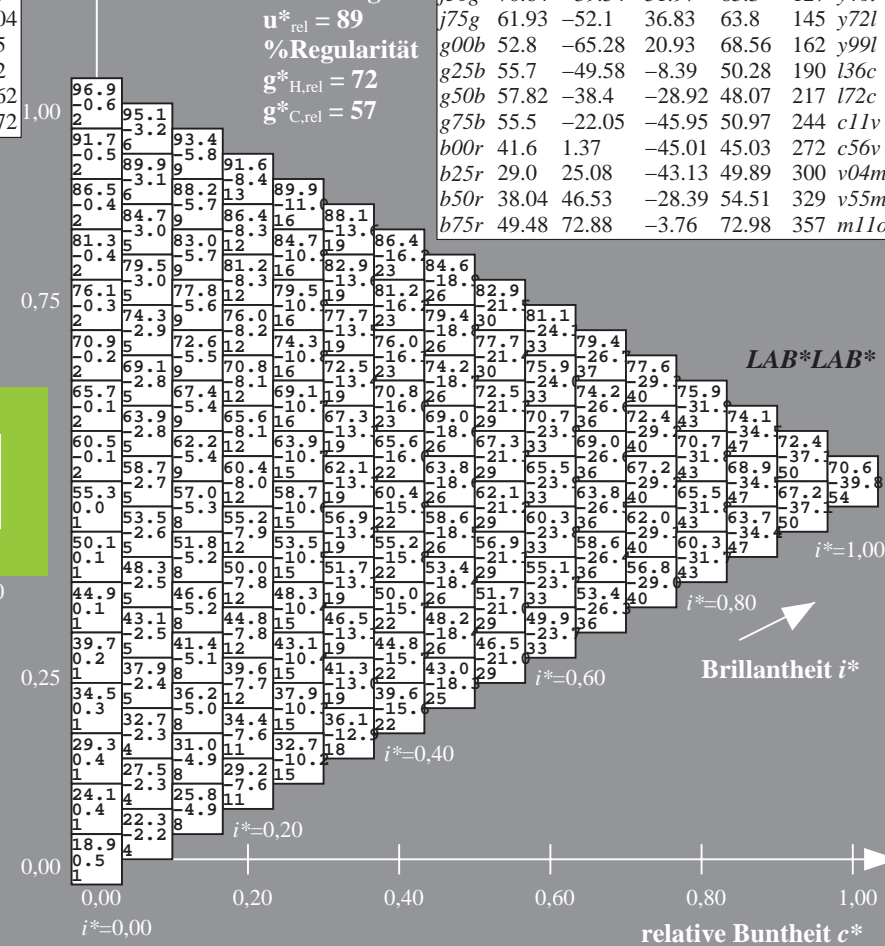
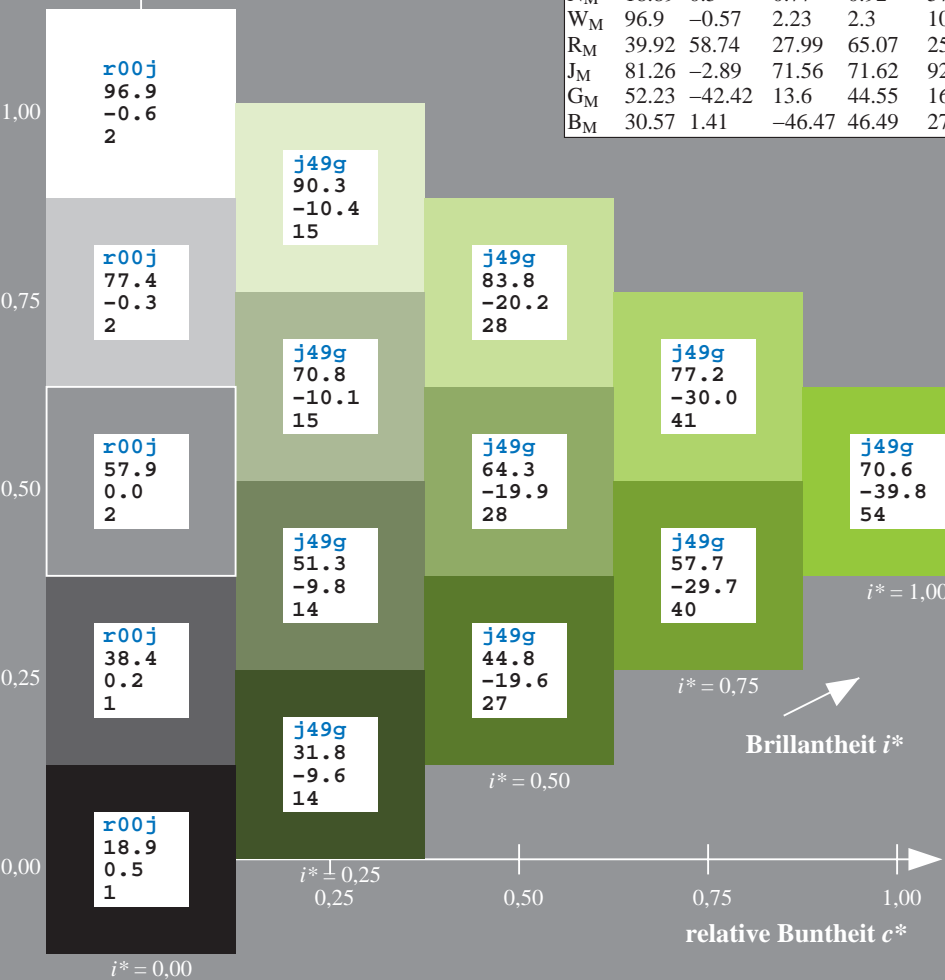
$u^*_{rel} = 89$

%Regularität

$g^*_{H,rel} = 72$

$g^*_{C,rel} = 57$

ORS19_96a; adaptierte CIELAB-Daten							
u^*_e	$L^*=L^*_a$	a^*_a	b^*_a	$C^*_{ab,a}$	$h^*_{ab,a}$	u^*_d	
r00j	48.88	66.47	31.67	73.63	25	m84o	
r25j	55.85	52.39	47.48	70.7	42	o17y	
r50j	65.45	35.22	58.37	68.17	59	o42y	
r75j	75.19	17.82	69.41	71.66	76	o67y	
j00g	87.03	-3.35	82.83	82.9	92	o92y	
j25g	80.72	-25.01	69.5	73.86	110	y20l	
j50g	70.64	-39.54	51.97	65.3	127	y46l	
j75g	61.93	-52.1	36.83	63.8	145	y72l	
g00b	52.8	-65.28	20.93	68.56	162	y99l	
g25b	55.7	-49.58	-8.39	50.28	190	l36c	
g50b	57.82	-38.4	-28.92	48.07	217	l72c	
g75b	55.5	-22.05	-45.95	50.97	244	c11v	
b00r	41.6	1.37	-45.01	45.03	272	c56v	
b25r	29.0	25.08	-43.13	49.89	300	v04m	
b50r	38.04	46.53	-28.39	54.51	329	v55m	
b75r	49.48	72.88	-3.76	72.98	357	m11o	



Ein und Ausgabe: Farbmetrisches Drucker-Reflektiv-System ORS19_96a für relativen CIELAB-Buntton $h^* = \text{lab}^*h^* = h_{ab}/360 = 0.402$

Daten für jede Farbe:

lab^*ch^* und lab^*icu^*

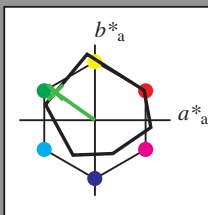
Bunttontexte:

$u^*_e = j75g$ $u^*_d = y72l$

Kontrastreduzierungsfaktor:

$c_R = 1.0$

Dreiecks-Helligkeit i^*



ORS19_96; CIELAB-Daten						
u^*_e	$L^*=L^*_a$	a^*	b^*	C^*_{ab}	h^*_{ab}	
O _M	48.75	65.16	40.76	76.86	32	
Y _M	90.92	-10.78	89.36	90.01	97	
L _M	52.69	-65.4	22.15	69.05	161	
C _M	59.61	-29.04	-44.69	53.3	237	
V _M	28.39	24.0	-43.18	49.4	299	
M _M	49.58	74.01	-8.22	74.47	354	
N _M	18.89	0.5	0.77	0.92	57	
W _M	96.9	-0.57	2.23	2.3	104	
R _M	39.92	58.74	27.99	65.07	25	
J _M	81.26	-2.89	71.56	71.62	92	
G _M	52.23	-42.42	13.6	44.55	162	
B _M	30.57	1.41	-46.47	46.49	272	

Daten für Maximalfarbe (Ma):

$\text{LAB}^*\text{LAB}^*_{\text{Ma}}$: 62 -52 37

$\text{LAB}^*\text{LCH}^*_{\text{Ma}}$: 62 64 144

$\text{lab}^*\text{rgb}^*_{\text{Ma}}$: 0.25 1.0 0.0

$\text{lab}^*\text{olv}^*_{\text{Ma}}$: 0.27 1.0 0.0

Dreiecks-Helligkeit i^*

%Umfang

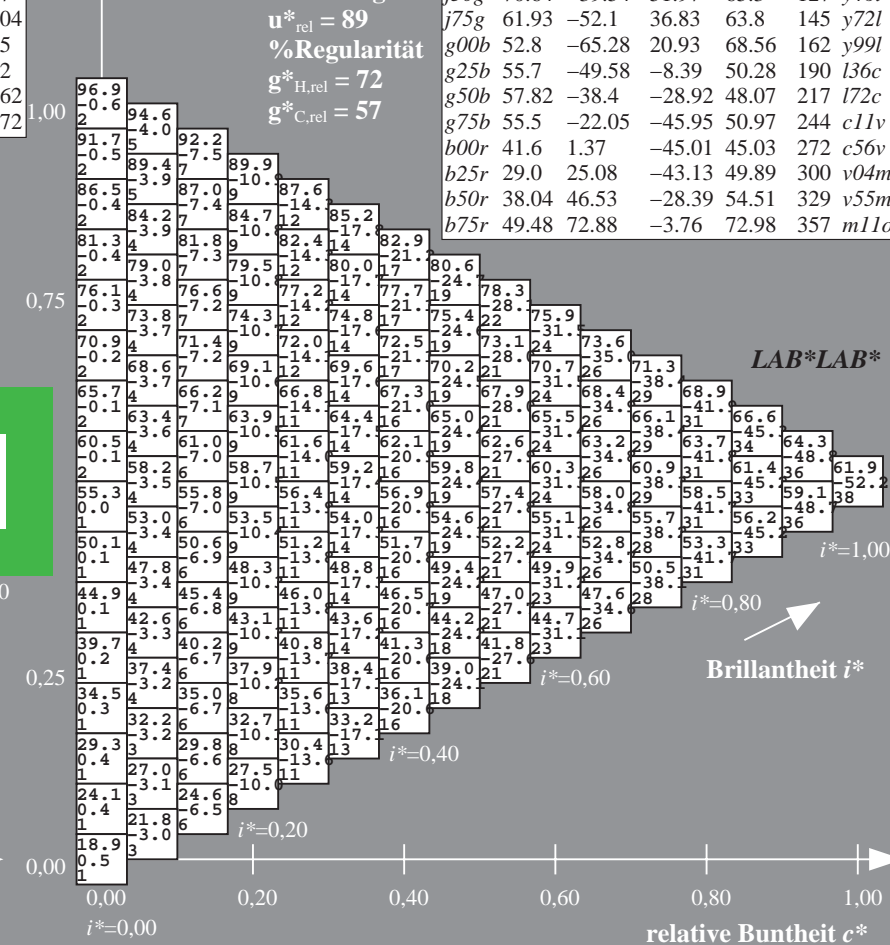
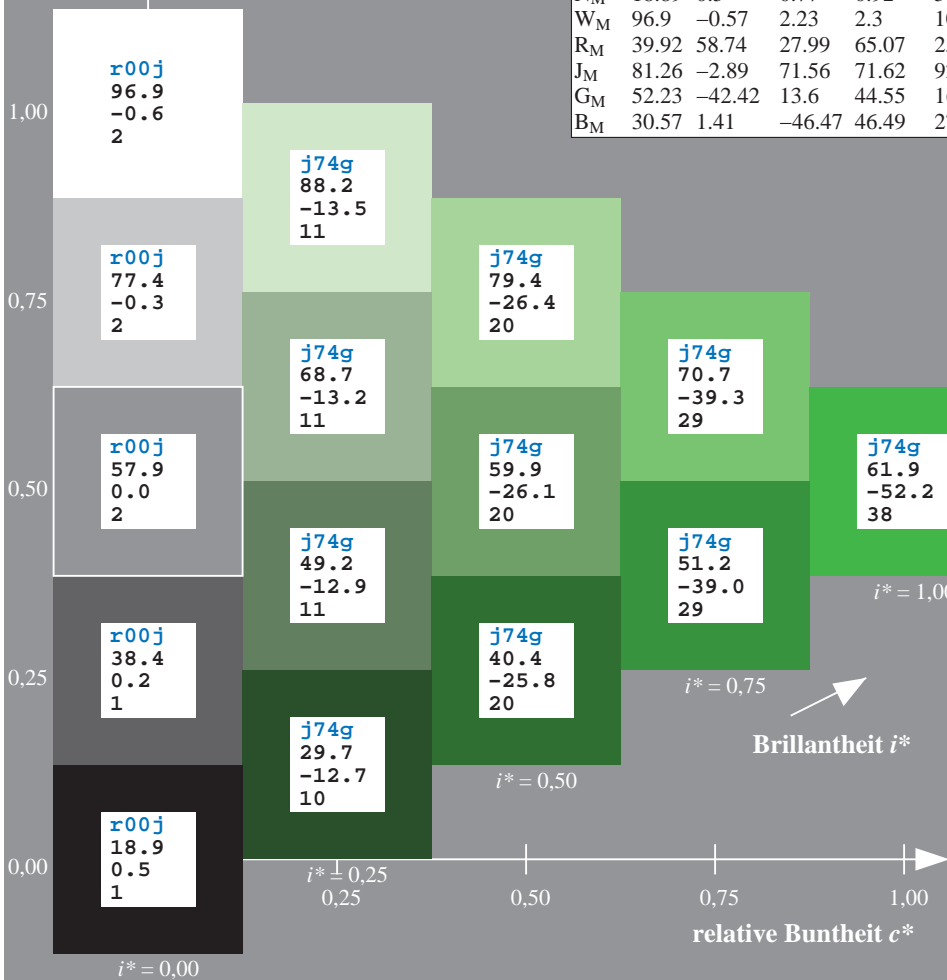
$u^*_{\text{rel}} = 89$

%Regularität

$g^*_{H,\text{rel}} = 72$

$g^*_{C,\text{rel}} = 57$

ORS19_96a; adaptierte CIELAB-Daten									
u^*_e	$L^*=L^*_a$	a^*_a	b^*_a	$C^*_{ab,a}$	$h^*_{ab,a}$	u^*_d			
r00j	48.88	66.47	31.67	73.63	25	m84o			
r25j	55.85	52.39	47.48	70.7	42	o17y			
r50j	65.45	35.22	58.37	68.17	59	o42y			
r75j	75.19	17.82	69.41	71.66	76	o67y			
j00g	87.03	-3.35	82.83	82.9	92	o92y			
j25g	80.72	-25.01	69.5	73.86	110	y20l			
j50g	70.64	-39.54	51.97	65.3	127	y46l			
j75g	61.93	-52.1	36.83	63.8	145	y72l			
g00b	52.8	-65.28	20.93	68.56	162	y99l			
g25b	55.7	-49.58	-8.39	50.28	190	l36c			
g50b	57.82	-38.4	-28.92	48.07	217	l72c			
g75b	55.5	-22.05	-45.95	50.97	244	c11v			
b00r	41.6	1.37	-45.01	45.03	272	c56v			
b25r	29.0	25.08	-43.13	49.89	300	v04m			
b50r	38.04	46.53	-28.39	54.51	329	v55m			
b75r	49.48	72.88	-3.76	72.98	357	m11o			



Ein und Ausgabe: Farbmetrisches Drucker-Reflektiv-System ORS19_96a für relativen CIELAB-Buntton $h^* = lab^*h^* = h_{ab}/360 = 0.451$

Daten für jede Farbe:

lab^*ch^* und lab^*icu^*

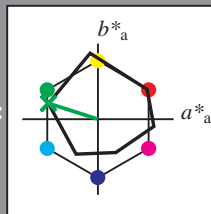
Bunttontexte:

$u^*_e = g00b$ $u^*_d = y99l$

Kontrastreduzierungsfaktor:

$c_R = 1.0$

Dreiecks-Helligkeit i^*



ORS19_96; CIELAB-Daten

u^*_e	$L^*=L^*_a$	a^*	b^*	C^*_{ab}	h^*_{ab}
O _M	48.75	65.16	40.76	76.86	32
Y _M	90.92	-10.78	89.36	90.01	97
L _M	52.69	-65.4	22.15	69.05	161
C _M	59.61	-29.04	-44.69	53.3	237
V _M	28.39	24.0	-43.18	49.4	299
M _M	49.58	74.01	-8.22	74.47	354
N _M	18.89	0.5	0.77	0.92	57
W _M	96.9	-0.57	2.23	2.3	104
R _M	39.92	58.74	27.99	65.07	25
J _M	81.26	-2.89	71.56	71.62	92
G _M	52.23	-42.42	13.6	44.55	162
B _M	30.57	1.41	-46.47	46.49	272

Daten für Maximalfarbe (Ma):

$LAB^*LAB^*_Ma$: 53 -65 21

$LAB^*LCH^*_Ma$: 53 69 162

$lab^*rgb^*_Ma$: 0.0 1.0 0.0

$lab^*olv^*_Ma$: 0.0 1.0 0.0

Dreiecks-Helligkeit i^*

%Umfang

$u^*_{rel} = 89$

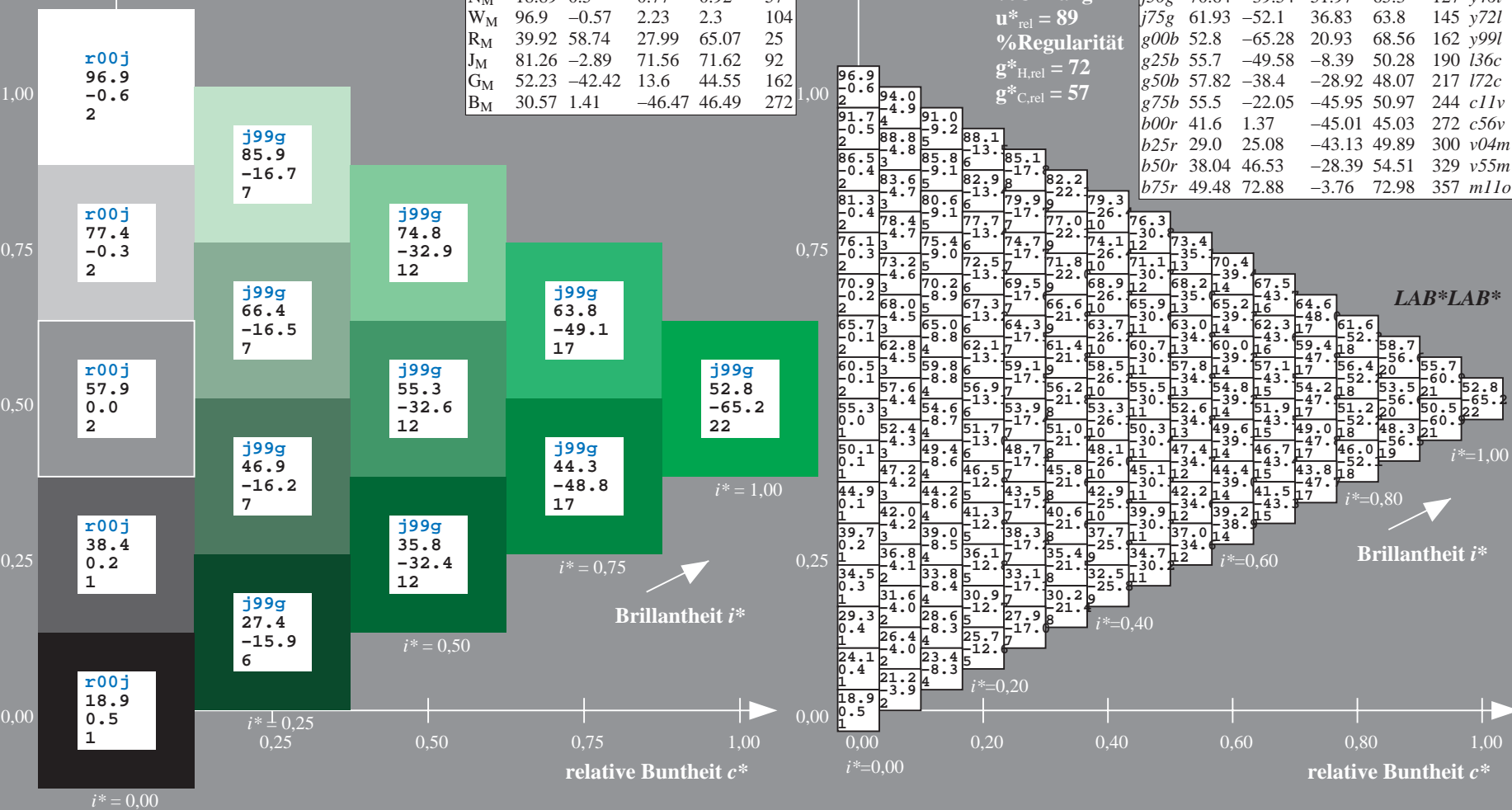
%Regularität

$g^*_{H,rel} = 72$

$g^*_{C,rel} = 57$

ORS19_96a; adaptierte CIELAB-Daten

u^*_e	$L^*=L^*_a$	a^*_a	b^*_a	$C^*_{ab,a}$	$h^*_{ab,a}$	u^*_d
r00j	48.88	66.47	31.67	73.63	25	m84o
r25j	55.85	52.39	47.48	70.7	42	o17y
r50j	65.45	35.22	58.37	68.17	59	o42y
r75j	75.19	17.82	69.41	71.66	76	o67y
j00g	87.03	-3.35	82.83	82.9	92	o92y
j25g	80.72	-25.01	69.5	73.86	110	y20l
j50g	70.64	-39.54	51.97	65.3	127	y46l
j75g	61.93	-52.1	36.83	63.8	145	y72l
g00b	52.8	-65.28	20.93	68.56	162	y99l
g25b	55.7	-49.58	-8.39	50.28	190	l36c
g50b	57.82	-38.4	-28.92	48.07	217	l72c
g75b	55.5	-22.05	-45.95	50.97	244	c11v
b00r	41.6	1.37	-45.01	45.03	272	c56v
b25r	29.0	25.08	-43.13	49.89	300	v04m
b50r	38.04	46.53	-28.39	54.51	329	v55m
b75r	49.48	72.88	-3.76	72.98	357	m11o



Ein und Ausgabe: Farbmetrisches Drucker-Reflektiv-System ORS19_96a für relativen CIELAB-Buntton $h^* = lab^*h^* = h_{ab}/360 = 0.527$

Daten für jede Farbe:

lab^*ch^* und lab^*icu^*

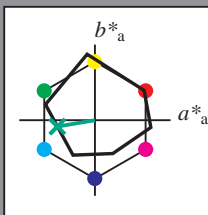
Bunttontexte:

$u^*_e = g25b$ $u^*_d = l36c$

Kontrastreduzierungsfaktor:

$c_R = 1.0$

Dreiecks-Helligkeit i^*



ORS19_96; CIELAB-Daten						
u^*_e	$L^*=L^*_a$	a^*	b^*	C^*_{ab}	h^*_{ab}	
O _M	48.75	65.16	40.76	76.86	32	
Y _M	90.92	-10.78	89.36	90.01	97	
L _M	52.69	-65.4	22.15	69.05	161	
C _M	59.61	-29.04	-44.69	53.3	237	
V _M	28.39	24.0	-43.18	49.4	299	
M _M	49.58	74.01	-8.22	74.47	354	
N _M	18.89	0.5	0.77	0.92	57	
W _M	96.9	-0.57	2.23	2.3	104	
R _M	39.92	58.74	27.99	65.07	25	
J _M	81.26	-2.89	71.56	71.62	92	
G _M	52.23	-42.42	13.6	44.55	162	
B _M	30.57	1.41	-46.47	46.49	272	

Daten für Maximalfarbe (Ma):

$LAB^*LAB^*_{Ma}$: 56 -50 -8

$LAB^*LCH^*_{Ma}$: 56 50 189

$lab^*rgb^*_{Ma}$: 0.0 1.0 0.5

$lab^*olv^*_{Ma}$: 0.0 1.0 0.36

Dreiecks-Helligkeit i^*

%Umfang

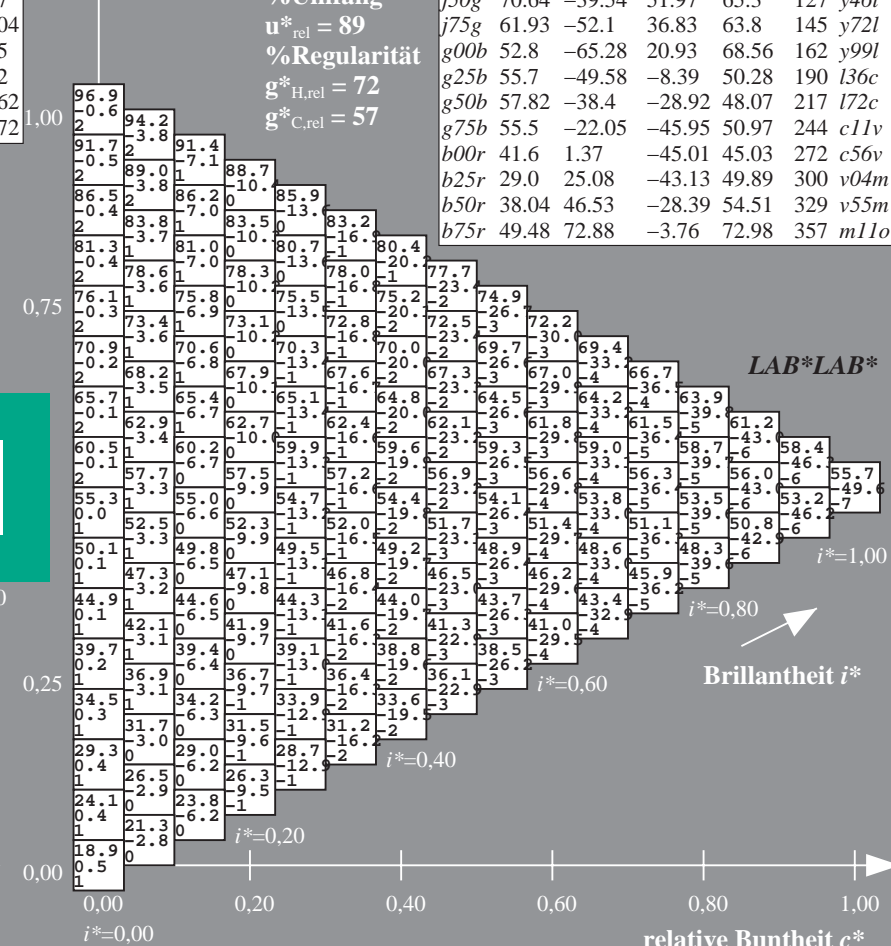
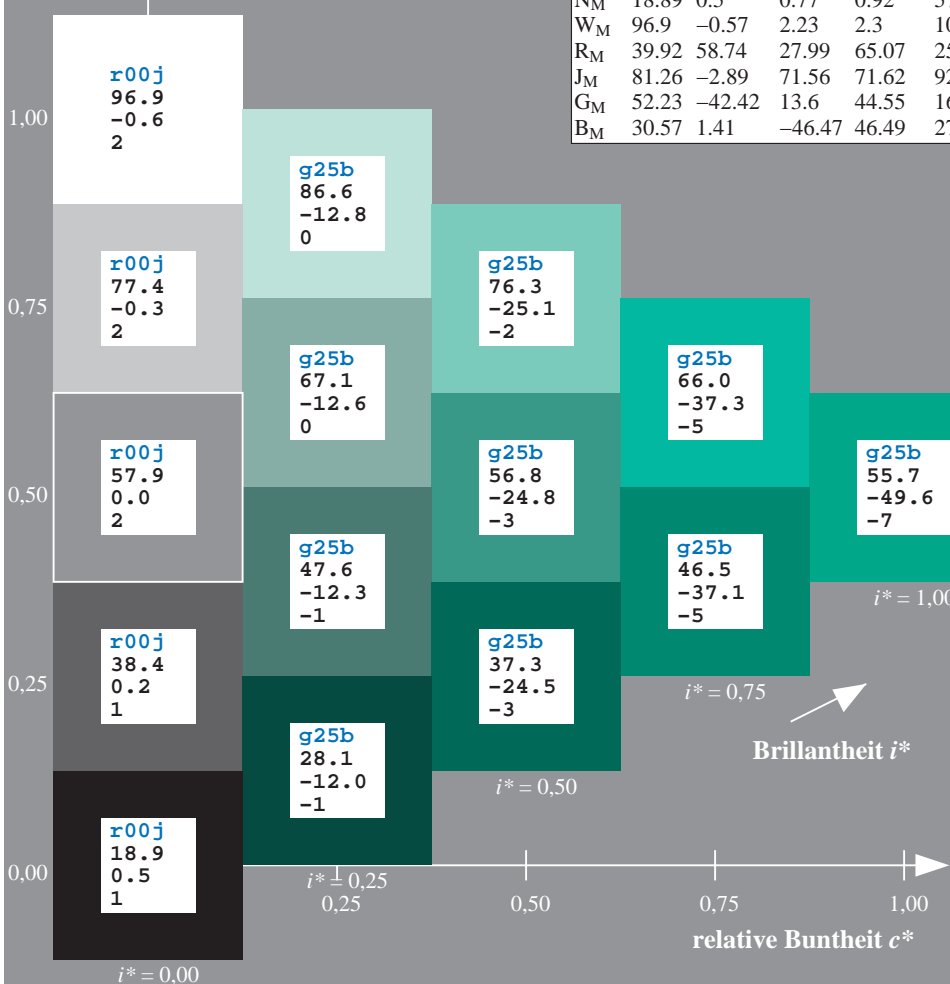
$u^*_{rel} = 89$

%Regularität

$g^*_{H,rel} = 72$

$g^*_{C,rel} = 57$

ORS19_96a; adaptierte CIELAB-Daten							
u^*_e	$L^*=L^*_a$	a^*_a	b^*_a	$C^*_{ab,a}$	$h^*_{ab,a}$	u^*_d	
r00j	48.88	66.47	31.67	73.63	25	m84o	
r25j	55.85	52.39	47.48	70.7	42	o17y	
r50j	65.45	35.22	58.37	68.17	59	o42y	
r75j	75.19	17.82	69.41	71.66	76	o67y	
j00g	87.03	-3.35	82.83	82.9	92	o92y	
j25g	80.72	-25.01	69.5	73.86	110	y20l	
j50g	70.64	-39.54	51.97	65.3	127	y46l	
j75g	61.93	-52.1	36.83	63.8	145	y72l	
g00b	52.8	-65.28	20.93	68.56	162	y99l	
g25b	55.7	-49.58	-8.39	50.28	190	l36c	
g50b	57.82	-38.4	-28.92	48.07	217	l72c	
g75b	55.5	-22.05	-45.95	50.97	244	c11v	
b00r	41.6	1.37	-45.01	45.03	272	c56v	
b25r	29.0	25.08	-43.13	49.89	300	v04m	
b50r	38.04	46.53	-28.39	54.51	329	v55m	
b75r	49.48	72.88	-3.76	72.98	357	m11o	



Ein und Ausgabe: Farbmetrisches Drucker-Reflektiv-System ORS19_96a für relativen CIELAB-Buntton $h^* = lab^*h^* = h_{ab}/360 = 0.603$

Daten für jede Farbe:

lab^*ch^* und lab^*icu^*

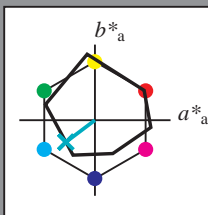
Bunttontexte:

$u^*_e = g50b$ $u^*_d = l72c$

Kontrastreduzierungsfaktor:

$c_R = 1.0$

Dreiecks-Helligkeit i^*



ORS19_96; CIELAB-Daten					
u^*_e	$L^*=L^*_a$	a^*	b^*	C^*_{ab}	h^*_{ab}
O _M	48.75	65.16	40.76	76.86	32
Y _M	90.92	-10.78	89.36	90.01	97
L _M	52.69	-65.4	22.15	69.05	161
C _M	59.61	-29.04	-44.69	53.3	237
V _M	28.39	24.0	-43.18	49.4	299
M _M	49.58	74.01	-8.22	74.47	354
N _M	18.89	0.5	0.77	0.92	57
W _M	96.9	-0.57	2.23	2.3	104
R _M	39.92	58.74	27.99	65.07	25
J _M	81.26	-2.89	71.56	71.62	92
G _M	52.23	-42.42	13.6	44.55	162
B _M	30.57	1.41	-46.47	46.49	272

Daten für Maximalfarbe (Ma):

$LAB^*LAB^*_{Ma}$: 58 -38 -29

$LAB^*LCH^*_{Ma}$: 58 48 216

$lab^*rgb^*_{Ma}$: 0.0 1.0 1.0

$lab^*olv^*_{Ma}$: 0.0 1.0 0.72

Dreiecks-Helligkeit i^*

%Umfang

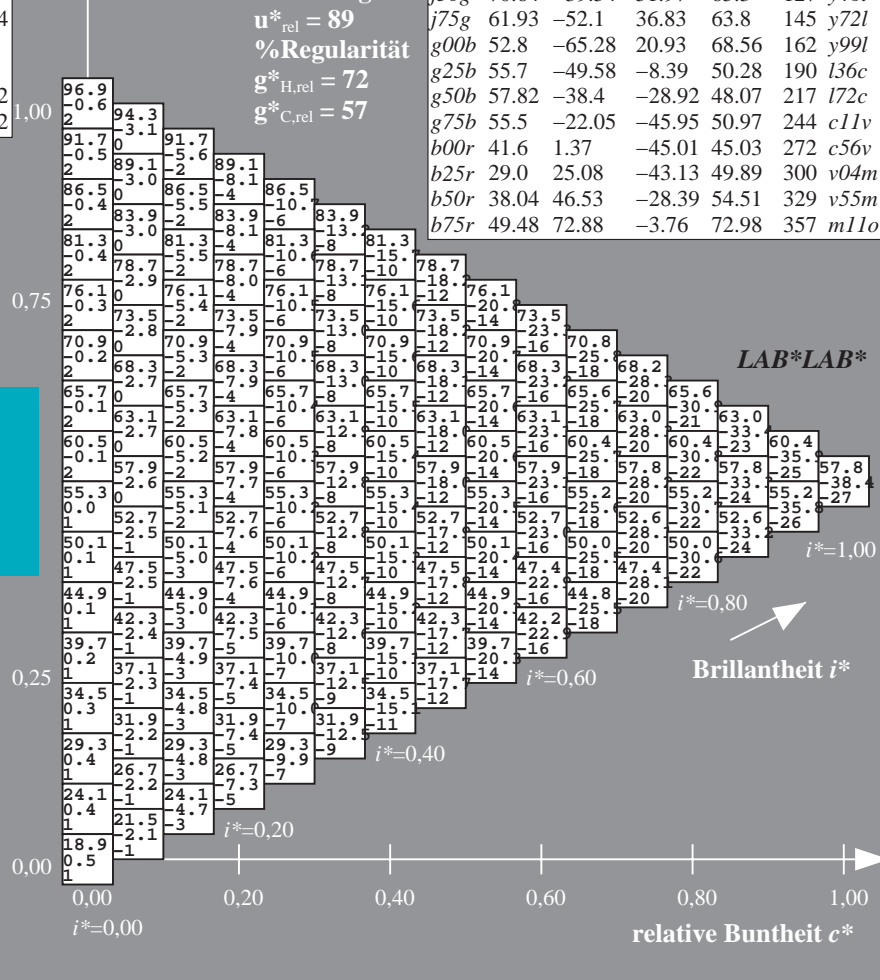
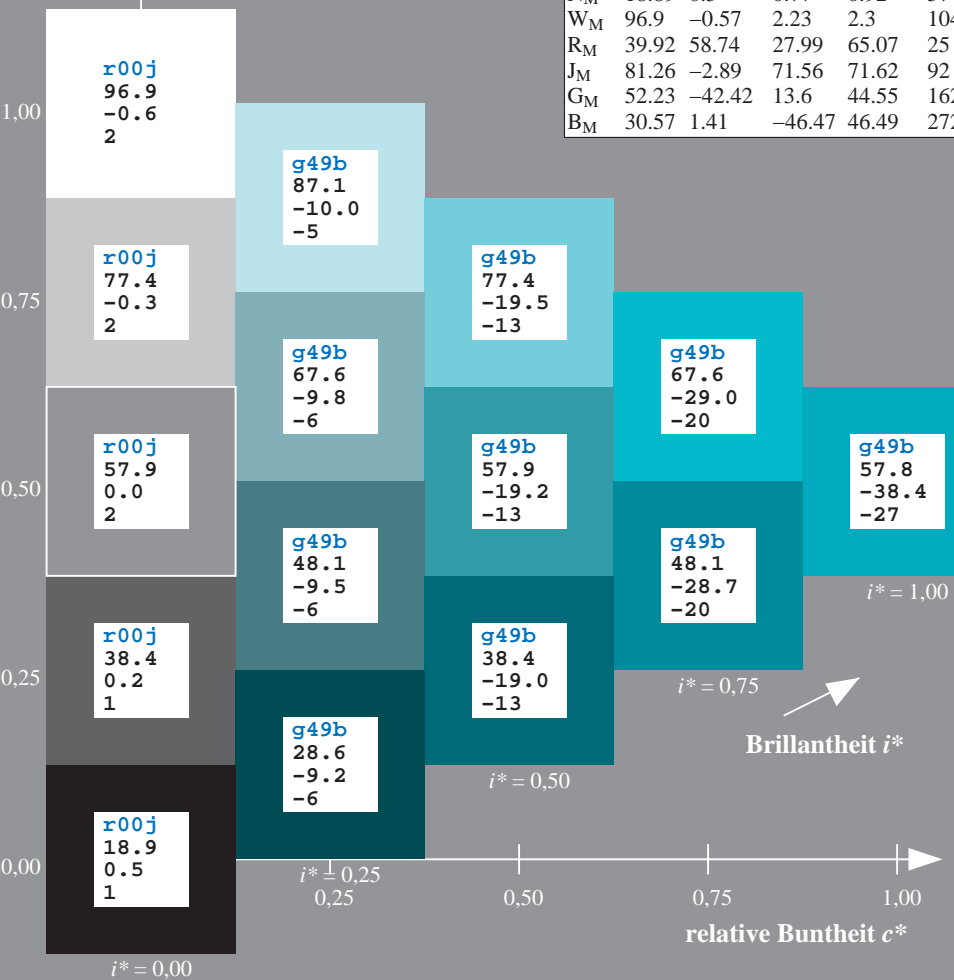
$u^*_{rel} = 89$

%Regularität

$g^*_{H,rel} = 72$

$g^*_{C,rel} = 57$

ORS19_96a; adaptierte CIELAB-Daten							
u^*_e	$L^*=L^*_a$	a^*_a	b^*_a	$C^*_{ab,a}$	$h^*_{ab,a}$	u^*_d	
r00j	48.88	66.47	31.67	73.63	25	m84o	
r25j	55.85	52.39	47.48	70.7	42	o17y	
r50j	65.45	35.22	58.37	68.17	59	o42y	
r75j	75.19	17.82	69.41	71.66	76	o67y	
j00g	87.03	-3.35	82.83	82.9	92	o92y	
j25g	80.72	-25.01	69.5	73.86	110	y20l	
j50g	70.64	-39.54	51.97	65.3	127	y46l	
j75g	61.93	-52.1	36.83	63.8	145	y72l	
g00b	52.8	-65.28	20.93	68.56	162	y99l	
g25b	55.7	-49.58	-8.39	50.28	190	l36c	
g50b	57.82	-38.4	-28.92	48.07	217	l72c	
g75b	55.5	-22.05	-45.95	50.97	244	c11v	
b00r	41.6	1.37	-45.01	45.03	272	c56v	
b25r	29.0	25.08	-43.13	49.89	300	v04m	
b50r	38.04	46.53	-28.39	54.51	329	v55m	
b75r	49.48	72.88	-3.76	72.98	357	m11o	



Ein und Ausgabe: Farbmetrisches Drucker-Reflektiv-System ORS19_96a für relativen CIELAB-Buntton $h^* = lab^*h^* = h_{ab}/360 = 0.679$

Daten für jede Farbe:

lab^*ch^* und lab^*icu^*

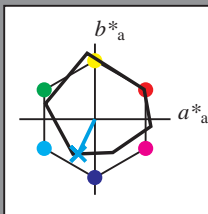
Bunttontexte:

$u^*_e = g75b$ $u^*_d = c11v$

Kontrastreduzierungsfaktor:

$c_R = 1.0$

Dreiecks-Helligkeit i^*



ORS19_96; CIELAB-Daten

u^*_e	$L^*=L^*$	a^*	b^*	C^*_{ab}	h^*_{ab}
O _M	48.75	65.16	40.76	76.86	32
Y _M	90.92	-10.78	89.36	90.01	97
L _M	52.69	-65.4	22.15	69.05	161
C _M	59.61	-29.04	-44.69	53.3	237
V _M	28.39	24.0	-43.18	49.4	299
M _M	49.58	74.01	-8.22	74.47	354
N _M	18.89	0.5	0.77	0.92	57
W _M	96.9	-0.57	2.23	2.3	104
R _M	39.92	58.74	27.99	65.07	25
J _M	81.26	-2.89	71.56	71.62	92
G _M	52.23	-42.42	13.6	44.55	162
B _M	30.57	1.41	-46.47	46.49	272

Daten für Maximalfarbe (Ma):

$LAB^*LAB^*_{Ma}$: 55 -22 -46

$LAB^*LCH^*_{Ma}$: 55 51 244

$lab^*rgb^*_{Ma}$: 0.0 0.5 1.0

$lab^*olv^*_{Ma}$: 0.0 0.89 1.0

Dreiecks-Helligkeit i^*

%Umfang

$u^*_{rel} = 89$

%Regularität

$g^*_{H,rel} = 72$

$g^*_{C,rel} = 57$

$u^*_e = g75b$
 LAB^*LAB^*

ORS19_96a; adaptierte CIELAB-Daten

u^*_e	$L^*=L^*_a$	a^*_a	b^*_a	$C^*_{ab,a}$	$h^*_{ab,a}$	u^*_d
r00j	48.88	66.47	31.67	73.63	25	m84o
r25j	55.85	52.39	47.48	70.7	42	o17y
r50j	65.45	35.22	58.37	68.17	59	o42y
r75j	75.19	17.82	69.41	71.66	76	o67y
j00g	87.03	-3.35	82.83	82.9	92	o92y
j25g	80.72	-25.01	69.5	73.86	110	y20l
j50g	70.64	-39.54	51.97	65.3	127	y46l
j75g	61.93	-52.1	36.83	63.8	145	y72l
g00b	52.8	-65.28	20.93	68.56	162	y99l
g25b	55.7	-49.58	-8.39	50.28	190	l36c
g50b	57.82	-38.4	-28.92	48.07	217	l72c
g75b	55.5	-22.05	-45.95	50.97	244	c11v
b00r	41.6	1.37	-45.01	45.03	272	c56v
b25r	29.0	25.08	-43.13	49.89	300	v04m
b50r	38.04	46.53	-28.39	54.51	329	v55m
b75r	49.48	72.88	-3.76	72.98	357	m11o

LAB^*LAB^*

$i^*=1.00$

Brillantheit i^*

$i^*=0.80$

$i^*=0.60$

$i^*=0.40$

$i^*=0.20$

$i^*=0.00$

Ein und Ausgabe: Farbmetrisches Drucker-Reflektiv-System ORS19_96a für relativen CIELAB-Buntton $h^* = lab^*h^* = h_{ab}/360 = 0.755$

Daten für jede Farbe:

lab^*ch^* und lab^*icu^*

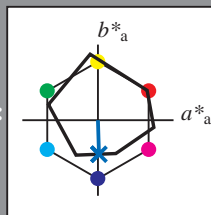
Bunttontexte:

$u^*_e = b00r$ $u^*_d = c56v$

Kontrastreduzierungsfaktor:

$c_R = 1.0$

Dreiecks-Helligkeit i^*



ORS19_96; CIELAB-Daten						
u^*_e	$L^*=L^*$	a^*	b^*	C^*_{ab}	h^*_{ab}	
O _M	48.75	65.16	40.76	76.86	32	
Y _M	90.92	-10.78	89.36	90.01	97	
L _M	52.69	-65.4	22.15	69.05	161	
C _M	59.61	-29.04	-44.69	53.3	237	
V _M	28.39	24.0	-43.18	49.4	299	
M _M	49.58	74.01	-8.22	74.47	354	
N _M	18.89	0.5	0.77	0.92	57	
W _M	96.9	-0.57	2.23	2.3	104	
R _M	39.92	58.74	27.99	65.07	25	
J _M	81.26	-2.89	71.56	71.62	92	
G _M	52.23	-42.42	13.6	44.55	162	
B _M	30.57	1.41	-46.47	46.49	272	

Daten für Maximalfarbe (Ma):

LAB^*LAB^*Ma : 42 1 -45

LAB^*LCH^*Ma : 42 45 271

lab^*rgb^*Ma : 0.0 0.0 1.0

lab^*olv^*Ma : 0.0 0.44 1.0

Dreiecks-Helligkeit i^*

%Umfang

$u^*_{rel} = 89$

%Regularität

$g^*_{H,rel} = 72$

$g^*_{C,rel} = 57$

ORS19_96a; adaptierte CIELAB-Daten									
u^*_e	$L^*=L^*$	a^*_a	b^*_a	$C^*_{ab,a}$	$h^*_{ab,a}$	u^*_d			
r00j	48.88	66.47	31.67	73.63	25	m84o			
r25j	55.85	52.39	47.48	70.7	42	o17y			
r50j	65.45	35.22	58.37	68.17	59	o42y			
r75j	75.19	17.82	69.41	71.66	76	o67y			
j00g	87.03	-3.35	82.83	82.9	92	o92y			
j25g	80.72	-25.01	69.5	73.86	110	y20l			
j50g	70.64	-39.54	51.97	65.3	127	y46l			
j75g	61.93	-52.1	36.83	63.8	145	y72l			
g00b	52.8	-65.28	20.93	68.56	162	y99l			
g25b	55.7	-49.58	-8.39	50.28	190	l36c			
g50b	57.82	-38.4	-28.92	48.07	217	l72c			
g75b	55.5	-22.05	-45.95	50.97	244	c11v			
b00r	41.6	1.37	-45.01	45.03	272	c56v			
b25r	29.0	25.08	-43.13	49.89	300	v04m			
b50r	38.04	46.53	-28.39	54.51	329	v55m			
b75r	49.48	72.88	-3.76	72.98	357	m11o			

LAB^*LAB^*

$i^*=1.00$

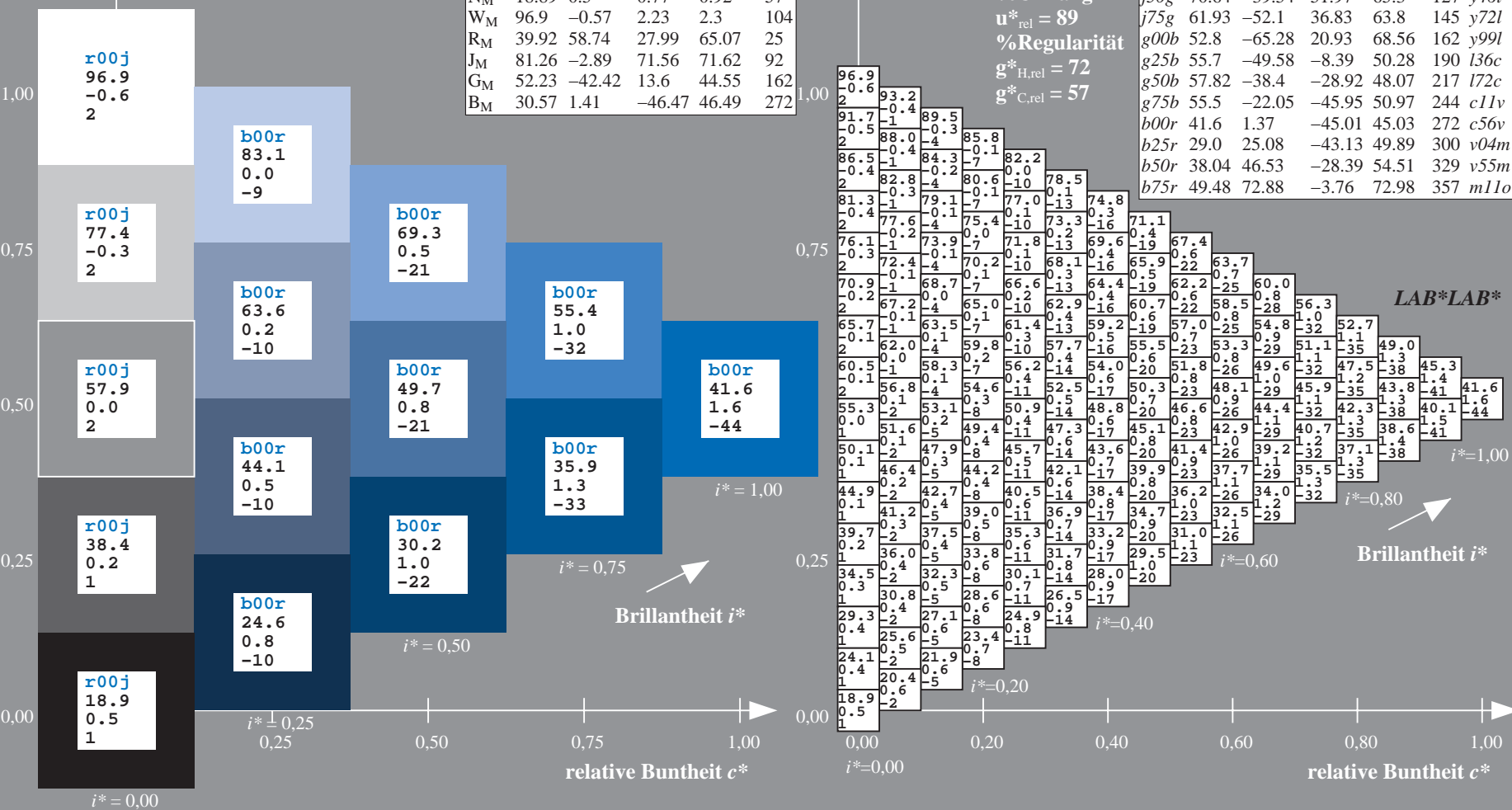
Brillantheit i^*

$i^*=0.80$

$i^*=0.60$

$i^*=0.40$

$i^*=0.20$



Ein und Ausgabe: Farbmetrisches Drucker-Reflektiv-System ORS19_96a für relativen CIELAB-Buntton $h^* = lab^*h^* = h_{ab}/360 = 0.913$

Daten für jede Farbe:

lab^*ch^* und lab^*icu^*

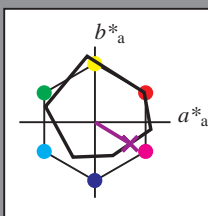
Bunttontexte:

$u^*_e = b50r$ $u^*_d = v55m$

Kontrastreduzierungsfaktor:

$c_R = 1.0$

Dreiecks-Helligkeit i^*



ORS19_96; CIELAB-Daten						
u^*_e	$L^*=L^*$	a^*	b^*	C^*_{ab}	h^*_{ab}	
O _M	48.75	65.16	40.76	76.86	32	
Y _M	90.92	-10.78	89.36	90.01	97	
L _M	52.69	-65.4	22.15	69.05	161	
C _M	59.61	-29.04	-44.69	53.3	237	
V _M	28.39	24.0	-43.18	49.4	299	
M _M	49.58	74.01	-8.22	74.47	354	
N _M	18.89	0.5	0.77	0.92	57	
W _M	96.9	-0.57	2.23	2.3	104	
R _M	39.92	58.74	27.99	65.07	25	
J _M	81.26	-2.89	71.56	71.62	92	
G _M	52.23	-42.42	13.6	44.55	162	
B _M	30.57	1.41	-46.47	46.49	272	

Daten für Maximalfarbe (Ma):

LAB^*LAB^*Ma : 38 47 -28

LAB^*LCH^*Ma : 38 55 328

lab^*rgb^*Ma : 1.0 0.0 1.0

lab^*olv^*Ma : 0.56 0.0 1.0

Dreiecks-Helligkeit i^*

%Umfang

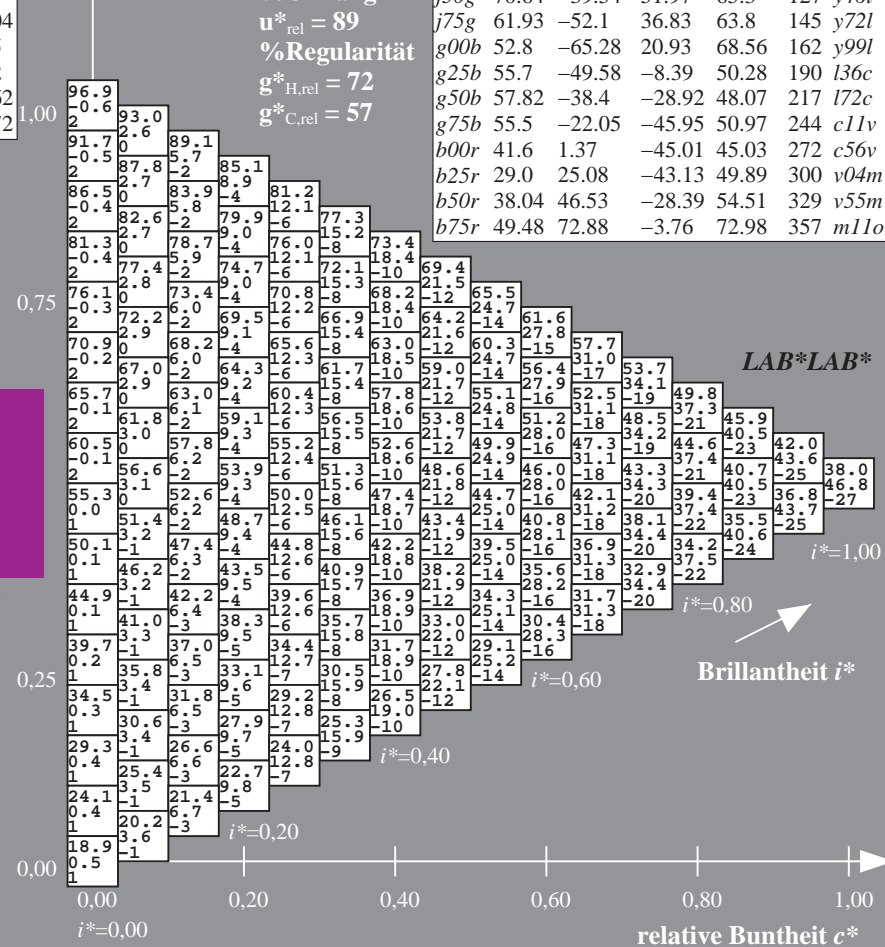
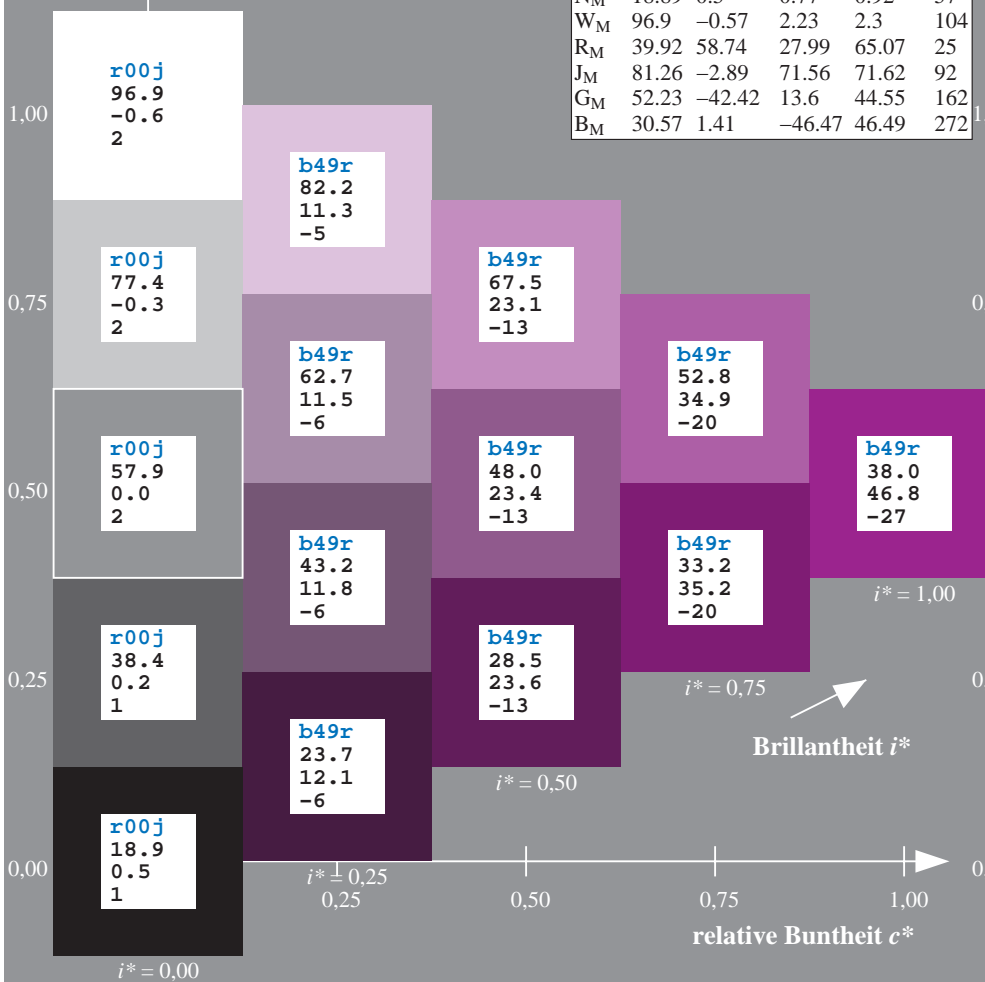
$u^*_{rel} = 89$

%Regularität

$g^*_{H,rel} = 72$

$g^*_{C,rel} = 57$

ORS19_96a; adaptierte CIELAB-Daten									
u^*_e	$L^*=L^*_a$	a^*_a	b^*_a	$C^*_{ab,a}$	$h^*_{ab,a}$	u^*_d			
r00j	48.88	66.47	31.67	73.63	25	m84o			
r25j	55.85	52.39	47.48	70.7	42	o17y			
r50j	65.45	35.22	58.37	68.17	59	o42y			
r75j	75.19	17.82	69.41	71.66	76	o67y			
j00g	87.03	-3.35	82.83	82.9	92	o92y			
j25g	80.72	-25.01	69.5	73.86	110	y20l			
j50g	70.64	-39.54	51.97	65.3	127	y46l			
j75g	61.93	-52.1	36.83	63.8	145	y72l			
g00b	52.8	-65.28	20.93	68.56	162	y99l			
g25b	55.7	-49.58	-8.39	50.28	190	l36c			
g50b	57.82	-38.4	-28.92	48.07	217	l72c			
g75b	55.5	-22.05	-45.95	50.97	244	c11v			
b00r	41.6	1.37	-45.01	45.03	272	c56v			
b25r	29.0	25.08	-43.13	49.89	300	v04m			
b50r	38.04	46.53	-28.39	54.51	329	v55m			
b75r	49.48	72.88	-3.76	72.98	357	m11o			



Ein und Ausgabe: Farbmetrisches Drucker-Reflektiv-System ORS19_96a für relativen CIELAB-Buntton $h^* = lab^*h^* = h_{ab}/360 = 0.992$

Daten für jede Farbe:

lab^*ch^* und lab^*icu^*

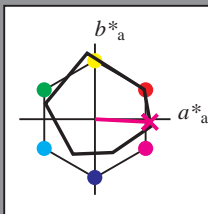
Bunttontexte:

$u^*_e = b75r$ $u^*_d = m11o$

Kontrastreduzierungsfaktor:

$c_R = 1.0$

Dreiecks-Helligkeit i^*



ORS19_96; CIELAB-Daten						
u^*_e	$L^*=L^*$	a^*	b^*	C^*_{ab}	h^*_{ab}	
O _M	48.75	65.16	40.76	76.86	32	
Y _M	90.92	-10.78	89.36	90.01	97	
L _M	52.69	-65.4	22.15	69.05	161	
C _M	59.61	-29.04	-44.69	53.3	237	
V _M	28.39	24.0	-43.18	49.4	299	
M _M	49.58	74.01	-8.22	74.47	354	
N _M	18.89	0.5	0.77	0.92	57	
W _M	96.9	-0.57	2.23	2.3	104	
R _M	39.92	58.74	27.99	65.07	25	
J _M	81.26	-2.89	71.56	71.62	92	
G _M	52.23	-42.42	13.6	44.55	162	
B _M	30.57	1.41	-46.47	46.49	272	

Daten für Maximalfarbe (Ma):

LAB^*LAB^*Ma : 49 73 -4

LAB^*LCH^*Ma : 49 73 357

lab^*rgb^*Ma : 1.0 0.0 0.5

lab^*olv^*Ma : 1.0 0.0 0.89

Dreiecks-Helligkeit i^*

%Umfang

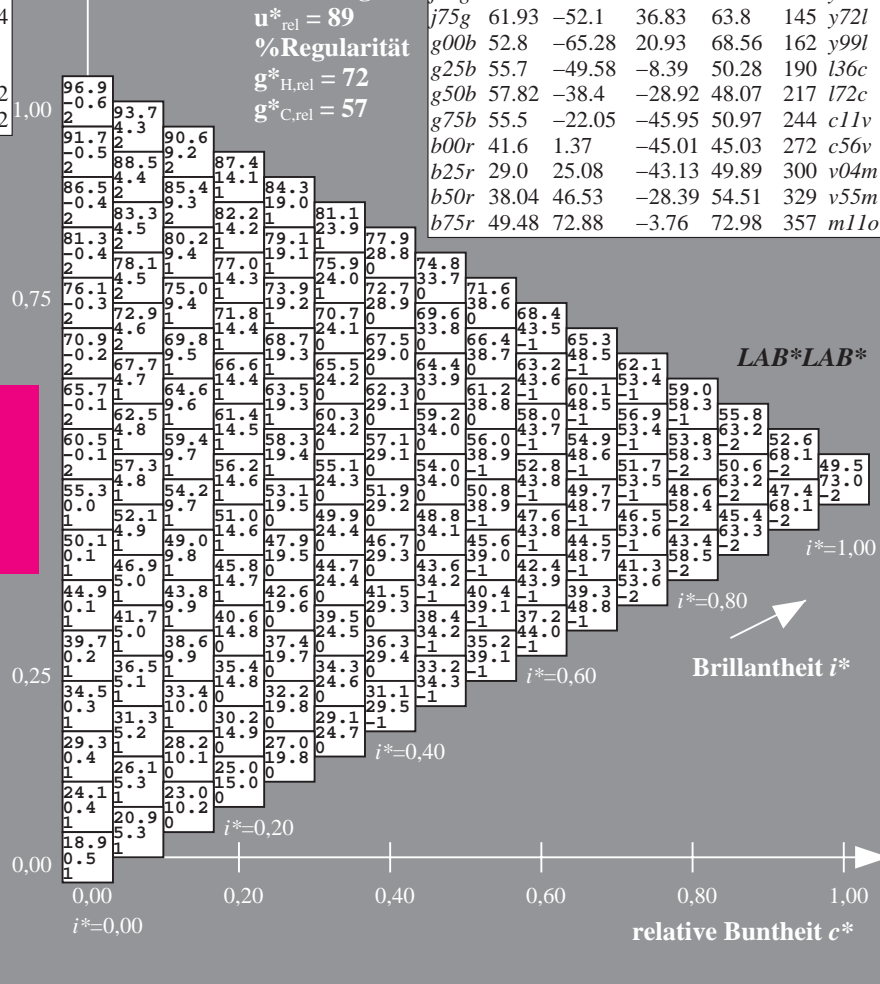
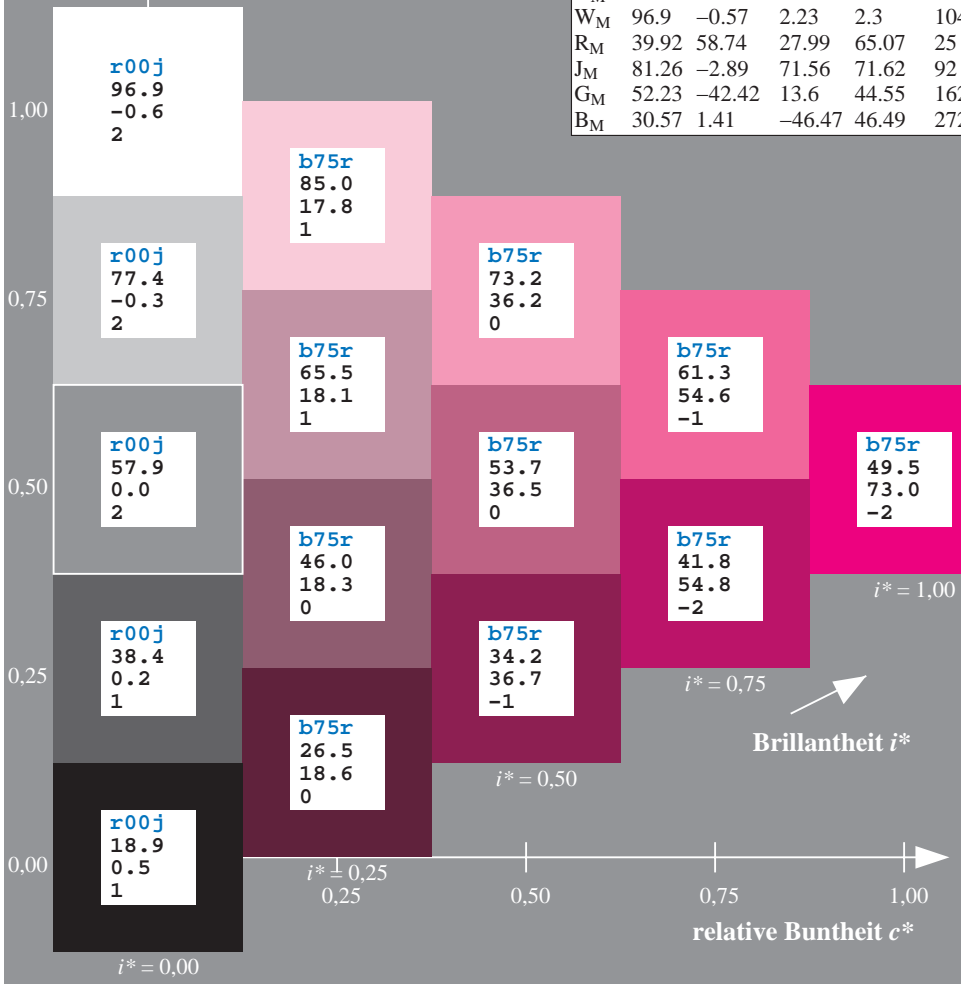
$u^*_{rel} = 89$

%Regularität

$g^*_{H,rel} = 72$

$g^*_{C,rel} = 57$

ORS19_96a; adaptierte CIELAB-Daten							
u^*_e	$L^*=L^*$	a^*	b^*	$C^*_{ab,a}$	$h^*_{ab,a}$	u^*_d	
r00j	48.88	66.47	31.67	73.63	25	m84o	
r25j	55.85	52.39	47.48	70.7	42	o17y	
r50j	65.45	35.22	58.37	68.17	59	o42y	
r75j	75.19	17.82	69.41	71.66	76	o67y	
j00g	87.03	-3.35	82.83	82.9	92	o92y	
j25g	80.72	-25.01	69.5	73.86	110	y20l	
j50g	70.64	-39.54	51.97	65.3	127	y46l	
j75g	61.93	-52.1	36.83	63.8	145	y72l	
g00b	52.8	-65.28	20.93	68.56	162	y99l	
g25b	55.7	-49.58	-8.39	50.28	190	l36c	
g50b	57.82	-38.4	-28.92	48.07	217	l72c	
g75b	55.5	-22.05	-45.95	50.97	244	c11v	
b00r	41.6	1.37	-45.01	45.03	272	c56v	
b25r	29.0	25.08	-43.13	49.89	300	v04m	
b50r	38.04	46.53	-28.39	54.51	329	v55m	
b75r	49.48	72.88	-3.76	72.98	357	m11o	



Siehe ähnliche Dateien: <http://www.ps.bam.de/Eg38/>; www.ps.bam.de/Eg38/
Technische Information: <http://www.ps.bam.de/Version 2.1, io=1.1, ColSp=1>

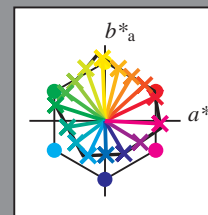
	A	B	C	D	E	F	G	H	I	J	K	L	M	N	O	P	Q	R	S	T	U	V	W	X	Y	Z	a	b	c	d	e	f	g	h	i	j	k	LAB*LAB*																																																																																																																																																																																																																																																																																																																																																																																																																																																																																																																																																																																																																																																																																																																																																																																																																																																																																																																																																																																																																																																																																																											
01	18.9	23.1	27.3	31.6	35.8	40.0	44.2	48.5	52.7	56.9	61.1	65.3	69.5	73.7	77.9	82.1	86.3	90.5	94.7	98.9	103.1	107.3	111.5	115.7	119.9	124.1	128.3	132.5	136.7	140.9	145.1	149.3	153.5	157.7	161.9	166.1	170.3	174.5	178.7	182.9	187.1	191.3	195.5	199.7	203.9	208.1	212.3	216.5	220.7	224.9	229.1	233.3	237.5	241.7	245.9	250.1	254.3	258.5	262.7	266.9	271.1	275.3	279.5	283.7	287.9	292.1	296.3	300.5	304.7	308.9	313.1	317.3	321.5	325.7	329.9	334.1	338.3	342.5	346.7	350.9	355.1	359.3	363.5	367.7	371.9	376.1	380.3	384.5	388.7	392.9	397.1	401.3	405.5	409.7	413.9	418.1	422.3	426.5	430.7	434.9	439.1	443.3	447.5	451.7	455.9	460.1	464.3	468.5	472.7	476.9	481.1	485.3	489.5	493.7	497.9	502.1	506.3	510.5	514.7	518.9	523.1	527.3	531.5	535.7	539.9	544.1	548.3	552.5	556.7	560.9	565.1	569.3	573.5	577.7	581.9	586.1	590.3	594.5	598.7	602.9	607.1	611.3	615.5	619.7	623.9	628.1	632.3	636.5	640.7	644.9	649.1	653.3	657.5	661.7	665.9	670.1	674.3	678.5	682.7	686.9	691.1	695.3	699.5	703.7	707.9	712.1	716.3	720.5	724.7	728.9	733.1	737.3	741.5	745.7	749.9	754.1	758.3	762.5	766.7	770.9	775.1	779.3	783.5	787.7	791.9	796.1	800.3	804.5	808.7	812.9	817.1	821.3	825.5	829.7	833.9	838.1	842.3	846.5	850.7	854.9	859.1	863.3	867.5	871.7	875.9	880.1	884.3	888.5	892.7	896.9	901.1	905.3	909.5	913.7	917.9	922.1	926.3	930.5	934.7	938.9	943.1	947.3	951.5	955.7	959.9	964.1	968.3	972.5	976.7	980.9	985.1	989.3	993.5	997.7	1001.9	1006.1	1010.3	1014.5	1018.7	1022.9	1027.1	1031.3	1035.5	1039.7	1043.9	1048.1	1052.3	1056.5	1060.7	1064.9	1069.1	1073.3	1077.5	1081.7	1085.9	1090.1	1094.3	1098.5	1102.7	1106.9	1111.1	1115.3	1119.5	1123.7	1127.9	1132.1	1136.3	1140.5	1144.7	1148.9	1153.1	1157.3	1161.5	1165.7	1169.9	1174.1	1178.3	1182.5	1186.7	1190.9	1195.1	1199.3	1203.5	1207.7	1211.9	1216.1	1220.3	1224.5	1228.7	1232.9	1237.1	1241.3	1245.5	1249.7	1253.9	1258.1	1262.3	1266.5	1270.7	1274.9	1279.1	1283.3	1287.5	1291.7	1295.9	1300.1	1304.3	1308.5	1312.7	1316.9	1321.1	1325.3	1329.5	1333.7	1337.9	1342.1	1346.3	1350.5	1354.7	1358.9	1363.1	1367.3	1371.5	1375.7	1379.9	1384.1	1388.3	1392.5	1396.7	1400.9	1405.1	1409.3	1413.5	1417.7	1421.9	1426.1	1430.3	1434.5	1438.7	1442.9	1447.1	1451.3	1455.5	1459.7	1463.9	1468.1	1472.3	1476.5	1480.7	1484.9	1489.1	1493.3	1497.5	1501.7	1505.9	1510.1	1514.3	1518.5	1522.7	1526.9	1531.1	1535.3	1539.5	1543.7	1547.9	1552.1	1556.3	1560.5	1564.7	1568.9	1573.1	1577.3	1581.5	1585.7	1589.9	1594.1	1598.3	1602.5	1606.7	1610.9	1615.1	1619.3	1623.5	1627.7	1631.9	1636.1	1640.3	1644.5	1648.7	1652.9	1657.1	1661.3	1665.5	1669.7	1673.9	1678.1	1682.3	1686.5	1690.7	1694.9	1699.1	1703.3	1707.5	1711.7	1715.9	1720.1	1724.3	1728.5	1732.7	1736.9	1741.1	1745.3	1749.5	1753.7	1757.9	1762.1	1766.3	1770.5	1774.7	1778.9	1783.1	1787.3	1791.5	1795.7	1799.9	1804.1	1808.3	1812.5	1816.7	1820.9	1825.1	1829.3	1833.5	1837.7	1841.9	1846.1	1850.3	1854.5	1858.7	1862.9	1867.1	1871.3	1875.5	1879.7	1883.9	1888.1	1892.3	1896.5	1900.7	1904.9	1909.1	1913.3	1917.5	1921.7	1925.9	1930.1	1934.3	1938.5	1942.7	1946.9	1951.1	1955.3	1959.5	1963.7	1967.9	1972.1	1976.3	1980.5	1984.7	1988.9	1993.1	1997.3	2001.5	2005.7	2009.9	2014.1	2018.3	2022.5	2026.7	2030.9	2035.1	2039.3	2043.5	2047.7	2051.9	2056.1	2060.3	2064.5	2068.7	2072.9	2077.1	2081.3	2085.5	2089.7	2093.9	2098.1	2102.3	2106.5	2110.7	2114.9	2119.1	2123.3	2127.5	2131.7	2135.9	2140.1	2144.3	2148.5	2152.7	2156.9	2161.1	2165.3	2169.5	2173.7	2177.9	2182.1	2186.3	2190.5	2194.7	2198.9	2203.1	2207.3	2211.5	2215.7	2219.9	2224.1	2228.3	2232.5	2236.7	2240.9	2245.1	2249.3	2253.5	2257.7	2261.9	2266.1	2270.3	2274.5	2278.7	2282.9	2287.1	2291.3	2295.5	2299.7	2303.9	2308.1	2312.3	2316.5	2320.7	2324.9	2329.1	2333.3	2337.5	2341.7	2345.9	2350.1	2354.3	2358.5	2362.7	2366.9	2371.1	2375.3	2379.5	2383.7	2387.9	2392.1	2396.3	2400.5	2404.7	2408.9	2413.1	2417.3	2421.5	2425.7	2429.9	2434.1	2438.3	2442.5	2446.7	2450.9	2455.1	2459.3	2463.5	2467.7	2471.9	2476.1	2480.3	2484.5	2488.7	2492.9	2497.1	2501.3	2505.5	2509.7	2513.9	2518.1	2522.3	2526.5	2530.7	2534.9	2539.1	2543.3	2547.5	2551.7	2555.9	2560.1	2564.3	2568.5	2572.7	2576.9	2581.1	2585.3	2589.5	2593.7	2597.9	2602.1	2606.3	2610.5	2614.7	2618.9	2623.1	2627.3	2631.5	2635.7	2639.9	2644.1	2648.3	2652.5	2656.7	2660.9	2665.1	2669.3	2673.5	2677.7	2681.9	2686.1	2690.3	2694.5	2698.7	2702.9	2707.1	2711.3	2715.5	2719.7	2723.9	2728.1	2732.3	2736.5	2740.7	2744.9	2749.1	2753.3	2757.5	2761.7	2765.9	2770.1	2774.3	2778.5	2782.7	2786.9	2791.1	2795.3	2799.5	2803.7	2807.9	2812.1	2816.3	2820.5	2824.7	2828.9	2833.1	2837.3	2841.5	2845.7	2849.9	2854.1	2858.3	2862.5	2866.7	2870.9	2875.1	2879.3	2883.5	2887.7	2891.9	2896.1	2900.3	2904.5	2908.7	2912.9	2917.1	2921.3	2925.5	2929.7	2933.9	2938.1	2942.3	2946.5	2950.7	2954.9	2959.1	2963.3	2967.5	2971.7	2975.9	2980.1	2984.3	2988.5	2992.7	2996.9	3001.1	3005.3	3009.5	3013.7	3017.9	3022.1	3026.3	3030.5	3034.7	3038.9	3043.1	3047.3	3051.5	3055.7	3059.9	3064.1	3068.3	3072.5	3076.7	3080.9	3085.1	3089.3	3093.5	3097.7	3101.9	3106.1	3110.3	3114.5	3118.7	3122.9	3127.1	3131.3	3135.5	3139.7	3143.9	3148.1	3152.3	3156.5	3160.7	3164.9	3169.1	3173.3	3177.5	3181.7	3185.9	3190.1	3194.3	3198.5	3202.7	3206.9	3211.1	3215.3	3219.5	3223.7	3227.9	3232.1	3236.3	3240.5	3244.7	3248.9	3253.1	3257.3	3261.5	3265.7	3269.9	3274.1	3278.3	3282.5	3286.7	3290.9	3295.1	3299.3	3303.5	3307.7	3311.9	3316.1	3320.3	3324.5	3328.7	3332.9	3337.1	3341.3	3345.5	3349.7	3353.9	3358.1	3362.3	3366.5	3370.7	3374.9	3379.1	3383.3	3387.5	3391.7	3395.9	3400.1	3404.3	3408.5	3412.7	3416.9	3421.1	3425.3	3429.5	3433.7	3437.9	3442.1	3446.3	3450.5	3454.7	3458.9	3463.1	3467.3	3471.5	3475.7	3479.9	3484.1	3488.3	3492.5	3496.7	3500.9	3505.1	3509.3	3513.5	3517.7	3521.9	3526.1	3530.3	3534.5	3538.7	3542.9	3547.1	3551.3	3555.5	3559.7	3563.9	3568.1	3572.3	3576.5	3580.7	3584.9	3589.1	3593.3	3597.5	3601.7	3605.9	3610.1	3614.3	3618.5	3622.7	3626.9	3631.1	3635.3	3639.5	3643.7	3647.9	3652.1	3656.3	3660.5	3664.7	3668.9	3673.1	3677.3	3681.5	3685.7	3689.9	3694.1	3698.3	3702.5	3706.7	3710.9	3715.1	3719.3	3723.5	3727.7	3731.9	3736.1	3740.3	3744.5	3748.7	3752.9	3757.1	3761.3	3765.5	3769.7	3773.9	3778.1	3782.3	3786.5	3790.7	3794.9	3799.1	3803.3	3807.5	3811.7	3815.9	3820.1	3824.3	3828.5	3832.7	3836.9	3841.1	3845.3	3849.5	3853.7	3857.9	3862.1	3866.3	3870.5	3874.7	3878.9	3883.1	3887.3	3891.5	3895.7	3899.9	3904.1	3908.3	3912.5	3916.7	3920.9	3925.1	3929.3	3933.5	3937.7	3941.9	3946.1	3950.3	3954.5	3958.7	3962.9	3967.1	3971.3	3975.5	3979.7	3983.9	3988.1	3992.3	3996.5	4000.7	4004.9	4009.1	4013.3	4017.5	4021.7	4025.9	4030.1	4034.3	4038.5	4042.7	4046.9	4051.1	4055.3	4059.5	4063.7	4067.9	4072.1	4076.3	4080.5	4084.7	4088.9	4093.1	4097.3	4101.5	4105.7	4109.9	4114.1	4118.3	4122.5	4126.7	4130.9	4135.1	4139.3	4143.5	4147.7	4151.9	4156.1	4160.3	4164.5	4168.7	4172.9	4177.1	4181.3	4185.5	4189.7	4193.9	4198.1	4202.3	4206.5	4210.7	4214.9	4219.1	4223.3	4227.5	4231.7	4235.9	4240.1	4244.3	4248.5	4252.7	4256.9	4261.1	4265.3	4269.5	4273.7	4277.9	4282.1	4286.3	4290.5	4294.7	4298.9	4303.1	4307.3	4311.5	4315.7	4319.9	4324.1	4328.3	4332.5	4336.7	4340.9	4345.1	4349.3	4353.5	4357.7	4361.9	4366.1	4370.3	4374.5	4378.7	4382.9	4387.1	4391.3	4395.5	4399.7	4403.9	4408.1	4412.3	4416.5	4420.7	4424.9	4429.1	4433.3	4437.5	4441.7	4445.9	4450.1	4454.3	4458.5	4462.7	4466.9	4471.1	4475.3	4479.5	4483.7	4487.9	4492.1	4496.3	4500.5	4504.7	4508.9	4513.1	4517.3	4521.5	4525.7	4529.9	4534.1	4538.3	4542.5	4546.7	4550.9	4555.1	4559.3	4563.5	4567.7	4571.9	4576.1	4580.3	4584.5	4588.7	4592.9	4597.1	4601.3	4605.5	4609.7	4613.9	4618.1	4622.3	4626.5	4630.7	4634.9	4639.1	4643.3	4647.5	4651.7	4

Ein und Ausgabe:
Farbmetrisches Drucker-Reflektiv-System ORS19_96a
Daten für jede Farbe:

u^*_e und Nummer $Nr.$ = 00 .. 15
Elementar-Bunttontext:
 $u^*_e = 16$ Bunttoene $r00j, r25j, \dots, b75r$
Kontrastreduzierungsfaktor:
 $c_R = 1.0$

ORS19_96a; adaptierte CIELAB-Daten

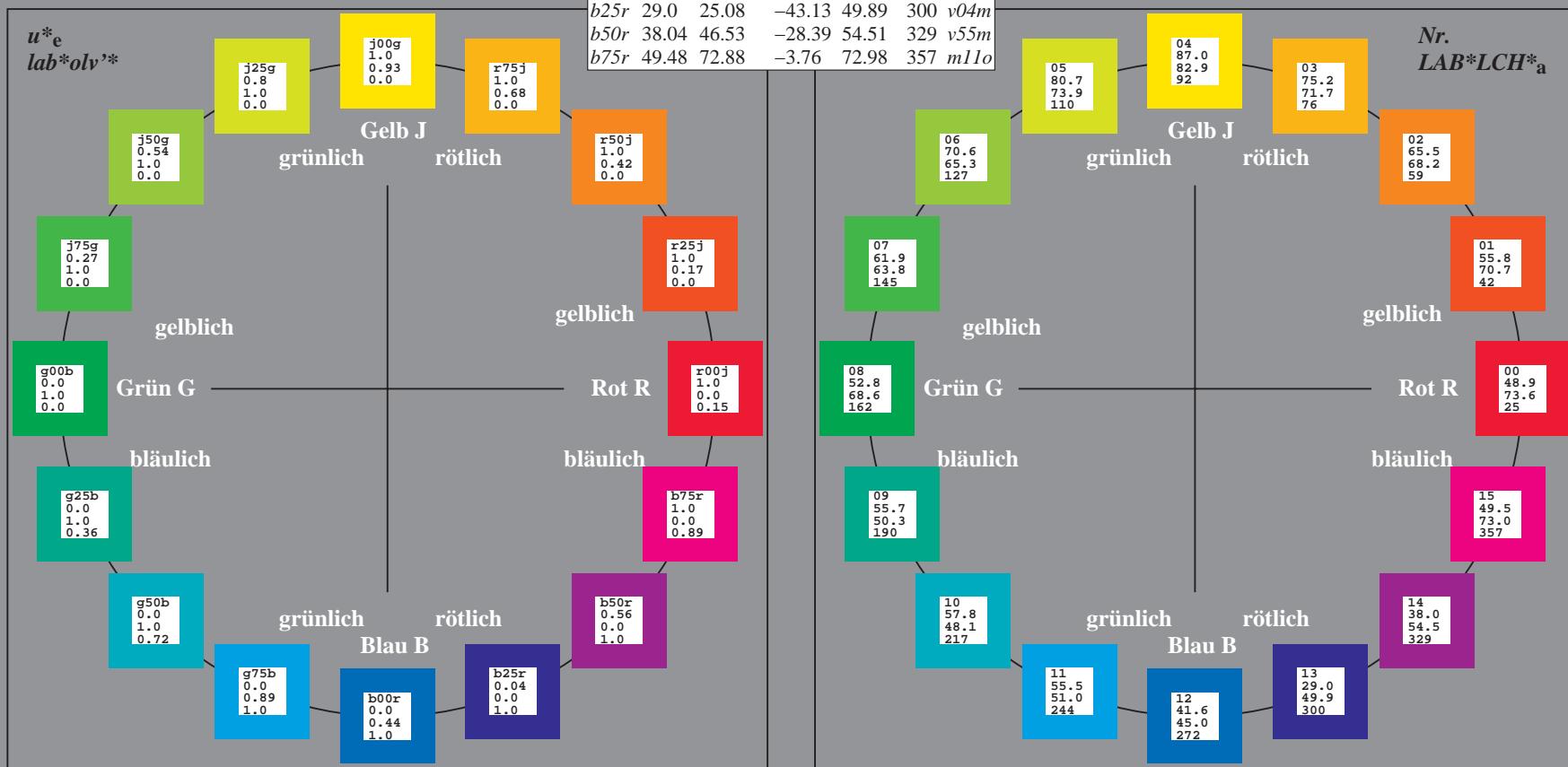
u^*_e	$L^*=L^*_a$	a^*_a	b^*_a	$C^*_{ab,a}$	$h^*_{ab,a}$	u^*_d
$r00j$	48.88	66.47	31.67	73.63	25	$m84o$
$r25j$	55.85	52.39	47.48	70.7	42	$o17y$
$r50j$	65.45	35.22	58.37	68.17	59	$o42y$
$r75j$	75.19	17.82	69.41	71.66	76	$o67y$
$j00g$	87.03	-3.35	82.83	82.9	92	$o92y$
$j25g$	80.72	-25.01	69.5	73.86	110	$y20l$
$j50g$	70.64	-39.54	51.97	65.3	127	$y46l$
$j75g$	61.93	-52.1	36.83	63.8	145	$y72l$
$g00b$	52.8	-65.28	20.93	68.56	162	$y99l$
$g25b$	55.7	-49.58	-8.39	50.28	190	$l36c$
$g50b$	57.82	-38.4	-28.92	48.07	217	$l72c$
$g75b$	55.5	-22.05	-45.95	50.97	244	$c11v$
$b00r$	41.6	1.37	-45.01	45.03	272	$c56v$
$b25r$	29.0	25.08	-43.13	49.89	300	$v04m$
$b50r$	38.04	46.53	-28.39	54.51	329	$v55m$
$b75r$	49.48	72.88	-3.76	72.98	357	$m11o$



%Umfang
 $u^*_{rel} = 89$
%Regularität
 $g^*_{H,rel} = 72$
 $g^*_{C,rel} = 57$

ORS19_96a; CIELAB-Daten

Name	$L^*=L^*_a$	a^*_a	b^*_a	C^*_{ab}	h^*_{ab}
O_M	48.75	65.16	40.76	76.86	32
Y_M	90.92	-10.78	89.36	90.01	97
L_M	52.69	-65.4	22.15	69.05	161
C_M	59.61	-29.04	-44.69	53.3	237
V_M	28.39	24.0	-43.18	49.4	299
M_M	49.58	74.01	-8.22	74.47	354
N_M	18.89	0.5	0.77	0.92	57
W_M	96.9	-0.57	2.23	2.3	104
R_{CIE}	39.92	58.74	27.99	65.07	25
J_{CIE}	81.26	-2.89	71.56	71.62	92
G_{CIE}	52.23	-42.42	13.6	44.55	162
B_{CIE}	30.57	1.41	-46.47	46.49	272



Ein und Ausgabe: Farbmetrisches Drucker-Reflektiv-System ORS19_96a für relativen CIELAB-Buntton $h^* = lab^*h^* = h_{ab}/360 = 0.071$

Daten für jede Farbe:

lab^*tch^* und lab^*icu^*

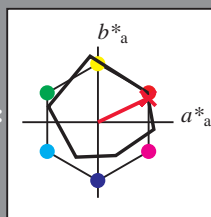
Bunttontexte:

$u^*_e = r00j$ $u^*_d = m84o$

Kontrastreduzierungsfaktor:

$c_R = 1.0$

Dreiecks-Helligkeit i^*



ORS19_96a; CIELAB-Daten						
u^*_e	$L^*=L^*_a$	a^*	b^*	C^*_{ab}	h^*_{ab}	
O _M	48.75	65.16	40.76	76.86	32	
Y _M	90.92	-10.78	89.36	90.01	97	
L _M	52.69	-65.4	22.15	69.05	161	
C _M	59.61	-29.04	-44.69	53.3	237	
V _M	28.39	24.0	-43.18	49.4	299	
M _M	49.58	74.01	-8.22	74.47	354	
N _M	18.89	0.5	0.77	0.92	57	
W _M	96.9	-0.57	2.23	2.3	104	
R _M	39.92	58.74	27.99	65.07	25	
J _M	81.26	-2.89	71.56	71.62	92	
G _M	52.23	-42.42	13.6	44.55	162	
B _M	30.57	1.41	-46.47	46.49	272	

Daten für Maximalfarbe (Ma):

$LAB^*LAB^*_{Ma}$: 49 66 32

$LAB^*LCH^*_{Ma}$: 49 74 25

$lab^*rgb^*_{Ma}$: 1.0 0.0 0.0

$lab^*olv^*_{Ma}$: 1.0 0.0 0.15

Dreiecks-Helligkeit i^*

%Umfang

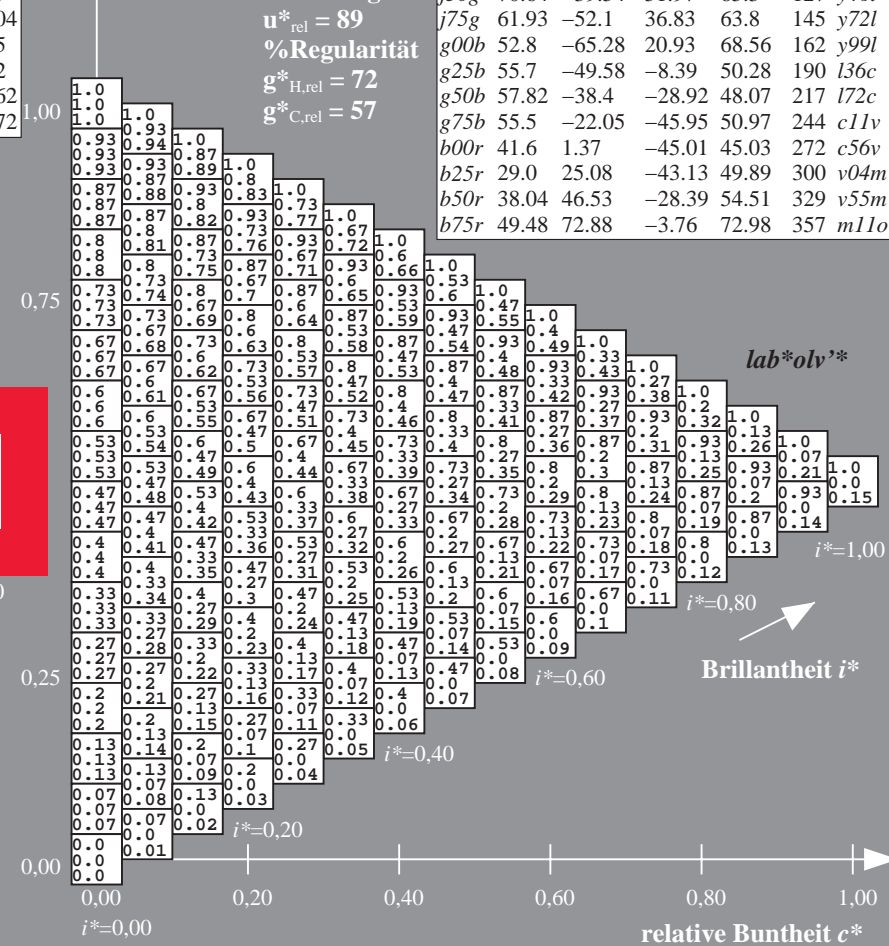
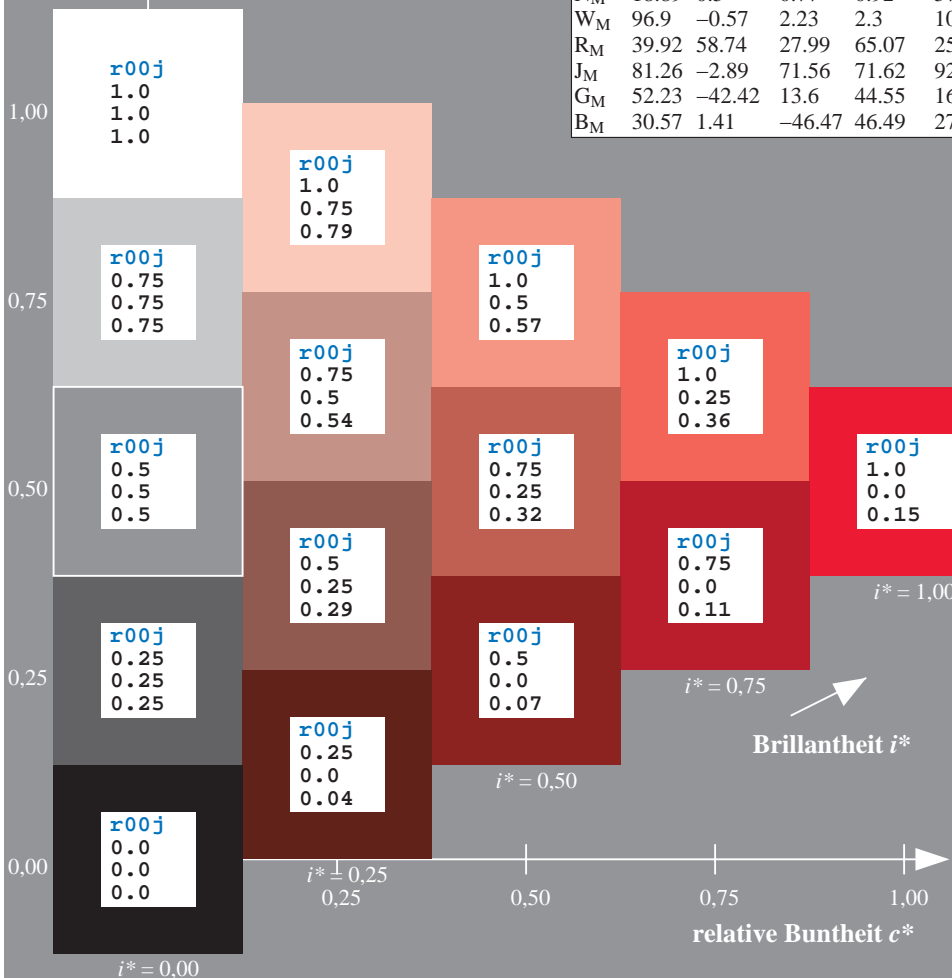
$u^*_{rel} = 89$

%Regularität

$g^*_{H,rel} = 72$

$g^*_{C,rel} = 57$

ORS19_96a; adaptierte CIELAB-Daten							
u^*_e	$L^*=L^*_a$	a^*_a	b^*_a	$C^*_{ab,a}$	$h^*_{ab,a}$	u^*_d	
r00j	48.88	66.47	31.67	73.63	25	m84o	
r25j	55.85	52.39	47.48	70.7	42	o17y	
r50j	65.45	35.22	58.37	68.17	59	o42y	
r75j	75.19	17.82	69.41	71.66	76	o67y	
j00g	87.03	-3.35	82.83	82.9	92	o92y	
j25g	80.72	-25.01	69.5	73.86	110	y20l	
j50g	70.64	-39.54	51.97	65.3	127	y46l	
j75g	61.93	-52.1	36.83	63.8	145	y72l	
g00b	52.8	-65.28	20.93	68.56	162	y99l	
g25b	55.7	-49.58	-8.39	50.28	190	l36c	
g50b	57.82	-38.4	-28.92	48.07	217	l72c	
g75b	55.5	-22.05	-45.95	50.97	244	c11v	
b00r	41.6	1.37	-45.01	45.03	272	c56v	
b25r	29.0	25.08	-43.13	49.89	300	v04m	
b50r	38.04	46.53	-28.39	54.51	329	v55m	
b75r	49.48	72.88	-3.76	72.98	357	m11o	



Ein und Ausgabe: Farbmetrisches Drucker-Reflektiv-System ORS19_96a für relativen CIELAB-Buntton $h^* = lab^*h^* = h_{ab}/360 = 0.117$

Daten für jede Farbe:

lab^*tch^* und lab^*icu^*

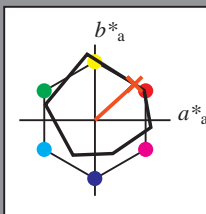
Bunttontexte:

$u^*_e = r25j$ $u^*_d = o17y$

Kontrastreduzierungsfaktor:

$c_R = 1.0$

Dreiecks-Helligkeit i^*



ORS19_96a; CIELAB-Daten

u^*_e	$L^*=L^*_a$	a^*	b^*	C^*_{ab}	h^*_{ab}
O _M	48.75	65.16	40.76	76.86	32
Y _M	90.92	-10.78	89.36	90.01	97
L _M	52.69	-65.4	22.15	69.05	161
C _M	59.61	-29.04	-44.69	53.3	237
V _M	28.39	24.0	-43.18	49.4	299
M _M	49.58	74.01	-8.22	74.47	354
N _M	18.89	0.5	0.77	0.92	57
W _M	96.9	-0.57	2.23	2.3	104
R _M	39.92	58.74	27.99	65.07	25
J _M	81.26	-2.89	71.56	71.62	92
G _M	52.23	-42.42	13.6	44.55	162
B _M	30.57	1.41	-46.47	46.49	272

Daten für Maximalfarbe (Ma):

$LAB^*LAB^*_{Ma}$: 56 52 47

$LAB^*LCH^*_{Ma}$: 56 71 42

$lab^*rgb^*_{Ma}$: 1.0 0.25 0.0

$lab^*olv^*_{Ma}$: 1.0 0.17 0.0

Dreiecks-Helligkeit i^*

%Umfang

$u^*_{rel} = 89$

%Regularität

$g^*_{H,rel} = 72$

$g^*_{C,rel} = 57$

ORS19_96a; adaptierte CIELAB-Daten

u^*_e	$L^*=L^*_a$	a^*_a	b^*_a	$C^*_{ab,a}$	$h^*_{ab,a}$	u^*_d
r00j	48.88	66.47	31.67	73.63	25	m84o
r25j	55.85	52.39	47.48	70.7	42	o17y
r50j	65.45	35.22	58.37	68.17	59	o42y
r75j	75.19	17.82	69.41	71.66	76	o67y
j00g	87.03	-3.35	82.83	82.9	92	o92y
j25g	80.72	-25.01	69.5	73.86	110	y20l
j50g	70.64	-39.54	51.97	65.3	127	y46l
j75g	61.93	-52.1	36.83	63.8	145	y72l
g00b	52.8	-65.28	20.93	68.56	162	y99l
g25b	55.7	-49.58	-8.39	50.28	190	l36c
g50b	57.82	-38.4	-28.92	48.07	217	l72c
g75b	55.5	-22.05	-45.95	50.97	244	c11v
b00r	41.6	1.37	-45.01	45.03	272	c56v
b25r	29.0	25.08	-43.13	49.89	300	v04m
b50r	38.04	46.53	-28.39	54.51	329	v55m
b75r	49.48	72.88	-3.76	72.98	357	m11o

lab^*olv^*

$i^* = 1.00$

Brillantheit i^*

$i^* = 0.80$

$i^* = 0.60$

$i^* = 0.40$

$i^* = 0.20$

$i^* = 0.00$

Ein und Ausgabe: Farbmetrisches Drucker-Reflektiv-System ORS19_96a für relativen CIELAB-Buntton $h^* = lab^*h^* = h_{ab}/360 = 0.164$

Daten für jede Farbe:

lab^*tch^* und lab^*icu^*

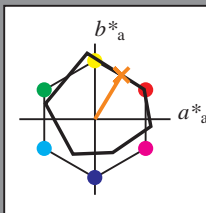
Bunttontexte:

$u^*_e = r50j$ $u^*_d = o42y$

Kontrastreduzierungsfaktor:

$c_R = 1.0$

Dreiecks-Helligkeit t^*



ORS19_96a; CIELAB-Daten

u^*_e	$L^*=L^*_a$	a^*	b^*	C^*_{ab}	h^*_{ab}
O _M	48.75	65.16	40.76	76.86	32
Y _M	90.92	-10.78	89.36	90.01	97
L _M	52.69	-65.4	22.15	69.05	161
C _M	59.61	-29.04	-44.69	53.3	237
V _M	28.39	24.0	-43.18	49.4	299
M _M	49.58	74.01	-8.22	74.47	354
N _M	18.89	0.5	0.77	0.92	57
W _M	96.9	-0.57	2.23	2.3	104
R _M	39.92	58.74	27.99	65.07	25
J _M	81.26	-2.89	71.56	71.62	92
G _M	52.23	-42.42	13.6	44.55	162
B _M	30.57	1.41	-46.47	46.49	272

Daten für Maximalfarbe (Ma):

$LAB^*LAB^*_{Ma}$: 65 35 58

$LAB^*LCH^*_{Ma}$: 65 68 58

$lab^*rgb^*_{Ma}$: 1.0 0.5 0.0

$lab^*olv^*_{Ma}$: 1.0 0.42 0.0

Dreiecks-Helligkeit t^*

%Umfang

$u^*_{rel} = 89$

%Regularität

$g^*_{H,rel} = 72$

$g^*_{C,rel} = 57$

ORS19_96a; adaptierte CIELAB-Daten

u^*_e	$L^*=L^*_a$	a^*_a	b^*_a	$C^*_{ab,a}$	$h^*_{ab,a}$	u^*_d
r00j	48.88	66.47	31.67	73.63	25	m84o
r25j	55.85	52.39	47.48	70.7	42	o17y
r50j	65.45	35.22	58.37	68.17	59	o42y
r75j	75.19	17.82	69.41	71.66	76	o67y
j00g	87.03	-3.35	82.83	82.9	92	o92y
j25g	80.72	-25.01	69.5	73.86	110	y20l
j50g	70.64	-39.54	51.97	65.3	127	y46l
j75g	61.93	-52.1	36.83	63.8	145	y72l
g00b	52.8	-65.28	20.93	68.56	162	y99l
g25b	55.7	-49.58	-8.39	50.28	190	l36c
g50b	57.82	-38.4	-28.92	48.07	217	l72c
g75b	55.5	-22.05	-45.95	50.97	244	c11v
b00r	41.6	1.37	-45.01	45.03	272	c56v
b25r	29.0	25.08	-43.13	49.89	300	v04m
b50r	38.04	46.53	-28.39	54.51	329	v55m
b75r	49.48	72.88	-3.76	72.98	357	m11o

lab^*olv^*

$i^* = 1.00$

Brillantheit i^*

$i^* = 0.80$

$i^* = 0.60$

$i^* = 0.40$

$i^* = 0.20$

$i^* = 0.00$

Ein und Ausgabe: Farbmetrisches Drucker-Reflektiv-System ORS19_96a für relativen CIELAB-Buntton $h^* = lab^*h^* = h_{ab}/360 = 0.21$

Daten für jede Farbe:

lab^*tch^* und lab^*icu^*

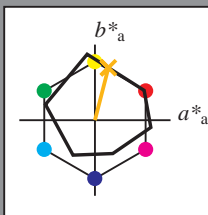
Bunttontexte:

$u^*_e = r75j$ $u^*_d = o67y$

Kontrastreduzierungsfaktor:

$c_R = 1.0$

Dreiecks-Helligkeit i^*



ORS19_96a; CIELAB-Daten						
u^*_e	$L^*=L^*_a$	a^*	b^*	C^*_{ab}	h^*_{ab}	
O _M	48.75	65.16	40.76	76.86	32	
Y _M	90.92	-10.78	89.36	90.01	97	
L _M	52.69	-65.4	22.15	69.05	161	
C _M	59.61	-29.04	-44.69	53.3	237	
V _M	28.39	24.0	-43.18	49.4	299	
M _M	49.58	74.01	-8.22	74.47	354	
N _M	18.89	0.5	0.77	0.92	57	
W _M	96.9	-0.57	2.23	2.3	104	
R _M	39.92	58.74	27.99	65.07	25	
J _M	81.26	-2.89	71.56	71.62	92	
G _M	52.23	-42.42	13.6	44.55	162	
B _M	30.57	1.41	-46.47	46.49	272	

Daten für Maximalfarbe (Ma):

$LAB^*LAB^*_{Ma}$: 75 18 69

$LAB^*LCH^*_{Ma}$: 75 72 75

$lab^*rgb^*_{Ma}$: 1.0 0.75 0.0

$lab^*olv^*_{Ma}$: 1.0 0.68 0.0

Dreiecks-Helligkeit i^*

%Umfang

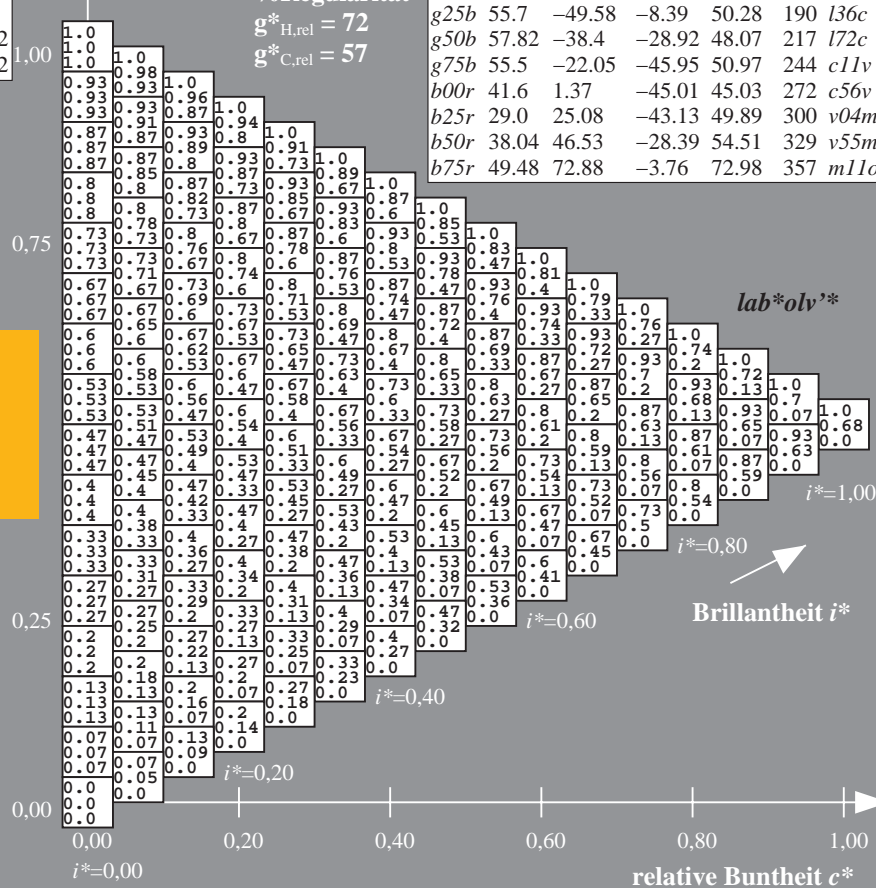
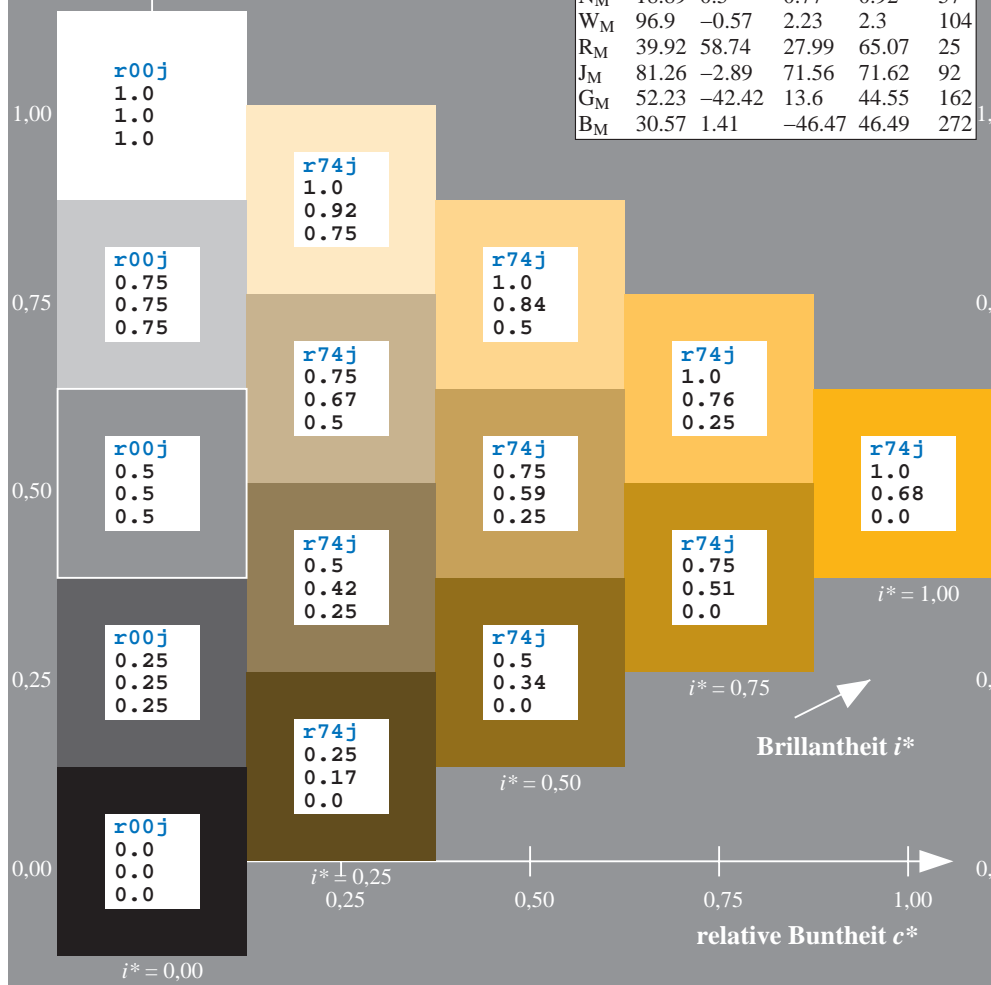
$u^*_{rel} = 89$

%Regularität

$g^*_{H,rel} = 72$

$g^*_{C,rel} = 57$

ORS19_96a; adaptierte CIELAB-Daten							
u^*_e	$L^*=L^*_a$	a^*_a	b^*_a	$C^*_{ab,a}$	$h^*_{ab,a}$	u^*_d	
r00j	48.88	66.47	31.67	73.63	25	m84o	
r25j	55.85	52.39	47.48	70.7	42	o17y	
r50j	65.45	35.22	58.37	68.17	59	o42y	
r75j	75.19	17.82	69.41	71.66	76	o67y	
j00g	87.03	-3.35	82.83	82.9	92	o92y	
j25g	80.72	-25.01	69.5	73.86	110	y20l	
j50g	70.64	-39.54	51.97	65.3	127	y46l	
j75g	61.93	-52.1	36.83	63.8	145	y72l	
g00b	52.8	-65.28	20.93	68.56	162	y99l	
g25b	55.7	-49.58	-8.39	50.28	190	l36c	
g50b	57.82	-38.4	-28.92	48.07	217	l72c	
g75b	55.5	-22.05	-45.95	50.97	244	c11v	
b00r	41.6	1.37	-45.01	45.03	272	c56v	
b25r	29.0	25.08	-43.13	49.89	300	v04m	
b50r	38.04	46.53	-28.39	54.51	329	v55m	
b75r	49.48	72.88	-3.76	72.98	357	m11o	



Ein und Ausgabe: Farbmetrisches Drucker-Reflektiv-System ORS19_96a für relativen CIELAB-Buntton $h^* = lab^*h^* = h_{ab}/360 = 0.256$

Daten für jede Farbe:

lab^*tch^* und lab^*icu^*

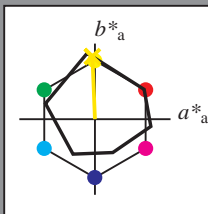
Bunttontexte:

$u^*_e = j00g$ $u^*_d = o92y$

Kontrastreduzierungsfaktor:

$c_R = 1.0$

Dreiecks-Helligkeit i^*



ORS19_96a; CIELAB-Daten

u^*_e	$L^*=L^*_a$	a^*	b^*	C^*_{ab}	h^*_{ab}
O _M	48.75	65.16	40.76	76.86	32
Y _M	90.92	-10.78	89.36	90.01	97
L _M	52.69	-65.4	22.15	69.05	161
C _M	59.61	-29.04	-44.69	53.3	237
V _M	28.39	24.0	-43.18	49.4	299
M _M	49.58	74.01	-8.22	74.47	354
N _M	18.89	0.5	0.77	0.92	57
W _M	96.9	-0.57	2.23	2.3	104
R _M	39.92	58.74	27.99	65.07	25
J _M	81.26	-2.89	71.56	71.62	92
G _M	52.23	-42.42	13.6	44.55	162
B _M	30.57	1.41	-46.47	46.49	272

Daten für Maximalfarbe (Ma):

$LAB^*LAB^*_{Ma}$: 87 -3 83

$LAB^*LCH^*_{Ma}$: 87 83 92

$lab^*rgb^*_{Ma}$: 1.0 1.0 0.0

$lab^*olv^*_{Ma}$: 1.0 0.93 0.0

Dreiecks-Helligkeit i^*

%Umfang

$u^*_{rel} = 89$

%Regularität

$g^*_{H,rel} = 72$

$g^*_{C,rel} = 57$

ORS19_96a; adaptierte CIELAB-Daten

u^*_e	$L^*=L^*_a$	a^*_a	b^*_a	$C^*_{ab,a}$	$h^*_{ab,a}$	u^*_d
r00j	48.88	66.47	31.67	73.63	25	m84o
r25j	55.85	52.39	47.48	70.7	42	o17y
r50j	65.45	35.22	58.37	68.17	59	o42y
r75j	75.19	17.82	69.41	71.66	76	o67y
j00g	87.03	-3.35	82.83	82.9	92	o92y
j25g	80.72	-25.01	69.5	73.86	110	y20l
j50g	70.64	-39.54	51.97	65.3	127	y46l
j75g	61.93	-52.1	36.83	63.8	145	y72l
g00b	52.8	-65.28	20.93	68.56	162	y99l
g25b	55.7	-49.58	-8.39	50.28	190	l36c
g50b	57.82	-38.4	-28.92	48.07	217	l72c
g75b	55.5	-22.05	-45.95	50.97	244	c11v
b00r	41.6	1.37	-45.01	45.03	272	c56v
b25r	29.0	25.08	-43.13	49.89	300	v04m
b50r	38.04	46.53	-28.39	54.51	329	v55m
b75r	49.48	72.88	-3.76	72.98	357	m11o

lab^*olv^*

$i^* = 1.00$

Brillantheit i^*

$i^* = 0.80$

$i^* = 0.60$

$i^* = 0.40$

$i^* = 0.20$

$i^* = 0.00$

Ein und Ausgabe: Farbmetrisches Drucker-Reflektiv-System ORS19_96a für relativen CIELAB-Buntton $h^* = lab^*h^* = h_{ab}/360 = 0.305$

Daten für jede Farbe:

lab^*ch^* und lab^*icu^*

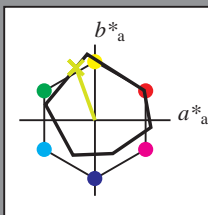
Bunttontexte:

$u^*_e = j25g$ $u^*_d = y20l$

Kontrastreduzierungsfaktor:

$c_R = 1.0$

Dreiecks-Helligkeit i^*



ORS19_96a; CIELAB-Daten

u^*_e	$L^*=L^*_a$	a^*	b^*	C^*_{ab}	h^*_{ab}
O _M	48.75	65.16	40.76	76.86	32
Y _M	90.92	-10.78	89.36	90.01	97
L _M	52.69	-65.4	22.15	69.05	161
C _M	59.61	-29.04	-44.69	53.3	237
V _M	28.39	24.0	-43.18	49.4	299
M _M	49.58	74.01	-8.22	74.47	354
N _M	18.89	0.5	0.77	0.92	57
W _M	96.9	-0.57	2.23	2.3	104
R _M	39.92	58.74	27.99	65.07	25
J _M	81.26	-2.89	71.56	71.62	92
G _M	52.23	-42.42	13.6	44.55	162
B _M	30.57	1.41	-46.47	46.49	272

Daten für Maximalfarbe (Ma):

$LAB^*LAB^*_{Ma}$: 81 -25 69

$LAB^*LCH^*_{Ma}$: 81 74 109

$lab^*rgb^*_{Ma}$: 0.75 1.0 0.0

$lab^*olv^*_{Ma}$: 0.8 1.0 0.0

Dreiecks-Helligkeit i^*

%Umfang

$u^*_{rel} = 89$

%Regularität

$g^*_{H,rel} = 72$

$g^*_{C,rel} = 57$

ORS19_96a; adaptierte CIELAB-Daten

u^*_e	$L^*=L^*_a$	a^*_a	b^*_a	$C^*_{ab,a}$	$h^*_{ab,a}$	u^*_d
r00j	48.88	66.47	31.67	73.63	25	m84o
r25j	55.85	52.39	47.48	70.7	42	o17y
r50j	65.45	35.22	58.37	68.17	59	o42y
r75j	75.19	17.82	69.41	71.66	76	o67y
j00g	87.03	-3.35	82.83	82.9	92	o92y
j25g	80.72	-25.01	69.5	73.86	110	y20l
j50g	70.64	-39.54	51.97	65.3	127	y46l
j75g	61.93	-52.1	36.83	63.8	145	y72l
g00b	52.8	-65.28	20.93	68.56	162	y99l
g25b	55.7	-49.58	-8.39	50.28	190	l36c
g50b	57.82	-38.4	-28.92	48.07	217	l72c
g75b	55.5	-22.05	-45.95	50.97	244	c11v
b00r	41.6	1.37	-45.01	45.03	272	c56v
b25r	29.0	25.08	-43.13	49.89	300	v04m
b50r	38.04	46.53	-28.39	54.51	329	v55m
b75r	49.48	72.88	-3.76	72.98	357	m11o

lab^*olv^*

$i^* = 1.00$

Brillantheit i^*

$i^* = 0.80$

$i^* = 0.60$

$i^* = 0.40$

$i^* = 0.20$

$i^* = 0.00$

$i^* = 0.00$

$i^* = 0.00$

$i^* = 0.00$

$i^* = 0.00$

$i^* = 0.00$

$i^* = 0.00$

$i^* = 0.00$

$i^* = 0.00$

$i^* = 0.00$

$i^* = 0.00$

Ein und Ausgabe: Farbmetrisches Drucker-Reflektiv-System ORS19_96a für relativen CIELAB-Buntton $h^* = lab^*h^* = h_{ab}/360 = 0.354$

Daten für jede Farbe:

lab^*tch^* und lab^*icu^*

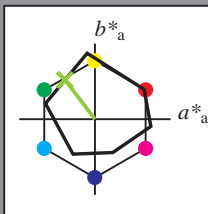
Bunttontexte:

$u^*_e = j50g$ $u^*_d = y46l$

Kontrastreduzierungsfaktor:

$c_R = 1.0$

Dreiecks-Helligkeit i^*



ORS19_96a; CIELAB-Daten

u^*_e	$L^*=L^*_a$	a^*	b^*	C^*_{ab}	h^*_{ab}
O _M	48.75	65.16	40.76	76.86	32
Y _M	90.92	-10.78	89.36	90.01	97
L _M	52.69	-65.4	22.15	69.05	161
C _M	59.61	-29.04	-44.69	53.3	237
V _M	28.39	24.0	-43.18	49.4	299
M _M	49.58	74.01	-8.22	74.47	354
N _M	18.89	0.5	0.77	0.92	57
W _M	96.9	-0.57	2.23	2.3	104
R _M	39.92	58.74	27.99	65.07	25
J _M	81.26	-2.89	71.56	71.62	92
G _M	52.23	-42.42	13.6	44.55	162
B _M	30.57	1.41	-46.47	46.49	272

Daten für Maximalfarbe (Ma):

$LAB^*LAB^*_{Ma}$: 71 -40 52

$LAB^*LCH^*_{Ma}$: 71 65 127

$lab^*rgb^*_{Ma}$: 0.5 1.0 0.0

$lab^*olv^*_{Ma}$: 0.54 1.0 0.0

Dreiecks-Helligkeit i^*

%Umfang

$u^*_{rel} = 89$

%Regularität

$g^*_{H,rel} = 72$

$g^*_{C,rel} = 57$

ORS19_96a; adaptierte CIELAB-Daten

u^*_e	$L^*=L^*_a$	a^*_a	b^*_a	$C^*_{ab,a}$	$h^*_{ab,a}$	u^*_d
r00j	48.88	66.47	31.67	73.63	25	m84o
r25j	55.85	52.39	47.48	70.7	42	o17y
r50j	65.45	35.22	58.37	68.17	59	o42y
r75j	75.19	17.82	69.41	71.66	76	o67y
j00g	87.03	-3.35	82.83	82.9	92	o92y
j25g	80.72	-25.01	69.5	73.86	110	y20l
j50g	70.64	-39.54	51.97	65.3	127	y46l
j75g	61.93	-52.1	36.83	63.8	145	y72l
g00b	52.8	-65.28	20.93	68.56	162	y99l
g25b	55.7	-49.58	-8.39	50.28	190	l36c
g50b	57.82	-38.4	-28.92	48.07	217	l72c
g75b	55.5	-22.05	-45.95	50.97	244	c11v
b00r	41.6	1.37	-45.01	45.03	272	c56v
b25r	29.0	25.08	-43.13	49.89	300	v04m
b50r	38.04	46.53	-28.39	54.51	329	v55m
b75r	49.48	72.88	-3.76	72.98	357	m11o

lab^*olv^*

$i^* = 1.00$

Brillantheit i^*

$i^* = 0.80$

$i^* = 0.60$

$i^* = 0.40$

$i^* = 0.20$

$i^* = 0.00$

$i^* = 0.00$

$i^* = 0.00$

$i^* = 0.00$

Ein und Ausgabe: Farbmetrisches Drucker-Reflektiv-System ORS19_96a für relativen CIELAB-Buntton $h^* = lab^*h^* = h_{ab}/360 = 0.402$

Daten für jede Farbe:

lab^*ch^* und lab^*icu^*

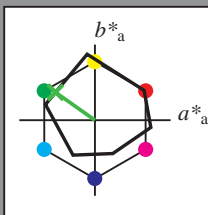
Bunttontexte:

$u^*_e = j75g$ $u^*_d = y72l$

Kontrastreduzierungsfaktor:

$c_R = 1.0$

Dreiecks-Helligkeit i^*



ORS19_96a; CIELAB-Daten						
u^*_e	$L^*=L^*_a$	a^*	b^*	C^*_{ab}	h^*_{ab}	
O _M	48.75	65.16	40.76	76.86	32	
Y _M	90.92	-10.78	89.36	90.01	97	
L _M	52.69	-65.4	22.15	69.05	161	
C _M	59.61	-29.04	-44.69	53.3	237	
V _M	28.39	24.0	-43.18	49.4	299	
M _M	49.58	74.01	-8.22	74.47	354	
N _M	18.89	0.5	0.77	0.92	57	
W _M	96.9	-0.57	2.23	2.3	104	
R _M	39.92	58.74	27.99	65.07	25	
J _M	81.26	-2.89	71.56	71.62	92	
G _M	52.23	-42.42	13.6	44.55	162	
B _M	30.57	1.41	-46.47	46.49	272	

Daten für Maximalfarbe (Ma):

LAB^*LAB^*Ma : 62 -52 37

LAB^*LCH^*Ma : 62 64 144

lab^*rgb^*Ma : 0.25 1.0 0.0

lab^*olv^*Ma : 0.27 1.0 0.0

Dreiecks-Helligkeit i^*

%Umfang

$u^*_{rel} = 89$

%Regularität

$g^*_{H,rel} = 72$

$g^*_{C,rel} = 57$

ORS19_96a; adaptierte CIELAB-Daten									
u^*_e	$L^*=L^*_a$	a^*_a	b^*_a	$C^*_{ab,a}$	$h^*_{ab,a}$	u^*_d			
r00j	48.88	66.47	31.67	73.63	25	m84o			
r25j	55.85	52.39	47.48	70.7	42	o17y			
r50j	65.45	35.22	58.37	68.17	59	o42y			
r75j	75.19	17.82	69.41	71.66	76	o67y			
j00g	87.03	-3.35	82.83	82.9	92	o92y			
j25g	80.72	-25.01	69.5	73.86	110	y20l			
j50g	70.64	-39.54	51.97	65.3	127	y46l			
j75g	61.93	-52.1	36.83	63.8	145	y72l			
g00b	52.8	-65.28	20.93	68.56	162	y99l			
g25b	55.7	-49.58	-8.39	50.28	190	l36c			
g50b	57.82	-38.4	-28.92	48.07	217	l72c			
g75b	55.5	-22.05	-45.95	50.97	244	c11v			
b00r	41.6	1.37	-45.01	45.03	272	c56v			
b25r	29.0	25.08	-43.13	49.89	300	v04m			
b50r	38.04	46.53	-28.39	54.51	329	v55m			
b75r	49.48	72.88	-3.76	72.98	357	m11o			

lab^*olv^*

$i^* = 1.00$

Brillantheit i^*

$i^* = 0.80$

$i^* = 0.60$

$i^* = 0.40$

$i^* = 0.20$

$i^* = 0.00$

Ein und Ausgabe: Farbmetrisches Drucker-Reflektiv-System ORS19_96a für relativen CIELAB-Buntton $h^* = \text{lab}^*h^* = h_{ab}/360 = 0.451$

Daten für jede Farbe:

lab^*tch^* und lab^*icu^*

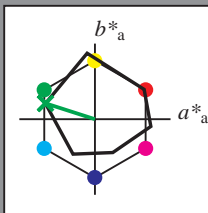
Bunttontexte:

$u^*_e = g00b$ $u^*_d = y99l$

Kontrastreduzierungsfaktor:

$c_R = 1.0$

Dreiecks-Helligkeit i^*



ORS19_96a; CIELAB-Daten						
u^*_e	$L^*=L^*_a$	a^*	b^*	C^*_{ab}	h^*_{ab}	
O _M	48.75	65.16	40.76	76.86	32	
Y _M	90.92	-10.78	89.36	90.01	97	
L _M	52.69	-65.4	22.15	69.05	161	
C _M	59.61	-29.04	-44.69	53.3	237	
V _M	28.39	24.0	-43.18	49.4	299	
M _M	49.58	74.01	-8.22	74.47	354	
N _M	18.89	0.5	0.77	0.92	57	
W _M	96.9	-0.57	2.23	2.3	104	
R _M	39.92	58.74	27.99	65.07	25	
J _M	81.26	-2.89	71.56	71.62	92	
G _M	52.23	-42.42	13.6	44.55	162	
B _M	30.57	1.41	-46.47	46.49	272	

Daten für Maximalfarbe (Ma):

$\text{LAB}^*\text{LAB}^*_{\text{Ma}}: 53 -65 21$

$\text{LAB}^*\text{LCH}^*_{\text{Ma}}: 53 69 162$

$\text{lab}^*\text{rgb}^*_{\text{Ma}}: 0.0 1.0 0.0$

$\text{lab}^*\text{olv}^*_{\text{Ma}}: 0.0 1.0 0.0$

Dreiecks-Helligkeit i^*

%Umfang

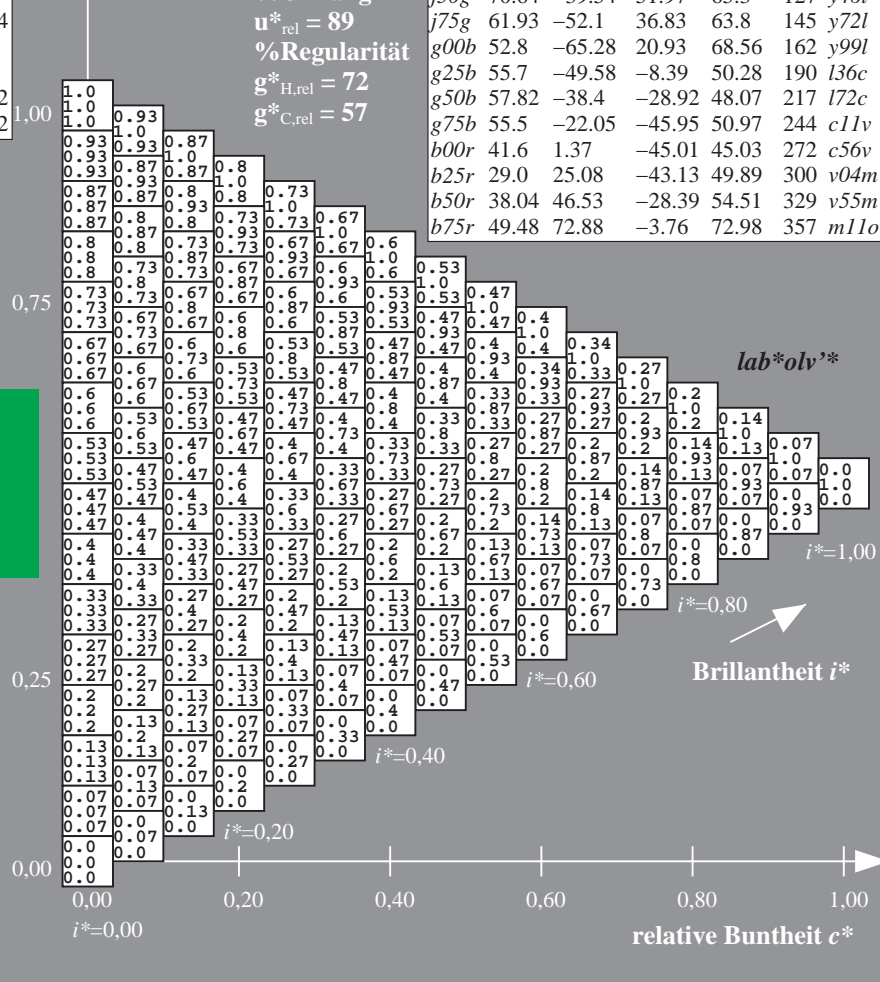
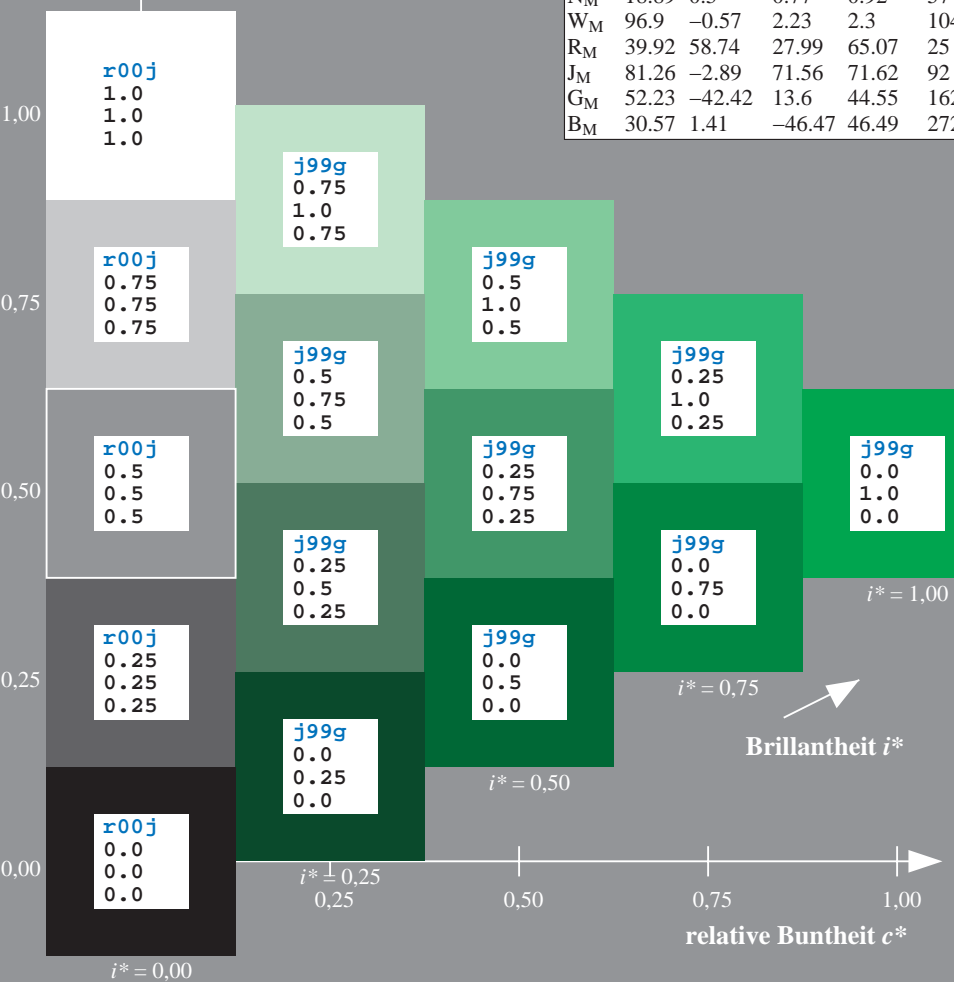
$u^*_{\text{rel}} = 89$

%Regularität

$g^*_{H,\text{rel}} = 72$

$g^*_{C,\text{rel}} = 57$

ORS19_96a; adaptierte CIELAB-Daten							
u^*_e	$L^*=L^*_a$	a^*_a	b^*_a	$C^*_{ab,a}$	$h^*_{ab,a}$	u^*_d	
r00j	48.88	66.47	31.67	73.63	25	m84o	
r25j	55.85	52.39	47.48	70.7	42	o17y	
r50j	65.45	35.22	58.37	68.17	59	o42y	
r75j	75.19	17.82	69.41	71.66	76	o67y	
j00g	87.03	-3.35	82.83	82.9	92	o92y	
j25g	80.72	-25.01	69.5	73.86	110	y20l	
j50g	70.64	-39.54	51.97	65.3	127	y46l	
j75g	61.93	-52.1	36.83	63.8	145	y72l	
g00b	52.8	-65.28	20.93	68.56	162	y99l	
g25b	55.7	-49.58	-8.39	50.28	190	l36c	
g50b	57.82	-38.4	-28.92	48.07	217	l72c	
g75b	55.5	-22.05	-45.95	50.97	244	c11v	
b00r	41.6	1.37	-45.01	45.03	272	c56v	
b25r	29.0	25.08	-43.13	49.89	300	v04m	
b50r	38.04	46.53	-28.39	54.51	329	v55m	
b75r	49.48	72.88	-3.76	72.98	357	m11o	



Ein und Ausgabe: Farbmetrisches Drucker-Reflektiv-System ORS19_96a für relativen CIELAB-Buntton $h^* = lab^*h^* = h_{ab}/360 = 0.527$

Daten für jede Farbe:

lab^*ch^* und lab^*icu^*

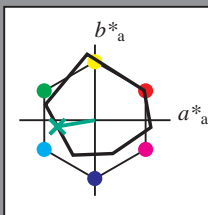
Bunttontexte:

$u^*_e = g25b$ $u^*_d = l36c$

Kontrastreduzierungsfaktor:

$c_R = 1.0$

Dreiecks-Helligkeit i^*



ORS19_96a; CIELAB-Daten						
u^*_e	$L^*=L^*_a$	a^*	b^*	C^*_{ab}	h^*_{ab}	
O _M	48.75	65.16	40.76	76.86	32	
Y _M	90.92	-10.78	89.36	90.01	97	
L _M	52.69	-65.4	22.15	69.05	161	
C _M	59.61	-29.04	-44.69	53.3	237	
V _M	28.39	24.0	-43.18	49.4	299	
M _M	49.58	74.01	-8.22	74.47	354	
N _M	18.89	0.5	0.77	0.92	57	
W _M	96.9	-0.57	2.23	2.3	104	
R _M	39.92	58.74	27.99	65.07	25	
J _M	81.26	-2.89	71.56	71.62	92	
G _M	52.23	-42.42	13.6	44.55	162	
B _M	30.57	1.41	-46.47	46.49	272	

Daten für Maximalfarbe (Ma):

$LAB^*LAB^*_{Ma}$: 56 -50 -8

$LAB^*LCH^*_{Ma}$: 56 50 189

$lab^*rgb^*_{Ma}$: 0.0 1.0 0.5

$lab^*olv^*_{Ma}$: 0.0 1.0 0.36

Dreiecks-Helligkeit i^*

%Umfang

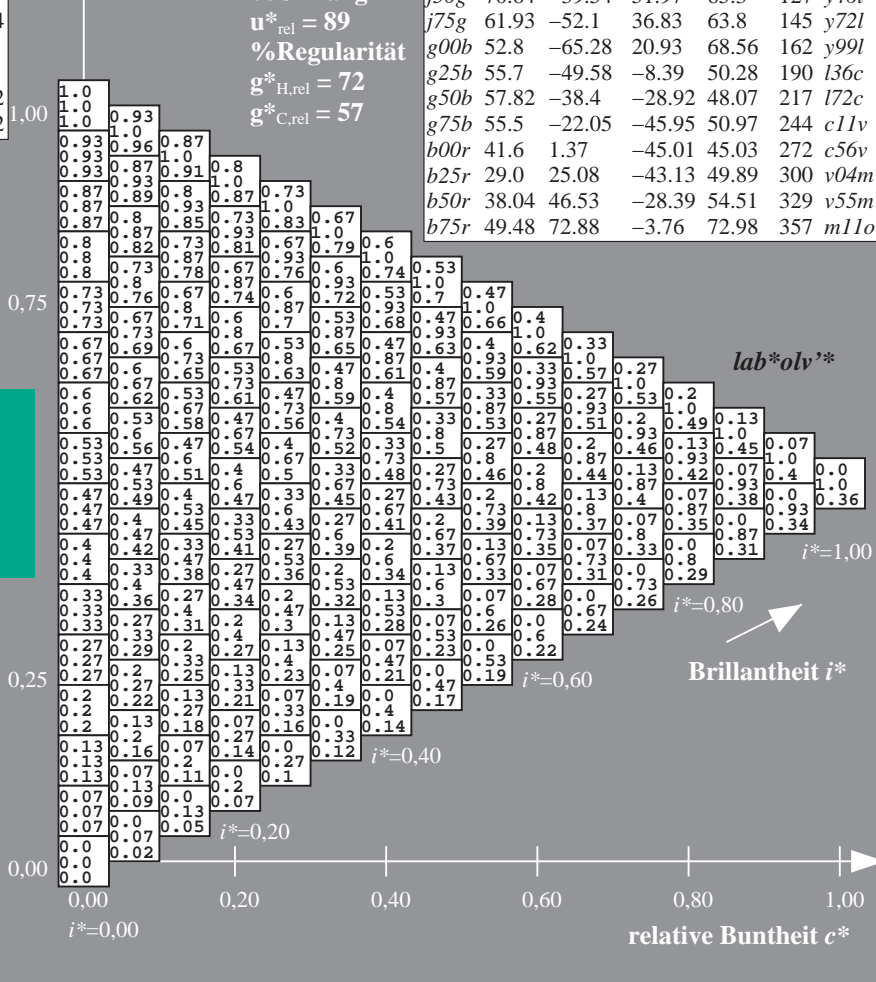
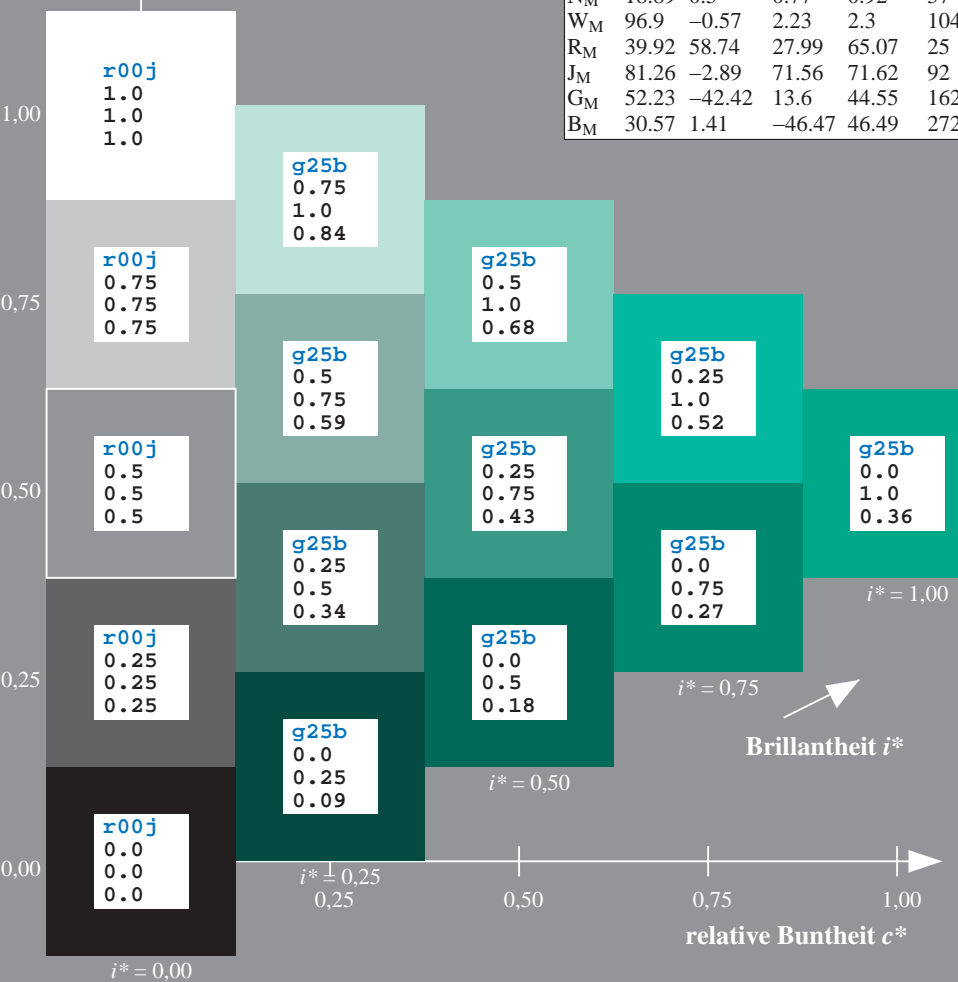
$u^*_{rel} = 89$

%Regularität

$g^*_{H,rel} = 72$

$g^*_{C,rel} = 57$

ORS19_96a; adaptierte CIELAB-Daten						
u^*_e	$L^*=L^*_a$	a^*_a	b^*_a	$C^*_{ab,a}$	$h^*_{ab,a}$	u^*_d
r00j	48.88	66.47	31.67	73.63	25	m84o
r25j	55.85	52.39	47.48	70.7	42	o17y
r50j	65.45	35.22	58.37	68.17	59	o42y
r75j	75.19	17.82	69.41	71.66	76	o67y
j00g	87.03	-3.35	82.83	82.9	92	o92y
j25g	80.72	-25.01	69.5	73.86	110	y20l
j50g	70.64	-39.54	51.97	65.3	127	y46l
j75g	61.93	-52.1	36.83	63.8	145	y72l
g00b	52.8	-65.28	20.93	68.56	162	y99l
g25b	55.7	-49.58	-8.39	50.28	190	l36c
g50b	57.82	-38.4	-28.92	48.07	217	l72c
g75b	55.5	-22.05	-45.95	50.97	244	c11v
b00r	41.6	1.37	-45.01	45.03	272	c56v
b25r	29.0	25.08	-43.13	49.89	300	v04m
b50r	38.04	46.53	-28.39	54.51	329	v55m
b75r	49.48	72.88	-3.76	72.98	357	m11o



Daten für jede Farbe:

*lab*tch** und *lab*icu**

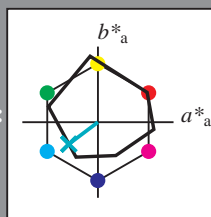
Bunttexte:

$$u^*_e = g50b \quad u^*_d = l72c$$

Kontrastreduzierungsfaktor:

 $c_D = 1.0$

Dreiecks-Helligkeit t^*



ORS19_96a; CIELAB-Daten					
u^*_e	$L^*=L^*$	a^*	b^*	C^*_{ab}	h^*_{ab}
O _M	48.75	65.16	40.76	76.86	32
Y _M	90.92	-10.78	89.36	90.01	97
L _M	52.69	-65.4	22.15	69.05	16
C _M	59.61	-29.04	-44.69	53.3	23
V _M	28.39	24.0	-43.18	49.4	29
M _M	49.58	74.01	-8.22	74.47	35
N _M	18.89	0.5	0.77	0.92	57
W _M	96.9	-0.57	2.23	2.3	104
R _M	39.92	58.74	27.99	65.07	25
J _M	81.26	-2.89	71.56	71.62	92
G _M	52.23	-42.42	13.6	44.55	16
B _M	30.57	1.41	-46.47	46.49	27

Daten für Maximalfarbe (Ma):

LAB*LAB*Ma: 58 -38 -29

*LAB*LCH**M_a: 58 48 216

*lab*rgb*_Ma: 0.0 1.0 1.0*

*lab*olv**Ma: 0.0 1.0 0.72

Dreiecks-Helligkeit t^*

0/1

%Umfang

$$\mathbf{u}_{\text{rel}}^* = 89$$

%Regular:

$$g^*_{H,rel} = 72$$

ORS19_96a; adaptierte CIELAB-Daten							
u_e^*	$L^*=L_a^*$	a_a^*	b_a^*	$C_{ab,a}^*$	$h_{ab,a}^*$	u_d^*	
<i>r00j</i>	48.88	66.47	31.67	73.63	25	<i>m84d</i>	
<i>r25j</i>	55.85	52.39	47.48	70.7	42	<i>o17y</i>	
<i>r50j</i>	65.45	35.22	58.37	68.17	59	<i>o42y</i>	
<i>r75j</i>	75.19	17.82	69.41	71.66	76	<i>o67y</i>	
<i>j00g</i>	87.03	-3.35	82.83	82.9	92	<i>o92y</i>	
<i>j25g</i>	80.72	-25.01	69.5	73.86	110	<i>y20l</i>	
<i>j50g</i>	70.64	-39.54	51.97	65.3	127	<i>y46l</i>	
<i>j75g</i>	61.93	-52.1	36.83	63.8	145	<i>y72l</i>	
<i>g00b</i>	52.8	-65.28	20.93	68.56	162	<i>y99l</i>	
<i>g25b</i>	55.7	-49.58	-8.39	50.28	190	<i>l36c</i>	
<i>g50b</i>	57.82	-38.4	-28.92	48.07	217	<i>l72c</i>	
<i>g75b</i>	55.5	-22.05	-45.95	50.97	244	<i>c11v</i>	
<i>b00r</i>	41.6	1.37	-45.01	45.03	272	<i>c56v</i>	
<i>b25r</i>	29.0	25.08	-43.13	49.89	300	<i>v04m</i>	
<i>b50r</i>	38.04	46.53	-28.39	54.51	329	<i>v55m</i>	
<i>b75r</i>	49.48	72.88	-3.76	72.98	357	<i>m11o</i>	

*lab*olv'**

$$i^*=1,00$$

Brillantheit i*

BAM-Prüfvorlage Eg38; Farbmatrik-Systeme, Seite 174/198 Eingabe: 000n / w / nnn0 / www set...
D65: Farbreihen, Datentabellen für 16 Bunttöne r00j bis b75r Ausgabe: ->cmyn6* setcmykcolor

Ein und Ausgabe: Farbmetrisches Drucker-Reflektiv-System ORS19_96a für relativen CIELAB-Buntton $h^* = lab^*h^* = h_{ab}/360 = 0.679$

Daten für jede Farbe:

lab^*tch^* und lab^*icu^*

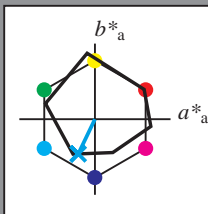
Bunttontexte:

$u^*_e = g75b$ $u^*_d = c11v$

Kontrastreduzierungsfaktor:

$c_R = 1.0$

Dreiecks-Helligkeit i^*



ORS19_96a; CIELAB-Daten

u^*_e	$L^*=L^*_a$	a^*	b^*	C^*_{ab}	h^*_{ab}
O _M	48.75	65.16	40.76	76.86	32
Y _M	90.92	-10.78	89.36	90.01	97
L _M	52.69	-65.4	22.15	69.05	161
C _M	59.61	-29.04	-44.69	53.3	237
V _M	28.39	24.0	-43.18	49.4	299
M _M	49.58	74.01	-8.22	74.47	354
N _M	18.89	0.5	0.77	0.92	57
W _M	96.9	-0.57	2.23	2.3	104
R _M	39.92	58.74	27.99	65.07	25
J _M	81.26	-2.89	71.56	71.62	92
G _M	52.23	-42.42	13.6	44.55	162
B _M	30.57	1.41	-46.47	46.49	272

Daten für Maximalfarbe (Ma):

$LAB^*LAB^*_{Ma}$: 55 -22 -46

$LAB^*LCH^*_{Ma}$: 55 51 244

$lab^*rgb^*_{Ma}$: 0.0 0.5 1.0

$lab^*olv^*_{Ma}$: 0.0 0.89 1.0

Dreiecks-Helligkeit i^*

%Umfang

$u^*_{rel} = 89$

%Regularität

$g^*_{H,rel} = 72$

$g^*_{C,rel} = 57$

ORS19_96a; adaptierte CIELAB-Daten

u^*_e	$L^*=L^*_a$	a^*_a	b^*_a	$C^*_{ab,a}$	$h^*_{ab,a}$	u^*_d
r00j	48.88	66.47	31.67	73.63	25	m84o
r25j	55.85	52.39	47.48	70.7	42	o17y
r50j	65.45	35.22	58.37	68.17	59	o42y
r75j	75.19	17.82	69.41	71.66	76	o67y
j00g	87.03	-3.35	82.83	82.9	92	o92y
j25g	80.72	-25.01	69.5	73.86	110	y20l
j50g	70.64	-39.54	51.97	65.3	127	y46l
j75g	61.93	-52.1	36.83	63.8	145	y72l
g00b	52.8	-65.28	20.93	68.56	162	y99l
g25b	55.7	-49.58	-8.39	50.28	190	l36c
g50b	57.82	-38.4	-28.92	48.07	217	l72c
g75b	55.5	-22.05	-45.95	50.97	244	c11v
b00r	41.6	1.37	-45.01	45.03	272	c56v
b25r	29.0	25.08	-43.13	49.89	300	v04m
b50r	38.04	46.53	-28.39	54.51	329	v55m
b75r	49.48	72.88	-3.76	72.98	357	m11o

lab^*olv^*

$i^* = 1.00$

Brillantheit i^*

$i^* = 0.80$

$i^* = 0.60$

$i^* = 0.40$

$i^* = 0.20$

$i^* = 0.00$

Ein und Ausgabe: Farbmetrisches Drucker-Reflektiv-System ORS19_96a für relativen CIELAB-Buntton $h^* = lab^*h^* = h_{ab}/360 = 0.755$

Daten für jede Farbe:

lab^*tch^* und lab^*icu^*

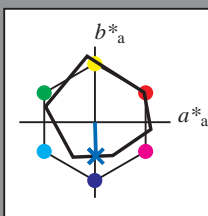
Bunttontexte:

$u^*_e = b00r$ $u^*_d = c56v$

Kontrastreduzierungsfaktor:

$c_R = 1.0$

Dreiecks-Helligkeit i^*



ORS19_96a; CIELAB-Daten						
u^*_e	$L^*=L^*_a$	a^*	b^*	C^*_{ab}	h^*_{ab}	
O _M	48.75	65.16	40.76	76.86	32	
Y _M	90.92	-10.78	89.36	90.01	97	
L _M	52.69	-65.4	22.15	69.05	161	
C _M	59.61	-29.04	-44.69	53.3	237	
V _M	28.39	24.0	-43.18	49.4	299	
M _M	49.58	74.01	-8.22	74.47	354	
N _M	18.89	0.5	0.77	0.92	57	
W _M	96.9	-0.57	2.23	2.3	104	
R _M	39.92	58.74	27.99	65.07	25	
J _M	81.26	-2.89	71.56	71.62	92	
G _M	52.23	-42.42	13.6	44.55	162	
B _M	30.57	1.41	-46.47	46.49	272	

Daten für Maximalfarbe (Ma):

LAB^*LAB^*Ma : 42 1 -45

LAB^*LCH^*Ma : 42 45 271

lab^*rgb^*Ma : 0.0 0.0 1.0

lab^*olv^*Ma : 0.0 0.44 1.0

Dreiecks-Helligkeit i^*

%Umfang

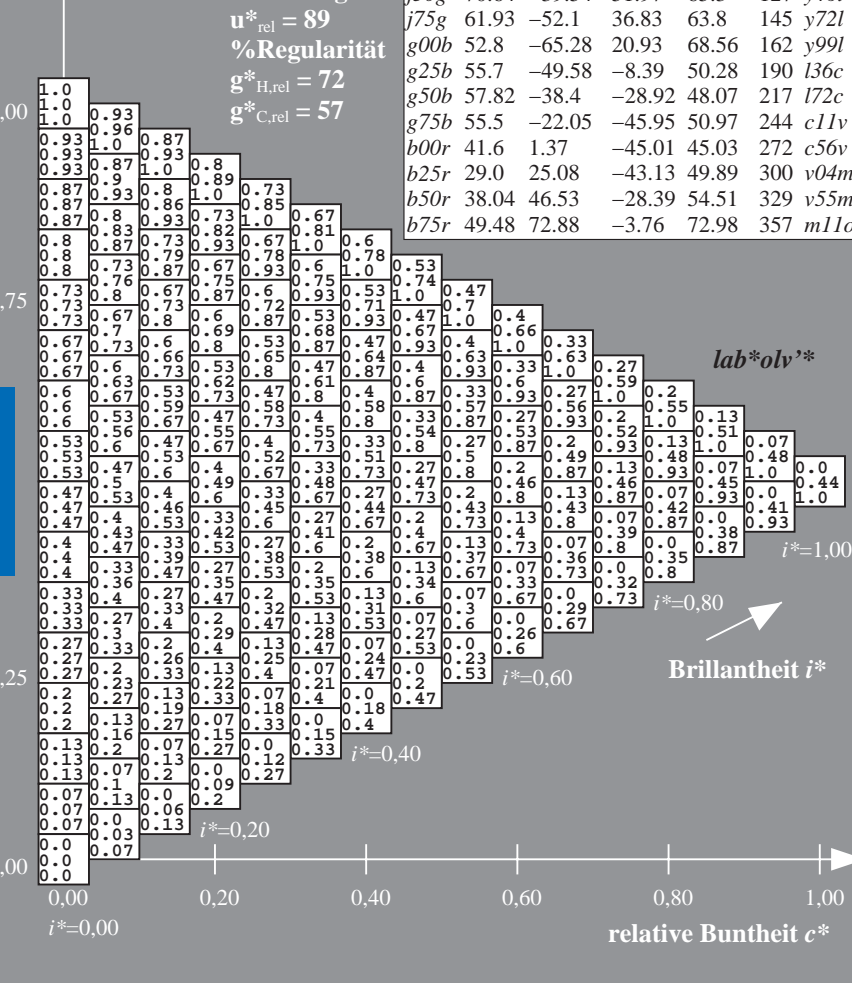
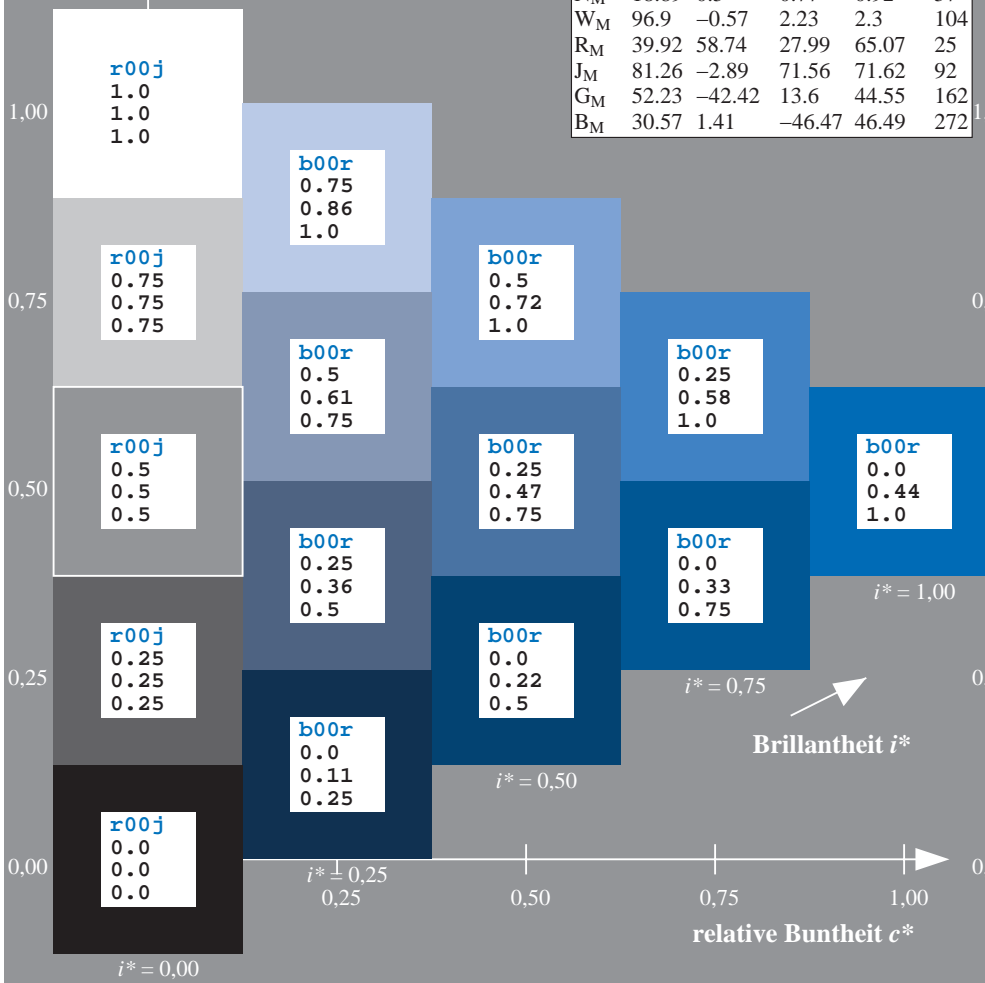
$u^*_{rel} = 89$

%Regularität

$g^*_{H,rel} = 72$

$g^*_{C,rel} = 57$

ORS19_96a; adaptierte CIELAB-Daten							
u^*_e	$L^*=L^*_a$	a^*_a	b^*_a	$C^*_{ab,a}$	$h^*_{ab,a}$	u^*_d	
r00j	48.88	66.47	31.67	73.63	25	m84o	
r25j	55.85	52.39	47.48	70.7	42	o17y	
r50j	65.45	35.22	58.37	68.17	59	o42y	
r75j	75.19	17.82	69.41	71.66	76	o67y	
j00g	87.03	-3.35	82.83	82.9	92	o92y	
j25g	80.72	-25.01	69.5	73.86	110	y20l	
j50g	70.64	-39.54	51.97	65.3	127	y46l	
j75g	61.93	-52.1	36.83	63.8	145	y72l	
g00b	52.8	-65.28	20.93	68.56	162	y99l	
g25b	55.7	-49.58	-8.39	50.28	190	l36c	
g50b	57.82	-38.4	-28.92	48.07	217	l72c	
g75b	55.5	-22.05	-45.95	50.97	244	c11v	
b00r	41.6	1.37	-45.01	45.03	272	c56v	
b25r	29.0	25.08	-43.13	49.89	300	v04m	
b50r	38.04	46.53	-28.39	54.51	329	v55m	
b75r	49.48	72.88	-3.76	72.98	357	m11o	



Ein und Ausgabe: Farbmetrisches Drucker-Reflektiv-System ORS19_96a für relativen CIELAB-Buntton $h^* = lab^*h^* = h_{ab}/360 = 0.834$

Daten für jede Farbe:

lab^*ch^* und lab^*icu^*

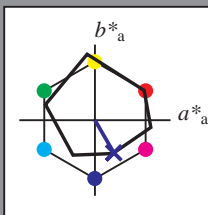
Bunttontexte:

$u^*_e = b25r$ $u^*_d = v04m$

Kontrastreduzierungsfaktor:

$c_R = 1.0$

Dreiecks-Helligkeit i^*



ORS19_96a; CIELAB-Daten					
u^*_e	$L^*=L^*_a$	a^*	b^*	C^*_{ab}	h^*_{ab}
O _M	48.75	65.16	40.76	76.86	32
Y _M	90.92	-10.78	89.36	90.01	97
L _M	52.69	-65.4	22.15	69.05	161
C _M	59.61	-29.04	-44.69	53.3	237
V _M	28.39	24.0	-43.18	49.4	299
M _M	49.58	74.01	-8.22	74.47	354
N _M	18.89	0.5	0.77	0.92	57
W _M	96.9	-0.57	2.23	2.3	104
R _M	39.92	58.74	27.99	65.07	25
J _M	81.26	-2.89	71.56	71.62	92
G _M	52.23	-42.42	13.6	44.55	162
B _M	30.57	1.41	-46.47	46.49	272

Daten für Maximalfarbe (Ma):

$LAB^*LAB^*_{Ma}$: 29 25 -43

$LAB^*LCH^*_{Ma}$: 29 50 300

$lab^*rgb^*_{Ma}$: 0.5 0.0 1.0

$lab^*olv^*_{Ma}$: 0.04 0.0 1.0

Dreiecks-Helligkeit i^*

%Umfang

$u^*_{rel} = 89$

%Regularität

$g^*_{H,rel} = 72$

$g^*_{C,rel} = 57$

ORS19_96a; adaptierte CIELAB-Daten					
u^*_e	$L^*=L^*_a$	a^*_a	b^*_a	$C^*_{ab,a}$	$h^*_{ab,a}$
r00j	48.88	66.47	31.67	73.63	25
r25j	55.85	52.39	47.48	70.7	42
r50j	65.45	35.22	58.37	68.17	59
r75j	75.19	17.82	69.41	71.66	76
j00g	87.03	-3.35	82.83	82.9	92
j25g	80.72	-25.01	69.5	73.86	110
j50g	70.64	-39.54	51.97	65.3	127
j75g	61.93	-52.1	36.83	63.8	145
g00b	52.8	-65.28	20.93	68.56	162
g25b	55.7	-49.58	-8.39	50.28	190
g50b	57.82	-38.4	-28.92	48.07	217
g75b	55.5	-22.05	-45.95	50.97	244
b00r	41.6	1.37	-45.01	45.03	272
b25r	29.0	25.08	-43.13	49.89	300
b50r	38.04	46.53	-28.39	54.51	329
b75r	49.48	72.88	-3.76	72.98	357

lab^*olv^*

$i^* = 1.00$

Brillantheit i^*

$i^* = 0.80$

$i^* = 0.60$

$i^* = 0.40$

$i^* = 0.20$

$i^* = 0.00$

Ein und Ausgabe: Farbmetrisches Drucker-Reflektiv-System ORS19_96a für relativen CIELAB-Buntton $h^* = lab^*h^* = h_{ab}/360 = 0.913$

Daten für jede Farbe:

lab^*tch^* und lab^*icu^*

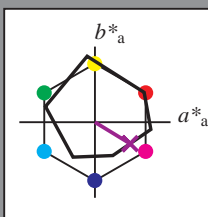
Bunttontexte:

$u^*_e = b50r$ $u^*_d = v55m$

Kontrastreduzierungsfaktor:

$c_R = 1.0$

Dreiecks-Helligkeit i^*



ORS19_96a; CIELAB-Daten					
u^*_e	$L^*=L^*_a$	a^*	b^*	C^*_{ab}	h^*_{ab}
O _M	48.75	65.16	40.76	76.86	32
Y _M	90.92	-10.78	89.36	90.01	97
L _M	52.69	-65.4	22.15	69.05	161
C _M	59.61	-29.04	-44.69	53.3	237
V _M	28.39	24.0	-43.18	49.4	299
M _M	49.58	74.01	-8.22	74.47	354
N _M	18.89	0.5	0.77	0.92	57
W _M	96.9	-0.57	2.23	2.3	104
R _M	39.92	58.74	27.99	65.07	25
J _M	81.26	-2.89	71.56	71.62	92
G _M	52.23	-42.42	13.6	44.55	162
B _M	30.57	1.41	-46.47	46.49	272

Daten für Maximalfarbe (Ma):

$LAB^*LAB^*_{Ma}$: 38 47 -28

$LAB^*LCH^*_{Ma}$: 38 55 328

$lab^*rgb^*_{Ma}$: 1.0 0.0 1.0

$lab^*olv^*_{Ma}$: 0.56 0.0 1.0

Dreiecks-Helligkeit i^*

%Umfang

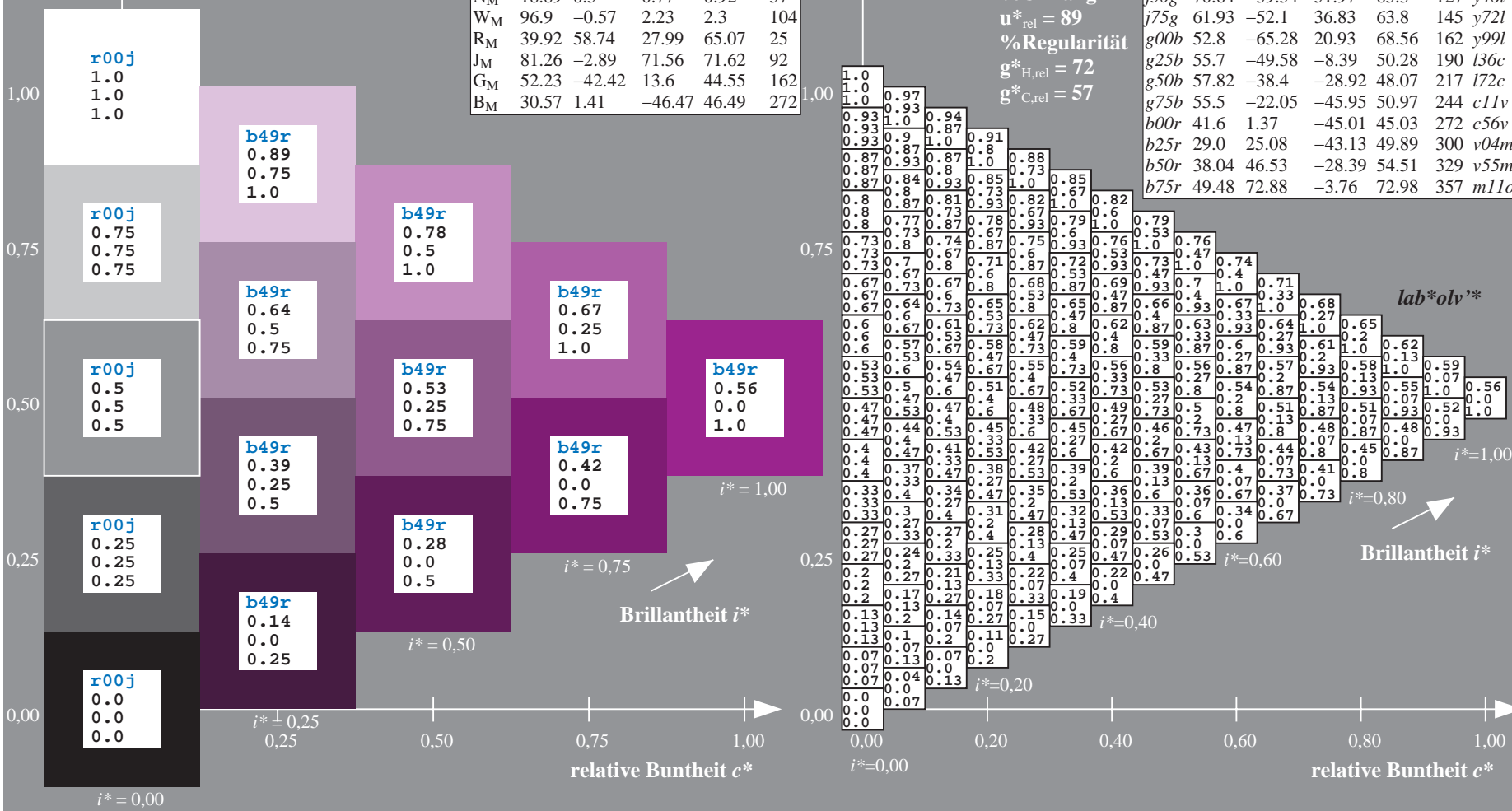
$u^*_{rel} = 89$

%Regularität

$g^*_{H,rel} = 72$

$g^*_{C,rel} = 57$

ORS19_96a; adaptierte CIELAB-Daten							
u^*_e	$L^*=L^*_a$	a^*_a	b^*_a	$C^*_{ab,a}$	$h^*_{ab,a}$	u^*_d	
r00j	48.88	66.47	31.67	73.63	25	m84o	
r25j	55.85	52.39	47.48	70.7	42	o17y	
r50j	65.45	35.22	58.37	68.17	59	o42y	
r75j	75.19	17.82	69.41	71.66	76	o67y	
j00g	87.03	-3.35	82.83	82.9	92	o92y	
j25g	80.72	-25.01	69.5	73.86	110	y20l	
j50g	70.64	-39.54	51.97	65.3	127	y46l	
j75g	61.93	-52.1	36.83	63.8	145	y72l	
g00b	52.8	-65.28	20.93	68.56	162	y99l	
g25b	55.7	-49.58	-8.39	50.28	190	l36c	
g50b	57.82	-38.4	-28.92	48.07	217	l72c	
g75b	55.5	-22.05	-45.95	50.97	244	c11v	
b00r	41.6	1.37	-45.01	45.03	272	c56v	
b25r	29.0	25.08	-43.13	49.89	300	v04m	
b50r	38.04	46.53	-28.39	54.51	329	v55m	
b75r	49.48	72.88	-3.76	72.98	357	m11o	



Ein und Ausgabe: Farbmetrisches Drucker-Reflektiv-System ORS19_96a für relativen CIELAB-Buntton $h^* = lab^*h^* = h_{ab}/360 = 0.992$

Daten für jede Farbe:

lab^*tch^* und lab^*icu^*

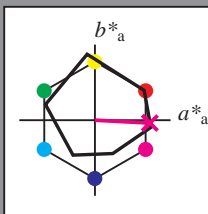
Bunttontexte:

$u^*_e = b75r$ $u^*_d = m11o$

Kontrastreduzierungsfaktor:

$c_R = 1.0$

Dreiecks-Helligkeit i^*



ORS19_96a; CIELAB-Daten						
u^*_e	$L^*=L^*_a$	a^*	b^*	C^*_{ab}	h^*_{ab}	
O _M	48.75	65.16	40.76	76.86	32	
Y _M	90.92	-10.78	89.36	90.01	97	
L _M	52.69	-65.4	22.15	69.05	161	
C _M	59.61	-29.04	-44.69	53.3	237	
V _M	28.39	24.0	-43.18	49.4	299	
M _M	49.58	74.01	-8.22	74.47	354	
N _M	18.89	0.5	0.77	0.92	57	
W _M	96.9	-0.57	2.23	2.3	104	
R _M	39.92	58.74	27.99	65.07	25	
J _M	81.26	-2.89	71.56	71.62	92	
G _M	52.23	-42.42	13.6	44.55	162	
B _M	30.57	1.41	-46.47	46.49	272	

Daten für Maximalfarbe (Ma):

$LAB^*LAB^*_{Ma}$: 49 73 -4

$LAB^*LCH^*_{Ma}$: 49 73 357

$lab^*rgb^*_{Ma}$: 1.0 0.0 0.5

$lab^*olv^*_{Ma}$: 1.0 0.0 0.89

Dreiecks-Helligkeit i^*

%Umfang

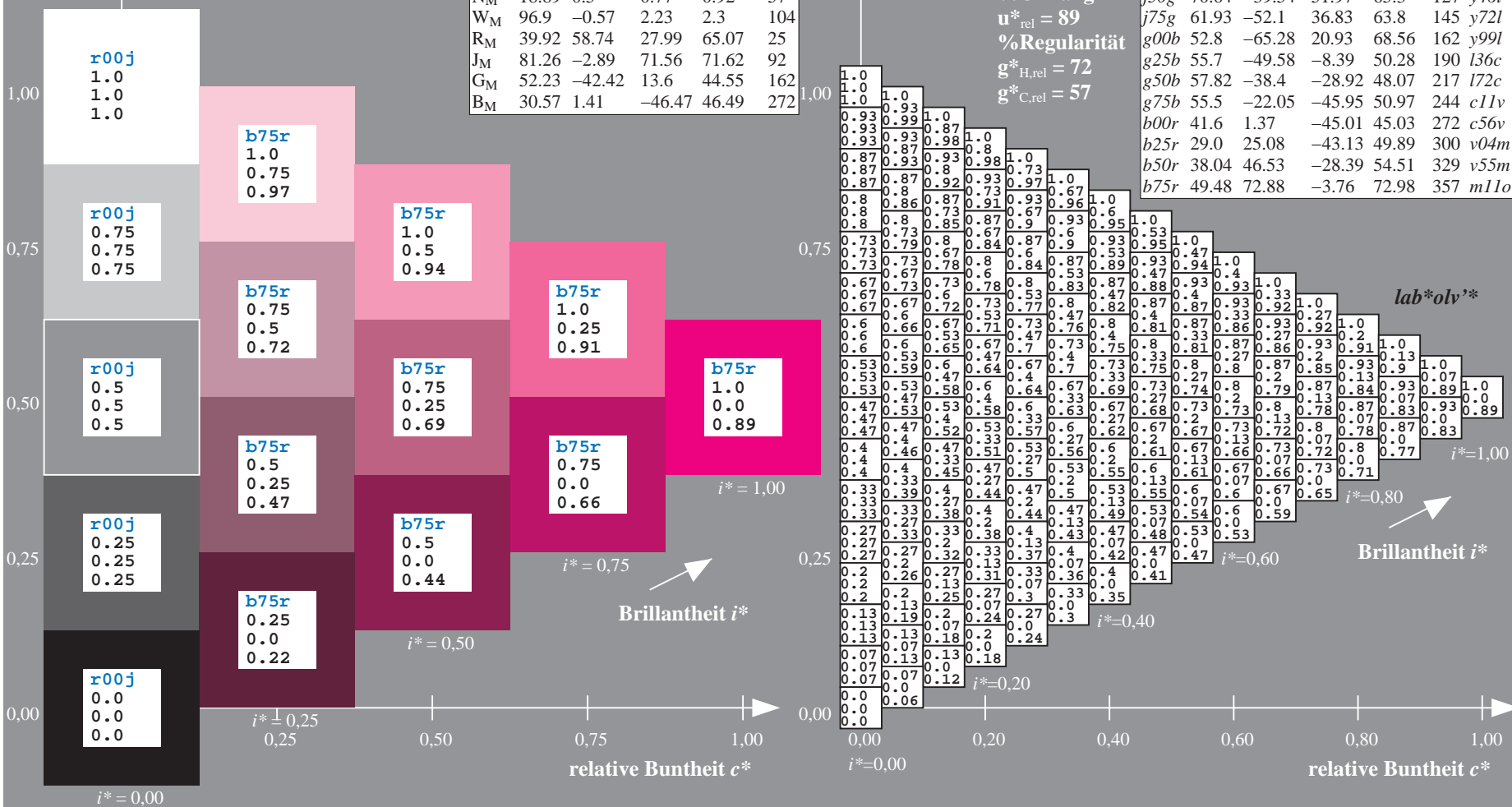
$u^*_{rel} = 89$

%Regularität

$g^*_{H,rel} = 72$

$g^*_{C,rel} = 57$

ORS19_96a; adaptierte CIELAB-Daten							
u^*_e	$L^*=L^*_a$	a^*_a	b^*_a	$C^*_{ab,a}$	$h^*_{ab,a}$	u^*_d	
r00j	48.88	66.47	31.67	73.63	25	m84o	
r25j	55.85	52.39	47.48	70.7	42	o17y	
r50j	65.45	35.22	58.37	68.17	59	o42y	
r75j	75.19	17.82	69.41	71.66	76	o67y	
j00g	87.03	-3.35	82.83	82.9	92	o92y	
j25g	80.72	-25.01	69.5	73.86	110	y20l	
j50g	70.64	-39.54	51.97	65.3	127	y46l	
j75g	61.93	-52.1	36.83	63.8	145	y72l	
g00b	52.8	-65.28	20.93	68.56	162	y99l	
g25b	55.7	-49.58	-8.39	50.28	190	l36c	
g50b	57.82	-38.4	-28.92	48.07	217	l72c	
g75b	55.5	-22.05	-45.95	50.97	244	c11v	
b00r	41.6	1.37	-45.01	45.03	272	c56v	
b25r	29.0	25.08	-43.13	49.89	300	v04m	
b50r	38.04	46.53	-28.39	54.51	329	v55m	
b75r	49.48	72.88	-3.76	72.98	357	m11o	



Siehe ähnliche Dateien: <http://www.ps.bam.de/Eg38/>; www.ps.bam.de/Eg38/; www.ps.bam.de/Eg38/
Technische Information: <http://www.ps.bam.de> Version 2.1, io=1,1, ColSp=1

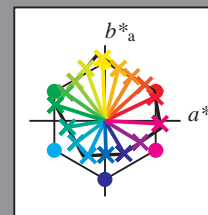
	A	B	C	D	E	F	G	H	I	J	K	L	M	N	O	P	Q	R	S	T	U	V	W	X	Y	Z	a	b	c	d	e	f	g	h	i	j	k	lab*oly**				
01	0.0	0.0	0.0	0.0	0.0	0.0	0.0	0.0	0.0	0.0	0.13	0.12	0.12	0.12	0.12	0.12	0.12	0.12	0.25	0.25	0.25	0.25	0.25	0.25	0.25	0.25	0.25	1.0	1.0	1.0	1.0	1.0	1.0	1.0	1.0	1.0	1.0	0.0	0.0	0.0	0.0	
	0.0	0.13	0.25	0.38	0.5	0.63	0.75	0.88	1.0	0.0	0.13	0.25	0.38	0.5	0.63	0.75	0.88	1.0	0.0	0.12	0.25	0.38	0.5	0.63	0.75	0.88	1.0	1.0	0.88	0.75	0.63	0.5	0.38	0.25	0.13	0.0	0.0	0.0	0.0	0.0	0.0	
	0.0	0.0	0.0	0.0	0.0	0.0	0.0	0.0	0.0	0.0	0.0	0.0	0.0	0.0	0.0	0.0	0.0	0.0	0.0	0.0	0.0	0.0	0.0	0.0	0.0	0.0	1.0	1.0	0.88	0.75	0.63	0.5	0.38	0.25	0.13	0.0	0.0	0.0	0.0	0.0	0.0	0.0
02	0.0	0.0	0.0	0.0	0.0	0.0	0.0	0.0	0.0	0.12	0.13	0.13	0.13	0.13	0.13	0.13	0.13	0.13	0.25	0.25	0.25	0.25	0.25	0.25	0.25	0.25	0.25	0.88	0.88	0.88	0.88	0.88	0.88	0.88	0.88	0.88	0.88	0.13	0.13	0.13	0.13	
	0.0	0.12	0.25	0.38	0.5	0.63	0.75	0.88	1.0	0.0	0.13	0.25	0.38	0.5	0.63	0.75	0.88	1.0	0.0	0.13	0.25	0.38	0.5	0.63	0.75	0.88	1.0	1.0	0.88	0.75	0.63	0.5	0.38	0.25	0.13	0.0	0.13	0.13	0.13	0.13		
	0.13	0.13	0.12	0.12	0.12	0.12	0.12	0.12	0.12	0.13	0.13	0.13	0.13	0.13	0.13	0.13	0.13	0.13	0.12	0.13	0.13	0.13	0.13	0.13	0.13	0.13	0.13	1.0	0.88	0.75	0.63	0.5	0.38	0.25	0.13	0.0	0.13	0.13	0.13	0.13		
03	0.0	0.0	0.0	0.0	0.0	0.0	0.0	0.0	0.0	0.12	0.13	0.13	0.13	0.13	0.13	0.13	0.13	0.13	0.25	0.25	0.25	0.25	0.25	0.25	0.25	0.25	0.25	0.75	0.75	0.75	0.75	0.75	0.75	0.75	0.75	0.75	0.75	0.25	0.25	0.25	0.25	
	0.0	0.12	0.25	0.38	0.5	0.63	0.75	0.88	1.0	0.0	0.13	0.25	0.38	0.5	0.63	0.75	0.88	1.0	0.0	0.13	0.25	0.38	0.5	0.63	0.75	0.88	1.0	1.0	0.87	0.75	0.63	0.5	0.38	0.25	0.13	0.0	0.25	0.25	0.25	0.25		
	0.25	0.25	0.25	0.25	0.25	0.25	0.25	0.25	0.25	0.25	0.25	0.25	0.25	0.25	0.25	0.25	0.25	0.25	0.25	0.25	0.25	0.25	0.25	0.25	0.25	0.25	1.0	1.0	0.88	0.75	0.63	0.5	0.38	0.25	0.13	0.0	0.25	0.25	0.25	0.25		
04	0.0	0.0	0.0	0.0	0.0	0.0	0.0	0.0	0.0	0.12	0.13	0.13	0.13	0.13	0.13	0.13	0.13	0.13	0.25	0.25	0.25	0.25	0.25	0.25	0.25	0.25	0.25	0.63	0.63	0.63	0.63	0.63	0.63	0.63	0.63	0.38	0.38	0.38	0.38			
	0.0	0.12	0.25	0.37	0.5	0.63	0.75	0.88	1.0	0.0	0.13	0.25	0.37	0.5	0.63	0.75	0.88	1.0	0.0	0.13	0.25	0.37	0.5	0.63	0.75	0.88	1.0	1.0	0.87	0.75	0.63	0.5	0.38	0.25	0.13	0.0	0.38	0.38	0.38	0.38		
	0.38	0.38	0.38	0.38	0.37	0.37	0.37	0.37	0.37	0.38	0.38	0.38	0.38	0.37	0.37	0.37	0.37	0.37	0.38	0.38	0.38	0.37	0.37	0.37	0.37	0.37	1.0	1.0	0.88	0.75	0.63	0.5	0.38	0.25	0.13	0.0	0.38	0.38	0.38	0.38		
05	0.0	0.0	0.0	0.0	0.0	0.0	0.0	0.0	0.0	0.12	0.13	0.13	0.13	0.13	0.13	0.13	0.13	0.13	0.25	0.25	0.25	0.25	0.25	0.25	0.25	0.25	0.25	0.5	0.5	0.5	0.5	0.5	0.5	0.5	0.5	0.5	0.5	0.5	0.5	0.5		
	0.0	0.12	0.25	0.37	0.5	0.63	0.75	0.88	1.0	0.0	0.13	0.25	0.37	0.5	0.63	0.75	0.88	1.0	0.0	0.13	0.25	0.37	0.5	0.63	0.75	0.88	1.0	1.0	0.87	0.75	0.62	0.5	0.38	0.25	0.13	0.0	0.5	0.5	0.5	0.5		
	0.0	0.0	0.0	0.0	0.0	0.0	0.0	0.0	0.0	0.12	0.13	0.13	0.13	0.13	0.13	0.13	0.13	0.13	0.25	0.25	0.25	0.25	0.25	0.25	0.25	0.25	0.25	0.38	0.38	0.38	0.38	0.38	0.38	0.38	0.38	0.63	0.63	0.63	0.63			
06	0.0	0.12	0.25	0.37	0.5	0.62	0.75	0.88	1.0	0.0	0.13	0.25	0.37	0.5	0.62	0.75	0.88	1.0	0.0	0.13	0.25	0.37	0.5	0.62	0.75	0.88	1.0	1.0	0.87	0.75	0.62	0.5	0.38	0.25	0.13	0.0	0.63	0.63	0.63	0.63		
	0.63	0.63	0.63	0.63	0.63	0.62	0.62	0.62	0.62	0.63	0.63	0.63	0.63	0.63	0.62	0.62	0.62	0.62	0.63	0.63	0.63	0.63	0.63	0.62	0.62	0.62	0.62	1.0	1.0	0.88	0.75	0.63	0.5	0.38	0.25	0.13	0.0	0.63	0.63	0.63	0.63	
07	0.0	0.0	0.0	0.0	0.0	0.0	0.0	0.0	0.0	0.12	0.13	0.13	0.13	0.13	0.13	0.13	0.13	0.13	0.25	0.25	0.25	0.25	0.25	0.25	0.25	0.25	0.25	0.25	0.25	0.25	0.25	0.25	0.25	0.25	0.25	0.25	0.75	0.75	0.75	0.75		
	0.0	0.12	0.25	0.37	0.5	0.62	0.75	0.88	1.0	0.0	0.13	0.25	0.37	0.5	0.62	0.75	0.88	1.0	0.0	0.13	0.25	0.37	0.5	0.62	0.75	0.88	1.0	1.0	0.87	0.75	0.62	0.5	0.37	0.25	0.13	0.0	0.75	0.75	0.75	0.75		
	0.75	0.75	0.75	0.75	0.75	0.75	0.75	0.75	0.75	0.75	0.75	0.75	0.75	0.75	0.75	0.75	0.75	0.75	0.75	0.75	0.75	0.75	0.75	0.75	0.75	0.75	0.75	1.0	1.0	0.88	0.75	0.63	0.5	0.38	0.25	0.13	0.0	0.75	0.75	0.75	0.75	
08	0.0	0.0	0.0	0.0	0.0	0.0	0.0	0.0	0.0	0.12	0.13	0.13	0.13	0.13	0.13	0.13	0.13	0.13	0.25	0.25	0.25	0.25	0.25	0.25	0.25	0.25	0.25	0.13	0.13	0.13	0.13	0.13	0.13	0.13	0.13	0.88	0.88	0.88	0.88			
	0.0	0.12	0.25	0.37	0.5	0.62	0.75	0.87	1.0	0.0	0.13	0.25	0.37	0.5	0.62	0.75	0.87	1.0	0.0	0.13	0.25	0.37	0.5	0.62	0.75	0.87	1.0	1.0	0.87	0.75	0.62	0.5	0.37	0.25	0.13	0.0	0.88	0.88	0.88	0.88		
	0.88	0.88	0.88	0.88	0.88	0.88	0.88	0.88	0.87	0.88	0.88	0.88	0.88	0.88	0.88	0.88	0.88	0.87	0.88	0.88	0.88	0.88	0.88	0.88	0.88	0.88	0.87	1.0	1.0	0.88	0.75	0.63	0.5	0.38	0.25	0.13	0.0	0.88	0.88	0.88	0.88	
09	0.0	0.0	0.0	0.0	0.0	0.0	0.0	0.0	0.0	0.12	0.13	0.13	0.13	0.13	0.13	0.13	0.13	0.13	0.25	0.25	0.25	0.25	0.25	0.25	0.25	0.25	0.25	0.0	0.0	0.0	0.0	0.0	0.0	0.0	0.0	0.0	0.0	1.0	1.0	1.0	1.0	
	0.0	0.12	0.25	0.37	0.5	0.62	0.75	0.87	1.0	0.0	0.13	0.25	0.37	0.5	0.62	0.75	0.87	1.0	0.0	0.13	0.25	0.37	0.5	0.62	0.75	0.87	1.0	1.0	0.87	0.75	0.62	0.5	0.37	0.25	0.12	0.0	1.0	1.0	1.0	1.0		
	1.0	1.0	1.0	1.0	1.0	1.0	1.0	1.0	1.0	1.0	1.0	1.0	1.0	1.0	1.0	1.0	1.0	1.0	1.0	1.0	1.0	1.0	1.0	1.0	1.0	1.0	1.0	1.0	0.88	0.75	0.63	0.5	0.38	0.25	0.13	0.0	1.0	1.0	1.0	1.0		
10	0.38	0.38	0.38	0.37	0.37	0.37	0.37	0.37	0.37	0.5	0.5	0.5	0.5	0.5	0.5	0.5	0.5	0.5	0.63	0.63	0.63	0.63	0.62	0.62	0.62	0.62	0.62	1.0	1.0	1.0	1.0	1.0	1.0	1.0	1.0	1.0	1.0	0.0	0.0	0.0	0.0	
	0.0	0.12	0.25	0.38	0.5	0.63	0.75	0.88	1.0	0.0	0.12	0.25	0.37	0.5	0.63	0.75	0.88	1.0	0.0	0.12	0.25	0.37	0.5	0.63	0.75	0.88	1.0	1.0	1.0	1.0	1.0	1.0	1.0	1.0	1.0	1.0	0.0	0.0	0.0	0.0		
	0.0	0.0	0.0	0.0	0.0	0.0	0.0	0.0	0.0	0.0	0.0	0.0	0.0	0.0	0.0	0.0	0.0	0.0	0.0	0.0	0.0	0.0	0.0	0.0	0.0	0.0	1.0	1.0	0.88	0.75	0.63	0.5	0.38	0.25	0.13	0.0	0.0	0.0	0.0	0.0		
11	0.38	0.38	0.38	0.37	0.37	0.37	0.37	0.37	0.37	0.5	0.5	0.5	0.5	0.5	0.5	0.5	0.5	0.5	0.63	0.63	0.63	0.63	0.62	0.62	0.62	0.62	0.62	0.88	0.88	0.87	0.87	0.87	0.87	0.87	0.87	0.87	0.87	0.07	0.07	0.07	0.07	
	0.12	0.13	0.25	0.38	0.5	0.63	0.75	0.88	1.0	0.12	0.13	0.25	0.37	0.5	0.63	0.75	0.88	1.0	0.12	0.13	0.25	0.37	0.5	0.63	0.75	0.88	1.0	1.0	0.88	0.88	0.88	0.88	0.88	0.88	0.88	0.88	0.88	0.88	0.07	0.07	0.07	0.07
	0.38	0.38	0.38	0.37	0.37	0.37	0.37	0.37	0.37	0.5	0.5	0.5	0.5	0.5	0.5	0.5	0.5	0.5	0.63	0.63	0.63	0.63	0.62	0.62	0.62	0.62	0.62	0.75	0.75	0.75	0.75	0.75	0.75	0.75	0.75	0.75	0.75	0.13	0.13	0.13	0.13	
12	0.0	0.13	0.25	0.38	0.5	0.63	0.75	0.88	1.0	0.0	0.13	0.25	0.37																													

BAM-Registrierung: 20081001-Eg38/10L/L38G00NA.PS/.TXT BAM-Material: Code=rh4ta
Anwendung für Beurteilung und Messung von Drucker- oder Monitorsystemen

Ein und Ausgabe:
Farbmetrisches Drucker-Reflektiv-System ORS19_96a
Daten für jede Farbe:
 u^*_e und Nummer $Nr.$ = 00 .. 15
Elementar-Bunttontext:
 $u^*_e = 16$ Bunttoene $r00j, r25j, ..., b75r$
Kontrastreduzierungsfaktor:
 $c_R = 1.0$

ORS19_96a; adaptierte CIELAB-Daten

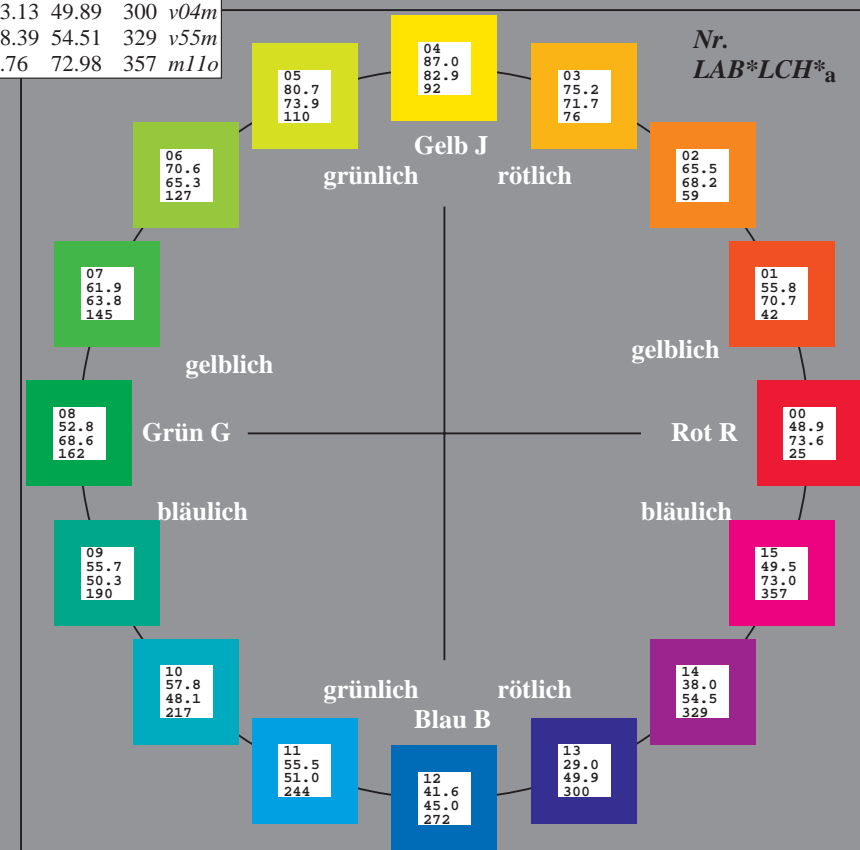
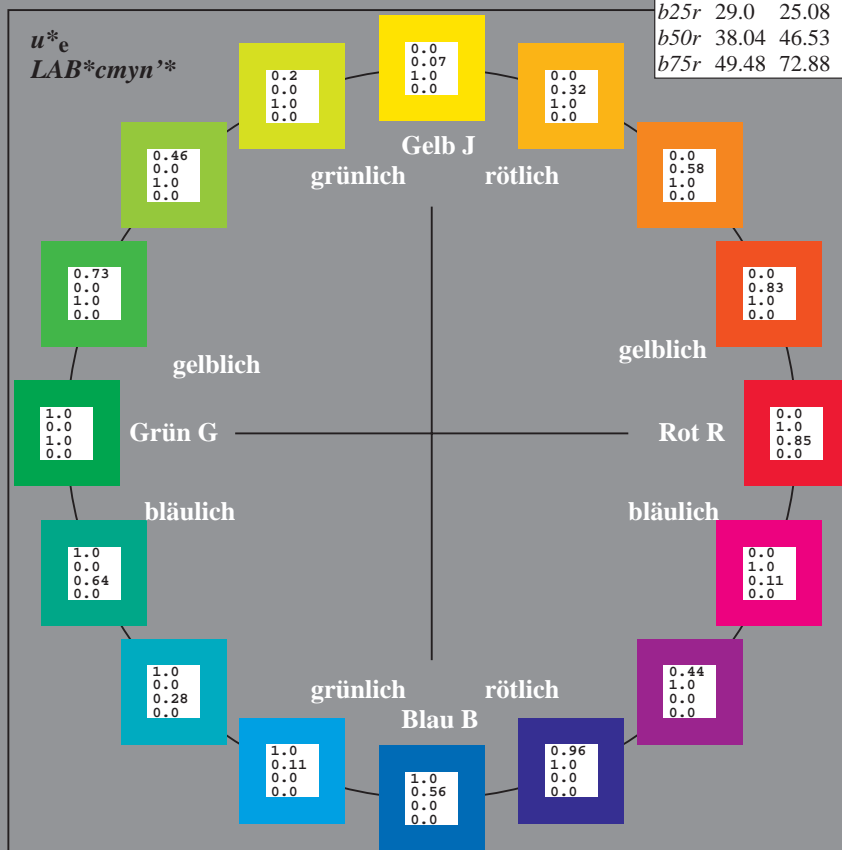
u^*_e	$L^*=L^*_a$	a^*_a	b^*_a	$C^*_{ab,a}$	$h^*_{ab,a}$	u^*_d
$r00j$	48.88	66.47	31.67	73.63	25	$m84o$
$r25j$	55.85	52.39	47.48	70.7	42	$o17y$
$r50j$	65.45	35.22	58.37	68.17	59	$o42y$
$r75j$	75.19	17.82	69.41	71.66	76	$o67y$
$j00g$	87.03	-3.35	82.83	82.9	92	$o92y$
$j25g$	80.72	-25.01	69.5	73.86	110	$y20l$
$j50g$	70.64	-39.54	51.97	65.3	127	$y46l$
$j75g$	61.93	-52.1	36.83	63.8	145	$y72l$
$g00b$	52.8	-65.28	20.93	68.56	162	$y99l$
$g25b$	55.7	-49.58	-8.39	50.28	190	$l36c$
$g50b$	57.82	-38.4	-28.92	48.07	217	$l72c$
$g75b$	55.5	-22.05	-45.95	50.97	244	$c11v$
$b00r$	41.6	1.37	-45.01	45.03	272	$c56v$
$b25r$	29.0	25.08	-43.13	49.89	300	$v04m$
$b50r$	38.04	46.53	-28.39	54.51	329	$v55m$
$b75r$	49.48	72.88	-3.76	72.98	357	$m11o$



%Umfang
 $u^*_{rel} = 89$
%Regularität
 $g^*_{H,rel} = 72$
 $g^*_{C,rel} = 57$

ORS19_96a; CIELAB-Daten

Name	$L^*=L^*$	a^*	b^*	C^*_{ab}	h^*_{ab}
O_M	48.75	65.16	40.76	76.86	32
Y_M	90.92	-10.78	89.36	90.01	97
L_M	52.69	-65.4	22.15	69.05	161
C_M	59.61	-29.04	-44.69	53.3	237
V_M	28.39	24.0	-43.18	49.4	299
M_M	49.58	74.01	-8.22	74.47	354
N_M	18.89	0.5	0.77	0.92	57
W_M	96.9	-0.57	2.23	2.3	104
R_{CIE}	39.92	58.74	27.99	65.07	25
J_{CIE}	81.26	-2.89	71.56	71.62	92
G_{CIE}	52.23	-42.42	13.6	44.55	162
B_{CIE}	30.57	1.41	-46.47	46.49	272



Ein und Ausgabe: Farbmetrisches Drucker-Reflektiv-System ORS19_96a für relativen CIELAB-Buntton $h^* = lab^*h^* = h_{ab}/360 = 0.071$

Daten für jede Farbe:

lab^*ch^* und lab^*icu^*

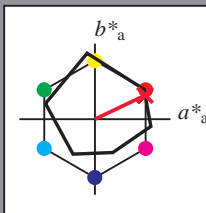
Bunttontexte:

$u^*_e = r00j$ $u^*_d = m84o$

Kontrastreduzierungsfaktor:

$c_R = 1.0$

Dreiecks-Helligkeit i^*



ORS19_96a; CIELAB-Daten						
u^*_e	$L^*=L^*$	a^*	b^*	C^*_{ab}	h^*_{ab}	
O _M	48.75	65.16	40.76	76.86	32	
Y _M	90.92	-10.78	89.36	90.01	97	
L _M	52.69	-65.4	22.15	69.05	161	
C _M	59.61	-29.04	-44.69	53.3	237	
V _M	28.39	24.0	-43.18	49.4	299	
M _M	49.58	74.01	-8.22	74.47	354	
N _M	18.89	0.5	0.77	0.92	57	
W _M	96.9	-0.57	2.23	2.3	104	
R _M	39.92	58.74	27.99	65.07	25	
J _M	81.26	-2.89	71.56	71.62	92	
G _M	52.23	-42.42	13.6	44.55	162	
B _M	30.57	1.41	-46.47	46.49	272	

Daten für Maximalfarbe (Ma):

$LAB^*LAB^*_{Ma}$: 49 66 32

$LAB^*LCH^*_{Ma}$: 49 74 25

$lab^*rgb^*_{Ma}$: 1.0 0.0 0.0

$lab^*olv^*_{Ma}$: 1.0 0.0 0.15

Dreiecks-Helligkeit i^*

%Umfang

$u^*_{rel} = 89$

%Regularität

$g^*_{H,rel} = 72$

$g^*_{C,rel} = 57$

ORS19_96a; adaptierte CIELAB-Daten							
u^*_e	$L^*=L^*$	a^*	b^*	$C^*_{ab,a}$	$h^*_{ab,a}$	u^*_d	
r00j	48.88	66.47	31.67	73.63	25	m84o	
r25j	55.85	52.39	47.48	70.7	42	o17y	
r50j	65.45	35.22	58.37	68.17	59	o42y	
r75j	75.19	17.82	69.41	71.66	76	o67y	
j00g	87.03	-3.35	82.83	82.9	92	o92y	
j25g	80.72	-25.01	69.5	73.86	110	y20l	
j50g	70.64	-39.54	51.97	65.3	127	y46l	
j75g	61.93	-52.1	36.83	63.8	145	y72l	
g00b	52.8	-65.28	20.93	68.56	162	y99l	
g25b	55.7	-49.58	-8.39	50.28	190	l36c	
g50b	57.82	-38.4	-28.92	48.07	217	l72c	
g75b	55.5	-22.05	-45.95	50.97	244	c11v	
b00r	41.6	1.37	-45.01	45.03	272	c56v	
b25r	29.0	25.08	-43.13	49.89	300	v04m	
b50r	38.04	46.53	-28.39	54.51	329	v55m	
b75r	49.48	72.88	-3.76	72.98	357	m11o	

$LAB^*cmy^n^*$

$i^* = 1.00$

Brillantheit i^*

$i^* = 0.80$

$i^* = 0.60$

$i^* = 0.40$

$i^* = 0.20$

$i^* = 0.00$

Ein und Ausgabe: Farbmetrisches Drucker-Reflektiv-System ORS19_96a für relativen CIELAB-Buntton $h^* = lab^*h^* = h_{ab}/360 = 0.117$

Daten für jede Farbe:

lab^*tch^* und lab^*icu^*

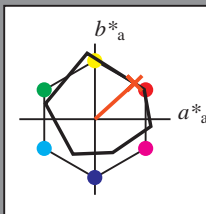
Bunttontexte:

$u^*_e = r25j$ $u^*_d = o17y$

Kontrastreduzierungsfaktor:

$c_R = 1.0$

Dreiecks-Helligkeit t^*



ORS19_96a; CIELAB-Daten						
u^*_e	$L^*=L^*$	a^*	b^*	C^*_{ab}	h^*_{ab}	
O _M	48.75	65.16	40.76	76.86	32	
Y _M	90.92	-10.78	89.36	90.01	97	
L _M	52.69	-65.4	22.15	69.05	161	
C _M	59.61	-29.04	-44.69	53.3	237	
V _M	28.39	24.0	-43.18	49.4	299	
M _M	49.58	74.01	-8.22	74.47	354	
N _M	18.89	0.5	0.77	0.92	57	
W _M	96.9	-0.57	2.23	2.3	104	
R _M	39.92	58.74	27.99	65.07	25	
J _M	81.26	-2.89	71.56	71.62	92	
G _M	52.23	-42.42	13.6	44.55	162	
B _M	30.57	1.41	-46.47	46.49	272	

Daten für Maximalfarbe (Ma):

LAB^*LAB^*Ma : 56 52 47

LAB^*LCH^*Ma : 56 71 42

lab^*rgb^*Ma : 1.0 0.25 0.0

lab^*olv^*Ma : 1.0 0.17 0.0

Dreiecks-Helligkeit t^*

%Umfang

$u^*_{rel} = 89$

%Regularität

$g^*_{H,rel} = 72$

$g^*_{C,rel} = 57$

ORS19_96a; adaptierte CIELAB-Daten									
u^*_e	$L^*=L^*$	a^*_a	b^*_a	$C^*_{ab,a}$	$h^*_{ab,a}$	u^*_d			
r00j	48.88	66.47	31.67	73.63	25	m84o			
r25j	55.85	52.39	47.48	70.7	42	o17y			
r50j	65.45	35.22	58.37	68.17	59	o42y			
r75j	75.19	17.82	69.41	71.66	76	o67y			
j00g	87.03	-3.35	82.83	82.9	92	o92y			
j25g	80.72	-25.01	69.5	73.86	110	y20l			
j50g	70.64	-39.54	51.97	65.3	127	y46l			
j75g	61.93	-52.1	36.83	63.8	145	y72l			
g00b	52.8	-65.28	20.93	68.56	162	y99l			
g25b	55.7	-49.58	-8.39	50.28	190	l36c			
g50b	57.82	-38.4	-28.92	48.07	217	l72c			
g75b	55.5	-22.05	-45.95	50.97	244	c11v			
b00r	41.6	1.37	-45.01	45.03	272	c56v			
b25r	29.0	25.08	-43.13	49.89	300	v04m			
b50r	38.04	46.53	-28.39	54.51	329	v55m			
b75r	49.48	72.88	-3.76	72.98	357	m11o			

$LAB^*cmy^n^*$

$i^* = 1.00$

Brillantheit i^*

$i^* = 0.80$

$i^* = 0.60$

$i^* = 0.40$

$i^* = 0.20$

$i^* = 0.00$

Ein und Ausgabe: Farbmetrisches Drucker-Reflektiv-System ORS19_96a für relativen CIELAB-Buntton $h^* = lab^*h^* = h_{ab}/360 = 0.164$

Daten für jede Farbe:

lab^*ch^* und lab^*icu^*

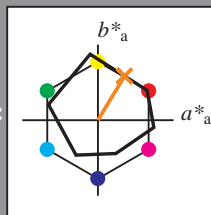
Bunttontexte:

$u^*_e = r50j$ $u^*_d = o42y$

Kontrastreduzierungsfaktor:

$c_R = 1.0$

Dreiecks-Helligkeit i^*



ORS19_96a; CIELAB-Daten					
u^*_e	$L^*=L^*_a$	a^*	b^*	C^*_{ab}	h^*_{ab}
O _M	48.75	65.16	40.76	76.86	32
Y _M	90.92	-10.78	89.36	90.01	97
L _M	52.69	-65.4	22.15	69.05	161
C _M	59.61	-29.04	-44.69	53.3	237
V _M	28.39	24.0	-43.18	49.4	299
M _M	49.58	74.01	-8.22	74.47	354
N _M	18.89	0.5	0.77	0.92	57
W _M	96.9	-0.57	2.23	2.3	104
R _M	39.92	58.74	27.99	65.07	25
J _M	81.26	-2.89	71.56	71.62	92
G _M	52.23	-42.42	13.6	44.55	162
B _M	30.57	1.41	-46.47	46.49	272

Daten für Maximalfarbe (Ma):

$LAB^*LAB^*_{Ma}$: 65 35 58

$LAB^*LCH^*_{Ma}$: 65 68 58

$lab^*rgb^*_{Ma}$: 1.0 0.5 0.0

$lab^*olv^*_{Ma}$: 1.0 0.42 0.0

Dreiecks-Helligkeit i^*

%Umfang

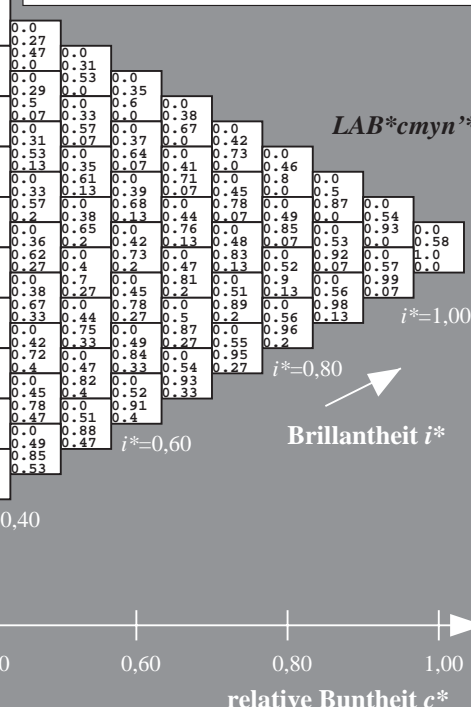
$u^*_{rel} = 89$

%Regularität

$g^*_{H,rel} = 72$

$g^*_{C,rel} = 57$

ORS19_96a; adaptierte CIELAB-Daten					
u^*_e	$L^*=L^*_a$	a^*_a	b^*_a	$C^*_{ab,a}$	$h^*_{ab,a}$
r00j	48.88	66.47	31.67	73.63	25
r25j	55.85	52.39	47.48	70.7	42
r50j	65.45	35.22	58.37	68.17	59
r75j	75.19	17.82	69.41	71.66	76
j00g	87.03	-3.35	82.83	82.9	92
j25g	80.72	-25.01	69.5	73.86	110
j50g	70.64	-39.54	51.97	65.3	127
j75g	61.93	-52.1	36.83	63.8	145
g00b	52.8	-65.28	20.93	68.56	162
g25b	55.7	-49.58	-8.39	50.28	190
g50b	57.82	-38.4	-28.92	48.07	217
g75b	55.5	-22.05	-45.95	50.97	244
b00r	41.6	1.37	-45.01	45.03	272
b25r	29.0	25.08	-43.13	49.89	300
b50r	38.04	46.53	-28.39	54.51	329
b75r	49.48	72.88	-3.76	72.98	357



Ein und Ausgabe: Farbmetrisches Drucker-Reflektiv-System ORS19_96a für relativen CIELAB-Buntton $h^* = lab^*h^* = h_{ab}/360 = 0.21$

Daten für jede Farbe:

lab^*ch^* und lab^*icu^*

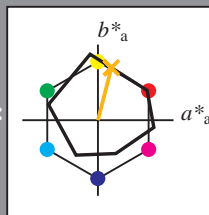
Bunttontexte:

$u^*_e = r75j$ $u^*_d = o67y$

Kontrastreduzierungsfaktor:

$c_R = 1.0$

Dreiecks-Helligkeit i^*



ORS19_96a; CIELAB-Daten

u^*_e	$L^*=L^*$	a^*	b^*	C^*_{ab}	h^*_{ab}
O _M	48.75	65.16	40.76	76.86	32
Y _M	90.92	-10.78	89.36	90.01	97
L _M	52.69	-65.4	22.15	69.05	161
C _M	59.61	-29.04	-44.69	53.3	237
V _M	28.39	24.0	-43.18	49.4	299
M _M	49.58	74.01	-8.22	74.47	354
N _M	18.89	0.5	0.77	0.92	57
W _M	96.9	-0.57	2.23	2.3	104
R _M	39.92	58.74	27.99	65.07	25
J _M	81.26	-2.89	71.56	71.62	92
G _M	52.23	-42.42	13.6	44.55	162
B _M	30.57	1.41	-46.47	46.49	272

Daten für Maximalfarbe (Ma):

$LAB^*LAB^*_{Ma}$: 75 18 69

$LAB^*LCH^*_{Ma}$: 75 72 75

$lab^*rgb^*_{Ma}$: 1.0 0.75 0.0

$lab^*olv^*_{Ma}$: 1.0 0.68 0.0

Dreiecks-Helligkeit i^*

%Umfang

$u^*_{rel} = 89$

%Regularität

$g^*_{H,rel} = 72$

$g^*_{C,rel} = 57$

$u^*_e = r75j$
 LAB^*cmyn^*

ORS19_96a; adaptierte CIELAB-Daten

u^*_e	$L^*=L^*$	a^*	b^*	$C^*_{ab,a}$	$h^*_{ab,a}$	u^*_d
r00j	48.88	66.47	31.67	73.63	25	m84o
r25j	55.85	52.39	47.48	70.7	42	o17y
r50j	65.45	35.22	58.37	68.17	59	o42y
r75j	75.19	17.82	69.41	71.66	76	o67y
j00g	87.03	-3.35	82.83	82.9	92	o92y
j25g	80.72	-25.01	69.5	73.86	110	y20l
j50g	70.64	-39.54	51.97	65.3	127	y46l
j75g	61.93	-52.1	36.83	63.8	145	y72l
g00b	52.8	-65.28	20.93	68.56	162	y99l
g25b	55.7	-49.58	-8.39	50.28	190	l36c
g50b	57.82	-38.4	-28.92	48.07	217	l72c
g75b	55.5	-22.05	-45.95	50.97	244	c11v
b00r	41.6	1.37	-45.01	45.03	272	c56v
b25r	29.0	25.08	-43.13	49.89	300	v04m
b50r	38.04	46.53	-28.39	54.51	329	v55m
b75r	49.48	72.88	-3.76	72.98	357	m11o

LAB^*cmyn^*

$i^* = 1.00$

Brillantheit i^*

$i^* = 0.80$

$i^* = 0.60$

$i^* = 0.40$

$i^* = 0.20$

$i^* = 0.00$

Ein und Ausgabe: Farbmetrisches Drucker-Reflektiv-System ORS19_96a für relativen CIELAB-Buntton $h^* = lab^*h^* = h_{ab}/360 = 0.256$

Daten für jede Farbe:

lab^*ch^* und lab^*icu^*

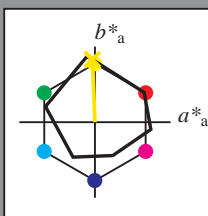
Bunttontexte:

$u^*_e = j00g$ $u^*_d = o92y$

Kontrastreduzierungsfaktor:

$c_R = 1.0$

Dreiecks-Helligkeit i^*



ORS19_96a; CIELAB-Daten					
u^*_e	$L^*=L^*_a$	a^*	b^*	C^*_{ab}	h^*_{ab}
O _M	48.75	65.16	40.76	76.86	32
Y _M	90.92	-10.78	89.36	90.01	97
L _M	52.69	-65.4	22.15	69.05	161
C _M	59.61	-29.04	-44.69	53.3	237
V _M	28.39	24.0	-43.18	49.4	299
M _M	49.58	74.01	-8.22	74.47	354
N _M	18.89	0.5	0.77	0.92	57
W _M	96.9	-0.57	2.23	2.3	104
R _M	39.92	58.74	27.99	65.07	25
J _M	81.26	-2.89	71.56	71.62	92
G _M	52.23	-42.42	13.6	44.55	162
B _M	30.57	1.41	-46.47	46.49	272

Daten für Maximalfarbe (Ma):

$LAB^*LAB^*_{Ma}$: 87 -3 83

$LAB^*LCH^*_{Ma}$: 87 83 92

$lab^*rgb^*_{Ma}$: 1.0 1.0 0.0

$lab^*olv^*_{Ma}$: 1.0 0.93 0.0

Dreiecks-Helligkeit i^*

%Umfang

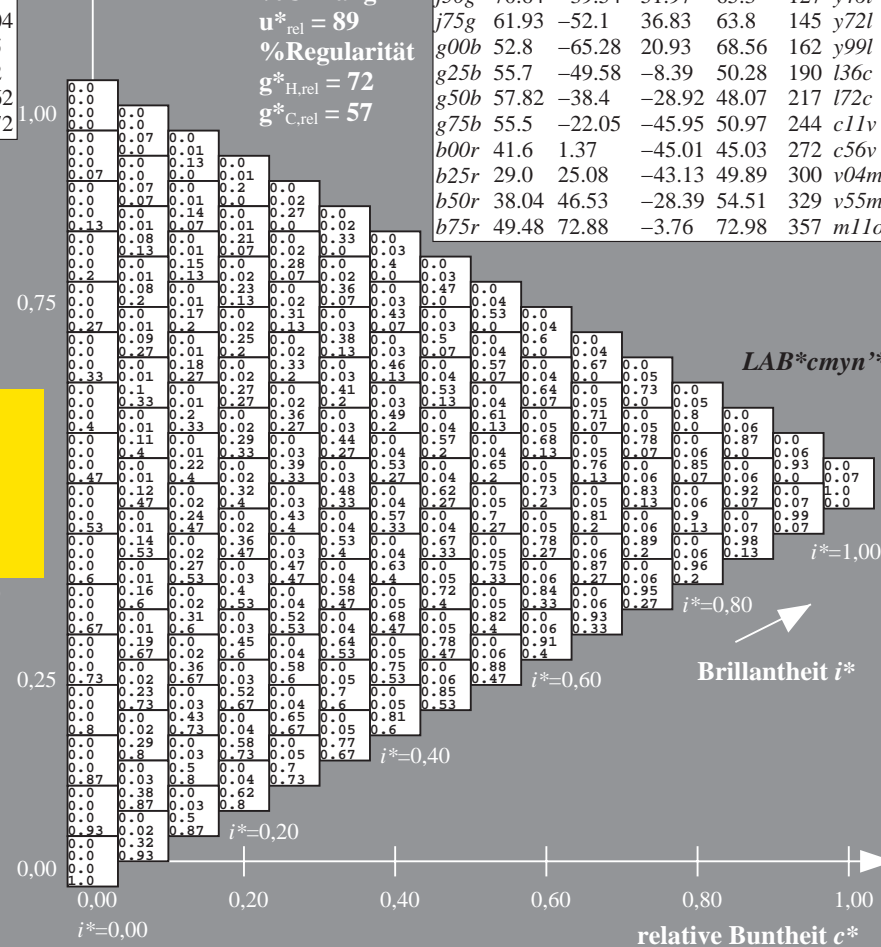
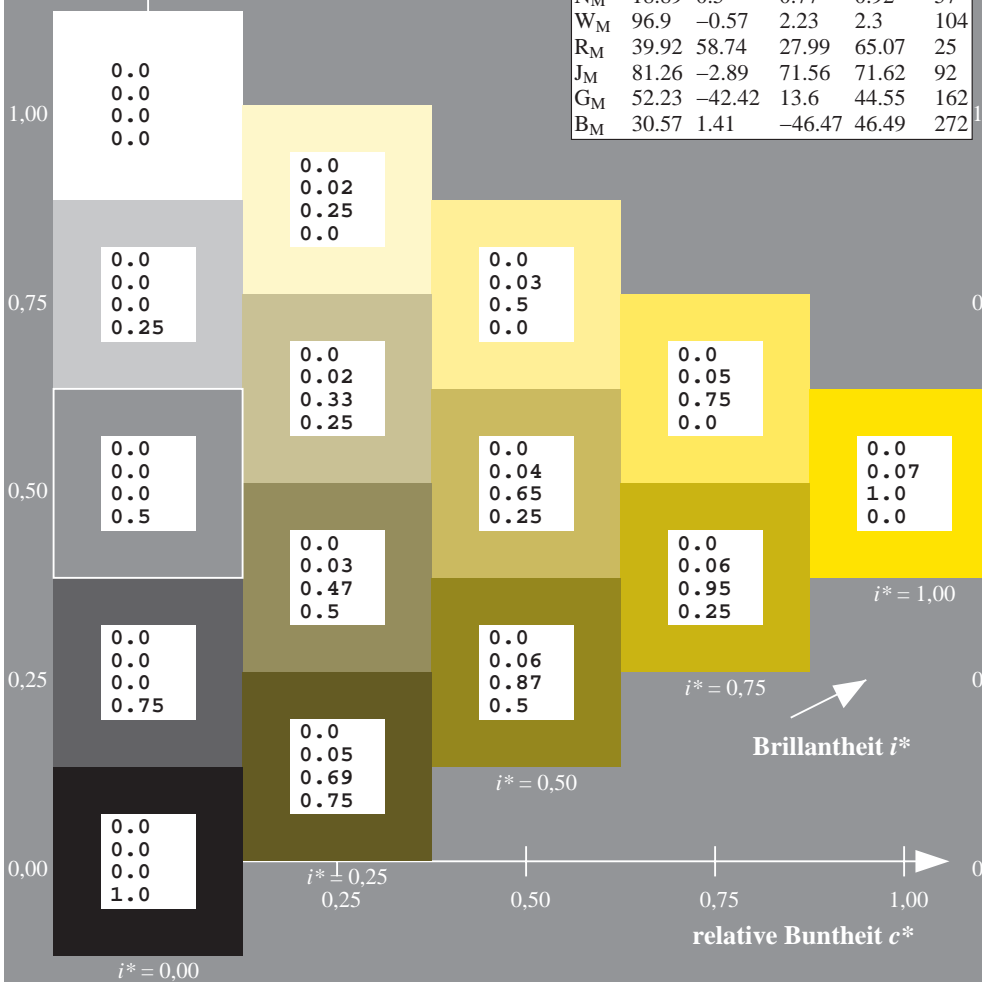
$u^*_{rel} = 89$

%Regularität

$g^*_{H,rel} = 72$

$g^*_{C,rel} = 57$

ORS19_96a; adaptierte CIELAB-Daten							
u^*_e	$L^*=L^*_a$	a^*_a	b^*_a	$C^*_{ab,a}$	$h^*_{ab,a}$	u^*_d	
r00j	48.88	66.47	31.67	73.63	25	m84o	
r25j	55.85	52.39	47.48	70.7	42	o17y	
r50j	65.45	35.22	58.37	68.17	59	o42y	
r75j	75.19	17.82	69.41	71.66	76	o67y	
j00g	87.03	-3.35	82.83	82.9	92	o92y	
j25g	80.72	-25.01	69.5	73.86	110	y20l	
j50g	70.64	-39.54	51.97	65.3	127	y46l	
j75g	61.93	-52.1	36.83	63.8	145	y72l	
g00b	52.8	-65.28	20.93	68.56	162	y99l	
g25b	55.7	-49.58	-8.39	50.28	190	l36c	
g50b	57.82	-38.4	-28.92	48.07	217	l72c	
g75b	55.5	-22.05	-45.95	50.97	244	c11v	
b00r	41.6	1.37	-45.01	45.03	272	c56v	
b25r	29.0	25.08	-43.13	49.89	300	v04m	
b50r	38.04	46.53	-28.39	54.51	329	v55m	
b75r	49.48	72.88	-3.76	72.98	357	m11o	



Ein und Ausgabe: Farbmetrisches Drucker-Reflektiv-System ORS19_96a für relativen CIELAB-Buntton $h^* = \text{lab}^*h^* = h_{ab}/360 = 0.305$

Daten für jede Farbe:

lab^*tch^* und lab^*icu^*

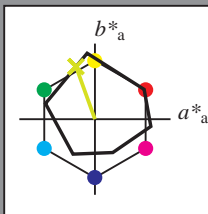
Bunttontexte:

$u^*_e = j25g$ $u^*_d = y20l$

Kontrastreduzierungsfaktor:

$c_R = 1.0$

Dreiecks-Helligkeit i^*



ORS19_96a; CIELAB-Daten					
u^*_e	$L^*=L^*$	a^*	b^*	C^*_{ab}	h^*_{ab}
O _M	48.75	65.16	40.76	76.86	32
Y _M	90.92	-10.78	89.36	90.01	97
L _M	52.69	-65.4	22.15	69.05	161
C _M	59.61	-29.04	-44.69	53.3	237
V _M	28.39	24.0	-43.18	49.4	299
M _M	49.58	74.01	-8.22	74.47	354
N _M	18.89	0.5	0.77	0.92	57
W _M	96.9	-0.57	2.23	2.3	104
R _M	39.92	58.74	27.99	65.07	25
J _M	81.26	-2.89	71.56	71.62	92
G _M	52.23	-42.42	13.6	44.55	162
B _M	30.57	1.41	-46.47	46.49	272

Daten für Maximalfarbe (Ma):

$\text{LAB}^*\text{LAB}^*_{\text{Ma}}$: 81 -25 69

$\text{LAB}^*\text{LCH}^*_{\text{Ma}}$: 81 74 109

$\text{lab}^*\text{rgb}^*_{\text{Ma}}$: 0.75 1.0 0.0

$\text{lab}^*\text{olv}^*_{\text{Ma}}$: 0.8 1.0 0.0

Dreiecks-Helligkeit i^*

%Umfang

$u^*_{\text{rel}} = 89$

%Regularität

$g^*_{H,\text{rel}} = 72$

$g^*_{C,\text{rel}} = 57$

ORS19_96a; adaptierte CIELAB-Daten							
u^*_e	$L^*=L^*_a$	a^*_a	b^*_a	$C^*_{ab,a}$	$h^*_{ab,a}$	u^*_d	
r00j	48.88	66.47	31.67	73.63	25	m84o	
r25j	55.85	52.39	47.48	70.7	42	o17y	
r50j	65.45	35.22	58.37	68.17	59	o42y	
r75j	75.19	17.82	69.41	71.66	76	o67y	
j00g	87.03	-3.35	82.83	82.9	92	o92y	
j25g	80.72	-25.01	69.5	73.86	110	y20l	
j50g	70.64	-39.54	51.97	65.3	127	y46l	
j75g	61.93	-52.1	36.83	63.8	145	y72l	
g00b	52.8	-65.28	20.93	68.56	162	y99l	
g25b	55.7	-49.58	-8.39	50.28	190	l36c	
g50b	57.82	-38.4	-28.92	48.07	217	l72c	
g75b	55.5	-22.05	-45.95	50.97	244	c11v	
b00r	41.6	1.37	-45.01	45.03	272	c56v	
b25r	29.0	25.08	-43.13	49.89	300	v04m	
b50r	38.04	46.53	-28.39	54.51	329	v55m	
b75r	49.48	72.88	-3.76	72.98	357	m11o	

$\text{LAB}^*\text{cmyn}^*_{\text{Ma}}$

$i^* = 1.00$

Brillantheit i^*

$i^* = 0.80$

$i^* = 0.60$

$i^* = 0.40$

$i^* = 0.20$

$i^* = 0.00$

relative Buntheit c^*

Ein und Ausgabe: Farbmetrisches Drucker-Reflektiv-System ORS19_96a für relativen CIELAB-Buntton $h^* = lab^*h^* = h_{ab}/360 = 0.354$

Daten für jede Farbe:

lab^*ch^* und lab^*icu^*

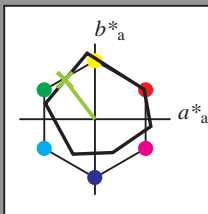
Bunttontexte:

$u^*_e = j50g$ $u^*_d = y46l$

Kontrastreduzierungsfaktor:

$c_R = 1.0$

Dreiecks-Helligkeit i^*



ORS19_96a; CIELAB-Daten

u^*_e	$L^*=L^*$	a^*	b^*	C^*_{ab}	h^*_{ab}
O _M	48.75	65.16	40.76	76.86	32
Y _M	90.92	-10.78	89.36	90.01	97
L _M	52.69	-65.4	22.15	69.05	161
C _M	59.61	-29.04	-44.69	53.3	237
V _M	28.39	24.0	-43.18	49.4	299
M _M	49.58	74.01	-8.22	74.47	354
N _M	18.89	0.5	0.77	0.92	57
W _M	96.9	-0.57	2.23	2.3	104
R _M	39.92	58.74	27.99	65.07	25
J _M	81.26	-2.89	71.56	71.62	92
G _M	52.23	-42.42	13.6	44.55	162
B _M	30.57	1.41	-46.47	46.49	272

Daten für Maximalfarbe (Ma):

$LAB^*LAB^*_{Ma}$: 71 -40 52

$LAB^*LCH^*_{Ma}$: 71 65 127

$lab^*rgb^*_{Ma}$: 0.5 1.0 0.0

$lab^*olv^*_{Ma}$: 0.54 1.0 0.0

Dreiecks-Helligkeit i^*

%Umfang

$u^*_{rel} = 89$

%Regularität

$g^*_{H,rel} = 72$

$g^*_{C,rel} = 57$

$u^*_e = j50g$

LAB^*cmyn^*

ORS19_96a; adaptierte CIELAB-Daten

u^*_e	$L^*=L^*_a$	a^*_a	b^*_a	$C^*_{ab,a}$	$h^*_{ab,a}$	u^*_d
r00j	48.88	66.47	31.67	73.63	25	m84o
r25j	55.85	52.39	47.48	70.7	42	o17y
r50j	65.45	35.22	58.37	68.17	59	o42y
r75j	75.19	17.82	69.41	71.66	76	o67y
j00g	87.03	-3.35	82.83	82.9	92	o92y
j25g	80.72	-25.01	69.5	73.86	110	y20l
j50g	70.64	-39.54	51.97	65.3	127	y46l
j75g	61.93	-52.1	36.83	63.8	145	y72l
g00b	52.8	-65.28	20.93	68.56	162	y99l
g25b	55.7	-49.58	-8.39	50.28	190	l36c
g50b	57.82	-38.4	-28.92	48.07	217	l72c
g75b	55.5	-22.05	-45.95	50.97	244	c11v
b00r	41.6	1.37	-45.01	45.03	272	c56v
b25r	29.0	25.08	-43.13	49.89	300	v04m
b50r	38.04	46.53	-28.39	54.51	329	v55m
b75r	49.48	72.88	-3.76	72.98	357	m11o

LAB^*cmyn^*

$i^* = 1.00$

Brillantheit i^*

$i^* = 0.80$

$i^* = 0.60$

$i^* = 0.40$

$i^* = 0.20$

$i^* = 0.00$

relative Buntheit c^*

relative Buntheit c^*

Ein und Ausgabe: Farbmetrisches Drucker-Reflektiv-System ORS19_96a für relativen CIELAB-Buntton $h^* = lab^*h^* = h_{ab}/360 = 0.402$

Daten für jede Farbe:

lab^*ch^* und lab^*icu^*

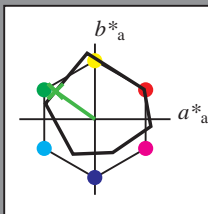
Bunttontexte:

$u^*_e = j75g$ $u^*_d = y72l$

Kontrastreduzierungsfaktor:

$c_R = 1.0$

Dreiecks-Helligkeit i^*



ORS19_96a; CIELAB-Daten					
u^*_e	$L^*=L^*_a$	a^*	b^*	C^*_{ab}	h^*_{ab}
O _M	48.75	65.16	40.76	76.86	32
Y _M	90.92	-10.78	89.36	90.01	97
L _M	52.69	-65.4	22.15	69.05	161
C _M	59.61	-29.04	-44.69	53.3	237
V _M	28.39	24.0	-43.18	49.4	299
M _M	49.58	74.01	-8.22	74.47	354
N _M	18.89	0.5	0.77	0.92	57
W _M	96.9	-0.57	2.23	2.3	104
R _M	39.92	58.74	27.99	65.07	25
J _M	81.26	-2.89	71.56	71.62	92
G _M	52.23	-42.42	13.6	44.55	162
B _M	30.57	1.41	-46.47	46.49	272

Daten für Maximalfarbe (Ma):

LAB^*LAB^*Ma : 62 -52 37

LAB^*LCH^*Ma : 62 64 144

lab^*rgb^*Ma : 0.25 1.0 0.0

lab^*olv^*Ma : 0.27 1.0 0.0

Dreiecks-Helligkeit i^*

%Umfang

$u^*_{rel} = 89$

%Regularität

$g^*_{H,rel} = 72$

$g^*_{C,rel} = 57$

ORS19_96a; adaptierte CIELAB-Daten							
u^*_e	$L^*=L^*_a$	a^*_a	b^*_a	$C^*_{ab,a}$	$h^*_{ab,a}$	u^*_d	
r00j	48.88	66.47	31.67	73.63	25	m84o	
r25j	55.85	52.39	47.48	70.7	42	o17y	
r50j	65.45	35.22	58.37	68.17	59	o42y	
r75j	75.19	17.82	69.41	71.66	76	o67y	
j00g	87.03	-3.35	82.83	82.9	92	o92y	
j25g	80.72	-25.01	69.5	73.86	110	y20l	
j50g	70.64	-39.54	51.97	65.3	127	y46l	
j75g	61.93	-52.1	36.83	63.8	145	y72l	
g00b	52.8	-65.28	20.93	68.56	162	y99l	
g25b	55.7	-49.58	-8.39	50.28	190	l36c	
g50b	57.82	-38.4	-28.92	48.07	217	l72c	
g75b	55.5	-22.05	-45.95	50.97	244	c11v	
b00r	41.6	1.37	-45.01	45.03	272	c56v	
b25r	29.0	25.08	-43.13	49.89	300	v04m	
b50r	38.04	46.53	-28.39	54.51	329	v55m	
b75r	49.48	72.88	-3.76	72.98	357	m11o	

LAB^*cmyn^*

$i^* = 1.00$

Brillantheit i^*

$i^* = 0.80$

$i^* = 0.60$

$i^* = 0.40$

$i^* = 0.20$

$i^* = 0.00$

relative Buntheit c^*

Ein und Ausgabe: Farbmetrisches Drucker-Reflektiv-System ORS19_96a für relativen CIELAB-Buntton $h^* = lab^*h^* = h_{ab}/360 = 0.451$

Daten für jede Farbe:

lab^*tch^* und lab^*icu^*

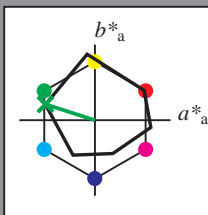
Bunttontexte:

$u^*_e = g00b$ $u^*_d = y99l$

Kontrastreduzierungsfaktor:

$c_R = 1.0$

Dreiecks-Helligkeit i^*



ORS19_96a; CIELAB-Daten

u^*_e	$L^*=L^*_a$	a^*	b^*	C^*_{ab}	h^*_{ab}
O _M	48.75	65.16	40.76	76.86	32
Y _M	90.92	-10.78	89.36	90.01	97
L _M	52.69	-65.4	22.15	69.05	161
C _M	59.61	-29.04	-44.69	53.3	237
V _M	28.39	24.0	-43.18	49.4	299
M _M	49.58	74.01	-8.22	74.47	354
N _M	18.89	0.5	0.77	0.92	57
W _M	96.9	-0.57	2.23	2.3	104
R _M	39.92	58.74	27.99	65.07	25
J _M	81.26	-2.89	71.56	71.62	92
G _M	52.23	-42.42	13.6	44.55	162
B _M	30.57	1.41	-46.47	46.49	272

Daten für Maximalfarbe (Ma):

$LAB^*LAB^*_{Ma}$: 53 -65 21

$LAB^*LCH^*_{Ma}$: 53 69 162

$lab^*rgb^*_{Ma}$: 0.0 1.0 0.0

$lab^*olv^*_{Ma}$: 0.0 1.0 0.0

Dreiecks-Helligkeit i^*

%Umfang

$u^*_{rel} = 89$

%Regularität

$g^*_{H,rel} = 72$

$g^*_{C,rel} = 57$

$u^*_e = g00b$
 LAB^*cmyn^*

ORS19_96a; adaptierte CIELAB-Daten

u^*_e	$L^*=L^*_a$	a^*_a	b^*_a	$C^*_{ab,a}$	$h^*_{ab,a}$	u^*_d
r00j	48.88	66.47	31.67	73.63	25	m84o
r25j	55.85	52.39	47.48	70.7	42	o17y
r50j	65.45	35.22	58.37	68.17	59	o42y
r75j	75.19	17.82	69.41	71.66	76	o67y
j00g	87.03	-3.35	82.83	82.9	92	o92y
j25g	80.72	-25.01	69.5	73.86	110	y20l
j50g	70.64	-39.54	51.97	65.3	127	y46l
j75g	61.93	-52.1	36.83	63.8	145	y72l
g00b	52.8	-65.28	20.93	68.56	162	y99l
g25b	55.7	-49.58	-8.39	50.28	190	l36c
g50b	57.82	-38.4	-28.92	48.07	217	l72c
g75b	55.5	-22.05	-45.95	50.97	244	c11v
b00r	41.6	1.37	-45.01	45.03	272	c56v
b25r	29.0	25.08	-43.13	49.89	300	v04m
b50r	38.04	46.53	-28.39	54.51	329	v55m
b75r	49.48	72.88	-3.76	72.98	357	m11o

LAB^*cmyn^*

$i^* = 1.00$

Brillantheit i^*

$i^* = 0.80$

$i^* = 0.60$

$i^* = 0.40$

$i^* = 0.20$

$i^* = 0.00$

Ein und Ausgabe: Farbmetrisches Drucker-Reflektiv-System ORS19_96a für relativen CIELAB-Buntton $h^* = lab^*h^* = h_{ab}/360 = 0.527$

Daten für jede Farbe:

lab^*tch^* und lab^*icu^*

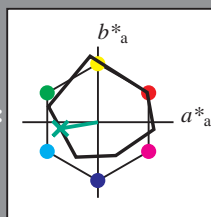
Bunttontexte:

$u^*_e = g25b$ $u^*_d = l36c$

Kontrastreduzierungsfaktor:

$c_R = 1.0$

Dreiecks-Helligkeit i^*



ORS19_96a; CIELAB-Daten						
u^*_e	$L^*=L^*$	a^*	b^*	C^*_{ab}	h^*_{ab}	
O _M	48.75	65.16	40.76	76.86	32	
Y _M	90.92	-10.78	89.36	90.01	97	
L _M	52.69	-65.4	22.15	69.05	161	
C _M	59.61	-29.04	-44.69	53.3	237	
V _M	28.39	24.0	-43.18	49.4	299	
M _M	49.58	74.01	-8.22	74.47	354	
N _M	18.89	0.5	0.77	0.92	57	
W _M	96.9	-0.57	2.23	2.3	104	
R _M	39.92	58.74	27.99	65.07	25	
J _M	81.26	-2.89	71.56	71.62	92	
G _M	52.23	-42.42	13.6	44.55	162	
B _M	30.57	1.41	-46.47	46.49	272	

Daten für Maximalfarbe (Ma):

$LAB^*LAB^*_{Ma}$: 56 -50 -8

$LAB^*LCH^*_{Ma}$: 56 50 189

$lab^*rgb^*_{Ma}$: 0.0 1.0 0.5

$lab^*olv^*_{Ma}$: 0.0 1.0 0.36

Dreiecks-Helligkeit i^*

%Umfang

$u^*_{rel} = 89$

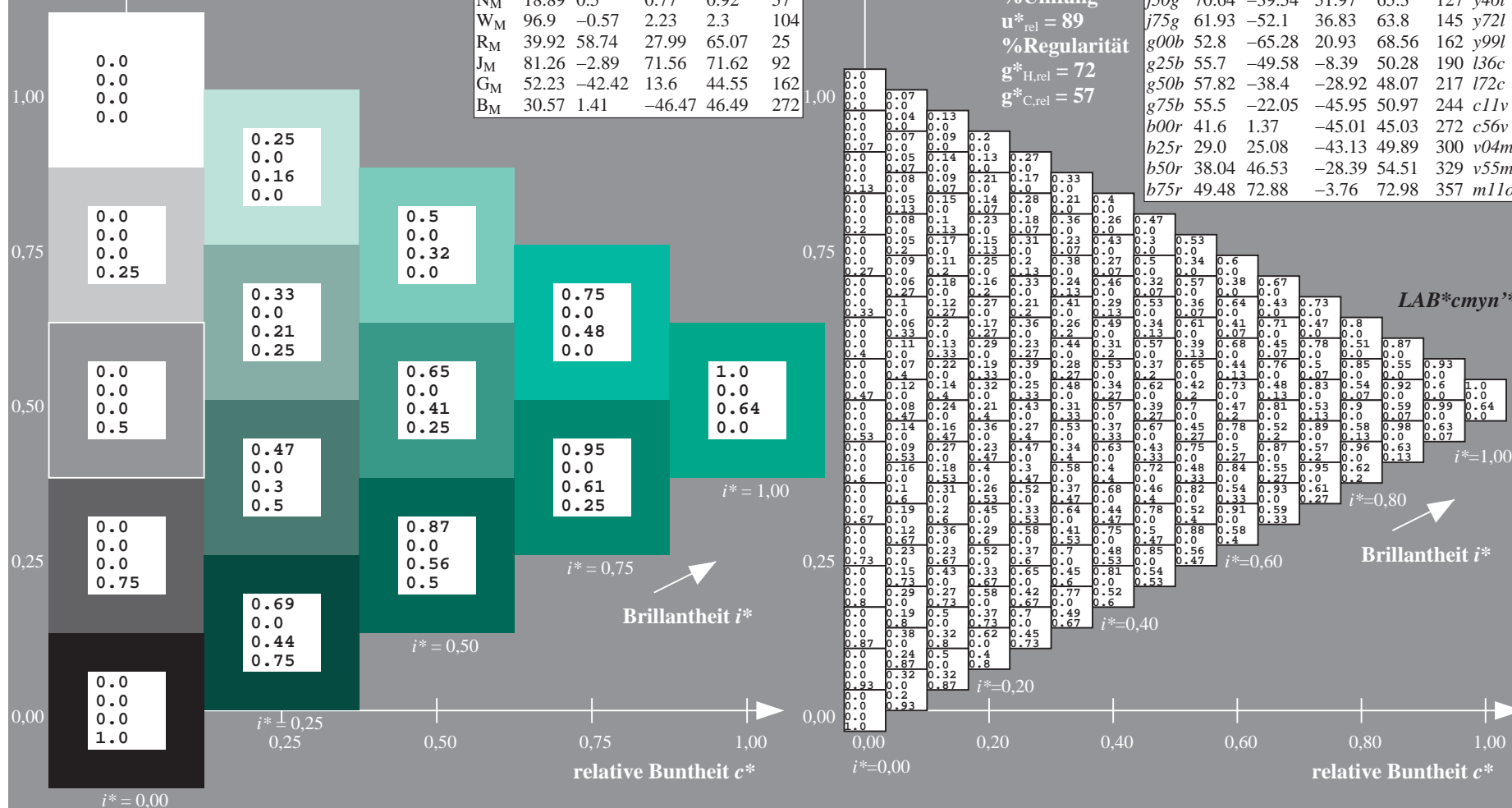
%Regularität

$g^*_{H,rel} = 72$

$g^*_{C,rel} = 57$

$u^*_e = g25b$
 LAB^*cmyn^*

ORS19_96a; adaptierte CIELAB-Daten								
u^*_e	$L^*=L^*_a$	a^*_a	b^*_a	$C^*_{ab,a}$	$h^*_{ab,a}$	u^*_d		
r00j	48.88	66.47	31.67	73.63	25	m84o		
r25j	55.85	52.39	47.48	70.7	42	o17y		
r50j	65.45	35.22	58.37	68.17	59	o42y		
r75j	75.19	17.82	69.41	71.66	76	o67y		
j00g	87.03	-3.35	82.83	82.9	92	o92y		
j25g	80.72	-25.01	69.5	73.86	110	y20l		
j50g	70.64	-39.54	51.97	65.3	127	y46l		
j75g	61.93	-52.1	36.83	63.8	145	y72l		
g00b	52.8	-65.28	20.93	68.56	162	y99l		
g25b	55.7	-49.58	-8.39	50.28	190	l36c		
g50b	57.82	-38.4	-28.92	48.07	217	l72c		
g75b	55.5	-22.05	-45.95	50.97	244	c11v		
b00r	41.6	1.37	-45.01	45.03	272	c56v		
b25r	29.0	25.08	-43.13	49.89	300	v04m		
b50r	38.04	46.53	-28.39	54.51	329	v55m		
b75r	49.48	72.88	-3.76	72.98	357	m11o		



Ein und Ausgabe: Farbmetrisches Drucker-Reflektiv-System ORS19_96a für relativen CIELAB-Buntton $h^* = \text{lab}^*h^* = h_{ab}/360 = 0.603$

Daten für jede Farbe:

lab^*tch^* und lab^*icu^*

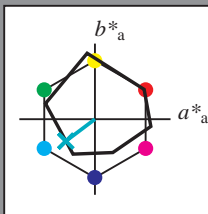
Bunttontexte:

$u^*_e = g50b$ $u^*_d = l72c$

Kontrastreduzierungsfaktor:

$c_R = 1.0$

Dreiecks-Helligkeit t^*



ORS19_96a; CIELAB-Daten						
u^*_e	$L^*=L^*$	a^*	b^*	C^*_{ab}	h^*_{ab}	
O _M	48.75	65.16	40.76	76.86	32	
Y _M	90.92	-10.78	89.36	90.01	97	
L _M	52.69	-65.4	22.15	69.05	161	
C _M	59.61	-29.04	-44.69	53.3	237	
V _M	28.39	24.0	-43.18	49.4	299	
M _M	49.58	74.01	-8.22	74.47	354	
N _M	18.89	0.5	0.77	0.92	57	
W _M	96.9	-0.57	2.23	2.3	104	
R _M	39.92	58.74	27.99	65.07	25	
J _M	81.26	-2.89	71.56	71.62	92	
G _M	52.23	-42.42	13.6	44.55	162	
B _M	30.57	1.41	-46.47	46.49	272	

Daten für Maximalfarbe (Ma):

$\text{LAB}^*\text{LAB}^*_{\text{Ma}}$: 58 -38 -29

$\text{LAB}^*\text{LCH}^*_{\text{Ma}}$: 58 48 216

$\text{lab}^*\text{rgb}^*_{\text{Ma}}$: 0.0 1.0 1.0

$\text{lab}^*\text{olv}^*_{\text{Ma}}$: 0.0 1.0 0.72

Dreiecks-Helligkeit t^*

%Umfang

$u^*_{\text{rel}} = 89$

%Regularität

$g^*_{H,\text{rel}} = 72$

$g^*_{C,\text{rel}} = 57$

ORS19_96a; adaptierte CIELAB-Daten							
u^*_e	$L^*=L^*$	a^*_a	b^*_a	$C^*_{ab,a}$	$h^*_{ab,a}$	u^*_d	
r00j	48.88	66.47	31.67	73.63	25	m84o	
r25j	55.85	52.39	47.48	70.7	42	o17y	
r50j	65.45	35.22	58.37	68.17	59	o42y	
r75j	75.19	17.82	69.41	71.66	76	o67y	
j00g	87.03	-3.35	82.83	82.9	92	o92y	
j25g	80.72	-25.01	69.5	73.86	110	y20l	
j50g	70.64	-39.54	51.97	65.3	127	y46l	
j75g	61.93	-52.1	36.83	63.8	145	y72l	
g00b	52.8	-65.28	20.93	68.56	162	y99l	
g25b	55.7	-49.58	-8.39	50.28	190	l36c	
g50b	57.82	-38.4	-28.92	48.07	217	l72c	
g75b	55.5	-22.05	-45.95	50.97	244	c11v	
b00r	41.6	1.37	-45.01	45.03	272	c56v	
b25r	29.0	25.08	-43.13	49.89	300	v04m	
b50r	38.04	46.53	-28.39	54.51	329	v55m	
b75r	49.48	72.88	-3.76	72.98	357	m11o	

$\text{LAB}^*\text{cmyn}^*$

$i^* = 1.00$

Brillantheit i^*

$i^* = 0.80$

$i^* = 0.60$

$i^* = 0.40$

$i^* = 0.20$

$i^* = 0.00$

Ein und Ausgabe: Farbmetrisches Drucker-Reflektiv-System ORS19_96a für relativen CIELAB-Buntton $h^* = lab^*h^* = h_{ab}/360 = 0.679$

Daten für jede Farbe:

lab^*tch^* und lab^*icu^*

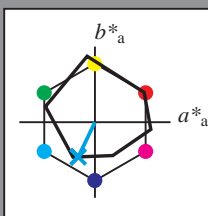
Bunttontexte:

$u^*_e = g75b$ $u^*_d = c11v$

Kontrastreduzierungsfaktor:

$c_R = 1.0$

Dreiecks-Helligkeit t^*



ORS19_96a; CIELAB-Daten						
u^*_e	$L^*=L^*_a$	a^*	b^*	C^*_{ab}	h^*_{ab}	
O _M	48.75	65.16	40.76	76.86	32	
Y _M	90.92	-10.78	89.36	90.01	97	
L _M	52.69	-65.4	22.15	69.05	161	
C _M	59.61	-29.04	-44.69	53.3	237	
V _M	28.39	24.0	-43.18	49.4	299	
M _M	49.58	74.01	-8.22	74.47	354	
N _M	18.89	0.5	0.77	0.92	57	
W _M	96.9	-0.57	2.23	2.3	104	
R _M	39.92	58.74	27.99	65.07	25	
J _M	81.26	-2.89	71.56	71.62	92	
G _M	52.23	-42.42	13.6	44.55	162	
B _M	30.57	1.41	-46.47	46.49	272	

Daten für Maximalfarbe (Ma):

$LAB^*LAB^*_{Ma}$: 55 -22 -46

$LAB^*LCH^*_{Ma}$: 55 51 244

$lab^*rgb^*_{Ma}$: 0.0 0.5 1.0

$lab^*olv^*_{Ma}$: 0.0 0.89 1.0

Dreiecks-Helligkeit t^*

%Umfang

$u^*_{rel} = 89$

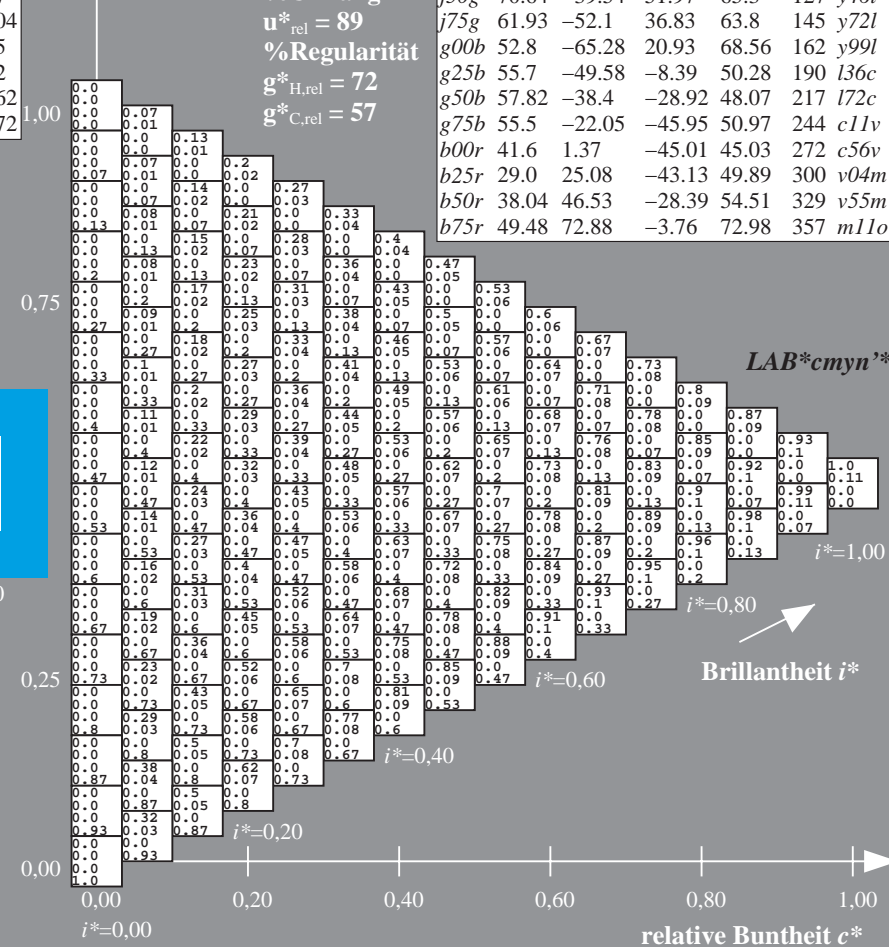
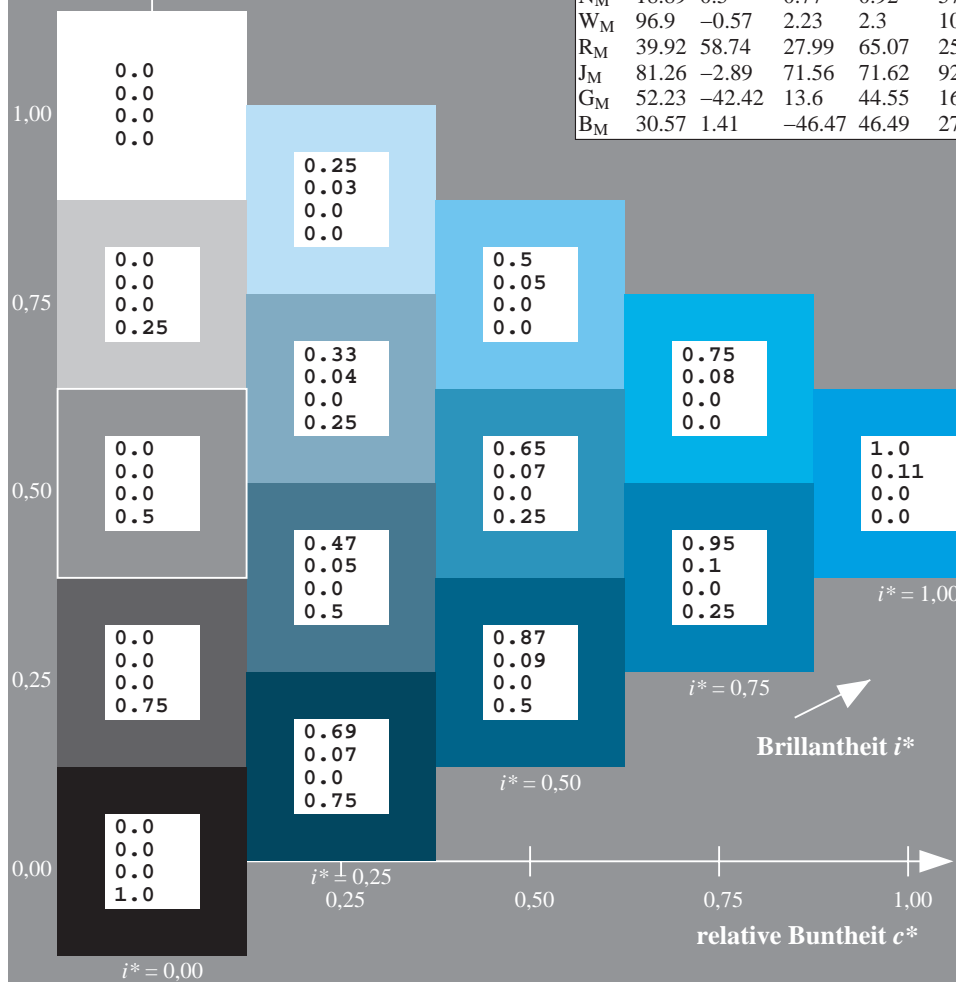
%Regularität

$g^*_{H,rel} = 72$

$g^*_{C,rel} = 57$

$u^*_e = g75b$
 LAB^*cmyn^*

ORS19_96a; adaptierte CIELAB-Daten								
u^*_e	$L^*=L^*_a$	a^*_a	b^*_a	$C^*_{ab,a}$	$h^*_{ab,a}$	u^*_d		
r00j	48.88	66.47	31.67	73.63	25	m84o		
r25j	55.85	52.39	47.48	70.7	42	o17y		
r50j	65.45	35.22	58.37	68.17	59	o42y		
r75j	75.19	17.82	69.41	71.66	76	o67y		
j00g	87.03	-3.35	82.83	82.9	92	o92y		
j25g	80.72	-25.01	69.5	73.86	110	y20l		
j50g	70.64	-39.54	51.97	65.3	127	y46l		
j75g	61.93	-52.1	36.83	63.8	145	y72l		
g00b	52.8	-65.28	20.93	68.56	162	y99l		
g25b	55.7	-49.58	-8.39	50.28	190	l36c		
g50b	57.82	-38.4	-28.92	48.07	217	l72c		
g75b	55.5	-22.05	-45.95	50.97	244	c11v		
b00r	41.6	1.37	-45.01	45.03	272	c56v		
b25r	29.0	25.08	-43.13	49.89	300	v04m		
b50r	38.04	46.53	-28.39	54.51	329	v55m		
b75r	49.48	72.88	-3.76	72.98	357	m11o		



Ein und Ausgabe: Farbmimetrisches Drucker-Reflektiv-System ORS19_96a für relativen CIELAB-Buntton $h^* = lab^*h^* = h_{ab}/360 = 0.755$

Daten für jede Farbe:

lab^*tch^* und lab^*icu^*

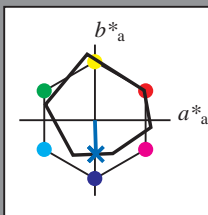
Bunttontexte:

$u^*_e = b00r$ $u^*_d = c56v$

Kontrastreduzierungsfaktor:

$c_R = 1.0$

Dreiecks-Helligkeit i^*



ORS19_96a; CIELAB-Daten						
u^*_e	$L^*=L^*_a$	a^*	b^*	C^*_{ab}	h^*_{ab}	
O _M	48.75	65.16	40.76	76.86	32	
Y _M	90.92	-10.78	89.36	90.01	97	
L _M	52.69	-65.4	22.15	69.05	161	
C _M	59.61	-29.04	-44.69	53.3	237	
V _M	28.39	24.0	-43.18	49.4	299	
M _M	49.58	74.01	-8.22	74.47	354	
N _M	18.89	0.5	0.77	0.92	57	
W _M	96.9	-0.57	2.23	2.3	104	
R _M	39.92	58.74	27.99	65.07	25	
J _M	81.26	-2.89	71.56	71.62	92	
G _M	52.23	-42.42	13.6	44.55	162	
B _M	30.57	1.41	-46.47	46.49	272	

Daten für Maximalfarbe (Ma):

$LAB^*LAB^*_{Ma}$: 42 1 -45

$LAB^*LCH^*_{Ma}$: 42 45 271

$lab^*rgb^*_{Ma}$: 0.0 0.0 1.0

$lab^*olv^*_{Ma}$: 0.0 0.44 1.0

Dreiecks-Helligkeit i^*

%Umfang

$u^*_{rel} = 89$

%Regularität

$g^*_{H,rel} = 72$

$g^*_{C,rel} = 57$

ORS19_96a; adaptierte CIELAB-Daten							
u^*_e	$L^*=L^*_a$	a^*_a	b^*_a	$C^*_{ab,a}$	$h^*_{ab,a}$	u^*_d	
r00j	48.88	66.47	31.67	73.63	25	m84o	
r25j	55.85	52.39	47.48	70.7	42	o17y	
r50j	65.45	35.22	58.37	68.17	59	o42y	
r75j	75.19	17.82	69.41	71.66	76	o67y	
j00g	87.03	-3.35	82.83	82.9	92	o92y	
j25g	80.72	-25.01	69.5	73.86	110	y20l	
j50g	70.64	-39.54	51.97	65.3	127	y46l	
j75g	61.93	-52.1	36.83	63.8	145	y72l	
g00b	52.8	-65.28	20.93	68.56	162	y99l	
g25b	55.7	-49.58	-8.39	50.28	190	l36c	
g50b	57.82	-38.4	-28.92	48.07	217	l72c	
g75b	55.5	-22.05	-45.95	50.97	244	c11v	
b00r	41.6	1.37	-45.01	45.03	272	c56v	
b25r	29.0	25.08	-43.13	49.89	300	v04m	
b50r	38.04	46.53	-28.39	54.51	329	v55m	
b75r	49.48	72.88	-3.76	72.98	357	m11o	

$LAB^*cmy^n^*$

$i^* = 1.00$

Brillantheit i^*

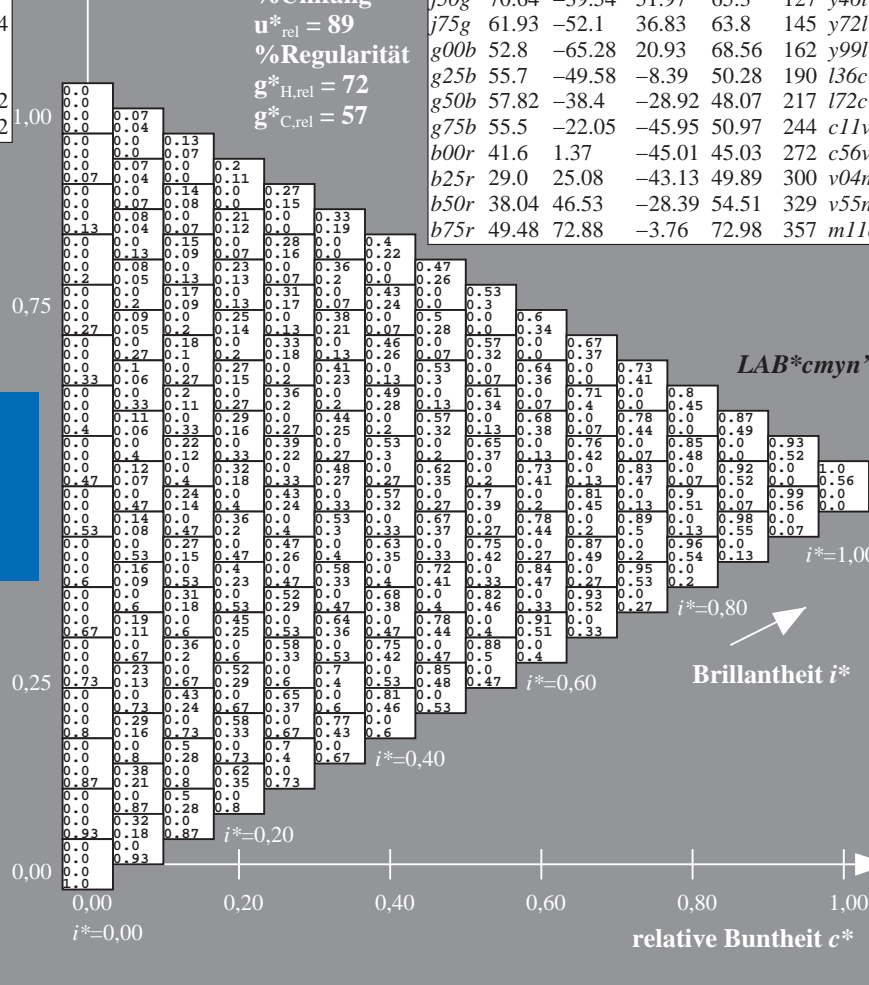
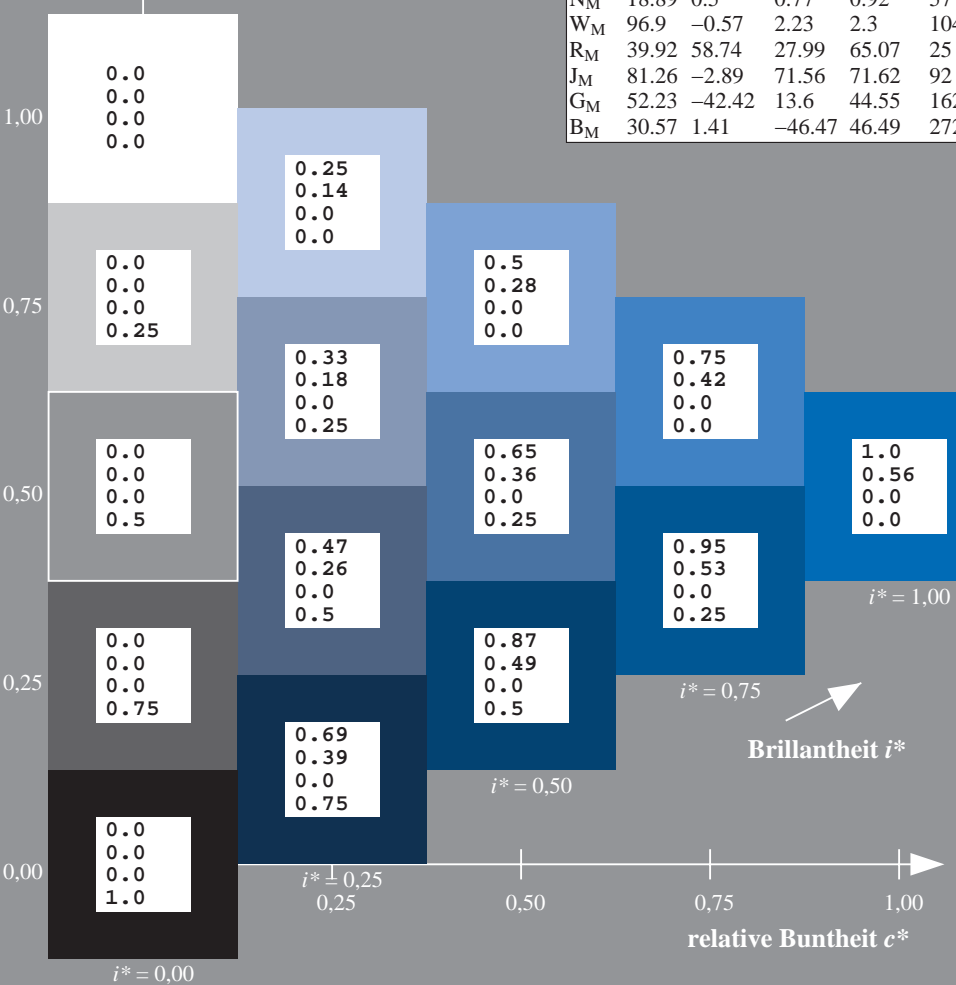
$i^* = 0.80$

$i^* = 0.60$

$i^* = 0.40$

$i^* = 0.20$

$i^* = 0.00$



Ein und Ausgabe: Farbmetrisches Drucker-Reflektiv-System ORS19_96a für relativen CIELAB-Buntton $h^* = lab^*h^* = h_{ab}/360 = 0.834$

Daten für jede Farbe:

lab^*tch^* und lab^*icu^*

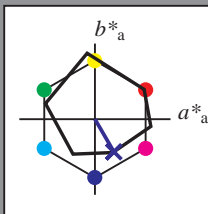
Bunttontexte:

$u^*_e = b25r$ $u^*_d = v04m$

Kontrastreduzierungsfaktor:

$c_R = 1.0$

Dreiecks-Helligkeit t^*



ORS19_96a; CIELAB-Daten						
u^*_e	$L^*=L^*$	a^*	b^*	C^*_{ab}	h^*_{ab}	
O _M	48.75	65.16	40.76	76.86	32	
Y _M	90.92	-10.78	89.36	90.01	97	
L _M	52.69	-65.4	22.15	69.05	161	
C _M	59.61	-29.04	-44.69	53.3	237	
V _M	28.39	24.0	-43.18	49.4	299	
M _M	49.58	74.01	-8.22	74.47	354	
N _M	18.89	0.5	0.77	0.92	57	
W _M	96.9	-0.57	2.23	2.3	104	
R _M	39.92	58.74	27.99	65.07	25	
J _M	81.26	-2.89	71.56	71.62	92	
G _M	52.23	-42.42	13.6	44.55	162	
B _M	30.57	1.41	-46.47	46.49	272	

Daten für Maximalfarbe (Ma):

LAB^*LAB^*Ma : 29 25 -43

LAB^*LCH^*Ma : 29 50 300

lab^*rgb^*Ma : 0.5 0.0 1.0

lab^*olv^*Ma : 0.04 0.0 1.0

Dreiecks-Helligkeit t^*

%Umfang

$u^*_{rel} = 89$

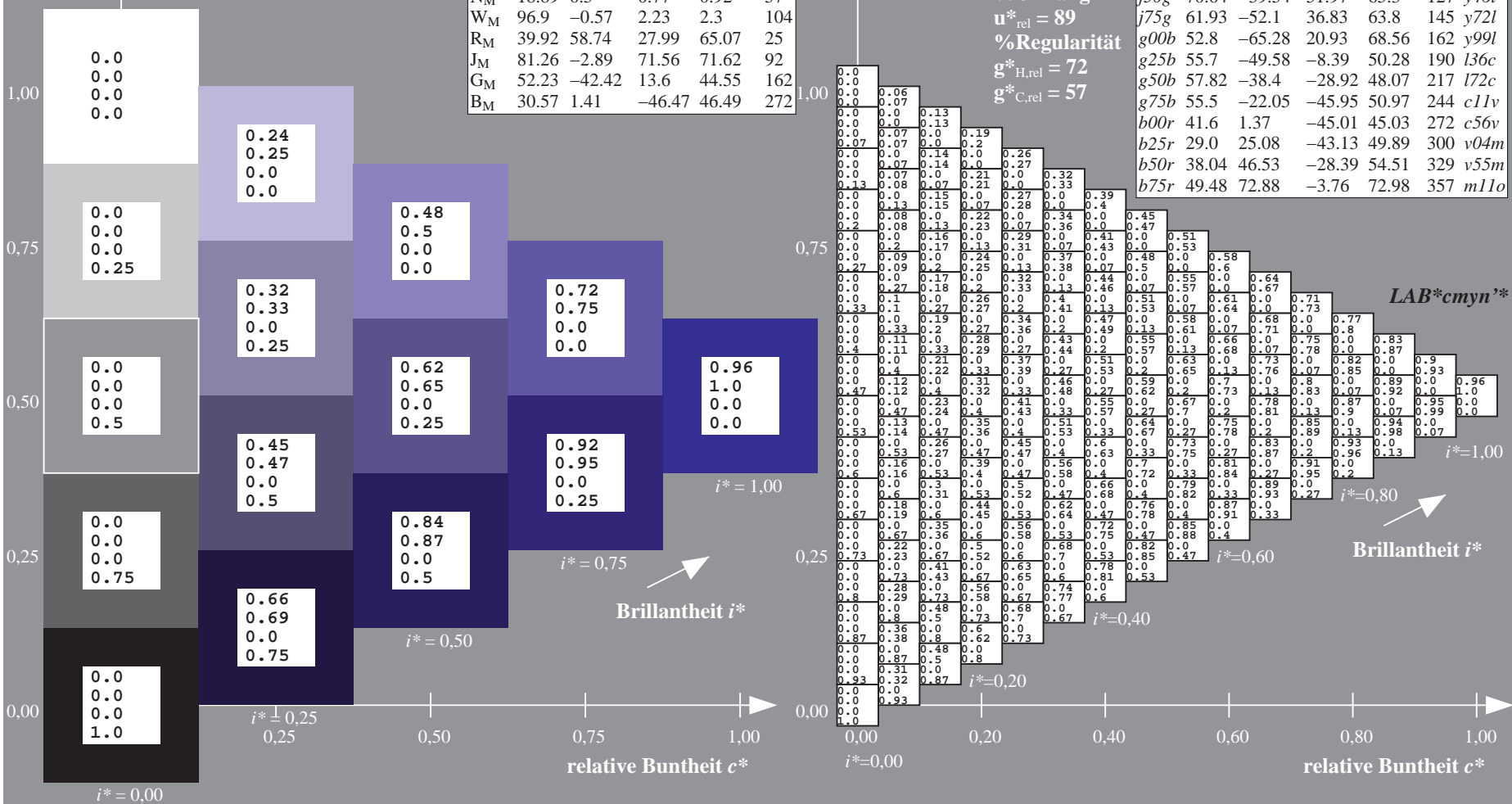
%Regularität

$g^*_{H,rel} = 72$

$g^*_{C,rel} = 57$

$u^*_e = b25r$
 LAB^*cmyn^*

ORS19_96a; adaptierte CIELAB-Daten									
u^*_e	$L^*=L^*_a$	a^*_a	b^*_a	$C^*_{ab,a}$	$h^*_{ab,a}$	u^*_d			
r00j	48.88	66.47	31.67	73.63	25	m84o			
r25j	55.85	52.39	47.48	70.7	42	o17y			
r50j	65.45	35.22	58.37	68.17	59	o42y			
r75j	75.19	17.82	69.41	71.66	76	o67y			
j00g	87.03	-3.35	82.83	82.9	92	o92y			
j25g	80.72	-25.01	69.5	73.86	110	y20l			
j50g	70.64	-39.54	51.97	65.3	127	y46l			
j75g	61.93	-52.1	36.83	63.8	145	y72l			
g00b	52.8	-65.28	20.93	68.56	162	y99l			
g25b	55.7	-49.58	-8.39	50.28	190	l36c			
g50b	57.82	-38.4	-28.92	48.07	217	l72c			
g75b	55.5	-22.05	-45.95	50.97	244	c11v			
b00r	41.6	1.37	-45.01	45.03	272	c56v			
b25r	29.0	25.08	-43.13	49.89	300	v04m			
b50r	38.04	46.53	-28.39	54.51	329	v55m			
b75r	49.48	72.88	-3.76	72.98	357	m11o			



Ein und Ausgabe: Farbmetrisches Drucker-Reflektiv-System ORS19_96a für relativen CIELAB-Buntton $h^* = lab^*h^* = h_{ab}/360 = 0.913$

Daten für jede Farbe:

lab^*tch^* und lab^*icu^*

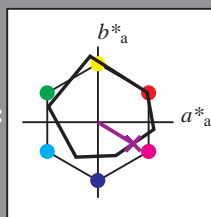
Bunttontexte:

$u^*_e = b50r$ $u^*_d = v55m$

Kontrastreduzierungsfaktor:

$c_R = 1.0$

Dreiecks-Helligkeit t^*



ORS19_96a; CIELAB-Daten						
u^*_e	$L^*=L^*_a$	a^*	b^*	C^*_{ab}	h^*_{ab}	
O _M	48.75	65.16	40.76	76.86	32	
Y _M	90.92	-10.78	89.36	90.01	97	
L _M	52.69	-65.4	22.15	69.05	161	
C _M	59.61	-29.04	-44.69	53.3	237	
V _M	28.39	24.0	-43.18	49.4	299	
M _M	49.58	74.01	-8.22	74.47	354	
N _M	18.89	0.5	0.77	0.92	57	
W _M	96.9	-0.57	2.23	2.3	104	
R _M	39.92	58.74	27.99	65.07	25	
J _M	81.26	-2.89	71.56	71.62	92	
G _M	52.23	-42.42	13.6	44.55	162	
B _M	30.57	1.41	-46.47	46.49	272	

Daten für Maximalfarbe (Ma):

$LAB^*LAB^*_{Ma}$: 38 47 -28

$LAB^*LCH^*_{Ma}$: 38 55 328

$lab^*rgb^*_{Ma}$: 1.0 0.0 1.0

$lab^*olv^*_{Ma}$: 0.56 0.0 1.0

Dreiecks-Helligkeit t^*

%Umfang

$u^*_{rel} = 89$

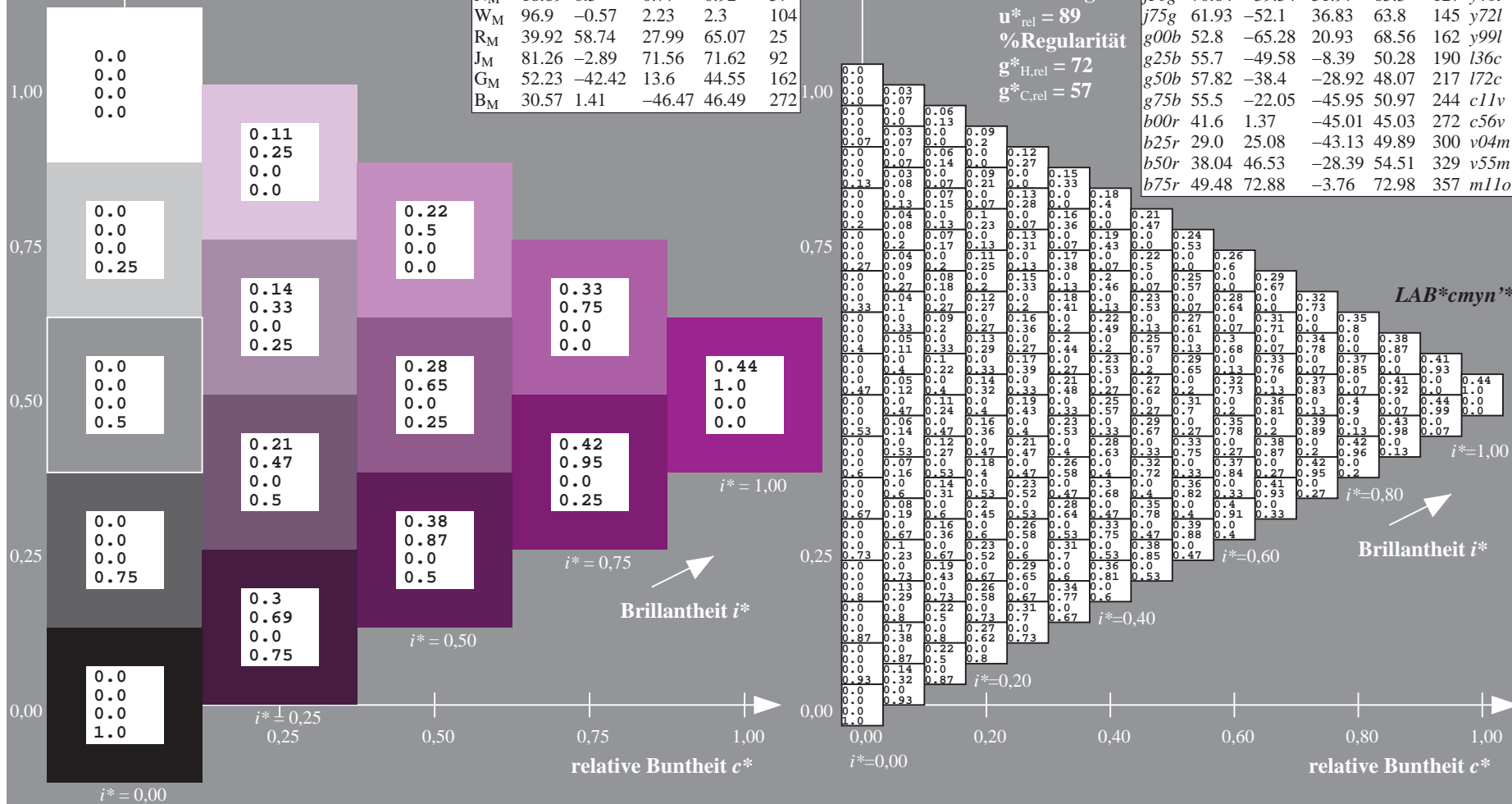
%Regularität

$g^*_{H,rel} = 72$

$g^*_{C,rel} = 57$

$u^*_e = b50r$
 LAB^*cmyn^*

ORS19_96a; adaptierte CIELAB-Daten									
u^*_e	$L^*=L^*_a$	a^*_a	b^*_a	$C^*_{ab,a}$	$h^*_{ab,a}$	u^*_d			
r00j	48.88	66.47	31.67	73.63	25	m84o			
r25j	55.85	52.39	47.48	70.7	42	o17y			
r50j	65.45	35.22	58.37	68.17	59	o42y			
r75j	75.19	17.82	69.41	71.66	76	o67y			
j00g	87.03	-3.35	82.83	82.9	92	o92y			
j25g	80.72	-25.01	69.5	73.86	110	y20l			
j50g	70.64	-39.54	51.97	65.3	127	y46l			
j75g	61.93	-52.1	36.83	63.8	145	y72l			
g00b	52.8	-65.28	20.93	68.56	162	y99l			
g25b	55.7	-49.58	-8.39	50.28	190	l36c			
g50b	57.82	-38.4	-28.92	48.07	217	l72c			
g75b	55.5	-22.05	-45.95	50.97	244	c11v			
b00r	41.6	1.37	-45.01	45.03	272	c56v			
b25r	29.0	25.08	-43.13	49.89	300	v04m			
b50r	38.04	46.53	-28.39	54.51	329	v55m			
b75r	49.48	72.88	-3.76	72.98	357	m11o			



Ein und Ausgabe: Farbmetrisches Drucker-Reflektiv-System ORS19_96a für relativen CIELAB-Buntton $h^* = lab^*h^* = h_{ab}/360 = 0.992$

Daten für jede Farbe:

lab^*ch^* und lab^*icu^*

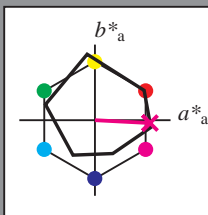
Bunttontexte:

$u^*_e = b75r$ $u^*_d = m11o$

Kontrastreduzierungsfaktor:

$c_R = 1.0$

Dreiecks-Helligkeit i^*



ORS19_96a; CIELAB-Daten						
u^*_e	$L^*=L^*_a$	a^*	b^*	C^*_{ab}	h^*_{ab}	
O _M	48.75	65.16	40.76	76.86	32	
Y _M	90.92	-10.78	89.36	90.01	97	
L _M	52.69	-65.4	22.15	69.05	161	
C _M	59.61	-29.04	-44.69	53.3	237	
V _M	28.39	24.0	-43.18	49.4	299	
M _M	49.58	74.01	-8.22	74.47	354	
N _M	18.89	0.5	0.77	0.92	57	
W _M	96.9	-0.57	2.23	2.3	104	
R _M	39.92	58.74	27.99	65.07	25	
J _M	81.26	-2.89	71.56	71.62	92	
G _M	52.23	-42.42	13.6	44.55	162	
B _M	30.57	1.41	-46.47	46.49	272	

Daten für Maximalfarbe (Ma):

$LAB^*LAB^*_{Ma}$: 49 73 -4

$LAB^*LCH^*_{Ma}$: 49 73 357

$lab^*rgb^*_{Ma}$: 1.0 0.0 0.5

$lab^*olv^*_{Ma}$: 1.0 0.0 0.89

Dreiecks-Helligkeit i^*

%Umfang

$u^*_{rel} = 89$

%Regularität

$g^*_{H,rel} = 72$

$g^*_{C,rel} = 57$

ORS19_96a; adaptierte CIELAB-Daten									
u^*_e	$L^*=L^*_a$	a^*_a	b^*_a	$C^*_{ab,a}$	$h^*_{ab,a}$	u^*_d			
r00j	48.88	66.47	31.67	73.63	25	m84o			
r25j	55.85	52.39	47.48	70.7	42	o17y			
r50j	65.45	35.22	58.37	68.17	59	o42y			
r75j	75.19	17.82	69.41	71.66	76	o67y			
j00g	87.03	-3.35	82.83	82.9	92	o92y			
j25g	80.72	-25.01	69.5	73.86	110	y20l			
j50g	70.64	-39.54	51.97	65.3	127	y46l			
j75g	61.93	-52.1	36.83	63.8	145	y72l			
g00b	52.8	-65.28	20.93	68.56	162	y99l			
g25b	55.7	-49.58	-8.39	50.28	190	l36c			
g50b	57.82	-38.4	-28.92	48.07	217	l72c			
g75b	55.5	-22.05	-45.95	50.97	244	c11v			
b00r	41.6	1.37	-45.01	45.03	272	c56v			
b25r	29.0	25.08	-43.13	49.89	300	v04m			
b50r	38.04	46.53	-28.39	54.51	329	v55m			
b75r	49.48	72.88	-3.76	72.98	357	m11o			

LAB^*cmyn^*

$i^* = 1.00$

Brillantheit i^*

$i^* = 0.80$

$i^* = 0.60$

$i^* = 0.40$

$i^* = 0.20$

$i^* = 0.00$

[illegible]